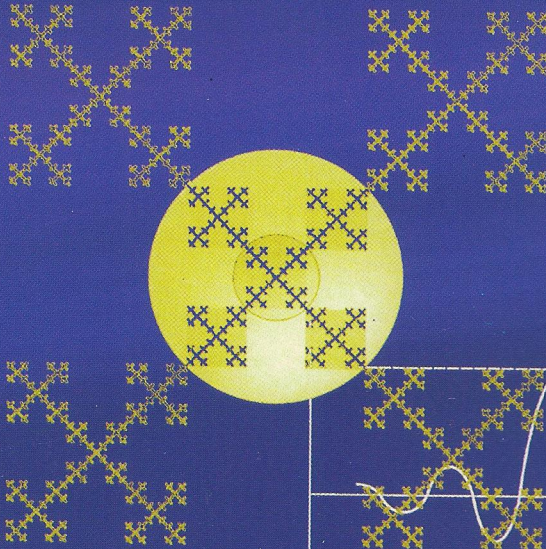




فیزیک موج

اسٹیون نٹل

ترجمہ محمد رضا کلاہ چی



فیزیک موج

استیون نتل

ترجمه محمد رضا کلاه‌چی

مرکز نشر دانشگاهی، تهران



Wave Physics
Stephen Nettel
Springer, 1995

فیزیک موج

تألیف استیون نتل

ترجمه دکتر محمدرضا کلاه‌چی

ویراسته دکتر منیژه رهبر

حروفچین: مریم حسینی نیا

مرکز نشر دانشگاهی، تهران

چاپ اول ۱۳۸۲

تعداد ۲۰۰۰

چاپ: محمدامین

حق چاپ برای مرکز نشر دانشگاهی محفوظ است

فهرست‌نویسی پیش از انتشار کتابخانه ملی جمهوری اسلامی ایران

نتل، استیون. ۱۹۳۸ - م. Nettel, Stephen

فیزیک موج / استیون نتل؛ ترجمه محمدرضا کلاه‌چی. - تهران: مرکز نشر دانشگاهی، ۱۳۸۲.

شش، ۳۰۶ ص. : مصور، جدول. - (مرکز نشر دانشگاهی؛ ۱۱۳۲. فیزیک؛ ۱۰۱)

ISBN 964-01-1132-5

فهرست‌نویسی براساس اطلاعات فیبا.

عنوان اصلی: Wave physics: oscillations-solitons-chaos. , c1995.

۱. امواج. ۲. مکانیک موجی. الف. کلاه‌چی، محمدرضا، مترجم. ب. مرکز نشر دانشگاهی. ج. عنوان.

۵۳۱/۱۱۳۳

QC۱۵۷/ن۹ف۹

۱۳۸۲

م۸۲ - ۲۶۲۵۱

کتابخانه ملی ایران

بسم الله الرحمن الرحيم

فهرست

صفحه	عنوان
۱	پیشگفتار ویراست دوم
۳	پیشگفتار ویراست اول
۵	۱ مبنایی ریاضی برای فیزیک موج
۶	۱-۱ مقدمه‌ای بر مفاهیم
۹	۲-۱ انتگرالهای مهم
۱۲	۳-۱ اعداد مختلط
۱۴	۴-۱ تابع دلتای دیراک
۱۷	۵-۱ آنالیز فوریه
۴۰	۲ نوسانهای سیستمهای مکانیکی و الکتریکی
۴۰	۱-۲ سیستمها و معادله‌های آنها
۴۴	۲-۲ حرکت طبیعی سیستمها
۵۰	۳-۲ حرکت واداشته

۵۴	۲-۴ نوسانگرها
۵۷	۲-۵ خلاصه
۶۴	۳ امواج روی تارهای کشیده
۶۴	۳-۱ معادله حرکت تار
۶۷	۳-۲ حرکت طبیعی تار
۷۰	۳-۳ مدهای بهنجار
۷۸	۳-۴ حرکت واداشته تار کشیده
۹۱	۴ امواج الکترومغناطیسی
۹۲	۴-۱ شکل انتگرالی معادله‌های ماکسول
۹۳	۴-۲ شکل دیفرانسیلی معادله‌های ماکسول
۹۷	۴-۳ امواج الکترومغناطیسی تخت در فضای آزاد
۱۰۴	۴-۴ سیستم‌های الکترومغناطیسی توزیع شده - کاواکها
۱۱۰	۴-۵ پتانسیل برداری و جوابهای مربوط به آن برای معادله‌های ماکسول
۱۱۶	۴-۶ تابش دوقطبی
۱۴۰	۵ نور - اپتیک فیزیکی، شکست
۱۴۱	۵-۱ سرشت نور و تولید آن
۱۴۵	۵-۲ پراش
۱۵۱	۵-۳ پراش پرتو x
۱۵۴	۵-۴ امواج EM در دی‌الکتریکها، شکست
۱۷۴	۶ مکانیک موجی
۱۷۵	۶-۱ منشأ معادله موج شرودینگر
۱۷۹	۶-۲ اصول موضوع مکانیک موجی
۱۹۱	۶-۳ حرکت ذره آزاد. اصل عدم قطعیت هایزنبرگ
۲۰۰	۶-۴ دوگانگی موج - ذره و از دست رفتن علیت

۲۰۳	۵-۶ حیطة مکانیک کوانتومی
۲۲۶	۷ امواج غیرخطی در سطح آب - سولیتونها
۲۲۸	۱-۷ امواج خطی در سطح آب
۲۳۱	۲-۷ پاشندگی. سرعت گروه
۲۳۴	۳-۷ امواج غیرخطی
۲۴۱	۴-۷ سولیتونها
۲۴۵	۵-۷ پراکندگی معکوس
۲۶۴	۸ پدیده‌های غیرخطی - آشوب
۲۶۵	۱-۸ فیزیک غیرخطی - آشوب و نظم
۲۸۱	۲-۸ آشوب کوانتومی
۲۹۴	راهنمایی برای حل مسائل
۳۰۴	نمایه

پیشگفتار ویراست دوم

تعدادی مثال و مسئله برای روشن ساختن مفاهیم بنیادی اضافه شده است، و خطاهای چاپی اصلاح شده‌اند.

ویراست اول چند بار در رنسلیر در یک درس سال دوم با استفاده از روش آموزش دوسویه تدریس شده است. این روش شامل جلسات حل تمرین منظم است که در آن دانشجویان به صورت گروهی با استفاده از ورقه‌های گزارش کار تمرین می‌کنند. ورودی را دانشجویان ارشدتر کارشناسی یا کارشناسی ارشد که نقش مربی را دارند تأمین می‌کنند. معلوم شده است که با این روش می‌توان این درس را علاوه بر دانشجویان ممتاز، که کتاب ابتدا برای آنها تدوین شده بود، می‌توان برای دانشجویان بیشتری به کار برد. ظاهراً عامل اصلی موفقیت دانشجو در این درس پایه ریاضی اوست. خوشوقتم که از دانشجویانی که نقش مربی را داشته‌اند تشکر کنم. به‌ویژه از هوارد گولدوفسکی، بیونگ کیم، و رشیل تامسون که مسئولیت کلاسهای مختلف را به عهده داشتند سپاسگزارم. تجربه درسی ما در بازنگری فعلی مؤثر بوده است.

پیشگفتار ویراست اول

این کتاب برای نیم‌سال سوم دوره کارشناسی فیزیک نوشته شده است؛ مخاطبان این کتاب دانشجویانی هستند که در برنامه‌های درسی پیشرفته ثبت‌نام کرده‌اند و به‌طور معمول خود را برای کسب مدارک عالی در علوم پایه یا مهندسی آماده می‌کنند. نیم‌سال سوم اغلب تنها فرصتی است که بخش فیزیک می‌تواند به آن دسته از دانشجویان که رشته اصلی آنها فیزیک نیست، زمینه‌ای منسجم از فیزیک امواج ارائه کند؛ این زمینه بعداً به دانشجو کمک می‌کند تا با اعتماد به‌نفس با مسائل کاربردی، خصوصاً کاربردهایی که اساس آنها مکانیک کوانتومی است، روبه‌رو شود.

فیزیک، مبحثی یکپارچه است. تجربه نشان می‌دهد که با فرورفتن به عمق مطالب و فراگیری پیوندهای ریاضی بین پدیده‌های گوناگون، پیشرفت کار آسان‌تر می‌شود. با وجود این، گامهایی که ما را از فیزیک موج کلاسیک به «مبانی فیزیکی نظریه کوانتومی» هاینبرگ بردند، بنابه روایت تاریخ از گامهای بعدی که با جزئیات کاربردی سروکار داشت، دشوارتر بودند. توجه به این نکات، فیزیک کلاسیک نوسانها و امواج که در اینجا شکل می‌گیرد، از نظر ریاضی، نسبت به دروس متداول سال دوم پیشرفته‌تر است. هدف توضیح پدیده‌های کلاسیک و در عین حال ایجاد زمینه‌ای برای مکانیک موج مقدماتی است که به تلفیق منطقی مبحث اخیر در ارائه مطالب می‌انجامد. فصلهای پایانی درباره امواج غیرخطی، سولیتونها و آشوب، مفاهیم شناخته شده قبلی را در رفتار موجی گسترش می‌دهد، ضمن اینکه خواننده را با مباحث مهم فعلی در فیزیک موج آشنا می‌سازد.

کتاب با فصل کاملی درباره ریاضی آغاز می‌شود که آنالیز فوریه را در قالب توابع تعمیم‌یافته گسترش می‌دهد. هدف این است که دانشجویان، را در «ساده‌ترین» شرایط با مفاهیم جدید آشنا سازد، تا بعد، هنگام مطالعه فصلهای مربوط به فیزیک کلاسیک خود این مفاهیم را تشخیص دهند و به‌کار بندند. بدین طریق، هنگامی که در فصل ۶ نوبت به مکانیک موجی می‌رسد، دانشجویان

باید بتوانند فیزیک نوین را از ریاضیات تمیز دهند. ام. جی. لایت هیل، در رساله‌ای به نام «تحلیل فوریه و توابع تعمیم‌یافته» متذکر می‌شود که، «نظریهٔ توابع تعمیم‌یافته... تا حد زیادی زحمت درک تبدیل فوریه را کم می‌کند». به‌کارگیری توابع تعمیم‌یافته («نظریهٔ توزیعهای» شوارتز) از انتگرالهای تعریف نشده‌ای مانند $\int_{-\infty}^{\infty} e^{ikx} dk$ ، که هنوز در کتابهای درسی مکانیک کوانتومی متداول است، اجتناب می‌کند. فصل دوم، دربارهٔ نوسانها، ممکن است تا حدودی سرشت مروری داشته باشد. بنابراین، مبحث فیزیکی از جایی شروع می‌شود که با آن دانشجوی سال اول قبلاً با آن آشناست ولی احتمالاً فقط درکی ناقص از آن دارد.

امید است این کتاب برای گروههای گوناگون خواننده مفید باشد، برای دانشجویان ممتاز فیزیک و ریاضیات، دانشجویان کارشناسی ارشد که برای امتحان جامع دکتری خود را آماده می‌کنند، و همچنین استادانی که در پی مسائل امتحانی هستند. مسائل، با ارائه چالشها، مانع از یکنواختی می‌شوند. در اینجا، از بسیاری مسائل به منظور تثبیت نتایج مهم استفاده شده است. بدین ترتیب، پرداختن به مسائل فعالیتی بامعنی می‌شود و همین‌طور کارایی فرایند یادگیری نیز افزایش می‌یابد. پیش‌نیازهای این کتاب منحصر به درس مکانیک و الکتروسیسته و مغناطیس سال اول دانشگاه برمنیای حسابان است. این کتاب حاصل درس فیزیک ممتاز است که مؤلف از سال ۱۹۷۳ به کرات آن را در رِشلیپز درس داده است. تجربهٔ مؤلف نشان می‌دهد که شش فصل اول کتاب را می‌توان به راحتی در طول نیم‌سال چهارده هفته‌ای متداول تدریس کرد.

استیون نیتل

تروی، فوریه ۱۹۹۲

مبنایی ریاضی برای فیزیک موج

چکیده

این فصل با آشنایی با مفاهیم اصلی نظریهٔ توابع تعمیم یافته آغاز می‌شود. توسعهٔ ریاضی فیزیک موج، خود با ارزیابی برخی انتگرالهای اساسی شامل توابع گاوسی آغاز می‌شود. بخشی مختصر دربارهٔ متغیرهای مختلط، انتگرالهای دیگری را نیز به دست می‌دهد. پس از آشنایی شهودی با تابع دلتای دیراک، نشان می‌دهیم که این تابع مثالی از توابع تعمیم یافته است، یعنی، با خانوادهٔ مشخصی از دنباله‌های هم‌ارز داده می‌شود. اعضای این دنباله‌ها می‌باید توابع خوش رفتاری، مانند توابع گاوسی، باشند. صفات «هم‌ارز» و «خوش رفتار» به دقت تعریف خواهند شد. نمایش فوریه به صورت تجزیهٔ توابع متغیرهای مکانی، به توابع هماهنگ با تمام طول موجهای ممکن، معرفی خواهد شد. با استفاده از تشابه با بردارهای پایه در سه بعد، نشان می‌دهیم که امواج هماهنگ، پایه‌ای کامل را در فضای تابع بینهایت بعدی (فضای هیلبرت) تشکیل می‌دهند. فرمول تبدیل فوریه همانند تصویر کردن بردارها برای به دست آوردن مؤلفه‌ها، به دست می‌آید، و تابع دلتای دیراک نقشی همانند نقش دلتای کرونکر بازی می‌کند. مثالهای حل شده، شامل تبدیل فوریهٔ موج مربعی، بازسازی کامپیوتری موج مربعی با استفاده از تبدیل فوریهٔ آن، و راست‌هنجاری توابع دلتای دیراک انجام می‌شود. مسئلهٔ ۱-۱۷، که تابع گرین را برای فرایند پخش به دست می‌آورد، مخصوصاً به عنوان زمینه برای فصل ۶، «مکانیک موج»، توصیه می‌شود.

۱-۱ مقدمه‌ای بر مفاهیم

امواج، نقشی فراگیر در طبیعت دارند. امواج مکانیکی را داریم که شامل امواج لرزه‌ای، امواج صوتی در هوا و امواج آب می‌شود. امواج الکترومغناطیسی نیز وجود دارند، و امواج کوانتوم مکانیکی که زیربنای تمام مواد هستند. این پدیده‌های موجی گوناگون، را می‌توان براساس مفاهیم ریاضی وحدت‌بخش فهمید.

در مطالعه مکانیک ذره‌ای، از بردارها برای توصیف جابه‌جایی، سرعت، و کمیت‌های دیگر حرکت استفاده می‌کنیم. در سه بُعد، هر بردار F را می‌توان از سه جزء ساختمانی یعنی سه برداریکه متداول i, j, k ساخت:

$$F = A_1 i + A_2 j + A_3 k$$

A_1, A_2, A_3 ، مؤلفه‌های دامنه هستند که F را تعیین می‌کند اجزاء ساختمانی متناظر برای امواج یک‌بُعدی، در فضا $\sin kx, \cos kx$ در قلمرو زمانی $\sin \omega t, \cos \omega t$ است. در اینجا، k عدد موج نامیده می‌شود. ارتباط آن با طول موج λ چنین است

$$k = \frac{2\pi}{\lambda}$$

به همین ترتیب، ω ، بسامد زاویه‌ای برحسب رادیان/ثانیه با دوره T برحسب ثانیه، یا بسامد ν برحسب Hz (تناوب/ثانیه) به صورت زیر مربوط می‌شود

$$\omega = 2\pi\nu = \frac{2\pi}{T}$$

برای راحتی کار ریاضی، اغلب توابع هماهنگ را در قالب تابع نمایی مختلط بیان می‌کنیم

$$e^{ikx} = \cos kx + i \sin kx \quad i = \sqrt{-1}$$

می‌گوییم که ذره‌ای در سه بُعد دارای سه درجه آزادی است. کمیت‌های حرکت برای سیستم‌های پیوسته مثل تار بلند کشیده شده دارای بینهایت درجه آزادی است. در طول تار بینهایت نقطه وجود دارد و حرکت هر نقطه را باید مشخص کرد. از دیدگاه دیگر، جابه‌جایی تار اغلب به صورت تابع پیوسته‌ای از مکان در هر زمان مشخص می‌شود. شگفت‌انگیز نیست که این توابع پیوسته را با بردارهایی در «فضای تابع» که بینهایت بُعد و در نتیجه بینهایت درجه آزادی دارد، نمایش دهیم. بینهایت جزء ساختمانی یا توابع پایه لازم، با توجه به اینکه k (یا ω) متغیری پیوسته است که بینهایت مقدار را درگستره $-\infty < k < \infty$ اختیار می‌کند. حاصل می‌شود. هر مقدار جدید k ، دو تابع پایه جدید $\sin kx, \cos kx$ را به دست می‌دهد.

در حوزه زمانی در می‌یابیم که فکر $\sin \omega t$ ، $\cos \omega t$ به عنوان مؤلفه‌های پایه فکر جدیدی نیست. هرکس که به بازتولید موسیقی با کیفیت بالا علاقه‌مند است با روش تجزیه سیگنال $F(t)$ به سیگنالهای مجزا هر یک با یک بسامد ω ، دامنه مشخص $B(\omega)$ و فاز $\delta\omega$ آشنایی دارد. سپس می‌توان $F(t)$ را به صورت جمع همه این سیگنالهای مجزا، یعنی انتگرالی روی همه بسامدهای ممکن، بیان کرد:

$$F(t) \sim \int_{-\infty}^{\infty} B(\omega) \sin(\omega t + \delta\omega) d\omega = \int_{-\infty}^{\infty} A(\omega) e^{i\omega t} d\omega$$

که در انتگرال آخر، $A(\omega)$ عددی مختلط است و چنان اختیار می‌شود که اختلاف فاز $\delta\omega$ را به حساب آورد و $F(t)$ را حقیقی کند. دستگاه با کیفیت بالای ایده‌آل دستگاهی است که تمام مؤلفه‌های بسامدی مختلف را به طور یکسان پردازش (تبدیل و تقویت) کند.

امکان تجزیه توابع مکانی به مؤلفه‌های هماهنگ با تمام طول‌موجهای ممکن را ریاضیدان فرانسوی ژوزف فوریه در سال ۱۸۸۲ در رساله «نظریه تحلیلی گرما» مطرح کرد. در فضای یک بعدی چنین می‌نویسیم

$$F(x) \sim \int_{-\infty}^{\infty} A(k) e^{ikx} dk$$

در طبیعت، جفتهای «متضاد» یا متقاطر نقطه و بینهایت و غیره وجود دارند. به زودی خواهیم دید که موج e^{ikx} هم متضاد خود را دارد که به تابع دلتای دیراک $\delta(x)$ [یا $\delta(k)$] معروف است و به افتخار فیزیکدان بریتانیایی برنده جایزه نوبل، پی.ای.ام. دیراک نامگذاری است. تابع $\delta(x)$ دارای قله‌ای بینهایت باریک، در $x = 0$ است. ویژگیهای $\delta(x)$ به قرار زیر است:

$$\delta(x) = 0 \quad x \neq 0$$

$$\int_{-\infty}^{\infty} \delta(x) dx = 1$$

$$\int_{-\infty}^{\infty} F(x) \delta(x) dx = F(0)$$

ویژگی آخر که برای هر تابع «فیزیکی» $F(x)$ صادق است، به طور شهودی، از جایگزیدگی $\delta(x)$ در $x = 0$ به دست می‌آید. اگر e^{ikx} نشان‌دهنده پدیده‌ای بینهایت گسترده باشد که در هر نقطه بین $-\infty < x < \infty$ یافت شود، $\delta(x)$ نقطه مقابل آن است و جایگزیدگی کامل را نشان می‌دهد.

با گسترش ریاضیات فیزیک موج، خصوصاً در فصل ۶ که با امواج مادی (مکانیک کوانتومی) سروکار دارد، نیاز به تابع دلتا را خواهیم دید.

توجه کنید که، مجموعه دامنه‌های مؤلفه موج، $A(k)$ ، هر تابع خاص $F(x)$ را که تحت آنالیز فوریه قرار می‌گیرد، مشخص می‌کند. مسئله اصلی در آنالیز فوریه این است که با داشتن $F(x)$ ، چگونه می‌توان این ضرایب (مختلط) بسط را (که دارای دامنه و فاز هستند) یافت؟ این کار را یافتن تبدیل فوریه تابع معین می‌نامند. روش به دست آوردن تبدیل، همانند تصویر کردن بردار و به دست آوردن یکی از مؤلفه‌های آن است. برای بردارها، لازمه این کار راست‌هنجاری بردارهای یک i, j, k است. برای توابع، خواهیم دید که $u_k \equiv 1/\sqrt{2\pi} e^{ikx}$ بهنجار است و دو تابع پایه $u_k, u_{k'}$ با شرط $k \neq k'$ ، متعامدند.

راست‌هنجاری i, j, k بدان معنی است که این بردارها بر یکدیگر عمودند (متعامد) و هر بردار دارای طول واحد است (بهنجار). روش بررسی راست‌هنجاری توابع همانند ضرب نقطه‌ای بردارها با گرفتن «انتگرالهای همپوش» مناسب میسر می‌شود. انتگرالهای همپوش را می‌توان با انتگرال‌گیری از حاصلضرب همیوغ مختلط تابع اول، u_k^* در تابع دوم، $u_{k'}$ ، در گستره $-\infty < x < \infty$ به دست آورد:

$$\int_{-\infty}^{\infty} u_k^*(x) u_{k'}(x) dx = \frac{1}{2\pi} \int_{-\infty}^{\infty} e^{-i(k-k')x} dx$$

به نظر دیراک محاسبات فیزیکی انتگرالهای همپوش باید به تابع دلتا، $\delta(k - k')$ ، بینجامد. چون اگر $k \neq k'$ ، $\delta(k - k') = 0$ ، برای توابع با k ی متفاوت انتگرال همپوش صفر خواهد بود و اگر $k = k'$ باشد، $u_k(x)$ ، را می‌توان به جتهی بهنجار تلقی کرد. بدین ترتیب، می‌بینیم که هنگام یافتن تبدیلهای فوریه، یعنی، هنگام تصویر کردن تک تک مؤلفه‌های موج یک تابع به شناخت تابع دلتای دیراک نیازمندیم.

این بحث نیاز به توجیه ریاضی دارد. در حال حاضر، انتگرال همپوش دو تابع u_k و $u_{k'}$ هنوز تعریف نشده است، یعنی، با بسط گستره انتگرال‌گیری به بینهایت، به حدی میل نمی‌کنیم. به علاوه، تابع دلتای دیراک تابعی نیست که بتوانیم به‌ازای هر مقدار متغیر مستقل x ، مقداری به آن نسبت دهیم. این مشکلات منشأ فیزیکی دارند. اگر $e^{(ikx)}/\sqrt{2\pi}$ نمایانگر موجی باشد که پدیده‌ای را نشان می‌دهد، آنگاه در مسائل فیزیکی باید پذیرفت که این موج باید دارای آغاز (در فضا یا زمان، اگر به جای x ، t بگذاریم) و پایانی باشد. چنین است که اگر از نظریه توابع تعمیم یافته دقیق‌تر برای کار با تابع دلتا استفاده کنیم و از آنجا با روشی سازگار جلو برویم، اثر مرزهای دوردست اما فیزیکی خودبه‌خود منظور خواهد شد و فقدان تعریف ریاضی انتگرالهای راست‌هنجارکننده برطرف می‌شود.

نظریهٔ توابع تعمیم‌یافته با شناسایی برخی توابع به عنوان توابع مناسب آغاز می‌شود. این توابع به طوری که در بخش بعد خواهیم دید، توابعی هستند که در حد x به سمت $\pm\infty$ ، به طور منظم به صفر میل می‌کنند. منشأ تعریف توابع تعمیم‌یافته در این مشاهده است که، اگر چه $\delta(x)$ به معنای متداول تابع نیست، اما می‌توان آن را با دنباله‌های نامتناهی خاصی از توابع مناسب، نشان داد. تابع تعمیم‌یافته $f(x)$ با دنباله‌ای نامتناهی از انتگرالها، به وسیلهٔ معادلهٔ زیر تعریف می‌شود

$$\int_{-\infty}^{\infty} f(x)F(x)dx \equiv \lim_{n \rightarrow \infty} \int_{-\infty}^{\infty} f_n(x)F(x)dx$$

در اینجا، $f_n(x)$ ، هر دنباله از توابع مناسب $n = 1, 2, 3, \dots$ است که مقدار حدی مطلوب را به انتگرال می‌دهد، برای مثال، $F(0)$ هنگامی که $f(x) = \delta(x) \cdot F(x)$ هم هر تابع مناسب دلخواه است، و می‌توان آن را «تابع آزمون» برای دنباله‌های مختلف تلقی کرد. در مورد تابع دلتا، اعضای هر دنباله با افزایش n ، تیزتر و بلندتر می‌شوند. همچنین می‌توان تبدیلهای فوریه (FT) توابع تعمیم‌یافته را با دنباله‌هایی که اعضای آنها FTهای اعضای دنبالهٔ اولیه هستند، تعریف کرد. وقتی که با کاربرد مداوم با تابع تعمیم‌یافته آشنا شدیم، سرشت مجرد آن، درست مانند سرشت مجرد مشتق معمولی، مشکلی به وجود نخواهد آورد. منشأ نظریهٔ توابع تعمیم‌یافته، در «نظریهٔ توزیعهای» لوران شوارتز است که در سال ۱۹۵۱ ارائه شد. این نظریه را سپس جورج تمپل و ام. جی. لایت‌هیل به صورتی که در اینجا ارائه می‌شود گسترش دادند. در بخش مطالعات بیشتر که در انتهای فصل می‌آید، رسالهٔ ام، جی، لایت‌هیل آمده است. این نظریه امکان آن را فراهم می‌آورد که در تحلیل فوریه، نه تنها تابع دلتا و مشتقهای آن، بلکه توابع ساده‌ای مانند ثابتها و توانهای x را، که معمولاً کنار گذاشته می‌شوند وارد کنیم. رهیافت ما به آنالیز فوریه برحسب مبنایی راست هنجار و توابع تعمیم‌یافته، هم در یادگیری این آنالیز مفید است و هم در گسترش فیزیک کلاسیک و امواج مادّی.

۱-۲ انتگرالهای مهم

تابع $g(x)$ را چنین تعریف می‌کنیم

$$g_a(x) \equiv \sqrt{\frac{a}{\pi}} e^{-ax^2} \quad (1-1)$$

که در آن a عددی حقیقی و مثبت است. این تابع که نامش را از ریاضیدان آلمانی، کارل فردریش گاوس (۱۷۷۷-۱۸۵۵) می‌گیرد، نه تنها در فیزیک بلکه در تحلیلهای آماری نیز کاربرد زیادی

دارد. در اینجا به محاسبه انتگرالهایی که انتگرالده آنها شامل توابع گاوسی است می پردازیم؛ این انتگرالها بارها در شاخه های گوناگون فیزیک به کار می آیند.

حدود این انتگرالها $x = \pm\infty$ است. به خاطر اینکه در حد $|x| \rightarrow \infty$ ، توابع $g_a(x)$ بسرعت به صفر می گریند، این انتگرالها کاملاً خوش تعریف اند. در واقع، $g_a(x)$ مثالی مهم از توابعی است که آنها را توابع مناسب خواندیم. تعریف صوری تابع مناسب تابعی است که همه جا و هر چند بار مشتق پذیر باشد، و تابع و همه مشتق هایش در حد $|x| \rightarrow \infty$ ، حداکثر از مرتبه N ، به ازای همه مقادیر N ، هستند.

اولین انتگرال مهم برای ما عبارت است از

$$I_1 = \int_{-\infty}^{\infty} e^{-ax^2} dx \quad (2-1)$$

که می توانیم با ترفندی آن را محاسبه کنیم. می نویسیم

$$\begin{aligned} I_1^2 &= \int_{-\infty}^{\infty} e^{-ax^2} dx \int_{-\infty}^{\infty} e^{-ay^2} dy \\ &= \int_{-\infty}^{\infty} \int_{-\infty}^{\infty} e^{-a(x^2+y^2)} dx dy \end{aligned} \quad (3-1)$$

با تبدیل به مختصات قطبی θ, r و به خاطر داشتن اینکه $dx dy$ به $r dr d\theta$ تبدیل می شود. I_1^2 چنین خواهد بود

$$I_1^2 = \int_0^{\infty} r dr \int_0^{2\pi} d\theta e^{-ar^2} = 2\pi \int_0^{\infty} e^{-ar^2} r dr = \frac{\pi}{a} \quad (4-1)$$

نتیجه مطلوب عبارت است از

$$\boxed{\int_{-\infty}^{\infty} e^{-ax^2} dx = \sqrt{\frac{\pi}{a}}} \quad (5-1)$$

در مقدمه، به راحتی کار با توابع «بهنجارکننده»، یا توابعی که اندازه نسبی آنها را می توان تنظیم کرد، اشاره کردیم. از (۱-۳) ملاحظه می کنیم که، $g_a(n)$ ، چنان تعریف شده است که

$$\int_{-\infty}^{\infty} g_a(x) dx = 1 \quad (6-1)$$

انتگرال بعدی مورد علاقه ما عبارت است از

$$I_7 = \int_{-\infty}^{\infty} \cos(kx) e^{-ax^2} dx \quad (7-1)$$

از چه شگردی می‌توانیم استفاده کنیم؟ بگذارید از بسط تیلور $\cos(kx)$ استفاده کنیم،

$$\cos(kx) = 1 - \frac{(kx)^2}{2!} + \frac{(kx)^4}{4!} - \dots \quad (8-1)$$

سپس از انتگرالی که با I_1 نشان دادیم نسبت به a مشتق می‌گیریم تا داشته باشیم

$$\int_{-\infty}^{\infty} x^2 e^{-ax^2} dx = \frac{1}{2a} \sqrt{\frac{\pi}{a}} \quad (9-1 \text{ الف})$$

$$\int_{-\infty}^{\infty} x^4 e^{-ax^2} dx = \frac{3}{2^2 a^2} \sqrt{\frac{\pi}{a}} \quad (9-1 \text{ ب})$$

و غیره که با مشتق‌گیریهای متوالی حاصل می‌شود. با قرار دادن (8-1) در (7-1) و استفاده از (5-1 تا 9-1) داریم:

$$\begin{aligned} I_7 &= \sqrt{\frac{\pi}{a}} \left[1 - \frac{k^2}{4a} + k^4 \frac{3}{a^2 4! 2^2} - k^6 \frac{3 \times 5}{a^3 6! 2^2} + \dots \right] \\ &= \sqrt{\frac{\pi}{a}} \left[1 - \frac{k^2}{4a} + \left(\frac{k^2}{4a} \right)^2 \frac{1}{2!} - \left(\frac{k^2}{4a} \right)^3 \frac{1}{3!} + \dots \right] \quad (10-1) \end{aligned}$$

در عبارت (10-1) جمله‌ای که در داخل کروشه ظاهر شده است همان بسط تیلور $e^{-k^2/(4a)}$ است. (در اینجا، از این قضیه بهره گرفته‌ایم که در عبارتهایی که در آنها با قرار دادن قدرمطلق هر جمله به جای آن جمله، همگرایی حفظ می‌شود، می‌توان جای انتگرال و مجموع‌یابی را با هم عوض کرد.) نتیجه ما عبارت است از

$$\boxed{\int_{-\infty}^{\infty} \cos kx e^{-ax^2} dx = \sqrt{\frac{\pi}{a}} e^{-k^2/4a}} \quad (11-1)$$

طرف راست (11-1) مجدداً گاوسی است. به علاوه، هر چه عدد موج k ، بزرگتر باشد، یعنی هر چه $\cos kx$ سریعتر نوسان کند، انتگرال همپوش (11-1) کوچکتر می‌شود. اگر a بزرگ باشد. تابع گاوسی اولیه باریک است و انتگرال همپوش برحسب k پهن می‌شود.

پیش از خاتمه این بخش، به انتگرال دیگری نیاز داریم:

$$I_7 = \int_{-\infty}^{\infty} \sin kx e^{-ax^2} dx = 0 \quad (12-1)$$

چرا این انتگرال صفر است؟ خواننده متوجه می‌شود در حالی که $\cos kx = \cos(-kx)$ ، $\sin kx = -\sin(-kx)$ است. حال، در (۱۲-۱)، انتگرال همپوش تابع فرد $(\sin kx)$ و تابع زوج e^{-ax^2} را می‌گیریم. چنین انتگرال همپوشی همواره صفر است، زیرا به‌ازای هر مقدار گستره x و $x + dx$ ، مقداری مساوی ولی با علامت مخالف در گستره $-(x + dx)$ و $-x$ وجود دارد؛ انتگرالده فرد است.

۱-۳ اعداد مختلط

در مطالعه معادله‌های جبری درجه دوم و بالاتر خواننده با استفاده از i ، جذر -۱ ، مواجه شده است. با استفاده از i می‌توان مجموعه اعداد مختلط z را از جفت اعداد حقیقی ساخت. می‌نویسیم

$$z = a + ib \quad (13-1 \text{ الف})$$

که a و b اعداد حقیقی هستند.

اعداد مختلط را می‌توان به صورت نقطه‌هایی بر «صفحه مختلط» نشان داد، شکل ۱-۱. مختصه x قسمت حقیقی عدد، یعنی a ، و مختصه y قسمت مجازی آن، یعنی b ، را به دست می‌دهد. منظور از «تساوی» دو عدد مختلط آن است که قسمت‌های حقیقی دو عدد با هم، و قسمت‌های مجازی دو عدد نیز با هم مساوی باشند:

$$z = z' \quad (13-1 \text{ ب})$$

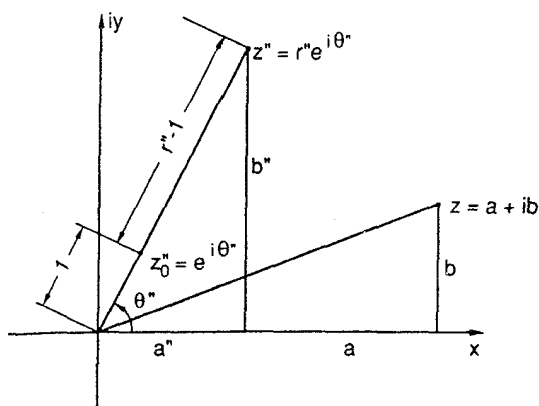
به همراه

$$z = a + ib, \quad z' = a' + ib'$$

یعنی

$$a = a' \quad b = b'$$

در شکل ۱-۱ مشاهده می‌کنیم که اگر $z = z'$ باشد، z و z' با یک نقطه در صفحه مختلط نشان داده می‌شوند. برای عملیات جبری مختلف با اعداد مختلط، خواننده می‌تواند به کتابهای جبر در سطوح متوسط و به مسائل آخر این فصل مراجعه کند.



شکل ۱-۱ دو عدد مختلط دلخواه z و z'' که بر روی صفحه مختلط نشان داده شده‌اند. r'' قدرمطلق z'' و θ'' فاز z'' است. z_0'' نیز نشان داده شده است که قدرمطلق آن واحد است، $z_0'' = e^{i\theta''}$.

بسط آشنای تابع e^x .

$$e^x = 1 + x + \frac{x^2}{2!} + \frac{x^3}{3!} + \dots$$

را به اعداد مختلط تعمیم می‌دهیم

$$e^z = 1 + z + \frac{z^2}{2!} + \frac{z^3}{3!} + \dots \quad (14-1)$$

در اینجا z هر عدد مختلط دلخواهی است.

حال ببینیم هنگامی که z کاملاً مجازی است، یعنی

$$z \equiv i\theta \quad (15-1)$$

چه اتفاقی می‌افتد؛ θ عددی حقیقی است. با به یاد آوردن $i^2 = -1$ از (۱۴-۱) چنین نتیجه می‌شود

$$e^{i\theta} = 1 + i\theta - \frac{\theta^2}{2!} - \frac{i\theta^3}{3!} + \frac{\theta^4}{4!} \dots$$

قسمت‌های حقیقی و مجازی را دسته‌بندی می‌کنیم:

$$e^{i\theta} = 1 - \frac{\theta^2}{2!} + \frac{\theta^4}{4!} + \dots + i \left(\theta - \frac{\theta^3}{3!} + \dots \right)$$

با یادآوری بسط توابع سینوس و کسینوس: $\sin \theta = \theta - \theta^3/3! + \theta^5/5! \dots$ و $\cos \theta = 1 - \theta^2/2! + \theta^4/4! \dots$ مشاهده می‌کنیم که

$$e^{i\theta} = \cos \theta + i \sin \theta \quad (16-1)$$

در نمایش هندسی اعداد مختلط، $e^{i\theta}$ متناظر با نقطه‌ای در نوک بردار شعاعی به طول واحد است که با محور حقیقی زاویه θ می‌سازد. بدین ترتیب، تصویر بردار شعاعی بر محورهای x و y ، قسمت‌های حقیقی و مجازی $e^{i\theta}$ را به دست می‌دهند. اغلب عدد مختلط دلخواه z را به صورت زیر می‌نویسیم،

$$z'' = r'' e^{i\theta''} = a'' + ib''$$

$$r'' = \sqrt{a''^2 + b''^2}, \quad \tan \theta'' = \frac{b''}{a''} \quad (17-1)$$

z'' همان نقطه نوک بردار شعاعی به طول r'' است که با محور حقیقی زاویه θ'' می‌سازد، r'' را قدرمطلق z'' می‌نامند، $|z''| = r''$ با θ'' فاز عدد مختلط است. شکل ۱-۱ تمام این روابط را به روشنی بیان می‌کند.

استفاده از (۱۷-۱) برای $e^{i\theta}$ بر حسب توابع مثلثاتی امکان ترکیب کردن (۱۱-۱) و (۱۲-۱) را فراهم می‌کند:

$$\int_{-\infty}^{\infty} e^{ikx} e^{-ax} dx = \sqrt{\frac{\pi}{a}} e^{-\frac{k^2}{4a}} \quad (18-1)$$

[معادله (۱۸-۱) را می‌توان مستقیماً با استفاده از قضیه کوشی به دست آورد. این قضیه ما را مجاز می‌دارد تا پرند انتگرال‌گیری را از محور حقیقی به $x - ik/2a$ منتقل کنیم.] نظریه متغیرهای مختلط به نتایج جدید بسیاری در ریاضیات می‌انجامد. اعداد مختلط، همچنین، بسیاری از رابطه‌های فیزیک را ساده می‌کنند. همان‌طور که در فصل ۶ خواهیم دید، اعداد مختلط در فرمولبندی مکانیک کوانتومی ضروری هستند. رابطه (۱۸-۱) نتیجه‌ای است که از آن استفاده بسیار خواهیم کرد.

۴-۱ تابع دلتای دیراک

بگذارید ابتدا درکی شهودی از «تابع» دلتای دیراک به کمک شبیه‌سازی آن با دنباله‌ها به دست آوریم، و سپس با استفاده از نظریه توابع تعمیم‌یافته به صورت دقیق به آن بپردازیم. از مقدمه به خاطر داریم که سروکارمان با تابعی نوک‌تیز به شکل $\delta(x-a)$ است، که نوک تیز آن در a است. خواص

$\delta(x - a)$ را می‌توان به صورت زیر خلاصه کرد:

$$\int_{-\infty}^{\infty} F(x)\delta(x - a)dx = F(a) \quad (۱۹-۱ \text{ الف})$$

$$\int_{-\infty}^{\infty} \delta(x - a)dx = 1 \quad (۱۹-۱ \text{ ب})$$

$$\delta(x - a) = 0 \quad \text{اگر } x \neq a \quad (۱۹-۱ \text{ ج})$$

که در اینجا $F(x)$ یک تابع مناسب است.

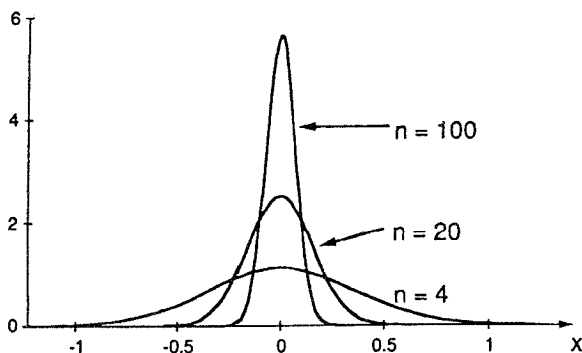
اگر چه $\delta(x)$ یک تابع به معنای متعارف نیست، اما رفتار آن را می‌توان با دنباله‌ای از توابع نمایش داد. با قراردادن عدد صحیح n به جای a در (۱۹-۱) و $g_n(x)$ را به ازای $n = 0, 1, 2, \dots$ به دست می‌آوریم:

$$g_n(x) = \sqrt{\frac{n}{\pi}} e^{-nx^2} \quad (۲۰-۱)$$

باید انتگرال زیر را بررسی کنیم

$$\int_{-\infty}^{\infty} g_n(x)F(x)dx \quad \text{در حد } n \rightarrow \infty$$

در شکل ۲-۱ رفتار $g_n(x)$ را برحسب δx با افزایش n نشان می‌دهیم. بدیهی است که $g_n(x)$ بلندتر و جایگزیده‌تر می‌شود. اما مساحت زیرمنحنی («قدرت» تابع) ثابت باقی می‌ماند.



شکل ۲-۱ با افزایش n تابع گاوسی بسرعت تابعی نوکتیز خواهد شد. این تابع، «تابع دلتای دیراک» را شبیه‌سازی می‌کند. مساحت زیر همه منحنی‌ها برابر واحد است.

چون به ازای n بزرگ، $g_n(x)$ نوک تیزی در $x = 0$ دارد، همه انتگرال مربوط به حوالی $x = 0$ است. می توانیم فرض کنیم که $F(x)$ دارای مقدار ثابت $F(0)$ در این حوالی است. بدین ترتیب، داریم:

$$\lim_{n \rightarrow \infty} \int_{-\infty}^{\infty} g_n(x) F(x) dx \cong \int_{-\infty}^{\infty} F(0) g_n(x) dx = F(0) \int_{-\infty}^{\infty} g_n(x) dx = F(0)$$

که در تساوی آخر از (۶-۱) استفاده کرده ایم:

در رهیافت دقیق از دنباله منظم توابع مناسب استفاده می کنیم طبق تعریف، دنباله ای از توابع مناسب $f_n(x)$ هنگامی منظم است که به ازای هر تابع مناسب $F(x)$

$$\lim_{n \rightarrow \infty} \int_{-\infty}^{\infty} f_n(x) F(x) dx$$

موجود باشد. دو دنباله منظم توابع مناسب هم ارز خوانده می شوند اگر حد این دو دنباله یکسان باشد. برای مثال دنباله های e^{-x^2/n^2} و $e^{-x^2/4n}$ هم ارزند. بالاخره، تابع تعمیم یافته $f(x)$ ، طبق تعریف دنباله منظم $f_n(x)$ از توابع مناسب است، و دو تابع تعمیم یافته را مساوی خوانند اگر دنباله های آنها هم ارز باشند. بدین ترتیب، تابع تعمیم یافته $f(x)$ را چنین می نویسیم:

$$\int_{-\infty}^{\infty} f(x) F(x) dx = \lim_{n \rightarrow \infty} \int_{-\infty}^{\infty} f_n(x) F(x) dx \quad (21-1)$$

بسیاری از توابع معمولی، $f_{or}(x)$ ، را می توان توابع تعمیم یافته در نظر گرفت. تنها شرط لازم این است که لااقل یک دنباله منظم از توابع مناسب $f_n(x)$ موجود باشد که برای آن

$$\lim_{n \rightarrow \infty} \int_{-\infty}^{\infty} f_n(x) F(x) dx = \int_{-\infty}^{\infty} f_{or}(x) F(x) dx \quad (22-1)$$

می توان نشان داد که اگر $f_{or}(x)$ چنان باشد که $(1+x^2)^{-N} f_{or}(x)$ در گستره $-\infty$ تا ∞ به ازای یک N مطلقاً انتگرال پذیر باشد، آنگاه دنباله منظم $f_n(x)$ را می توان ساخت. [معادله (22-1) حیطه نظریه توابع تعمیم یافته را بسیار گسترش می دهد.

حال، ثابت می کنیم که دنباله های هم ارز $g_n(x)$ ، رک (۲۰-۱)، تابع تعمیم یافته $\delta(x)$ را چنان تعریف می کنند که

$$\int_{-\infty}^{\infty} \delta(x) F(x) dx \equiv \lim_{n \rightarrow \infty} \int_{-\infty}^{\infty} g_n(x) F(x) dx = F(0) \quad (23-1)$$

اثبات. به ازای هر تابع مناسب $F(x)$

$$\left| \int_{-\infty}^{\infty} \left(\frac{n}{\pi}\right)^{\frac{1}{2}} e^{-nx^2} F(x) dx - F(0) \right| = \left| \int_{-\infty}^{\infty} \left(\frac{n}{\pi}\right)^{\frac{1}{2}} e^{-nx^2} [F(x) - F(0)] dx \right|$$

$$\leq |F'(x)|_{\max} \int_{-\infty}^{\infty} \left(\frac{n}{\pi}\right)^{\frac{1}{2}} e^{-nx^2} |x| dx$$

$$= |F'(x)|_{\max} (n\pi)^{-\frac{1}{2}} \rightarrow 0 \quad \text{که وقتی } n \rightarrow \infty$$

در اینجا فرض کردیم که $|F(x) - F(0)|$ همواره کمتر از بیشینه مشتق در گستره $-\infty > x > \infty$ ضربدر $|x|$ ، $|F'(x)|_{\max}|x|$ ، است.

۵-۱ آنالیز فوریه

در بخش ۱-۱ نشان دادیم که آنالیز فوریه به تجزیهٔ توابع به «امواج» مجزا، یعنی مؤلفه‌های دوره‌ای، مربوط می‌شود. در فیزیک کلاسیک، یعنی فیزیکی که قبل از پیدایش مکانیک کوانتومی فرمولبندی شد، پدیده‌های فیزیکی به دو دستهٔ ذره‌ای و موجی تقسیم می‌شدند. فصلهای ۳ تا ۵ به امواج، چنانکه در فیزیک کلاسیک می‌آیند، می‌پردازد. آنالیز فوریه همواره ابزاری برای کار با این امواج بوده است. فصل ۶ با شرح مکانیک کوانتومی آغاز می‌شود: که در آن جنبه‌های ذره‌ای و موجی را می‌توان به یک پدیده نسبت داد. اینجاست که آنالیز فوریه کلید درک این همزادی است.

برای سیستمی که مرزهایش در بینهایت است، باید بینهایت طول موج ممکن را در نظر بگیریم. تابع مناسب $F(x)$ ، $-\infty > x > \infty$ ، را با انتگرالی روی تمام مقادیر عدد موج k نشان می‌دهیم:

$$F(x) = \frac{1}{\sqrt{2\pi}} \int_{-\infty}^{\infty} A(k) e^{ikx} dk \quad (24-1)$$

برای راحتی کار از e^{ikx} به جای تجزیه آن به سینوس و کسینوس استفاده می‌کنیم. اگر ضرایب $A(k)$ را نیز مختلط در نظر بگیریم، کلی‌ترین حالت را خواهیم داشت زیرا $A(k)$ حاوی فاز نیز خواهد بود. $F(x)$ ممکن است حقیقی یا مختلط باشد. این مطالب را با جزئیات بیشتری در مسائل آخر فصل بررسی می‌کنیم. در آنجا در خواهیم یافت که اگر مثلاً، $F(x)$ تابعی حقیقی و زوج از x باشد، نمایش فوریه (۲۴-۱) فقط شامل جمله‌های $\cos(kx)$ و ضرایب فوریه حقیقی

$A(k)$ خواهد بود. خاطر نشان می‌کنیم که مقادیر $|A(k)|$ معیار اهمیت نسبی مؤلفه‌های مختلف موج، $\frac{1}{\sqrt{2\pi}}e^{ikx}$ ، در تابع مورد نظر $F(x)$ هستند.

رابطه (۲۴-۱) فقط هنگامی مفید است که راهی برای یافتن $A(k)$ به ازای هر تابع $F(x)$ وجود داشته باشد. وقتی $A(k)$ به دست آمد، آن را تبدیل فوریه $F(x)$ نامند. تابعی وجود دارد که تبدیل فوریه آن را می‌توانیم با معلومات کنونی خود بیابیم. از رابطه (۱۸-۱) می‌توانیم تبدیل فوریه تابع دلتای دیراک را به دست آوریم. با این نمایش فوریه می‌توانیم رابطه (۲۴-۱) را برای $A(k)$ حل کنیم و تبدیل فوریه هر تابع مناسب $F(x)$ را به دست آوریم.

با قرار دادن $1/(4n)$ به جای a ، n بازهم عددی صحیح است، و تعویض نقشهای k و x در (۱۸-۱)، داریم

$$g_n(x) = \sqrt{\frac{n}{\pi}} e^{-nx^2} = \frac{1}{\sqrt{2\pi}} \int_{-\infty}^{\infty} e^{ikx} e^{-\frac{k^2}{n}} dk \quad (25-1)$$

حال می‌نویسیم

$$g_n(x) = \frac{1}{\sqrt{2\pi}} \int_{-\infty}^{\infty} b_n(k) e^{ikx} dk \quad (26-1 \text{ الف})$$

رابطه (۲۶-۱ الف) به همان شکل رابطه (۲۴-۱) است و تبدیل فوریه مطلوب، $b_n(k)$ ، از رابطه زیر به دست می‌آید

$$b_n(k) = \frac{1}{\sqrt{2\pi}} e^{-\frac{k^2}{n}} \quad (26-1 \text{ ب})$$

اکنون، فرض کنید که تابع تعمیم‌یافته دلخواه $f(x)$ با دنباله $f_n(x)$ داده شود، که هر عضو از دنباله دارای نمایش فوریه زیر است

$$f_n(x) = \frac{1}{\sqrt{2\pi}} \int_{-\infty}^{\infty} a_n(k) e^{ikx} dk \quad (27-1 \text{ الف})$$

در این صورت می‌توان نشان داد که تبدیل فوریه همه دنباله‌های هم‌ارز $f_n(x)$ ، یعنی $a_n(k)$ ، نیز همگی دنباله‌های هم‌ارز و منظم توابع مناسب هستند. فرض کنید $a(k)$ تابع تعمیم‌یافته‌ای برابر با دنباله‌های $a_n(k)$ باشد. یعنی، با استفاده از (۲۱-۱)

$$\int_{-\infty}^{\infty} a(k) F(k) dk = \lim_{n \rightarrow \infty} \int_{-\infty}^{\infty} a_n(k) F(k) dk \quad (27-1 \text{ ب})$$

در اینجا $a(k)$ تعریف تبدیل فوریه تابع تعمیم‌یافته $f(x)$ خواهد بود.

اگر به دنباله‌های تبدیل فوریه‌ای $g_n(x)$ ، یعنی همان دنباله‌های $b_n(k)$ ، بازگردیم، حد بدیهی زیر را خواهیم داشت.

$$\lim_{n \rightarrow \infty} \int_{-\infty}^{\infty} e^{-\frac{k^2}{n}} F(k) dk = \int_{-\infty}^{\infty} F(k) dk \quad (الف-۲۸-۱)$$

بنابراین می‌توانیم بنویسیم

$$\int_{-\infty}^{\infty} \left(\frac{1}{\sqrt{2\pi}} \right) F(k) dk = \lim_{n \rightarrow \infty} \int_{-\infty}^{\infty} b_n(k) F(k) dk \quad (ب-۲۸-۱)$$

از (الف-۲۶-۱)، (ب-۲۷-۱)، و (ب-۲۸-۱) نتیجه می‌شود که

تبدیل فوریه $\delta(x)$ عبارت است از $b(k) = 1/\sqrt{2\pi}$ و $\delta(x)$ هر دو از توابع تعمیم‌یافته هستند

چگونه می‌توانیم به این نکته پی ببریم که تبدیل فوریه تابع دلتا عددی ثابت است؟ اگر $A(k)$ در (۲۴-۱) مقداری ثابت باشد در این صورت تمام امواج در $x = 0$ همفاز خواهند بود و در آنجا انباشته می‌شوند، و مقداری را که به بینهایت میل می‌کند خواهیم داشت. اگر $x \neq 0$ ، آنگاه اگر چه برخی امواج مانند $(\cos kx + i \sin kx)$ ، مثلاً در نقطه x دارای قسمت حقیقی و مجازی مثبت هستند، اما سهم آنها به وسیله امواجی که دارای عدد موج $(k \pm \pi/x)$ هستند خنثی خواهد شد. نتیجه نهایی آن است که جمع همه امواج با دامنه‌های تقریباً مساوی در نهایت بجز در نقطه $x = 0$ که در آن بینهایت بزرگ می‌شود، به صفر میل خواهد کرد. در تمرینها از خواننده خواسته‌ایم که نشان دهد که سهم قسمت مجازی انتگرالی که $\delta(x)$ را تعیین می‌کند، به خاطر تقارن صفر است. در حالت کلی، مدل یافتن $A(k)$ ، یعنی معکوس (۲۴-۱)، روش تصویر کردن بردار F به منظور یافتن هر مؤلفه مورد نظر است. هر بردار دلخواه F را می‌توان در دستگاه سه‌بعدی نकारتی برحسب سه بردار یک‌تایی متقابلاً متعامد v_1, v_2, v_3 (به جای i, j, k) نشان داد:

$$F = A_1 v_1 + A_2 v_2 + A_3 v_3 \quad (۲۹-۱)$$

به همراه

$$v_i \cdot v_j = \delta_{ij} \quad i, j = 1, 2, 3 \quad (۳۰-۱)$$

نمادی که در طرف راست (۳۰-۱) آمده است، دلتای کرونکر δ_{ij} نام دارد. مقدار آن برای $i = j$ واحد و برای $i \neq j$ صفر است. بدین ترتیب رابطه (۳۰-۱) بیانگر راست‌هنجاری بردارهای پایه

v_1, v_2, v_3 است. برای یافتن یکی از مؤلفه‌ها در (۲۹-۱)، مثلاً A_i ، ضرب برداری نقطه‌ای دوطرف رابطه را با v_i می‌گیریم. این روش، مؤلفه مطلوب F را از راه تصویر کردن بردار، به دست می‌دهد. برای مثال، ضرب نقطه‌ای با v_1 می‌دهد

$$v_1 \cdot F = A_1 v_1 \cdot v_1 + A_2 v_1 \cdot v_2 + A_3 v_1 \cdot v_3$$

با استفاده از (۳۰-۱) داریم،

$$A_1 = v_1 \cdot F \quad (۳۱-۱)$$

اثبات اینکه هر تابع مناسب $F(x)$ را می‌توان بدون خطا با نمایش فوری‌ای مانند (۲۴-۱) نشان داد دشوار نیست (مسئله ۱۹):

$$F(x) = \frac{1}{\sqrt{2\pi}} \int_{-\infty}^{\infty} A(k) e^{ikx} dk \quad (۲۴-۱)$$

در بخش ۱-۱ خاطر نشان کردیم که این نمایش را می‌توان با بسط هر بردار F در مبنای v_1, v_2, v_3 (۲۹-۱) مقایسه کرد. توابع $e^{ikx}/\sqrt{2\pi}$ ، $-\infty < k < \infty$ ، پایه یا مجموعه‌ای کامل را برای توابع مناسب تشکیل می‌دهند.

اینک می‌خواهیم راست‌هنجاری این مجموعه پایه از توابع را ثابت کنیم. برای این منظور (۲۵-۱) را دوباره می‌نویسیم، این بار، x را با $(k - k')$ و k را با x جایگزین می‌کنیم. داریم،

$$\frac{1}{2\pi} \int_{-\infty}^{\infty} e^{i(k-k')x} e^{-\frac{x^2}{2a}} dx = g_n(k - k')$$

با دو تعریف زیر

$$u_k(x) \equiv \frac{e^{ikx}}{\sqrt{2\pi}} \quad u_{k'}^*(x) \equiv \frac{e^{ik'x}}{\sqrt{2\pi}} \quad (۳۲-۱ \text{ الف})$$

داریم

$$\int u_{k'}^*(x) u_k(x) e^{-\frac{x^2}{2a}} dx = g_n(k - k') \quad (۳۲-۱ \text{ ب})$$

که با در نظر گرفتن (۲۳-۱)، در می‌یابیم که $g_n(k - k')$ دنباله‌ای است برابر با $\delta(k - k')$.

در حد $n \rightarrow \infty$ ، رابطه (۱-۳۲) به شرط راست هنجاری برای $u_k(x)$ و $u_{k'}(x)$ بدل می‌شود. همان‌طور که در بخش ۱-۱ گفته شد، این شرط شامل «یافتن انتگرال همپوش» یکی از توابع و مزدوج همیوغ تابع دیگر است. رابطه (۱-۳۲) برای امواجی نمایی، مانند رابطه راست هنجاری بردارهای پایه است. تابع دلتای دیراک، $\delta(k - k')$ ، که با دنباله $g_n(k - k')$ برابر است، جایگزین دلتای کرونکر δ_{ij} ، در (۱-۳۰) می‌شود. شباهت دو شرط را می‌توان با مقایسه خواص دو نوع تابع دلتا دید:

$$\int_{-\infty}^{\infty} \delta(k - k') dk' = 1 \quad \text{با} \quad \delta_{ij} = 1 \quad i = j$$

$$\delta(k - k') = 0 \quad \text{اگر} \quad k \neq k' \quad \text{با} \quad \delta_{ij} = 0 \quad i \neq j$$

باز هم اگر $k = k'$ باشد دو موج در (۱-۳۲) همه‌جا با یکدیگر هم‌فازند و انتگرال همپوش آنها در حد $n \rightarrow \infty$ به ∞ میل خواهد کرد. اگر $k \neq k'$ باشد دارای یک فاز نسبی $(k - k')x$ هستیم که با k' تغییر می‌کند و به حذف کلی می‌انجامد.

ضریب $e^{-x^2/\epsilon n}$ یا عضوی از دنباله هم‌ارز دیگر، رهنمودی برای انتگرال‌گیری (۱-۳۲) فراهم می‌سازد، و هنگامی که n به بینهایت میل می‌کند، بخشی از تعریف راست هنجاری امواج نمایی است. بدون این ضریب انتگرال معین نخواهد بود؛ خواننده می‌تواند به سادگی بررسی کند که با گسترش دامنه انتگرال‌گیری، هیچ حدی به وجود نمی‌آید. همان‌طور که در بخش ۱-۱ اشاره کردیم، نیاز به تعریف ریاضی، دارای یک هم‌تای فیزیکی است. ضریب $e^{-x^2/\epsilon n}$ در حد $n \rightarrow \infty$ نشان می‌دهد که مؤلفه‌های موج هم آغاز و پایانی دارند. هر یک از امواج به صورت $e^{-x^2/\epsilon n}$ به تدریج از بین می‌روند (در عمل، آنها یا جذب می‌شوند، یا اینکه منتظر بازگشت بازتابهای آنها نمی‌شویم).

پس از تصویر کردن بردارها، دو طرف رابطه (۱-۲۴) را در $1/\sqrt{2\pi} e^{-ik'x}$ و $e^{-x^2/\epsilon n}$ ضرب می‌کنیم و روی تمام x ها انتگرال می‌گیریم:

$$\begin{aligned} & \frac{1}{\sqrt{2\pi}} \int_{-\infty}^{\infty} e^{-ik'x} e^{-\frac{x^2}{\epsilon n}} F(x) dx \\ &= \frac{1}{\sqrt{2\pi}} \int_{-\infty}^{\infty} e^{-ik'x} e^{-\frac{x^2}{\epsilon n}} \left[\int_{-\infty}^{\infty} A(k) e^{ikx} dk \right] dx \end{aligned}$$

ترتیب انتگرال‌گیری را در طرف راست عوض می‌کنیم (این روش را در مورد توابع مناسب می‌توان

توجیه کرد):

$$\frac{1}{\sqrt{2\pi}} \int_{-\infty}^{\infty} e^{-ik'x} e^{-\frac{\pi^2}{n}} F(x) dx$$

$$= \frac{1}{\sqrt{2\pi}} \int_{-\infty}^{\infty} A(k) \left[\int_{-\infty}^{\infty} e^{i(k-k')x} e^{-\frac{\pi^2}{n}} dx \right] dk$$

به علاوه، اگر طرف راست را اول بنویسیم و رابطه را با استفاده از (۳۲-۱) ساده کنیم، داریم:

$$\int_{-\infty}^{\infty} g_n(k-k') A(k) dk = \frac{1}{\sqrt{2\pi}} \int_{-\infty}^{\infty} F(x) e^{-ik'x} e^{-\frac{\pi^2}{n}} dx$$

حال، اگر حد $n \rightarrow \infty$ را در نظر بگیریم، می‌توانیم از (۳۲-۱) برای ساده کردن طرف چپ استفاده کنیم. طرف راست نیز با به‌کار بردن (۱-۲۸الف) ساده می‌شود. نتیجه عبارت است از

	اگر
$F(x) = \frac{1}{\sqrt{2\pi}} \int_{-\infty}^{\infty} A(k) e^{ikx} dk$	(۲۴-۱)
	پس
$A(k') = \frac{1}{\sqrt{2\pi}} \int_{-\infty}^{\infty} F(x) e^{-ik'x} dx$	(۳۳-۱)

رابطه (۳۳-۱) تبدیل فوریه مورد نظر برای رابطه (۲۴-۱) است. دو معادله را برای مقایسه در کنار یکدیگر گذاشته‌ایم. اگر چه این دو رابطه شبیه به یکدیگر به نظر می‌رسند، ولی در واقع بجز برای یک علامت منفی دارای ارتباطی دوجانبه هستند، با وجود این بد نیست در ابتدا آنها را با دو تعبیر کاملاً متفاوت معنی کنیم. معادله (۱-۲۴) نمایش فوریه تابع معلوم $F(x)$ است، یعنی $F(x)$ را به صورت جمع روی توابع پایه $1/\sqrt{2\pi} e^{ikx}$ با دامنه‌های مختلط $A(k)$ نشان می‌دهد. رابطه (۳۳-۱)، یعنی تبدیل فوریه، چگونگی یافتن این دامنه‌ها، $A(k)$ ، را با داشتن $F(x)$ مشخص می‌کند. توجه کنید که (۳۳-۱) مشابه رابطه (۳۱-۱) است که مؤلفه مورد نظر بردار را با تصویر کردن آن به دست می‌دهد. رابطه (۳۳-۱) مؤلفه تابع پایه‌ای مطلوب را به دست می‌آورد.

به این شکل، نشان دادیم که (۲۴-۱) و (۳۳-۱) برای توابع مناسب معتبر هستند. بنابراین، آنها را می‌توان برای دنباله‌های مناسب $f_n(x)$ و $a_n(k)$ هم که به ترتیب مساوی با توابع تعمیم‌یافته $f(x)$ و $a(k)$ هستند به‌کار بست. به‌طور خلاصه:

اگر

$$f_n(x) = \frac{1}{\sqrt{2\pi}} \int_{-\infty}^{\infty} a_n(k) e^{ikx} dk \quad (1-27 \text{ الف})$$

پس

$$a_n(k') = \frac{1}{\sqrt{2\pi}} \int_{-\infty}^{\infty} f_n(x) e^{-ik'x} dx \quad (1-34)$$

و برای یادآوری تعریف $f(x)$ و $a(k)$ را نیز می‌آوریم:

$$\int_{-\infty}^{\infty} f(x) F(x) dx \cong \lim_{n \rightarrow \infty} \int_{-\infty}^{\infty} f_n(x) F(x) dx \quad (1-21)$$

$$\int_{-\infty}^{\infty} a(k) F(k) dk \cong \lim_{n \rightarrow \infty} \int_{-\infty}^{\infty} a_n(k) F(k) dk \quad (1-27 \text{ ب})$$

همان‌طور که قبلاً گفتیم، دنباله‌های $a_n(k)$ در صورتی که دنباله‌های $f_n(x)$ هم‌ارز باشند، معادل‌اند. و تابع تعمیم‌یافته $a(k)$ ، طبق تعریف، تبدیل فوریه تابع تعمیم‌یافته $f(x)$ است. به همراه (۱-۲۲) دیدیم که گروه وسیعی از توابع را می‌توان توابع تعمیم‌یافته در نظر گرفت. ترکیب توابع مناسب و تمام توابع تعمیم‌یافته شامل همه توابعی هستند که فیزیکدان نظری ممکن است به نمایش فوریه آنها نیاز داشته باشند.

خواننده ممکن است از خود بپرسد که آیا ارزیابی توابع $A(k)$ به وسیله (۱-۳۳) یا (۱-۳۴) همیشه کار ساده‌ای است؟ در عمل، اوضاع چندان پیچیده نیست. به غیر از تابع دلتای دیراک دو تابع دیگر وجود دارند که اغلب به آنها بیش از آنالیز فوریه‌شان نیاز پیدا می‌کنیم. این توابع عبارت‌اند از گاوسی و «موج مربعی». قبلاً در (۱-۱۸ و ۱-۲۵) نمایش گاوسی را دیدیم. آنالیز فوریه تابع گاوسی خود یک تابع گاوسی است. نتیجه‌ای که به خوبی شناخته شده است. «موج مربعی» را در مثالهای ۱-۱ و ۱-۲ تحلیل کردیم. برخی تبدیلهای ساده دیگر را در مثالها و مسائل خواهیم دید. بسیاری از تبدیلهای را می‌توان در جداول منتشر شده یافت. برخی از این تبدیلهای نظریه متغیرهای مختلط به دست آمده‌اند. یک رهیافت متفاوت استفاده از روشهای عددی معمولاً، استفاده از رایانه، است. خواننده نمونه این موارد

۱. تبدیل فوریه بسیاری از توابع که توابع معمولی هستند را می‌توان توابع تعمیم‌یافته در نظر گرفت و مستقیماً از رابطه (۱-۳۳) برای توزیع مناسب به دست آورد. اما، به هرحال گاهی باید دنباله مناسبی را بیابیم که در (۱-۲۲) صدق کند. نگاه کنید به مثال ۲.

را در مثال ۱-۲، و یک مسئله رایانه‌ای به‌عنوان تمرین آزمایشگاهی در انتهای بخش خواهد یافت.

مثال ۱-۱

تبدیل فوریۀ تابع موجِ مربعی $F(x)$ را که با

$$F(x) = 0 \quad x \geq a, x \leq -a$$

$$F(x) = v \quad a > x > -a$$

تعریف می‌شود به‌دست آورید و دربارهٔ نتیجه آن بحث کنید.

حل: نمایش فوریۀ برای توابع مناسب با رابطهٔ (۲۴-۱) داده می‌شود، e^{ikx} را در (۲۴-۱) بسط می‌دهیم. [بحث در این مورد را که $F(x)$ تابعی مناسب نیست، بلکه «تابعی معمولی است که می‌توان آن را تابع تعمیم‌یافته تلقی کرد»، به انتهای مثال ۱-۲ ماکول می‌کنیم.] داریم:

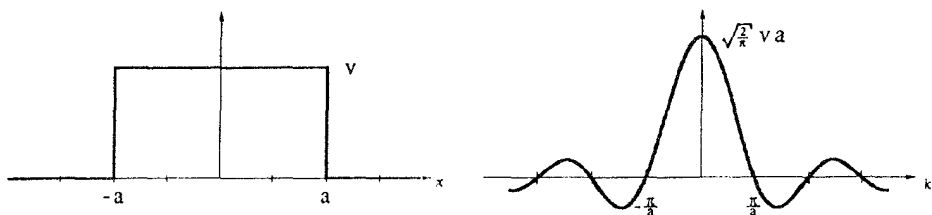
$$A(k) = \frac{1}{\sqrt{2\pi}} \int_{-\infty}^{\infty} (\cos kx - i \sin kx) F(x) dx$$

بار دیگر، چون $F(x)$ نسبت به x زوج و $\sin kx$ فرد است، انتگرال $\int_{-\infty}^{\infty} \sin(kx) \times F(x) dx$ صفر می‌شود.

حال، با استفادهٔ مستقیم از تعریف $F(x)$ ، می‌توانیم بنویسیم

$$\begin{aligned} A(k) &= \frac{1}{\sqrt{2\pi}} \int_{-\infty}^{\infty} F(x) \cos kx dx \\ &= \frac{v}{\sqrt{2\pi}} \int_{-a}^a \cos kx dx \\ &= \frac{v}{\sqrt{2\pi}} \frac{[\sin ka - \sin(-ka)]}{k} \\ &= \frac{\sqrt{2}v}{\sqrt{\pi}k} \sin(ka) \end{aligned}$$

باید دربارهٔ این نتیجه بحث کنیم: ابتدا متوجه می‌شویم که $A(k)$ تابعی زوج از k است. این نکته ما را مجاز می‌دارد تا سهم $+k$ و $-k$ را در انتگرال، با هم در نمایش فوریۀ اولیه (۲۴-۱)



شکل ۳-۱ موج مربعی و تبدیل فوریه‌اش، مثال ۱-۱.

منظور کنیم، و نمایشی جدیدی را که برای همهٔ توابع زوج معتبر است بنویسیم:

$$F(x) = \sqrt{\frac{2}{\pi}} \int_0^{\infty} A(k) \cos kx dk$$

که در آن از تساوی $e^{ikx} + e^{-ikx} = 2 \cos kx$ استفاده کرده‌ایم.

حال اگر به نتیجه‌ای که برای $A(k)$ به دست آمد پردازیم و از خود بپرسیم که در چه مقادیری از k انتظار داریم ضریب $A(k)$ بارزتر از جاهای دیگر باشد، ممکن است حدس بزنیم که جواب، در مجاورت $k = \pi/2a$ باشد، زیرا حلقهٔ مرکزی $\cos \pi x/2a$ بیش از همه شبیه تابع مورد نظر ماست و می‌توان انتظار داشت که بیشترین انتگرال همپوش را با آن داشته باشد. در حالت کلی، طول موجهای بلند ($ka \ll 1$) نمایش صحیح یک تابع را در بلند-برد تضمین می‌کند، و طول موجهای کوتاه، به نمایش تغییرات سریع تابع می‌پردازند. با این تذکره که

$$\lim_{k \rightarrow 0} \sin \frac{ka}{k} = a$$

مشاهده می‌کنیم که در مورد فعلی (شکل ۳-۱)، در گسترهٔ

$$\frac{\pi}{a} \gtrsim |k| > 0$$

بیشترین سهم را در تبدیل فوریه به دست می‌آوریم.

برای مقادیر بزرگ $|k|$ ، $A(k)$ به آرامی به صفر میل می‌کند. طول موجهای خیلی کوتاه برای ایجاد لبه‌های کاملاً تیز در $x = \pm a$ ضروری هستند (همان‌طور که در مثال بعد ثابت خواهیم کرد).

بالاخره، متوجه می‌شویم که $1/a \approx \Delta k$ گستره‌ای از k است که در آن مهمترین مؤلفه‌های

فوریه را به دست می‌آوریم، و $\Delta x \approx a$ گسترهٔ تابع اولیه است، بنابراین

$$\Delta x \Delta k \approx 1$$

این مهمترین نتیجه‌ای است که می‌توان آن را به هر تابع و تبدیل فوریه‌اش تعمیم داد. گسترش زیاد در فضای معمولی به گستردگی کم در «فضای k » می‌انجامد و برعکس. بعداً، این نتیجه را به صورت دقیق‌تر در مورد تابع گاوسی ثابت خواهیم کرد.

مثال ۲-۱

با استفاده از رایانه نشان دهید که نمایش کسینوسی فوریه با $\sqrt{2/\pi}(\sin k)/k$ ، یک موج مربعی می‌دهد که از $x = -1$ تا $x = +1$ با ارتفاع واحد گسترش یافته است. سهم طول موجهای کوتاه را به صراحت نشان دهید.

حل: با توجه به مثال ۱-۱

$$F(x) = \sqrt{\frac{2}{\pi}} \int_0^{\infty} A(k) \cos kx dk$$

$$= \frac{2}{\pi} \int_0^{\infty} \frac{\sin k}{k} \cos kx dk \cong I_1 + I_2$$

که در اینجا I_1 را سهم اصلی حاصل از انتگرال‌گیری تا $k = 3\pi/4$ و I_2 را سهم طول موجهای کم با عدد موج بزرگ، مثلاً 32π گرفته‌ایم. داریم

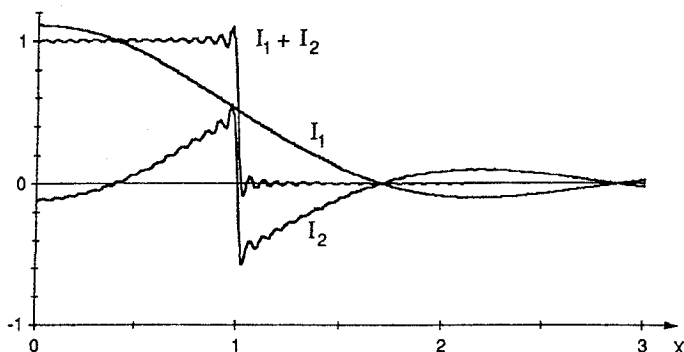
$$I_1 \equiv \frac{2}{\pi} \int_0^{3\pi/4} \frac{\sin k}{k} \cos kx dk$$

$$I_2 = \frac{2}{\pi} \int_{3\pi/4}^{\infty} \frac{\sin k}{k} \cos kx dk$$

به صورت عددی δk را برابر 0.5° می‌گیریم و توجه می‌کنیم که $47,124 = (3\pi/4) / 0.5^\circ$. سپس I_1 و I_2 را در نقاط $x = 0.1m^\circ$ ، $m = 0, 1, 2, \dots, 300$ ارزیابی می‌کنیم، حد n به صورت زیر در مجموعیابی تعریف شده است:

$$I_1 = \frac{2 \times 0.5^\circ}{\pi} \left[\frac{1}{2} + \sum_{n=1}^{47} \frac{\sin(0.5^\circ \Delta n)}{0.5^\circ \Delta n} \cos(0.5^\circ \Delta n x) \right]$$

$$I_2 = \frac{2 \times 0.5^\circ}{\pi} \left[\sum_{n=48}^{201} \frac{\sin(0.5^\circ \Delta n)}{0.5^\circ \Delta n} \cos(0.5^\circ \Delta n x) \right]$$



شکل ۴-۱ ترکیب فوریه‌ای تابع موج مربعی به‌ازای $x > 0$. سهم اصلی، I_1 ، ناشی از گستره $0 < k < 3\pi/4$ است. سهم I_2 طول موجهای کوچک در گستره $3\pi/4 < k < 3/2\pi$ و نیز نشان داده شده‌اند. نوسانهای سریع ناشی از پدیده گیبس است، مثال ۲-۱.

شکل ۴-۱، I_1 و $(I_1 + I_2)$ را برحسب x به‌ازای $x > 0$ ، نشان می‌دهد. متوجه می‌شویم که I_1 به‌راستی نمایش موج مربعی هموار شده است. قسمت تیز موج مربعی ناشی از سهم I_2 است.

افت ناگهانی $F(x)$ در $x = 1$ سبب نوسانهای سریع در نمایش فوریه در این نقطه می‌شود. طول موج مشخصه این نوسانها، λ ، در حدود $2\pi/k$ است که k بزرگترین k (عدد موج قطع) در محاسبات عددی ماست. اگر می‌توانستیم k را تا بینهایت افزایش دهیم، این نوسانها کاملاً از بین نمی‌رفتند، بلکه به نوسانهایی با پهنای صفر و دامنه‌ای کوچک در مقادیر تابع، $F = 1$ و $F = 0$ ، در $x = 1$ (و در $x = -1$) تبدیل می‌شدند. این نوسانها هرگاه که تابع مورد نظر دارای شیب بینهایت باشد رخ می‌دهد و به پدیده گیبس معروف است.

چند نکته را درباره این پدیده خاطر نشان می‌کنیم. چون این نوسانها دارای ارتفاعی متناهی و پهنای صفر هستند، در صورتی که تابع مورد نظر به صورت ضریب در انتگرال نشان داده شود، اثری بر انتگرال نخواهد داشت.

دوم اینکه، اگر $F(x)$ را به عنوان تابعی تعمیم‌یافته در نظر بگیریم، از این پدیده اجتناب خواهد شد، یعنی $F(x)$ را «برابر» با دنباله $f_n(x)$ بگیریم، که ناپوستگیهای $f_n(x)$ در $x = \pm 1$ را بر روی گستره‌ای به پهنای $1/n$ «بخش کند». تنها شرط باقی‌مانده این است که در نمایش فوریه f_n ، عدد موج قطع k در رابطه $n \gg k$ صدق کند.

بالاخره، صورت تحلیلی $A(k)$ که در مثال ۱-۱ به‌دست آمد، به همان نتیجه نهایی انتگرالهای آزمون که تبدیل تعمیم‌یافته (۱-۲۷) را تعریف می‌کند، می‌انجامد که روش یافتن $a_n(k)$ در حد $n \rightarrow \infty$ است. بدین ترتیب، تبدیل فوریه «تابعی معمولی که بتوان

آن را تابعی تعمیم یافته تلقی کرد»، با وجود اینکه خود تابعی مناسب نیست، اما غالباً می توان آن را مستقیماً با استفاده از (۳۳-۱) به دست آورد (زیرنویس بخش قبل)، اگر چه در این مورد مشکلاتی مختصر به وجود می آید. نتایج مستقیم مانند صورت تحلیلی $A(k)$ در اینجا، یا نتایجی که در مسائل ۱-۱۱ تا ۱-۱۳ ج آمده اند، معمولاً در محاسبات فیزیکی به کار گرفته می شوند. اما اگر برای مثال، مشتقات تابع ناپیوسته (چند جمله ایهای توابع تبدیل) در میان باشد، مسلماً به تمام نظریه توابع تعمیم یافته نیاز خواهیم داشت.

مثال ۳-۱

تابع دلتا دارای ویژگی راست هنجاری، مشابه با رابطه (۳۲-۱) برای توابع $u_k(x)$ است، یعنی

$$\int_{-\infty}^{\infty} \delta(x-a)\delta(x-b)dx = \delta(a-b)$$

با استفاده از نظریه توابع تعمیم یافته اثبات صوری این نتیجه شهودی را فراهم آورید. (در بستر مکانیک کوانتومی (فصل ۶)، این ویژگی به جای (۱۹-۱) متضمن «بهنجارش» تابع دلتاست.)

حل: روابط (۲۱-۱) و (۳۲-۱) نشان می دهند که برای طرف چپ رابطه بالا باید حد $l \rightarrow \infty$ ، $m \rightarrow \infty$ و $n \rightarrow \infty$ را برای I_{lmn} در نظر بگیریم که

$$I_{lmn} = \int_{-\infty}^{\infty} e^{-\frac{x^2}{l}} g_m(x-a)g_n(x-b)dx$$

با نمایش فوریه $g_m(x-a)$ و $g_n(x-b)$ به شکل (۲۶-۱) و با عوض کردن ترتیب انتگرال گیری، داریم

$$\begin{aligned} (2\pi)^2 I_{lmn} &= \\ & \int_{-\infty}^{\infty} \int_{-\infty}^{\infty} \int_{-\infty}^{\infty} \left[e^{-\frac{x^2}{l}} e^{ik_1(x-a)} e^{ik_2(x-b)} \right] dx e^{-\frac{k_1^2}{l}} e^{-\frac{k_2^2}{l}} dk_1 dk_2 \\ &= \int_{-\infty}^{\infty} \int_{-\infty}^{\infty} 2\pi g_l(k_1+k_2) e^{-ik_1 a} e^{-ik_2 b} e^{-\frac{k_1^2}{l}} e^{-\frac{k_2^2}{l}} dk_1 dk_2 \end{aligned}$$

در حد $l \rightarrow \infty$ (در حد $I_{lmn} \equiv I_{mn}$)، با استفاده از (۲۳-۱) داریم

$$2\pi I_{mn} = \int_{-\infty}^{\infty} e^{-ik_2(a-b)} e^{-\frac{k_2^2(n+m)}{l}} dk_2$$

و یا $I_{mn} = g_{nm/n+m}(a - b)$ ، که در واقع دنباله‌ای برای $\delta(a - b)$ است. چه ابتدا n بزرگ شود و سپس m ، یا هر دو با هم بزرگ می‌شوند. ■

مثال ۴-۱

در فصل ۶، در ارتباط با اصل دوم مکانیک کوانتومی، گفته می‌شود که جواب معادله

$$xu_{\xi}(x) = \xi u_{\xi}(x) \quad (۲۰-۶)$$

عبارت است از

$$u_{\xi}(x) = \delta(x - \xi) \quad (۲۱-۶)$$

یعنی مرکز تابع دلتای دیراک در ξ است. این گزاره را برحسب نظریهٔ توابع تعمیم‌یافته فرمولبندی و دلیل آن را بیان کنید.

حل: با درک این نکته که $u_{\xi}(x)$ و $xu_{\xi}(x)$ توابع تعمیم‌یافته‌ای هستند، رابطهٔ (۲۰-۶) به این معنی است که

$$\int_{-\infty}^{\infty} F(x)xu_{\xi}(x)dx = \int_{-\infty}^{\infty} F(x)\xi u_{\xi}(x)dx \quad (\text{الف } ۲۰-۶)$$

که در آن $F(x)$ هر تابع مناسبی است. همین‌طور (۲۱-۶) به این معنی است که

$$\int_{-\infty}^{\infty} F(x)u_{\xi}(x)dx = \int_{-\infty}^{\infty} \delta(x - \xi)F(x)dx \quad (\text{الف } ۲۱-۶)$$

که در این رابطه هم توابع مناسب به همراه $F(x)$ که خود تابعی است در انتگرالها ظاهر می‌شود. به‌عنوان برهان (۲۰-۶ الف)، با قرار دادن $x F(x)$ به جای $F(x)$ در (۲۱-۶ الف) بازهم تابع مناسبی داریم:

$$\int_{-\infty}^{\infty} xF(x)u_{\xi}(x)dx = \int_{-\infty}^{\infty} xF(x)\delta(x - \xi)dx$$

$$\begin{aligned}
 &= \lim_{n \rightarrow \infty} \int_{-\infty}^{\infty} x F(x) g_n(x - \xi) dx \\
 &= \lim_{n \rightarrow \infty} \int_{-\infty}^{\infty} \xi F(x) g_n(x - \xi) dx \\
 &= \int_{-\infty}^{\infty} F(x) \xi u_\xi(x) dx
 \end{aligned}$$

که در خط دوم و سوم در حالت حدی داریم $\xi F(\xi)$ و تساوی آخر از (۶-۲۱الف) نتیجه می‌شود. ■

مثال ۵-۱

نشان دهید که تبدیل فوریۀ $xf(x)$ ، اگر تبدیل فوریۀ $f(x)$ را با $a(k)$ نشان دهیم، برابر است با $ia'(k)$ و بدین ترتیب نشان دهید که تبدیل فوریۀ x برابر است با $\sqrt{2\pi}i\delta'(k)$ ، و این دو به ترتیب توابعی تعمیم یافته از x و k به شمار می‌آیند. علامت پریم مشخص کننده مشتق نسبت به متغیر مربوطه است.

حل: به یاد داریم که تبدیل فوریۀ دنباله معمولی $f_n(x)$ ، یعنی $a_n(k)$ ، تبدیل فوریۀ $f(x)$ ، یعنی $a(k)$ را تعریف می‌کند. با مشتق‌گیری از دوطرف (۱-۲۴) نسبت به k داریم،

$$a'_n(k) = \frac{1}{\sqrt{2\pi}} \int_{-\infty}^{\infty} -ix f_n(x) e^{-ikx} dx$$

با وارون کردن رابطه بالا، خواهیم داشت

$$-ix f_n(x) = \frac{1}{\sqrt{2\pi}} \int_{-\infty}^{\infty} a'_n(k) e^{ikx} dk$$

که نشان می‌دهد تبدیل فوریۀ $xf_n(x)$ در حد $n \rightarrow \infty$ برابر با $ia'(k)$ است. به علاوه، اگر $f_n(x)$ را برابر $e^{-x^2/4n}$ اختیار کنیم، که یکی از دنباله‌های هم‌ارز با واحد است، بر طبق (۱-۱۸) خواهیم داشت:

$$a_n(k) = \frac{1}{\sqrt{2\pi}} \int_{-\infty}^{\infty} e^{-x^2/4n} e^{-ikx} dx = \sqrt{2n} e^{-nk^2}$$

به عبارت دیگر، $a_n(k)$ دنباله مربوط به $\sqrt{2\pi}\delta(k)$ و $a'_n(k)$ دنباله مربوط به $\sqrt{2\pi}\delta'(k)$ است. بدین ترتیب، از قسمت اول مثال چنین نتیجه می‌گیریم که تبدیل فوریۀ x برابر با $i\sqrt{2\pi}\delta'(k)$

است. (فرمولبندی نظریهٔ توابع تعمیم‌یافته برحسب توابع مناسب این قابلیت را دارد که این نتایج را برای هر توان دلخواه x و هر مشتق مرتبهٔ بالاتر تابع δ تعمیم دهد). ■

مسائل

۱-۱ فرمولی کلی برای انتگرال‌گیری زیر بیابید

$$\frac{1}{(\gamma n)!} \int_{-\infty}^{\infty} x^{\gamma n} e^{-ax^{\gamma}} dx$$

۲-۱ تابعی را تقریباً مناسب می‌خوانیم که همه‌جا و تا هر مرتبه مشتق‌پذیر باشد، چنانکه تابع و مشتق‌هایش در حد $x \rightarrow \infty$ به‌ازای یک N با تقریب $|x|^N$ سازگار باشند. نشان دهید که حاصلضرب تابع مناسب و تابع تقریباً مناسب، تابعی مناسب است.

۳-۱ $1/(a + ib)$ را به‌صورت جمع عددی حقیقی و عددی موهومی بنویسید.

۴-۱ الف) $z_1 = A_1 e^{i\theta_1}$ را در $z_2 = A_2 e^{i\theta_2}$ ضرب کنید ($A_2, A_1, \theta_2, \theta_1$ حقیقی هستند). عمل ضرب را برروی صفحهٔ مختلط نشان دهید.

ب) حالت خاص $A_1 = A_2, \theta_1 = -\theta_2$ را در نظر بگیرید. دربارهٔ ارتباط بین z_1 و z_2 چه می‌توانید بگویید؟

۵-۱ الف) قضیهٔ دو موآور را ثابت کنید:

$$(\cos \theta + i \sin \theta)^n = \cos n\theta + i \sin n\theta$$

ب) فرمولهایی را برای $\cos 3\theta$ و $\sin 3\theta$ بیابید.

۶-۱ الف) نشان دهید که اگر مشتق $f'(x)$ تابع تعمیم‌یافتهٔ $f(x)$ با دنبالهٔ $f'_n(x)$ تعریف شود که خود $f(x)$ با $f_n(x)$ تعریف می‌شود، آنگاه

$$\int_{-\infty}^{\infty} f'(x)F(x)dx = - \int_{-\infty}^{\infty} f(x)F'(x)dx$$

ب) $\int_{-\infty}^{\infty} x e^{-x^{\gamma}/n} \delta'(x) dx$ را بیابید.

ج) $g'_n(x)$ را به‌ازای n های بزرگ رسم کنید. نقش آن به عنوان بخشی از انتگرالده چیست؟

۷-۱ در نمایش دنبالهٔ g_n برای تابع δ ، (۱۲۶-الف)، کمیت‌های مختلطی در طرف راست ظاهر شده‌اند، در حالی که طرف چپ حقیقی است آیا می‌توانید این پارادوکس را حل کنید.

۸-۱ یک سیگنال رادیویی ورودی FM دارای دامنه $E(t)$ است، t زمان را نشان می‌دهد. $E(t)$ را به صورت برهم‌نهی تمام بسامدهای زاویه‌ای ω بنویسید. به نظر شما قدم‌مطلق ضرایب فوریه، $|A(f = \omega/2\pi)|$ چه شکلی دارد؟ نمودار تقریبی آن را برحسب f رسم کنید. بر روی محور بسامد، عدد بگذارید.

راهنمایی: به صفحه رادیویی FM خود نگاه کنید و به یاد آورید که نوارهای کناری هر کانال تقریباً تا حدود $\pm 75 \text{ kHz}$ گسترش یافته است.

۹-۱ در متن کتاب درباره نمایش فوریه، (۱-۲۴) چنین آمده است، «برای راحتی از شکل e^{ikx} به جای تجزیه آن به سینوس و کسینوس استفاده کنیم. اگر ضرایب $A(k)$ را نیز مختلط در نظر بگیریم، دیگر کلی‌ترین حالت را در نظر گرفته‌ایم، زیرا $A(k)$ حاوی فاز نیز خواهد بود. $F(x)$ ممکن است حقیقی یا مختلط باشد.»

الف) رابطه‌ای کلی بین $A(k)$ و $A(-k)$ بیابید به طوری که $F(x)$ حقیقی باشد.

ب) $A(k)$ را به صورت $A(k) = |A_k|e^{i\theta_k}$ بنویسید، که در آن $|A_k|$ دامنه و θ_k فاز است. نمایش فوریه $F(x)$ را برحسب این کمیته‌ها بیابید، فرض کنید $F(x)$ حقیقی است. حال، نمایش فوریه را به سینوس و کسینوس تبدیل کنید و نشان دهید که در واقع، بدون از دست رفتن کلیت به اندازه کافی پارامتر به دست می‌آید. (توابع $\cos kx$ و $\sin kx$ به ازای $0 < k < \infty$ یک پایه کامل را تشکیل می‌دهند، و به ازای هر تابع هماهنگ و مقدار k ، یک پارامتر لازم است. شاید گسسته‌سازی گستره‌ای از k به بازه‌های کوچک و محدود سودمند باشد.)

ج) نشان دهید وقتی که $F(x)$ مختلط است. بازهم به اندازه کافی پارامتر برای حفظ کلیت در اختیار داریم.

۱۰-۱ الف) نشان دهید که هر تابع را می‌توان به صورت مجموع یک تابع زوج $f_e(x)$ و یک تابع فرد $f_o(x)$ نوشت.

ب) نشان دهید که نمایش فوریه، (۱-۲۴) را می‌توان به صورت زیر نوشت

$$F(x) = \frac{1}{\sqrt{\pi}} \int_0^{\infty} C(k) \cos kx dk + \frac{1}{\sqrt{\pi}} \int_0^{\infty} S(k) \sin kx dk$$

$C(k)$ و $S(k)$ را برحسب $A(k)$ بیابید

ج) بسط فوریه $f_e(x)$ و $f_o(x)$ در قسمت الف) را برحسب $A(k)$ ، $A(-k)$ و همچنین

برحسب $C(k)$ و $S(k)$ بیابید.

(د) انتگرال زیر را محاسبه کنید

$$\int_{-\infty}^{\infty} \cos k'x \cos kx e^{-x^2/\epsilon^n} dx$$

و سپس فرمول ساده‌ای برای $C(k)$ بر حسب $f_e(x)$ به دست آورید.
(ه) انتگرال زیر را محاسبه کنید

$$\int_{-\infty}^{\infty} \sin k'x \cos kx e^{-x^2/\epsilon^n} dx$$

۱۱-۱ الف) $A(k)$ ، تبدیل فوریۀ تابع زیر را بیابید

$$F(x) = e^{-ax} \quad x \geq 0 \\ = 0 \quad x < 0$$

(ب) $F(x)$ را به صورت انتگرالی روی سینوسها و کسینوسها نمایش دهید.
۱۲-۱ الف) با استفاده از جداول تبدیلهای فوریه تبدیل فوریۀ $\sin nx/\pi x$ را پیدا کنید.

(ب) با مراجعه به مثال ۱-۱ راهی برای تأیید یافته‌های خود بیابید
(ج) نشان دهید که

$$\lim_{n \rightarrow \infty} \frac{\sin nx}{\pi x} = \delta(x)$$

و درباره آن بحث کنید.

(د) دو دنباله هم‌ارز برای $\delta(x)$ پیشنهاد کنید.

۱۳-۱ الف) با استفاده از روشهای مسئله ۱۲-۱، یعنی با در نظر گرفتن دنباله‌های تبدیل فوریه، نشان دهید که دنباله

$$f_n(x) \equiv \frac{1}{n\pi} [x^2 + n^{-2}]^{-1}$$

با $\delta(x)$ برابر است.

(ب) نشان دهید که

$$\lim_{n \rightarrow \infty} \int_{-\infty}^{\infty} \frac{F(x)}{x + \frac{i}{n}} dx \\ = \lim_{n \rightarrow \infty} \int_{-\infty}^{\infty} F(x) \frac{x}{x^2 + n^{-2}} dx - i\pi \int_{-\infty}^{\infty} F(x) \delta(x) dx$$

ج) اگر

$$P \int_{n-\infty}^{\infty} \frac{F(x)}{x} dx \equiv \lim_{n \rightarrow \infty} \int_{-\infty}^{-\frac{1}{n}} \frac{F(x)}{x} dx + \int_{+\frac{1}{n}}^{+\infty} \frac{F(x)}{x} dx$$

نشان دهید که

$$\lim_{n \rightarrow \infty} \int_{-\infty}^{\infty} F(x) \frac{x}{x^2 + n^{-2}} dx = P \int_{-\infty}^{\infty} \left[\frac{F(x)}{x} \right] dx$$

د) نشان دهید که تبدیل فوریهٔ دنبالهٔ توابع مناسب

$$f_n(x) = \frac{1}{n\pi} e^{-\frac{x^2}{n^2}} [x^2 + n^{-2}]^{-1}$$

با رابطهٔ زیر داده می‌شود،

$$a_n(k) = \frac{1}{\sqrt{\pi}} \sqrt{\frac{2}{\pi}} \left[e^{-\frac{k^2}{n^2}} \operatorname{Erfc} \left(n^{-2} - \frac{nk}{\sqrt{\pi}} \right) + e^{\frac{k^2}{n^2}} \operatorname{Erfc} \left(n^{-2} + \frac{nk}{\sqrt{\pi}} \right) \right] e^{n^{-2}}$$

که در آن $\infty > y > -\infty$ $\operatorname{Erfc}(y) = \frac{2}{\sqrt{\pi}} \int_y^{\infty} e^{-x^2} dx$ چرا در (۱-۱۳ الف) می‌گوییم «نشان دهید»؟

۱۴-۱ قضیهٔ پارسوال برای توابع مناسب. نشان دهید که اگر $F_1(x)$ و $F_2(x)$ توابع مناسب و $A_1(k)$ و $A_2(k)$ تبدیل فوریهٔ آنها باشد. آنگاه

$$\int_{-\infty}^{\infty} A_1(k) A_2(k) dk = \int_{-\infty}^{\infty} F_1(-x) F_2(x) dx$$

۱۵-۱ الف) نشان دهید که

$$\int_{-\infty}^{\infty} F(x) H(y-x) dx = \int_{-\infty}^{\infty} A(k) B(k) e^{iky} dk$$

که در اینجا، $A(k)$ و $B(k)$ ، به ترتیب تبدیل فوریهٔ $F(x)$ و $H(x)$ هستند. این نتیجه به «قضیهٔ فالتونگ» موسوم است.

ب) معادلهٔ انتگرالی زیر را که در آن $F(x)$ تابع مجهول و $C(x)$ و $H(x)$ معلوم هستند، حل کنید.

$$G(y) = \int_{-\infty}^{\infty} F(x) H(y-x) dx$$

۱۶-۱ تابع همبستگی برای یک فرایند کاتوره‌ای با یک متغیر کاتوره‌ای x با رابطه زیر تعریف می‌شود

$$C(\tau) = \lim_{n \rightarrow \infty} \int_{-\infty}^{\infty} x(t)x(t-\tau)e^{-\frac{t}{n}} dt$$

با نمایش $x(t)$ به صورت انتگرال فوریه

$$x(t) = \sqrt{2\pi} \int_{-\infty}^{\infty} A(f)e^{2\pi i f t} df$$

نشان دهید که به ازای $x(t)$ حقیقی،

$$C(\tau) = 2\sqrt{2\pi} \int_{-\infty}^{\infty} |A(f)|^2 \cos(2\pi f \tau) df$$

۱۷-۱ الف) نشان دهید که معادله پخش

$$\partial_t \varrho(t, x) = D \partial_x^2 \varrho(t, x)$$

دارای جوابهایی به صورت زیر (که در حد $x \rightarrow \pm\infty$ محدود باقی می‌مانند) است

$$\varrho_k = e^{(ikx - k^2 Dt)}$$

ب) در حالت کلی

$$\varrho = \frac{1}{\sqrt{2\pi}} \int_{-\infty}^{\infty} A(k)e^{(ikx - k^2 Dt)} dk$$

اگر در $t = 0$ داشته باشیم

$$\varrho(0, x) = \delta(x - x_0)$$

$A(k)$ را پیدا کنید.

ج) نشان دهید که برای شرط اولیه داده شده در (ب)، نتیجه حاصل به عبارت زیر می‌انجامد

$$\varrho = \varrho(x, t) = \frac{1}{\sqrt{4\pi Dt}} e^{-\frac{(x-x_0)^2}{4Dt}}$$

۱۸-۱ عضو $f_n(x)$ از دنباله مربوط به یک تابع معمولی مورد نظر $f_{or}(x)$ ، (۲۲-۱)، را می‌توان

به صورت زیر ساخت

$$f_n(x) = \int_{-\infty}^{\infty} f_{or}(t) S\{n(t-x)\} n e^{-\frac{t}{n}} dt$$

که در آن تابع $S(y)$ ، که لایت هیل آن را «تابع پخش کننده» می نامد به صورت زیر است

$$S(y) = e^{-\frac{1}{1-y^2}} \left[\int_{-1}^1 e^{-\frac{1}{1-z^2}} dz \right]^{-1} \quad | > y > -1$$

$$S(y) = 0 \quad y < -1, y > 1$$

الف) $S(y)$ چگونه بهنجار شده است؟

ب) $f_{or}(t)$ بر روی چه گستره‌ای میانگین‌گیری («پخش») شده است؟

ج) منظور از ضریب e^{-t^2/τ^2} چیست؟

۱۹-۱ کمال. توابع $e^{ikx}/\sqrt{2\pi}$ ، $-\infty > k > \infty$ ، مجموعه‌ای کامل را تشکیل می‌دهند، اگر نمایش فوریه

$$\frac{1}{\sqrt{2\pi}} \int_{-\infty}^{\infty} A(k)e^{ikx} dk \quad \text{که در آن} \quad A(k) = \frac{1}{\sqrt{2\pi}} \int_{-\infty}^{\infty} F(x)e^{-ikx} dx$$

برای هر تابع مناسب $F(x)$ ، به‌ازای تمام مقادیر x (این نمایش فوریه) به $F(x)$ میل کند.

برای کامل بودن، عبارت داده شده برای $A(k)$ را در نمایش فوریه بالا جایگزین کنید و ثابت

کنید که برای همه مقادیر x ، $F(x)$ به‌دست می‌آید.

۲۰-۱ انتگرالهای همپوش. با تعمیم (۱-۲۹)، دو بردار دلخواه F_A و F_B را در فضای N بعدی می‌توان به صورت زیر نمایش داد:

$$F_A = \sum_{i=1}^N A_i u_i, \quad F_B = \sum_{i=1}^N B_i u_i \quad i = 1, 2, 3, \dots, N$$

که در آن u_i مانند رابطه (۱۱-۳۰) بردارهای پایه راست هنجارند. ضرب نقطه‌ای بردارها چنین است:

$$F_A \cdot F_B = \sum_{i=1}^N A_i B_i$$

که جمع حاصلضربهای مؤلفه‌های متناظر باهم است.

اکنون می‌خواهیم این مفاهیم را به کمک فرمولبندی گسسته‌ای که حد پیوسته آن را به‌سادگی خواهیم یافت، به «فضای تابع» تعمیم دهیم. بنابراین، بازه متناهی Δ را در x انتخاب می‌کنیم و برد مجازی را برای x در نظر می‌گیریم:

$$\frac{-N\Delta}{2} < x \leq \frac{N\Delta}{2}$$

که در آن N عدد زوج بزرگی است. ابتدا با N تابع «موج مربعی»، $h_i(x)$ شروع می‌کنیم:

$$h_i(x) = \frac{1}{\sqrt{\Delta}} \quad x_{i-1} < x \leq x_i$$

$$= 0 \quad \frac{N\Delta}{2} \geq x > x_i, \quad x_{i-1} > x > \frac{-N\Delta}{2}$$

که در آن $x_i = (i)\Delta$ و $i = \frac{-N}{\Delta} + 1, \frac{-N+\Delta}{\Delta}, \dots, \frac{+N}{\Delta}$

$h_i(x)$ پایه‌ای را تشکیل می‌دهد؛ درگستره داده شده، هر تابعی از x مثل $F_A(x)$ ، $F_B(x)$ ، ...

را می‌توان با دقت فزاینده در حد $\Delta \rightarrow 0$ و $N \rightarrow \infty$ ، برحسب این پایه نمایش داد:

$$F_A(x) \cong \sum_{i=-N/\Delta+1}^{N/\Delta} A_i h_i(x); \quad F_B(x) \cong \sum_{i=-N/\Delta+1}^{N/\Delta} B_i h_i(x)$$

به‌علاوه، توابع $h_i(x)$ مستقل از یکدیگرند (یعنی نمی‌توان آنها را به‌صورت ترکیب خطی یکدیگر نوشت). در واقع هر یک از آنها فقط در مکان مخصوص خودش وجود دارد، این توابع هیچ‌گونه همپوشی فضایی ندارند. خاصیت اخیر را می‌توان با تعریف انتگرال همپوش دو تابع، به‌صورت تحلیلی به بهترین وجه توصیف کرد. اگر این دو تابع $i \neq j$ ، $h_i(x)$ ، $h_j(x)$ باشند، انتگرال همپوش آنها صفر است. داریم:

$$I_{ij} = \int_{-N\Delta/2}^{N\Delta/2} h_i(x) h_j(x) dx = \delta_{ij}$$

که در آن انتگرال روی x ، انتگرال همپوش I_{ij} هر دو تابع $h_i(x)$ ، $h_j(x)$ دلخواه را تعریف می‌کند و دلتای کرونکر، δ_{ij} ، در طرف راست، راست هنجاری «توابع موج مربعی» تعریف شده را می‌رساند.

(۱) اکنون می‌توانیم حدس بزنیم که انتگرال همپوش دو تابع دلخواه $F_A(x)$ و $F_B(x)$ به همان شکل ضرب نقطه‌ای بردارهای F_A و F_B در بالاست. با بسط $F_A(x)$ و $F_B(x)$ برحسب توابع موج مربعی $h_i(x)$ نشان دهید که

$$\int_{-N\Delta/2}^{N\Delta/2} F_A(x) F_B(x) dx = \sum_{i=-N/\Delta+1}^{N/\Delta} A_i B_i$$

که مجموع حاصلضرب مؤلفه‌های متناظر با هم است (این مؤلفه‌ها همان ضرایب بسط هستند).

(۲) نشان دهید که

$$A_i \cong \int_{-N\Delta/2}^{N\Delta/2} F_A(x) h_i(x) dx$$

انتگرال همپوش $F_A(x)$ با عضو پایه $h_i(x)$ همانند تصویر کردن یک بردار دلخواه بر روی یکه است. آیا $A_i \cong \sqrt{\Delta} F_A(x_i)$ ؟

(۳) فرض کنید می‌توانیم پایه راست هنجار دیگری بیابیم، که برای آن هم تابع همپوش جدید $I_{ij} = \delta_{ij}$ باشد. پایه جدید می‌تواند مثلاً، از N تابع زیر تشکیل شده باشد

$$\sqrt{\frac{2}{N\Delta}} \sin k_j x, \sqrt{\frac{2}{N\Delta}} \cos k_j x, \quad k_j = \frac{2\pi j}{N\Delta}, j = 1, 2, 3, \dots, \frac{N}{2}$$

با بسط برحسب $u_i(x)$ ، نشان دهید که

$$\int_{-N\Delta/2}^{+N\Delta/2} F_A(x) F_B(x) dx = \sum_{i=-N/2+1}^{N/2} \tilde{A}_i \tilde{B}_i$$

که در آن \tilde{A}_i و \tilde{B}_i ضرایب بسط جدید هستند.

چون برای توابع فقط یک انتگرال همپوش (ضرب نقطه‌ای) $\int F_A(x) F_B(x) dx$ وجود دارد مجموع $\sum A_i B_i$ مستقل از انتخاب پایه است. آیا می‌توان تبدیل خطی‌ای را که توابع $u_i(x)$ را برحسب $h_i(x)$ توصیف می‌کند، چرخشی در فضای تابع بخوانیم؟ فرمولی تقریبی برای ضرایب در چنین تبدیلی به‌دست آورید. فرمولی برای ضرایب جدید بسط، \tilde{A}_i ، به‌دست آورید.

پیشنهاد برای تمرین آزمایشگاهی

با استفاده از رایانه عبارت زیر را محاسبه کنید

$$\frac{1}{2\pi} \int_{-\infty}^{\infty} e^{-\frac{kx}{m}} e^{ikx} dk = \frac{1}{\pi} \int_0^{\infty} \cos kx e^{-\frac{kx}{m}} dk$$

و با $\sqrt{n/\pi} e^{-nx}$ مقایسه کنید، و بدین ترتیب نشان دهید که گاوسی بودن تبدیل فوریۀ یک تابع گاوسی، ادعایی معتبر است. مقادیر مختلف δk و همین‌طور k_{\max} باید امتحان شوند. مثال ۱-۲ ممکن است مفید باشد.

برای مطالعه بیشتر

M. J. Lighthill: *Introduction to Fourier Analysis and Generalized Functions* (Cambridge University Press, 1985)

نتایج ریاضی که تنها به ذکر آنها پرداختیم، در این رساله مختصر که در سطح کارشناسی نوشته شده است، اثبات شده‌اند.

R. D. Stuart: *An Introduction to Fourier Analysis* (Science Paperback, Halsted, New York 1966).

در این رساله مختصر، رهیافت سنتی‌تری به آنالیز فوریه در سطح مقدماتی آمده است.

H. Margenau. G. M. Murphy: *The Mathematics of Physics and Chemistry*. (Van Nostrand, New York 1943)

ارائه بسیار خوبی از بسیاری مباحث بررسی شده در اینجا، که ممکن است انتخاب دیگری را برای مطالعه آنها را در همین سطح فراهم کند.

A. Erdelyi (ed.): *Tables of Integral Transforms* (McGraw-Hill, New York, 1954)

اینها احتمالاً معروفترین جداول تبدیلهای انتگرالی هستند.

نوسانهای سیستمهای مکانیکی و الکتریکی

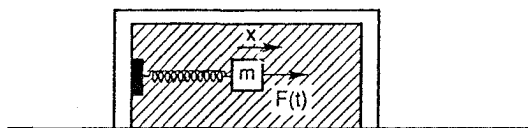
چکیده

معادله حرکت سیستم مکانیکی متشکل از جرم در انتهای فنر که در محیط چسبنده نوسان می‌کند، با معادله مشابه آن برای سیستم الکتریکی شامل مدار RLC مقایسه می‌شود. تفاوت دینامیک طبیعی و دینامیک واداشته به دقت مشخص می‌شود. برای حرکت طبیعی، مسئله مقدار اولیه، برای میرایی (ناشی از چسبندگی) اندک، یا مقاومت الکتریکی ناچیز، حل خواهد شد. پدیده تشدید در ارتباط با تحلیل حرکت واداشته به طور کامل بررسی خواهد شد و ویژگیهای تشدید، با تأکید بر ضریب کیفیت Q ، به مشخصات حرکت طبیعی مربوط می‌شود. یکی از بخشهای بعدی به تعیین طرز کار کلی نوسانگرها اختصاص دارد و با توصیف ساعت آونگی گسترش می‌یابد. در بخش مسائل، حرکت طبیعی را به‌ازای میرایی غیرقابل چشمپوشی بررسی خواهیم کرد، همین‌طور روش تابع گرین را برای یافتن جوابهای حرکت واداشته معرفی می‌کنیم.

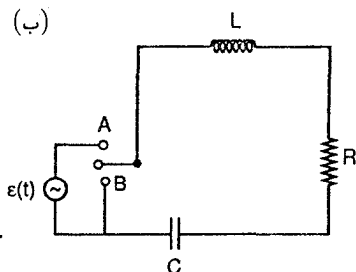
۱-۲ سیستمها و معادله‌های آنها

شکل ۱-۲ الف جرم m را نشان می‌دهد که به انتهای فنری با ثابت فنر k متصل شده است، این جرم در محیط چسبنده‌ای قرار دارد که نیروی مخالف حرکت bdx/dt را بر جرم وارد می‌کند،

(الف)



(ب)



شکل ۱-۲ (الف) سیستم مکانیکی خطی قلبه تحت تأثیر نیروی محرک $F(t)$. جرم در محیط چسبنده غوطه‌ور است. نوسانهای طبیعی میرا وقتی $F(t) = 0$ است رخ می‌دهند. (ب) مدار الکتریکی مشابه با سیستم (الف). با این فرض که خازن C در ابتدا باردار باشد، وقتی کلید در موقعیت B قرار گیرد، مدار، نوسانهای طبیعی میرا انجام می‌دهد. وقتی کلید در وضعیت A است، مدار، نوسانهای واداشته را تحت تأثیر ولتاژ $\varepsilon(t)$ انجام می‌دهد.

سرعت جرمی است که به اندازه x از وضعیت تعادل یا سکون خود جابه‌جا شده باشد. به‌علاوه، اگر نیروی خارجی وابسته به زمان $F(t)$ به جرم وارد شود، نیروی کلی بر روی جرم چنین خواهد بود

$$F(t) - b \frac{dx}{dt} - kx$$

از قانون دوم نیوتون $F = ma$ ، داریم

$$F(t) = m \frac{d^2x}{dt^2} + b \frac{dx}{dt} + kx \quad (1-2)$$

شکل ۱-۲ ب سیستم الکتریکی با القاگر L ، مقاومت R و خازن C را نشان می‌دهد که به صورت سری به یکدیگر متصل شده‌اند. اگر emf خارجی وابسته به زمان $\varepsilon(t)$ به سیستم اعمال شود، با توجه به این که انرژی بار با یک دفعه حرکت در مدار تغییر نمی‌کند، یعنی وقتی مجموع ولتاژهای حول مدار را مساوی صفر قرار دهیم، داریم

$$\varepsilon(t) = L \frac{dI}{dt} + RI + \frac{q}{C} \quad (2-2)$$

و چون جریان، I ، با dq/dt داده می‌شود که در آن q بار الکتریکی خازن است، داریم

$$\varepsilon(t) = L \frac{d^2q}{dt^2} + R \frac{dq}{dt} + \frac{q}{C} \quad (3-2)$$

رابطه‌های (۱-۲) و (۳-۲) یکسان هستند. اگر از تناظر کمیتهای زیر استفاده کنیم،

$F(t)$	با	$\varepsilon(t)$	(۴-۲ الف)
x	با	q	(۴-۲ ب)
m	با	L	(۴-۲ ج)
b	با	R	(۴-۲ د)
k	با	$\frac{1}{C}$	(۴-۲ ه)

این بدان معنی است که اگر جواب مناسبی برای معادله (۱-۲) داشته باشیم، این جواب برای معادله (۳-۲) نیز جوابی مناسب است و برعکس. به همین دلیل از مدار شکل (۱-۲ ب) به عنوان مشابه الکتریکی سیستم شکل (۱-۲ الف) یاد می‌کنیم و به همین صورت، سیستم شکل (۱-۲ الف) مشابه مکانیکی مدار شکل (۱-۲ ب) است.

به طور کلی، کمیتهای مکانیکی و الکتریکی که در (۴-۲) آمده‌اند، از نظر فیزیکی کاملاً متفاوت‌اند. ابتدا معلوماتمان درباره آنها را مرور می‌کنیم. تمام مواد جرم دارند و در فیزیک کلاسیک تمام اشیاء مادی از قوانین نیوتون پیروی می‌کنند. ویژگی القایدگی الکتریکی L ، ناشی از قانون آمپر است که بنابه آن جریانهای الکتریکی میدانهای مغناطیسی به وجود می‌آورند، و قانون فاراده که طبق آن میدانهای مغناطیسی متغیر ولتاژ القا می‌کنند. جهت این ولتاژها، بنابه قانون لنز، به گونه‌ای است که با تغییرات شار مغناطیسی مخالفت می‌کند. نتیجه نهایی، پیدایش ولتاژ مخالف LdI/dt است، که در آن، القایدگی L ، معیاری از جفت‌شدگی بین شار مغناطیسی و جریان مدار است.

اما در مورد ضریب b ، شاید عادی‌ترین عامل کشش چسبندگی، مقاومت هوا باشد (اتومبیلی که با سرعت زیاد در حرکت است، مقدار زیادی از انرژی خود را صرف گرم کردن جو اطراف خود می‌کند). منشأ مقاومت الکتریکی R نیز اصطکاکی است. در این مورد، مهمترین مانع جریان بارهای الکتریکی، یعنی الکترونها، ارتعاشهای نامنظم گرمایی اتمهایی است که رسانا را تشکیل می‌دهند، در نتیجه نیرویی روبه عقب متناسب با میانگین سرعت روبه جلوی الکترونها به وجود می‌آید.

نیروی $-kx$ ، که در آن جابه‌جایی از تعادل را نشان می‌دهد، قانون معروف هوک برای فنر است. فنر چیزی نیست که فقط در تشک یا آزمایشگاه یافت شود. هر سیستم مکانیکی، تا زمانی که تغییر شکل آن از حد کشسانی‌اش فراتر نرود، رفتاری فنرمانند دارد. حتی حرکت عمودی مرکز ساختار پیچیده‌ای مانند یک پل معلق که به خاطر تنش حاصل از حرکت یک کامیون بر روی آن به وجود

می‌آید، را می‌توان با سیستم فزری نشان داد. ظرفیت خازن C طبق تعریف، نسبت بارالکتریکی خازن، q ، به ولتاژ لازم برای نگه‌داشتن آن بار بر روی خازن است. به یاد داریم که انباشته شدن بارالکتریکی میدانهای الکتریکی تولید می‌کند و این میدانها انباشتن بیشتر بارالکتریکی را دشوار می‌سازند. خازن بزرگ، خازنی است که در آن بارالکتریکی زیاد میدانهای کوچکی به‌وجود می‌آورد، چنانکه حتی آخرین بارالکتریکی را می‌توان با صرف انرژی اندکی بر روی خازن قرار داد. همان‌طور که هر سیستم مکانیکی دارای نوعی خاصیت فزری است، هر سیستم الکتریکی نیز دارای نوعی ظرفیت است. نه تنها بین صفحات فلزی خازن هوایی کوچکی که موج رادیوها را تنظیم می‌کند ظرفیتی وجود دارد، بلکه، مثلاً، بین سیم انتقال نیروی فشار قوی و زمین هم ظرفیتی موجود است. در واقع، معادله (۱-۲) تا زمانی که بتوان سیستمی را قلبه تلقی کرد، هر سیستم مکانیکی خطی را توصیف می‌کند. همین‌طور، (۲-۳) نیز هر سیستم الکتریکی خطی قلبه را تعریف می‌کند. واژه «قلبه» بدان معنی است که بستگی زمانی تنها یک پارامتر حاوی تمام اطلاعاتی است که می‌خواهیم. برای مثال، حرکت یک پل معلق به‌طور کلی شامل حرکت نسبی قسمت‌های مختلف آن است و نه فقط حرکت مرکز آن. در نظر گرفتن جزئیات حرکت پل، آن را سیستمی توزیع شده می‌سازد. در مورد خط انتقال نیروی الکتریکی، اگر این خط طویل باشد، هرگز نمی‌توانیم آن را به‌طور رضایتبخشی قلبه در نظر بگیریم، زیرا به‌خاطر توزیع ظرفیت بین رساناهای ورودی و خروجی، بارالکتریکی q ، با حرکت در امتداد خط، در هر لحظه از زمان مقدار متفاوتی اختیار می‌کند. در فصلهای آینده، خواهیم دید که چگونه بررسی سیستمهای توزیع شده بر مبنای سیستمهای قلبه، که در این فصل به آن می‌پردازیم، قرار دارد.

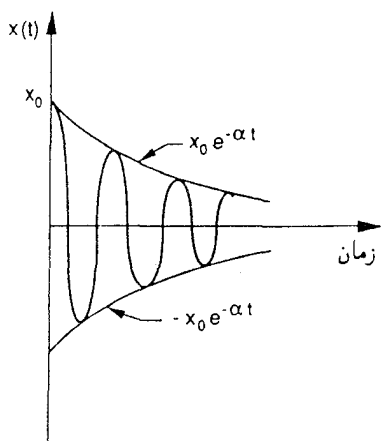
معادله (۱-۲)، یک معادله دیفرانسیل خطی است. توجه کنید که جابه‌جایی و مشتقهای مختلف آن، همه به توان یک رسیده‌اند. اگر از حد کشسانی فتر فراتر می‌رفتیم، قانون ساده هوک اعتبار خود را از دست می‌داد و معادله دیفرانسیل حاکم دیگر خطی نیست. اگر در سیستم الکتریکی جریان آن قدر بزرگ می‌شد که گرم شدن رسانا سبب تغییر مقاومت الکتریکی می‌شد، یعنی اگر R تابع dq/dt بود، (۲-۳) دیگر خطی نمی‌شد. معادله‌های دیفرانسیل خطی یک ویژگی فوق‌العاده ارزشمند دارند و آن این است که، اگر جواب بخصوصی برای معادله، به‌ازای نیروی محرک معین، به‌دست آورده باشیم و سپس به‌ازای یک نیروی محرک جدید، جواب دومی به‌دست آوریم و همین‌طور یک جواب سوم، مجموع دو جواب و یا مجموع همه جوابها هم خود جواب معادله است، به شرطی که نیروی محرک، مجموع نیروهای محرک متناظر با هر یک از جوابها باشد. این بدان معنی است که، وقتی با مشکل حل (۱-۲) برای نیروی محرک پیچیده $F(t)$ مواجه هستیم (نیروهای محرک، در عمل ممکن است پیچیده باشند)، می‌توانیم به نمایش فوریه که در فصل اول

دیدیم، متوسل شویم. و $F(t)$ را به صورت جمع مؤلفه‌هایش بنویسیم، که هر مؤلفه فقط یک حرکت هماهنگ ساده در زمان داشته باشد، سپس مسئله را برای هر یک از این مؤلفه‌های نیروی محرک حل کنیم و سرانجام، تمام جوابها را با هم جمع کنیم. برای روشن شدن مطلب به بخش مسائل رجوع کنید.

مشخصهٔ دیگر (۲-۱، ۳) که باید بفهمیم، بارز و از اهمیت فوق‌العاده‌ای برخوردار است. این مشخصه آن است که طرف چپ صفر است یا صفر نیست؛ به عبارت دیگر، نیروی محرک $F(t)$ به سیستم مکانیکی و یا نیروی محرکه الکتریکی $\varepsilon(t)$ ، بر سیستم الکتریکی اثر می‌کند، یا نمی‌کند. اگر این نیروها اعمال نشوند، معادله‌های دیفرانسیل را همگن نامند. اگر $F(t)$ صفر باشد، جرم، پس از رها شدن با جابه‌جایی اولیه یا سرعت اولیه یا هر دو، مطابق میل سیستم حرکت خواهد کرد. این حرکت آزاد سیستم را حرکت طبیعی آن می‌نامیم. همین‌طور، با قرار دادن کلید در وضعیت B شکل (۲-۱ب)، می‌توانیم ولتاژ محرک $\varepsilon(t)$ را از سیستم الکتریکی حذف کنیم و در نتیجه، پاسخ طبیعی آن را به دست آوریم. این مسئله، با موردی که نیروی محرک $F(t)$ یا ولتاژ محرک $\varepsilon(t)$ وجود دارد، متفاوت است. مثلاً ممکن است یک نفر به‌طور مرتب جرم شکل (۲-۱الف) را چکش بزند، بدیهی است که در این صورت $x(t)$ با حرکت طبیعی جرم تفاوت خواهد داشت. حل (۲-۱) به‌ازای $F(t)$ معین، حرکت واداشتهٔ جرم را توصیف می‌کند. به همین صورت، اگر در شکل (۲-۱ب) به وضعیت A بازگردیم، بستگی زمانی بارها و جریانها، پس از گذشت زمان کوتاهی، کاملاً تحت تأثیر ولتاژ الکتریکی، $\varepsilon(t)$ ، مؤلّد خواهد بود و پاسخ واداشتهٔ سیستم الکتریکی را به دست خواهیم آورد. سرشت خطی معادله‌های دیفرانسیل حاکم، جواب عمومی را به صورت مجموع جواب واداشته و جواب طبیعی به دست می‌دهد، که جواب طبیعی را شرایط اولیه مشخص می‌کنند. در عمل، خواهیم دید که، جواب طبیعی میرا می‌شود و به آن جواب گذرا می‌گویند. در نتیجه، کار بعدی را به دویخش تقسیم می‌کنیم. در قسمت اول به تحلیل حرکت طبیعی سیستمها و در قسمت دوم به پاسخهای واداشتهٔ آنها می‌پردازیم. به علاوه، همان‌طور که خواهیم دید، رابطه‌های مهمی بین این دو پاسخ برقرار است.

۲-۲ حرکت طبیعی سیستمها

به تجربه می‌دانیم که اگر جرم شکل (۲-۱الف) را از وضعیت تعادل آن در $x = 0$ تا نقطه $x = x_0$ جابه‌جا کنیم و سپس آن را، مثلاً با سرعت اولیهٔ صفر رها کنیم، چه اتفاقی می‌افتد. جرم، در حالی که آن را به وضعیت تعادل می‌کشد، شتاب می‌گیرد. هنگامی که به $x = 0$ می‌رسد،



شکل ۲-۲ بر مبنای مشاهده، انتظار داریم جرم شکل ۱-۲ هنگامی که نیرویی خارجی بجز مقاومت هوا بر آن وارد نمی‌شود، با دامنه‌ای که کوچکتر و کوچکتر می‌شود نوسان کند. برای Q برابر ۲۰۰۰، باید ۶۰۰ نوسان را در شکل رسم می‌کردیم تا به زمان $1/\alpha$ برسیم.

نیرویی که فنر بر آن وارد می‌کند صفر است. اما جرم که در این نقطه دارای انرژی جنبشی قابل ملاحظه‌ای است، در واقع بیشینه انرژی جنبشی‌اش را داراست، و نیرویی بینهایت بزرگ لازم است تا آن را ناگهان متوقف کند، جرم به حرکت خود ادامه می‌دهد تا به نزدیکی $x = -x_0$ برسد. در این نقطه، انرژی جنبشی آن را فنر جذب کرده است، جرم متوقف می‌شود و حرکتش را در جهت عکس شروع می‌کند. به این خاطر می‌گوییم «نزدیک» به $x = -x_0$ ، زیرا می‌دانیم که مقدار کمی از انرژی بر اثر میرایی ناشی از چسبندگی، تلف شده است. بدین ترتیب، جرم حرکتی مانند شکل ۲-۲ خواهد داشت به این نوع حرکت نوسانهای میرا می‌گوییم.

از نظر تحلیلی، نوسانهای میرا به صورت زیر هستند

$$x(t) = (A' \sin \omega t + B' \cos \omega t)e^{-\alpha t} \quad (5-2)$$

یعنی، شکل عادی نوسانهای با بسامد ω در اینجا در ضریب $e^{-\alpha t}$ ، با α مثبت، ضرب شده‌اند. ضریب $e^{-\alpha t}$ با گذشت زمان به صورت هموار کاهش می‌یابد و باعث میرایی نوسانها می‌شود. ضرایب A' و B' دامنه هستند، اندازه آنها تابع مکان و سرعت اولیه جرم است؛ اما فعلاً آنها را کنار می‌گذاریم.

برای بررسی (۵-۲) و یافتن کمیت‌های ω و α ، $x(t)$ را در معادله حرکت (۱-۲) قرار

می‌دهیم:

$$m \frac{d^2 x}{dt^2} + b \frac{dx}{dt} + kx = 0 \quad (6-2)$$

برای اینکه کار را آسان کنیم، می نویسیم

$$x(t) = Ae^{i\omega t}e^{-\alpha t} = Ae^{i\Omega t} \quad (۷-۲الف)$$

$$\Omega = \omega + i\alpha \quad (۷-۲ب)$$

در اینجا A عددی مختلط است، و نما را برحسب «بسامد مختلط» Ω نوشته ایم. از فصل ۱، به خاطر داریم که انتخاب معقول فاز عدد مختلط A ، سبب می شود قسمت حقیقی $Ae^{i\omega t}$ را بتوان به صورت هر ترکیب دلخواه سینوس و کسینوس نوشت (مسئله ۱-۹). همزمان با آن، $x(t)$ هنگامی که به صورت (۷-۲الف) تعریف شود، دارای قسمت موهومی نیز می شود. معادله خطی حرکت با ضرایب حقیقی، قسمت حقیقی و قسمت موهومی $x(t)$ را به طور مستقل تعیین می کند. اما $x(t)$ که حرکت جرم را تعیین می کند، چگونه می تواند عددی مختلط باشد؟ پاسخ آن است که، اگر چه با $x(t)$ مختلط کار می کنیم، اما این قسمت حقیقی x است که جواب فیزیکی معادله دیفرانسیلی مورد نظر را در بردارد. قسمت موهومی به مانند اضافه باری است که آن را سرانجام کنار می گذاریم. اگر چه موضوع کمی پیچیده به نظر می رسد، اما در واقع بسیار عملی است، زیرا، همان طور که خواهیم دید مشتق گیری از توابع نمایی کار بسیار آسانی است.

با قرار دادن (۷-۲الف) در (۶-۲) و مشتق گیریهای لازم داریم،

$$m(i\Omega)^2 Ae^{i\Omega t} + b(i\Omega)Ae^{i\Omega t} + kAe^{i\Omega t} = 0$$

ضریب مشترک $Ae^{i\Omega t}$ به این معنی است که جوابی به شکل (۷-۲الف) در واقع در (۶-۲) صدق می کند. با حذف این ضریب Ω را از رابطه زیر به دست می آوریم

$$-m\Omega^2 + i\Omega b + k = 0$$

این رابطه با استفاده از (۷-۲ب) به صورت زیر در می آید

$$-m(\omega^2 - \alpha^2 + 2\omega i\alpha) + i b(\omega + i\alpha) + k = 0$$

با جدا کردن قسمت های حقیقی و موهومی داریم

$$-m\omega^2 + m\alpha^2 - \alpha b + k = 0$$

$$-2\omega am + b\omega = 0$$

از معادلهٔ دوم داریم،

$$\alpha = \frac{b}{2m} \quad (۸-۲ \text{ الف})$$

و از معادلهٔ اول،

$$-m\omega^2 + \frac{b^2}{4m} - \frac{b^2}{2m} + k = 0$$

$$\omega = \sqrt{\frac{k}{m} - \frac{b^2}{4m^2}} \quad (۸-۲ \text{ ب})$$

اگر ضریب میرایی ناشی از چسبندگی، b ، را در (۸-۲ ب) مساوی صفر قرار دهیم، بسامد زاویه‌ای نوسانگر مکانیکی سادهٔ بدون میرایی متشکل از جرم m و فنر با ثابت k را به دست می‌آوریم،

$$\omega_0 = \sqrt{\frac{k}{m}} \quad (۹-۲)$$

در بسیاری کاربردها، جملهٔ اصطکاکی $b/2m$ در (۸-۲ ب) به تصحیح ناچیزی بر بسامد زاویه‌ای ω می‌انجامد. بسامد زاویه‌ای ω_0 را بسامد طبیعی سیستم می‌نامند، اگر چه هنگامی که سیستم به‌طور طبیعی (یعنی بدون نیروی محرک) حرکت می‌کند، بسامد واقعی آن ω اندکی با ω_0 تفاوت دارد. سرانجام، (۸-۲ الف) و (۸-۲ ب) را چنین می‌نویسیم

$$\omega_f = (\omega_0^2 - \alpha^2)^{\frac{1}{2}} \quad (۱۰-۲)$$

$$\alpha = \frac{b}{2m} \quad (۸-۲ \text{ الف})$$

شاخص f نشان می‌دهد که نوسانها آزاد هستند.

حال، به رابطهٔ اولیهٔ (۵-۲) باز می‌گردیم و ضرایب تعیین نشدهٔ A' و B' را می‌یابیم. این کار را برای همین مسئله‌ای که مطرح کرده‌ایم، یعنی جرمی که در $t = 0$ به نقطهٔ $x = x_0$ جابه‌جا شده و سرعت اولیهٔ آن صفر است انجام می‌دهیم. فعلاً فرض می‌کنیم که جملهٔ مربوط به اصطکاک کوچک است. در زمان $t = 0$ با استفاده از (۵-۲) داریم

$$x|_{t=0} = B' \quad (۱۱-۲ \text{ الف})$$

از (۵-۲) مشتق هم می‌گیریم تا سرعت جرم dx/dt را بیابیم:

$$\frac{dx}{dt} = \omega_f(A' \cos \omega_f t - B' \sin \omega_f t)e^{-\alpha t} + \text{جمله کوچک} \quad (۱۲-۲)$$

جمله کوچک ناشی از مشتق‌گیری $e^{-\alpha t}$ است، و به واسطه تناسب با α' کوچک است زیرا با جمله دیگر متناسب با ω که کوچک نیست مقایسه می‌شود. با کنار گذاشتن جمله کوچک، این معادله در $t = 0$ به صورت زیر در می‌آید:

$$\left. \frac{dx}{dt} \right|_{t=0} = \omega_f A' \quad (۱۱-۲)$$

بنابراین برای حالتی که میرایی کم است، داریم

$$A' = 0 \quad B' = x_0 \quad (۱۳-۲ \text{ الف و ب})$$

$$x(t) = x_0 e^{-\alpha t} \cos \omega_f t \quad (۱۳-۲ \text{ ج})$$

بدیهی است که دامنه‌های A' و B' را می‌توان به هر مقدار جابه‌جایی و سرعت جرم در $t = 0$ برازش داد. در مسئله ۵-۲ مسئله مقدار اولیه‌ای را دقیقاً، یعنی با α غیر صفر، حل خواهیم کرد. با وجود این، مورد میرایی ناچیز اغلب در فصلهای آینده مطرح خواهد شد. قبلاً هم توجه شما را به شکل ۲-۲ که $x(t)$ را نشان می‌دهد جلب کردیم. دو منحنی $\pm x_0 e^{-\alpha t}$ نقش پوش را دارند. هر وقت که کسینوس $+1$ شود، یعنی در فاصله‌های زمانی $2\pi/\omega_f$ ، $x(t)$ با منحنی بالایی مماس می‌شود. به همین ترتیب، در نیم دوره‌ها، هنگامی که $\cos \omega_f t$ برابر -1 است، $x(t)$ با منحنی پایینی مماس می‌شود. حتی اگر $\cos \omega t$ حاوی انتقال فاز هم باشد، که برای α غیر صفر چنین است، این مطلب صادق است. توجه کنید که نقطه‌های تماس در واقع بیشینه‌ها و کمینه‌های چرخه‌ها نیستند (مسئله ۴-۲).

حال که مسئله حرکت طبیعی سیستم مکانیکی را حل کردیم، حل مسئله مشابه برای سیستم الکتریکی را نیز در اختیار داریم. تنها باید از فهرست تناظر بین کمیتها، (۴-۲)، استفاده کنیم. مشاهده می‌کنیم که در مورد سیستم الکتریکی در $t = 0$ ، خازن دارای بار اولیه q_0 است، اما جریان اولیه در مدار صفر است، $dq/dt = 0$. تحول زمانی بار خازن، همانند (۱۳-۲ ج) چنین است

$$q(t) = q_0 e^{-\alpha t} \cos \omega_f t \quad (۱۴-۲)$$

در اینجا، در مقایسه با (۸-۲) تا (۱۰-۲) داریم

$$\omega_f = (\omega_0^2 - \alpha^2)^{\frac{1}{2}} \quad (۱۵-۲ \text{ الف})$$

بسامد طبیعی سیستم، که باز هم آن را با ω_0 نشان می‌دهیم، چنین است،

$$\omega_0 = \sqrt{\frac{1}{LC}}, \quad (۱۵-۲ \text{ ب})$$

$$\alpha = \frac{R}{2L} \quad (۱۵-۲ \text{ ج})$$

بدین ترتیب، نتیجه می‌گیریم که شکل ۲-۲ علاوه بر $x(t)$ نمایش $q(t)$ نیز هست. بالاخره، توجه می‌کنیم که در سیستم مکانیکی، انرژی بین فنر (هنگامی که جابه‌جایی در قله مثبت یا منفی است) و انرژی جنبشی جرم (هنگامی که سرعت بیشینه است). جابه‌جا می‌شود، در سیستم الکتریکی، انرژی بین خازن، هنگامی که بار بیشینه است، و القاگر، وقتی که جریان بیشینه است، جابه‌جا می‌شود.

اگر چه دو سیستم مکانیکی و الکتریکی از جنبه‌های کیفی بسیار شبیه یکدیگرند، اما تفاوت کمی قابل توجهی در تعداد چرخه‌های سیستم تا هنگام میراشدن، بین آنها وجود دارد. میرایی $e^{-\alpha t}$ نشان می‌دهد که $1/\alpha$ معیار زمانی است که حرکت نوسانی سیستم می‌تواند ادامه یابد، و معمولاً به آن ثابت زمانی گویند. چون دوره هر چرخه با تقریب بسیار خوبی برابر $2\pi/\omega_0$ است، نسبت $(1/\alpha)/(2\pi/\omega_0)$ ، معیاری از تعداد چرخه‌های مجاز به دست می‌دهد. در مورد سیستم الکتریکی داریم

$$\text{نسبت} = \frac{\frac{2L}{R}}{\frac{2\pi}{\omega_0}} = \frac{\omega_0 L}{\pi R} \quad (۱۶-۲ \text{ الف})$$

و برای سیستم مکانیکی

$$\text{نسبت} = \frac{\frac{2m}{b}}{\frac{2\pi}{\omega_0}} = \frac{\omega_0 m}{\pi b} \quad (۱۶-۲ \text{ ب})$$

معمولاً، ضریب کیفیت Q چنین تعریف می‌شود

$$Q = \frac{\omega_0 L}{R} \quad \text{الکتریکی} \quad (۱۷-۲ \text{ الف})$$

$$Q = \frac{\omega_0 m}{b} \quad \text{مکانیکی} \quad (۱۷-۲ \text{ ب})$$

اغلب Q برای سیستمهای الکتریکی بیشتر از سیستمهای مکانیکی است که نشان می‌دهد سیستم الکتریکی می‌تواند نوسانهای بیشتری داشته باشد. در حالی که برای سیستم مکانیکی Q در حدود ۵۰ قابل قبول است، سیستمهای الکتریکی که در بسامدهای رادیویی کار می‌کنند می‌توانند Q های از مرتبه چندین هزار داشته باشند.

۳-۲ حرکت واداشته

همان‌طور که گفتیم، نیروی محرک $F(t)$ که در طرف چپ (۱-۲) ظاهر می‌شود، معمولاً تابع ساده‌ای نیست. هدف ما در اینجا یافتن حرکت $x(t)$ متناظر با یک مؤلفه فوریه دلخواه آن نیرو، یعنی یک وابستگی زمانی هماهنگ ساده است. سپس اگر بخواهیم می‌توانیم پاسخ کلی سیستم را با جمع کردن هر یک از مؤلفه‌های فوریه موجود در نیروی محرک به‌دست آوریم. بنابراین می‌نویسیم

$$F(t) = F_0 \cos \omega t \quad (۱۸-۲ \text{ الف})$$

برای مورد مشابه الکتریکی، پاسخ مورد نظر با نیروی محرک هماهنگ کاربردی عملی دارد، زیرا بسیاری از مولدهای الکتریکی چنان طراحی می‌شوند که ولتاژهای کاملاً هماهنگ با بسامد ثابت یا قابل تنظیم ω تولید کنند،

$$\varepsilon(t) = \varepsilon_0 \cos \omega t \quad (۱۸-۲ \text{ ب})$$

از ترکیب (۱۸-۲ الف) و (۱-۲)، می‌بینیم که مسئله‌ای که می‌خواهیم حل کنیم. به صورت معادله دیفرانسیل زیر است

$$m \frac{d^2 x}{dt^2} + b \frac{dx}{dt} + kx = F_0 \cos \omega t \quad (۱۹-۲)$$

این معادله را هم مانند معادله بخش قبل حل می‌کنیم، یعنی اول $x(t)$ را کمیتی مختلط در نظر می‌گیریم و پس از یافتن جواب، قسمت موهومی آن را کنار می‌گذاریم چون قرار است قسمت‌های موهومی کنار گذاشته شوند، ساده‌تر است معادله (۱۹-۲) را به صورت زیر بنویسیم

$$m \frac{d^2 x}{dt^2} + b \frac{dx}{dt} + kx = F_0 e^{i\omega t} \quad (۲۰-۲)$$

قسمت حقیقی این معادله همان معادله (۲-۱۹) است. همین طور می نویسیم

$$x(t) = Ae^{i\omega t} \quad (2-21)$$

که در آن A ثابتی مجهول و کمیتی مختلط است که تأخیر فازی را که در پی آن هستیم به دست می دهد. توجه کنید که فرض کردیم $x(t)$ دقیقاً همان بسامد زاویه ای نیروی محرک، یعنی ω ، را دارد. این یک واقعیت تجربی و پیامد تعامد امواج فوریه است، که اگر سیستمی به طور مداوم با یک بسامد خاص به حرکت درآید، در همان بسامد پاسخ خواهد داد.

با قرار دادن (۲-۲۱) در (۲-۲۰) و مشتق گیریهای مربوط، داریم

$$(i\omega)^2 mAe^{i\omega t} + i\omega bAe^{i\omega t} + kAe^{i\omega t} = F_0 e^{i\omega t}$$

باز هم ضریب مشترک $e^{i\omega t}$ ظاهر می شود، که آن را حذف می کنیم و A را به دست می آوریم:

$$\begin{aligned} A &= \frac{F_0}{(-m\omega^2 + i\omega b + k)} \\ &= \frac{F_0(-m\omega^2 + k - i\omega b)}{[(-m\omega^2 + k)^2 + \omega^2 b^2]} \end{aligned} \quad (2-22)$$

در معادله آخر، A چنان نوشته شده است که قسمت حقیقی و قسمت موهومی آن مشخص باشد. این نتیجه را می توانیم با معرفی واکنایی مکانیکی، X ساده کنیم

$$\omega X = m \left(\omega^2 - \frac{k}{m} \right) = m(\omega^2 - \omega_0^2) \quad (2-23 \text{ الف})$$

با استفاده از (۲-۲۲) داریم:

$$A = -\frac{F_0}{\omega} \left(\frac{X + ib}{X^2 + b^2} \right) = \frac{Z^* F_0}{i\omega |Z|^2}$$

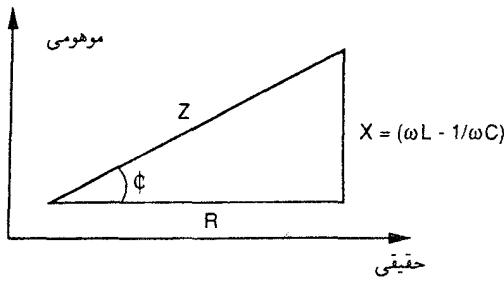
که در آن، Z ، کمیت مختلطی است به نام امپدانس مکانیکی و طبق رابطه زیر تعریف می شود

$$Z = b + iX \quad (2-23 \text{ ب})$$

مثلی که در صفحه مختلط شکل ۲-۳ وجود دارد، زاویه فاز ϕ را که مثبت است، مشخص

می کند. بنابراین می نویسیم

$$Z = |Z|e^{i\phi}$$



شکل ۳-۲ زاویه فاز مثبت ϕ .

$$A = \frac{-iF_0 e^{-i\phi}}{\omega|Z|}$$

در نتیجه

$$\begin{aligned} x(t) &= \text{Re}\{Ae^{i\omega t}\} \\ &= \text{Re}\left\{\frac{F_0 e^{i(-\phi+\omega t-\frac{\pi}{2})}}{\omega|Z|}\right\} \end{aligned}$$

زیرا $-i$ را به صورت $e^{-i\pi/2}$ نیز می‌توان نوشت. به عبارت دیگر داریم

$$x(t) = F_0 \frac{\sin(\omega t - \phi)}{\omega|Z|} \quad (\text{الف } ۲۴-۲)$$

که در آن

$$\sin \phi = \frac{X}{|Z|} \quad (\text{ب } ۲۴-۲)$$

و

$$|Z| = [b^2 + X^2]^{\frac{1}{2}} \quad (\text{ج } ۲۴-۲)$$

قبل از اینکه درباره این نتیجه بحث کنیم، به همانند الکتریکی این مسئله می‌پردازیم و نتیجه متناظر با آن را هنگامی که به سیستم الکتریکی ولتاژ هماهنگ ساده $\varepsilon(t)$ که در (۲-۱۸ ب) آمده است، اعمال می‌شود، می‌نویسیم. به جای ارائه نتایج برحسب بار خازن q ، معمولاً آنها را برحسب جریان الکتریکی $I = dq/dt$ ، یعنی کمیتی که همانند سرعت، dx/dt ، در سیستم مکانیکی است

نشان می‌دهد. بنابراین، از (۲-۲۴ الف) نسبت به زمان مشتق می‌گیریم و از کمیت‌های متناظر (۲-۴) نیز استفاده می‌کنیم. بدین ترتیب برای جریان الکتریکی، داریم

$$I(t) = \varepsilon_0 \frac{\cos(\omega t - \phi)}{|Z|} \quad (۲-۲۵ الف)$$

با

$$Z = R + iX \quad (۲-۲۵ ب)$$

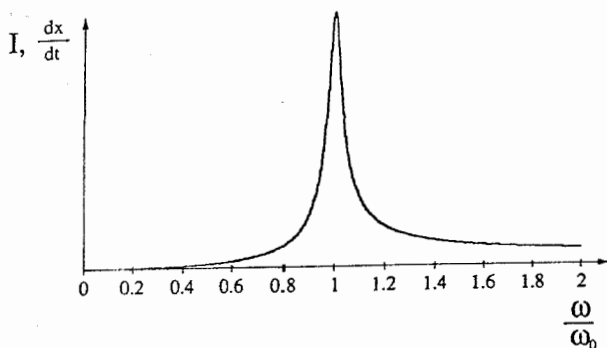
$$X = \omega L - \frac{1}{\omega C} = \frac{L}{\omega}(\omega^2 - \omega_0^2) \quad (۲-۲۵ ج)$$

و ϕ باز هم $\sin^{-1}(X/|Z|)$ است.

آنچه در این نتیجه عملاً مورد توجه ماست. چگونگی تغییرات جریان در هنگامی است که دامنه ولتاژ محرک، ε_0 ، را ثابت نگه می‌داریم و بسامد زاویه‌ای محرک، ω ، را تغییر می‌دهیم، که معمولاً به آن، پاسخ سیستم گویند. برای مشاهده واضح این پاسخ، آن را در شکل ۲-۴ به صورت تغییرات دامنه جریان برحسب بسامد محرک ω ، به ازای ولتاژ ورودی ε_0 ثابت، رسم می‌کنیم. چون R معمولاً مقدار کوچکی است، تابع دارای بیشینه تیزی در

$$\omega = \omega_0 \quad (۲-۲۶)$$

است. در اینجا جمله وابسته به بسامد در مخرج (۲-۲۵ الف)، یعنی در Z ، که هرگز منفی نمی‌شود،



شکل ۲-۴ پاسخ تشدید، این تابع هم برای سیستم الکتریکی و هم سیستم مکانیکی صادق است. جریان الکتریکی، یا سرعت ذره، برحسب بسامد زاویه‌ای نیروی محرک رسم شده است، دامنه نیروی محرک ثابت نگه داشته شده است. تشدید (پاسخ بهینه)، در بسامد طبیعی، ω_0 ، سیستم الکتریکی یا مکانیکی رخ می‌دهد. این نمودار به ازای $Q = 20$ رسم شده است.

صفر می‌شود. به علاوه، از (۲-۲۴) ج می‌بینیم که در مجاورت ω_0 ، تابع پاسخ به صورت هموار و تقریباً متقارن کاهش می‌یابد.

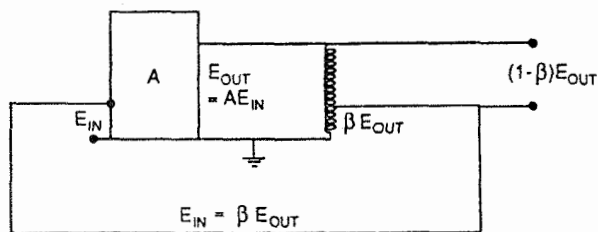
شرط (۲-۲۶)، تشدید نامیده می‌شود، واژه‌ای که حاکی از چیزی است که عملاً در این بسامد رخ می‌دهد، یعنی بیشینه پاسخ به ازای دامنه ورودی ثابت. در واقع، اگر R به صفر میل کند، دامنه پاسخ به بینهایت میل می‌کند. با توجه به (۲-۲۴) می‌بینیم که در تشدید، زاویه فاز ϕ ، که انتقال فاز را نشان می‌دهد، به ازای تمام مقادیر R ، صفر است، $\phi = 0$ ، یعنی $\varepsilon_0(t)$ و $I(t)$ همفاز هستند. به ازای ولتاژ محرک ε_0 ثابت، توان جذب شده بیشینه است (مسئله ۲-۸). دور از تشدید، $\phi \neq 0$ و وقتی $R = 0$ است، توانی که در بخشی از چرخه به مدار منتقل شده است، در بقیه چرخه به محرک پس داده می‌شود. اما، در تشدید، اگر R صفر باشد، دامنه بزرگتر و بزرگتر می‌شود، زیرا توان را نوسانگری که اتلاف ندارد به طور مداوم جذب می‌کند.

سیستمهای مکانیکی هم پاسخهایی دارند که درست مانند سیستمهای الکتریکی تشدید دارند. وقتی که یک چرخ اتومبیل در گودالی می‌افتد و برای آزاد کردن اتومبیل عده‌ای آن را هل می‌دهند، حرکت اتومبیل به جلو و عقب (تا اینکه بالاخره از محلی که گیر افتاده رها شود) نمونه‌ای از تشدید مکانیکی است. همچنین اگر اسکی‌بازانی که در پای کوه سوار صندلیهای بالابر می‌شوند، همگی با زمان بندی معین روی صندلی خود تکان بخورند، صندلیها حرکتی عمودی با دامنه‌ای خطرناک پیدا خواهند کرد، که نمونه‌ای از تشدید مکانیکی است. بسیاری از تجربه‌های روزانه ما از تشدید مربوط به سیستمهای گسترده است، که جزئیات آن را به فصلهای بعد بررسی می‌کنیم.

سیستم الکتریکی یکی از پایه‌های اصلی فناوری الکترونیک است. این مدار در اولین مرحله از گیرنده‌های مخابراتی موجود است، که بر روی بسامد تشدید می‌کند همان سیگنال ورودی است تنظیم می‌شود. همچنین، این مدار، جزء اصلی نوسانگری (نوسانگر L-C) است که مورد استفاده بسیار دارد. عملکرد بیشتر سیستمهای ارتباطاتی مستلزم وجود نوسانگرهای پایدار در فرستنده‌ها و گیرنده‌هاست.

۲-۴ نوسانگرها

اکنون به طور اجمالی به چگونگی کار نوسانگر L-C می‌پردازیم. جزء اصلی آن، یک تقویت‌کننده است، ابزاری که سیگنالهای ورودی را با ضریب A بزرگ می‌کند و انرژی لازم برای این کار را از جای دیگری می‌گیرد. بخشی از خروجی این تقویت‌کننده، که آن را با β نشان می‌دهیم دوباره به آن باز می‌گردد تا قسمتی از ورودی را تشکیل دهد، شکل ۲-۵. بقیه $(1 - \beta)$ خروجی تقویت‌کننده صرف کاربردهای مفید دیگر می‌شود. برای شروع کار، خواننده باید انواع مختلفی از سیگنالهای



شکل ۵-۲ عملکرد نوسانگر می بینیم که شرط نوسان پایدار $A\beta = 1$ است.

الکتريکی بی معنی را که در مدار حرکت می کنند در نظر بگیرد (نوفه)؛ منشأ آنها ممکن است گرمایی باشد و یا سیگنالهای سرگردانی که از وسایل الکتريکی دیگر گرفته شده اند. همواره می توان تبدیل فوریه زمانی همه این اغتشاشات را گرفت. همه بسامدهای ممکن موجود خواهند بود. کميتهای A و β تابع بسامد و مختلط اند تا شامل انتقال فاز نیز بشوند. حال، به دلیل پاسخ بسیار تقویت شده مدار $L-C$ که در حوالی ω وارد (بار) تقویت کننده می شود، ضریب تقویت، A ، در حوالی ω ، بزرگ و بسیار حساس به بسامد خواهد بود. بنابراین، به ازای ω معین در حوالی تشدید، شرایط رشد، یعنی βA حقیقی و

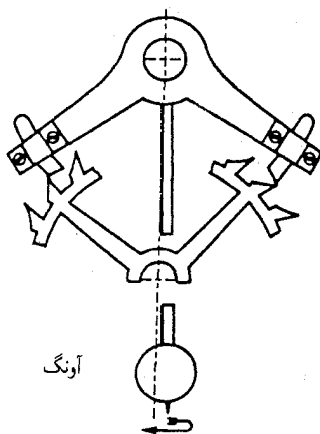
$$\beta(\omega)A(\omega) > 1 \quad (27-2)$$

فراهم خواهد آمد. شرط (۲۷-۲) باعث رشد می شود زیرا با توجه به آن سیگنال با هر دور حرکت در مدار افزایش می یابد. اما، در واقع آنچه به وقوع می پیوندد آن است که به محض به کار افتادن سیستم، اثرهای غیرخطی A را چنان محدود می کنند که رابطه زیر برقرار شود

$$\beta(\omega)A(\omega) = 1 \quad (28-2)$$

باید تأکید شود که (۲۷-۲) و (۲۸-۲) علاوه بر اندازه، دارای فاز نیز هستند. βA مختلط به جای رشد موجب تداخل ویرانگر می شود. انتقال فاز A و β باید برابر و در خلاف جهت یکدیگر باشند. با استفاده از (۲۵-۲) می توان مشاهده کرد که در حوالی تشدید، نه تنها اندازه پاسخ، بلکه فاز آن نیز دستخوش بزرگترین تغییر می شود. این به نوبه خود نشان می دهد که، (۲۸-۲) فقط برای بسامد نسبتاً خوش تعریف برقرار است، و یا به عبارت دیگر، خروجی نوسانگر دارای بسامد نسبتاً پایا خواهد بود، که شرط اصلی در سیستمهای مخابراتی است.

در مثال ۱-۲ ویژگی دیگر سیستمهای تشدید را نشان خواهیم داد، یعنی هر چه مقدار ضریب کیفیت Q (۱۷-۲ الف و ب)، بیشتر باشد، تابع تشدید باریکتر و دقیق تر خواهد شد و تغییر فاز در هنگام عبور از بسامد تشدید سریعتر صورت می گیرد. این نکته ارتباط پایداری بسامد را با Q امکان پذیر می سازد و تلاشهای مهندسان را برای یافتن راههای دستیابی به Q های بزرگتر توجیه



شکل ۲-۶ چرخ دنگ ساعت آونگ دار.

می‌کند. بالاخره، نشان می‌دهیم که چگونه می‌توان از عملکرد نوسانگر برای ساعت مکانیکی آونگی استفاده کرد که بررسی آن، برخلاف مورد الکتریکی، به تفصیل امکان‌پذیر است.

شکل ۲-۶ چرخ دنگ را نشان می‌دهد. یک اهرم آزاد کننده با دو گیره به آونگ متصل است. این اهرم را به خاطر شکل ظاهری اش لنگر می‌نامند. این لنگر، حرکت چرخ ضامن دار زیر خود را که تحت تأثیر فنر اصلی ساعت است، کنترل می‌کند. اگر لنگر مانع نمی‌شد، چرخ ضامن دار در جهت عقربه‌های ساعت می‌چرخید. همان‌طور که ملاحظه می‌شود، نوک آونگ به سمت راست در حرکت است. وقتی برمی‌گردد، یعنی در حرکت به چپ، درست در طرف چپ وضعیتی که نشان داده شده است، گیره طرف چپ لنگر، چرخ ضامن دار را آزاد می‌کند، که در این هنگام به اندازه عرض یک دندانه حرکت می‌کند و در نهایت توسط گیره طرف راست لنگر از حرکت بیشتر باز می‌ایستد. ساعت «تیک» می‌کند. معکوس این فرایند، هنگام نزدیک شدن وزنه آونگ از سمت چپ به مرکز، اتفاق می‌افتد، دندانه راست چرخ ضامن دار را آزاد می‌کند - «تاک». چرخ ضامن دار به اندازه یک دندانه و شکاف بین دو دندانه مجاور به جلو رفته است و آونگ یک چرخه را طی کرده است.

انرژی باید بدون گذاشتن تأثیر چندان بر دوره آونگ به آن منتقل شود. در واقع، شیب لبه‌های گیره‌ها چنان است که جریان انرژی را از چرخ ضامن دار به لنگر، یعنی به آونگ، تضمین می‌کند. برای درک نمایش ساعت به صورت تقویت کننده‌ای با فیدبک، می‌توانید تصور کنید که آونگ و لنگر به جای چرخ ضامن دار، دارای محرکی دوره‌ای هستند. از تحلیل حرکت واداشته می‌دانیم که به‌ازای نیروی محرکی با دامنه ثابت، فقط نزدیک بسامد طبیعی پاسخی با دامنه بزرگ خواهیم

داشت. یعنی، فقط در اینجاست که حرکت لنگر به قدر کافی بزرگ است که چرخ ضامن دار را کنترل کند. در واقع چرخ ضامن دار در نزدیکی تشدید و با فازی مناسب، انرژی را به آونگ میرا (به دلیل اصطکاک هوا) پس می‌خوراند. همزمان با آن، چرخ ضامن دار یک خروجی نیز دارد، که نیروی محرک چرخ دنده‌هایی است که آن را به عقربه‌های ساعت متصل می‌کند. بنابراین، اگر به آونگ در ابتدا نیرویی وارد شود و با فقط رها شود، در نهایت باید با بسامد ω که به بسامد طبیعی خیلی نزدیک است، نوسان کند، بسامدی که در آن $\beta(\omega)A(\omega)$ مساوی با یک شود. (تقویت‌کننده شامل آونگ، چرخ دنگ و منبع توان است، خروجی آن در حرکت چرخ ضامن دار است. سیگنال فیدبک شده از چرخ ضامن دار به لنگر تقویت می‌شود.)

۲-۵ خلاصه

دیدیم که هم سیستم مکانیکی و هم مشابه الکتریکی آن، اگر برانگیخته و سپس به حال خود رها شوند، دستخوش نوسانهایی خواهند شد که به تدریج میرا می‌شود، آهنگ این میرایی به اندازهٔ عامل میرایی بستگی دارد که می‌تواند کشش ناشی از چسبندگی یا مقاومت الکتریکی باشد. بسامد زاویه‌ای این نوسانها نسبت به بسامدی که در نبود میرایی وجود دارد و آن را بسامد طبیعی سیستم نامند، فقط اندکی جابه‌جا می‌شود. هنگامی که این سیستمها با ورودی که تابع هماهنگ ساده‌ای از زمان است به حرکت در آیند، پاسخ آنها هنگامی که بسامد محرک با بسامد طبیعی سیستم، که مشخصهٔ حرکت آزاد سیستم است، برابر شود به سرعت افزایش می‌یابد. منظور از «پاسخ» تغییر در دامنهٔ سرعت جرم یا تغییر در جریان الکتریکی برحسب بسامد نیروی محرک است. این پدیده را تشدید گویند.

همچنین، متوجه می‌شویم که سیستمهای با ضریب کیفیت، Q ، بالا در حرکت طبیعی از یک طرف، قبل از میرایی، دستخوش نوسانهایی زیادی می‌شوند و از طرف دیگر سیستمهایی با پاسخ تشدید بسیار تیز هستند. ارتباط بین این دو نکته و کاربرد این سیستمها در نوسانگرها و ساعتها کاملاً سراسر است نیست و در اصل به تغییرات سریع فاز برحسب بسامد در نزدیکی تشدید برمی‌گردد. این همان ویژگی تشدید است که نوسان مانا را به وجود می‌آورد. این در نهایت همان چیزی است که بر مبنای شهودی انتظار داریم.

مثال ۲-۱

نشان دهید که عرض منحنی‌های تشدید با ضریب کیفیت، Q ، رابطهٔ مستقیم دارند.

حل: اگر در مخرج (۲-۲۵ الف) R و X را مساوی یکدیگر قرار دهیم، شرطی برای بسامد محرک به دست می‌آوریم که بر طبق آن جریان به میزان $1/\sqrt{2}$ برابر مقدار تشدیدیش، موسوم

به نقطه نیم - توان، می‌رسد

$$L(\omega_0 - \omega) \frac{(\omega_0 + \omega)}{\omega} = R$$

چون هنوز در حوالی تشدید هستیم، در جمله سوم طرف چپ عبارت بالا (و نه جمله دوم!)، ω_0 را جانشین ω می‌کنیم،

$$L(\omega_0 - \omega)^2 \cong R$$

برای عرض تابع در نقطه نیم - توان، $\Delta\omega$ ، داریم

$$\Delta\omega = \sqrt{2}(\omega_0 - \omega)$$

$$\Delta\omega/\omega_0 = R/\omega_0 L = 1/Q$$

این، همان نتیجه مطلوب است، یعنی، عرض نسبی در نیم - توان، با عکس ضریب کیفیت، Q ، متناسب است.

مثال ۲-۲

یک مدار الکتریکی سری شامل R ، L و C بدون بار الکتریکی، ناگهان در $t = 0$ به یک باتری با ولتاژ ثابت V_0 متصل می‌شود. تغییرات بار خازن برحسب، $q(t)$ ، را بیابید؟ فرض کنید R کوچک است.

حل: مسئله را می‌توان با مقایسه با مشابه مکانیکی آن به خوبی فهمید. می‌دانیم که اگر ناگهان نیروی ثابت F_0 را به سیستم مکانیکی اعمال کنیم. در آن لحظه جرم اصلاً حرکت نمی‌کند، اما نقطه تعادل فنر به اندازه $x_0 = F_0/k$ جابه‌جا می‌شود. وضعیت مسئله ما مشابه حالتی است که جرم با سرعت اولیه صفر، اما جابه‌جایی اولیه $-F_0/k$ نسبت به وضعیت تعادل شروع به حرکت می‌کند. تبدیل این شرایط به سیستم الکتریکی جواب را به دست می‌دهد:

$$q = -CV_0 \cos \omega_0 t e^{-\alpha t} + CV_0, \quad \alpha = \frac{R}{2L}$$

مسائل

۱-۲ با ترکیب قوانین آمپر و فاراده نشان دهید که خود القایی یک سیم‌پیچ استوانه‌ای بلند از رابطه زیر به دست می‌آید

$$L = \mu_0 n^2 l A$$

که در آن n تعداد دورها در واحد طول، l طول سیم پیچ استوانه‌ای و A سطح مقطع آن است.
 ۲-۲ نشان دهید که اگر $x_1(t)$ جواب (۱-۲) با نیروی محرک $F_1(t)$ و $x_2(t)$ جواب مربوط به نیروی محرک $F_2(t)$ باشد، $(x_1 + x_2)$ جواب معادله است، اگر $F_1 + F_2$ نیروی محرک باشد. در مورد معادله‌های دیفرانسیل همگن، که نیروی محرک ندارد، چه می‌توانید بگویید؟ در این مورد چه چیزی $x(t)$ را مشخص می‌کند؟

۳-۲ برای $\alpha = 0$ ، یعنی وقتی که همه بار خازن در مدار جریان یافته است، چرا جریان الکتریکی در مداری که حرکت طبیعی خود را انجام می‌دهد، متوقف نمی‌شود؟ برای پاسخ می‌توانید از مشابه مکانیکی کمک بگیرید. با فرض اینکه مقاومت در مدار صفر باشد، در لحظه‌ای که $q = 0$ است، dI/dt چقدر است؟

۴-۲ α کوچک است. مسئله قبل نسبتاً آسان بود. اکنون در مورد وضعیت

$$\frac{dI}{dt} = 0$$

وقتی که مقاومت در مدار، اگر چه کوچک، اما صفر نیست، بحث کنید.
 الف) فرض کنید تغییرات جریان برحسب زمان از رابطه زیر به دست آید

$$I(t) = I_0 (\cos \omega_f t) e^{-\alpha t}, \quad \alpha = \frac{R}{2L}$$

منحنی تغییرات $I(t)$ برحسب t را رسم کنید. کمینه‌های منحنی پیش از کمینه‌های $\cos \omega_f t$ قرار دارند تا بعد از آن؟ بیشینه‌ها چگونه؟ توضیح ساده‌ای برای پاسخ خود بدهید.

ب) محل فرینه‌های $I(t)$ را به صورت تحلیلی بیابید، و پاسخ خود در بخش (الف) را کنترل کنید.

ج) با استفاده از معادله دیفرانسیل حرکت برای $Q(t)$ بار Q را از فرینه‌های $I(t)$ یعنی وقتی $dI/dt = 0$ است بیابید. دلیل فیزیکی اینکه Q برای $\alpha = 0$ صفر نمی‌شود چیست؛ علامت Q در مقایسه با I چیست؟ سرانجام، نشان دهید که در فرینه‌های $I(t)$ ، $Q(t)$ تا مرتبه اول از رابطه زیر به دست می‌آید:

$$Q(t) \cong - \left(\frac{2\alpha}{\omega_0^2} \right) I_0 e^{-\alpha t}$$

د) درباره جوابهای مشابه مکانیکی پرسشهای بخش (الف) و (ب) بحث کنید.

۵-۲ الف) α کوچک نیست. در این صورت باید از (۱۲-۲) به جای (۱۱-۲) استفاده کنیم. نشان دهید که شرایط اولیه

$$q|_{t=0} = Q_0 \quad I|_{t=0} = 0$$

اگر

$$I = -Q_0 \frac{\omega_0^2}{\omega_f} e^{-\alpha t} \sin \omega_f t$$

باشد، دقیقاً برقرارند.

راهنمایی: ابتدا نشان دهید که

$$q = Q_0 (\cos \omega_f t + \frac{\alpha}{\omega_f} \sin \omega_f t) e^{-\alpha t}$$

ب) یک حالت خاص وقتی به وجود می‌آید که α چنان بزرگ است که

$$\omega_f^2 = \omega_0^2 - \alpha^2 = 0$$

این حالت را میرایی بحرانی نامند. در حالت میرایی بحرانی، رابطه ساده‌ای برای I برحسب زمان به دست آورید. نمودار $I(t)$ را در این حالت رسم کنید.راهنمایی: $\lim_{\omega \rightarrow 0} (\sin \omega t) / \omega = t$.۶-۲ الف) α بزرگ است. اگر $\alpha \gg \omega_0$ ، می‌توانیم دو ثابت میرایی مثبت α_1 و α_2 ، تعریف کنیم:

$$\alpha_1 = \alpha + (\alpha^2 - \omega_0^2)^{\frac{1}{2}}$$

$$\alpha_2 = \alpha - (\alpha^2 - \omega_0^2)^{\frac{1}{2}}$$

نشان دهید که به‌ازای شرایط اولیه مسئله ۵-۲، $q(t)$ برای نوسانگر آزاد از رابطه زیر به دست می‌آید

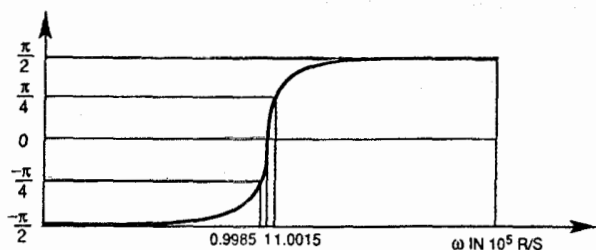
$$q(t) = Q_0 \frac{\alpha_1 e^{-\alpha_2 t} - \alpha_2 e^{-\alpha_1 t}}{\alpha_1 - \alpha_2}$$

و پس از گذشت زمانی طولانی

$$q(t) \approx Q_0 e^{-\frac{t}{\tau}}$$

که در آن τ ، زمان واهلش، با رابطه زیر داده می‌شود

$$\tau = \frac{2\alpha}{\omega_0^2}$$



شکل ۷-۲ تغییرات فاز ϕ برحسب ω در نزدیکی تشدید، مسئله ۷-۲ ب.

(ب) نشان دهید که اگر به نوسانگر نیرویی با بسامد کم، $\omega \ll \omega_0$ اعمال شود،

$$q(t) = \frac{\varepsilon_0 C}{(1 + \omega^2 \tau^2)^{\frac{1}{2}}} \sin(\omega t - \phi)$$

که در آن τ همان زمان واهلش در قسمت (الف) است. در حد $\omega \rightarrow 0$ چه مقداری را اختیار می‌کند؟ دامنه نوسانگر مکانیکی به چه مقداری میل می‌کند؟ دامنه $x(t)$ را برحسب ω رسم کنید.

۷-۲ الف) این گزاره را که در متن آمده است بررسی کنید: «... در حوالی تشدید، نه تنها اندازه پاسخ، بلکه فاز آن نیز دستخوش بزرگترین تغییر می‌شود.»

(ب) هنگام بررسی پاسخ تشدید یک مدار L-C-R، دیدیم که تأخیر فاز جریان ϕ طبق نمودار شکل ۷-۲ است. تعداد نوسانهای آزاد این مدار را در زمانی که بار اولیه Q_0 به Q_0/e افت می‌کند، به دست آورید.

۸-۲ الف) نشان دهید که توان میانگینی را که نوسانگر مکانیکی جذب می‌کند، از رابطه زیر به دست می‌آید

$$\bar{P} = \frac{F_0^2}{2|Z|} \cos \phi$$

(ب) ثابت کنید نقطه‌هایی که در مثال ۱-۲ به عنوان نقاط نیم-توان منحنی تشدید انتخاب شدند، در واقع متناظر با نیم-توان هستند.
۹-۲ الف) جواب معادله نوسانگر واداشته

$$m \frac{d^2 x}{dt^2} + b \frac{dx}{dt} + kx = F(t)$$

$$x(0) = 0, \quad \left. \frac{dx}{dt} \right|_{x=0} = 0, \quad F(t) = 0 \quad t < 0$$

را می‌توان با استفاده از نمایش فوریه $F(t)$ یافت. نشان دهید که این جواب چنین است

$$x(t) = \frac{-1}{\sqrt{2\pi m}} \int_{-\infty}^{\infty} \frac{F(\omega)e^{i\omega t}}{\omega^2 - 2i\alpha\omega - \omega_0^2} d\omega$$

که در آن $F(\omega)$ تبدیل فوریه $F(t)$ است.

(ب) جواب معادله نوسانگر واداشته

$$m \frac{d^2 x}{dt^2} + b \frac{dx}{dt} + kx = \delta(t - t_0)$$

تابع گرین، $G(t - t_0)$ ، نامیده می‌شود. نشان دهید که

$$G(t - t_0) = \begin{cases} \frac{e^{-\alpha(t-t_0)} \sin \omega_f(t - t_0)}{\omega_f m} & t > t_0 \\ = 0 & t < t_0 \end{cases}$$

$$\omega_f^2 = \omega_0^2 - \alpha^2$$

اگر ذره نوسان‌کننده در شروع حرکت در $t = t_0$ در $x = 0$ باشد.

(ج) نیروی محرک، $F(t)$ ، را به صورت مجموع نیروهایی که در زمان به حول Δt_0 ، $2\Delta t_0$ و

غیره توزیع شده‌اند به صورت زیر بنویسید

$$F(\Delta t_0)g_n(t - \Delta t_0)\Delta t_0 + F(2\Delta t_0)g_n(t - 2\Delta t_0)\Delta t_0 + \dots$$

یعنی به صورت

$$F(t) = \lim_{n \rightarrow \infty} \int_{-\infty}^{\infty} g_n(t - t_0)F(t_0)dt_0 = \int_{-\infty}^{\infty} F(t_0)\delta(t - t_0)dt_0$$

اینک از قسمت (ب) استفاده کنید و رابطه‌ای برای $x(t)$ تحت تأثیر $F(t)$ به دست آورید.

(د) با مراجعه قسمت‌های (الف تا ج)، از قضیه فالتونگ، مسئله ۱-۱۵، استفاده کنید و نشان دهید که

$$\begin{aligned} \frac{-1}{\sqrt{2\pi m}} \int_{-\infty}^{\infty} \frac{e^{i\omega t}}{\omega^2 - 2i\alpha\omega - \omega_0^2} d\omega &\equiv \int_{-\infty}^{\infty} e^{i\omega t} G(\omega) d\omega \\ &= \frac{\sqrt{2\pi} e^{-\alpha t} \sin \omega_f t}{\omega_f m} \\ &= 0 \quad t < 0 \end{aligned}$$

این انتگرال را می‌توان مستقیماً با استفاده از نظریهٔ متغیر مختلط محاسبه کرد، بنابراین جواب $x(t)$ را که در قسمت (ج) حاصل شد، مستقیماً بررسی کنید.

۲-۱۰ پذیرفتاری الکتریکی AC، که با χ نشان داده می‌شود، با رابطهٔ زیر تعریف می‌شود

$$P(\omega) = \chi(\omega)\epsilon_0 E(\omega)$$

که در آن، P ، گشتاور دو قطبی در واحد حجم است و در مدل ساده‌ای برای قطبیدگی با رابطه

$$P(\omega) = Nex(\omega)$$

داده می‌شود. در اینجا، N یون در واحد حجم وجود دارد که هر یک دارای بار e هستند و به صورت هماهنگ حول $x(\omega) = 0$ نوسان می‌کنند.

با مراجعه به مسئله ۲-۹ (د) نشان دهید که

$$\chi(\omega) = \frac{Ne^2}{\epsilon_0} G(\omega)$$

فرض کنید $\chi(\omega) = \chi_1(\omega) + i\chi_2(\omega)$ که در آن χ_1 و χ_2 حقیقی‌اند.

χ_1 و χ_2 را برحسب ω به دست آورید و آنها را رسم کنید. کدام یک از دو تابع $\chi_1(\omega)$ و $\chi_2(\omega)$ به اتلاف توان مربوط می‌شود؟

برای مطالعه بیشتر

R. Resnick and D. Halliday: *Physics*, Vols. I and II (Wiley, New York 1977)

مقدمه‌ای بر نوسانهای هماهنگ در این جلد آمده است.

I. G. Main: *Vibrations and Waves in Physics* (Cambridge University Press, Cambridge 1978)

بررسی کاملی از تمام درجات میرایی در نوسانگرها در این کتاب یافت می‌شود.

P. R. Wallace: *Mathematical Analysis of Physical Problems* (Dover, New York 1984)

بررسی کامل نوسانگر در بطن مبحث تحلیل فوریه در این کتاب آمده است.

امواج روی تارهای کشیده

چکیده

ساده‌ترین نمونه سیستم گسترده دارای حرکت موجی خطی، تار تحت کششی است که اختلالی در آن به وجود آید. این فصل با به دست آوردن معادله موج حاکم بر ارتعاشهای سیم آغاز می‌شود. مانند فصل ۲، تحلیل مسئله را به دو قسمت حرکت طبیعی و حرکت واداشته تقسیم می‌کنیم. نشان می‌دهیم که حرکت طبیعی از بینهایت جزء مستقل از یکدیگر تشکیل شده است که هر یک را اصطلاحاً یک مد طبیعی می‌نامند. به هر مد، نوسانگری هماهنگ با بسامد طبیعی مشخصه آن مد وابسته است. وابستگیهای مکانی مدها روی هم رفته، پایه راست هنجار کاملی را در بازه‌ای که سیم اشغال کرده است تشکیل می‌دهند. این نکته، حل مسئله مقدار اولیه‌ای را آسان می‌سازد. تحلیل حرکت واداشته حاکی از آن است که نوسانگر مشخصه هر مد، درست همانند تک‌نوسانگری که در فصل قبل بررسی شد، دارای یک پاسخ تشدید است.

۱-۳ معادله حرکت تار

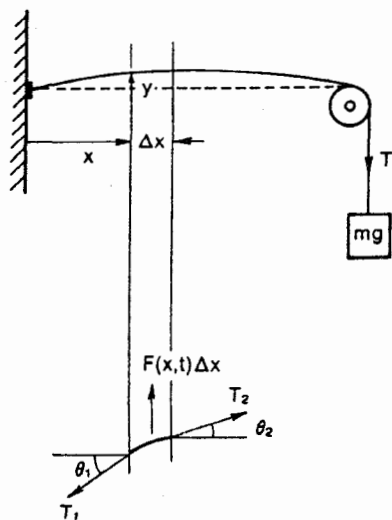
در فصل قبل میان سیستمهای قلابه و سیستمهای گسترده تمایز قائل شدیم. ساده‌ترین نمونه سیستم گسترده، سیستمی است که فقط در یک بُعد گسترش یافته باشد، در مکانیک سیم انعطاف‌پذیر

تحت کشش را داریم. سیم ویولن یک مثال بدیهی است، همین‌طور تارهای صوتی انسان. این مسئله را به تفصیل بررسی خواهیم کرد، زیرا دارای تمام عناصر قابل تحلیل ذاتی سیستم گسترده، با حداقل پیچیدگی است. بدین ترتیب مسائل این فصل به مراتب پیچیده‌تر از مسائل فصل پیش است. یافتن دلیل آن مشکل نیست: اگر قرار بود تار را به اتمهای تشکیل دهنده‌اش تقسیم کنیم، می‌توانستیم حرکت هر اتم را با روشهای فصل قبل مطالعه کنیم. اما در آن صورت باید تعداد بسیار زیادی اتم، یا سیستم قلنبه یا تعداد بسیار زیادی متغیرهای مستقل یا درجات آزادی را در نظر می‌گرفتیم. به‌جای انجام این محاسبه اتمی، تار را یک سیستم پیوسته در نظر می‌گیریم. حتی در این حالت نیز، ممکن است در مشخص کردن حرکت، بستگی زمانی مجموعه‌ای نامتناهی از متغیرها دخیل باشد، که متناظر با بینهایت درجه آزادی است.

مانند فصل قبل، قانون دوم نیوتون معادله حرکتی را می‌دهد که جوابهایش حرکت سیستم را در شرایط مشخص پیش‌بینی می‌کنند. شکل ۱-۳ تار انعطاف‌پذیری را نشان می‌دهد که تحت کشش T قرار دارد و کمی از حالت تعادل خارج شده است.

همان‌طور که مشاهده می‌شود، هر نقطه از سیم را می‌توان با مقدار مختصه x که فاصله افقی از سر تار است، مشخص کرد. اگر طول تار L باشد، x از صفر تا L تغییر می‌کند. جابه‌جایی عمودی یا عرضی تار در هر نقطه با مختصه y ، اندازه‌گیری می‌شود. این مختصه تابع دو متغیر است، می‌نویسیم $y(x, t)$ ، که t معرف زمان است.

برخلاف فصل گذشته، با توابع بیش از یک متغیر سروکار داریم. وقتی مشتق این توابع را محاسبه



شکل ۱-۳ بالا: سیم انعطاف‌پذیر تحت کشش T کمی از حالت تعادل خارج شده است. قرقره بی‌اصطکاک است. پایین: قطعه Δx سیم تحت نیروی عمودی بر واحد طول $F(x, t)$ است.

می‌کنیم، معمولاً به مشتق جزئی نیاز داریم. مشتقهای جزئی $y(x, t)$ با رابطه‌های زیر تعریف می‌شوند،

$$\frac{\partial y(x, t)}{\partial x} = \lim_{\Delta x \rightarrow 0} \frac{1}{\Delta x} [y(x + \Delta x, t) - y(x, t)] \quad (۱-۳ الف)$$

$$\frac{\partial y(x, t)}{\partial t} = \lim_{\Delta t \rightarrow 0} \frac{1}{\Delta t} [y(x, t + \Delta t) - y(x, t)] \quad (۱-۳ ب)$$

مشتق جزئی $\partial y / \partial x$ مشتق معمولی y نسبت به x است، در حالی که متغیر دیگر یعنی t ، پارامتری ثابت قلمداد می‌شود. همان‌طور که انتظار می‌رود، معادله حرکت تار برحسب مشتقهای جزئی، یک معادله دیفرانسیل جزئی، خواهد بود. در واقع، سیستمهای گسترده از معادله‌های دیفرانسیل جزئی پیروی می‌کنند، و باید یاد بگیریم چگونه این معادله‌ها را حل کنیم.

برای یافتن معادله حرکت تار، مسئله را با منزوی کردن قطعه‌ای از تار که بین x و $x + \Delta x$ ، در شکل ۱-۳، قرار دارد تحلیل می‌کنیم. برابند نیروهای وارد بر این قطع چیست؟ می‌دانیم که در طول یک تار انعطاف‌پذیر، کشش همواره در راستای مماس برسیم اعمال می‌شود. نکته مهم در مسئله فعلی، این است که شیبهای تار در دو انتهای این قطعه تفاوت دارند؛ در زمان t ، این دوشیب به صورت زیرند (شکل ۱-۳)

$$\tan \theta_2 = \frac{\partial y(x + \Delta x, t)}{\partial x}$$

$$\tan \theta_1 = \frac{\partial y(x, t)}{\partial x}$$

اکنون قید مهمی را در تمامی این فصل اعمال خواهیم کرد فرض می‌کنیم که فقط با ارتعاشهای کوچک تار سروکار داریم. زاویه‌های θ_1 و θ_2 همواره آن‌قدر کوچک‌اند که در بسط تیلور توابع مثلثاتی فقط جمله اول را نگه می‌داریم. این قید باعث می‌شود که معادله دیفرانسیل حرکت خطی شود. یادآور می‌شویم که این به معنای آن است که فقط توان اول $y(x, t)$ ظاهر خواهد شد. بنابراین از نظر فیزیکی، طبق معمول، با ایده‌آل‌سازی، یعنی نوعی تقریب سروکار داریم که انتظار داریم بسیار مفید باشد.

در شکل ۱-۳ می‌بینیم که مؤلفه‌های افقی نیروهایی که بر تار اعمال می‌شوند $T_1 \cos \theta_1$ و $T_2 \cos \theta_2$ هستند. اما چون θ_1 و θ_2 زاویه‌های کوچکی هستند، $\cos \theta_1$ و $\cos \theta_2$ را واحد می‌گیریم. چون تار در جهت افقی حرکت نمی‌کند، داریم

$$T_1 \cos \theta_1 = T_2 \cos \theta_2, T_1 = T_2 \equiv T$$

کشش T در تمامی طول تار یکسان است، اگر چه جرم تار را نادیده نخواهیم گرفت.

مؤلفه‌های عمودی کشش $T \sin \theta_1$ و $T \sin \theta_2$ هستند. بازهم، چون زاویه‌ها کوچک هستند، به جای سینوس تانژانت می‌گذاریم، به طوری که برابند مؤلفه‌های عمودی نیروهایی که به دو سر قطعه تار وارد می‌شود با رابطه زیر داده می‌شود.

$$T(\sin \theta_2 - \sin \theta_1) = T \left[\frac{\partial y(x + \Delta x, t)}{\partial x} - \frac{\partial y(x, t)}{\partial x} \right]$$

امکان اعمال نیروی عمودی خارجی بر تار، برایمان جالب توجه است. بدین منظور، کافی است که این نیرو را همواره به جهت عمودی مقید کنیم. اگر بگوییم نیروی $F(x, t)$ برواحد طول به نقطه x از تار اعمال می‌شود، آنگاه نیرویی که بر قطعه سیم وارد می‌شود، $F(x, t)\Delta x$ خواهد بود.

برای جمله مربوط به شتاب جرم نیز می‌باید عبارتی تحلیلی بیابیم. فرض می‌کنیم که تار یکنواخت و دارای چگالی ثابت است، یعنی جرم بر واحد طول را ρ می‌گیریم. جرم قطعه سیم $\rho\Delta x$ می‌شود، شتاب عمودی این قطعه $\partial^2 y(x, t)/\partial t^2$ است، اعمال و قانون دوم نیوتون به مؤلفه‌های عمودی، معادله حرکت مورد نظر را می‌دهد:

$$T \left[\frac{\partial y(x + \Delta x)}{\partial x} - \frac{\partial y(x)}{\partial x} \right] + F(x, t)\Delta x = \rho\Delta x \frac{\partial^2 y}{\partial t^2}$$

یا

$$\boxed{\frac{T}{\rho} \frac{\partial^2 y(x, t)}{\partial x^2} + \frac{F(x, t)}{\rho} = \frac{\partial^2 y(x, t)}{\partial t^2} \quad L > x > 0 \quad y \ll L} \quad (2-3)$$

برای رسیدن به (۲-۳)، معادله را به $\rho\Delta x$ تقسیم کرده‌ایم و با گرفتن حد $\Delta x \rightarrow 0$ و استفاده از (۱-۳ الف) به نتیجه زیر رسیده‌ایم:

$$\lim_{\Delta x \rightarrow 0} \frac{1}{\Delta x} \left[\frac{\partial y(x + \Delta x, t)}{\partial x} - \frac{\partial y(x, t)}{\partial x} \right] = \frac{\partial^2 y(x, t)}{\partial x^2}$$

۲-۳ حرکت طبیعی تار

مانند فصل قبل، بین دو مسئله حرکت طبیعی تار، یعنی حرکت تار وقتی که پس از ضربه اولیه به حال خود گذاشته شود و نیروی خارجی بر آن اعمال نشود و حرکت واداشته تار تحت تأثیر نیروی محرک مشخص $F(x, t)$ ، تفاوت می‌گذاریم. حرکت طبیعی یا حرکت واداشته هر سیستم

گسترده را می‌توان، حرکت موجی، نامید. معمولاً اولین تجربه ما از حرکت موجی در کودکی امواج سطح آب است این امواج عرضی هستند، جابه‌جایی فیزیکی آب عمود بر جهت حرکت (انتشار) امواج است. امواج مورد بررسی در این فصل نیز عرضی هستند و چون خطی هستند، تحلیل آنها ساده‌تر است. امواج سطحی آب در فصل آخر می‌آیند که بررسی خود را به امواج غیرخطی تعمیم می‌دهیم.

چون قرار نیست در این بخش نیروی خارجی داشته باشیم، مسئله مورد نظر، درک پیامدهای معادله زیر است

$$\frac{\partial^2 y(x, t)}{\partial t^2} = s^2 \frac{\partial^2 y(x, t)}{\partial x^2} \quad (3-3)$$

این معادله با مساوی صفر قرار دادن $F(x, t)$ در (۲-۳) و جانشین کردن متعارف به دست می‌آید.

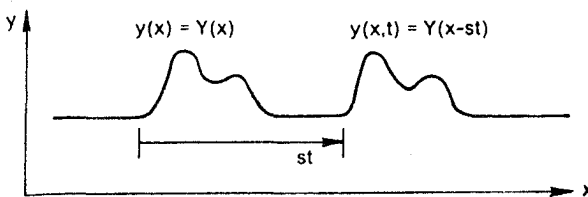
$$s^2 = \frac{T}{\rho} \quad (4-3)$$

معادله دیفرانسیل جزئی (۲-۳) یک معادله موج است، در واقع می‌توان آن را بنیادی‌ترین معادله موج مورد مطالعه در فیزیک خواند.

یک راه نوشتن جواب این معادله موج به صورت شگفت‌انگیزی کلی است:

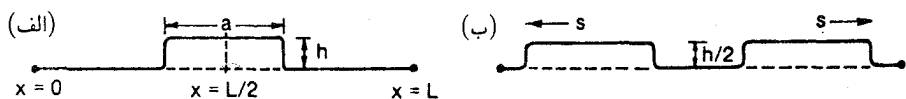
$$y(x, t) = Y_1(x - st) + Y_2(x + st) \quad (5-3)$$

در اینجا، Y_1, Y_2 می‌تواند هر تابع معقولی باشد. منظور از تابع «معقول» تابعی به اندازه کافی پیوسته است تا بتوان شکل فیزیکی تار را، بدون نیاز به تا کردن، به آن نسبت داد.^۱ معنی جواب $Y(x - st)$ چیست؟ فرض کنید که در $t = 0$ ، تار به شکل دلخواه $Y(x)$ در آمده باشد. در این صورت، در زمان بعدی t ، جزء خاصی از تار که دارای این شکل است اکنون در فاصله st به طرف راست قرار دارد. این را در شکل ۲-۳ نشان داده‌ایم. می‌توان گفت که آشفتگی، بدون توجه



شکل ۲-۳ یکی از جوابهای ممکن معادله موج. موج به سمت راست حرکت می‌کند.

۱. اثبات (۵-۳) ساده است. فرض کنید که $\xi = x - st$ ، پس $\partial^2 Y(x - st) / \partial t^2 = s^2 Y''$ که مشتق دوم $Y(\xi)$ نسبت به ξ است. همین‌طور $\partial^2 Y(x - st) / \partial x^2 = Y''$.



شکل ۳-۳ (الف) جابه‌جایی تار کشیده شده‌ای که در ابتدا ساکن است. (ب) حرکت تار در نتیجه تقارن اولیه.

به سرشت آن، با سرعت یکنواخت s به طرف راست حرکت می‌کند. جواب $Y(x + st)$ تغییر مشابهی دارد، فقط در این مورد آشفتنگی به طرف چپ حرکت می‌کند.

اگر به (۳-۴) رجوع کنیم، می‌بینیم که s ، که اکنون دریافته‌ایم سرعت حرکت موجی در سیم است، با زیاد شدن کشش سیم افزایش می‌یابد، اگر چه فقط به صورت جذر آن، و با افزایش چگالی سیم هم به همان ترتیب کاهش می‌یابد. مسلماً، این همان چیزی است که ممکن است از تجربه روزمره خود درباره انواع پاسخهای کشسان انتظار داشته باشیم.

اینک، از اطلاعاتی که درباره جوابهای معادله موج به دست آورده‌ایم، برای بررسی مسئله‌ای خاص استفاده می‌کنیم: در شکل ۳-۳ الف، تار در فاصله $x = L/2 + a/2$ و $x = L/2 - a/2$ به اندازه h جابه‌جا و در قسمت‌های دیگر اصلاً جابه‌جا نشده است. به عبارت دیگر، تار را به شکل «موجی مربعی» در آورده‌ایم. حرکت طبیعی تار اگر پس از جابه‌جایی بدین‌صورت از حالت سکون رها شود چگونه است؟ آیا این طرح به سمت راست حرکت خواهد کرد یا چپ؟ نسبت به نقطه مرکزی تار، یعنی وسط آن، وضعیت طرف راست درست مانند وضعیت طرف چپ است. بنابراین، موج مربعی به دو موج هر یک با جابه‌جایی $h/2$ تقسیم خواهد شد، یکی از موجها به طرف راست و دیگری به طرف چپ حرکت خواهد کرد. شکل ۳-۳ ب وضعیت را پس از بازه زمان اندکی نشان می‌دهد. در مسئله ۳-۱، این جواب را به‌طور تحلیلی بررسی خواهیم کرد، و احتمال داشتن سرعت اولیه را نیز منظور می‌کنیم.

اما هنگامی که موجهای مربعی متحرک به دو انتهای تار برسند چه می‌شود؟ باید فرض کنیم که دو انتهای تار محکم بسته شده‌اند. به عبارت دیگر، شرایط مرزی تار چنین است

$$y(0, t) = 0 \quad y(L, t) = 0 \quad (۳-۶)$$

یک روش تحلیلی ترسیمی وجود دارد (روش تصویرها) که برخورد با اثر نقطه‌های انتهایی ثابت را امکان‌پذیر می‌کند، به مثال ۳-۱ در انتهای فصل مراجعه کنید. اما، گاهی، مخصوصاً اگر رفتار دراز مدت مورد نظر باشد، بررسی تحلیلی تری از جوابهای معادله موج، نسبت به آنچه تاکنون دیده‌ایم،

مورد نیاز است. در بررسی‌های بعدی، با سیستم‌های گسترده دیگری سروکار خواهیم داشت، و باز هم به معلومات بیشتری نیاز داریم.

۳-۳ مدهای بهنجار

می‌توانیم معادله موج (۳-۳) را به روش نسبتاً خاصی حل کنیم. چون جوابی که با این روش خاص به دست می‌آوریم، کلی‌ترین جواب خواهد بود. لزومی ندارد خود را با روش‌های ممکن دیگر برای حل این معادله مشغول کنیم. حاصلضرب دو تابع را، که یکی فقط به x و دیگری فقط به t بستگی دارد، به جای $y(x, t)$ قرار می‌دهیم:

$$y(x, t) = u(x)v(t) \quad (۷-۳)$$

اگر (۷-۳) را مستقیماً در (۳-۳) قرار دهیم، داریم

$$u(x) \frac{d^2 v(t)}{dt^2} = s^2 v(t) \frac{d^2 u(x)}{dx^2}$$

سپس، طرفین را بر حاصلضرب $u(x)v(t)$ تقسیم می‌کنیم:

$$\frac{1}{v(t)} \frac{d^2 v(t)}{dt^2} = \frac{s^2}{u(x)} \frac{d^2 u(x)}{dx^2} \quad (۸-۳)$$

معادله اخیر، ویژگی قابل ملاحظه‌ای دارد. طرف چپ تابع t است، نه x و طرف راست به x وابسته است، اما نه به t ، و با وجود این، دو طرف به‌ازای تمام مقادیر x و t باید برابر باشند. این فقط وقتی صادق است که هر طرف مساوی با مقدار ثابت یکسانی باشد، یعنی مقداری که نه به x وابسته باشد و نه به t . با توجه به گام‌های بعدی، این ثابت را $-\omega^2$ می‌نامیم. بدین ترتیب، داریم

$$\frac{1}{v(t)} \frac{d^2 v(t)}{dt^2} = -\omega^2 \quad (۹-۳ \text{ الف})$$

$$\frac{s^2}{u(x)} \frac{d^2 u(x)}{dx^2} = -\omega^2 \quad (۹-۳ \text{ ب})$$

اولین مورد را در نظر می‌گیریم:

$$\frac{d^2 v}{dt^2} = -\omega^2 v(t) \quad (۱۰-۳ \text{ الف})$$

این معادله نوسانگر هماهنگ بدون میرایی است، که در فصل ۲ بررسی کردیم. پاسخ آن چنین است

$$v(t) = \sin \omega t, \quad \text{یا} \quad \cos \omega t, \quad \text{یا} \quad e^{i\omega t} \quad (۱۱-۳ \text{ الف})$$

و یا هر ترکیب دلخواهی از اینها. باز هم تابعی دوره‌ای از زمان داریم که ω بسامد زاویه‌ای آن است. به همین ترتیب، (۳-۹ ب) را به صورت

$$\frac{d^2 u(x)}{dx^2} + \frac{\omega^2}{s^2} u(x) = 0$$

می‌توان نوشت، و حل آن

$$u(x) = \sin\left(\frac{\omega}{s}x\right) \quad \text{یا} \quad \cos\left(\frac{\omega}{s}x\right) \quad \text{یا} \quad e^{i\left(\frac{\omega}{s}x\right)} \quad (۱۱-۳ \text{ ب})$$

است. چون این توابع از نظر مکانی دوره‌ای هستند، همانند فصل ۱، بردار موج k را به صورت زیر تعریف می‌کنیم

$$k = \frac{\omega}{s} \quad (۱۲-۳)$$

خلاصه کار تا اینجا چنین است که، جواب معادله موج (۳-۳) برای تارکشیده شده، حاصلضرب تابعی دوره‌ای از فضا، u ، و تابعی دوره‌ای از زمان، v ، است. علاوه بر معادله (۳-۳)، شرایط مرزی (۶-۳) نیز می‌باید برقرار باشند. چون این شرایط همواره صادق هستند، باید به $u(x)$ تکیه کنیم. شرایط لازم و کافی چنین‌اند

$$u(0) = 0 \quad u(L) = 0 \quad (۱۳-۳)$$

نتیجه می‌گیریم که، برای اینکه u در $x = 0$ صفر شود، باید جوابهای ممکن (۱۱-۳ ب) را به تابع سینوس محدود کنیم. برای برقراری شرط مرزی در $x = L$ ، در می‌یابیم که باید برای بردار موج k محدودیت قائل شویم، بردار موج به مقادیر خاصی محدود می‌شود، داریم

$$u(x) = \sin k_n x$$

$$u(L) = 0$$

$$k_n = \frac{n\pi}{L} \quad n = 1, 2, 3, \dots \quad (۱۴-۳ \text{ الف})$$

در (۱۴-۳ الف)، n می تواند هر عدد صحیح مثبتی باشد. اعداد صحیح منفی را کنار می گذاریم، زیرا آنها دوباره همان توابع را با علامت منفی به دست می دهند، به عبارت دیگر همان جوابها دوباره تکرار می شوند.

با در نظر گرفتن رابطه (۱۲-۳) مقادیر ممکن بسامد زاویه ای را نیز باید محدود کنیم،

$$\omega_n = sk_n = \frac{n\pi s}{L} \quad (۱۴-۳ ب)$$

اینک جواب معادله موج چنین است

$$y_n(x, t) = (A_n \sin \omega_n t + B_n \cos \omega_n t) \sqrt{\frac{2}{L}} \sin \left(\frac{n\pi x}{L} \right) \quad (۱۵-۳)$$

در اینجا A_n و B_n ثابتهای دلخواه هستند. معادله (۱۵-۳) بدون توجه به اینکه، این دو ثابت چه مقداری را اختیار کنند، جواب معادله موج (۳-۳) است. $\sqrt{2/L}$ ضریب «بهنجارش» است. خواهیم دید که وجود آن وضع بهتری را به وجود می آورد. سرانجام، متوجه می شویم که انتخاب ثابت حقیقی منفی در (۳-۹ الف و ب) برای به دست آوردن شرایط «مرزی» فیزیکی در فضا و زمان ضروری است.

چون، همان طور که قبلاً اشاره شد، معادله موج خطی است، جوابهایش فقط به صورت (۱۵-۳) با n صحیح و مثبت نیست، بلکه مجموع هر تعداد از این جوابها نیز، خود جواب مسئله است:

$$y(x, t) = \sum_{n=1}^{\infty} (A_n \sin \omega_n t + B_n \cos \omega_n t) \sqrt{\frac{2}{L}} \sin \left(\frac{n\pi x}{L} \right) \quad (۱۶-۳ الف)$$

بدین ترتیب با در اختیار داشتن دو مجموعه نامتناهی ثابتهای A_n و B_n ، هر حرکت طبیعی تار کشیده شده ای را که دو سرش بسته است را می توان به درستی توصیف کرد. کلی ترین جواب معادله موج را با اعمال شرایط مرزی $x = 0$ و $x = L$ به دست آورده ایم. مقادیر A_n و B_n به شرایط اولیه یعنی به شکل اولیه تار و به توزیع سرعتها در طول تار که با آن حرکت آزاد بعدی را شروع می کنیم، وابسته اند. تعمیمی از جواب ساده هماهنگ را که برای یک نوسانگر در فصل گذشته یافتیم، به دست آورده ایم. اینجا هم، قبل از اینکه بتوانیم مسئله خاصی را حل کنیم، لازم است بررسی صوری خود را با نوشتن جواب متناظر (۱۶-۳ الف) برای توزیع سرعت بر روی تار، کامل کنیم:

$$\frac{\partial y(x, t)}{\partial t} = \sum_{n=1}^{\infty} \omega_n (A_n \cos \omega_n t - B_n \sin \omega_n t) \sqrt{\frac{2}{L}} \sin \left(\frac{n\pi x}{L} \right) \quad (۱۶-۳ ب)$$

به مسئله شکل ۳-۳ باز می‌گردیم. از (۳-۱۶ الف و ب)، در زمان $t = 0$ ، داریم:

$$y(x, 0) = \sum_n B_n \sqrt{\frac{2}{L}} \sin\left(\frac{n\pi x}{L}\right) \quad (الف \ ۱۷-۳)$$

$$\left. \frac{\partial y(x, t)}{\partial t} \right|_{t=0} = 0 = \sum_n A_n \omega_n \sqrt{\frac{2}{L}} \sin\left(\frac{n\pi x}{L}\right) \quad (ب \ ۱۷-۳)$$

طرف چپ (۱۷-۳ الف) همان تابع x در شکل ۳-۳ است، یعنی جابه‌جایی اولیهٔ تار. چون فرض می‌کنیم که تار، در تمام طولش، از حالت سکون شروع به حرکت می‌کند، طرف چپ (۱۷-۳ الف) را مساوی با صفر قرار داده‌ایم. آنچه در طرف راست می‌بینیم، عبارتهایی هستند که بسیار شبیه نمایشهای فوریهٔ توابع دلخواهی هستند که در فصل اول بررسی کردیم، تفاوت فقط در جزئیات است؛ در فصل ۱ با توابعی سروکار داشتیم که در گسترهٔ بینهایت $-\infty < x < \infty$ قرار داشتند، در حالی که در اینجا این گستره محدود است:

$$L > x > 0$$

متناظر با آن، در آنجا گسترهٔ k شامل تمام مقادیر ممکن می‌شد، در حالی که اینجا، k به مقادیر گسستهٔ خاصی مقید است که با اعداد صحیح مثبت مشخص شده‌اند. انتگرال فصل ۱ به جمع بر روی این مقادیر گسسته تبدیل شده است. اما ایده‌های کلی یکسان است و ثابتهای A_n و B_n هم به همان طریق به دست خواهند آمد.

اولین نکته‌ای که وجودش را مسلم می‌کنیم، این است که توابع

$$u_n = \sqrt{\frac{2}{L}} \sin k_n x = \sqrt{\frac{2}{L}} \sin\left(\frac{n\pi x}{L}\right) \quad n = 1, 2, 3, \dots \quad (۱۸-۳)$$

هم، مجموعه‌ای متعامد تشکیل می‌دهند:

$$\int_0^L u_n(x) u_m(x) dx = 0 \quad \text{وقتی} \quad n \neq m \quad (الف \ ۱۹-۳)$$

به علاوه، به خاطر ضریب $\sqrt{2/L}$ ، انتگرال‌گیری باز هم نشان می‌دهد که

$$\int_0^L u_n(x) u_m(x) dx = 1 \quad \text{وقتی} \quad n = m \quad (ب \ ۱۹-۳)$$

رابطه (۳-۱۹) ب) حاکی از آن است که توابع u_n بهنجار شده‌اند. قبلاً هم گفتیم که (۳-۱۶ الف) کلی‌ترین جواب مسئله است. معادله‌های (۳-۱۷) به‌ازای هر انتخاب فیزیکی توابع $y(x, 0)$ و $\partial y(x, 0)/\partial t$ برقرارند. این نکات، همانند فصل ۱، به این می‌انجامد که توابع

$$u_n(x), \quad n = 1, 2, 3, \dots$$

مجموعهٔ راست هنجار کاملی از توابع پایه را تشکیل می‌دهند.

اینک از (۳-۱۹) برای حل (۳-۱۷) استفاده می‌کنیم. طرفین (۳-۱۷ الف) را در $\sqrt{2/L} \sin m\pi x/L$ ضرب می‌کنیم و از طرفین برروی گسترهٔ تعریف شدهٔ x انتگرال می‌گیریم:

$$\sqrt{\frac{2}{L}} \int_0^L \sin\left(\frac{m\pi x}{L}\right) y(x, 0) dx = \sum_{n=1}^{\infty} B_n \left(\frac{2}{L}\right) \int_0^L \sin\left(\frac{m\pi x}{L}\right) \sin\left(\frac{n\pi x}{L}\right) dx$$

اگر طرف راست این رابطه را با (۳-۱۹ الف) مقایسه کنیم، مشاهده می‌کنیم که همهٔ جملات این جمع به غیر از جمله‌ای که در آن $n = m$ است، صفرند. به علاوه، (۳-۱۹ ب) نشان می‌دهد که این جملهٔ بخصوص جمع، همان B_m است. اگر معادله را برای B_m حل کنیم، فرمول مطلوب را برای ضریب B_m به‌دست می‌آوریم:

$$B_m = \sqrt{\frac{2}{L}} \int_0^L \sin\left(\frac{m\pi x}{L}\right) y(x, 0) dx = \int_0^L u_m(x) y(x, 0) dx \quad (۳-۲۰ الف)$$

همین رویه در مورد (۳-۱۷ ب) به فرمول زیر می‌انجامد.

$$\begin{aligned} A_m &= \frac{1}{\omega_m} \sqrt{\frac{2}{L}} \int_0^L \sin\left(\frac{m\pi x}{L}\right) \frac{\partial y(x, 0)}{\partial t} dx \\ &= \frac{1}{\omega_m} \int_0^L u_m(x) \frac{\partial y(x, 0)}{\partial t} dx \end{aligned} \quad (۳-۲۰ ب)$$

بالاخره، با استفاده از (۳-۲۰) برای تابع بخصوص $y(x, 0)$ در شکل ۳-۳، می‌توان نوشت

$$B_m = h \sqrt{\frac{2}{L}} \int_{L/2-a/2}^{L/2+a/2} \sin\left(\frac{m\pi x}{L}\right) dx$$

زیرا، $y(x, 0)$ در جاهای دیگر صفر است. با محاسبهٔ انتگرال داریم

$$B_m = \frac{2h\sqrt{2L}}{m\pi} \sin \frac{m\pi}{2} \sin\left(\frac{am}{L} \cdot \frac{\pi}{2}\right) \quad (۳-۲۱ الف)$$

چون سرعت اولیه همه جا صفر است، از (۳-۲۰) همچنین داریم

$$A_m = 0 \quad (۳-۲۱)$$

که به ازای تمام m برقرار است. متوجه می‌شویم که B_m همه برای مقادیر زوج m صفر است و این به خاطر ضرب $\sin(m\pi/2)$ در (۳-۲۱) الف) است. وضعیت شبیه حالتی است که در مثال ۱-۱ به آن برخوردیم. تقارن زوج نسبت به مرکز تار، تمام توابع u_n را که نسبت به وسط تار تقارن فرد دارند، کنار می‌گذارد.

معادله‌های (۳-۱۶) الف) و (۳-۲۱) حل مسئله شرط اولیه‌ای ما را تشکیل می‌دهند. هنگامی که ضرایب A_m ، B_m که از (۳-۲۱) به دست آمده‌اند، در عبارت کلی (۳-۱۶) الف) قرار گیرند، شکل‌گیری جابه‌جایی y را در تمام نقاط x به ازای تمام زمانها خواهیم داشت. می‌بینیم که اگر سیستمی گسترده چون تار کشیده شده داشته باشیم، که مکانها و سرعتهای آن در زمانی اولیه، $t = 0$ ، مشخص هستند، روال منظمی برای یافتن حرکت سیستم در زمانهای بعدی وجود دارد. با توجه به دلایل فیزیکی، انتظار داریم که این جواب یکتا باشد؛ یعنی وقتی که سیستم شروع به حرکت کرد، تحول آن همواره به یک شکل است. ریاضیات مؤید آن است که معادله دیفرانسیل جزئی از نوع معادله موج، با شرایط مرزی مشخص، اگر مقادیر اولیه مکان و سرعت معین شده باشند فقط دارای یک جواب است. چون، راه‌حلی که ارائه شد، نسبتاً طولانی است، آن را در جدول ۳-۱ خلاصه کرده‌ایم. یک جنبه (۳-۱۶) الف) نیازمند توضیح بیشتری است. متوجه می‌شویم وقتی مقادیر دامنه‌های A_n و B_n مشخص شدند، در طول ثابت باقی می‌مانند. هیچ ارتباطی میان مؤلفه‌های مختلف جوابهای y_n در (۳-۱۵)، وجود ندارد:

$$y_n(x, t) = (A_n \sin \omega_n t + B_n \cos \omega_n t) u_n(x)$$

$$y = \sum_{n=1}^{\infty} y_n \quad (۳-۱۶) \text{ الف)}$$

کمیتی که به وضوح این استقلال مؤلفه‌های مختلف حرکت را نشان می‌دهد، انرژی تار است، که به صورت جمع جمله‌های مختلف، هر یک به ازای یک مقدار n ، نوشته می‌شود. این نکته در یکی از مسائل انتهای فصل مطرح می‌شود. در رهیافتهای پیشرفته‌تر می‌توان حرکت سیستم را با در نظر گرفتن انرژیهای جنبشی و پتانسیل، به جای نیروها، به دست آورد. در آن صورت، مسئله به یافتن توابع $y_n(x, t)$ که سهم مستقل از یکدیگر در عبارت انرژی دارند، تبدیل می‌شود.

با همه این ویژگیها، دیگر شگفت‌انگیز نیست که به جوابهای مستقل مسئله، y_n ، نامی را اختصاص دهیم. آنها مدهای بهنجار حرکت سیستم هستند. یکی از پیامدهای جواب (۳-۱۶) الف)

جدول ۱-۳ روال منظم حل یک مسئله مقدار اولیه برای سیستمی که آشفته شده است

سیمی تحت کشش T در فاصله $x = 0$ تا $x = L$ قرار دارد. چگالی آن ρ است. جابه‌جایی کوچک سیم، y ، در معادله موج زیر صدق می‌کند

$$\frac{\partial^2 y(x, t)}{\partial t^2} = s^2 \frac{\partial^2 y(x, t)}{\partial x^2} \quad (۳-۳)$$

که در آن

$$s^2 = \frac{T}{\rho} \quad (۴-۳)$$

شرایط مرزی عبارت‌اند از

$$y(0, t) = 0, \quad y(L, t) = 0 \quad (۶-۳)$$

جواب کلی که به‌ازای تمام زمانها در (۳-۳) و (۶-۳) صدق می‌کند، چنین است.

$$y(x, t) = \sum_{n=1}^{\infty} (A_n \sin \omega_n t + B_n \cos \omega_n t) u_n(x) \quad (۱۶-۳ \text{ الف})$$

در اینجا، $\omega_n = sk_n$ و $u_n(x)$ مجموعه راست هنجار کامل توابع

$$u_n(x) = \sqrt{\frac{2}{L}} \sin k_n x \quad (۱۸-۳)$$

است، که در آن

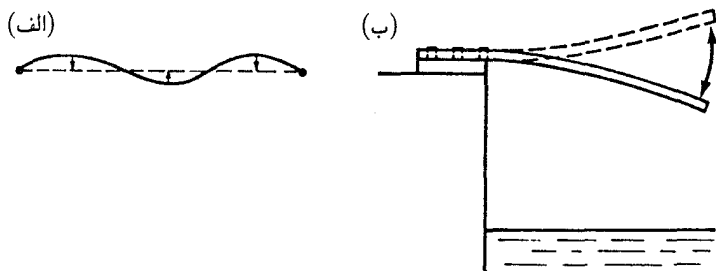
$$k_n = \frac{n\pi}{L} \quad (۱۴-۳ \text{ الف})$$

ضرایب A_n ، B_n با استفاده از شرایط اولیه، از طریق فرمولهای

$$A_n = \frac{1}{\omega_n} \int_0^L u_n(x) \frac{\partial y(x, t)}{\partial t} \Big|_{t=0} dx \quad (۲۰-۳ \text{ الف})$$

$$B_n = \int_0^L u_n(x) y(x, 0) dx \quad (۲۰-۳ \text{ ب})$$

به‌دست می‌آیند.



شکل ۳-۴ (الف) تار کشیده شده که فقط در مد $n = 3$ نوسان می‌کند. (ب) تختهٔ پرش شنا که در پایین‌ترین مد خود نوسان می‌کند. هر مد بالاتری که در ابتدا برانگیخته شود، به سرعت میرا خواهد شد.

آن است که اگر قرار باشد تار را چنان برانگیزیم که در ابتدا فقط یک مد، مثلاً y_1 ، وجود داشته باشد، آنگاه، تار در طول زمان فقط با این مد نوسان خواهد کرد، شکل ۳-۴. در عمل، اغلب، مدهای بالاتر به سرعت میرا می‌شوند و فقط پایین‌ترین مد (مد بنیادی) باقی می‌ماند، شکل ۳-۴. ب. می‌گوییم مدها مشخصهٔ سیستم هستند. [در بررسی‌های پیشرفته‌تر از نام «ویژه تابع» برای توابع $y_n(x, t)$ نیز استفاده می‌شود، ویژه در آلمانی به معنای مشخصه است. در فصل ۶، هنگامی که به مکانیک کوانتومی می‌رسیم، بر مفاهیمی که به همراه نامگذاری اخیر می‌آیند، تأکید خواهیم کرد.] به‌طور خلاصه می‌توان گفت که، حرکت سیستمهای گسترده را می‌توان به‌صورت برهم‌نهی مدهای پایهٔ حرکت، مدهای بهنجار، در نظر گرفت.

اکنون مدهای بهنجار تار را با جزئیات بیشتر بررسی می‌کنیم. ابتدا متوجه می‌شویم که بستگی زمانی همهٔ آنها، هماهنگ ساده است. در واقع، بسامدهای زاویه‌ای ω_n مضربهای صحیحی از پایین‌ترین بسامد ω_1 هستند، که آن را بسامد بنیادی سیستم می‌نامند، داریم

$$\omega_n = n\omega_1 \quad n = 1, 2, 3, \dots \quad \omega_1 = \frac{\pi s}{L}$$

بسامدهای بالاتر را گاهی هماهنگهای بالاتر یا تنهای بالاتر می‌گویند.

مدهای بهنجاری که یافته‌ایم، نمونه‌ای از امواج ایستاده هستند. دیدیم که تعریف موج عبارت بود از هرگونه آشفتگی (حرکت) در سیستم گسترده آشفته شده برای تار همگن (چگالی ثابت) دریافتیم که مدهای بهنجار هم در فضا و هم در زمان هماهنگ ساده هستند. در بررسی‌های مقدماتی، از ابتدا امواج به صورت تابعی زیر مطرح می‌شوند

$$y = A \begin{Bmatrix} \cos \omega t \\ \sin \omega t \end{Bmatrix} \begin{Bmatrix} \cos kx \\ \sin kx \end{Bmatrix}$$

یعنی به صورت یکی از چهار حاصلضرب ممکن. این امواج را ایستاده می‌نامند، زیرا محل شکمها و گره‌های آنها در فضا تغییر نمی‌کند.

یک رابطهٔ دیگر هم وجود دارد که مشخصهٔ امواج هماهنگ است. فرض کنید $f_n (= \omega_n / 2\pi)$ بسامد مشخصهٔ یک موج باشد. فرض کنید λ_n (که قبلاً در (۱-۱) به صورت $2\pi/k_n$ معرفی شد)، طول موج مربوط به آن باشد. در این صورت اندکی عملیات جبری نشان می‌دهد که (۳-۱۴) ب) را می‌توان به شکل زیر نوشت

$$\lambda_n f_n = s = \text{سرعت موج} \quad (22-3)$$

نتیجه‌ای که مستقل از n است. علاوه بر امواج ایستاده، از امواج پیشرونده نیز می‌توان سخن گفت،

$$y = A \sin(kx - \omega t)$$

متوجه می‌شویم که اینها مثال خاصی از جواب (۳-۵) معادلهٔ موج هستند. در اینجا رابطهٔ $\lambda f = s$ تعبیر فیزیکی واضحی دارد. چون نمی‌توان فرض کرد که هر خواننده‌ای با این ایده‌های مقدماتی آشناست، در بخش مسائل دوباره به آنها می‌پردازیم.

۳-۴ حرکت واداشتهٔ تار کشیده

با حل مسئلهٔ حرکت طبیعی تار به حرکت واداشتهٔ آن می‌پردازیم؛ چگونه سیستم به اعمال نیروی محرک پاسخ می‌دهد؟ چون اکنون انتظار داریم $F(x, t)$ در (۳-۲) تأثیر کنترل کننده باشد، با در نظر گرفتن (۳-۴)، معادلهٔ (۳-۲) را به صورت زیر بازنویسی می‌کنیم،

$$\frac{\partial^2 y}{\partial t^2} + \beta \frac{\partial y}{\partial t} - s^2 \frac{\partial^2 y}{\partial x^2} = \frac{F(x, t)}{\rho} \quad (23-3)$$

در اینجا یک نیروی میرایی در واحد طول $(-\beta \rho \partial y / \partial t)$ ، را که متناسب با سرعت، $\partial y / \partial t$ است اضافه کرده‌ایم، درست همانند نیروی میراکنندهٔ $-bdx/dt$ که در فصل ۱ به نوسانگر هماهنگ اضافه کردیم. اما، خواهیم دید که نیازی به توصیف مفصل اثرات آن نیست. بلکه، به خاطر تعریف ریاضی، آن را وارد کرده‌ایم، یعنی برای اجتناب از برخی بینهایت‌ها، و در آنچه در زیر می‌آید، اغلب نیروی میراکننده را بینهایت کوچک فرض خواهیم کرد.

لازم نیست مسئله تار تحت تأثیر نیروی دلخواه را حل کنیم. بلکه، حالت خاص نیروی جایگزیده در فضا را که بستگی زمانی آن هماهنگ ساده باشد بررسی می‌کنیم. با استفاده از تابع دلتای

دیراک فصل ۱ که به صورت (۲۳-۱) تعریف شده است، می‌توانیم رابطه‌ای تحلیلی برای نیرویی که در فضا جایگزیده است بنویسیم. بنابراین، برای نیروی در واحد طول $F(x, t)$ داریم

$$F(x, t) = F_\omega \delta(x - x_0) \cos \omega t \quad (24-3)$$

نیروی کل وارد بر تار را نیز می‌توان با انتگرال $F(x, t)$ روی تار به دست آورد

$$\int_0^L F(x, t) dx = \int_0^L F_\omega \delta(x - x_0) \cos \omega t dx = F_\omega \cos \omega t$$

اگر (۲۳-۳) و (۲۴-۳) را با هم ترکیب کنیم داریم

$$\frac{\partial^2 y}{\partial t^2} + \beta \frac{\partial y}{\partial t} - s^2 \frac{\partial^2 y}{\partial x^2} = \frac{F_\omega}{\rho} \delta(x - x_0) \cos \omega t \quad (25-3)$$

اگر بخواهیم پاسخ تار را به یک نیروی دلخواه در فضا و زمان بدانیم، همواره می‌توانیم آن را به مجموع جملاتی به صورت (۲۴-۳) با بسامدهای متفاوت و مکانهای مختلف x_0 در طول تار، تجزیه کنیم. سپس از خاصیت معادله‌های خطی ناهمگن که در فصل قبل به آن اشاره کردیم استفاده می‌کنیم، به این ترتیب که، جواب این نوع معادله‌ها مجموع تک‌تک جوابهاست، که هر یک با مساوی قرار دادن طرف راست معادله با مؤلفه‌ی بخصوصی از نیروی محرک به دست آمده‌اند. در اینجا به این جزئیات نمی‌پردازیم و آنها را به مسائل موکول می‌کنیم، در عوض سعی می‌کنیم اثر نیرویی به صورت (۲۴-۳) را به خوبی درک کنیم.

پاسخ زمانی سیستمی که تحت اثر نیروی محرک هماهنگ ساده، به شکل (۲۵-۳) باشد، چیست؟ در ابتدا، باید بین پاسخ حالت مانا و پاسخ اولیه تفاوت بگذاریم. مورد اخیر، جوابی از معادله موج همگن را به میان می‌آورد که سرانجام باید برای مطابقت با شرایط اولیه مسئله منظور شود. در تحلیل پاسخ اولیه، که همان مسئله مقدار اولیه بخشهای گذشته است، دریافتیم که همه مدهای بهنجار حرکت به میزانهای مختلف برانگیخته می‌شوند، و سیستم در تمامی این مدها نوسان می‌کند. اما، در آن تحلیل، میرایی ناشی از اصطکاک را در نظر نگرفتیم. عمل نیروی میراکننده به لحاظ کیفی با آنچه برای تک‌نوسانگر در فصل ۲ بررسی کردیم، یکسان است. در عمل، مدهای بالاتر یا سریعتر حرکت، زودتر انرژی خود را از دست می‌دهند تا سرانجام نوبت به مد بنیادی برسد. این اثرات را بازهم «گذرا» می‌نامیم، و در می‌یابیم که طول عمر آنها، مانند تک‌نوسانگر با قدرت نیروی میراکننده، β ، نسبت عکس دارد. وقتی پاسخ گذرا از بین برود، چه باقی می‌ماند؟ آنچه باقی می‌ماند، حرکت برانگیخته، یعنی حرکتی که صرفاً به نیروی محرک هماهنگ پیوسته پایا بستگی

دارد. تا آنجایی که به این حالت پایا مربوط می‌شود، می‌توان فرض کرد که نیروی محرک همواره، از زمان منهای بینهایت، حضور داشته است.

اگر نیروی محرک واقعاً از زمان منهای بینهایت وجود داشته و در آینده هم موجود باشد، می‌دانیم که پاسخ سیستم چگونه خواهد بود. از فصل ۱، به یاد داریم که توابعی از نوع $\cos \omega t$ ، $e^{i\omega t}$ در حوزه زمانی نامتناهی متعامد هستند. پیامد منطقی حاصل آن است که پاسخ زمانی y ، هم درست مانند نوسانگر هماهنگ واداشته در فصل ۲، هماهنگ ساده با همان بسامد نیروی محرک خواهد بود. اگر انتقال فاز ناشی از میرایی را نادیده بگیریم، یعنی β را بینهایت کوچک فرض کنیم، خواهیم داشت $y(x, t) \propto \cos \omega t$. فعلاً، به‌طور کلی‌تر می‌نویسیم

$$y(x, t) \propto e^{i\omega t} \quad (26-3)$$

اما وابستگی فضایی y به x برای حرکت واداشته چگونه است؟ در اینجا می‌توانیم به روش بخشهای گذشته برگردیم، و به یاد آوریم که مجموعه توابع $u_n(x)$ در (۱۸-۳) مجموعه‌ای کامل از توابع در گستره $x = 0$ تا $x = L$ است، در صورتی که نقطه‌های انتهایی ثابت باشند. با استفاده از این نکته و در نظر داشتن (۲۶-۳)، $y(x, t)$ را به شکل

$$y(x, t) = \sum_{n=1}^{\infty} C_n u_n(x) e^{i\omega t} \quad (27-3)$$

می‌نویسیم. مانند بخشهای سابق C_n مجموعه‌ای از ضرایب (مختلط) را تشکیل می‌دهد، که جواب مطلوب را به دست می‌دهد [که با قسمت حقیقی (۲۷-۳) داده می‌شود].
با قراردادن (۲۷-۳) در (۲۵-۳) داریم

$$\sum_{n=1}^{\infty} C_n \left[u_n(x) \left(\frac{d^2}{dt^2} + \beta \frac{d}{dt} \right) - s^2 \frac{d^2 u_n(x)}{dx^2} \right] e^{i\omega t} = \frac{F_\omega}{\rho} \delta(x - x_0) e^{i\omega t}$$

با مشتق‌گیریهای لازم، چنین به دست می‌آوریم

$$-\sum_{n=1}^{\infty} C_n u_n(x) (\omega^2 - i\omega\beta) e^{i\omega t} + s^2 \sum_{n=1}^{\infty} C_n k_n^2 u_n(x) e^{i\omega t} = \frac{F_\omega}{\rho} \delta(x - x_0) e^{i\omega t}$$

اگر ضریب مشترک $e^{i\omega t}$ را حذف کنیم، چنین داریم که

$$\sum_n C_n u_n(x) (s^2 k_n^2 + i\omega\beta - \omega^2) = \frac{F_\omega}{\rho} \delta(x - x_0)$$

اکنون از ترفند معمول ضرب کردن طرفین در $u_m(x)$ و انتگرال گیری روی x از 0 تا L استفاده می کنیم:

$$\sum_n C_n (s^2 k_n^2 + i\omega\beta - \omega^2) \int_0^L u_m(x) u_n(x) dx = \frac{F_\omega}{\rho} \int_0^L u_m(x) \delta(x - x_0) dx$$

به واسطه راست هنجاری (۳-۱۹ الف و ب)، طرف چپ به فقط یک جمله تقلیل می یابد؛ طرف دوم را با استفاده از تعریف تابع دلتای دیراک (۱-۲۳)، محاسبه می کنیم. داریم

$$C_m (s^2 k_m^2 + i\omega\beta - \omega^2) = \frac{F_\omega}{\rho} u_m(x_0)$$

با مراجعه به (۳-۱۴ ب)، یعنی $\omega_m = sk_m$ ، C_m را چنین می نویسیم

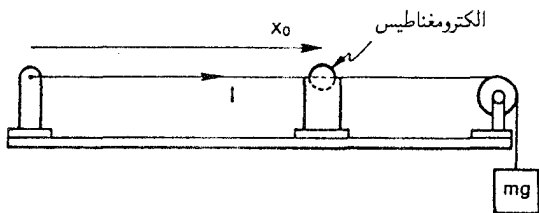
$$C_m = \frac{\frac{F_\omega}{\rho} u_m(x_0)}{(\omega_m^2 + i\omega\beta - \omega^2)}$$

وقتی این نتیجه را برای C_m ، در (۳-۲۷) قرار می دهیم و قسمت حقیقی را در نظر بگیریم، پاسخ مطلوب را برای تار به دست می آوریم. در فصل ۲، تمام پیامدهای میرایی، $\beta \neq 0$ ، را سنجیده ایم. در اینجا β را بسیار کوچک فرض می کنیم، به طوری که اگر درست در تشدید نباشیم، بتوانیم با گرفتن قسمت حقیقی، $y(x, t)$ را به صورت زیر بنویسیم

$$y(x, t) = \frac{F_\omega}{\rho} \sum_n \frac{u_n(x) u_n(x_0)}{(\omega_n^2 - \omega^2)} \cos \omega t \quad (3-28)$$

$\omega \neq \omega_n, n = 1, 2, 3, \dots$

ابزار آزمون (۳-۲۸) را می توان به سادگی ساخت. شکل ۳-۵ نمودار طرح وار آن را نشان می دهد. سیم سبکی که انتهای چپ آن ثابت است. طرف دیگر آن از روی قرقره ای که در منتهی الیه



شکل ۳-۵ سیم حامل جریان DC است که با I نشان داده شده است. نیروی لورنتس، $I \mathbf{l} \times \mathbf{B}$ که در x_0 بر سیم وارد می شود، سیم را در راستای قائم با بسامد برق شهر به نوسان در می آورد. به کمک این ابزار می توان حرکت برانگیخته سیم کشیده را بررسی کرد.

میز قرار دارد می‌گذرد و دارای قلبی است که وزنه‌های مختلف به آن متصل می‌شود. این ابزار آهنربای الکتریکی کوچکی نیز دارد که میدان مغناطیسی نوسان‌کننده‌ای تولید می‌کند، بسامد آن را می‌توان همان بسامد برق شهر 60 rad/s (2π) فرض کرد. جریان الکتریکی DC در سیم فرستاده می‌شود، تا نیروی لورنتس $(I \times B)$ ، سیم را با بسامد برق شهر در جهتی عمود بر سیم و میدان مغناطیسی اعمال شده، به حرکت در آورد. محل آهنربا را که قابل تنظیم است با x_0 نشان می‌دهیم و نیرو در واحد طول را با $F_0 \cos \omega t \delta(x - x_0)$ (کل نیرو $F_0 \cos \omega t$ است). نمایش تابع دلتای نیروی اعمال شده به شرطی معتبر است که گستره میدان مغناطیسی در مقایسه با طول موجهای برانگیخته مورد نظر کوچک باشد.

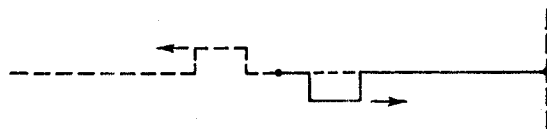
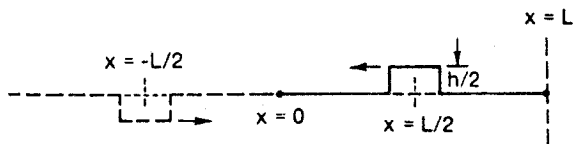
بدون توجه به محل آهنربا کشش نوسانی وجود خواهد داشت و وزوزی شنیده خواهد شد. بسامد نوسان را هم همواره می‌توانیم با استروبسکوپ اندازه بگیریم و مطمئن شویم که همان بسامد برق شهر است، و بدین ترتیب ضریب آخر در (۲۸-۳) یعنی $\cos \omega t$ را بررسی کنیم. اما اگر بسامد نوسان سیم چیز دیگر از آب درآید متعجب می‌شویم! البته، وجود هماهنگهای بالاتر در ولتاژ برق شهر همواره امکان‌پذیر است.

حال اگر کشش سیم را تغییر دهیم، دامنه نوسانهای سیم ناگهان به شدت افزایش می‌یابد. این بدان معنی است که به یکی از صفرهای مخرج (۲۸-۳) برخورد کرده‌ایم، یعنی، کشش را چنان تنظیم کرده‌ایم که

$$n \left(\frac{\pi}{L} \right) \sqrt{\frac{T}{\rho}} = \omega_n = \omega \quad (29-3)$$

سیستم در حالت تشدید قرار گرفته است. اوضاع در اینجا شبیه چیزی است که برای نوسانگر قلبه داشتیم، با این تفاوت که اکنون بینهایت تشدید، یکی به‌ازای هر مد بهنجار n داریم. اگر میرایی را مانند فصل قبل به صراحت منظور می‌کردیم، مخرج (۲۸-۳) به شکل پیچیده‌تر (۲-۲۴ ج) می‌شد و در تشدید متناهی باقی می‌ماند.

علاوه بر محاسبه n از (۲۹-۳) و تأیید اینکه عددی صحیح است، با مشاهده دقیق و یا به کمک تکه کاغذهایی متصل به سیم برای مشخص کردن محل گره‌ها، می‌توانیم ثابت کنیم که نوسانهای سیم موج ایستاده‌ای را تشکیل می‌دهند که دقیقاً با تابع $u_n(x)$ در (۲۸-۳) توصیف می‌شود. با توجه به (۲۸-۳) همچنین متوجه می‌شویم که پاسخ سیم هنگامی بیشینه است که آهنربا درست در محل یکی از شکمهای موج ایستاده قرار داده شود. این رفتار را وجود ضریب $u_n(x_0)$ در صورت (۲۸-۳) پیش‌بینی می‌کند. به‌نظر می‌آید که این ضریب تأثیر جفت‌شدگی



شکل ۳-۶ بازتاب تپ از انتهای ثابت با استفاده از روش تصاویر.

آهنربا را به سیستم می‌سنجد. معمولاً کسی زحمت بررسی وجود ضریب اول یعنی F_{ω}/Q در (۳-۲۸) را به خود نمی‌دهد. اما البته حضور آن براساس دلایل فیزیکی منطقی است. بنابراین، استدلال ریاضی ما را می‌توان به راحتی و به‌طور کامل آزمود و شناختی کامل از کل به دست آورد.

مثال ۱-۳

وقتی تپی که در شکل ۳-۳ ب به انتهای چپ تار نزدیک می‌شود، به تکیه‌گاه ثابت آن برسد، جابه‌جایی آن چگونه می‌شود؟

حل: تابعی که تپ اولیه را که به طرف چپ تار حرکت می‌کند با $y(x, t) = Y(x + st)$

نشان می‌دهیم.

فرض کنید جابه‌جایی $y(x, t) = Y(x + st) - Y(st - x)$ را در نظر بگیریم. که در آن تپ

دوم در $t = 0$ در حوالی $x = -L/2$ است. $y(x, t)$ جوابی کاملاً قابل قبول است. این جواب

الف) در $t = 0$ برای $L > x > 0$ شرایط اولیه را داراست،

ب) در معادله موج برای تار صدق می‌کند،

ج) شرایط مرزی را در $x = L$ و $x = 0$ داراست (شرط دوم را فقط برای زمانی محدود).

در $x = 0$ ، $y(0, t) = Y(st) - Y(st) = 0$.

چون شرایط الف تا ج) شرایط لازم و کافی برای جواب هستند، مسئله را حل کرده‌ایم. دقت

کنید که $Y(st - x)$ تپی است که، مطابق شکل به طرف راست حرکت می‌کند. اثر تکیه‌گاه ثابت،

تولید موج «بازتابیده» است.

مسائل

۱-۳ جواب کلی $y(x, t)$ را برای سیم کشیده شده با جابه‌جایی اولیه $y_0(x) = y(x, 0)$ و سرعت اولیه $v_0(x) = \partial y(x, t) / \partial t|_{t=0}$ ، به دست آورید. وقایع شکل ۳-۳ چگونه از جواب شما به دست می‌آید؟

راهنمایی: فرض کنید $y(x, t) = g_1(x + st) + g_2(x - st)$ که در آن g_1 و g_2 را باید بیابید.

۲-۳ با انتگرال‌گیری مستقیم، (۳-۱۹ الف و ب) را ثابت کنید.
 ۳-۳ (۳-۲۱ الف) و (۳-۳۲ ب) را ثابت کنید. درباره نتایجی که در این روابط وجود دارد بحث کنید.

راهنمایی: نگاه کنید به مثال ۱-۱.

۴-۳ تار L به طول که دو سرش ثابت هستند، فقط در مد بهنجار دوم، $n = 2$ ، نوسان می‌کند. سرعت اولیه آن برای تمام مقادیر x صفر است.
 الف) نمودار طرح‌واری از تار در زمانهای

$$t = \frac{1}{8} \frac{2\pi}{\omega_2}, \quad t = \frac{1}{4} \frac{2\pi}{\omega_2}, \quad t = \frac{5}{8} \frac{2\pi}{\omega_2}$$

رسم کنید که جابه‌جایی تمام x ها را نشان دهد.

ب) نموداری از جابه‌جایی y برحسب زمان در نقطه $x = (3/8)L$ و $x = L/2$ رسم کنید.
 ج) بگویید چرا آنچه رسم کرده‌اید متناظر با امواج ایستاده است.

۵-۳ تار 1 متر ثابت است. اگر تمام بردارهای موج کوچکتر از 100 m^{-1} ، یعنی $k < 100 \text{ m}^{-1}$ ، را به حساب آوریم، این سیم چند مد بهنجار دارد؟
 ۶-۳ کل انرژی جنبشی یک تار مرتعش از انتگرال زیر به دست می‌آید

$$\text{K.E}(t) = \frac{1}{2} \int_0^L \rho \left(\frac{\partial y}{\partial t} \right)^2 dx$$

الف) چرا این انتگرال انرژی جنبشی را می‌دهد؟

ب) انرژی پتانسیل سیم کشیده، $V(t)$ ، حاصل کاری است که در برابر کشش T هنگامی صورت می‌گیرد که به دلیل جابه‌جایی، سیم بلندتر می‌شود. نشان دهید که

$$V(t) = \frac{T}{2} \int_0^L \left[\frac{\partial y(x, t)}{\partial x} \right]^2 dx$$

ج) از رابطه (۳-۱۶) استفاده کنید و نشان دهید که کل انرژی را می‌توان به صورت مجموع جمله‌های مربوط به مدهای بهنجار نوشت، چنانکه هر مد به طور مستقل و جدا از مدهای دیگر در این مجموع ظاهر شود.

۳-۷ الف) توان $P(x, t)$ منتقل شده در هر نقطه x تار حاصلضرب نیروی عرضی وارد از طرف چپ تار به طرف راست آن در سرعت عرضی تار در x است. نشان دهید که به ازای هر موج $P, y(x - st)$ از رابطه زیر به دست می‌آید،

$$P(x, t) = sT(y')^2$$

$$\xi \equiv x - st \text{ و } y' = \frac{dy(\xi)}{d\xi} \quad \text{که در آن}$$

ب) حاصلضرب چگالی انرژی این موج (که از مسئله قبل به دست می‌آید) و سرعت موج s را به دست آورید. نتیجه را با $P(x, t)$ در قسمت (الف) مقایسه کنید.

۳-۸ در زمان $t = 0$ تار به صورتی که در شکل ۳-۷ آمده است، جابه‌جا شده است، در این زمان تار از حالت سکون رها می‌شود.

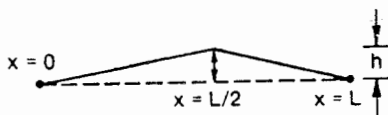
الف) این جابه‌جایی را به صورت بسطی از مدهای بهنجار بنویسید و ضرایب A_n, B_n را محاسبه کنید.

ب) شدت صوتی که تار نوسان کننده در هر یک از بسامدهای بهنجار تولید می‌کند متناسب با مربع دامنه آن مد است. نشان دهید که شدت صوت پنجمین هماهنگ کمتر از ۲۰ درصد شدت صوت مد بنیادی است.

راهنمایی: آیا هماهنگهای زوج موجودند؟ و

$$\int \frac{hx}{L} \sin ax dx = \frac{2h}{a^2 L} \sin ax - \frac{2hx}{La} \cos ax + C$$

ج) با در نظر گرفتن هماهنگهای کمتر از چهارم، شکل تار را در $t = 0$ رسم کنید. بحث کنید و به علامتهای (\pm) مختلف نیز توجه داشته باشید.



شکل ۳-۷ مسئله ۳-۸.

۹-۳ الف) دو مد بهنجار را برای نوسانگرهای جفت شده شکل ۸-۳ بیابید. راهنمایی: در معادله‌های حرکت قرار دهید

$$X_I(t) = X_I \cos \omega t \quad I = 1, 2$$

و دو مقدار ممکن ω را که جوابهای غیرصفر برای X_I به دست می‌دهند پیدا کنید. فرض کنید $m_1 = m_2 = m$.

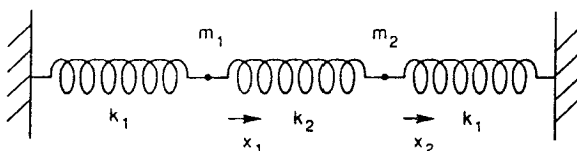
ب) نشان دهید که وقتی $k_2 \ll k_1$ ، انرژی که ابتدا به جرم طرف چپ، m_1 ، دارد بین دو جرم m_1 و m_2 با دوره $\beta \equiv k_2/m$ که در آن m جرم مشترک است، ردوبدل می‌شود. راهنمایی: $x_1(t)$ و $x_2(t)$ را برحسب مدهای بهنجار بیان کنید. شرایط اولیه زیر را در نظر بگیرید.

$$x_1(0) = A, \quad \left. \frac{dx_1}{dt} \right|_{t=0} = 0$$

$$x_2(0) = 0, \quad \left. \frac{dx_2}{dt} \right|_{t=0} = 0$$

اکنون، $x_1(t)x_2^*(t)$ ، $x_2(t)x_1^*(t)$ ، یعنی مربع دامنه‌ها را محاسبه کنید.

ج) دو آونگ یکسان با اتصال محکم میله‌های آویزشان به دو سر یک میله پیچشی افقی به یکدیگر جفت شده‌اند. تحلیلی کیفی از رفتار سیستم را هنگامی که آونگ طرف چپ به یکسو کشیده می‌شود (عمود بر میله) و از حالت سکون رها می‌شود، و در حالی که آونگ طرف راست از نقطه تعادل خود در پایین رها می‌شود به عمل آورید. این آزمایش نمایش آزمایشگاهی مناسبی است.



شکل ۸-۳ مسئله ۹-۳.

۱۰-۳ سیمی به طول ۱٫۵ متر، ۲٫۵ گرم جرم دارد. چه جرمی باید به انتهای آن آویخته شود تا تشدید در سومین مد طبیعی حاصل شود؟ بسامد محرک آهنربای الکتریکی 60 Hz است.

۱. مسئله ۹-۳ برای فصل ۶ درباره مکانیک موجی اهمیت دارد.

۱۱-۳ روش کلی نمایش تابع دلخواه $y(x)$ که در فاصله 0 تا L دوره‌ای باشد، استفاده از مجموعه کامل توابع تناوبی به شکل زیر است

$$y(x) = \sum_{n=1}^{\infty} A_n \sin \frac{2n\pi x}{L} + \sum_{n=0}^{\infty} B_n \cos \frac{2n\pi x}{L}$$

پس، چرا مجموعه $n = 1, 2, 3, \dots$ و $\sin(n\pi x/L)$ برای حالتی که دو انتهای سیم ثابت است، به عنوان مجموعه‌ای کامل ذکر می‌شود.

راهنمایی: به گستره بزرگتر 0 تا $2L$ فکر کنید و تابعی با تقارن مناسب را در نظر بگیرید.

۱۲-۳ الف) نشان دهید که سری ذکر شده در مسئله ۱۱-۳ برای $y(x)$ را می‌توان به صورت

$$y(x) \frac{\sqrt{2\pi}}{L} \sum_{n=-\infty}^{\infty} a(k_n) e^{ik_n x}$$

نوشت، که در آن $k_n = 2\pi n/L$ را برحسب A_n و B_n بیابید.

ب) نشان دهید که

$$a_n(k_n) = \frac{1}{\sqrt{2\pi}} \int_{-L/2}^{+L/2} y(x) e^{-ik_n x} dx$$

که در آن x ، به جای 0 تا L ، در فاصله $-L/2$ تا $L/2$ قرار دارد.

ج) در قسمت الف)، در حد $L \rightarrow \infty$ ، $y(x)$ به چه انتگرالی میل می‌کند؟ رابطه متناظر برای $a(k)$ کدام است؟

۱۳-۳ رابطه فشار اضافی $p(x, t)$ یک موج صوتی که در جهت x در گاز حرکت می‌کند، با تراکم $\partial y(x, t)/\partial x$ به صورت $p(x, t) = -B \partial y(x, t)/\partial x$ است. در اینجا y جابه‌جایی مولکولی میانگین از حالت تعادل، و B «مدول کشسانی حجمی بی‌دررو» است. اگر امواج صوتی با بسامدهای ثابت یک دیپازون را، در یک ستون شیشه‌ای با ارتفاع قابل تنظیم بفرستیم، تشدید به وجود می‌آید.

الف) با در نظر گرفتن نیروهایی وارد و شتاب برشی از گاز به ضخامت Δx نشان دهید

$$s^2 \frac{\partial^2 y}{\partial x^2} = \frac{\partial^2 y}{\partial t^2}$$

که در آن، $s^2 = B/\rho$ و ρ چگالی است.

(ب) مجموعه مدهای بهنجار $y_n(x, t)$ را برای جابه‌جایی میانگین مولکولهای هوا نسبت به حالت تعادل به‌دست آورید. شرایط مرزی را چنین بگیرید: فشار اضافی در بالای ستون وجود ندارد و جابه‌جایی میانگین در قسمت بسته پایین استوانه صفر است. آیا این مدها طولی (دارای جابه‌جایی در جهت حرکت موج) هستند، یا مانند امواج روی تار، عرضی هستند؟

(ج) با توجه به روش مسئله ۳-۹ پیرامون کامل بودن مجموعه مدهایی که به‌دست آورده‌اید بحث کنید.

راهنمایی: گستره $-2L < x < 2L$ را در نظر بگیرید.

(د) بدون اینکه محاسبه را عملاً انجام دهید، توضیح دهید که چگونه می‌توان نتیجه‌ای مشابه با (۳-۲۸) به‌دست آورد، و با فرض اینکه سیستم از جایی نزدیک به بالای ستون هوا برانگیخته می‌شود، فکر می‌کنید نتیجه چه باشد. در چه بسامدهایی تشدید به‌وجود می‌آید؟

۳-۱۴ نیروی $F(t) = F_0 \cos \omega_0 t$ به‌طور عمودی به انتهای $x = 0$ تار بلندی به چگالی ρ و کشش افقی T وارد می‌آید. (تار بلند متناظر با حالتی است که سیگنال بازتابیده یا بسیار کوچک است و یا به‌قدری دیر می‌رسد که به حساب نمی‌آید.)

(الف) چرا عبارت $y = -y_0 \sin(\omega_0 x/s - \omega_0 t)$ را موج پیش‌رونده می‌خوانیم؟ تعبیر فیزیکی رابطه $\lambda f = s$ برای این موج چیست؟

راهنمایی: چند موج در واحد زمان از کنار ناظر ساکن می‌گذرند؟

(ب) با این فرض که موج پیش‌رونده‌ای که در $x = 0$ در طرف برانگیخته سیم سرچشمه بگیرد، نشان دهید که نسبت $F(t)/[\partial y(0, t)/\partial t]$ در تمام زمانها از رابطه زیر به‌دست می‌آید

$$\frac{F(t)}{\frac{\partial y}{\partial t}} = \frac{T}{s}$$

که در آن s سرعت موج است.

(ج) با استفاده از اصل برهم نهی نشان دهید که چرا برای تار بلندی که نیروی اعمال شده خارجی بر آن صفر است می‌توان نوشت

$$\frac{\partial y(x, t)}{\partial t} = \frac{1}{\sqrt{2\pi}} \int_0^{\infty} \left[A(\omega) \cos \left(\omega t - \frac{\omega x}{s} \right) + B(\omega) \sin \left(\omega t - \frac{\omega x}{s} \right) \right] d\omega \quad x > 0$$

(د) اگر در انتهای $x = 0$

$$\frac{\partial y(0, t)}{\partial t} = \frac{1}{2} \frac{F_0 s}{T} (e^{i\omega_0 t} + e^{-i\omega_0 t}) e^{-\frac{t}{\tau}}$$

نشان دهید که

$$A(\omega) = \sqrt{2\pi} \left(\frac{F_0 s}{T} \right) [g_n(\omega_0 - \omega) + g_n(\omega_0 + \omega)]$$

که در آن

$$g_n(x) \equiv \sqrt{\frac{n}{\pi}} e^{-nx}$$

$$B(\omega) = 0$$

ه) تابع $e^{i\omega t - \omega x/s}$ را تابع مناسب بگیرید و از قسمت‌های (ج) و (د) $\partial y(x, t)/\partial t$ در حد $n \rightarrow \infty$ استفاده کنید.

و) با استفاده از قسمت‌های (ج) و (د) $\partial y(x, t)/\partial t$ را بدون در نظر گرفتن حد $n \rightarrow \infty$ بیابید و دربارهٔ نتیجهٔ حاصل بحث کنید.

۳-۱۵ الف) انتهای $x = 0$ یک تار تحت کشش که در $x = L$ ثابت است چنان برانگیخته می‌شود که $y(0, t) = A \cos \omega_0 t$. با فرض اینکه تار در ابتدا ساکن باشد، $y(x, t)$ را به دست آورید.

راهنمایی: فرض کنید $z(x, t) = y(x, t) + [A(x - L)/L] \cos \omega_0 t$

ب) تفاوتها و شباهتهای نتیجهٔ خود را با گزارهٔ زیر ذکر کنید: اگر یک انتهای سیمی با بسامد طبیعی به حرکت درآید در حالی که انتهای دیگر ثابت است، موج ایستاده مربوطه بر روی سیم شکل می‌گیرد.

۳-۱۶ با در نظر گرفتن نتیجهٔ مختلط حاصل در بخش ۳-۴ برای C_n ، نشان دهید که برای تار بلند، و هنگامی که $b \ll \omega$ ، جواب برانگیختهٔ (۳-۲۷)، به‌ازای $x > x_0$ به‌صورت زیر در می‌آید

$$y(x, t) = \frac{F_0}{\rho s} \operatorname{Re} \left\{ \frac{-i}{\omega - \frac{1}{\tau}} \exp \left[i\omega \left(t - \frac{x - x_0}{s} \right) \right] \exp \left[\frac{-(x - x_0)b}{2s} \right] \right\}$$

و به ازای $x < x_0$ ، به عبارت زیر،

$$= \frac{F_0}{\rho s} \operatorname{Re} \left\{ \frac{-i}{\omega - \frac{ib}{2}} \exp \left[i\omega \left(t + \frac{x - x_0}{s} \right) \right] \exp \left[\frac{(x - x_0)b}{2s} \right] \right\}$$

اینجا، دو موج پیشروندهٔ میرا هستند که از $x = x_0$ سرچشمه می‌گیرند و در جهت‌های مخالف حرکت می‌کنند. در اینجا، تار بلند یعنی سیمی که در آن $L \gg s/b$ و $L \gg 1$ و $L\omega/s \gg 1$ که بسامد محرک است و نقطهٔ حرکت x_0 به یک فاصله از دو انتهای سیم قرار دارد. توجه کنید که برای b/ω کوچک

$$\int_{-\infty}^{\infty} \frac{e^{ivP} dv}{v^2 + ib\omega - \omega^2} \simeq \frac{\pi i}{\left(\omega - \frac{ib}{2}\right)} \exp \left[-P \left(i\omega + \frac{b}{2} \right) \right] \quad \text{اگر } P > 0$$

$$= \frac{\pi i}{\left(\omega - \frac{ib}{2}\right)} \exp \left[P \left(i\omega + \frac{b}{2} \right) \right] \quad \text{اگر } P < 0$$

برای مطالعهٔ بیشتر

W. C. Elmore, M. A. Heald: *Physics of Waves* (Dover, New York 1985)

P. R. Wallace: *Mathematical Analysis of Physical Problems* (Dover, New York 1984)

P. M. Morse, K. V. Ingard: *Theoretical Acoustics* (Mc Graw Hill, New York, 1968)

امواج الکترومغناطیسی

چکیده

دستاورد امواج یک‌بُعدی در فصل ۳ در مورد سیستم شش‌بُعدی میدانهای الکترومغناطیسی به‌کار خواهد رفت. فصل با شکل انتگرالی معادله‌های ماکسول آغاز می‌شود که فرض می‌کنیم خواننده به‌صورت مقدماتی با آن آشناست. تعاریف ریاضی و اهمیت فیزیکی عملگرهای برداری، گرادیان، دیورژانس و ناوارانه می‌شود. در پیوست این فصل خواننده دلایل هم‌ارزی این عملگرهای تعاریف و تعبیر فیزیکی را می‌یابد. شکل دیفرانسیلی معادله‌های ماکسول پس از آن خواهد آمد. با شروع از فضای آزاد نشان خواهیم داد که معادله‌های ماکسول به معادله‌های موج برای میدانهای الکتریکی و مغناطیسی می‌انجامد. جوابهای این معادله‌ها موج، انتشار امواج الکترومغناطیسی، یعنی نور در ناحیه مرئی و غیره، را به‌دست می‌دهند. جوابها را می‌توان تعدیل کرد تا برای سیستمهای بسته، کاواکها، همانند تار متناهی با دو سر ثابت، به‌کار روند. باز هم، مانند فصلهای ۲ و ۳، مدهای بهنجار، حرکت طبیعی و در مسئله ۴-۲۱، حرکت واداشته و تشدید را خواهیم داشت. سرانجام، معادله‌های ماکسول را در حالت کلی، یعنی با چشمه‌های گسترده، چگالیهای بار و جریان، در فضا حل خواهیم کرد. قضیه هلمهولتز، که مشخص می‌کند چه چیزی تعیین‌کننده میدانهای برداری است، ارائه می‌شود و برای یافتن میدانهای الکتریکی و مغناطیسی برحسب چشمه‌ها،

به کار می‌رود. در بخش آخر، از جوابهای کلی برای محاسبه توان تابشی آنتن دوقطبی استفاده خواهیم کرد.

۱-۴ شکل انتگرالی معادله‌های ماکسول

تحول میدانهای مغناطیسی و الکتریکی در فضا و زمان، فصل مشترکهای بسیاری با حرکت مکانیکی سیستمهای گسترده که در فصل گذشته بررسی کردیم، دارد. خواهیم دید که این میدانها در بعضی معادله‌های موج صدق می‌کنند. چشمه‌های آشفتگیهای مکانیکی نیروهای وارد هستند، و معمولاً در طرف راست معادله‌های موج ظاهر می‌شوند؛ آنها را جمله‌های محرک نامیده‌ایم. چشمه‌های میدانهای الکترومغناطیسی بارهای الکتریکی q و چگالیهای جریان \vec{j} هستند، و آنها هم در طرف راست معادله‌های موج مربوط به خودشان ظاهر می‌شوند. الکترومغناطیس از این نظر پیچیده است که دارای دو میدان یعنی، میدان الکتریکی E و میدان الکتریکی B است، که با یکدیگر جفت شده‌اند.

فرض می‌کنیم که خواننده تا اندازه‌ای با شکل انتگرالی قانونهای الکترومغناطیس آشناست:

$$\oint \mathbf{E} \cdot d\mathbf{S} = \frac{1}{\epsilon_0} \int \rho dv \quad (۱-۴)$$

$$\oint \mathbf{E} \cdot d\mathbf{l} = - \int \frac{\partial \mathbf{B}}{\partial t} \cdot d\mathbf{S} \quad (۲-۴)$$

$$\oint \mathbf{B} \cdot d\mathbf{S} = 0 \quad (۳-۴)$$

$$\oint \mathbf{B} \cdot d\mathbf{l} = \mu_0 \int \left(\mathbf{j} + \epsilon_0 \frac{\partial \mathbf{E}}{\partial t} \right) \cdot d\mathbf{S} \quad (۴-۴)$$

این چهار رابطه، شکل انتگرالی معادله‌های ماکسول هستند. به کمک آنها می‌توانیم میدانهای برداری $\mathbf{E}(\mathbf{r}, t)$ و $\mathbf{B}(\mathbf{r}, t)$ را برای هر توزیع بار در واحد حجم، $\rho(\mathbf{r}, t)$ و هر توزیع جریان الکتریکی در واحد سطح، $\mathbf{j}(\mathbf{r}, t)$ ، پیدا کنیم. در این فصل نشان خواهیم داد که چگونه می‌توان معادله‌ها را حل کرد و این میدانها را یافت.

معادله اول (۱-۴) قانون گاوس است. بنابه این قانون انتگرال میدان الکتریکی بر روی هر سطح بسته، یعنی شار الکتریکی، برابر است با کل بار درون حجمی که این سطح آن را محصور کرده است (تقسیم بر ϵ_0). معادله دوم، قانون فاراده، نشان می‌دهد که انتگرال خطی میدان الکتریکی در هر مسیر بسته برابر است با منهای آهنگ زمانی تغییر شار مغناطیسی، یعنی منهای آهنگ تغییر انتگرال میدان مغناطیسی در سطحی که مسیر آن را محصور کرده است. دو معادله بعدی، شامل

انتگرالهایی با همان سرشت انتگرالهای دو معادله قبلی است در (۳-۴) می‌بینیم که چشمه‌های مغناطیسی مشابه با چگالی بار الکتریکی نداریم. معادله (۴-۴) قانون آمپر است، که ماکسول آن را اصلاح کرده است. ϵ_0 و μ_0 گذردهی و تراوایی فضای آزاد هستند؛ در دستگاه یکاهای mks، $\epsilon_0 = 8.85 \times 10^{-12}$ و $\mu_0 = 4\pi \times 10^{-7}$.

همان‌طور که خواننده آگاه است، استفاده مستقیم از این معادله‌ها فقط در مواردی با تقارنهای خاص میسر است. مثلاً، با استفاده از (۱-۴)، همواره می‌توانیم میدان الکتریکی صفحه باردار با ابعاد نامتناهی را بیابیم. به همین ترتیب، با استفاده از (۴-۴) می‌توان میدان مغناطیسی یک رسانای بینهایت طولی حامل جریان را یافت.

۲-۴ شکل دیفرانسیلی معادله‌های ماکسول

شکل دیفرانسیلی معادله‌های ماکسول برحسب عملگرهای گرادیان، دیورژانس و تاو است. این عملگرها به صورت خاصی بر میدانهای برداری اثر می‌کنند و نتیجه هر عملکرد، تعبیر فیزیکی خاصی دارد. در اینجا، به نحوه عملکرد عملگرها و همچنین به تعبیرهای فیزیکی مربوطه می‌پردازیم. این تعبیرها بدیهی نیستند. در پیوست، روند کلی اثبات قضایا را در حالت ساده‌تر دو بُعدی ارائه خواهیم داد. خواننده علاقه‌مند، با نوع استدلالهای مربوطه آشنا خواهد شد.

در دستگاه دکارتی، عملگر برداری « ∇ » را چنین تعریف می‌کنیم

$$\nabla \equiv \left(\frac{\partial}{\partial x}\right) i + \left(\frac{\partial}{\partial y}\right) j + \left(\frac{\partial}{\partial z}\right) k \quad (5-4)$$

که در آن i, j, k بردارهای یکه در جهتهای x, y, z هستند.

گرادیان: تعریف آن چنین است

$$\text{grad}\psi(x, y, z) \equiv \nabla\psi = \left(\frac{\partial\psi}{\partial x}\right) i + \left(\frac{\partial\psi}{\partial y}\right) j + \left(\frac{\partial\psi}{\partial z}\right) k \quad (6-4 \text{ الف})$$

که در آن، ψ تابعی نردهای از x, y, z است؛ که با آن کار می‌کنیم. گرادیان، میدان نردهای $\psi(x, y, z)$ میدان برداری $\nabla\psi$ را می‌سازد. اگر c بردار یکه‌ای در جهت معین باشد، تعبیر فیزیکی $\nabla\psi$ آن است که $c \cdot \nabla\psi$ ، آهنگ تغییر ψ را در جهت c به دست می‌دهد. با توجه به اینکه، اگر θ زاویه بین دو بردار باشد، مقدار

$$(c \cdot \nabla\psi) = |\nabla\psi| \cos\theta$$

هنگامی بیشینه می‌شود که بردار یکه c با $\nabla\psi$ همسو شود، می‌بینیم که $\nabla\psi$ در جهت بیشترین آهنگ تغییر ψ قرار دارد، و مقدارش بیشینه آهنگ تغییر را مشخص می‌کند. در الکتروستاتیک،

رابطه بین میدان الکتریکی و پتانسیل نرده‌ای ϕ همان طور که خواننده احتمالاً می‌داند چنین است،

$$\mathbf{E} = -\nabla\phi$$

دیورژانس

$$\operatorname{div} \mathbf{F}(x, y, z) \equiv \nabla \cdot \mathbf{F} = \frac{\partial F_x}{\partial x} + \frac{\partial F_y}{\partial y} + \frac{\partial F_z}{\partial z} \quad (۴-۶)$$

به طور صوری ضرب نقطه‌ای برداری را بین ∇ و \mathbf{F} می‌گیریم، و از میدان برداری $\mathbf{F}(x, y, z)$ میدان نرده‌ای $\nabla \cdot \mathbf{F}$ را می‌سازیم. دیورژانس، شار خالص میدان برداری \mathbf{F} در واحد حجم را که از یک حجم بینهایت کوچک خارج می‌شود، اندازه می‌گیرد. یعنی

$$\nabla \cdot \mathbf{F} = \frac{\oint \mathbf{F} \cdot d\mathbf{S}}{\oint dv} \quad \text{در حد} \quad \oint dv \rightarrow 0 \quad (۴-۶)$$

منشأ واژه «شار» برای انتگرال سطحی میدان برداری در مکانیک شاره‌هاست، که در آنجا میدان، سرعت است و بنابراین شار کل جریان شاره است که در واحد زمان از سطح عبور می‌کند.

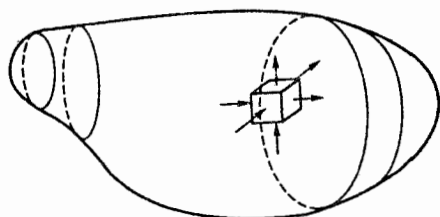
تاو:

$$\operatorname{curl} \mathbf{F}(x, y, z) \equiv \nabla \times \mathbf{F} = \left[\left(\frac{\partial}{\partial x} \right) \mathbf{i} + \left(\frac{\partial}{\partial y} \right) \mathbf{j} + \left(\frac{\partial}{\partial z} \right) \mathbf{k} \right] \times [F_x \mathbf{i} + F_y \mathbf{j} + F_z \mathbf{k}] \quad (۴-۵)$$

تاو را با محاسبه صوری ضرب برداری عملگر ∇ و میدان برداری $\mathbf{F}(x, y, z)$ ، که بر روی این بردار اثر می‌کند، به دست می‌آوریم. یک میدان برداری باز هم یک میدان برداری می‌دهد. تعبیر فیزیکی تاو این است که اگر انتگرال خطی یک میدان برداری \mathbf{F} را در پربندی که مساحت بینهایت کوچک ΔS را محصور می‌کند، به دست آوریم، یعنی $\oint \mathbf{F} \cdot d\mathbf{l}$ را محاسبه کنیم، در حدی که اندازه مساحت $|\Delta S|$ به صفر میل می‌کند، تاو در رابطه زیر صدق می‌کند

$$(\nabla \times \mathbf{F}) \cdot \Delta S = \oint \mathbf{F} \cdot d\mathbf{l} \quad (۴-۵)$$

در اینجا ΔS طبق قاعده معمول دست راست، در راستای عمود بر صفحه انتگرال‌گیری است. از بحث مربوط به گرادیان، نتیجه می‌گیریم که، جهت تاو بر صفحه انتگرال‌گیری که بیشترین مقدار انتگرال خطی در واحد سطح را می‌دهد عمود است. اندازه تاو، انتگرال خطی حول ΔS در این وضعیت تقسیم بر $|\Delta S|$ در حدی است که $|\Delta S|$ به صفر میل کند.



شکل ۱-۴ شار خالصی که از حجم کوچک Δv خارج می‌شود، $[\nabla \cdot \mathbf{F}(x, y, z)]\Delta v$ است. اگر بر روی تمام حجم بسته دلخواه انتگرال بگیریم، در نهایت با شار خالصی که از سطح خارجی بیرون می‌آید، مواجه خواهیم بود - قضیه گاوس.

تاو، «گردش» در واحد سطح را در نقطه معینی از میدان برداری می‌دهد. یعنی معیار آهنگ بیپیش خطوط نیرو، یا جریان است؛ به عبارت دیگر «گردشاری» میدانی است که بر روی آن اثر می‌کند. اگر میدان، سرعت شاره باشد، مقدار غیر صفر تاو مستلزم چرخش شاره است.

در نظر کسانی که برای اولین بار با این سه تعریف مواجه می‌شوند، ممکن است درک این مفاهیم دشوار باشد. اما فکر می‌کنیم که اگر خواننده دنباله مطالب فصل را پی گیرد و مثالها و مسائل را مطالعه کند، به تدریج این عملگرهای برداری تسلط خواهد یافت.

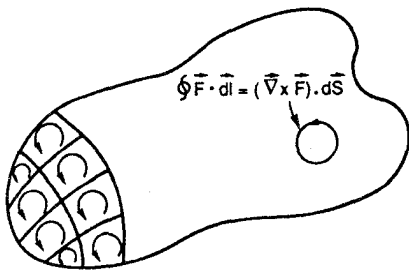
دو قضیه مقدماتی وجود دارد - یکی مربوط به دیورژانس است، که گاوس کشف کرد و دیگری به تاو مربوط می‌شود و جی. استوکس (۱۸۱۹-۱۹۰۳)، فیزیکدان انگلیسی آن را کشف کرد. انتگرال $\nabla \cdot \mathbf{F} dv$ را بر روی حجم بسته دلخواهی مانند شکل ۱-۴ در نظر بگیرید، $\mathbf{F}(x, y, z)$ یک میدان برداری پیوسته است. از تعریف دیورژانس، می‌دانیم که جزء انتگرالده $\text{div} \mathbf{F} dv$ (که در آن dv جزء حجم است)، برابر است با شار خالصی که از این جزء سرچشمه می‌گیرد، یعنی شار خروجی منهای شار ورودی. شار خروجی از هر جزء یا وارد جزء مجاور می‌شود و یا اگر جزء در سطح باشد، از آن بیرون می‌زند. طبق قضیه گاوس داریم:

$$\int \nabla \cdot \mathbf{F} dv = \int \mathbf{F} \cdot d\mathbf{S} \quad (۷-۴)$$

در شکل ۲-۴ سطح دلخواهی را نشان داده‌ایم که پربند خاصی آن را محصور کرده است. می‌خواهیم انتگرال زیر را که بر روی سطحی که این پربند آن را محصور کرده است به دست آوریم:

$$\int (\nabla \times \mathbf{F}) \cdot d\mathbf{S}$$

می‌دانیم که جزء $(\text{curl } \mathbf{F}) \cdot d\mathbf{S}$ نشان‌دهنده انتگرال خطی میدان برداری \mathbf{F} حول پربند کوچکی است که $d\mathbf{S}$ را محصور کرده است. اگر سهم اجزاء مجاور سطح را به انتگرال خطی بیفزاییم پربندهای داخلی یکدیگر را خنثی می‌کنند، زیرا همواره انتگرالهای خطی در جهت مخالف وجود دارد. تمام آنچه باقی خواهد ماند، انتگرال خطی \mathbf{F} در مسیر پربندی است که تمام سطح را



شکل ۲-۴ انتگرال خطی در مسیریکی از پربندهای کوچکی که با dS با $[\nabla \cdot \mathbf{F}(x, y, z)]$ داده می‌شود. اگر بر روی تمام سطح انتگرال بگیریم، انتگرالهای خطی بر روی پربندهای درونی یکدیگر را خنثی می‌کنند و در نهایت انتگرال خطی \mathbf{F} روی مسیر بیرونی باقی می‌ماند - قضیه استوکس.

محصور می‌کند. بدین ترتیب، قضیه استوکس را داریم که چنین است

$$\int (\nabla \times \mathbf{F}) \cdot d\mathbf{S} = \oint \mathbf{F} \cdot d\mathbf{l} \quad (۸-۴)$$

انتگرال تاو یک میدان برداری روی هر سطح دلخواه برابر است با انتگرال خطی میدان برداری حول پربندی که سطح را محصور می‌کند.

اکنون از این قضیه‌ها استفاده می‌کنیم تا معادله‌های ماکسول (۱-۴) تا (۴-۴) را به صورتی قابل فهم‌تر معادله‌های دیفرانسیل بازنویسی کنیم. اولین معادله ماکسول، معادله (۱-۴)، را می‌توان به صورت زیر نوشت:

$$\nabla \cdot \mathbf{E} = \frac{\rho}{\epsilon_0} \quad (۹-۴)$$

بدیهی است که با انتگرال‌گیری طرفین از (۹-۴) روی حجمی دلخواه و استفاده از قضیه گاوس، می‌توان به (۱-۴) بازگشت. توان شکل انتگرالی معادله‌های ماکسول به واسطه گستره‌های دلخواه است که بر انتگرال‌گیری روی آنها انجام می‌شود. با انتخاب دو حجم دلخواه در (۱-۴) که فقط اندکی با هم تفاوت دارند، و کم کردن نتیجه‌ها از یکدیگر می‌توان شکل دیفرانسیلی معادله ماکسول، معادله (۹-۴)، را مستقیماً از (۱-۴) به دست آورد. دو شکل معادله کاملاً هم‌ارز هستند. همین‌طور، استفاده از قضیه استوکس، (۸-۴)، به شکل دیفرانسیلی، (۲-۴) می‌انجامد:

$$\nabla \times \mathbf{E} = -\frac{\partial \mathbf{B}}{\partial t} \quad (۱۰-۴)$$

و حال که به اینجا رسیده‌ایم، به راحتی می‌توانیم با بازنویسی (۳-۴) و (۴-۴) کار را به انجام برسانیم:

$$\nabla \cdot \mathbf{B} = 0 \quad (۱۱-۴)$$

$$\nabla \times \mathbf{B} = \mu_0 \left[\mathbf{j} + \epsilon_0 \frac{\partial \mathbf{E}}{\partial t} \right] \quad (۱۲-۴)$$

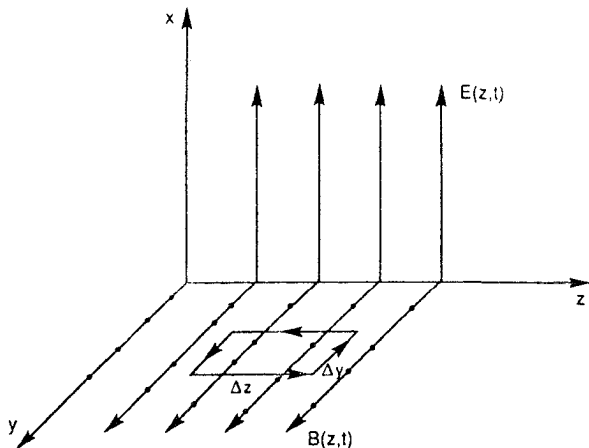
معادله‌های (۹-۴) تا (۱۲-۴) شکل دیفرانسیلی معادله‌های ماکسول هستند. این معادله‌ها اغلب در بررسی‌های پیشرفته‌تر نظریه الکترومغناطیس به کار می‌روند.

۴-۳ امواج الکترومغناطیسی تخت در فضای آزاد

در فصل ۳، تحت عنوان، امواج بر روی تار کشیده، آموختیم که دو نوع مسئله را حل کنیم، اولین مسئله، رفتار بعدی سیستمی بود که تحت تأثیر نیرویی قرار گرفته است، که آن را مسئله مقدار اولیه‌ای نامیدیم، و دوم، مسئله تعیین پاسخ سیستمی بود که بی‌وقفه تحت تأثیر نیروهای اعمال شده قرار دارد، یعنی تعیین حرکت واداشته سیستم. اکنون، مسئله مشابه را برای میدانهای الکتریکی و مغناطیسی بررسی می‌کنیم.

قبلاً دیدیم که چشمه‌های میدان، بارهای الکتریکی و جریانهای الکتریکی، با نیروهای اعمال شده در سیستمهای مکانیکی هم‌ارزند. در این بخش، به‌عنوان مقدمه، وضعیتی را بررسی می‌کنیم که در آن هیچ چشمه‌ای وجود ندارد، فقط اختلالی وجود دارد که یا زودتر از زمان مشاهده و یا در مکانی متفاوت موجود بوده است. به این ترتیب، با فضای آزاد سروکار داریم. (حضور ماده، عموماً مستلزم وجود بار و جریان است، نگاه کنید به فصل بعد.) برای سادگی خود را به مختصات دکارتی محدود می‌کنیم. اگرچه علاقه‌مند به کار در سه بعد هستیم، اما معمولاً برای تحلیل مسائل در هر دستگاه مختصات، ابتدا آشفته‌گیهایی را در نظر می‌گیریم که فقط به یکی از این مختصه‌ها وابسته هستند؛ این آشفته‌گیها روی سطوحی که در دستگاه دکارتی، تخت هستند، تغییرات فضایی ندارند. مثلاً، برای نیرویی در جهت z ، صفحاتی را با z ‌های ثابت داریم، که همان صفحه xy یا صفحات موازی با آن هستند. به این ترتیب، در این بخش، امواج الکترومغناطیسی تخت در فضای آزاد را در نظر می‌گیریم. در جستجوی جوابهای تخت برای E و B هستیم که در معادله‌های ماکسول صادق باشند، جوابهای $E(z, t)$ و $B(z, t)$ که تابع z و زمان t هستند ولی به x و y بستگی ندارند. معلوم نیست که بتوانیم چنین جوابهایی را بیابیم، اما می‌توانیم نشان دهیم که چگونه می‌توان آنها را یافت و اینکه چگونه می‌توان چنین جوابهایی را تعمیم داد تا مجموعه کاملی را به وجود آورند. به این ترتیب، مبنای لازم را برای حل هر نوع مسئله الکترومغناطیس در فضای آزاد را به‌رغم محدودیتهای ذکرشده، خواهیم داشت.

جوابهای تختی که به دنبالشان هستیم، عرضی خواهند بود. میدان عرضی را می‌توان میدانی در نظر گرفت که دیورژانس آن صفر است. از (۹-۴) نتیجه می‌شود که، $\text{div } E = \rho/\epsilon_0$ در فضای آزاد، که در آن چگالی بار ρ صفر است، به صورت $\nabla \cdot E = 0$ درمی‌آید و همچنین همواره داریم $\nabla \cdot B = 0$. به عبارت دیگر، منظور از جواب عرضی جوابی است که در آن E و B کاملاً



شکل ۳-۴ موج EM عرضی. نقطه‌ها نشان می‌دهند که میدان الکتریکی به صورت عمودی از صفحه z و y خارج می‌شود. $\oint \mathbf{B} \cdot d\mathbf{l}$ را دور مسیر مستطیلی که نشان داده شده است محاسبه می‌کنیم و حاصل را با μ_0 ضرب در جریان جابه‌جایی $\epsilon_0 \partial \mathbf{E} / \partial t \cdot d\mathbf{S}$ که از سطح مستطیلی می‌گذرد، مساوی قرار می‌دهیم.

در صفحه‌های عمود بر جهت انتشار، جهت z ، قرار دارند. در بخش مسائل نشان خواهیم داد که این دو تعریف برای عرضی بودن، هم‌ارزند.

هنوز هم اطلاعاتی از جهت بردارهای \mathbf{E} و \mathbf{B} در صفحات x - y نداریم. اما چنانکه خواهیم دید، بدون از دست دادن کلیت، می‌توان در ابتدا فرض کرد که میدان \mathbf{E} و در نتیجه مشتق زمانی آن، $\partial \mathbf{E} / \partial t$ ، به‌ازای تمام z و t در یک جهت ثابت قرار دارند. این وضعیت در شکل ۳-۴ نشان داده شده است، که در آن جهت \mathbf{E} و $\partial \mathbf{E} / \partial t$ را جهت x گرفته‌ایم. در این شکل تصویر خطوط نیروی الکتریکی در صفحه x - z را به صورت خطهای عمودی نشان داده‌ایم و این خطوط را بر روی صفحه y - z با نقطه‌ها نشان داده‌ایم که معرّف آن است که میدان در جهت عمودی از این صفحه خارج می‌شود.

بگذارید معادلهٔ ماکسول را به شکل انتگرالی (۴-۴) (که تعمیم قانون آمپر است) به‌کار بندیم. مستطیل کوچکی را روی صفحه y - z ، مطابق شکل ۳-۴ در نظر می‌گیریم، و میدان مغناطیسی را حول این مسیر انتگرال می‌گیریم. چون \mathbf{B} فقط تابع z است و به y بستگی ندارد، بدیهی است که سهم دو قطعهٔ موازی با محور z در انتگرال خطی یکدیگر را خنثی می‌کنند. برای دو قطعهٔ باقی‌مانده، اگر طبق قاعدهٔ دست راست برای جریانی که در جهت $+x$ قرار دارد، در جهت پادساعتگرد حرکت کنیم، داریم

$$\oint \mathbf{B} \cdot d\mathbf{l} = -B_y(z + \Delta z, t)\Delta y + B_y(z, t)\Delta y$$

در نبود چگالی جریان، (۴-۴) چنین است

$$\oint \mathbf{B} \cdot d\mathbf{l} = \mu_0 \epsilon_0 \int \frac{\partial \mathbf{E}}{\partial t} \cdot d\mathbf{S}$$

در مورد مستطیل بینهایت کوچک، ترکیب (۴-۴) با نتیجه‌ای که برای انتگرال خطی \mathbf{B} به دست آورده‌ایم، چنین می‌شود

$$-[B_y(z + \Delta z, t) - B_y(z, t)]\Delta y = \mu_0 \epsilon_0 \frac{\partial E_x(z, t)}{\partial t} \Delta z \Delta y$$

اگر طرفین را بر Δz تقسیم کنیم و حد $\Delta z \rightarrow 0$ را در نظر بگیریم، داریم

$$-\frac{\partial B_y(z, t)}{\partial z} = \mu_0 \epsilon_0 \frac{\partial E_x(z, t)}{\partial t} \quad (۱۳-۴)$$

با انتگرال‌گیری دور مستطیلهایی که در دو صفحه دیگر قرار دارند، اطلاعات بیشتری به دست می‌آوریم. در واقع می‌توان رابطه‌های مطلوب را مستقیماً از شکل دیفرانسیلی معادلهٔ ماکسول، یعنی، مستقیماً از رابطهٔ (۱۲-۴) به دست آورد. برحسب مؤلفه‌های دکارتی داریم

$$\begin{aligned} \nabla \times \mathbf{B} &= \left[\left(\frac{\partial}{\partial x} \right) \mathbf{i} + \left(\frac{\partial}{\partial y} \right) \mathbf{j} + \left(\frac{\partial}{\partial z} \right) \mathbf{k} \right] \times [B_x(z, t)\mathbf{i} + B_y(z, t)\mathbf{j}] \\ &= \left(\frac{\partial}{\partial z} \right) \mathbf{k} \times [B_x(z, t)\mathbf{i} + B_y(z, t)\mathbf{j}] \\ &= \left(\frac{\partial B_x(z, t)}{\partial z} \right) \mathbf{j} - \left(\frac{\partial B_y(z, t)}{\partial z} \right) \mathbf{i} \end{aligned}$$

با توجه به اینکه $\partial \mathbf{E} / \partial t$ در جهت x است و $\mathbf{j} = 0$ ، (۱۲-۴) چنین می‌دهد

$$\nabla \times \mathbf{B} = \mu_0 \epsilon_0 \left(\frac{\partial E_x(z, t)}{\partial t} \right) \mathbf{i}$$

و یا، با ترکیب با نتیجه‌ای که برای $\nabla \times \mathbf{B}$ به دست آوردیم، داریم

$$\left(\frac{\partial B_x(z, t)}{\partial z} \right) \mathbf{j} - \left(\frac{\partial B_y(z, t)}{\partial z} \right) \mathbf{i} = \mu_0 \epsilon_0 \left(\frac{\partial E_x(z, t)}{\partial t} \right) \mathbf{i}$$

مؤلفهٔ x در این رابطهٔ آخر، مجدداً (۱۳-۴) را می‌دهد، که باید هم همین‌طور باشد. مؤلفهٔ y این رابطه حاکی از آن است که

$$B_x(z, t) = 0 \quad (۱۴-۴ \text{ الف})$$

اگر شرایط مرزی ایجاب کنند، همواره می‌توان میدانهایی را که به لحاظ فضایی ثابت هستند نیز اضافه کرد.

اکنون، معادلهٔ ماکسول دیفرانسیلی، یعنی معادلهٔ (۴-۱۰) را همانند (۴-۱۲)، در نظر می‌گیریم. با استفاده از تشابه این دو و اینکه E فقط دارای مؤلفهٔ x است، داریم

$$\left(\frac{\partial E_x(z,t)}{\partial z}\right) \mathbf{j} = -\left(\frac{\partial B_x}{\partial t}\right) \mathbf{i} - \left(\frac{\partial B_y}{\partial t}\right) \mathbf{j} - \left(\frac{\partial B_z}{\partial t}\right) \mathbf{k}$$

در واقع، قبلاً می‌دانستیم که B_x وجود ندارد و B_z صفر است، زیرا E و B هر دو عرضی هستند. در اینجا مشاهده می‌کنیم که باید B_z مستقل از زمان باشد. چون به حالت مانایی که ممکن است به جوابهای وابسته به زمان مورد نظرمان اضافه شوند، علاقه‌مند نیستیم، داریم

$$B_z(z,t) = 0 \quad (4-14)$$

با توجه به (۴-۱۴ الف) و (۴-۱۴ ب) درمی‌یابیم که میدان مغناطیسی، همانند میدان الکتریکی، فقط محدود به یک راستا یعنی نور y است. از روی مؤلفهٔ y آخرین رابطه‌ای که به دست آوردیم، رابطهٔ دومی پیدا می‌کنیم که (۴-۱۳) را همراهی می‌کند،

$$\mu_0 \epsilon_0 \frac{\partial E}{\partial t} = -\frac{\partial B}{\partial z} \quad (4-13)$$

$$\frac{\partial E}{\partial z} = -\frac{\partial B}{\partial t} \quad (4-15)$$

که در این رابطه‌ها، شاخص x را از E و y را از B حذف کرده‌ایم. این دو معادله را می‌توان به سادگی از هم جدا کرد. با مشتق‌گیری دو طرف رابطهٔ اول نسبت به زمان و طرفین رابطهٔ دوم نسبت به z و کم کردن دو رابطهٔ حاصل از یکدیگر داریم،

$$\mu_0 \epsilon_0 \frac{\partial^2 E}{\partial t^2} - \frac{\partial^2 E}{\partial z^2} = 0 \quad (4-16 \text{ الف})$$

همچنین می‌توانیم، از اولی نسبت به z و از دومی نسبت به t مشتق بگیریم، و حاصل را با هم جمع کنیم. در این صورت داریم

$$\mu_0 \epsilon_0 \frac{\partial^2 B}{\partial t^2} - \frac{\partial^2 B}{\partial z^2} = 0 \quad (4-16 \text{ ب})$$

هر یک از این معادله‌ها درست به همان شکل معادله موجی هستند که در فصل گذشته برای جابه‌جایی سیم کشیده به دست آوردیم. بنابراین، جوابهایی داریم که مثلاً، به صورت زیر هستند،

$$E = E_0 \sin(kz \pm \omega t) \quad (۱۷-۴ \text{ الف})$$

$$B = B_0 \sin(kz \pm \omega t) \quad (۱۷-۴ \text{ ب})$$

E_0 و B_0 دامنه‌های موج، k و ω ، به ترتیب بردار موج و بسامد زاویه‌ای آن هستند. دقت کنید که بردار موج و بسامد زاویه‌ای را برای E و B یکسان، و دو موج را هم‌فاز در نظر گرفته‌ایم. این قیود برای برقراری (۴-۱۳) و (۴-۱۵) لازم هستند. همچنین باید داشته باشیم

$$E_0 = cB_0 \quad (۱۷-۴ \text{ ج})$$

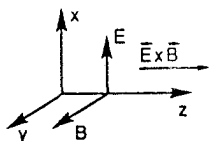
از معادله‌های موج سرعت موج را می‌دانیم؛ سرعت با رابطه زیر داده می‌شود

$$c = \frac{1}{\sqrt{\mu_0 \epsilon_0}} \quad (۱۸-۴)$$

خواننده ممکن است به خوبی بداند که وقتی سرعت نور اندازه گرفته شد، سازگاری بسیار خوبی با مقدار محاسبه شده از (۴-۱۸) با استفاده از مقادیر اندازه‌گیری شده برای گذردهی و تراوایی فضای آزاد داشت. این توافق، بلافاصله سرشت نور را مشخص کرد. این رویداد را، که بخش تحلیلی آن بیش از همه مدیون جیمز کلارک ماکسول (۱۸۳۱-۱۸۷۹) است و موفقترین آزمایشهای آن (در ۱۸۸۰) مربوط به آلبرت ا. مایکلسون (۱۸۵۲-۱۹۳۱)، می‌توان احتمالاً بزرگترین کشف فیزیک تاکنون، قلمداد کرد؛ بی‌شک این کشف بزرگترین کشف فیزیک در قرن نوزدهم است. تمام تابش الکترومغناطیسی، از پرتوهای گاما در انتهای بالایی طیف بسامدها گرفته تا امواج رادیویی در انتهای پایین این طیف، در معادله‌های ماکسول صدق می‌کنند و با سرعت یکسان c در فضای آزاد منتشر می‌شوند. درک همه این پدیده‌ها ناشی از قوانین محدودتری است که برای اولین بار کولن، آمپر و فاراده کشف کردند.

تصویری که تا اینجا از نور داریم، میدانهای الکتریکی و مغناطیسی است که مانند رابطه (۴-۱۷) در فضا و زمان تغییر می‌کنند، بردار میدان الکتریکی در یک جهت (x جهت) تثبیت شده است و بردار میدان مغناطیسی در جهت عمود بر آن (جهت y)، و نور در جهت عمود بر این دو (شکل ۴-۴) منتشر می‌شود.

خواننده ممکن است بداند که حتی در فضای آزاد هم، میدانهای الکتریکی و مغناطیسی حامل انرژی هستند، و چگالی انرژی آنها به ترتیب، $E^2 \epsilon_0$ و $B^2 \mu_0$ است. در نتیجه، می‌توان نشان



شکل ۴-۴ جهت انتشار که با، $E \times B$ مشخص می‌شود، میدان الکتریکی E و میدان مغناطیسی B ، مجموعه‌ای از بردارهای متقابلاً متعامد را تشکیل می‌دهند. بردار پوئین تینگ $S = (1/\mu_0) E \times B$ ، شدت را به دست می‌دهد (نگاه کنید به مسائل).

داد (نگاه کنید به مسائل) که شدت (انرژی در واحد زمان در واحد سطح) موج الکترومغناطیسی با بردار پوئین تینگ، S ، (که به افتخار جان هنری پوئین تینگ (۱۸۵۲-۱۹۱۴) نامگذاری شده است)، داده می‌شود:

$$S = \frac{1}{\mu_0} E \times B \quad (19-4)$$

$|S|$ نه تنها شدت موج را می‌دهد، بلکه S ، همان‌طور که خواننده می‌تواند به راحتی ثابت کند، در جهت انتشار موج نیز هست. سه بردار E ، B و S یک موج EM تخت را مشخص می‌کنند. برخلاف امواج مکانیکی، هیچ محیطی برای انتشار EM لازم نیست. اگر به شکل ۳-۴ و روش به دست آوردن (۴-۱۳) رجوع کنیم، مشاهده می‌کنیم که آنچه، میدانهای مغناطیسی را به وجود می‌آورد، یا «به حرکت درمی‌آورد»، ورقه‌های چگالی جریان جابه‌جایی، $(\partial E/\partial t)$ ، ϵ_0 ، است که در صفحات موازی با صفحه $x-y$ قرار گرفته‌اند. (رجوع به مثال ۴-۱ در انتهای فصل، ممکن است برای خواننده سودمند باشد.) منشأ ورقه‌های جریان جابه‌جایی چیست؟ پاسخ این است که ورقه‌های میدان مغناطیسی متغیر، که آنها هم در صفحه‌های موازی با صفحه $x-y$ اما با B عمود بر E قرار دارند و به نوبه خود، بنابه قانون فاراده، میدانهای E را به وجود می‌آورند. البته، چون موج حامل انرژی است، باید یک عامل آغاز آشفستگی وجود داشته باشد، درست همان‌طور که یک نفر باید انتهای تار کشیده را تکان بدهد تا انتشار آغاز شود. بارهای الکتریکی نوسان‌کننده که اجزاء نوسان‌کننده جسمی داغ هستند یا جریانهایی که در آنتن رادیو به وجود می‌آید آشفستگی اولیه را به وجود می‌آورند.

تابشی که مطالعه کردیم، دارای قطبش خطی است، یعنی در صفحه $x-z$ قرار دارد که میدان الکتریکی به آن محدود است. صفحه $x-z$ ویژگی خاصی ندارد. به‌طور کلی، نور متشکل از تابشی است که در همه جهت‌ها قطبیده است. از نظر ریاضی، برای رسیدن به کمال باید به مد مورد نظر، مد دومی را بیفزاییم که میدانهایش نسبت به اولی به اندازه نود درجه حول محور z چرخیده‌اند، یعنی، میدان E در جهت y و میدان B در جهت x است. این دو، به همراه یکدیگر، دو مد قطبشی هستند که در جهت z انتشار می‌یابند و از ترکیب آنها در مجموع هر قطبش دلخواه را می‌توان به دست آورد.

در فصل ۱، دیدیم که چگونه هر تابعی که در یک بُعد بین + و - بینهایت محدود است را می‌توان با مجموعه کامل حالت‌های زیر نشان داد.

$$\sin kx, \quad \cos kx; \quad k \geq 0$$

این نمایش را می‌توان با در نظر گرفتن «بردار موج» k به‌عنوان برداری واقعی که به‌جای اینکه یک عدد باشد دارای جهتی در فضاست، به سه‌بعد تعمیم داد. در سه‌بعد، مجموعه کامل حالت‌ها به‌صورت زیر درمی‌آید

$$\sin \mathbf{k} \cdot \mathbf{r}, \quad \cos \mathbf{k} \cdot \mathbf{r}$$

$$\sin \mathbf{k} \cdot \mathbf{r} = \sin(k_1x + k_2y + k_3z), \quad 0 < k_1, k_2, k_3 < \infty$$

که در آن، k_1, k_2, k_3 مؤلفه‌های دکارتی بردار موج k هستند. $\sin \mathbf{k} \cdot \mathbf{r}$ موج تختی را نشان می‌دهد که در جهت k منتشر می‌شود، نگاه کنید به مسئله ۴-۶.

برای یافتن مجموعه‌ای کامل از توابع که به‌وسیله آنها بتوان هر سیگنال (حرکت طبیعی) الکترومغناطیسی را نشان داد، باید امواج EM تخت را که تاکنون بررسی کرده‌ایم، به همین ترتیب تعمیم دهیم. مجموعه امواج را با این فرض که در تمام جهتهای دلخواه، و نه فقط z ، منتشر می‌شوند، بسط می‌دهیم. چون درباره امواج پیشرونده و نه امواج ایستاده صحبت می‌کنیم، مقادیر منفی k را نیز مجاز می‌شماریم. بدین ترتیب، مجموعه کامل امواج EM چنین است،

$$\mathbf{E} = \mathbf{E}_0 \sin(\mathbf{k} \cdot \mathbf{r} - \omega t), \quad \text{با} \quad (۴-۲۰ الف)$$

$$\mathbf{B} = \mathbf{B}_0 \sin(\mathbf{k} \cdot \mathbf{r} - \omega t), \quad -\infty < k_1, k_2, k_3 < \infty \quad (۴-۲۰ ب)$$

چون این مجموعه باید معرف امواج عرضی باشد، می‌باید \mathbf{E}_0 را چنان محدود کنیم که در راستای عمود بر بردار موج k قرار گیرد و \mathbf{B}_0 عمود بر \mathbf{E}_0 باشد. وقتی این سمتگیری انتخاب شد (تعیین صفحه قطبش)، مجموعه کامل مدها به‌ازای هر k دلخواه، با انتخاب \mathbf{E}_0 که عمود بر انتخاب اولیه باشد، مشخص می‌شود. با گزینش دو قطبش برای هر k در (۴-۲۰ الف و ب)، مجموعه کامل توابع را که برای توصیف انتشار هر سیگنال EM در فضای آزاد لازم است، در اختیار داریم.

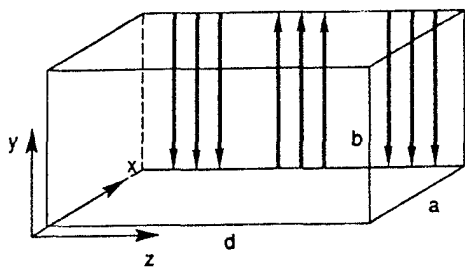
از فصل ۳ (مسئله ۳-۱۴) به یاد داریم که در حالت یک‌بُعدی، که می‌توان بازتاب موج را نادیده گرفت، سیگنالی که بستگی زمانی آن هماهنگ باشد را فقط یک تک‌موج پیشرونده حمل

می‌کند. همین ملاحظات را می‌توان در تحلیل تابش مثلاً، آنتن فرستندهٔ تلویزیونی که در دوردست واقع است، به‌کار بست. در حوالی آنتن، یعنی، در فاصلهٔ چند طول‌موج یا کمتر، طرح تابش بسیار پیچیده است. اما، در فاصلهٔ تعداد زیادی طول‌موج شکلی کروی خواهد داشت، و تابش مربوط به هر بسامد را فقط یک موج پیشرونده حمل می‌کند، که در این مورد کروی است. این موج کروی را می‌توان به نوبهٔ خود به امواج تخت از نوع (۴-۲۰ الف و ب) تجزیه کرد، چون این امواج مجموعه‌ای کامل را تشکیل می‌دهند. به‌طور کلی، ابعاد آنتن گیرنده در مقایسه با شعاع انحنای موج تراکسیلیده، واقعاً کوچک است، بنابراین سیگنال با بسامد مشخصی را که آنتن دریافت می‌کند عملاً می‌توان با یکی از امواج مجموعه (۴-۲۰ الف و ب) که در جهت گیرنده در حرکت است، نشان داد. به همین ترتیب، امواج پیشرونده کروی که حامل تابش خورشید هستند در کانون یک عدسی ساده متمرکز می‌شوند، که نشان می‌دهد، عدسی که در مقیاس خورشیدی بسیار کوچک است، امواج تخت دریافت می‌کند.

در بخش بعد، به تابش الکترومغناطیسی می‌پردازیم که باز هم در فضای عاری از چشمه منتشر می‌شوند، اما در محدوده‌ای مقید هستند، یعنی، به بررسی تابش در کاواکها می‌پردازیم. خواهیم دید که، جوابهایی که در آنجا به‌دست خواهیم آورد با جوابهایی که اینجا برای فضای آزاد بدون مرز حاصل شد، تشابه بسیار دارند. در واقع، آن جوابها ترکیبهایی از یک زیرمجموعهٔ متناهی هستند.

۴-۴ سیستمهای الکترومغناطیسی توزیع شده - کاواکها

در فصل ۲، دینامیک سیستمهای الکتریکی و مکانیکی با یک درجهٔ آزادی را بررسی کردیم. در فصل ۳، به سیستمهای مکانیکی توزیع شده پرداختیم. اکنون باید سیستمهای الکتریکی توزیع شده را مطالعه کنیم. دیدیم که به‌هنگام ساختن نوسانگرهای الکتریکی، به‌عنوان جزء زمان‌سنج، از مدارهای قلبهٔ LC استفاده می‌شود. اینها، همان ویژگیهای پاسخ تشدید را دارند که همتهای مکانیکی‌شان، فنر و آونگ. اما، با افزایش بسامد تشدید به فراتر از ناحیهٔ معمول بسامد رادیویی، مدارهای قلبهٔ LC هم به‌خاطر اتلاف تابشی و هم به‌دلیل دشواریهای ساخت اجزاء دقیق مدارهای با مقادیر کوچک L و C دیگر رضایتبخش نیستند. ظرفیت ناخواسته بین‌رساناهایی که L را تشکیل می‌دهند و همین‌طور القایدگی «سرگردان» بیش از حد زیاد می‌شوند. اجزاء کوچک خود به خود به سیستمهای فیزیکی بدل می‌شوند که با دید صحیح‌تر، توزیع شده به حساب می‌آیند، نگاه کنید به جلد دوم درسهای فیزیک فاینمن که آنجا این مبحث تحت عنوان مطالعهٔ بیشتر آورده شده است. این سیستمهای جدید، چیزی جز محفظه‌ها، قوطیها یا جعبه‌هایی به اِشکال مختلف نیستند، که دیوارهٔ آنها از موادی است که رساناهای خوب الکتریکی هستند. این‌گونه سیستمها را



شکل ۴-۵ کاواک مکعب مستطیلی - جعبه‌ای بسته با دیواره‌های به شدت رسانا. پیکانها جریان‌هایی مد $TE_{1,0,3}$ را بر روی صفحه پشتی، نشان می‌دهند.

کاواکهای تشدیدگر می‌نامیم. برای دستیابی به نوسانگرهای بسامد بالا، می‌توان کاواک را با سیمهای آنتن کوچک به بقیه مدار متصل کرد، و یا حتی می‌توان آنها را مستقیماً با عبور جریان الکترونی که از آنها می‌گذرد، مانند آنچه در کلیسترون انجام می‌شود، به هم جفت کرد.

البته سیستم‌های الکتریکی توزیع شده علاوه بر سیستم‌های بسته (کاواکها)، سیستم‌های باز را که در انتقال انرژی به‌کار گرفته می‌شوند نیز در بر می‌گیرند. در بسامدهای بالا، انتقال انرژی در امتداد سیمهای معمولی، باز هم با اتلاف زیاد انرژی به دلیل تابش همراه است، و بنابراین به موجبرها و کابلهای هم‌محور متوسل می‌شویم. تحلیل این‌گونه سیستم‌های باز مستلزم تحلیل کاواکهاست، که به آن خواهیم پرداخت. بررسی نسبتاً مفصل خود را در متن به کاواکهای مکعب مستطیلی محدود می‌کنیم و مثالهایی از سیستم‌های باز را در بخش مسائل خواهیم آورد.

بدین ترتیب، هدف ما بررسی رفتار فضا زمانی میدانهای الکتریکی و مغناطیسی در کاواک مکعب مستطیلی به ابعاد $a \times b \times d$ است (شکل ۴-۵). هیچ‌گونه انرژی به میدانهایی که در داخل جعبه فلزی محصور شده‌اند اضافه و یا از آن کم نمی‌شود. مانند فصلهای قبل، می‌توان به بررسی رفتار واداشته پرداخت، یعنی چه می‌شود اگر آنتن کوچکی را در داخل جعبه قرار دهیم و به مولد سیگنال خارجی متصل کنیم. (جزئیات حالت واداشته به بخش مسائل موكول می‌شود). اگرچه می‌توان به راحتی کاری کرد که بجز انرژی اولیه مولد میدانها انرژی دیگری وارد کاواک نشود، اما مانند سیستمهایی که در فصلهای قبل بررسی کردیم. مقداری اتلاف انرژی وجود خواهد داشت که منشأ آن اصطکاک است. این عوامل فعالیت الکترومغناطیسی موجود در کاواک را به تدریج از بین می‌برند. این اتلافها ناشی از آن است که میدانها در دیواره‌های کاواک که هرگز رساناهای کامل نیستند، جریانهای الکتریکی به وجود می‌آورند این اتلافها را نادیده می‌گیریم.

میدانهای الکتریکی و مغناطیسی ممکن در کاواک را می‌توان مانند جابه‌جایی تارکشیده، با یافتن میدانهایی که هم جوابهای معادله‌های موج حاکم بر دستگاه باشند و هم در شرایط مرزی مربوط به دیواره‌های کاواک، صدق کنند، تعیین کرد. همچنین، شرایط جنبی $\nabla \cdot \mathbf{E} = 0$ و $\nabla \cdot \mathbf{B} = 0$ را نباید فراموش کرد. شرایط مرزی تارکشیده ساده بود، هیچ‌یک از دو سر آن نمی‌توانست حرکت

کند. شرایط مرزی برای میدانهای الکتریکی و مغناطیسی چندان بدیهی نیستند. می‌خواهیم با دیواره‌های کاواک که رساناهای کامل هستند، کار کنیم. در این صورت، میدانهای الکتریکی چنان شکل می‌گیرند که مؤلفه مماسی آنها در مرز صفر شود. اگر چنین نبود، دیواره‌ها حامل جریانهای نامتناهی می‌شدند که به میدانهای بینهایت می‌انجامید. در عمل، چون با رساناهای خوب ولی نه کامل سروکار داریم، مؤلفه مماسی کوچکی باقی می‌ماند. ایده‌آل‌سازی، جواب عملی ولی نه کامل را می‌دهد. چون میدانهای الکتریکی در دیواره‌ها نفوذ نمی‌کنند، شاید انتظار رود که قیودی بر میدانهای مغناطیسی همراه آنها اعمال شود. شرط واقعی آن است که باید مؤلفه عمودی B در مرز صفر شود. داریم

$$\text{در مرز} \begin{cases} E_{\parallel} = 0 \\ B_{\perp} = 0 \end{cases} \quad (۲۱-۴)$$

برای یافتن شرط دوم به معادله (۱۱-۴)، $\nabla \cdot \mathbf{B} = 0$ نیز نیاز است، نگاه کنید به بخش مسائل. در واقع، برای رساناهای کامل، می‌توان میدانها را بدون شرط دوم به دست آورد. اگر شرط مرزی برای میدان E صادق باشد، این شرط نیز خود به خود برقرار است. دلیل اصلی آن، سازگاری درونی معادله‌های ماکسول است.

در (۲۰-۴) مجموعه کاملی از توابع را برای توصیف میدان الکترومغناطیسی در فضای آزاد، یعنی فضای عاری از چشمه‌ها و مرزهای واقع در بینهایت، داده شده است. این توابع، در معادله‌های وابسته به زمان ماکسول صدق می‌کنند. معلوم شده است که، زیرمجموعه مناسبی از این توابع نیز در شرایط مرزی کاواک مکعب مستطیلی صدق می‌کند و مجموعه‌ای کامل، یعنی پایه‌ای را در فضای درون کاواک تشکیل می‌دهد.

توابع (۲۰-۴) امواج پیشرونده هستند. برای برقراری شرایطی که مرزهای ثابت کاواک به وجود می‌آورند، در ابتدا باید آنها را باز ترکیب کرد تا امواج ایستاده تشکیل دهند. نشان خواهیم داد که امواج ایستاده‌ای که پایه کاواک مورد نظر را می‌سازند به صورت زیرند،

$$E_x = E_1 \cos \omega t \cos k_1 x \sin k_2 y \sin k_3 z \quad (\text{الف } ۲۲-۴)$$

$$E_y = E_2 \cos \omega t \sin k_1 x \cos k_2 y \sin k_3 z \quad (\text{ب } ۲۲-۴)$$

$$E_z = E_3 \cos \omega t \sin k_1 x \sin k_2 y \cos k_3 z \quad (\text{ج } ۲۲-۴)$$

که در آن، E_1, E_2, E_3 دامنه‌های موج و k_1, k_2, k_3 مؤلفه‌های بردار موج هستند.

بگذارید نگاه دقیق‌تری به (۴-۲۲الف) بیندازیم. برای اینکه مؤلفه‌های مماسی E در مرزهای کاواک در $y = 0$ و $z = 0$ صفر شوند، از توابع سینوسی برای بستگی E_x به y و z استفاده کرده‌ایم. به علاوه، با نگاه به هر سه معادله، شرایط مرزی مؤلفه‌های بردار موج k را به زیرمجموعه زیر محدود می‌کند

$$k_1 = \frac{l\pi}{a}, \quad k_2 = \frac{m\pi}{b}, \quad k_3 = \frac{n\pi}{d} \quad (۲۳-۴)$$

که در آن n, m, l اعداد صحیح مثبت، $1, 2, 3, \dots$ هستند و حداکثر شاید یکی از آنها صفر باشد. a, b, c ابعاد کاواک هستند.

مانند قبل، $k^2 = \omega^2/c^2$ که در آن c سرعت نور است. در نتیجه بسامدهای زاویه‌ای برای حرکت طبیعی عبارت‌اند از

$$\omega_{l,m,n}^2 = c^2(k_1^2 + k_2^2 + k_3^2) \quad (۲۴-۴ \text{ الف})$$

$$= c^2 \left(\frac{l^2 \pi^2}{a^2} + \frac{m^2 \pi^2}{b^2} + \frac{n^2 \pi^2}{d^2} \right) \quad (۲۴-۴ \text{ ب})$$

دقت کنید که فاز را در (۴-۲۲الف) به دلخواه صفر گرفته‌ایم. در واقع، شرایط اولیه حاصل از انگیزش کاواک، مقدار فاز را تعیین می‌کنند.

مانند حالت فضای آزاد، شرط $\nabla \cdot E = 0$ در صورتی صادق است که k را عمود بر E انتخاب کنیم. در اینجا، این شرط محدودیت زیر را به وجود می‌آورد.

$$E \cdot k = E_1 k_1 + E_2 k_2 + E_3 k_3 = 0 \quad (۲۵-۴)$$

به علاوه، $\nabla \cdot E = 0$ دلیل انتخاب بستگی کسینوسی، E_x به x و E_y به y است. تا اینجا، به B کاری نداشته‌ایم. می‌توان آن را با استفاده از رابطه زیر محاسبه کرد

$$-\frac{\partial B}{\partial t} = \nabla \times E \quad (۱۰-۴)$$

که بستگی زمانی B به صورت $\sin \omega t$ است. دوباره درمی‌یابیم که B بر E و k عمود است. برای دستیابی به تمام جوابهای مستقل کاواک، باز هم فرض می‌کنیم که بردارهای E دو جهت عمود بر هم دلخواه را در صفحه‌ای که بر بردار موج k عمود است، اختیار می‌کنند. مجموعه کامل پایه را می‌توان با نوشتن همه بردارهای موج مجاز k ، یعنی با در نظر گرفتن

سه تایی‌های مجاز l, m, n در (۴-۲۳)، و نسبت دادن هر دو قطبش به هر کدام از k ها، به دست آورد.

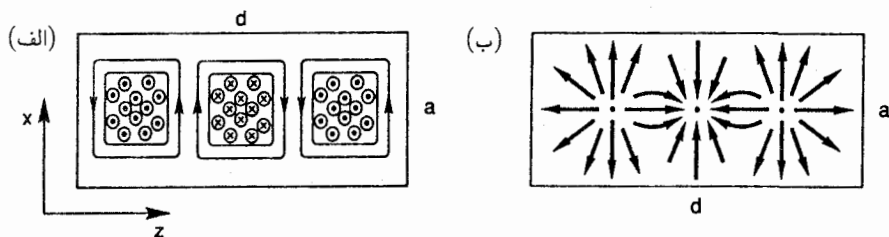
روش طبقه‌بندی مدها که در اینجا ارائه داده‌ایم، معمولاً در شکل‌گیری صوری نظریه‌های فیزیکی، مثلاً، به‌هنگام حل مسائل ترمودینامیک و مکانیک آماری به‌کار می‌رود. اما، به‌هنگام کار با مسائل توصیفی با جزئیات بیشتر، مجموعه‌ای از مدهای مشخص که شرط $\nabla \cdot \mathbf{E} = 0$ را برقرار می‌کنند ترجیح داده می‌شوند. عامل زمانی را کنار می‌گذاریم تا بر این نکته تأکید کنیم که با مجموعه‌ای کامل از مدهای فضایی سروکار داریم که برای مسائل واداشته نیز مناسب هستند.

$$\begin{aligned} E_{\text{TE}} = & - \left(\frac{k_z}{k} \right) \cos k_x x \sin k_y y \sin k_z z i \\ & + \frac{k_x}{k} \sin k_x x \cos k_y y \sin k_z z j \end{aligned} \quad (۴-۲۶ \text{ الف})$$

$$\begin{aligned} E_{\text{TM}} = & \left[\frac{k_x^2 + k_y^2}{k^2} \right] \sin k_x x \sin k_y y \cos k_z z k \\ & - \left[\frac{k_x k_z}{k^2} \right] \cos k_x x \sin k_y y \sin k_z z i \\ & - \left[\frac{k_y k_z}{k^2} \right] \sin k_x x \cos k_y y \sin k_z z j \end{aligned} \quad (۴-۲۶ \text{ ب})$$

در اینجا عددهای موج k_x, k_y, k_z, k مانند قبل هستند، یعنی در (۴-۲۳) و (۴-۲۴ الف، ب) صدق می‌کنند. اگرچه این مجموعه تا حدی تخصصی‌تر از مجموعه قبلی است، زیرا جهت z را برمی‌گزیند، با این حال مجموعه‌ای کامل است. مدها، آن‌طور که نوشته شده‌اند، متعامدند. (برای تحقیق این نکته، ضرب برداری نقطه‌ای آنها را در نظر بگیرید و بر روی حجم کاواک از آن انتگرال بگیرید.) دقت کنید که نوع اول مدها را، در (۴-۲۶ الف)، «الکتریکی عرضی» نامیده‌ایم زیرا میدان الکتریکی در جهت z نداریم. به‌همین ترتیب، دسته دوم را «مغناطیسی عرضی» نامیده‌ایم، زیرا برای این مدها، میدان مغناطیسی در جهت z ، که از (۴-۱۰) به دست می‌آید، صفر است. همین مدها را می‌توان برای توصیف میدانهایی که در جهت z موجبرها منتشر می‌شوند، به‌کار برد. کاواکهای EM کاربردهای بسیاری در فناوری دارند، مثلاً، جزء لاینفک لیزرها هستند.

در شکل ۴-۶، مد $\text{TE}_{1,0,3}$ ، یعنی با $l = 1$ و $m = 0$ و $n = 3$ را نشان داده‌ایم. این شکل مربوط به لحظه‌ای است که $\omega t = 3\pi/2$. جمله وابسته به زمان $\cos \omega t$ در $E(x, z)$ ضرب



شکل ۴-۶ (الف) مد $TE_{1,2}$. خطوط بسته میدان B را نشان می‌دهند، دایره‌ها نمایانگر جریان جابه‌جایی $\epsilon_0 \partial E / \partial t = \epsilon_0 \partial E / \partial t$ هستند. تغییری در جهت y صورت نمی‌گیرد. (ب) جریانش در صفحه بالایی کاواک. خطهای $\epsilon_0 \partial E / \partial t$ در کاواک به خطوط J در صفحه بالایی می‌پیوندند و خطهای J در صفحه‌های کناری ادامه می‌یابد (شکل ۴-۵)؛ $\nabla \cdot (J + \epsilon_0 \partial E / \partial t) = 0$.

می‌شود. با استفاده از (۴-۲۶ الف) مشاهده می‌کنیم که میدان الکتریکی از رابطه زیر به دست می‌آید.

$$E_{TE_{1,2}} = k_1 (k_1^2 + k_2^2)^{-\frac{1}{2}} \sin k_1 x \sin k_2 z j$$

$$= d (d^2 + 9a^2)^{-\frac{1}{2}} \sin \frac{\pi x}{a} \sin \frac{3\pi z}{d} j$$

در نمودار این شکل، جریان جابه‌جایی $\epsilon_0 \partial E / \partial t$ ، را هنگامی که به‌طور عمودی از صفحه بیرون می‌آید با نقطه و هنگامی که به‌درون صفحه است با ضربدر نشان داده‌ایم. خطهای پیوسته، خطهای B هستند که از (۴-۱۰) محاسبه می‌شوند. اگر میدانهای مغناطیسی معلوم باشند، از روی شرایط مرزی می‌توانیم جریانهای سطحی را در دیواره‌های کاواک نیز برآورد کنیم. با استفاده از استدلال مثال ۴-۱، درمی‌یابیم که دیواره‌های کاواک حامل جریانهای سطحی به‌ازای واحد طول است، که از رابطه زیر به‌دست می‌آید،

$$J_s = \frac{1}{\mu_0} B_{\tan,s} \quad (۴-۲۷ الف)$$

$B_{\tan,s}$ (مؤلفه مماسی) میدان مغناطیسی در سطح مورد نظر است در سطح داخلی کاواک رابطه زیر را داریم

$$J_s = n \times \frac{B_s}{\mu_0} \quad (۴-۲۷ ب)$$

که در آن n برداری که به داخل کاواک در جهت عمود بر سطح، و B_s میدان مغناطیسی در سطح است.

جریانهای سطحی برآورد خوبی از جریانهای واقعی هستند حتی وقتی که مقاومت الکتریکی دیواره‌های کاواک مجدد است. بدین ترتیب، می‌توانیم کمیت W ، یعنی میانگین انرژی تلف‌شده در هر چرخه به صورت گرمای ژول را محاسبه کنیم. مانند مدارهای LC ، می‌توانیم شاخص کیفیت Q را برای کاواکی که در مد خاصی نوسان می‌کند، به صورت زیر تعریف کنیم

$$Q = 2\pi \frac{\text{میانگین زمانی انرژی ذخیره‌شده در کاواک}}{\text{انرژی تلف‌شده در هر چرخه کار}} = 2\pi \frac{U}{W} \quad (۲۸-۴ \text{ الف})$$

انرژی ذخیره‌شده در یک مد بخصوص، U ، با محاسبه انتگرال حجمی چگالی انرژی به دست می‌آید. چگالیهای الکتریکی و مغناطیسی، با توجه به بخش قبل، با مربع میدانهای مربوط متناسب‌اند. در نتیجه، اگر α ثابت میرایی برای میدانها باشد، مانند ثابتی که در فصل ۲ برای سیستمهای قلمبه داشتیم، انرژی به صورت $e^{-2\alpha t}$ افت می‌کند. می‌توان نوشت

$$U = U_0 e^{-2\alpha t} \quad (۲۸-۴ \text{ ب})$$

$$\frac{dU}{dt} = -2\alpha U \equiv -\frac{W}{T} = -Wf \quad (۲۸-۴ \text{ ج})$$

که در آن، f بسامد و T دوره نوسان مد است و با تعریف W به صورت میانگین اتلاف در هر چرخه، W/T آهنگ اتلاف انرژی است. سرانجام،

$$\alpha = \frac{Wf}{2U} = \frac{2\pi f}{Q} = \frac{\omega}{2Q} \quad (۲۸-۴ \text{ د})$$

که همان رابطه بین ضریب میرایی و ضریب کیفیت برای سیستمهای قلمبه است. دقت کنید که اگر برای سیستمهای اخیر، فقط یک Q وجود دارد، در مورد سیستمهای توزیع‌شده، هر مد نوسانی دارای Q مخصوص خود است. متوجه می‌شویم که، Q بالا، یعنی اتلاف کم، پاسخ تشدید تیزی را ایجاد می‌کند، به عبارت دیگر، نشانه کارکرد خوب در کاربردهای نوسانی یا کاربردهای گزینشی است. این نکته، برای کاواکی که مانند مدار LC در یکی از مدهایش «در حال تشدید» است، مصداق دارد.

۴-۵ پتانسیل برداری و جوابهای مربوط به آن برای معادله‌های ماکسول

پیش از آغاز بحث پتانسیل برداری، دو ویژگی معروف عملگرهای برداری را تذکر می‌دهیم. اگر با گرفتن تاو میدان برداری معین، میدان برداری دیگری بسازیم، دیورژانس این میدان برداری دوم

صفر است. با توجه به نمادها، برای هر میدان برداری $F(x, y, z)$

$$\nabla \cdot (\nabla \times F) = 0 \quad (\text{الف } ۲۹-۴)$$

رابطه (الف ۲۹-۴) یک اتحاد برداری است: دیورژانسِ تاو صفر است. (مثال ۲-۴) اتحاد دوم این است که تاوگرادیان صفر است

$$\nabla \times (\nabla \psi) = 0 \quad (\text{ب } ۲۹-۴)$$

که در آن $\psi(x, y, z)$ یک میدان نرده‌ای است.

زیربنای درک معادله‌های برداری مانند معادله‌های ماکسول، قضیه‌ای مهم، به نام قضیهٔ هلمهولتز است که آن را بدون اثبات ذکر می‌کنیم. صورت نهایی آن را می‌توان با الکتروستاتیک مقدماتی، چنانکه در یکی از مسائل خواهید دید، توجیه کرد. برای اثبات دقیق قضیه، خواننده می‌تواند به کتاب پیشرفته‌تر پِنوفسکی و فیلیپس که در انتهای فصل آمده، رجوع کند. بنا به این قضیه هر میدان برداری $F(x, y, z)$ با معلوم بودن تاو و دیورژانس آن به صورت یکتا تعیین می‌شود به شرطی که میدانهای منبع، یعنی تاو و دیورژانس آن در بینهایت صفر شوند. فرض کنید داریم

$$\nabla \times F(x, y, z) = c(x, y, z) \quad (\text{الف } ۳۰-۴)$$

و

$$\nabla \cdot F(x, y, z) = d(x, y, z) \quad (\text{ب } ۳۰-۴)$$

که در اینجا c و d به ترتیب میدانهای برداری نرده‌ای هستند که چشمه‌ها را تشکیل می‌دهند. میدان F در این صورت چنین است

$$F(x, y, z) = -\nabla \psi(x, y, z) + \nabla \times G(x, y, z) \quad (\text{الف } ۳۱-۴)$$

که در آن،

$$\psi(x, y, z) = \frac{1}{4\pi} \int \frac{d(x', y', z') dx' dy' dz'}{[(x-x')^2 + (y-y')^2 + (z-z')^2]^{\frac{3}{2}}} \quad (\text{ب } ۳۱-۴)$$

و

$$G(x, y, z) = \frac{1}{4\pi} \int \frac{c(x', y', z') dx' dy' dz'}{[(x-x')^2 + (y-y')^2 + (z-z')^2]^{\frac{3}{2}}} \quad (\text{ج } ۳۱-۴)$$

به علاوه، برای این شکل G

$$\nabla \cdot \mathbf{G} = 0 \quad (د۳۱-۴)$$

[صورت‌های دیگر $G(x, y, z)$ هم مجازند، می‌توان هر میدانی که تاو آن صفر باشد را به $G(x, y, z)$ اضافه کرد. اما، در هر مورد $\nabla \times \mathbf{G}$ از جواب اینجا به دست خواهد آمد. $\mathbf{F}(x, y, z)$ ، که یکتاست، تعیین شده است.]

میدان $\mathbf{F}(x, y, z)$ مجموع $-\nabla\psi(x, y, z)$ و $\nabla \times \mathbf{G}$ است، یعنی یک بخش طولی (با تاو صفر) و یک بخش عرضی (با دیورژانس صفر) دارد. بخش طولی آن صرفاً با دیورژانس \mathbf{F} مشخص می‌شود، و بخش عرضی فقط با تاو \mathbf{F} داده می‌شود.

پتانسیل نرده‌ای (۳۱-۴ب) را می‌توان همانند پتانسیل الکتریکی در الکتروستاتیک به دست آورد، یعنی با در نظر گرفتن جزئی از چگالی چشمه، $d(x', y', z')dx'dy'dz'$ و تقسیم آن بر فاصله بین جزء چگالی چشمه و مکان مشاهده و افزودن این جمله‌ها تا اینکه تمام چگالی چشمه در نظر گرفته شود. پتانسیل برداری $G(x, y, z)$ را هم به همین ترتیب محاسبه می‌کنیم، منتهی در این مورد چشمه c یک بردار است.

بگذارید قضیهٔ هلمهولتز را برای (۴-۱۱ و ۱۲) به کار بندیم. چون دیورژانس B همیشه صفر است، بلافاصله می‌توان نوشت

$$\mathbf{B} = \nabla \times \mathbf{A} \quad (الف ۳۲-۴)$$

علاوه بر آن، طبق (۴-۳۱د)،

$$\nabla \cdot \mathbf{A} = 0 \quad (ب ۳۲-۴)$$

و از (۴-۳۱ج) داریم،

$$\mathbf{A}(\mathbf{r}, t) = \mu_0 \int \frac{\left[\mathbf{j}(\mathbf{r}', t) + \epsilon_0 \left(\frac{\partial \mathbf{E}(\mathbf{r}', t)}{\partial t} \right) \right] dv'}{4\pi |\mathbf{r} - \mathbf{r}'|} \quad (ج ۳۲-۴)$$

در اینجا، $\mathbf{A}(\mathbf{r}, t)$ پتانسیل برداری برای میدان مغناطیسی در نقطهٔ $\mathbf{r}(x, y, z)$ است، و dv' خلاصه شدهٔ $dx'dy'dz'$ است. یادآوری می‌کنیم که میدانهای مختلف علاوه بر فضا به زمان نیز بستگی دارند. معادلهٔ (۴-۳۲ج) نتیجهٔ نهایی برای $\mathbf{A}(\mathbf{r}, t)$ نیست، زیرا چشمهٔ $(\partial \mathbf{E} / \partial t)$ $\epsilon_0 + \mathbf{j}$

هنوز حاوی یکی از میدانهای مجهول، یعنی E است. استفاده مستقیم از قضیهٔ هلمهولتز به حل کامل مسئله نمی‌انجامد، مگر در شرایط استاتیک که در آن $\partial E/\partial t = 0$.

باز هم به دلیل جفت‌شدگی میدانهای E و B در معادله‌های ماکسول، نمی‌توان از قضیهٔ هلمهولتز برای یافتن E مستقیماً سود جست. اما، در اینجا می‌توان از قضیهٔ هلمهولتز برای یافتن نتیجهٔ مفیدی بهره گرفت که به حل مسئله یافتن میدانهای موجود برحسب چشمه‌ها می‌انجامد. با به‌کار بردن (۴-۳۲ الف) معادلهٔ (۴-۱۰) را بازنویسی می‌کنیم

$$\nabla \times \mathbf{E} = -\frac{\partial}{\partial t}(\nabla \times \mathbf{A})$$

یا

$$\nabla \times \left(\mathbf{E} + \frac{\partial \mathbf{A}}{\partial t} \right) = 0 \quad (۴-۳۳ الف)$$

با رجوع به قضیهٔ گاوس (۴-۹)، برای دیورژانس \mathbf{E} ، و توجه به اینکه از روی (۴-۳۲ ب) داریم $\nabla \cdot \mathbf{A} = 0$ ، به دست می‌آوریم

$$\nabla \cdot \left(\mathbf{E} + \frac{\partial \mathbf{A}}{\partial t} \right) = \frac{\rho}{\epsilon_0} \quad (۴-۳۳ ب)$$

که در آن ρ چگالی بار است. به این ترتیب، معادله‌های (۴-۳۳ الف و ب)، تاو و دیورژانس $\mathbf{E} + \partial \mathbf{A}/\partial t$ را به دست می‌دهند و با استفاده از آنها و استناد به قضیهٔ هلمهولتز (۴-۳۱) می‌توان نوشت

$$\mathbf{E} + \frac{\partial \mathbf{A}}{\partial t} = -\nabla \phi$$

یا

$$\mathbf{E} = -\nabla \phi - \frac{\partial \mathbf{A}}{\partial t} \quad (۴-۳۴)$$

که در آن

$$\phi(\mathbf{r}, t) = \int \frac{\rho(\mathbf{r}', t) dv'}{4\pi\epsilon_0 |\mathbf{r} - \mathbf{r}'|} \quad (۴-۳۵)$$

پتانسیل ϕ همان پتانسیلی است که در الکتروستاتیک با آن روبه‌رو می‌شویم.

اکنون عبارت دیگری برای $\mathbf{A}(\mathbf{r}, t)$ به دست می‌آوریم، که مانند (۴-۳۵) فقط شامل چشمه‌هاست. معادلهٔ (۴-۱۲) را چنان بازنویسی می‌کنیم که میدانهای مجهول در طرف چپ و

چشمه‌ها در طرف راست باشند:

$$\nabla \times \nabla \times \mathbf{A} + \mu_0 \varepsilon_0 \frac{\partial^2 \mathbf{A}}{\partial t^2} = \mu_0 \mathbf{j} - \mu_0 \varepsilon_0 \nabla \left(\frac{\partial \phi}{\partial t} \right) \quad (۳۶-۴)$$

در اینجا E و B را برحسب پتانسیلها جایگزین کرده‌ایم. چون ϕ را از (۳۵-۴) می‌دانیم، جمله $\mu_0 \varepsilon_0 \nabla(\partial\phi/\partial t)$ را چشمه در نظر گرفته‌ایم. بنابه یک اتحاد برداری معروف داریم

$$\nabla \times (\nabla \times \mathbf{A}) = \nabla(\nabla \cdot \mathbf{A}) - \nabla^2 \mathbf{A}$$

اما $\nabla \cdot \mathbf{A} = 0$. اگر به جای $\mu_0 \varepsilon_0$ ، $1/c^2$ قرار دهیم، (۳۶-۴) چنین می‌شود

$$\nabla^2 \mathbf{A} - \frac{1}{c^2} \frac{\partial^2 \mathbf{A}}{\partial t^2} = -\mu_0 \mathbf{j}_T \quad (۳۷-۴ \text{ الف})$$

که در آن

$$\mathbf{j}_T = \mathbf{j} - \varepsilon_0 \nabla \left(\frac{\partial \phi}{\partial t} \right) \quad (۳۷-۴ \text{ ب})$$

شاخص T یعنی کل.

پتانسیل برداری در معادله موج با جمله محرک $-\mu_0 \mathbf{j}_T$ صدق می‌کند.

قبلاً با معادله موج یعنی با معادله‌ای که بر جابه‌جایی تار حکمفرماست، یعنی معادله (۲-۳) آشنا شدیم:

$$\frac{\partial^2 y}{\partial x^2} - \frac{1}{s^2} \frac{\partial^2 y}{\partial t^2} = \frac{F(x, t)}{\rho}$$

به‌خاطر داریم که در ناحیه عاری از «چشمه» تار، یعنی، جایی که نیروی خارجی اعمال شده

$F(x, t)$ صفر است، جواب را می‌توان به صورت زیر نوشت [معادله (۵-۳)]

$$y(x, t) = Y \left(t \pm \frac{x}{s} \right)$$

که در آن s سرعت موج است.

غیر از آن، معادله موج (۳۷-۴ الف) برای $A(\mathbf{r}, t)$ به معادله دیگری که جواب آن برای ما

شناخته شده است، شباهت دارد، این معادله همان معادله لاپلاس برای ϕ است: از ترکیب (۹-۴) و (۳۴-۴) و باز با یادآوری $\nabla \cdot \mathbf{A} = 0$ به دست می‌آوریم

$$\nabla^2 \phi = -\frac{\rho}{\varepsilon_0} \quad (۳۸-۴)$$

که جواب آن دقیقاً رابطه (۳۵-۴) است.

این دو جواب، یعنی (۳۵-۴) و (۵-۳)، جواب واقعی (۴-۳۷ الف) را برای $A(\mathbf{r}, t)$ توجیه می‌کنند:

$$A(\mathbf{r}, t) = \mu_0 \int \frac{\mathbf{j}_T(\mathbf{r}', t') dv'}{4\pi |\mathbf{r} - \mathbf{r}'|} \quad (۴-۳۹ الف)$$

که در آن

$$t' = t - \frac{|\mathbf{r} - \mathbf{r}'|}{c} \quad (۴-۳۹ ب)$$

این نتیجه برای $A(\mathbf{r}, t)$ را جواب تأخیری می‌نامند، زیرا جریان \mathbf{j}_T نه در زمان t ، بلکه در زمان زودتر $t - |\mathbf{r} - \mathbf{r}'|/c$ ، یعنی در زمانی که میدان «تولید شده بود» محاسبه می‌شود. درست مانند امواج روی تار، پیغام با سرعتی ثابت منتقل می‌شود، منتهی اینجا در سه بُعد و با دامنه نزولی. جواب دیگری که دارای $t' = t + |\mathbf{r} - \mathbf{r}'|/c$ و از نظر ریاضی کاملاً معتبر است، تاکنون ارزش عملی چندانی نیافته است. در بخش مسائل، از خواننده می‌خواهیم تا نشان دهد که عبارت (۴-۳۹ الف) واقعاً جواب فیزیکی معادله موج (۴-۳۷ الف) برای $A(\mathbf{r}, t)$ است. در آنجا، همانند الکتروستاتیک، جواب را به صورت برهم‌نهی جوابهای مربوط به اجزایی که چشمه‌های نقطه‌ای $\mathbf{j}_T(\mathbf{r}', t')$ را تشکیل می‌دهند، در نظر می‌گیریم:

$$dA(\mathbf{r}, t) = \mu_0 \mathbf{j}_T(\mathbf{r}', t') \frac{dv'}{4\pi |\mathbf{r} - \mathbf{r}'|} \quad (۴-۳۹ ج)$$

معادله‌های (۴-۳۷ الف و ب) به ترتیب برای پتانسیلهای ϕ و A و معادله‌های (۴-۳۲ و ۴-۳۴) و (۳۵) که میدانهای B و E را برحسب پتانسیلها بیان می‌کنند، کار یافتن این میدانها را برحسب چشمه‌های ρ و \mathbf{j} ، یعنی کار حل کردن معادله‌های ماکسول را کامل می‌کنند. در جدول ۴-۱، معادله‌های حاکم بر میدانهای الکترومغناطیسی و جوابهایشان خلاصه شده‌اند.

جواب (۴-۳۹ ج) برای $A(\mathbf{r}, t)$ (یک تابع گرین) را می‌توان با جواب مسئله ۳-۱۶ مقایسه کرد که برای اختلال ناشی از نیروی نقطه‌ای بر روی تار بلند، یعنی، هنگامی که بازتاب از انتهای تار را نادیده می‌گیریم، حاصل شد. در نتیجه از (۴-۳۹) می‌توان تابش الکترومغناطیسی ناشی از هر توزیع چشمه در فضا و زمان (مثلاً، یک آنتن) را مستقیماً محاسبه کرد، به این شرط که تابش به فضای آزاد صورت گیرد. در بخش بعدی که بخش نهایی این فصل است، این موضوع را با یافتن میدانهای تابشی آنتن «دوقطبی» ساده نشان می‌دهیم.

سرانجام، باز هم خاطر نشان می‌کنیم که پتانسیلهای A و ϕ یکتا نیستند، اگرچه E و B به طور یکتا توسط چشمه‌ها مشخص می‌شوند. انتخاب ما را به خاطر رابطه $\nabla \cdot \mathbf{A} = 0$ «پیمانه عرضی» می‌نامند. منشأ آن حکم قضیه هلمهولتز است، که در آن G را چنان انتخاب کردیم که $\nabla \cdot \mathbf{G} = 0$

جدول ۱-۴ خلاصه روابط اساسی میدانهای الکترومغناطیسی

شکل انتگرالی معادله‌های ماکسول

$$\oint \mathbf{E} \cdot d\mathbf{S} = \varepsilon_0^{-1} \int \rho dv$$

$$\oint \mathbf{E} \cdot d\mathbf{l} = - \int \frac{\partial \mathbf{B}}{\partial t} \cdot d\mathbf{S}$$

$$\oint \mathbf{B} \cdot d\mathbf{S} = 0$$

$$\oint \mathbf{B} \cdot d\mathbf{l} = \mu_0 \int \left(\mathbf{j} + \varepsilon_0 \frac{\partial \mathbf{E}}{\partial t} \right) \cdot d\mathbf{S}$$

شکل دیفرانسیلی معادله‌های ماکسول

$$\nabla \cdot \mathbf{E} = \frac{\rho}{\varepsilon_0}$$

$$\nabla \times \mathbf{E} = - \frac{\partial \mathbf{B}}{\partial t}$$

$$\nabla \cdot \mathbf{B} = 0$$

$$\nabla \times \mathbf{B} = \mu_0 \left[\mathbf{j} + \varepsilon_0 \frac{\partial \mathbf{E}}{\partial t} \right]$$

در پیمانه عرضی $\nabla \cdot \mathbf{A} = 0$ و

$$\mathbf{A}(\mathbf{r}, t) = \frac{\mu_0}{4\pi |\mathbf{r} - \mathbf{r}'|} \int \mathbf{j}_T(\mathbf{r}', t') dv' \quad \text{پتانسیل برداری}$$

$$\mathbf{j}_T = \mathbf{j} - \varepsilon_0 \nabla \left(\frac{\partial \phi}{\partial t} \right) \quad \text{با}$$

$$\phi(\mathbf{r}, t) = \frac{1}{4\pi \varepsilon_0 |\mathbf{r} - \mathbf{r}'|} \int \rho(\mathbf{r}', t) dv' \quad \text{پتانسیل نرده‌ای}$$

$$t' = t - \frac{|\mathbf{r} - \mathbf{r}'|}{c} \quad \text{با}$$

$$\mathbf{E} = -\nabla \phi - \frac{\partial \mathbf{A}}{\partial t} \quad \mathbf{B} = \nabla \times \mathbf{A}$$

$$\nabla \equiv i \frac{\partial}{\partial x} + j \frac{\partial}{\partial y} + k \frac{\partial}{\partial z} \quad \oint \nabla \cdot \mathbf{F} dv = \oint \mathbf{F} \cdot d\mathbf{S}$$

$$\oint (\nabla \times \mathbf{F}) \cdot d\mathbf{S} = \oint \mathbf{F} \cdot d\mathbf{l}$$

شود. چون، حل برخی از مسائل فیزیک جدید، به بهترین نحو در این پیمانه انجام می‌شود، گاهی آن را پیمانه مکانیک کوانتومی نیز می‌نامند. در یکی از مسائل نشان می‌دهیم که چگونه باید ϕ را با تبدیل \mathbf{A} به پیمانه‌ای متفاوت، یعنی با $\nabla \cdot \mathbf{A} \neq 0$ تغییر داد.

۴-۶ تابش دوقطبی

به‌عنوان کاربردی از پتانسیل‌های تأخیری، تابش آنتن دوقطبی را بررسی می‌کنیم. واژه دوقطبی از بسط موسوم به «چندقطبی» میدانها برحسب توانهای نسبت اندازه آنتن، l ، به فاصله مشاهده‌کننده تا آنتن $|\mathbf{r}|$ ، گرفته شده است. فرض می‌کنیم، این نسبت کوچک باشد، $|\mathbf{r}| \gg l$. برای یافتن تابش دوقطبی متعارف، ابعاد آنتن باید نسبت به طول موج تابش کوچک باشد، و این طول موج نیز

باید نسبت به r کوچک باشد. بدین ترتیب، در پی توان کل تابش شده از آنتنی به طول l ، با شرط $l \gg \lambda \gg |r|$ هستیم که به طور هماهنگ تغذیه می‌شود. نتایج حاصل در ارتباطات الکتریکی و فیزیک اتمی کاربرد دارد.

در آغاز، عبارت تأخیری برای پتانسیل برداری $\mathbf{A}(\mathbf{r}, t)$ ، معادله (۴-۳۹ الف)، را به دو قسمت می‌کنیم،

$$\mathbf{A}(\mathbf{r}, t) = \mathbf{A}_1(\mathbf{r}, t) + \mathbf{A}_2(\mathbf{r}, t) \quad (۴-۴۰ الف)$$

$$\mathbf{A}_1(\mathbf{r}, t) \equiv \frac{\mu_0}{4\pi} \int \frac{\mathbf{j}(\mathbf{r}', t') dv'}{|\mathbf{r} - \mathbf{r}'|} \quad (۴-۴۰ ب)$$

$$\mathbf{A}_2(\mathbf{r}, t) \equiv -\frac{1}{4\pi c^2} \int \frac{\nabla' \left[\frac{\partial \phi(\mathbf{r}', t')}{\partial t'} \right] dv'}{|\mathbf{r} - \mathbf{r}'|} \quad (۴-۴۰ ج)$$

که در اینجا باز هم داریم $t' = t - |\mathbf{r} - \mathbf{r}'|/c$ ؛ در (۴-۴۰ ج)، ∇' مشتق‌گیری نسبت به مختصات r' است.

داریم،

$$\nabla \times \mathbf{A}_2(\mathbf{r}, t) = 0 \quad (۴۱-۴)$$

این رابطه را می‌توان به راحتی با توجه به این نکته که هر مؤلفه ∇ ، مثلاً x ، را می‌توان به صورت زیر نوشت، اثبات کرد:

$$\begin{aligned} \frac{\partial}{\partial x} \mathbf{i} \times \mathbf{A}_2 &= \frac{1}{4\pi c^2} \int \left(\frac{\partial}{\partial x'} \frac{1}{|\mathbf{r} - \mathbf{r}'|} \right) \mathbf{i} \times \nabla' \left[\frac{\partial \phi(\mathbf{r}', t')}{\partial t'} \right] dv' \\ &= \frac{-1}{4\pi c^2} \int \frac{1}{|\mathbf{r} - \mathbf{r}'|} \frac{\partial}{\partial x'} \mathbf{i} \times \nabla' \left(\frac{\partial \phi}{\partial t'} \right) dv' \end{aligned}$$

در اینجا، در سطر اول $\partial/\partial x$ را زیر انتگرال برده‌ایم و متغیرهای مشتق‌گیری را عوض کرده‌ایم. با انتگرال‌گیری جزء به جزء و در نظر گرفتن اینکه جمله اول آن در $x' = \pm\infty$ صفر است، به سطر دوم می‌رسیم. وقتی که هر سه مؤلفه را با هم در نظر بگیریم، مشاهده می‌کنیم که فقط تاو گرادیان در انتگرالده باقی می‌ماند، که نتیجه صفر را می‌دهد. چون تاو $\mathbf{A}_2(\mathbf{r}, t)$ صفر است، میدان مغناطیسی $\mathbf{B}(\mathbf{r}, t)$ فقط از $\mathbf{A}_1(\mathbf{r}, t)$ به دست می‌آید. پس از یافتن $\mathbf{B}(\mathbf{r}, t)$ معادله ماکسول (۴-۱۲) را برای یافتن $\mathbf{E}(\mathbf{r}, t)$ به کار می‌گیریم. به این ترتیب لزومی به یافتن $\mathbf{A}_2(\mathbf{r}', t)$ و $\phi(\mathbf{r}', t)$ نیست.

حال اگر فرض کنیم که فاصله بین مشاهده‌کننده و آنتن بسیار بزرگتر از ابعاد آنتن است، می‌توانیم به جای $\frac{1}{|r-r'|}$ در (۴-۴۰) بگذاریم و آن را از زیر انتگرال بیرون آوریم:

$$A_{\perp}(r, t) \cong \frac{\mu_0}{4\pi r} \int \mathbf{j}(r', t') dv' \quad (42-4)$$

در حالت کلی چگالی جریان $\mathbf{j}(r, t)$ از رابطه زیر به دست می‌آید،

$$\mathbf{j}(r, t) = \rho(r, t)\mathbf{u}(r, t) \quad (43-4)$$

که در آن ρ چگالی بار و \mathbf{u} سرعت بار است. اگر فرض کنیم که بار به اجزاء کوچک q_i تقسیم شده باشد،

$$q_i = \int \rho dv_i$$

که با سرعت \mathbf{u}_i حرکت می‌کنند، آنگاه $\int \mathbf{j}(r', t) dv'$ همان $\sum_i q_i \mathbf{u}_i(t)$ می‌شود. توزیع کلی بار برای یک آنتن رادیو و همین‌طور برای هر اتم، خنثی خواهد بود. فرض می‌کنیم که این بارهای مثبت هستند که نسبت به بارهای منفی ساکن با همان اندازه حرکت می‌کنند.

گشتاور دوقطبی را طبق رابطه زیر تعریف می‌کنیم

$$\mathbf{p}_i(t) \equiv q_i \mathbf{r}_i(t)$$

که در آن \mathbf{r}_i محل بار i ام است و با مشتق‌گیری نسبت به زمان داریم $\dot{\mathbf{p}}_i(t) = q_i \mathbf{u}_i$. با محدود کردن جمع روی بارهای مثبت متحرک داریم

$$\sum_i q_i \mathbf{u}_i = \sum_i \dot{\mathbf{p}}_i(t)$$

یعنی مشتقهای گشتاور دوقطبی نسبت به زمان.

با توجه به این فرض که طول آنتن l در مقایسه با طول موج تابش λ کوچک است، $2\pi l/\lambda \ll 1$ می‌توان هرگونه اختلاف فاز به خاطر تأخیر ناشی از اندازه متناهی آنتن را نادیده گرفت. در این صورت می‌توانیم یک بستگی زمانی هماهنگ ساده را برای کل گشتاور دوقطبی آنتن در نظر بگیریم:

$$\mathbf{p}(t) = \sum_i \mathbf{p}_i(t) \equiv \mathbf{p}_0 e^{i\omega t}$$

با استفاده از تعریف زمان تأخیری t'

$$\omega t' = \omega t - \left(\frac{\omega}{c}\right) r$$

و بالاخره، داریم

$$\int j(\mathbf{r}', t') dv' = i\omega p_0 e^{i\omega t'} = i\omega p(t) e^{-ikr} = e^{ikr} \frac{dp(t)}{dt}$$

که در آن $k = \omega/c$. از معادله (۴۲-۴) داریم:

$$\mathbf{A}_1(\mathbf{r}, t) = \frac{\mu_0}{4\pi r} e^{-ikr} \frac{dp(t)}{dt} \quad (44-4)$$

محاسبه $\nabla \times \mathbf{A}_1(\mathbf{r}, t) = \mathbf{B}(\mathbf{r}, t)$ و $\nabla \times \mathbf{B}(\mathbf{r}, t) = \varepsilon_0 \mu_0 (\partial \mathbf{E} / \partial t)$ ، که معادلهٔ اخیر معادلهٔ ماکسول (۱۲-۴) در فضای آزاد است، اکنون کاملاً سراسر است و در یکی از مسائل مطرح شده است. به علاوه، با انتگرال‌گیری از بردار پوئین‌تینگ، \mathbf{S} ،

$$\mathbf{S} = \frac{1}{\mu_0} \mathbf{E} \times \mathbf{B} \quad (19-4)$$

بر روی سطح کره‌ای به شعاع r ، در بخش مسائل درمی‌یابیم که توان کلی که از سطح کره عبور می‌کند، مستقل از r است، زیرا با توجه به پایستگی انرژی l باید در حالت مانا باشد و از فرمول معروف زیر به دست می‌آید

$$\bar{P} \equiv \int \bar{S}(r) r^2 d\Omega = \frac{p_0^2 \omega^4}{12\pi \varepsilon_0 c^3} \quad (45-4)$$

خط تیره روی P و S نشان می‌دهد که میانگین زمانی در یک چرخه گرفته شده است.

مثال ۱-۴

دسته‌ای از سیم‌های مستقیم بینهایت طویل به‌طور مرتب پهلوئی یکدیگر بر روی یک صفحهٔ نامتناهی مطابق شکل ۴-۱۷ قرار دارند. اگر جریان هر سیم I و N سیم در هر متر مربع وجود داشته باشد، الف) چگالی جریان سطحی مؤثر چقدر است؟ ب) میدان مغناطیسی موجود در بالای این رسانا با فرض اینکه در زیر آن میدانی وجود ندارد، چقدر است؟ راهنمایی: از شکل انتگرالی (۴-۴) استفاده کنید.

حل: جریان سطحی J_s ، یعنی، کل جریان در واحد سطح مقطع با $J_s = NI$ داده می‌شود. در نبود میدان الکتریکی وابسته به زمان، (۴-۴) چنین است

$$\oint \mathbf{B} \cdot d\mathbf{l} = \mu_0 \int \mathbf{J} \cdot d\mathbf{S}$$

به عنوان مداری برای انتگرال طرف چپ، مسیر مستطیلی عمود بر صفحه سیمها را که در شکل ۷-۴ الف با خط چین نشان داده شده است، انتخاب می‌کنیم. از روی تقارن، میدان مغناطیسی افقی است و هیچ میدان مغناطیسی در ناحیهٔ پربندی زیرین وجود ندارد. انتگرال‌گیری در امتداد بالایی مسیر Bl را می‌دهد، که در آن l طول مستطیل است. جریانی که از سطح مقطعی که حول آن انتگرال گرفتیم می‌گذرد، چنین است.

$$\int J \cdot dS = J_s l = NI$$

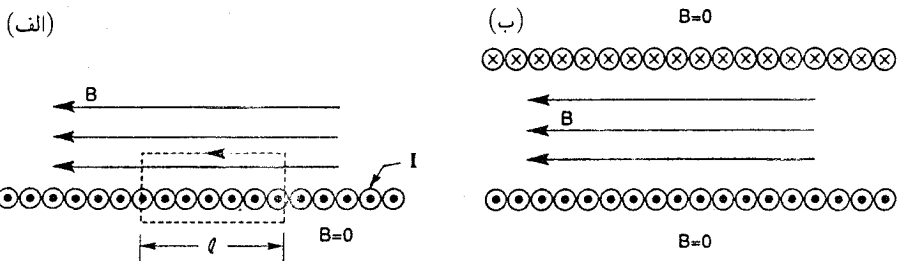
با به‌کار بستن (۴-۴) برای نتیجهٔ بالا داریم

$$|B|l = \mu_0 NI$$

$$B = \mu_0 NI$$

جهت میدان مغناطیسی کل که این رساناها به‌وجود می‌آورند در شکل (۷-۴ الف) آمده است. از روی تقارن، ممکن است انتظار داشته باشیم که میدانهای مساوی با جهت‌های مخالف در بالا و پایین هر یک به اندازه $(NI)/2$ μ_0 موجود باشد. در واقع ممکن است یک ورقهٔ حامل جریانهای بازگرداننده در جای دیگر وضعیت شکل ۷-۴ ب را به‌وجود آورد، این وضعیت کاملاً مشابه خازن الکتریکی است (میدانها یکدیگر را در داخل تقویت و در خارج خنثی می‌کنند).

این مثال وضعیتی را نشان می‌دهد که در آن ورقه‌های جریان، ورقه‌های میدان مغناطیسی موازی را به‌وجود می‌آورند، و جریانها در جهت عمود بر میدانها قرار می‌گیرند. این حالت را در امواج EM تخت بخش ۳-۴ داریم، که ورقه‌های جریان را نه بارهایی که در سیم جریان دارند، بلکه جریانهای جابه‌جایی $\epsilon_0 \partial E / \partial t$ تولید می‌کنند. این وضعیت را در کاواکها هم می‌یابیم، که



شکل ۷-۴ الف) مثال ۱-۴ دسته‌ای از سیمهای موازی طولی بلند. (ب) مثال ۱-۴ دو صفحه از این سیمها که بر هم نهاده شده‌اند.

در آنها جریانهای سطحی J_s میدانهای مغناطیسی را از نفوذ به داخل دیواره‌های رسانا بازمی‌دارد و آنها را در داخل کاواک محدود می‌کند. ■

مثال ۲-۴

نشان دهید که دیورژانس میدان تاوی همواره صفر است.

حل: دیورژانس هر میدان برداری F چنین است

$$\nabla \cdot F = \frac{\partial F_x}{\partial x} + \frac{\partial F_y}{\partial y} + \frac{\partial F_z}{\partial z}$$

$$\begin{aligned} \nabla \cdot \nabla \times F &= \nabla \cdot \left(\frac{\partial}{\partial x} \mathbf{i} + \frac{\partial}{\partial y} \mathbf{j} + \frac{\partial}{\partial z} \mathbf{k} \right) \times (F_x \mathbf{i} + F_y \mathbf{j} + F_z \mathbf{k}) \\ &= \frac{\partial}{\partial x} \left(\frac{\partial F_z}{\partial y} - \frac{\partial F_y}{\partial z} \right) + \frac{\partial}{\partial y} \left(\frac{\partial F_x}{\partial z} - \frac{\partial F_z}{\partial x} \right) \\ &\quad + \frac{\partial}{\partial z} \left(\frac{\partial F_y}{\partial x} - \frac{\partial F_x}{\partial y} \right) \end{aligned}$$

با توجه به اینکه مشتقهای جزئی درجه دوم مستقل از ترتیب مشتق‌گیری هستند، می‌بینیم که تمام جمله‌ها دوه‌دو یکدیگر را حذف می‌کنند و اتحاد ثابت می‌شود. ■

مثال ۳-۴

معادله اول ماکسول، $\nabla \cdot E = \rho/\epsilon_0$ در عملکرد دیود خلا، به خوبی نشان داده می‌شود. در دیود خلا، الکترونها به صورت گرمایی در نبود میدان الکتریکی و با سرعت بسیار ناچیزی از کاتد گسیل می‌شوند. این الکترونها ضمن پیمودن فاصله d در خلا تا آند که نسبت به کاتد در پتانسیل ثابت V قرار دارد، شتاب می‌گیرند. وجود جریان یعنی وجود چگالی بار ρ (که منفی خواهد بود زیرا بار الکترون منفی است). اگر الکترونها را به صورت صفحات تخت نامتناهی موازی صفحه $y-z$ فرض کنیم، ρ فقط به x بستگی خواهد داشت: $\rho(x)$. این چگالی بار، طبق معادله ماکسول بر میدان الکتریکی $E(x)$ اثر خواهد گذاشت: میدان $E(x)$ در جهت x است و مقدارش منفی است، یعنی از آند به کاتد که در $x = 0$ قرار دارد. بنابراین $\rho(x)$ بر حرکت الکترونها اثر خواهد گذاشت. اما در حالت مانا که $\rho(x)$ برحسب زمان ثابت است، جریان بر واحد سطح، J ، باید مستقل از x و زمان t باشد. در حل مسئله، ابتدا بستگی مکانی پتانسیل الکتروستاتیکی $\phi(x)$ را در حالت مانا و سپس بستگی J به پتانسیل اعمال شده V را در حالت مانا خواهیم یافت.

حل: چگالی جریان J با رابطه زیر به بار در واحد حجم، ρ ، مربوط می شود

$$J = -\rho(x)v(x)$$

که در آن J و $v(x)$ ، سرعت الکترون، هر دو مثبت اند. در حالت مانا

$$E(x) = -\frac{d\phi(x)}{dx} \quad \text{و} \quad \phi(d) = V, \quad \phi(0) = 0$$

چون الکترونها از حالت سکون شروع به حرکت می کنند و فرض می کنیم که فقط از طریق میدان الکتریکی متوسط $E(x)$ بر یکدیگر تأثیر می گذارند، از پایستگی انرژی داریم:

$$\frac{1}{2}mv^2(x) + e\phi(x) = 0$$

سرانجام، $\nabla \cdot \mathbf{E} = \rho/\epsilon_0$ چنین می شود

$$\frac{d^2\phi(x)}{dx^2} = -\frac{\rho(x)}{\epsilon_0}$$

حال اگر $\rho(x)$ را به نفع J حذف کنیم، با استفاده از

$$v(x) = \left[\frac{2|e|\phi(x)}{m} \right]^{\frac{1}{2}}$$

داریم

$$\frac{d^2\phi(x)}{dx^2} = \frac{J}{\epsilon_0} \sqrt{\frac{m}{2|e|}} \frac{1}{\phi^{\frac{1}{2}}(x)}$$

و یا

$$\frac{d^2\phi}{dx^2} = CJ\phi^{-\frac{3}{2}}(x), \quad C \equiv \frac{1}{\epsilon_0} \sqrt{\frac{m}{2|e|}}$$

این معادله همگن درجه دو را می توان به معادله ای درجه یک تبدیل کرد، فرض کنید که $\phi(x)$ و $x(\phi)$ را می دانیم، $y(\phi)$ را چنین تعریف می کنیم

$$y(\phi) \equiv \frac{d\phi(x)}{dx}$$

معادله درجه دوم چنین خواهد شد

$$\frac{dy(\phi)}{d\phi} \frac{d\phi(x)}{dx} = CJ\phi^{-\frac{3}{2}}(x)$$

$$y dy = CJ \frac{d\phi}{\phi^{\frac{3}{2}}}$$

پس از انتگرال‌گیری از طرفین معادله، داریم

$$\frac{1}{\frac{3}{2}} y^{\frac{3}{2}} = 2CJ \phi^{\frac{1}{2}}$$

ثابت‌های انتگرال‌گیری صفر هستند، زیرا در $x = 0$ داریم $\phi = 0$ ، و میدان الکتریکی، $-y$ ، هم در $\phi = 0$ صفر است. بنابراین،

$$\frac{d\phi(x)}{dx} = 2[CJ]^{\frac{2}{3}} \phi^{\frac{1}{3}}(x)$$

دوباره با انتگرال‌گیری از طرفین این رابطه داریم

$$\phi(x) = \left(\frac{3}{2}\right)^{\frac{3}{2}} [CJ]^{\frac{2}{3}} x^{\frac{3}{2}}$$

که رابطه مطلوب برای پتانسیل استاتیک $\phi(x)$ را نشان می‌دهد. به علاوه، جریان J با رابطه زیر به افت پتانسیل در دو سر دیود، $\phi(d) = V$ ، مربوط می‌شود،

$$J = \frac{4}{9Cd^2} V^{\frac{2}{3}}$$

این نتیجه کاملاً غیرااهی برای دیود خلأ به قانون چایلد-لانگ‌مویر معروف است. خواننده تحلیل بیشتری از این نتایج را برای دیود، در مسئله ۴-۸ خواهد یافت. ■

مثال ۴-۴

با بازنویسی رابطه (۴-۲۶ الف) برای مدهای TE کاواک، میدانهای EM را در جهت مثبت z در موجبری که در $z = 0$ برانگیخته می‌شود، به دست آورید. به‌ازای مقادیر داده شده l ، m و بسامد ω ، مقدار k_z را بیابید. تحقیق کنید که $\nabla \cdot \mathbf{E} = 0$ راهنمایی: به مسئله ۱۳-۱۴ رجوع کنید.

حل: همانند مسئله ۳-۱۴ بستگی زمانی مربوط به امواج پیشرونده در جهت مثبت z ، به صورت $\cos(k_z z - \omega t + \delta_{l,m})$ است، که در آن بردار انتشار k_z و فاز $\delta_{l,m}$ به مد خاص بستگی دارند و $\delta_{l,m}$ را شرایط مرزی در انتهای برانگیخته، $z = 0$ ، تعیین می‌کند. با این بستگی زمانی می‌توان هم معادله موج همگن برای $\mathbf{E}(x, y, z, t)$ در داخل موجبر و هم شرایط مرزی را

در $z \rightarrow \infty$ برقرار کرد - یعنی سیگنالی که در جهت منفی δ (به طرف عقب) منتشر شود، وجود ندارد.

برای میدان الکتریکی در مد l, m می نویسیم:

$$\mathbf{E}_{\text{TE}_{l,m}}(x, y, z, t) = \left[-\frac{km}{k} \cos(k_l x) \sin(k_m y) \hat{\mathbf{i}} + \frac{k_l}{k} \sin(k_l x) \cos(k_m y) \hat{\mathbf{j}} \right] \cos(k_r z - \omega t + \delta_{l,m})$$

که در آن

$$k_l = \frac{l\pi}{a}, \quad k_m = \frac{m\pi}{b}, \quad l = 1, 2, 3, \dots \quad \text{و} \quad m = 1, 2, 3, \dots$$

برای یافتن k_r ، میدان الکتریکی داده شده را در معادله موج همگن در فضای آزاد برای \mathbf{E} ، قرار می دهیم (رجوع کنید به مسئله ۴-۱۳):

$$\nabla^2 \mathbf{E} - \frac{1}{c^2} \frac{\partial^2 \mathbf{E}}{\partial t^2} = 0$$

این معادله باید برای هر مؤلفه \mathbf{E} جداگانه صادق باشد. به طور کوتاه، معادله را چنین می نویسیم:

$$\mathbf{E}_{\text{TE}_{l,m}}(x, y, z, t) \equiv [E_x(x, y) \hat{\mathbf{i}} + E_y(x, y) \hat{\mathbf{j}}] \cos(k_r z - \omega t + \delta_{l,m})$$

با مشتق گیریهای لازم داریم،

$$\nabla^2 E_x = \left(\frac{\partial^2}{\partial x^2} + \frac{\partial^2}{\partial y^2} \right) E_x = -(k_l^2 + k_m^2) E_x$$

$$\nabla^2 E_y = -(k_l^2 + k_m^2) E_y$$

و بدین ترتیب،

$$\nabla^2 \mathbf{E}_{\text{TE}_{l,m}} = -(k_l^2 + k_m^2 + k_r^2) \mathbf{E}_{\text{TE}_{l,m}}$$

با مشتق گیری نسبت به t ، درمی یابیم که معادله موج در صورتی صادق است که

$$k^2 \equiv k_l^2 + k_m^2 + k_r^2 = \frac{\omega^2}{c^2}$$

و رابطه k_r را بسامد محرک ω و k_l و k_m به دست می آید. برای بحث بیشتر به مسئله ۴-۱۳ مراجعه کنید.

حال اگر به $\nabla \cdot \mathbf{E}_{TEl,m}$ توجه کنیم، داریم

$$\begin{aligned} & \left(\frac{\partial}{\partial x} \mathbf{i} + \frac{\partial}{\partial y} \mathbf{j} + \frac{\partial}{\partial z} \mathbf{k} \right) \cdot E_1(x, y) \mathbf{i} \cos(k_r z - \omega t + \delta_{l,m}) \\ &= \frac{k_l k_m}{k} \sin k_l x \sin k_m y \cos(k_r z - \omega t + \delta_{l,m}) \\ &= -\nabla \cdot [E_r(x, y) \mathbf{j}] \cos(k_r z - \omega t + \delta_{l,m}) \end{aligned}$$

واضح است که برای صفر شدن دیورژانس \mathbf{E} که شرط لازم در فضای آزاد داخل موجبر است، فاز $\delta_{l,m}$ برای هر دو بردار مؤلفه $E_{TEl,m}$ باید یکسان باشد.

متوجه می‌شویم که مدها چنان طراحی شده‌اند که شرایط مرزی در دیواره‌های موجبر را برقرار سازند. کار یافتن میدان الکتریکی داخل موجبر با تعیین دامنه و فاز هر مد TE و TM ناشی از میدانهای محرک یا چشمه‌های موجود در $z = 0$ ، کامل می‌شود. ■

مسائل

۱-۴ یک ناظر در فاصله ۱cm از صفحه عایقی به ابعاد $5m \times 5m$ ، میدان الکتریکی $4 \times 10^4 V/m$ را اندازه می‌گیرد، میدان الکتریکی در فاصله $8^{\circ}m$ از صفحه را برآورد کنید. توزیع بار روی صفحه را یکنواخت فرض کنید.

۲-۴ با استفاده از (۴-۴) فرمولی برای میدان مغناطیسی اطراف سیم بلندی که حامل جریان I است را به دست آورید.

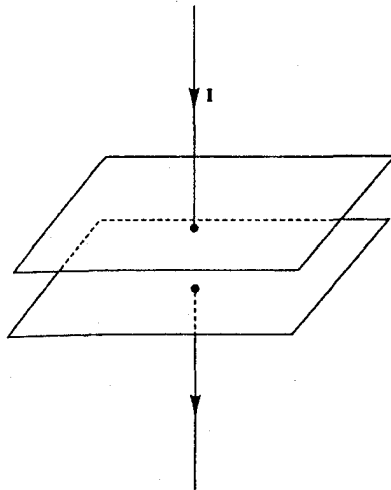
۳-۴ سیم بلندی به صورت سری به خازن صفحه موازی، طبق شکل ۸-۴ متصل شده است. اگر جریان در سیم I باشد، نشان دهید که

$$I = C \frac{dV}{dt} \quad (\text{الف})$$

$$I_1 = C \frac{dV}{dt} \quad (\text{ب})$$

که در آن I_1 کل جریان جابه‌جایی است که از خازن می‌گذرد. چرا نتیجه $I = I_1$ برای سازگاری در کاربرد قانون آمپر (۴-۴) در این مورد لازم است؟

راهنمایی: جریانی را در نظر بگیرید که به جای عبور از سطحی که سیم ورودی را قطع می‌کند، از سطحی عبور کند که از بین صفحات خازن می‌گذرد.



شکل ۸-۴ مسئله ۳-۴.

۴-۴ الف) نشان دهید که چگونه تعبیر فیزیکی دیورژانس و قانون پایستگی بار به رابطه معروف زیر می‌انجامد

$$\nabla \cdot \mathbf{j} + \frac{\partial \rho}{\partial t} = 0$$

که در آن \mathbf{j} و ρ به ترتیب چگالی جریان و چگالی بار است.

ب) از (۴-۱۲) نتیجه بگیرید که $\nabla \cdot (\mathbf{j} + \epsilon_0 \partial \mathbf{E} / \partial t)$ باید صفر شود.

ج) از قسمت الف) و یکی دیگر از معادله‌های ماکسول استفاده کنید و نتیجه قسمت ب) را تحقیق کنید.

د) توزیع جریان حقیقی و جریان جابه‌جایی را بر روی صفحات خازن و مسئله ۳-۴ و در داخل آن نشان دهید. همچنین خطوط میدان مغناطیسی را درست بالا و پایین صفحات نشان دهید. درباره کاربرد (۴-۴) در این مورد بحث کنید.

۴-۵ می‌دانیم که ذره‌ای با سرعت زاویه‌ای ثابت ω دارای سرعت خطی $\mathbf{v} = \omega \times \mathbf{r}$ است.

الف) $\nabla \times \mathbf{v}$ را بیابید. (می‌توانید بدون از دست رفتن کلیت، فرض کنید $\mathbf{k} = |\omega|$ ، که در آن \mathbf{k} بردار یکه در جهت z است.)

ب) با استفاده از نتیجه بخش الف) $\oint \mathbf{v} \cdot d\mathbf{r} / \oint dS$ را محاسبه کنید که آن $\oint dS$ سطحی است که مسیر $d\mathbf{r}$ آن را دربرمی‌گیرد، این مسیر را در صفحه $x-y$ فرض کنید. صحت نتیجه را با محاسبه $\oint \mathbf{v} \cdot d\mathbf{r}$ برای مسیر دایره‌ای تحقیق کنید.

ج) رابطه‌ای تحلیلی برای پتانسیل برداری $A(\mathbf{r})$ که میدان مغناطیسی یکنواخت B را مثلاً در جهت z به دست می‌دهد بنویسید. $A(\mathbf{r})$ چه شکلی دارد؟

د) دو شماره با سرعت $v(\mathbf{r})$ را که یکی دارای تاو است و دیگری تاو ندارد، از هم تمیز دهید. آیا هیچ‌یک از آنها دارای جزء چرخشی است؟

۴-۶ الف) موج زیر را در نظر بگیرید

$$\psi = \psi_0 e^{i(\mathbf{k} \cdot \mathbf{r} - \omega t)} = \psi_0 e^{i(k_x x + k_y y + k_z z - \omega t)}$$

نشان دهید که مکان هندسی نقاط با فاز ثابت، یک صفحه تشکیل می‌دهد.

ب) امواج طولی و عرضی را طبق رابطه زیر در نظر بگیرید

$$F_{\parallel} = F_0 e^{i(\mathbf{k} \cdot \mathbf{r} - \omega t)} \frac{k}{|k|}$$

$$F_{\perp} = F_0 e^{i(\mathbf{k} \cdot \mathbf{r} - \omega t)} \frac{k_{\perp}}{|k_{\perp}|}, \quad k_{\perp} \cdot k \equiv 0$$

نشان دهید که $\nabla \cdot F_{\parallel} = 0$ و $\nabla \times F_{\perp} = 0$.

چون هر تابع، طولی یا عرضی، را می‌توان به صورت بسط فوریه این امواج نوشت، در مورد دو تعریف مختلفی که برای هر یک از دو حالت طولی و عرضی که در متن بیان شد وقتی یک جهت انتشار مشخص وجود دارد چه نتیجه‌ای را می‌توانید بگیرید.

۴-۷ الف) معادله (۴-۲۸) E و B را برای موج عرضی EM همفاز نشان می‌دهد. آیا این وضعیت اتفاقی است؟

ب) رابطه $E_0 = cB_0$ (۴-۱۷) را به دست آورید.

۴-۸ با استفاده از اتحاد برداری زیر، برای هر دو میدان برداری $A(x, y, z)$ و $B(x, y, z)$

$$\nabla \cdot (A \times B) = B \cdot (\nabla \times A) - A \cdot (\nabla \times B)$$

نشان دهید که

$$\nabla \cdot S \equiv \nabla \cdot \left(\mathbf{E} \times \frac{\mathbf{B}}{\mu_0} \right) = -\frac{\partial}{\partial t} \left[\frac{B^2}{2\mu_0} + \frac{\epsilon_0 E^2}{2} \right]$$

بگویید چرا S ، بردار پوینتینگ، را می‌توان به عنوان شارژ انرژی تعبیر کرد.

۴-۹ میانگین زمانی شدت نور خورشید که به لایه بیرونی جو برخورد می‌کند 1400 W/m^2 است. با این فرض که موج EM فرودی، تخت است E_0 ، دامنه میدان الکتریکی را که به لایه بیرونی برخورد می‌کند به دست آورید.

۱۰-۴ با استفاده از $\nabla \cdot \mathbf{B} = 0$ نشان دهید که اگر میدان \mathbf{B} به رسانای کامل نفوذ نکند مؤلفه عمود بر سطحش باید صفر باشد.

راهنمایی: سطح گاوسی را به صورت «یک قوطی کوچک» چنان در نظر بگیرید که سطح رسانا، پهلوهای آن را قطع کند.

۱۱-۴ در یک کاواک مکعب مستطیلی می‌توان فرض کرد که بردارهای موج k_x, k_y, k_z فضایی موسوم به فضای معکوس تشکیل می‌دهند. نشان دهید که تعداد مدهای طبیعی امواج ایستاده مربوط به جزء از حجم $\Delta^3 k$ این فضا برابر است با

$$\Delta N = \frac{2V}{\pi^3 \Delta^3 k}$$

که در آن V حجم کاواک است،

$$\Delta^3 k = \Delta k_x \Delta k_y \Delta k_z$$

۱۲-۴ الف) با استفاده از میدان الکتریکی معین، میدان مغناطیسی مربوط به مد $\text{TE}_{1,0,3}$ را به دست آورید و صحت شکل ۶-۴ را تحقیق کنید.

ب) توزیع جریان مربوط به این مد را در دیواره انتهایی، $z = d$ ، محاسبه کنید.
۱۳-۴ مد TE که از رابطه زیر به دست می‌آید

$$\mathbf{E} = E_0 \sin \frac{\pi x}{a} e^{i[\omega t - \frac{1}{\lambda_g} z]} \mathbf{j}$$

در موجبر مکعب مستطیلی به پهنای $\Delta x = a$ منتشر می‌شود (\mathbf{j} بردار یکه در جهت y است). الف) با استفاده از معادله‌های ماکسول نشان دهید که در داخل موجبر، معادله موج فضای آزاد چنین است

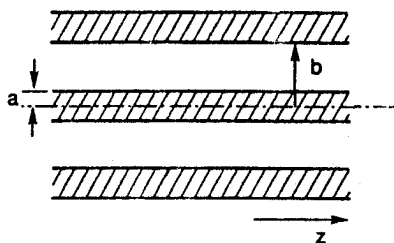
$$\nabla^2 \mathbf{E} = -\frac{1}{c^2} \left(\frac{\partial^2 \mathbf{E}}{\partial t^2} \right) = 0$$

ب) نشان دهید که

$$\lambda_g = \frac{\lambda_0}{\sqrt{1 - \left(\frac{\lambda_0}{2a} \right)^2}}$$

که در آن $\lambda_0 = 2\pi c / \omega$.

ج) بسامد قطع، ω_c ، را به دست آورید. در کمتر از این بسامد مد منتشر نمی‌شود، یعنی، برحسب z به صورت نمایی میرا می‌شود.



شکل ۹-۴ مسئله ۱۴-۴.

(د) B را محاسبه و سطح مقطع $x-z$ را رسم کنید و در یک لحظه از زمان میدانهای $\partial E/\partial t$ و B را در موجبر در گستره $\Delta z = \lambda_g$ نشان دهید. فرض کنید $\omega > \omega_c$. راهنمایی: نگاه کنید به مثال ۴-۴

۱۴-۴ توان در یک کابل هم‌محور در مد اصلی TEM جریان دارد. در فضای آزاد $b > r > a$ (شکل ۹-۴)، میدان الکتریکی E با رابطه زیر داده می‌شود

$$\mathbf{E} = E_0 u(r) e^{i[\omega t - \frac{r\pi z}{\lambda}]} \mathbf{a}_r$$

که در آن، r و z مختصات استوانه‌ای هستند و \mathbf{a}_r بردار یکه در جهت شعاعی است.

(الف) در نمایی جانبی مانند آنچه در شکل ۹-۴ آمده است، به کمک خطوط میدان، جریان جابه‌جایی $\epsilon_0 (\partial E_0 / \partial t)$ را در یک طول موج سیگنال گسیل شده نشان دهید.

(ب) به همین ترتیب میدانهای مغناطیسی را رسم کنید. کدامیک از معادله‌های ماکسول برای یافتن میدان لازم‌اند؟ بالاخره، جریانهای حقیقی در رساناها را نیز نشان دهید.

(ج) با بهره‌گیری از قانون گاوس (۱-۴) شکل تابع $u(r)$ را با توجه به اینکه هیچ چگالی باری در فضای آزاد $b > r > a$ وجود ندارد، تعیین کنید.

(د) $\nabla_{\perp}^2 E$ را بیابید (متن زیر).

(ه) با استفاده از معادله

$$\nabla_{\perp}^2 E - \frac{1}{c^2} \frac{\partial^2 E}{\partial t^2} = 0$$

نشان دهید که $\omega \lambda = 2\pi c$. آیا بسامد قطعی برای مد بنیادی انتشار وجود دارد؟ (مسئله ۱۳-۴) در مختصات استوانه‌ای:

$$\nabla \times \mathbf{E} = \left[\frac{1}{r} \frac{\partial E_z}{\partial \phi} - \frac{\partial E_{\phi}}{\partial z} \right] \hat{\mathbf{a}}_r + \left[\frac{\partial E_r}{\partial z} - \frac{\partial E_z}{\partial r} \right] \hat{\mathbf{a}}_{\phi}$$

$$+ \left[\frac{1}{r} \frac{\partial}{\partial r} (r E_\phi) - \frac{1}{r} \left(\frac{\partial E_r}{\partial \phi} \right) \right] \mathbf{a}_z$$

به علاوه،

$$\nabla^2 \mathbf{E} \equiv \nabla_{\perp}^2 \mathbf{E} + \nabla^2 E_z \mathbf{a}_z$$

$$\nabla_{\perp}^2 \mathbf{E} = \left(\nabla^2 E_r - \frac{E_r}{r^2} - \frac{2}{r^2} \frac{\partial E_\phi}{\partial \phi} \right) \hat{\mathbf{a}}_r + \left(\nabla^2 E_\phi - \frac{E_\phi}{r^2} \frac{2}{r^2} \frac{\partial E_r}{\partial \phi} \right) \hat{\mathbf{a}}_\phi$$

و برای میدان نردهای $\psi(r, z, \phi)$

$$\nabla^2 \psi = \frac{1}{r} \frac{\partial}{\partial r} \left(r \frac{\partial \psi}{\partial r} \right) + \frac{1}{r^2} \frac{\partial^2 \psi}{\partial \phi^2} + \frac{\partial^2 \psi}{\partial z^2}$$

۴-۱۵ الف) با شروع از (۴-۳۳ الف و ب) نشان دهید که افزودن میدان بدون تاو $\nabla \chi$ به \mathbf{A} ، که در آن $\chi(r, t)$ هر میدان نردهای با شرایط مرزی مناسب است که نه تنها تغییری در \mathbf{B} به وجود نمی آورد بلکه \mathbf{E} را نیز تغییر نمی دهد و بدین صورت جوابهای یکتا را برای معادله های ماکسول تضمین می کند. راهنمایی: پیش از به کار بردن قضیه برداری هلمهولتز، نشان دهید که

$$\chi(\mathbf{r}, t) = -\frac{1}{4\pi} \int \frac{(\nabla')^2 \chi(\mathbf{r}') dv'}{|\mathbf{r} - \mathbf{r}'|}$$

ب) نشان دهید که در پیمانه لورنتس $(\partial \phi / \partial t) = (-1/c^2) \nabla \cdot \mathbf{A}$ (۴-۳۱) به صورت زیر در می آید،

$$\nabla^2 \mathbf{A} - \frac{1}{c^2} \frac{\partial^2 \mathbf{A}}{\partial t^2} = -\mu_0 \mathbf{j}$$

$$\nabla^2 \phi - \frac{1}{c^2} \frac{\partial^2 \phi}{\partial t^2} = -\rho / \epsilon_0$$

 χ چیست؟

۴-۱۶ الف) با استفاده از (۴-۳۱ الف) نشان دهید که

$$\mathbf{F}(x, y, z) = -\nabla \psi(x, y, z) + \nabla \times \mathbf{G}(x, y, z)$$

برای چشمه های d و c معادله های (۴-۳۰ الف و ب)

$$-\nabla^2 \psi = d, \quad -\nabla^2 \mathbf{G} = c$$

با فرض $\nabla \cdot \mathbf{G} = 0$ ، برقرارند.

(ب) با پذیرفتن جواب «الکتروستاتیکی»

$$\psi = \frac{1}{4\pi} \int \frac{d(r') dv'}{|r - r'|}$$

به‌عنوان حل $d = -\nabla^2 \psi$ ، که در آن به‌ازای $|r| \rightarrow \infty$ داریم $\psi(r) \rightarrow 0$ ، آیا می‌توانید $G(r)$ را که در همین شرط مرزی صدق می‌کند پیدا کنید؟

۱۷-۴ با استفاده از جدول ۴-۱، برای هنگامی که q و j مستقل از زمان هستند، E و B را برحسب q و j بنویسید. در چه شرایطی می‌توان میدان برداری را صرفاً به‌صورت گزادیان میدان زده‌ای، به‌صورت تاو میدان برداری، و یا به‌صورت ترکیبی از این دو نوشت؟ برای جوابهای خود دلیل بیاورید.

۱۸-۴ سیم مستقیمی را که از $z' = -L/2$ تا $z' = +L/2$ کشیده شده است و حامل جریان مستقل از زمان I است در نظر بگیرید.

الف) انتگرالی برای پتانسیل برداری $A(r, z, \phi)$ برحسب چگالی جریان معین $j(r', z', \phi)$ بنویسید ولی آن را محاسبه نکنید. جواب خود را با حالت سیم نازک در $z = 0$ که حامل جریان I از $z' = -L/2$ تا $z' = L/2$ است، ساده کنید.

ب) $B = \nabla \times A$ را با مشتق‌گیری از نتیجه (الف) در زیر انتگرال باقی‌مانده $\int dz'$ حساب کنید.

ج) انتگرال‌گیری را کامل کنید تا $B(r, 0, \phi)$ را بیابید.

د) نتیجه را برای B در حد $L \rightarrow \infty$ در نظر بگیرید و آن را با نتیجه مسئله ۲-۴ مقایسه کنید. در مختصات استوانه‌ای $\nabla \times A$ چنین است:

$$\left(\frac{1}{r} \frac{\partial A_z}{\partial \phi} - \frac{\partial A_\phi}{\partial z} \right) \mathbf{a}_r + \left(\frac{\partial A_r}{\partial z} - \frac{\partial A_z}{\partial r} \right) \mathbf{a}_\phi + \frac{1}{r} \left[\frac{\partial}{\partial r} (r A_\phi) - \frac{\partial A_r}{\partial \phi} \right] \mathbf{a}_z$$

۱۹-۴ از رابطه استاتیک

$$d\mathbf{A} = \frac{\mu_0}{4\pi} I \frac{d\mathbf{l}}{|r - r'|}$$

قانون بیو-سوار را به‌دست آورید:

$$d\mathbf{B} = \frac{\mu_0 I}{4\pi} \frac{d\mathbf{l} \times (r - r')}{|r - r'|^3}$$

راهنمایی: $\nabla \times (\psi \mathbf{F}) = \psi \nabla \times \mathbf{F} + (\nabla \psi) \times \mathbf{F}$

۴-۲ الف) نشان دهید که پتانسیل برداری $A(\mathbf{r}, t)$ که از توزیع جریان نقطه‌ای $I_T(\mathbf{r}, t)\delta^3(\mathbf{r})$ در مبدأ، به وجود می‌آید. در معادله موج

$$\nabla^2 A - \frac{1}{c^2} \frac{\partial^2 A}{\partial t^2} = 0$$

در هر نقطه غیر از $\mathbf{r} = 0$ صادق است، به شرطی که

$$A(\mathbf{r}, t) = \mu_0 I_T \frac{\left(0, t - \frac{r}{c}\right)}{(4\pi r)}$$

راهنمایی: در مختصات کروی

$$\nabla^2 \psi = \frac{1}{r^2} \frac{\partial}{\partial r} \left(r^2 \frac{\partial \psi}{\partial r} \right) + \frac{1}{r^2 \sin \theta} \frac{\partial}{\partial \theta} \left(\sin \theta \frac{\partial \psi}{\partial \theta} \right) + \frac{1}{r^2 \sin^2 \theta} \frac{\partial^2 \psi}{\partial \phi^2}$$

ب) معادله پواسون برای توزیع بار $q_0 \delta^3(\mathbf{r})$ چنین است

$$\nabla^2 \phi = -q_0 \delta^3(\mathbf{r}) / \epsilon_0$$

با استفاده از قانون گاوس نشان دهید که

$$-\oint \nabla \phi(\mathbf{r}) \cdot d\mathbf{S} = \frac{q_0}{\epsilon_0}$$

که شرط مرزی برای $\phi(\mathbf{r})$ در $\mathbf{r} = 0$ است.

ج) با توجه به (۴-۳۵) می‌دانیم که برای توزیع بار (ب)،

$$\phi(\mathbf{r}) = \frac{q_0}{4\pi\epsilon_0 r}$$

و در الکتروستاتیک میدان الکتریکی از رابطه زیر به دست می‌آید

$$\mathbf{E}(\mathbf{r}) = -\nabla \phi(\mathbf{r}) = \frac{q_0 \mathbf{r}}{4\pi\epsilon_0 r^3}$$

(قانون عکس مجذور). با محاسبه مستقیم نشان دهید که این شکل از $\nabla \phi(\mathbf{r})$ شرط مرزی را در

(ب) به‌ازای کره بینهایت کوچک واقع در مبدأ، برقرار می‌کند.

(د) در $r = 0$ ، شرط مرزی را مشابه با آنچه در (ب) آمد، برای $A(r, t)$ که در رابطه زیر صدق می‌کند به دست آورید.

$$\nabla^2 A - \frac{1}{c^2} \frac{\partial^2 A}{\partial t^2} = -\mu_0 I_T(0, t) \delta^3(r)$$

(ه) با محاسبه مستقیم تحقیق کنید که

$$A(r, t) = \mu_0 I_T \frac{\left(0, t - \frac{r}{c}\right)}{(4\pi r)}$$

در شرط مرزی (د) صدق می‌کند.

راهنمایی: برای کره بینهایت کوچک که مرکز آن در مبدأست، جملات «اضافی» هم (که در (د) به دست نیامدند) ممکن است، بینهایت کوچک باشند.

(و) نتیجه بالا را برای $A(r, t)$ به کار برید و رابطه کلی (۴-۳۹) را به دست آورید.

۴-۲۱ کاواک شکل ۴-۵ به وسیله آنتن نازکی که از سطح زیرین $y = 0$ ، تا سطح بالایی $y = b$ کشیده شده است و در $x = a/2$ و $z = d/12$ قرار دارد برانگیخته می‌شود. بدین ترتیب، چگالی جریان در آنتن با قسمت حقیقی رابطه زیر داده می‌شود

$$J = I_0 \delta\left(x - \frac{a}{2}\right) \delta\left(z - \frac{d}{12}\right) e^{-i\omega t} \hat{j}$$

که در آن ω بسامد زاویه‌ای و \hat{j} بردار یکه در جهت y است. چگالی بار ρ صفر است.

الف) نشان دهید که دامنه پتانسیل برداری وابسته به مد $TE_{10,3}$ از رابطه زیر به دست می‌آید

$$\begin{aligned} C_{TE_{10,3}} &= \frac{\mu_0}{k^2 - k_0^2} \left(\frac{4k^2}{V k^2} \right) I_0 b \frac{k_1}{k} \sin \frac{k_1 a}{2} \sin \frac{k_3 d}{12} \\ &= \frac{2\sqrt{2}\mu_0 I_0}{ad(k^2 - k_0^2)} \sqrt{1 + 9a^2/d^2} \end{aligned}$$

که در آن k همان $k_{10,3}$ است و k_0 نسبت بسامد محرک ω به سرعت نور است.

ب) مفهوم «تشدید» را برحسب نتیجه‌ای که برای دامنه به دست آمده است، بیان کنید و درباره تأثیراتلافی در دیواره‌های کاواک بر روی نتایج، اظهار نظر کنید.

ج) میدان الکتریکی مد $TE_{1,0}$ را در محل آنتن محاسبه کنید و رابطه‌ای برای افت ولتاژ خارجی در آنتن بنویسید.

د) با استفاده از ج) امیدانس z را برای این مد حساب کنید. نشان دهید که برای این مد، مدار معادل برای کاواک، شامل L و C موازی است. L و C را بیابید. ضرایب C_s با رابطه زیر تعریف می‌شوند

$$A(x, y, z, t) = \sum_s C_s u_s(x, y, z) e^{-i\omega t}$$

که در آن u_s مدهای (۲۶-۴) برای میدان الکتریکی هستند.

۲۲-۴ ثابت کنید که میانگین زمانی توان تابشی آنتن دوقطبی از رابطه زیر به دست می‌آید

$$\bar{P} = \frac{\rho_0^2 \omega^4}{12\pi\epsilon_0 c^3} \quad (۴۵-۴)$$

در مختصات کروی

$$\nabla \times \mathbf{F}(r, \theta, \phi) = \frac{ar}{r \sin \theta} \left[\frac{\partial}{\partial \theta} (\sin \theta F_\phi) - \frac{\partial F_\theta}{\partial \phi} \right] + \frac{a\theta}{r} \left[\frac{1}{\sin \theta} \frac{\partial F_r}{\partial \phi} - \frac{\partial}{\partial r} (r F_\phi) \right] + \frac{a\phi}{r} \left[\frac{\partial}{\partial r} (r F_\theta) - \frac{\partial F_r}{\partial \theta} \right]$$

ابتدا نشان دهید که در «ناحیه تابش»، $d \ll \lambda \ll r$ (بر خلاف «ناحیه نزدیک» $d \ll r \ll \lambda$) میدانهای الکتریکی و مغناطیسی، هر یک با دور شدن از آنتن به صورت $1/r$ کاهش می‌یابند. ۲۳-۴ نشان دهید که قانون کولن نه تنها در الکتروستاتیک معتبر است بلکه میدان الکتریکی طولی را در الکترودینامیک نیز به دست می‌دهد.

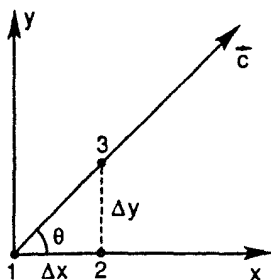
تمرین آزمایشگاهی

با یک کلیسترون، مد EM کاواک را برانگیخته کنید و به دنبال تشدید بگردید. طرحهای میدانهای B و E را در مدهای تشدید بررسی کنید.

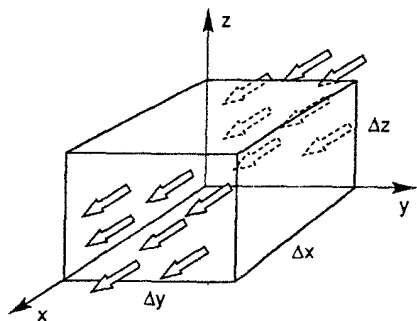
۴- پ (پیوست)

بررسی مفهوم عملگرهای برداری

گردایان: می‌خواهیم نشان دهیم که اگر c بردار یکه‌ای در جهت ثابت معین باشد، $c \cdot \psi(x, y, z)$ آنگاه تغییرات ψ را در جهت c مشخص می‌کند.



شکل ۴-پ ۱. $c \cdot \nabla \psi$ آهنگ تغییر ψ در جهت c را مشخص می‌کند.



شکل ۴-پ ۲. شار خروجی میدان برداری V در واحد حجم $\nabla \cdot V$ است. میدان برداری $V \times \hat{i}$ در شکل نشان داده شده است، شار از $x = 0$ وارد می‌شود و از $x = \Delta x$ خارج می‌شود.

مسئله را در دو بُعد در نظر می‌گیریم. با توجه به شکل ۴-پ ۱، تغییر ψ از نقطه ۱ به نقطه ۳ چنین است:

$$\begin{aligned} \psi(3) - \psi(1) &= [\psi(2) - \psi(1)] + [\psi(3) - \psi(2)] \\ &= \frac{\partial \psi}{\partial x} \Delta x + \frac{\partial \psi}{\partial y} \Delta y \end{aligned}$$

آهنگ تغییرات ψ در جهت c چنین است

$$\frac{\psi(3) - \psi(1)}{\sqrt{(\Delta x)^2 + (\Delta y)^2}} = \frac{\partial \psi}{\partial x} \cos \theta + \frac{\partial \psi}{\partial y} \sin \theta \quad (4-پ ۱)$$

از سوی دیگر

$$\begin{aligned} c \cdot \nabla \psi &= c_x \frac{\partial \psi}{\partial x} + c_y \frac{\partial \psi}{\partial y} \\ &= \frac{\partial \psi}{\partial x} \cos \theta + \frac{\partial \psi}{\partial y} \sin \theta \end{aligned}$$

زیرا c بردار یکه است.

دیورژانس: می‌خواهیم نشان دهیم که شار خالص میدان برداری \mathbf{V} که به‌ازای واحد حجم از حجم بسیار کوچک خارج می‌شود، از رابطه $\nabla \cdot \mathbf{V}(x, y, z)$ به‌دست می‌آید. شاری که از وجه $x = \Delta x$ در شکل ۴-پ-۲ خارج می‌شود چنین است:

$$\left[V_x(x, y, z) + \frac{\partial V_x(x, y, z)}{\partial x} \Delta x \right] \Delta y \Delta z$$

و شاری که از وجه پشتی در $x = 0$ وارد می‌شود عبارت است از:

$$V_x(x, y, z) \Delta y \Delta z$$

که شار خالص زیر را می‌دهد

$$\frac{\partial V_x(x, y, z)}{\partial x} \Delta x \Delta y \Delta z$$

برای شار خالص از وجوه بالا و پایین، داریم

$$\frac{\partial V_z(x, y, z)}{\partial z} \Delta x \Delta y \Delta z$$

سرانجام، با در نظر گرفتن شار خالص خروجی از وجوه $y = 0$ و $y = \Delta y$ ، برای شار خالص خروجی از واحد حجم داریم،

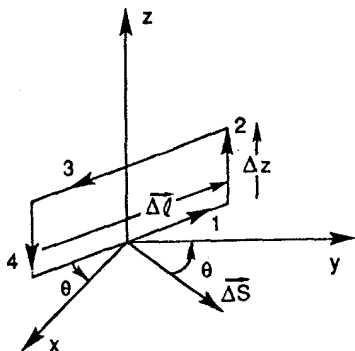
$$\frac{\partial V_x}{\partial x} + \frac{\partial V_y}{\partial y} + \frac{\partial V_z}{\partial z} \quad (4-پ-2)$$

که همان رابطه مطلوب است.

تا: می‌خواهیم نشان دهیم که انتگرال خطی میدان برداری \mathbf{V} دور پربندی که مساحت بسیار کوچک ΔS را، دربر می‌گیرد برابر است با $(\nabla \times \mathbf{V}) \cdot \Delta S$.

ΔS را در صفحه $x-y$ چنان در نظر می‌گیریم که با محور y زاویه θ بسازد، داریم

$$\begin{aligned} (\nabla \times \mathbf{V}) \cdot \Delta S &= \left[\left(\frac{\partial V_z}{\partial y} - \frac{\partial V_y}{\partial z} \right) \mathbf{i} + \left(\frac{\partial V_x}{\partial z} - \frac{\partial V_z}{\partial x} \right) \mathbf{j} \right. \\ &+ \left. \left(\frac{\partial V_y}{\partial x} - \frac{\partial V_x}{\partial y} \right) \mathbf{k} \right] \cdot [i \sin \theta + j \cos \theta] |\Delta S| \\ &= \left[\left(\frac{\partial V_z}{\partial y} - \frac{\partial V_y}{\partial z} \right) \sin \theta + \left(\frac{\partial V_x}{\partial z} - \frac{\partial V_z}{\partial x} \right) \cos \theta \right] (\Delta z)(\Delta l) \quad (4-پ-3) \end{aligned}$$



شکل ۴-پ-۳ انتگرال خطی میدان برداری V در مسیر بسته‌ای که مساحت ΔS را در بر می‌گیرد $(\nabla \times V) \cdot \Delta S$ است. اندازه بردار ΔS مساحت $\Delta l \Delta z$ است، و جهت آن عمود بر مساحت بینهایت کوچک است.

انتگرال خطی $\oint V \cdot dl$ را مانند شکل ۴-پ-۳ به چهار جزء تقسیم می‌کنیم؛

$$I_1 = \mathbf{V}(x, y, z) \cdot \Delta \mathbf{l} \equiv \mathbf{V} \cdot \Delta \mathbf{l}$$

$$I_2 = (V_z + \nabla V_z \cdot \Delta \mathbf{l}) \Delta z$$

$$I_3 = - \left(\mathbf{V} + \frac{\partial \mathbf{V}}{\partial z} \Delta z \right) \cdot \Delta \mathbf{l}$$

$$I_4 = -V_z \Delta z$$

$$\oint \mathbf{V} \cdot d\mathbf{l} = I_1 + I_2 + I_3 + I_4$$

$$= - \left(\frac{\partial \mathbf{V}}{\partial z} \right) \cdot \Delta \mathbf{l} \Delta z + (\nabla V_z \cdot \Delta \mathbf{l}) \Delta z$$

توجه کنید که

$$\Delta \mathbf{l} = (-i \cos \theta + j \sin \theta)(\Delta l)$$

به این ترتیب،

$$\begin{aligned} \oint \mathbf{V} \cdot d\mathbf{l} = & \left[\left(\frac{-\partial V_x}{\partial z} i - \frac{\partial V_y}{\partial z} j \right) \cdot (-i \cos \theta + j \sin \theta) \right. \\ & \left. + \left(\frac{\partial V_z}{\partial x} i + \frac{\partial V_z}{\partial y} j \right) \cdot (-\cos \theta i + \sin \theta j) \right] (\Delta z \Delta l) \end{aligned}$$

که همان طرف راست (۴-پ-۳) است.

برهانی که از جزء سطحی که با زاویه می‌سازد استفاده می‌کند، از نظر محاسباتی دشوار است.

شکل متقارن ∇ در مختصات دکارتی، بردار بودن $\nabla \times \mathbf{V}$ را بهتر نشان می‌دهد، یعنی اینکه

$\nabla \times \mathbf{V}$ تحت چرخش یا انتقال مثل بردار تبدیل می‌شود و همچنین $(\nabla \times \mathbf{V}) \cdot \Delta S$ به مانند $\oint \mathbf{V} \cdot d\mathbf{l}$ نرده‌ای است، یعنی تحت تبدیل ناوردا باقی می‌ماند.

مسئله ۴-پ۱. در تحلیل دیود خلا، مثال ۴-۳، نتیجه زیر را برای پتانسیل الکتروستاتیکی به دست آوریم:

$$\phi(x) = \left(\frac{3}{2}\right)^{\frac{2}{3}} (CJ)^{\frac{1}{3}} x^{\frac{2}{3}}$$

$E(x)$ ، $\rho(x)$ ، $v(x)$ را محاسبه کنید و تحقیق کنید که

$$J = -\rho(x)v(x)$$

به x بستگی ندارد.

نمودار $\phi(x)$ ، $E(x)$ ، $\rho(x)$ را برحسب x رسم کنید و با نمودارهای مشابهی که در آنها $\rho(x)$ صفر، اما $\phi(0)$ و $\phi(d)$ آنها مثل این مسئله است، مقایسه کنید. در هر دو مورد درباره مساحت $\int_0^d E(x)dx -$ چه می‌دانیم؟

اکنون، جعبه‌ای مکعب مستطیلی در نظر بگیرید که سطح مقطع آن به موازات صفحه yz ، یعنی موازی با صفحات آند و کاتد باشد و از x تا $x + \Delta x$ در ناحیه $0 < x < d$ که نمودارهای بالا قرار گرفته باشد. خطهای میدان الکتریکی را به مانند آنچه در شکل ۴-پ۲ برای $\mathbf{E}(x, y, z)$ آمده است، رسم کنید، اما خطهای میدان در داخل جعبه را نیز در نظر بگیرید. شار خالصی که از جعبه خارج می‌شود، چقدر است؟ محاسبه را تا مرتبه اول Δx انجام دهید. بار الکتریکی کل در داخل جعبه چقدر است؟ بارهای الکتریکی را که در داخل جعبه به وجود می‌آیند نشان دهید. آیا خطوط الکتریکی رسم شده به دقت وضعیت خطوط الکتریکی را برحسب x نشان می‌دهند؟ حال، $E(x)$ و $\rho(x)$ را در حد $x \rightarrow 0$ محاسبه کنید، اما نه در $x = 0$! توضیح دهید. آیا شکل انتگرالی معادله ماکسول برای حل مشکل در $x = \Delta x$ ، $x \rightarrow 0$ مفید است؟

مسئله ۴-پ۲. شماره‌ای در کانال مکعب مستطیل شکلی در جهت y با سرعت $v(x, y)$ که به عمق، یعنی z ، بستگی ندارد ولی ممکن است به موقعیت عرضی x بستگی داشته باشد، حرکت می‌کند. دو حالت را در نظر بگیرید:

$$v(x, y) = v(x)j \quad (1)$$

$$v(x, y) = v(y)j \quad (2)$$

خطوط میدان سرعت را برای هر دو حالت رسم کنید. تفاوتها و شباهتهای دو حالت را با محاسبه $\nabla \cdot v$ و $\nabla \times v$ برای هر یک به دست آورید. در کدام حالت جهت کانال تغییر می‌کند؟ آیا ممکن است یکی از این دو حالت برای شارهای تراکم‌ناپذیر و شتابدار به کار رود؟ بحث کنید. کدام جریان را می‌توان لایه‌ای در نظر گرفت.

برای مطالعه بیشتر

- R. P. Feynman, R. B. Leighton, M. Sands: *Lectures on Physics II*
(Addison-Wesley; Reading, MA, 1962)
- W. K. H. Panofsky, M. Phillips: *Classical Electricity and Magnetism*
(Addison Wesley, Reading, MA, 1962)

نور-اپتیک فیزیکی، شکست

چکیده

فصل قبل دربارهٔ امواج EM مبنایی برای گسترش اپتیک فیزیکی فراهم می‌آورد، که خود به‌طور سنتی زمینهٔ مکانیک موجی (فصل ۶) است. به‌علاوه، در این فصل انتشار امواج EM را در دی‌الکتریکها تحلیل می‌کنیم، هدف این بررسی، درک شکست و بازتاب در فصل مشترکهاست، که پدیدهٔ اصلی اپتیک هندسی است. فصل با بحثی پیرامون تولید نور به‌عنوان پیامد گذارهای کوانتومی در ماده آغاز می‌شود و نقش اصل عدم قطعیت هایزنبرگ در محدود کردن همدوسی بیان می‌شود. پس از آن تحلیل پراش از یک تک‌شکاف با استفاده از نواحی فرنل و پیامدهای حاصل برای تفکیک اجسام روشن خواهد آمد. ملاحظات خاصی دربارهٔ پراش پرتو x از بلورها (توریهای سه‌بعدی) مبحث اپتیک فیزیکی را تکمیل می‌کند. سرانجام، به بررسی انتشار امواج EM تخت در دی‌الکتریکهای عایق می‌پردازیم. مثالهای حل‌شده، دربارهٔ تداخل نور حاصل از دو شکاف، و جزئیات بازتاب و شکست در فصل مشترک است. مسئله‌هایی نیز به اثر فوتوالکتریک اینشتین، اصل هویگنس، روزنهٔ مربعی، توریها، معیار ریلی برای تفکیک، پراش دبی - شرر پرتو x، و تضعیف نور در فلزها می‌پردازد. پیوست انتهایی این فصل پایه‌ای محکم برای تحلیل فرنی پراش با استفاده از روش تابع گرین برای حل معادله‌های موج ناهمگن است.

۱-۵ سرشت نور و تولید آن

چشم انسان به تابش الکترومغناطیسی با طول موجهای در گستره 4000Å تا 7000Å در ناحیه سرخ تا 4500Å در ناحیه بنفش حساس است. ($1\text{Å} = 10^{-10}\text{ متر}$) برخی پدیده‌های مشخصه حرکت موجی به صورت عام، و امواج EM، یعنی پراش و تداخل، در ناحیه نور مرئی به طور خاص، عمیقاً بررسی شده‌اند. این مطالعات موضوع اپتیک فیزیکی را تشکیل می‌دهند و بیشتر این فصل به آنها اختصاص دارد.

با توجه به فیزیک کلاسیک، یعنی فیزیکی که بیش از پیدایش و تکامل مکانیک کوانتومی در قرن بیستم، وجود داشت، تمامی انواع تابش EM را بارهای الکتریکی شتابدار تولید می‌کنند. برای نور مرئی، این ذرات باردار عموماً الکترونهاى متصل به اتمها هستند. در همین زمینه، پرتوهای γ را می‌توان ناشی از بارهای موجود در هسته‌های شتابدار، پرتوهای فرسرخ را ناشی از یونهای شتابدار و همان‌طور که قبلاً گفتیم، امواج رادیویی را حاصل شتاب چگالیهایی بار ماکروسکوپی در آنتن دانست. در هر یک از این موارد، حرکت این بارها را می‌توان نوسانهایی حول نقطه تعادل، نوسانگرهای الکترومغناطیسی تلقی کرد. در این صورت، بسامد تابش EM همان بسامد نوسان بار است.

در فیزیک جدید وضع تا اندازه‌ای متفاوت است. با این همه، با وجود سرشت ظاهراً متفاوت مفاهیم کلاسیک و جدید، فیزیک جدید در شرایط خاصی، طبق «اصل تطابق» با فیزیک کلاسیک سازگار می‌شود. این اصل را برای نخستین نلس بور تشریح کرد؛ نقش عظیم او را در فیزیک جدید خواهیم دید. در فیزیک کوانتومی، ذرات برخی حالت‌های مشخص را اشغال می‌کنند؛ اگر این حالت‌ها مانا باشند، انرژی مشخص و ثابتی خواهند داشت. اگر ذره‌ای از یک حالت با انرژی مشخصه E_a گذاری، به حالتی که انرژی مشخصه‌اش E_b است انجام دهد، این اختلاف انرژی $E_a - E_b$ با فرض مثبت بودن، اغلب به صورت تابش EM گسیل می‌شود. بسامد این تابش چیست؟ آلبرت اینشتین در ۱۹۰۵ تعبیر معروف خود را از اثر فوتوالکتریک ارائه داد. او نتیجه گرفت که تابش EM به صورت بسته‌های گسسته، کوانتومها، گسیل می‌شود که هر کوانتوم تابش، به نام فوتون، دارای انرژی $h\nu$ است. ν بسامد تابش برحسب هرتز است و h (که برابر $6.626 \times 10^{-34}\text{ J/s}$) پلانک چندی قبل از آن، در ۱۹۰۰ توانسته بود، آنچه را که به تابش جسم سیاه موسوم است با فرمولی که شامل ثابت فیزیکی جدید پیشنهادی او بود، تطبیق دهد. پلانک مقدار تقریبی این ثابت جدید، h ، را با استفاده از داده‌های آزمایشی تعیین کرد. فرض اینشتین مفهوم مشخصی به یافته پلانک داد.

به سادگی معلوم شده است که اگر ذره‌گذاری از تراز انرژی بالاتر E_a به تراز انرژی پایین‌تر E_b

داشته باشد، عموماً فقط یک فوتون گسیل می‌شود و رابطه

$$E_a - E_b = h\nu. \quad (۱-۵)$$

برقرار است، که بلافاصله بسامد ν را برای تابش گسیل شده می‌دهد.

در یک اتم منزوی انرژیهای مشخصه حالت‌های گوناگون، یعنی ترازهای انرژی الکترونی، از یکدیگر جدا هستند. در نتیجه تابش گسیل شده فقط با بسامدهای گسسته خاصی رخ می‌دهد. اما اگر آنها در یک بلور مانند بلور تنگستن مجتمع شوند، ترازهای گسسته پهن می‌شوند و نوارهای انرژی پیوسته‌ای را به وجود می‌آورند. در این صورت به جای طیف گسسته‌ای که مشخصه گازها، یعنی اتمهای منزوی است طیفی پیوسته به دست می‌آوریم که شامل همه بسامدهاست.

بنابراین، از طرفی نور از «ذرات» گسسته‌ای به نام فوتون تشکیل شده است و از طرف دیگر، سرشت موجی نیز دارد، اگر چنین نبود چگونه می‌توانستیم از بسامد ν صحبت کنیم؟ بررسی فصل ۱ درباره نمایش فوریه کمک می‌کند تا این پارادوکس را تا حد زیادی حل کنیم. توضیح بیشتر به فصلهای بعد موکول می‌شود که بحث خود را گسترش می‌دهیم تا شامل امواج مادی نیز بشود. طبیعاً فرض بر این است که تابش در زمان مشخصی، $t = 0$ ، گسیل می‌شود. اما بهتر است فرض کنیم که تب تابشی گسیل شده است بازه زمانی کوچکی را به حول $t = 0$ ، مثلاً از $-\Delta t/2$ تا $+\Delta t/2$ ، اشغال می‌کند. مثلاً، میدان مغناطیسی مربوط به این تب در شکل ۱-۵، در خلال این بازه زمانی موجود است. این میدان را چنین نمایش می‌دهیم

$$B(t) = \cos \omega_0 t \frac{1}{\sqrt{2\pi}} \int_{-\infty}^{\infty} B_{\omega} e^{i\omega t} d\omega, \quad (۲-۵ \text{ الف})$$

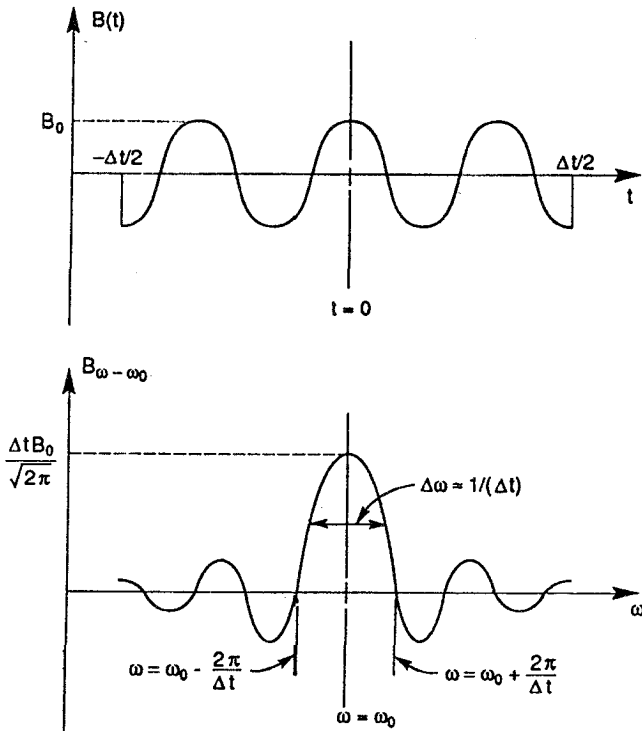
$$= \frac{1}{\sqrt{2\pi}} \int_{-\infty}^{\infty} B_{\omega - \omega_0} \cos \omega t d\omega \quad (۲-۵ \text{ ب})$$

$$\omega = 2\pi\nu. \quad (۲-۵ \text{ ج})$$

ν از (۱-۵) به دست می‌آید. در (۲-۵ الف) عاملی را که با بسامد ν نوسان می‌کند جدا کرده‌ایم، عامل باقی‌مانده

$$\frac{1}{\sqrt{2\pi}} \int_{-\infty}^{\infty} B_{\omega} e^{i\omega t} d\omega$$

پوش موج مربعی را نشان می‌دهد که با دامنه B_0 از $-\Delta t/2$ تا $+\Delta t/2$ گسترش یافته است.



شکل ۱-۵ سیگنال نوری با میدان مغناطیسی $B(t)$ که بازه زمانی Δt را اشغال می‌کند. $B_{\omega - \omega_0}$ تبدیل فوریه کسینوسی موج مربعی پوش آن است.

از مثال ۱-۱ می‌دانیم که تبدیل فوریه کسینوسی $B(t)$ ، یعنی $B_{\omega - \omega_0}$ در رابطه

$$B_{\omega - \omega_0} = B_0 \sqrt{\frac{2}{\pi}} \frac{\sin \left[\left(\omega - \omega_0 \right) \frac{\Delta t}{2} \right]}{\left(\omega - \omega_0 \right)} \quad (3-5)$$

صدق می‌کند، (شکل ۱-۵)، نمایش واقعی‌تر سیگنال تابش براساس احتمال یافتن ذره در حالت برانگیخته بالایی به صورت $e^{-\gamma t}$ است، که در آن $1/\gamma$ «طول عمر» برانگیختگی است. در نتیجه سیگنال حاصل همان بستگی زمانی را دارد که نوسانهای میرا (مسئله ۳-۵).

در اینجا به جزئیات ساختار $B(t)$ یا تبدیلیش $B_{\omega - \omega_0}$ واقعاً علاقه‌مند نیستیم، بلکه صورت کلی رابطه فوریه مورد نظر ماست: اگر $B(t)$ ناحیه‌ای از زمان به عرض تقریبی Δt را اشغال کند، $B_{\omega - \omega_0}$ گستره‌ای از بسامد به پهنای $\Delta\omega$ را حول ω_0 اشغال می‌کند، به طوری که

$$\Delta\omega \Delta t \simeq 1 \quad (4-5)$$

قبلاً هم، در فصل ۱، این رابطه را به دست آورده‌ایم، خصوصاً به مثال ۱-۱ مراجعه کنید، در نتیجه تابع هموار پهن دارای تبدیل فوریه باریک است، و برعکس.

خلاصه اینکه، نور با گذار نزولی الکترون از یک تراز انرژی به تراز انرژی پایین‌تر تولید می‌شود. (جذب نور با یک گذار صعودی نیز امکان‌پذیر است). در مکانیک کوانتومی، در این حالت، قله تبدیل فوریه نمایی $B(t)$ در $-\omega$ ، وارد کار می‌شود. تپ نوری حاصل، بازه زمانی متناهی را اشغال می‌کند که با گستره بسامدهای هماهنگی که برای نمایش زمانی تپ لازم‌اند، نسبت عکس دارد. اما نقش (۱-۵) که بسامد تابش گسیل شده را به ترازهای انرژی مرتبط می‌کند چیست؟ در فصل بعد خواهیم دید که فقط سیستمهای کاملاً پایدار، یعنی سیستمهایی که به هیچ‌وجه برحسب زمان تغییر نمی‌کنند، دارای ترازهای انرژی کاملاً تیز، یعنی دارای حالت‌های مانا هستند. این موضوع با جامعترین اصل مکانیک کوانتومی، «اصل عدم قطعیت هایزنبرگ» سازگار است. اما، اتمهای مثلاً، بلور تنگستن کاملاً پایدار نیستند. نه تنها انرژی گرمایی بلور آنها را آشفته می‌کند، بلکه خود فرایند تابش نیز از پایداری ترازهای بالاتر می‌کاهد. بنابراین، فرض می‌کنیم که پهنای تراز از E_a ، ΔE ، مقدار مشخصی است که در عمل از مرتبه $10^{-20} J$ است، در حالی که پهنای تراز از پایین‌تر را می‌توان نادیده گرفت بدین ترتیب، طبق (۱-۵)، گستره بسامدهای تابش گسیل شده چنین است،

$$\Delta\nu = \frac{\Delta E}{h}, \quad \Delta\omega = 2\pi \frac{\Delta E}{h}$$

و از (۴-۵)، طول تپ، که آن را به منزله عدم قطعیت در زمان گسیل می‌گیریم، با رابطه زیر داده می‌شود،

$$\Delta t \simeq \frac{1}{\Delta E} \cdot \frac{h}{2\pi}$$

و یا

$$\Delta E \Delta t \simeq \frac{h}{2\pi} \quad (۵-۵)$$

این رابطه، اصل عدم قطعیت هایزنبرگ به شکلی است که برای تابش به‌کار می‌رود. آیا این اصل در بررسی پراش و تداخل که هم اکنون به آن می‌پردازیم هیچ، پیامد عملی نیز به همراه دارد؟ در واقع چنین است. پدیده‌های پراش و تداخل در نتیجه باز ترکیب قسمت‌های گوناگون باریکه نور به‌وجود می‌آیند. طبعاً، میدان مغناطیسی (یا الکتریکی) را برای چنین باریکه‌ای به‌صورت زیر می‌نویسیم

$$B(\omega) = B_0 \sin(kx - \omega t + \delta_\omega)$$

در اینجا δ فاز است، که آن را صریحاً نشان داده‌ایم. با اندکی تفکر معلوم می‌شود تا زمانی که نور از فرایند تابشی مشخصی ناشی شود δ کمیته معین است، اما انتظار نداریم که بین این فاز و فاز مربوط به نوری با بسامد مشخص حاصل از گذار دیگر، ارتباطی وجود داشته باشد. بنابراین، اگرچه اثرهای باز ترکیب فرایندهای مختلف تابشی را مشاهده می‌کنیم، اما این اثرها به شکل کاتوره‌ای با یکدیگر جمع می‌شوند. ما فقط روابط خاصی را بررسی خواهیم کرد، که حداکثر از یک طول همدوسی به صورت زیر سرچشمه می‌گیرند

$$l \simeq c\Delta t \simeq \frac{\hbar c}{\Delta E}, \quad \left(\hbar = \frac{h}{2\pi} \right) \quad (۶-۵)$$

یعنی فقط از یک فرایند تابشی.

نور معمولی را، به دلیل ویژگی کاتوره‌ای فازهایش، تابش ناهمدوس می‌نامیم. خواننده، احتمالاً می‌داند دستگاههایی به نام لیزر وجود دارند که تابش بسیار همدوسی تولید می‌کنند. تداخل و پراش با نور لیزر بسیار چشمگیرتر از نور چشمه‌های سنتی است. پدیده‌هایی را که در اوایل قرن نوزدهم فیزیکدانها کشف کردند و نسلهای زیادی از دانشجویان به مطالعه آن پرداختند، فقط در عصر کوانتومی کنونی جلوه واقعی خود را نشان داده‌اند.

۲-۵ پراش

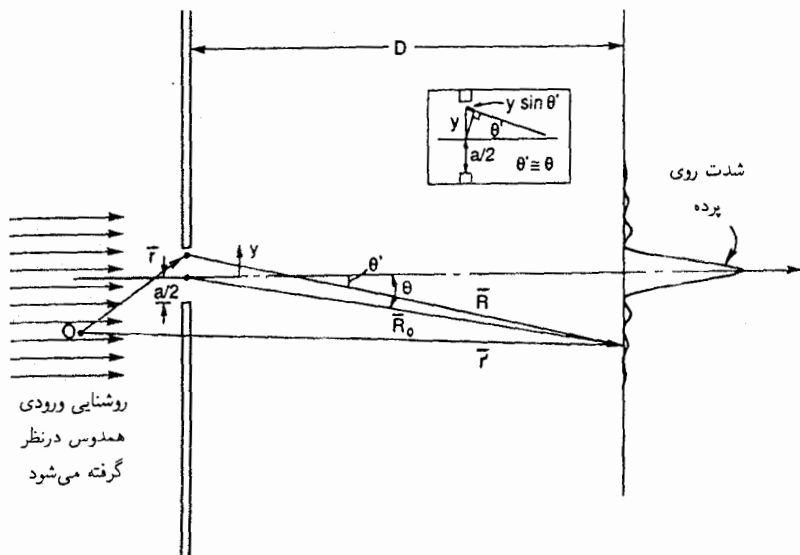
تاکنون بررسی‌های ما اساساً به سیستمهای بسته‌ای چون نوسانگرهای قلبه، تارهای متناهی کشیده شده، و کاواکهای مشدد سیستم محدود بوده است. اما، نوع دیگری از مسائل مانند سیستم باز، دارای شار مانا را هم به اختصار دیده‌ایم. مثالهایی از این دست عبارت‌اند از موجی که در تار نامتناهی منتشر می‌شود، مسئله ۳-۱۴ و یا امواج تخت EM پیشرونده در فصل قبل. این‌گونه مسائل عموماً دارای این خصوصیت ساده‌کننده‌اند که همگی در حالت مانا هستند. جریان یا شار به‌طور مدام جریان دارد، و هرگز شروع یا متوقف نمی‌شود. فرض بر آن است که حالت گذرایی مربوط به حالت شروع مدتها قبل اتفاق افتاده است. به نظر می‌آید که در این وضعیتها نکته چندان برای آموختن وجود ندارد، که البته همین‌طور هم هست، تا اینکه به‌نحوی در «باریکه» مانعی مثل یک شکاف باریک و یا جسمی واکنش‌پذیر اختلال ایجاد می‌کند. در این صورت به مسئله‌ای موسوم به «مسائل پراکندگی» سروکار داریم. بسیاری از واکنشهای شیمیایی را می‌توان مسائل پراکندگی در نظر گرفت، تداخل و پراش در اپتیک فیزیکی هم از این نوع مسائل هستند.

میدانهایی که شار انرژی را تشکیل می‌دهند از معادله‌های موج پیروی می‌کنند. روش حلی که معمولاً به‌کار گرفته می‌شود روش تابع گرین است که در فصلهای گذشته با آن آشنا شدیم. تابع گرین

جواب معادله موج در حالی است که «چشمه» بر حسب زمان یا فضا یا هر دو نقطه‌ای باشد و شرایط مرزی مناسب نیز وجود داشته باشند. پس از یافتن تابع گرین، مسئله را حداقل علی‌الاصول، می‌توان به سادگی حل کرد، این کار با جمع توابع گرین مربوط به تمام چشمه‌های نقطه‌ای که چشمه اصلی را تشکیل می‌دهند انجام می‌شود. خواننده علاقه‌مند تحلیل کامل روش تابع گرین در اپتیک فیزیکی را در پیوست انتهایی فصل خواهد یافت.

در اینجا به روشی قدیمی که فرمولبندی آن را کریستین هویگنس در حدود ۱۶۷۰ انجام داد، قناعت می‌کنیم. با این حال، فرمولبندی کامل ریاضی که این فصل از آن به دست می‌آید، همان روش تابع گرین فیزیک نظری است. اصل هویگنس را می‌توان چنین بیان کرد که هر نقطه از جبهه موج به صورت چشمه نقطه‌ای اغتشاش ثانوی یک موج کروی عمل می‌کند که با سرعت c حرکت می‌کند. میدانی که بعداً در یک نقطه مشاهده می‌شود، حاصل جمع میدانهای مربوط به هر یک از این اغتشاشهای ثانویه است، و پوش آنها جبهه موج جدید را به دست می‌دهد.

اکنون مسئله باریکه تخت همدوسی از نور را در نظر بگیرید که از روزنه مستطیلی می‌گذرد (شکل ۲-۵). روشنایی که بر روی پرده‌ای که در فاصله D از روزنه قرار دارد مشاهده می‌شود چگونه است؟ اگر با باریکه‌ای از ذرات سریع که بر طبق مکانیک نیوتونی حرکت می‌کردند، سروکار داشتیم،



شکل ۲-۵ پراش از تک شکاف. نسبت به مبدأ دلخواه O ، داریم $\mathbf{R} = r_1 - r_0$ ، $|\mathbf{R}| \approx |\mathbf{R}_0| + y \sin \theta$. پهنای شکاف اغراق‌آمیز است.

روشنایی روی پرده به ناحیه‌ای مستطیلی مربوط به روزنه یعنی سایه هندسی آن محدود می‌شد. اما، روشنایی روی پرده کمی گسترده‌تر است و به‌علاوه شدت آن به‌صورت تابع پیچیده‌ای بسرعت تغییر می‌کند. این رفتار یعنی تمایل به‌خمشدن در گوشه‌ها مشخصه تمام پدیده‌های موجی است و پراش نام دارد. همان‌طور که خواهیم دید، طول‌موج مربوط به باریکه را می‌توان از روی طرح روشنایی روی پرده، یعنی از روی طرح پراش به‌دست آورد.

فرض می‌کنیم که شکاف در جهت بیرون از صفحه شکل ۵-۲ (جهت افقی) بسیار دراز است، چنانکه در واقع با مسئله‌ای یک‌بعدی سروکار خواهیم داشت که تعیین تغییرات دامنه میدانها برحسب جابه‌جایی (عمودی) بر روی پرده است. با توجه به اصل هویگنس روزنه را به اجزایی از مساحت، $(dx dy)$ ، تقسیم می‌کنیم، x مختصه‌ای است که در امتداد افقی (یعنی خارج از صفحه شکل ۵-۲) قرار دارد و y مختصه عمودی است. هر جزء را به منزله چشمه موج نور ثانوی می‌گیریم. چگونه می‌توانیم به‌طور تحلیلی میدان الکتریکی (یا مغناطیسی) حاصل از این اجزاء را به‌دست آوریم؟ بنابه اصل اولیه هویگنس، موجکهای ثانوی تابشگرهای همسانگرد در جهت جلو در نظر گرفته می‌شوند. از نظر شهودی چنین فرضی منطقی است زیرا در درجه اول این اصل باید توانایی توجیه انتشار موج تخت معمولی را داشته باشد. [تحلیل کامل روش تابع گرین ضریب مایل بودن را به‌دست می‌دهد که تابش رو به عقب را ممنوع می‌سازد. چون با زاویه‌های کوچک سروکار داریم این ضریب را می‌توان در جهت رو به جلو ثابت فرض کرد، نگاه کنید به پیوست.] به‌علاوه. در هر سیستم اپتیکی، خود سیستم معمولاً تأثیری در قطبیدگی تابش فرودی ندارد و در نتیجه قطبیدگی تابش گسیلی معمولاً ذکر نمی‌شود. بنابراین، به‌عنوان تقریبی خوب، میدانهای الکتریکی و مغناطیسی را با یک میدان زده‌ای نمایش می‌دهند. این میدان زده‌ای به اغتشاش اپتیکی موسوم است و به‌طور یکسان در تمام جهت‌های چشمه‌های ثانوی، تابش می‌کند. در عین حال ملاحظات بخش قبل را نیز باید در نظر داشت، اینکه نور فقط در حد یک طول همدوسی به‌طور ملموس با خودش تداخل می‌کند. در نتیجه، فقط توجه خود را به‌اندازه میدان الکتریکی مربوط به تابش موجک کروی از جزئی در \mathcal{V} ، محدود می‌کنیم، و برای این اغتشاش اپتیکی در که نقطه r روی پرده اندازه‌گیری می‌شود، تناسب زیر را می‌نویسیم.

$$dE \propto \frac{e^{ikR}}{R} dx dy \quad (الف \ ۷-۵)$$

$$R = r' - r \quad (ب \ ۷-۵)$$

ثابت تناسب (که در هر صورت نمی‌توان آن را مستقیماً یافت، نگاه کنید به پیوست)، نقش مهمی در این تحلیل ندارد.

عبارت (۷-۵ الف) موج کروی با بردار موج k را نشان می‌دهد. توجه کنید که نقطه‌های با فاز ثابت بر روی سطوح کروی هم‌مرکز، که r این مرکز را نشان می‌دهد، قرار دارند، و شار تابشی در واحد سطح دارند که متناسب با مربع دامنه است، از قانون عکس مجذوری پیروی می‌کند، توانی که از هر سطح کروی می‌گذرد، با توجه به پایستگی انرژی، یکسان است.

برای یافتن دامنه کل میدان در نقطه r' بر روی پرده، سهم همه اجزاء تشکیل‌دهنده روزنه را با یکدیگر جمع می‌کنیم. اگر بپذیریم که در آزمایشهای اپتیکی، تغییرات δR در R که در مخرج رابطه (۷-۵ الف) آمده است، در مقایسه با R ناچیز است، در حالی که تغییرات در ضریب فاز kR که مساوی با $2\pi\delta R/\lambda$ است، سریع است، نتیجه را می‌توانیم باز هم ساده‌تر کنیم؛ δR در مقایسه با طول موج λ نور کوچک نیست. در نتیجه می‌نویسیم

$$E(r') \propto \int \int e^{ikR} dx dy \quad R = r' - r(x, y) \quad (۸-۵)$$

همان‌طور که قبلاً هم اشاره کردیم، روزنه در جهت افقی (x) دراز است و می‌توانیم مسئله را به‌عنوان مسئله‌ای تک‌بعدی بررسی کنیم (اگر در نقطه میانی افقی طرح روی پرده باشیم و به‌طور عمودی حرکت کنیم، همواره می‌توانیم سهم (فازورها) قسمت‌هایی متقارن نسبت به $x = 0$ روزنه را با هم جمع کنیم. فاز خالص در نهایت همان فازی است که در جزء درجه در $x = 0$ برای همان مقدار y به‌دست می‌آید. اگر از مرکز پرده دور شویم، این روش دیگر معتبر نخواهد بود زیرا در این صورت تمام اجزاء را نمی‌توان با هم جفت کرد. اما با فرض دراز بودن شکاف و حذف اثرات انتهایی، شدت ثابتی در جهت x به‌دست می‌آید. خواننده علاقه‌مند را به مسئله ۷-۵ درباره روزنه مربعی ارجاع می‌دهیم.)

اگر مکان نقطه منتخب r بر روی پرده را با زاویه θ مشخص کنیم (شکل ۲-۵)، با تقریب خوبی می‌توانیم بنویسیم

$$R = R_0 + y \sin \theta \quad (۹-۵ \text{ الف})$$

این تقریب در حد $a/D \rightarrow 0$ دقیق می‌شود، شکل ۲-۵. یا یک عدسی را در مجاور روزنه قرار می‌دهیم تا باریکه‌ای را که با θ مشخص می‌شود در نقطه r' متمرکز کند. در عمل یا از عدسی استفاده می‌شود (پراش فرانوفر) و یا a/D کوچک انتخاب می‌شود (پراش فرنل).

از ترکیب (۵-۸) و (۹-۵) در نهایت داریم

$$B(r') \propto e^{ikR_0} \int_{-a/2}^{+a/2} e^{iky \sin \theta} dy$$

با انتگرال‌گیری، داریم

$$B(r') \propto e^{ikR_0} \left| \frac{\int \sin \left(\frac{ka \sin \theta}{2} \right)}{k \sin \theta} \right| \quad (۹-۵)$$

معمولاً قرار می‌دهیم

$$\alpha = \frac{ka \sin \theta}{2} = \frac{2\pi a \sin \theta}{\lambda} \quad (۹-۵)$$

در نتیجه

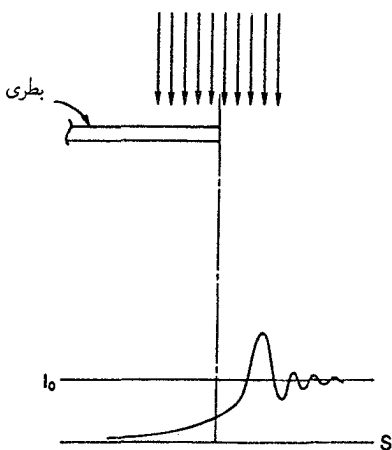
$$B(r') \propto e^{ikR_0} \left| \frac{\sin \alpha}{\alpha} \right| \quad (۹-۵)$$

شدت تابش، I ، برحسب توان بر واحد سطح (مسئله ۴-۸) با مربع میدان الکتریکی یا مغناطیسی متناسب است. شدت در مرکز طرح، یعنی در $\alpha = 0^\circ$ ، بیشینه است. در اینجا به صورت گذرا متذکر می‌شویم که α ، که با (۹-۵) داده شده است، اختلاف فاز اپتیکی بین شعاع نور ناشی از بالای روزنه و شعاعی که از مرکز روزنه می‌آید را نشان می‌دهد، شکل ۵-۲. وقتی $\alpha = 0^\circ$ ، ضریب $\sin \alpha / \alpha$ و مربع آن، بیشینه، یعنی برابر یک می‌شوند. با مربع کردن $B(r')$ ، شدت در r یعنی در θ را چنین می‌نویسیم

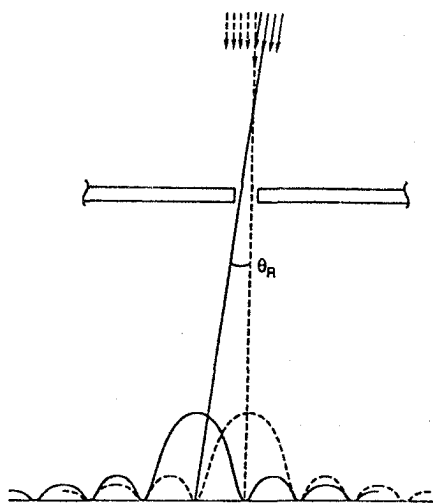
$$I(\theta) = I_0 \left(\frac{\sin \alpha}{\alpha} \right)^2 \quad (۱۰-۵)$$

که در آن I_0 بیشینه شدت در مرکز طرح است. $I(\theta)$ ، طرح پراش تک‌شکافی در شکل ۵-۲ آمده است. طرح‌های پراش شکل‌های هندسی دیگر، بجز تک‌شکافی دراز، کاملاً بررسی شده‌اند. در بخش مسائل به بررسی طرح پراش از شکاف مستطیلی متناهی می‌پردازیم. طرح کاملاً شناخته شده، طرح پراش از نیم صفحه در شکل ۵-۳ است. در اینجا به صورت تصویری می‌بینیم نور در گذر از لبه‌ها خم می‌شود، یعنی مسیرش منحرف می‌شود.

اگر بیش از یک روزنه وجود داشته باشد، چه می‌شود؟ تداخل در حالت دو شکافی در مثال ۵-۱ بررسی شده است. طرح‌های تاریک و روشن حاصل پیچیده‌تر می‌شوند (شکلهای ۵-۹ و ۵-۱۱)، و به طرح‌های تداخل موسوم‌اند. تعداد شکافها ممکن است سه یا بیشتر یا حتی چندین هزار باشد. منظور از مورد اخیر توری پراش یعنی یک ابزار علمی است که تحلیل آن را در مسائل ۵-۹ و ۵-۱۰ خواهید یافت.



شکل ۳-۵ پراش از نیم صفحه. مسیر نور در گذر از لبه‌ها خم می‌شود. I_0 شدت نور روی صفحه S دور از سایه نیم صفحه است.



شکل ۴-۵ پراش، بر اطلاعاتی که می‌توانند توسط سیگنال‌های با سرشت موجی منتقل شود، محدودیتی بنیادی اعمال می‌کند.

پراش، محدودیتی بنیادی بر اطلاعاتی که می‌توان با سیگنال‌های با سرشت موجی منتقل کرد، اعمال می‌کند. شکل ۴-۵، طرح پراش مربوط به دو چشمه نزدیک به هم است که نورشان از شکاف مستطیلی می‌گذرد. همان‌طور که مشاهده می‌کنیم، با نزدیک شدن دو چشمه به یکدیگر، دو طرح ادغام می‌شوند و دیگر معلوم نیست که چیزی بجز یک چشمه نور گسترده‌ای وجود دارد. اگر کوچکترین زاویه بین دو چشمه که هنوز بتوان آنها را به صورت دو چشمه متمایز تشخیص داد θ_R باشد، تقریباً داریم

$$\theta_R \approx \frac{\lambda}{a} \quad (۱۱-۵)$$

زیرا اولین کمینه طرح پراش در α است:

$$\alpha = \frac{2\pi a \sin \theta}{\lambda} = \pi, \quad \sin \theta = \frac{\lambda}{a}$$

در (۵-۱۱) از آنچه به شرط ریلی موسوم است استفاده کرده‌ایم (بارون ریلی ۱۸۴۲-۱۹۱۹)، که بنابه آن، دو جسم را در صورتی می‌توان از یکدیگر تمیز داد که بیشینه مربوط به یکی دور از کمینه طرح دیگر قرار گیرد.

به هنگام دیدن اشیاء، معمولاً محدود به نوری هستیم که از یک روزنه مثلاً، عدسی چشم انسان دریافت می‌کنیم. وقتی این روزنه‌ها دایره‌ای هستند، باید تحلیل مربوط به این شکل خاص را به کار ببریم. این شامل توابعی است که احتمالاً خواننده با آنها آشنا نیست (توابع بسل) و در اینجا این بررسی را دنبال نخواهیم کرد. فقط اشاره می‌کنیم که طرح مربوط به روزنه دایره‌ای، دسته‌ای از حلقه‌های هم‌مرکز است، که در آن تغییرات شدت در امتداد هر شعاع دلخواه بسیار شبیه طرحی است که برای شکاف دراز مستطیلی یافتیم. شرط ریلی، که در واقع برای اولین بار برای روزنه‌های دایره‌ای فرمولبندی شد، چنین است

$$\theta_R = 1.22 \frac{\lambda}{d}$$

که در آن d قطر روزنه است.

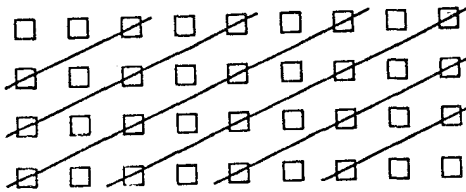
۵-۳ پراش پرتو x

ناحیه 10° تا 10°Å طیف الکترومغناطیسی، یعنی در حدود $1/1000$ طول موج نور مرئی، مربوط به پرتوهای x است. در حالی که در اتمهای سنگین، گذار الکترونیهای نزدیک هسته بین ترازهای مختلف انرژی، خطوط تیز پرتو x را پدید می‌آورد، طیف پیوسته پرتو x که در اینجا مورد نظر ماست را الکترونیهای گسیل می‌کنند که با سرعت زیاد در حرکت‌اند (یعنی الکترونیهای با انرژی $10^4 \text{ eV} \times 5$) و در نتیجه برهم کنش با هسته‌های ماده هدف، شتاب منفی می‌گیرند. این تابش را گاهی برمزشتراونگ می‌نامند، معنی این واژه آلمانی، تابش ترمزی است.

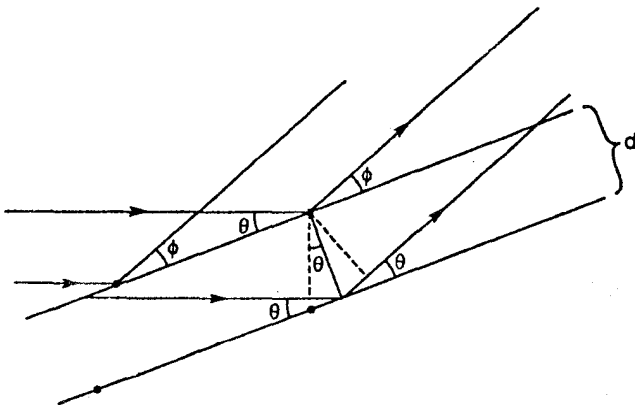
قبلاً، به تداخل حاصل از تعداد زیادی شکاف، موسوم به توری پراش، اشاره کردیم. ماکس فون لاوه در سال ۱۹۱۲ فرض کرد که آرایه منظم اتمها در بلور که فاصله آنها در حدود طول موج پرتو x، یعنی حدود 5 Å است، ممکن است به صورت توری پراش سه‌بعدی عمل کند. آزمایشهای بعدی فردریش و نیسینگ، این فرض را تأیید کرد.

هنگامی که تابش الکترومغناطیسی به اتمی برخورد کند، الکترونهای اتم یا چنانکه در بخش ۱-۵ آمد، به ترازهای دیگر انرژی می‌روند، و یا نور فرودی را پراکنده (در جهت متفاوتی بازگسیل) می‌سازند، بدون اینکه تراز انرژی آنها عوض شود. حالت اخیر، یعنی پراکندگی کشسان است که به پراش پرتو x می‌انجامد. بینیم چگونه می‌توان این فرایند را فهمید.

در شکل ۵-۵ تصویر ساده شده‌ای از بلور را به صورت آرایه منظمی از گروههای کوچک اتمی، موسوم به یاخته‌های واحد، ارائه داده‌ایم. در بسیاری از بلورها یاخته واحد دارای دو اتم یا بیشتر است، اما در ساده‌ترین بلورها، مثلاً بلور فلز سدیم، فقط یک اتم در یاخته واحد وجود دارد. در هر صورت، پراش حاصل پاسخ دسته‌جمعی یاخته‌های واحد است، که هر یک را به شکل موجودی منفرد و نه متشکل از اتمهایش در نظر می‌گیریم. بنابراین، در شکل ۵-۶ نقطه‌های سیاه یاخته‌های واحد را نشان می‌دهند. همان‌طور که شکل ۵-۵ نشان می‌دهد، می‌توان یاخته‌های واحد



شکل ۵-۵ نمای مقطعی از صفحات معادل برای ساختار مکعبی، مربعها یاخته‌های واحد را نشان می‌دهند، خطوط قطری یکی از چندین انتخاب ممکن برای صفحات معادل را نشان می‌دهند.



شکل ۵-۶ اگرچه اتمها پرتوهای x را در همه جهتها پراکنده می‌کنند، به‌ازای $\theta = \phi$ ، پرتوهای x ناشی از اتمهای متوالی در یکی از صفحات معادل همگی همفازند. همین‌طور اگر $m\lambda = 2d \sin \theta$ باشد، پرتوهای x ناشی از صفحات متوالی همفازند.

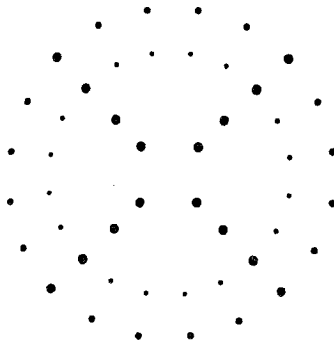
را بر روی دسته‌ای از صفحات معادل قرارداد. دسته صفحات ممکن به ساختار بلور بستگی دارد. حال، یاخته‌های واحد مربوط به هر یک از صفحات می‌توانند به‌طور دسته‌جمعی در پراکندگی باریکه پرتو x شرکت کنند. می‌بینیم که اگر توجه خود را به قسمتی از تابش پراکنده‌شده که در آن زاویه فرودی با زاویه بازتاب برابر است معطوف کنیم، $\theta = \phi$ در شکل ۵-۶، در این مورد تابش مربوط به همه اتمهای صفحه همفاز خواهد بود (در پراش پرتو x از زاویه متمم آنچه در اپتیک به‌کار می‌رود، استفاده می‌شود). این امکان وجود دارد که پرتوهای متوالی یک یا چند طول‌موج با یکدیگر اختلاف داشته باشند. این یکی از جنبه‌های پیچیده شرط تداخل سازنده است که آن را در اینجا نادیده می‌گیریم). در نتیجه، می‌توان هر صفحه را یک آینه بازتابنده پرتوهای x فرودی، در نظر گرفت.

اکنون، مؤلفه‌های نور که دستخوش بازتاب آینه‌ای از صفحات متوالی بلور شده‌اند، چگونه با یکدیگر تداخل می‌کنند؟ از شکل ۵-۶ می‌بینیم که اگر این، باریکه‌ها در صورتی همدوسی فاز دارند که

$$2d \sin \theta = m\lambda, \quad m = 1, 2, 3, \dots \quad (12-5)$$

معادله (۱۲-۵) قانون معروف براگ است که به افتخار سیر ویلیام لارنس براگ نامگذاری شده است. بنابه این قانون اختلاف راه در بلور، $2d \sin \theta$ باید مضرب صحیحی از طول‌موج باشد تا همدوسی را بتوان مشاهده کرد.

در یک آزمایش، باریکه‌ای از پرتوهای x با طیفی پیوسته به تک‌بلوری که بر روی پایه‌ای محکم قرار داده شده است برخورد می‌کند. چشمه و آشکارساز به‌قدر کافی از بلور فاصله دارند تا بتوان از نمایش امواج تخت استفاده کرد. برای دسته خاصی از صفحات، θ ثابت است. بنابراین، به‌ازای هر m ، عموماً طول‌موجی وجود خواهد داشت که برای آن رابطه (۱۲-۵) برقرار باشد. باریکه پرتوهای x پراشیده به‌صورت نقاط لاژه بر روی فیلم عکاسی پدیدار می‌شود. معمولاً، به‌ازای هر دسته از صفحات یک نقطه وجود خواهد داشت، که در نهایت به آرایه منظمی، مانند شکل ۵-۷ می‌انجامد. بررسی این طرح بلافاصله اطلاعات صریحی دربارهٔ تقارن بلور هدف فراهم می‌کند و از جمله جهت محوره‌های بلور را مشخص می‌سازد. آزمایش را با پرتوهای x تکفام هم می‌توان انجام داد. می‌توان از هدف، پودری که تهیه آن آسانتر است، به‌جای تک‌بلور استفاده کرد. این روش معروف دبی-شرر است (مسئله ۱۲-۵). می‌بینیم که روش پراش پرتو x روش کلی برای تحقیق بلوری بودن و تعیین ساختار ماده فراهم می‌کند.



شکل ۷-۵ طرح لایه برای بلوری که به صورت مناسب قرار گرفته است.

۴-۵ امواج EM در دی الکتریکها، شکست

خواننده با مفهوم قطبیدگی الکتریکی مواد یعنی جداسدن بارهای مثبت از بارهای منفی ماده در هنگام قرار گرفتن آن در میدان الکتریکی آشناست. کمیتی که این پدیده را مشخص می‌کند، میدان برداری قطبش $P(x, y, z, t)$ است، که طبق تعریف، گشتاور دو قطبی در واحد حجم در نقطه و زمان مشخص است. نتیجه اصلی مربوط به P چنین است.

$$\nabla \cdot P = -\rho_{\text{pol}} \quad (۱۳-۵)$$

که در آن ρ_{pol} چگالی بار ناشی از قطبش است (مسئله ۵-۱۴).

مطابق معمول فقط پدیده‌های خطی را در نظر می‌گیریم و با در نظر گرفتن مؤلفه‌های فوریه فضا و زمان میدانها، می‌نویسیم

$$P(\mathbf{k}, \omega) = \epsilon_0 \chi(\mathbf{k}, \omega) E(\mathbf{k}, \omega) \quad (۱۴-۵)$$

که در آن χ را پذیرفتاری الکتریکی می‌نامند. چون χ (همان‌طور که خواهیم دید) نرده‌ای و حقیقی است، فرض می‌کنیم P و E موازی‌اند، که معمولاً چنین است، و معمولاً همفاز هستند. از نظر فیزیکی، بین دو منشأ متفاوت قطبش که یکی، حرکت الکترونها نسبت به مرکزهای ثابت یونهای جسم (قطبش الکتریکی) و دیگری حرکت خود یونهاست (قطبش یونی و دو قطبی، که حالت اخیر وجود مولکولهای دو قطبی داخلی را ایجاب می‌کند) تفاوت می‌گذاریم. پاسخ بسامدی این سازوکارها مختلف است. متفاوت‌اند، قطبیدگی الکترونی تا بسامد قطع بالاتری نسبت به سازوکار دیگر فعال است.

مدل ساده قطبش در مسئله ۲-۱۰ بر پایه مجموعه‌ای از نوسانگرهای هماهنگ واداشته، منشأ وابستگی بسامدی را به تفصیل نشان می‌دهد. بنابراین $\chi(\mathbf{k}, \omega)$ در واقع تابعی از بسامد، ω ، است.

بستگی آن به بردار موج، k ، فقط در فلزات مورد نظر است، که در آنها از الکترونهای رسانش که گاز الکترونی مستقل را بوجود می‌آورند، می‌توان سخن گفت. در این بخش فقط به عایقها می‌پردازیم، و بستگی χ را به بردار موج دیگر به میان نخواهیم آورد.

خواننده با میدان جابه‌جایی $D(\mathbf{r}, t)$ نیز آشناست که مفهومی بسیار مفید در همهٔ مسائلی است که با دی‌الکتریکها یعنی موادی که قطبیده می‌شوند، سروکار دارد. تعریف $D(\mathbf{r}, t)$ چنین است

$$D(\mathbf{r}, t) \equiv \epsilon_0 \mathbf{E}(\mathbf{r}, t) + \mathbf{P}(\mathbf{r}, t) \quad (15-5)$$

باز هم از مؤلفه‌های فوریه استفاده می‌کنیم ولی بستگی به بردار موج را کنار می‌گذاریم، داریم

$$D(\omega) \equiv \epsilon(\omega) \mathbf{E}(\omega) \quad (16-5 \text{ الف})$$

بالاخره، از (۱۴-۵) داریم

$$\epsilon(\omega) = \epsilon_0 [\chi(\omega) + 1] \quad (16-5 \text{ ب})$$

که در آن $\epsilon(\omega)$ ثابت دی‌الکتریک جسم است.

مسئلهٔ اصلی که به بررسی آن می‌پردازیم این است که چگونه امواج الکترومغناطیس در جسم عایق منتشر می‌شوند؛ این انتشار موج چه تفاوتی با انتشار فضای خالی که در بخش ۳-۴ توصیف شد دارد؟ اگر N گشتاور دو قطبی p_x داشته باشیم، با $p_x = qx$ چگالی جریان $J_x = qN(dx/dt)$ را نیز خواهیم داشت، به همراه قطبش $p_x = Nqx$ چنانکه

$$\mathbf{J}_{\text{pol}} = \frac{d\mathbf{P}}{dt} \quad (17-5)$$

به عبارت دیگر، قطبیدگی متغیر برحسب زمان جریان ایجاد می‌کند و میدان مغناطیسی به وجود می‌آورد. فرض کنید به موردی علاقه‌مند هستیم که تنها چشمه‌های موجود، چگالیهای بار و جریان، ناشی از قطبش هستند. در این صورت، از (۱۷-۵) معادلهٔ ماکسول (۱۲-۴) در دی‌الکتریک چنین می‌شود

$$\nabla \times \mathbf{B} = \mu_0 \left[\frac{\partial \mathbf{P}}{\partial t} + \epsilon_0 \frac{\partial \mathbf{E}}{\partial t} \right] \quad (18-5)$$

به همین صورت (۹-۴) با در نظر گرفتن (۱۳-۵) چنین می‌شود،

$$\nabla \cdot \left(\mathbf{E} + \frac{\mathbf{P}}{\epsilon_0} \right) = 0 \quad (19-5)$$

دو معادله دیگر ماکسول بدون تغییر می ماند:

$$\nabla \times \mathbf{E} = -\frac{\partial \mathbf{B}}{\partial t} \quad (۱۰-۴)$$

$$\nabla \cdot \mathbf{B} = 0 \quad (۱۱-۴)$$

با پیروی از بخش ۳-۴ به راحتی می توانیم این معادله ها را حل کنیم. چون P موازی \mathbf{E} گرفته می شود و بستگی این دو به بردار موج یکسان است باز هم انتظار جوابهای عرضی را برای (۱۹-۵) داریم، یعنی،

$$\nabla \cdot \mathbf{P} = \nabla \cdot \mathbf{E} = 0 \quad (۲۰-۵)$$

اگر تاو (۱۰-۴) را بگیریم و از اتحاد برداری زیر استفاده کنیم

$$\nabla \times (\nabla \times \mathbf{E}) = \nabla(\nabla \cdot \mathbf{E}) - \nabla^2 \mathbf{E}$$

با در نظر آوردن (۲۰-۵) داریم

$$-\nabla^2 \mathbf{E} = -\frac{\partial}{\partial t}(\nabla \times \mathbf{B})$$

با استفاده از (۱۸-۵) و (۲۰-۵) داریم

$$\nabla^2 \mathbf{E} - \frac{1}{c^2} \frac{\partial^2 \mathbf{E}}{\partial t^2} - \frac{1}{\epsilon_0 c^2} \frac{\partial^2 \mathbf{P}}{\partial t^2} = 0 \quad (۲۱-۵)$$

بالاخره، اگر فقط به کار با یک بسامد ω در آن واحد اکتفا کنیم، می توانیم (۱۴-۵) و (۱۶-۵ الف) را ترکیب کنیم و رابطه زیر را به دست آوریم

$$\mathbf{E}_\omega(\mathbf{r}, t) + \frac{\mathbf{P}_\omega(\mathbf{r}, t)}{\epsilon_0} = \left[\frac{\epsilon(\omega)}{\epsilon_0} \right] \mathbf{E}_\omega(\mathbf{r}, t)$$

که در آن شاخص پایین ω یادآور آن است که تمام وابستگیهای زمانی هماهنگ و با این بسامد است. در نتیجه، (۱۰-۵) را می توانیم چنین بنویسیم

$$\nabla^2 \mathbf{E}_\omega - \frac{\epsilon(\omega)}{\epsilon_0 c^2} \frac{\partial^2 \mathbf{E}_\omega}{\partial t^2} = 0 \quad (الف ۲۲-۵)$$

همین گامها را برای به دست آوردن نتیجه مشابهی برای B می‌توان تکرار کرد، این بار با گرفتن تاو (۱۸-۵) داریم:

$$\nabla^2 B_\omega - \frac{\varepsilon(\omega)}{\varepsilon_0 c^2} \frac{\partial^2 B_\omega}{\partial t^2} = 0 \quad (22-5)$$

معادله‌های (۲۲-۵ الف و ب) نشان می‌دهند که می‌توانیم انتظار همان امواج تخت متحرک را که برای فضای آزاد در بخش ۳-۴ به دست آوردیم، برای دی‌الکتریکها هم داشته باشیم. تفاوت اصلی در آن است که سرعت موج از سرعت در فضای آزاد، c به،

$$v(\omega) = \sqrt{\frac{\varepsilon_0}{\varepsilon(\omega)}} c \quad (23-5)$$

تغییر یافته است و $v(\omega)$ همواره کمتر از c خواهد بود.

رابطه (۲۳-۵) اهمیت کاربردی بسیار دارد. زیرا اگر باریکه نور از فصل مشترکی بگذرد و از ماده‌ای با یک ثابت دی‌الکتریک به ماده دیگری با ثابت دی‌الکتریک متفاوتی وارد شود، جهت باریکه در نتیجه (۲۳-۵) تغییر می‌کند. گفته می‌شود که باریکه شکسته شده است. پدیده شکست مبنای کار عدسیها و منشورهاست؛ و اهمیت کاربردی آن در همین است. در نتیجه نسبت $c/v(\omega)$ دارای نام خاصی است: ضریب شکست $n(\omega)$

$$n(\omega) \equiv \frac{c}{v(\omega)} = \sqrt{\frac{\varepsilon(\omega)}{\varepsilon_0(\omega)}} \quad (24-5)$$

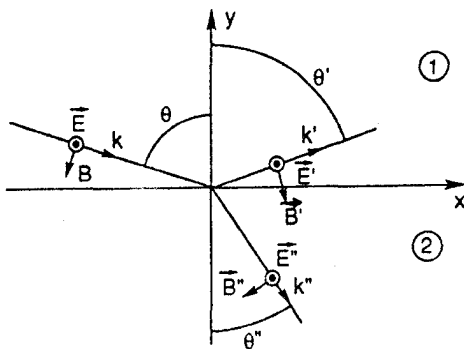
برای نوری که به وسیله منشور شکسته می‌شود، بستگی ضریب شکست به بسامد به تجزیه نور برحسب رنگ (طول موج) می‌انجامد.

اکنون به تحلیل مسئله باریکه‌ای می‌پردازیم که به فصل مشترک تخت بین دو دی‌الکتریک برخورد می‌کند. در این تحلیل فرض می‌کنیم که انتشار باریکه‌های نور با اتلاف انرژی همراه نیست. در بررسی اخیر، تلویحاً فرض کردیم که پذیرفتاری الکتریکی $\chi(k, \omega)$ در نتیجه ضریب شکست حقیقی هستند. اما لزومی ندارد که همیشه این طور باشد؛ اگر بین میدان الکتریکی اعمال شده، E و قطبش (یعنی جابه‌جایی بار) حاصل از آن P ، اختلاف فاز وجود داشته باشد، توان در دی‌الکتریک درست مانند نوسانگر هماهنگ واداشته تلف خواهد شد، اگر میرایی باعث اختلاف فاز (غیر از صفر و احتمالاً π) بین نیروی اعمال شده و جابه‌جایی شود. در این صورت هنوز هم می‌توان از (۱۴-۵) و (۱۶-۵) برای توصیف این حالت استفاده کرد. منتهی $\chi(\omega)$ دیگر عددی مختلط خواهد بود (مسئله ۲-۱۰). بنابراین، امکان تعمیم به ضریب شکست مختلط پدید می‌آید.

اما، برای مقاصد این بخش، پذیرفتاری الکتریکی $\chi(\omega)$ ، ثابت دی الکتریک $\epsilon(\omega)$ ، و ضریب شکست $n(\omega)$ را حقیقی می‌گیریم.

اما، $\chi(\omega)$ می‌تواند مثبت یا منفی باشد. در مدل نوسانگر هماهنگ واداشته که برای پدیده قطبیده شدن دو قطبهای الکتریکی به‌کار می‌رود، مدلی که از نظر فیزیکی بسیار واقعی است، علامت $\chi(\omega)$ به‌هنگام گذر ω از مقدار تشدید ω عوض می‌شود. (در عمل، تشدیدهای متعددی متناظر با سازوکارهای مختلف قطبنده وجود دارد. وقتی ω از بالاترین این تشدیدها فراتر می‌رود، $\chi(\omega)$ منفی می‌شود.) تغییر علامت $\chi(\omega)$ به این معنی است که $n(\omega)$ به‌ازای بسامدهای بیشتر از ω کمتر از یک می‌شود و طبق (۲۴-۵) به‌سرعت $v(\omega)$ که از سرعت نور در فضای آزاد، بیشتر است، می‌انجامد. برای اینکه ببینیم چگونه این موضوع نظریه نسبت را که بنابه آن هیچ چیز نمی‌تواند سریعتر از c حرکت کند، معتبر نگه می‌دارد باید بررسی پدیده انتشار موج را با جزئیات بیشتری دنبال کنیم. اصولاً، $v(\omega)$ که پیدا کرده‌ایم سرعت فاز نام دارد، یعنی سرعت فقط یک موج هماهنگ، $\cos(kx - \omega t)$ ، که همان‌طور که در فصل ۱ دیده‌ایم، موجی است که از منهای بینهایت تا مثبت بینهایت در فضا و زمان گسترده است. برای انتقال اطلاعات باید بسیاری از این امواج را ترکیب کنیم (و بسته موج بسازیم). این بسته با سرعت گروه خود حرکت می‌کند که همواره کمتر از c است. بررسی تحلیل بسته‌های موج و سرعت گروه را بهتر است به فصل ۷ پس از بررسی کامل اثرات پاشندگی و کار عملی با بسته‌های موج در فصل ۶ موکول می‌کنیم.

اکنون به این مسئله می‌پردازیم که وقتی نور از محیطی با ضریب شکست n_1 به محیطی با ضریب n_2 ، $n_2 \neq n_1$ که در محیط با صفحه $x-z$ در شکل ۸-۵ از هم جدا شده‌اند می‌تابد، چه روی می‌دهد؟ همان‌طور که ذکر شد، اپتیک هندسی، به‌طور مستقیم یا غیرمستقیم بر مبنای درک این مسئله فیزیکی است. حل آن به دانستن شرایط مرزی در صفحه بستگی دارد. از فصل چهارم می‌دانیم که که در نبود جریانهای سطحی، با عایقهای غیرمغناطیسی سروکار داریم که میدانهای



شکل ۸-۵ باریکه‌های فرودی (k) ، بازتابیده (k') ، عبوری (k'') در صفحه فصل مشترک بین عایقهای نامغناطیسی. ضریب شکست محیط پایینی (۲) بیشتر از ضریب شکست محیط (۱) است، $n_2 > n_1$. در این حالت، باریکه شکسته شده به‌طرف عمود بر صفحه فصل مشترک، خم می‌شود؛ میدان الکتریکی در راستای z قطبیده است (مسئله ۵-۱۶).

مغناطیسی B_1 و B_2 آنها، درست در بالا و پایین صفحه یکسان است، همان طور که مؤلفه های مماسی میدان الکتریکی E_x و E_z چنین اند. اما، چون قطبیدگی دو محیط باعث پدیدار شدن بارهای سطحی می شود، مؤلفه های عمودی میدان الکتریکی E در حالت کلی، در فصل مشترک، پیوسته نیستند. در اینجا بهتر است به میدان جابه جایی $D(r, t)$ که طبق (۵-۱۵) تعریف شده است، روی آوریم. در نبود بارهای خارجی، معنی بارهایی غیر از آنچه محیط را تشکیل می دهند، رابطه (۵-۱۹) صادق است و داریم

$$\nabla \cdot D = 0 \quad (۵-۲۵)$$

با استفاده از بررسی های فصل ۴ [خصوصاً مسئله ۴-۱۰]، مشاهده می کنیم که مؤلفه عمودی D و نه مؤلفه عمودی E ، در فصل مشترک پیوسته است. اگر میدانهای مغناطیسی موج فرودی و بازتابی را در شکل ۸-۵ به ترتیب B و B' ، و میدان موج عبوری را B'' بنامیم، با نامگذاری مشابه میدانهای الکتریکی E ، شرایط مرزی حاکم بر میدانها در فصل مشترک را چنین می توان نوشت

$$B + B' = B'' \quad (۵-۲۶ \text{ الف})$$

$$E_x + E'_x = E''_x \quad (۵-۲۶ \text{ ب})$$

$$E_z + E'_z = E''_z \quad (۵-۲۶ \text{ ج})$$

$$D_y + D'_y = D''_y \quad (۵-۲۶ \text{ د})$$

مثال ۱-۵

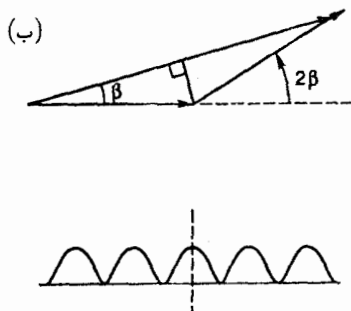
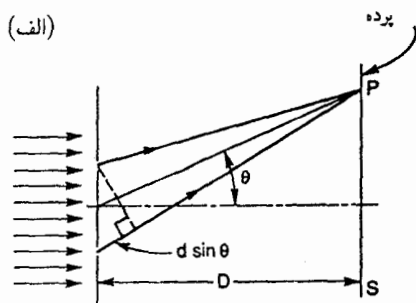
باریکه ای از نور تخت همدوس از دو شکاف دراز که به فاصله d از یکدیگر قرار دارند عبور می کند. اگر هر شکاف را فقط به یک ناحیه فرنل بگیریم، یعنی از اثرات پراش چشمپوشی کنیم، نشان دهید که طرح تداخلی روی پرده ای که در فاصله دور D قرار دارد چنین است

$$I = I_0 \cos^2 \beta$$

که در آن I_0 شدت نور در مرکز طرح است و

$$\beta = \pi d \frac{\sin \theta}{\lambda}$$

که در آن θ مطابق با شکل ۹-۵ الف است.



شکل ۹-۵ (الف) نور ناشی از دو شکاف به طرح تداخلی بر روی S می‌انجامد، مثال ۵-۱. (ب) مثال ۵-۱، بالا نمودار فازور؛ پایین طرح تداخلی با حذف اثرات ناشی از پراش.

این طرح را رسم کنید و توضیح فیزیکی صریحی برای وجود کمینه‌ها در $n = 0, 1, 2, \dots$ بدهید. $\beta = (\pi/2)(2n + 1)$

حل: با کنار گذاشتن اثرات ناشی از پراش، میدان EM در نقطه P در شکل ۹-۵ الف با جمع فازوری تک تک میدانها که هر یک به صورت فازوری نوشته شده‌اند، نشان داده می‌شود. طول این فازورها که متناظر با دامنه میدانهاست یکی است، اما اختلاف فاز 2β بین آنها وجود دارد،

$$2\beta = \left(\frac{2\pi}{\lambda}\right) (d \sin \theta)$$

$$= \frac{2\pi}{\lambda} \times d \sin \theta$$

با استفاده از روابط هندسی (شکل ۹-۵ ب) داریم

$$| \text{فازور برابند} | = 2 \cos \beta \times | \text{فازورها} |$$

و اگر به خاطر آوریم که شدت با مربع دامنه‌های میدان متناسب است، $I = I_0 \cos^2 \beta$ نتیجه می‌شود. کمینه‌های شکل ۹-۵ ب وقتی رخ می‌دهد که دو مؤلفه در جهت‌های مخالف قرار گیرند (یعنی اختلاف راه اپتیکی آنها مضرب صحیحی از نیم طول موج باشد). در عمل طرح تداخلی به وسیله اثرات از پراش مدوله می‌شود (مسائل ۵-۱۰ و ۵-۱۱).

مثال ۲-۵

ثابت کنید که برای هر صفحه فرود دلخواه، زاویه بازتاب θ' با زاویه فرود θ ، نسبت به صفحه $x-z$ (شکل ۸-۵)، برابر است.

حل: در سطح فصل مشترک مؤلفه میدان الکتریکی باریکه فرودی دارای بستگی زمانی و فضایی به شکل زیر است

$$E_x(\mathbf{r}, t) = E_x \cdot e^{i(k_x x + k_z z - \omega t)} \quad (27-5)$$

بدین ترتیب، شرط مرزی (۵-۲۶) چنین می‌شود،

$$E_x \cdot e^{i(k_x x + k_z z - \omega t)} + E'_x \cdot e^{i(k'_x x + k'_z z - \omega t)} = E''_x \cdot e^{i(k''_x x + k''_z z - \omega t)} \quad (الف) \quad (28-5)$$

این رابطه در هر لحظه t از زمان و در هر نقطه z, x روی صفحه نامتناهی جداکننده دو محیط برقرار است. این شرط را فقط هنگامی ممکن است برقرار ساخت که، اولاً دو میدان برحسب زمان با هم نوسان کنند، یعنی فقط یک بسامد مشخص کننده همه میدانها باشد، که قبلاً هم در (۵-۲۸) فرض کردیم. ثانیاً، باید روابط زیر برقرار باشد،

$$k_x = k'_x = k''_x \quad (ج) \quad (28-5)$$

و

$$k_z = k'_z = k''_z \quad (د) \quad (28-5)$$

از طرف دیگر، میدانهای E برای هر دو باریکه فرودی و عبوری در معادله موج (۵-۲۱ الف) با ضریب شکست $n_1 = \sqrt{\epsilon_1(\omega)}/\epsilon_0$ صدق می‌کند و در نتیجه

$$k_x^2 + k_y^2 + k_z^2 = k_x'^2 + k_y'^2 + k_z'^2 \quad (29-5)$$

با در نظر داشتن (۵-۲۸ ب، د) و (۵-۲۹) نتیجه می‌گیریم که

$$k'_y = -k_y \quad (30-5)$$

که نتیجه مطلوب $\theta' = \theta$ را می‌دهد. از خواننده دعوت می‌شود برای جزئیات تحلیل مسئله در شکل ۵-۸ به مسئله ۵-۱۶ رجوع کند. ■

مسائل

۱-۵ اثر فوتوالکتریک اینشتین. قانون اینشتین در مورد گسیل الکترون از فلزاتی که در معرض تابش نوری با بسامد ν قرار می‌گیرد چنین است

$$U_e = h\nu - \phi$$

(الف) اگر الکترونهاى فلز همه ترازهای انرژی موجود را تا حداکثر انرژی ممکن که به انرژی فرمی موسوم است با یک الکترون اشغال کنند بگویید چرا U_e بیشینه انرژی جنبشی هر الکترونی است که گسیل می‌شود.

(ب) رابطه‌ای برای بسامد آستانه ν_c بنویسید که پایین‌تر از آن انتظار گسیل الکترونی را ندارید.

(ج) الکترون-ولت مقدار انرژی است که ذره‌ای با بار الکتریکی به اندازه بار الکترون، $10^{-19} \times 1.60$ ، به هنگام شتاب گرفتن در میدان حاصل از اختلاف پتانسیل ۱ ولت به دست می‌آورد. اگر تابع کار فلز، ϕ ، باشد، بسامد آستانه، ν_c ، چقدر است و طول موج آستانه متناظر

با آن λ_c ، چقدر است؟ اگر $\phi = 1.82 \text{ eV}$ ، که برای سدیم چنین است، λ_c چیست؟

(د) بگویید شدت تابش بر تعداد فوتوالکترونهاى گسیل شده چه تأثیری دارد، اگر،

$$(1) \nu > \nu_c$$

$$(2) \nu < \nu_c$$

این مشاهدات قبل از اینکه اینشتین گسیل فوتونی را توضیح دهد، درک نشده بودند.

۲-۵ (الف) اگر بسامد تابش چشمه نور به دقت مشخص باشد، در مورد زمان گسیل t چه معلوماتی به دست می‌آوریم؟

(ب) اگر عدم قطعیت در انرژی تراز بالای یک گسیلنده $E \approx 10^{-20} \text{ J}$ باشد، طول همدوسی در حدود چند طول موج λ است، اگر تابش گسیل شده دارای طول موج $\lambda \approx 5000 \text{ \AA}$ باشد؟

۳-۵ اگر بدانیم که اتمی در زمان $t = 0$ برانگیخته شده است، احتمال اینکه در زمان t هنوز هم برانگیخته باشد $e^{-\gamma t}$ است، که در آن $1/\gamma$ طول عمر برانگیختگی است. فرض کنید که میدان تابشی $B(t)$ با دامنه نوسانگر هماهنگ میرا متناسب است و طبق رابطه زیر به t بستگی دارد؟

$$B(t) = 0 \quad t < 0$$

$$= b_0 \sqrt{\omega_0} \cos \omega_0 t e^{-\frac{t}{\gamma}} \quad t > 0$$

الف) نشان دهید که مؤلفه فوریه $B(t)$ ، یعنی $B(\omega)$ با رابطه زیر داده می‌شود

$$B(\omega) = \sqrt{\frac{\omega_0 b_0}{2\pi}} \frac{1}{2i} \left[\frac{1}{\left(\omega - \omega_0 - i\frac{\gamma}{2}\right)} + \frac{1}{\left(\omega + \omega_0 - i\frac{\gamma}{2}\right)} \right]$$

همچنین نشان دهید که سهم ω در انرژی $U = \int U(\omega) d\omega$ ، که آن را با $U(\omega)$ نشان داده‌ایم چنین است

$$U(\omega) = B^*(\omega)B(\omega) \frac{c}{\mu_0}$$

راهنمایی: نگاه کنید به (۴-۱۷ ج) و (۴-۱۹) و مسئله ۱-۱۴. بالاخره نشان دهید که جمله اصلی $U(\omega)$ متناسب است با

$$\frac{\omega_0}{\left((\omega - \omega_0)^2 + \frac{\gamma^2}{4}\right)}$$

این همان عبارت معروف برای «شکل خط لورنتسی» است که از بررسی کوانتوم مکانیکی سیستم دو ترازوی به دست می‌آید.

ب) روشی برای برآورد $\Delta\omega$ از قسمت الف) و Δt از $B(t)$ ، پیدا کنید و نتیجه را برای حاصلضرب $(\Delta\omega)(\Delta t)$ با (۴-۵) مقایسه کنید.

۴-۵ به کمک نمودار نشان دهید که چگونه از اصل هویگنس می‌توان برای پیش‌بینی حرکت موج EM تخت استفاده کرد.

۵-۵ با استفاده از (۵-۹ و ۱۰) به ازای چه مقادیری از زاویه α شدت نوری که از تک‌شکاف بلند پراشیده شده است، کمینه می‌شود؟ آیا می‌توانید نتیجه خود را براساس تحلیل میدانهای تابشی فرودی به صورت سهم یک سری از اجزاء سطح دراز و افقی (نواحی فرنل) که شکاف را تشکیل می‌دهند، به صورت فیزیکی تعبیر کنید.

راهنمایی: هر بار حاصل از دو ناحیه فرنل را در نظر بگیرید.

۶-۵ اگر $a \gg \lambda$ ، یعنی عرض شکاف حتی در مقایسه با طول موج نور پراشیده هم کوچک باشد، چه بر سر طرح پراش تک‌شکافی می‌آید؟ اگر $a \ll \lambda$ چگونه؟ برای هر یک از این دو حالت، مثال فیزیکی ساده‌ای ارائه دهید.

۷-۵ رابطه‌ای تحلیلی برای طرح پراش ریزه مربعی به مساحت a^2 ، با $\lambda \approx a$ ، ارائه دهید. شکل کیفی شدت نور محاسبه شده را رسم کنید. (طرح پراش شبکه‌ای مربعی تشکیل می‌دهد.)

۸-۵ همان طور که در متن آمد، توری پراش که پرده‌ای با شکافهای موازی متعدد (N) است از ابزارهای مهم اندازه‌گیری است.

الف) با به کار گرفتن استدلال ناحیه فرنل مثال ۱-۵، نشان دهید که اولین کمینه برای توری در $\theta = \lambda/(Nd)$ رخ می‌دهد، که در آن d فاصله بین شکافهای مجاور است.

راهنمایی: برای بیشینه اصلی، تمام فازورها موازی هستند، در حالی که برای کمینه متناظر با آن، فازورها N ضلعی بسته‌ای را تشکیل می‌دهند.

ب) می‌توانیم بگوییم که دو رنگ با طول موجهای λ و $\lambda + \Delta\lambda$ ($\Delta\lambda$ مثبت)، هنگامی از یکدیگر تفکیک می‌شوند که کمینه دوم λ بر روی اولین بیشینه اصلی $\lambda + \Delta\lambda$ ، $\Delta\lambda$ (بیشینه مرکزی را حساب نکرده‌ایم) بیفتد.

$$\Delta\lambda/\lambda = 1/N$$

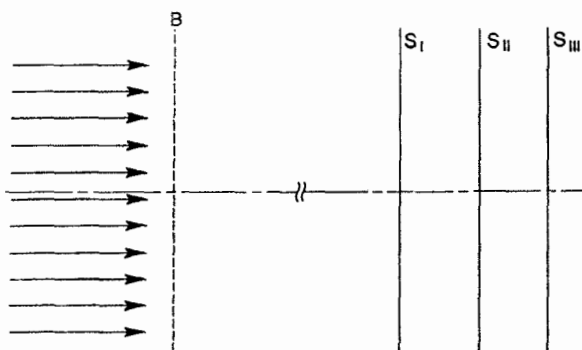
چه نتیجه‌ای درباره رابطه بین تعداد شکافها N و «توان تفکیک» توری پراش می‌گیرید؟
 ۹-۵ الف) وقتی توجه خود را از اولین بیشینه اصلی به طیف مرتبه m ام، یعنی m -امین بیشینه (بدون شمردن بیشینه مرکزی) معطوف می‌کنیم، در می‌یابیم که

$$\frac{\Delta\lambda}{\lambda} = \frac{1}{mN}$$

آیا می‌توانید این نتیجه را به دست آورید؟

ب) در یک توری پراش دوتایی سدیم (5890 \AA و 5895.9 \AA) در مرتبه سوم در زاویه 1° نسبت به عمود مشاهده می‌شود و به زحمت تفکیک شده است. پیدا کنید (۱) فاصله خطهای توری، و (۲) عرض کل آن را.

۱۰-۵ باریکه‌ای از همدوس تخت به مانع B برخورد می‌کند، شکل ۵-۱۰. S_I ، S_{II} ، S_{III} پرده‌هایی



شکل ۱۰-۵ مسئله ۱۰-۵.

هستند که فرض می‌کنیم پی‌درپی در فاصله تقریبی یکسان از B قرار می‌گیرند. پیشنهاد می‌شود که خواننده شکل ۵-۱۰ را کپی کند و سپس:

(الف) روی صفحه S_I طرح پراش مربوط به تک‌شکافی به عرض a که در مرکز B قرار داده می‌شود را رسم کنید. مکان اولین کمینه را مشخص کنید. طول موج λ است.

(ب) روی صفحه S_{II} طرح تداخلی ناشی از دو شکاف افقی را که به‌طور متقارن نسبت به مرکز B قرار داده شده‌اند رسم کنید، فاصله این دو شکاف d است، که $d \simeq (9/2)a$. اثرات پراش در نمودار را نادیده نگیرید.

(ج) روی صفحه S_{III} طرح تداخلی را برای همان مقادیر a و b که در قسمت (ب) ذکر شد برای تعداد زیادی از شکاف رسم کنید. تفاوت این طرح با طرح S_{II} را به روشنی، اگرچه به‌صورت کیفی، نشان دهد.

۵-۱۱ پرده‌ای با سه شکاف هر یک پهنای a و با فاصله d از یکدیگر را در نظر بگیرید. هر شکاف را به چهار منطقه تقسیم کنید. ضریب فاز e^{ikR} را برای هر یک از دوازده پرتو نوری که منطقه‌ها را به نقطه‌ای در θ روی پرده نامتناهی متصل می‌کند منظور کنید، R فاصله منطقه تا پرده است. نشان دهید که مجموع دوازده فازور متناظر را می‌توان به‌صورت حاصلضرب عامل پراش در جمله تداخلی نوشت.

۵-۱۲ در چه فاصله‌ای دو چراغ جلوی ماشینی که از روبرو می‌آید برای اولین بار جدا از یکدیگر دیده می‌شوند؟ فرض کنید که عامل تعیین‌کننده، توان تفکیک محدود چشم است. مردمک را به نظر ۵٫۰ سانتیمتر و نور را به طول موج 550°Å در نظر بگیرید. فاصله چراغهای جلو از یکدیگر 12°cm است.

۵-۱۳ چرا طرح پراش لاژه نقطه‌ای است در حالی که طرح دبی - شرر دسته‌ای از حلقه‌های هم‌مرکز را نشان می‌دهد؟ چگونه می‌توان باریکه تکفام پرتو x به‌وجود آورد؟

۵-۱۴ (الف) نشان دهید که بار قطبشی (جبران نشده) که به‌ازای واحد عمود بر بردار قطبش P است در مرز از رابطه زیر به‌دست می‌آید

$$\sigma_{\text{pol}} = P$$

راهنمایی: فرض کنید n دوقطبی در واحد سطح وجود دارند، که گشتاور هر دوقطبی qd است. (ب) این نتیجه را به

$$\sigma_{\text{pol}} = P \cdot n$$

تعمیم دهید، که در آن n بردار یکه عمود بر سطحی است که این بار زاویه دلخواهی با P می‌سازد.

نشان دهید که به طور خالص، باری که داخل حجم بسته‌ای با قطبش $P(\mathbf{r})$ وجود دارد با انتگرال سطحی زیر داده می‌شود

$$Q_{\text{pol}} \equiv \int \rho_{\text{pol}} dV = - \oint \mathbf{P} \cdot d\mathbf{A}$$

(ج) سرانجام با بهره‌گیری از قضیهٔ گاوس برای میدانهای برداری نتیجهٔ مطلوب

$$Q_{\text{pol}} = -\nabla \cdot \mathbf{P}$$

را به دست آورید.

۱۵-۵ نشان دهید که

$$D(\mathbf{r}, t) = \mathbf{E}(\mathbf{r}, t) + \int_{-\infty}^{\infty} G(\tau) \mathbf{E}(\mathbf{r}, t - \tau) d\tau$$

که در آن

$$G(\tau) = \frac{1}{2\pi} \int_{-\infty}^{\infty} [\varepsilon(\omega) - 1] e^{-i\omega\tau} d\omega$$

نتیجهٔ حاصل برای $D(\mathbf{r}, t)$ را وقتی $\varepsilon(\omega)$ تابع ω نیست، ساده کنید.

۱۶-۵ (الف) برای حالتی که در شکل ۸-۵ آمده است، یعنی هنگامی که قطبیدگی میدانهای الکتریکی به موازات محور z است، نشان دهید که دامنه‌های میدانهای الکتریکی بازتابیده عبوری، به ترتیب E'_o و E''_o ، با دامنهٔ باریکهٔ فرودی، E_o با روابط زیر مربوط می‌شوند

$$E'_o = \frac{(k_y - k''_y)}{(k_y + k''_y)} E_o$$

$$E''_o = \frac{2k_y}{(k_y + k''_y)} E_o$$

راهنمایی: از (۲۶-۵ الف) و (۲۸-۵ ب، ج) استفاده کنید.

(ب) قانون معروف اسنل

$$n_2 \sin \theta'' = n_1 \sin \theta$$

را ثابت کنید. در اینجا θ'' زاویهٔ شکست برای هر دو قطبش ممکن میدان الکتریکی است، شکل ۸-۵.

۱۷-۵ الف) نشان دهید که موج تختی که در جهت z با ضریب شکست مختلط $n = n_R + in_I$ منتشر می‌شود از رابطه زیر به دست می‌آید.

$$E(z, t) = E_0 e^{i\omega(n_R \frac{z}{c} - t)} e^{-\omega n_I \frac{z}{c}}$$

ب) از معادله‌های ماکسول استفاده کنید و نشان دهید که معادله موج در فلز قطبش‌ناپذیر و غیرمغناطیسی، با رسانش σ چنین است؟

$$\nabla^2 E - \left(\frac{1}{c^2}\right) \frac{\partial^2 E}{\partial t^2} - \mu_0 \sigma \frac{\partial E}{\partial t} = 0$$

نشان دهید که

$$n_I \simeq \sqrt{\frac{\sigma}{2\epsilon_0 \omega}} \quad \text{وقتی } \sigma \gg \epsilon_0 \omega$$

مانند مورد هر رسانای خوب در هر بسامد دسترس‌پذیر. اما برای $\omega \gtrsim 10^{13}$ rad/s اثرات دینامیکی مربوط به برخوردهای الکترونی ظاهر می‌شود.

ج) اگر تضعیف میدان الکتریکی در داخل فلز به صورت $e^{-z/\delta}$ باشد، که در آن δ را «عمق پوست» می‌نامند، برای ریز موجی با بسامد 10^{10} Hz و با $(1/\Omega m) \times 10^7 \times 5.76$ ، مقدار عددی δ را برآورد کنید.

د) نشان دهید که رابطه کلی زیر بین رسانایی مختلط $\sigma(\omega)$ و ثابت مختلط دی‌الکتریک $\epsilon(\omega)$ برقرار است

$$\sigma(\omega) = -i\omega[\epsilon(\omega) - \epsilon_0]$$

به اختلاف فاز 90° حاصل بین $\sigma(\omega)$ و پذیرفتاری الکتریکی $\chi(\omega)$ ، توجه کنید و درباره آن بحث کنید.

$$\nabla \times B = \mu_0 \left[\frac{\partial P}{\partial t} + \epsilon_0 \frac{\partial E}{\partial t} \right] \quad \text{راهنمایی:}$$

هر نوع جریان باید به عنوان جریان قطبشی در نظر گرفته شود.

۵- پ (پیوست)

هدف اصلی این پیوست آن است که نظریه پراش و تداخل را که در فصل ۵ آمد بر پایه اصول اولیه قرار دهد، به عبارت دیگر، دستاوردهای معادله موج را به میدانهای الکتریکی و مغناطیسی با

شرایط مرزی، مربوط کند. هدف دیگر آن است که تعریف دقیقی از حداقل یک نوع تابع گرین به دست دهد. مفهوم تابع گرین به طور پراکنده در این کتاب آمده است.

آنچه خلاصه آن در اینجا آورده می شود متکی به قضیه گرین در حسابان برداری است، که تعمیم قضیه گاوس است. $U(x, y, z)$ و $V(x, y, z)$ را دو میدان نردهای دلخواه برحسب x, y, z در نظر بگیرد. برای این میدانها اتحاد برداری زیر برقرار است:

$$\nabla \cdot (U \nabla V) = (\nabla U) \cdot (\nabla V) + U \nabla^2 V \quad (۵-۱)$$

از طرفین این اتحاد می توان بر روی هر حجم بسته ای انتگرال گرفت و سپس قضیه گاوس را برای طرف چپ به کار بست نتیجه زیر به دست می آید

$$\oint U \nabla V \cdot d\mathbf{S} = \int \nabla U \nabla V \, dv + \int U \nabla^2 V \, dv \quad (۵-۲)$$

که در اینجا، انتگرال طرف چپ بر روی سطحی است که حجم دلخواه را در بر می گیرد. رابطه دیگری مشابه با (۵-۲) با تعویض U و V به دست می آید. اگر رابطه دوم را از رابطه (۵-۲) کم کنیم، نتیجه مطلوب یعنی قضیه گرین به دست می آید:

$$\oint [U \nabla V - V \nabla U] \cdot d\mathbf{S} = \int [U \nabla^2 V - V \nabla^2 U] \, dv \quad (۵-۳)$$

اکنون فرض کنید $\psi(\mathbf{r}, t)$ جواب نردهای معادله موج با جمله محرک هماهنگ برحسب زمان باشد، یعنی

$$\nabla^2 \psi(\mathbf{r}, t) - \frac{1}{c^2} \frac{\partial^2 \psi(\mathbf{r}, t)}{\partial t^2} = -\rho(\mathbf{r}) e^{-i\omega t} \quad (۵-۴)$$

که در آن $\rho(\mathbf{r}) e^{-i\omega t}$ چشمه میدان است. جواب را به صورت زیر می نویسیم

$$\psi(\mathbf{r}, t) = u(\mathbf{r}) e^{-i\omega t}$$

که در آن $u(\mathbf{r})$ در معادله هلمهولتز با $k^2 = (\omega/c)^2$ صدق می کند:

$$\nabla^2 u(\mathbf{r}) + k^2 u(\mathbf{r}) = -\rho(\mathbf{r}) \quad (۵-۵)$$

روش تابع گرین چنین است حل این معادله به ازای چشمه $\rho(\mathbf{r})$ را به توزیع فضایی چشمه های نقطه ای $\delta(\mathbf{r} - \mathbf{r}_0)$ تقسیم می کنیم و سرانجام جواب را به صورت جمع تک تک جوابهای مربوط به چشمه های نقطه ای می نویسیم.

تک تک جوابها توابع گرین $G(\mathbf{r}|\mathbf{r}_0)$ را تشکیل می دهد

$$\nabla^2 G(\mathbf{r}|\mathbf{r}_0) + k^2 G(\mathbf{r}|\mathbf{r}_0) = -\delta(\mathbf{r} - \mathbf{r}_0) \quad (5-پ 6)$$

به زودی در می یابیم که اگر قرار باشد $G(\mathbf{r}|\mathbf{r}_0)$ در حل مسائل فیزیکی برای $\psi(\mathbf{r}, t)$ مفید باشد، شرایط مرزی $G(\mathbf{r}|\mathbf{r}_0)$ باید به صورت خاصی انتخاب شوند. مسئله می تواند به دو صورت باشد. نوع اول به گونه ای است که در معادله حرکت (5-پ 4) برای $\psi(\mathbf{r}, t)$ ، یعنی معادله ناهمگنی با شرایط مرزی مشخص آمده است. در نوع دوم مسئله، طرف راست (که جمله محرک است) در داخل حجم مورد نظر صفر است، و چشمه میدان فقط در مرز قرار دارد، مثلاً، کاواکی که توسط جریانهای دیواره هایش برانگیخته می شود. حتی در این صورت هم، چنانکه خواهیم دید، $G(\mathbf{r}, \mathbf{r}_0)$ که تابعی است که در معادله ناهمگن (5-پ 6) صدق می کند، را می توان برای حل مسئله دوم به کار برد. اگر چه در این پیوست تأکید بر روی معادله هلمهولتز است که از بستگی زمانی هماهنگهای نیروها در تابع موج حاصل می شود، مفهوم تابع گرین چنانکه در فصل 2 دیده ایم. به چشمه های میدان که وابستگی زمانی دلخواهی دارند نیز تعمیم می یابد، به علاوه، لازم نیست که تابع موج شکل متعارف (5-پ 4) را داشته باشد، مثلاً، معادله پواسون $\nabla^2 \phi = -\rho/\epsilon_0$ در الکتروستاتیک را هم می توان با تابع گرین حل کرد، چنانکه در فصل 4 دیدیم. در مکانیک موجی توابع گرین تا اندازه ای مرتبط با توابع حاضر نقش مهمی ایفا می کنند.

بگذارید به تابع گرین هلمهولتز $G(\mathbf{r}|\mathbf{r}_0)$ [به طور دقیق تر $G_k(\mathbf{r}|\mathbf{r}_0)$ ، $k = \omega/c$] بازگردیم. در (5-پ 5)، \mathbf{r}_0 را به جای \mathbf{r} می گذاریم و طرفین را در $G(\mathbf{r}|\mathbf{r}_0)$ ضرب می کنیم، سپس طرفین (5-پ 6) را در $u(\mathbf{r}_0)$ ضرب و از آن کم می کنیم. با $G(\mathbf{r}|\mathbf{r}_0) = G(\mathbf{r}_0|\mathbf{r})$ داریم

$$G(\mathbf{r}|\mathbf{r}_0)\nabla_0^2 u(\mathbf{r}_0) - u(\mathbf{r}_0)\nabla_0^2 G(\mathbf{r}|\mathbf{r}_0) = u(\mathbf{r}_0)\delta(\mathbf{r} - \mathbf{r}_0) - G(\mathbf{r}|\mathbf{r}_0)\rho(\mathbf{r}_0)$$

حال از طرفین روی حجم دلخواه \mathbf{r}_0 انتگرال می گیریم و انتگرال جمله ای که شامل ρ است را به طرف چپ می بریم، داریم

$$\begin{aligned} & \int \int \int [G(\mathbf{r}|\mathbf{r}_0)\nabla_0^2 u(\mathbf{r}_0) - u(\mathbf{r}_0)\nabla_0^2 G(\mathbf{r}|\mathbf{r}_0)] dv_0 \\ & + \int \int \int \rho(\mathbf{r}_0)G(\mathbf{r}|\mathbf{r}_0) dv_0 = u(\mathbf{r}) \text{ اگر } \mathbf{r} \text{ داخل حجم باشد} \\ & = 0 \text{ در غیر این صورت} \end{aligned}$$

بالاخره، می توانیم قضیه گرین را در اینجا به کار بندیم؛ (5-پ 3) برای اولین انتگرال حجمی بالا

نتیجه زیر را می دهد

$$u(r) = \oint [G(r|r_0) \nabla_0 u(r_0) - u(r_0) \nabla_0 G(r|r_0)] \cdot dS_0 + \iiint \rho(r_0) G(r|r_0) dv_0 \quad (5-پ ۷)$$

در رابطه بالا، r_0 در اولین انتگرال طرف راست بر روی سطح A_0 و در انتگرال دوم در داخل حجم قرار دارد.

رابطه (5-پ ۷) آن قدر مفید است که گاهی آن را «قاعده جادویی» نامند. مثلاً اگر در مسئله $u(r_0)$ بر روی مرز مشخص، اما $\nabla_0 u(r_0)$ بر روی مرز مجهول باشد، $G(r|r_0)$ را طوری انتخاب می کنیم که بر روی مرز صفر شود. همین طور می توانیم مسئله ای را که در آن گرادیان $u(r_0)$ بر روی مرز داده شده است حل کنیم (چگونه؟). همچنین می توان جواب را بدون توجه به اینکه $\rho(r_0)$ وجود دارد یا همه جا صفر است، به دست آورد.

مسئله 5-پ ۱. از «قاعده جادویی» (5-پ ۷) برای حل مسئله 3-۱5 که در آن تاری تحت کشش از انتهای $x = 0$ به حرکت در می آید، استفاده کنید. شکل مناسبی برای $G_k(x|x_0)$ چنین است

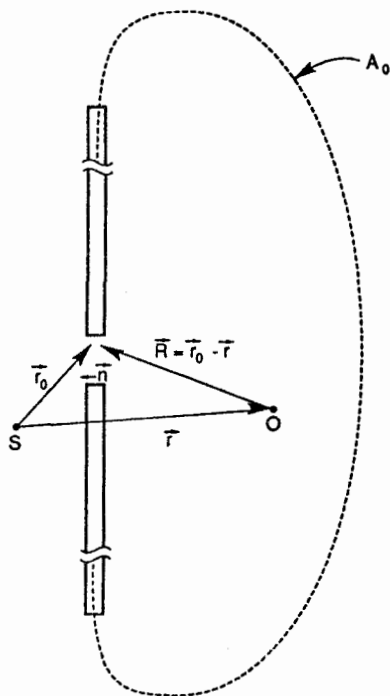
$$G_k(x|x_0) = \frac{1}{k \sin(kL)} \begin{cases} \sin(kx) \sin[k(x_0 - L)] & x \leq x_0 \\ \sin(kx_0) \sin[k(x - L)] & x > x_0 \end{cases}$$

(با استفاده از روشهای مسئله 4-۲۰ می توان تحقیق کرد که G_k در معادل یک بعدی رابطه (5-پ ۶) صدق می کند.)

برای اینکه صحت نتیجه را برای $y(x, t)$ امتحان کنید، حد $\omega \rightarrow 0$ را بیابید و آن را با حد متناظرش در عبارت حاصل از مسئله 3-۱5 مقایسه کنید. اگر (3-۲۸) را برای $G_k(x|x_0)$ به کار بریم چه می شود؟

اینک (5-پ ۷) را برای یافتن یک مؤلفه (قطبش) میدان الکتریکی $E(r)$ وقتی نور چشمه نقطه ای S به وسیله تک شکافی در مانع نامتناهی شکل 5-پ ۱ پراشیده می شود به کار می بریم. برای موج کروی گسیل شده در S ، که آن را به عنوان مبدأ مختصات، $r_0 = 0$ ، در نظر می گیریم، داریم

$$E(r_0) = E_0 \frac{e^{ikr_0}}{r_0} \quad (5-پ ۸)$$



شکل ۵- پ ۱- نوری که از چشمه نقطه‌ای S می‌آید، از تک‌شکاف پراشیده می‌شود و مؤلفه میدان الکتریکی $E(\mathbf{r})$ را در نقطه مشاهده O به وجود می‌آورد. قسمت خط چین مساحت A_0 در بینهایت با مانع و شکاف کامل می‌شود. \mathbf{n} بردار یکه‌ای است که جهت آن از شکاف به خارج است.

$E(\mathbf{r}_0)$ در رابطه بالا با $u(\mathbf{r}_0)$ در (۵- پ ۷) و $E(\mathbf{r})$ میدان مطلوب در نقطه مشاهده O، با $u(\mathbf{r})$ یکسان است. سطح انتگرال‌گیری A_0 متشکل از خط چین مشخص شده در شکل است که با شکاف و مانع کامل می‌شود. انتخاب صحیح برای $G(\mathbf{r}|\mathbf{r}_0)$ موجی است که از \mathbf{r} دور می‌شود

$$G(\mathbf{r}|\mathbf{r}_0) = \frac{e^{ik|\mathbf{r}_0 - \mathbf{r}|}}{|\mathbf{r}_0 - \mathbf{r}|} \quad (۵- پ ۹)$$

ملاحظات آنکه $E(\mathbf{r}_0)$ را در (۵- پ ۸) مشخص می‌کنند برای $G(\mathbf{r}|\mathbf{r}_0)$ در (۵- پ ۹) هم صادق است، هر دو عبارت در معادله‌های موجی که طرف راست آنها دارای تکنیکی مناسب است صدق می‌کنند. دقت کنید که $G(\mathbf{r}|\mathbf{r}_0) = G(\mathbf{r}_0|\mathbf{r})$ ، به عبارت دیگر اصل دوجانبگی برقرار است، و همواره برای G برقرار خواهد بود. قسمت خط چین سطح A_0 در بینهایت است، و از دو حالت ممکن، موج دورشونده یا نزدیک‌شونده، اولین حالت را باید در نظر بگیریم. به علاوه، وضعیت فیزیکی را با این شرط که انتگرال سطحی در (۵- پ ۷) بر روی مانع صفر است مشخص‌تر می‌کنیم. به عبارت دیگر $u(\mathbf{r}_0)$ و گرادیان آن بر روی مانع صفر می‌شوند، در حالی که در داخل شکاف، $u(\mathbf{r}_0)$ و گرادیان آن با استفاده از (۵- پ ۸) به دست می‌آیند - بازتابی وجود ندارد که

موج بازگشتی را به درون شکاف بفرستد. بدین ترتیب با استفاده از (۵-پ ۸) داریم،

$$\mathbf{n} \cdot \nabla_0 u(\mathbf{r}_0) = -E(\mathbf{r}_0) \left(\frac{1}{r_0} - ik \right) \frac{\mathbf{r}_0}{r_0} \cdot \mathbf{n} \quad (۵-پ ۱۰ الف)$$

و با استفاده از (۵-پ ۹)

$$\mathbf{n} \cdot \nabla_0 G(\mathbf{r}|\mathbf{r}_0) = G(\mathbf{r}|\mathbf{r}_0) \left(\frac{1}{|\mathbf{r} - \mathbf{r}_0|} - ik \right) \frac{\mathbf{r} - \mathbf{r}_0}{|\mathbf{r} - \mathbf{r}_0|} \cdot \mathbf{n} \quad (۵-پ ۱۰ ب)$$

چون طول موج نور، $2\pi/k$ ، در مقایسه با فاصله‌های r_0 یا $|\mathbf{r}_0 - \mathbf{r}|$ کوچک است، فقط جمله دومی که در پرانتز در (۵-پ ۱۰) قرار دارد، نگه داشته می‌شود. با قرار دادن (۵-پ ۸ تا ۱۰) در (۵-پ ۷) و در نظر گرفتن اینکه \mathbf{n} بردار یکه‌ای است که جهتش مطابق شکل ۵-پ ۱ از مانع روبه بیرون است، داریم:

$$E(\mathbf{r}) = ik \int_{\text{شکاف}} \left\{ E(\mathbf{r}_0) G(\mathbf{r}|\mathbf{r}_0) \left[\frac{\mathbf{n} \cdot \mathbf{r}_0}{r_0} - \frac{(\mathbf{r}_0 - \mathbf{r}) \cdot \mathbf{n}}{|\mathbf{r}_0 - \mathbf{r}|} \right] \right\} dS_0$$

$$= ikE_0 \int_{\text{شکاف}} \frac{e^{ik(\mathbf{r}_0 + \mathbf{r}_0 - \mathbf{r})}}{(r_0)|\mathbf{r}_0 - \mathbf{r}|} \left[\frac{\mathbf{n} \cdot \mathbf{r}_0}{r_0} - \frac{\mathbf{n} \cdot (\mathbf{r}_0 - \mathbf{r})}{|\mathbf{r}_0 - \mathbf{r}|} \right] dS_0 \quad (۵-پ ۱۱)$$

اگر چشمه به جای نقطه S نزدیک به پرده از آن بسیار دور باشد، موج تخت فرودی $E_0 e^{ik \cdot \mathbf{r}_0}$ را خواهیم داشت و $E(\mathbf{r})$ چنین خواهد بود

$$E(\mathbf{r}) = -ikE_0 \int_{\text{شکاف}} \frac{e^{ik \cdot \mathbf{r}_0} e^{ik|\mathbf{r}_0 - \mathbf{r}|}}{|\mathbf{r}_0 - \mathbf{r}|} \left[\frac{\mathbf{n} \cdot (\mathbf{r}_0 - \mathbf{r})}{|\mathbf{r}_0 - \mathbf{r}|} + 1 \right] dS_0 \quad (۵-پ ۱۲)$$

در اینجا \mathbf{r}_0 را باید موازی $-\mathbf{n}$ در نظر گرفت، یعنی در جهت موج فرودی k ، به طوری که $e^{ik \cdot \mathbf{r}_0}$ ضریب فازی باشد. که بر روی سطح شکاف ثابت است و بتوان آن را از انتگرال بیرون آورد. جمله‌ای که در کروشه قرار دارد «ضریب مایل بودن» نام دارد که در بخش ۵-۲ ذکر شد. واضح است که برای تغییر مسیرهای معمول چند درجه یا کمتر می‌توان این ضریب را هم ثابت فرض کرد. به این ترتیب (۵-پ ۱۲) به (۵-پ ۷) می‌انجامد.

برای مطالعه بیشتر

خوانندگانی که با اپتیک فیزیکی آشنایی قبلی ندارند، بهتر است از این کتاب که در سطح مقدماتی تر به این مبحث پرداخته است، کمک بگیرند.

G. R. Fowles: *Introduction to Modern optics* (Holt, Rinehart and winston, New York 1967)

این کتاب که در سطح متوسطی به مبحث مورد نظر پرداخته است، ممکن است برای خواننده مفید باشد.

M. Born, E. Wolf: *Principles of optics* (Pergamon, New York 1959)

ارجمندترین رساله‌ای که در طول دوران درباره این مبحث نوشته شده است.

مکانیک موجی

چکیده

نیاز به یک معادله موج، با توجه به رابطه دوبروی برای ذرات و توصیفی که بور از مدارهای اتمی با بستگی فضایی دوره‌ای ارائه داد، احساس شد. انگیزه نوشتن معادله موج شرودینگر از معادله‌های موج کلاسیک فصلهای ۳ و ۴ به دست آمد. سه اصل موضوع مکانیک موجی یعنی اینکه هر مشاهده‌پذیر متناظر با یک عملگر است، اینکه تنها مقادیر ممکن در اندازه‌گیری ویژه مقادیر هستند، و اینکه مقادیر میانگین را می‌توان با معادله موج شرودینگر پیش‌بینی کرد، بیان می‌شوند. نقش خاص ویژه توابع انرژی در به دست دادن حالت‌های مانا و همچنین نقش خاص ویژه تابعهای مختصاتی در به دست دادن تعبیر فیزیکی تابع موج توصیف می‌شود. سپس تحلیل انتشار ذره آزاد برحسب بسته موج به دنبال می‌آید، که مبنایی برای نمایش اصل عدم قطعیت هایزنبرگ خواهد بود. بخش ۴-۶ به دوگانگی موج-ذره و ابهام می‌پردازد و نتیجه می‌گیرد که اینها تصورات ما از دنیایی منظم را برهم نمی‌زنند. بالاخره، بخش ۵-۶ مربوط به طرح کلی پدیده‌های متنوعی است که به‌طور کمی با استفاده از مکانیک کوانتومی توصیف شده‌اند. مثال ۴-۶ و مسئله ۴-۶-۱۴ به پدیده‌های وابسته به زمان در مکانیک موجی می‌پردازد که به ترتیب با نوسانگر طبیعی و واداشته در مکانیک کلاسیک متناظرند.

۱-۶ منشأ معادله موج شرودینگر

در فصل قبل دیدیم که در آغاز قرن سیستم بحرانی در اپتیک وجود داشت. توصیف اینشتین از اثر فوتوالکتریک سرآغاز دوگانگی موج- ذره‌ای برای تابش EM بود، زیرا معلوم شد که نور نه تنها سرشت موجی دارد بلکه می‌تواند به صورت ذره، فوتون، نیز رفتار کند. گذشته از آن، تابش جسم سیاه را نیز باید توضیح می‌دادند. مدل ایده‌آل برای جسم سیاه، یک کاواک است. اگر کاواکی الکترومغناطیسی، مانند آنچه در فصل ۴ در نظر گرفتیم، داشته باشیم. شدت تابشی را که از سوراخ کوچکی در دیواره کاواک بیرون می‌آید را می‌توان برحسب بسامد تابش، اندازه گرفت. سوراخ از بیرون کاملاً جذب‌کننده تابش، یا سیاه، به نظر می‌رسد و تابش گسیل شده دقیقاً همانند تابش جسم سیاه خواهد بود. اگر دمای دیواره‌های کاواک را به دقت در مقدار T نگه داریم، با توجه به مکانیک آماری کلاسیک هر مد طبیعی کاواک انرژی خاصی را تابش می‌کند که فقط به بسامد طبیعی آن ν و به T بستگی دارد. (مکانیک آماری نظریه‌ای میکروسکوپی است که برای تبیین ترمودینامیک به کار می‌رود.) اما تابش پیش‌بینی شده کل بسیار بیشتر از آنچه مشاهده می‌شد بود، در واقع در بالاترین بسامد واگرا می‌شد. همان‌طور که در فصل ۵ گفتیم، پلانک قانون تجربی جدیدی به دست آورد که تابش هر مد را برحسب ν و T می‌داد. این قانون جدید شامل ثابت فیزیکی h ، یعنی ثابت پلانک، بود.

به گفته اروین شرودینگر (۱۸۸۷ - ۱۹۶۱)، فیزیکدان اتریشی «مکانیک موجی در آمار متولد شد» (مکانیک آماری). افتخار پیشنهاد خوب نسبت دادن سرشت موجی به ذرات مادی برای اولین بار نصیب لویی دو بروی (۱۸۹۲ - ۱۹۸۷) فیزیکدان فرانسوی شد. دو بروی در سال ۱۹۲۲ توانست فرمولی تقریبی برای قانون تابش پلانک را مستقیماً از مکانیک آماری و با استفاده فرمولی اینشتین $E = h\nu$ برای فوتونها، به دست آورد. در تحلیل تابش درون کاواک به عنوان گاز فوتونی، دو بروی همواره مدل سنتی جنبشی گازها و مکانیک آماری را به خاطر می‌آورد. آن‌طور که بعدها گفت، «ناگهان» دریافتم که بحران موجود در اپتیک به دلیل عدم درک دوگانگی عمومی امواج و ذرات است. برخی ایده‌های خاص او درباره «هماهنگی فازها» باعث شد که قانونی را که در آن هنگام برای فوتونها حدس زده شده بود به تمام ذرات مادی تعمیم دهد. رابطه معروف دو بروی چنین است

$$\lambda = \frac{h}{p} \quad (۱-۶)$$

که در آن λ طول موج ذره مادی و یا فوتون است، h ثابت پلانک و p تکانه ذره است.

هنگامی که تابش EM جذب می‌شود، میدان الکتریکی نیرویی بر بارهای موجود در جذب‌کننده وارد می‌کند. در زمان تحقیقات دوبروی، می‌دانستند که بنابه نظریه کلاسیک الکترومغناطیس، جذب انرژی U به انتقال تکانه U/c به جذب‌کننده انرژی می‌انجامد. بنابراین، حدس زده می‌شد که برای فوتون با $U = h\nu$ ، مطابق رابطه (۱-۶)، $p = (h\nu)/c = (h)/(\lambda)$ است. کامپتون، فیزیکدان امریکایی در ۱۹۲۳ این رابطه را برای فوتونها تأیید کرد، آزمایش او پراکندگی پرتوهای x از الکترونهای هدف گرافیت بود. او متوجه شد که طول موج فوتونهای پراکنده شده تغییر می‌کند و این تغییر با تغییر تکانه آنها متناسب است.

برای اهداف ما مهم است که رابطه (۱-۶) را در سال ۱۹۲۷ کلینتون دیوسون و لسترگرمر در امریکا و مستقل از آنها، سر جورج تامسون در بریتانیا به لحاظ تجربی تأیید کردند. آزمایشهای آنها شامل پراش باریکه‌های الکترونی از بلورها بود و از همان نظریه پراش پرتو x که در انتهای فصل قبل آمد استفاده می‌کرد. امروزه، میکروسکوپهای الکترونی، که کاربرد مستقیم رابطه دوبروی هستند (به بخش مسائل نگاه کنید)، به صورت ابزار علمی رایجی در آمده‌اند.

رابطه دوبروی برای ذرات مادی به جستجوی یک معادله موج انجامید. ایده سرشت موجی ماده را مفهوم تناوبی بودن مدارهای اتمی در فضا، که از فیزیک اتمی به دست آمده بود، تقویت کرد. نیلس بور، فیزیکدان دانمارکی (۱۸۸۵ - ۱۹۶۲) نشان داده بود که تکانه زاویه‌ای الکترون به مضربهای صحیح $h/2\pi$ «کوانتیده» است. کشف معادله موج می‌توانست به درک پدیده‌ها در مقیاس اتمی و احتمالاً زیراتمی بینجامد که به تدریج روشن می‌شد، فیزیک شناخته شده در سال ۱۹۲۴ قادر به توجیه آن نیست.

براساس آنچه آموخته‌ایم شاید انتظار تابع موج زیربنایی $\psi(x, t)$ را که به x و t وابسته است (فعالاً فقط یک بعد را در نظر می‌گیریم) داشته باشیم. این تابع ممکن است یک تابع هماهنگ مثلاً به صورت زیر باشد

$$\psi(x, t) = u(x)v(t) \quad (۲-۶ \text{ الف})$$

$$u(x) = \sin kx \quad (۲-۶ \text{ ب})$$

$$v(t) = \sin \omega t \quad (۲-۶ \text{ ج})$$

بردار موج k ، $k = (2\pi)/\lambda$ ، از طریق (۱-۶) به تکانه p مربوط می‌شود،

$$k = \frac{p}{\hbar} \quad (۵۲-۶)$$

و ω از طریق رابطه اینشتین به انرژی کل E مربوط است،

$$\omega = \frac{E}{\hbar} \quad (۵۲-۶)$$

در اینجا \hbar همانند فصل ۵ برابر است با $\hbar/2\pi$ ، یعنی برابر است با ثابت پلانک تقسیم بر 2π . بخش فضایی معادله‌های موجی که در فصل ۳ و ۴ با آنها سروکار داشتیم، در یک بعد چنین است

$$\frac{d^2 u(x)}{dx^2} + k^2 u(x) = 0$$

اگر p/\hbar را به جای k بگذاریم (۵۲-۶) و توجه کنیم که

$$\frac{p^2}{2m} = T \quad (۳-۶ \text{ الف})$$

$$= E - V(x) \quad (۳-۶ \text{ ب})$$

که در آن m جرم ذره، T انرژی جنبشی، E انرژی کل و $V(x)$ انرژی پتانسیل مستقل از زمان است، داریم

$$\left[-\frac{\hbar^2}{2m} \frac{d^2}{dx^2} + V(x) \right] u(x) = Eu(x) \quad (۳-۶ \text{ ج})$$

معادله (۳-۶ ج) معادله شرودینگر مستقل از زمان به صورتی است که کاشف بزرگ آن در سال ۱۹۲۵ نوشت. شرودینگر، با تعمیم این معادله به سه بعد و انتخاب پتانسیل کولنی هسته هیدروژن به عنوان $V(r)$ بلافاصله توانست انرژی اوربیتالهای مانای اتم هیدروژن را محاسبه کند. سپس این انرژیها با آنچه طیف نورگاز هیدروژن اتمی از اختلاف بین انرژی اوربیتالها به دست می‌داد مقایسه شد. معادله موج کامل برای تارکشیده چنین است

$$\frac{\partial^2 y}{\partial x^2} = \frac{1}{s^2} \frac{\partial^2 y}{\partial t^2} \quad (۳-۳)$$

با توجه به طرف راست معادله، یعنی $\partial^2 \psi / \partial t^2$ مشکل بزرگی مطرح می‌شود. حاصل دوبار مشتق گرفتن از $v(t)$ همراه با معادله اینشتین (۵۲-۶)، به جای $E\psi$ که با طرف چپ معادله توازن برقرار می‌کند، به $E^2 \psi$ می‌انجامد. در واقع، می‌توان فرض کرد که طرف راست فقط شامل یک بار مشتق‌گیری نسبت به زمان است. این فرض مشکل دیگری را به وجود می‌آورد. اگر قرار باشد جوابی برای معادله دیفرانسیل درجه اول به دست آوریم، این جواب باید به جای تابعی مثلثاتی یک

تابع نمایی باشد. به علاوه، برای اینکه در حد $t \rightarrow \pm\infty$ جواب حاصل بینهایت یا به صورت نمایی تضعیف نشود بلکه موج به وجود آورد، نمای جواب معادله باید موهومی باشد. در نتیجه، معادله موج وابسته به زمان شرودینگر، نهایی چنین است

$$\left[\frac{-\hbar^2}{2m} \frac{\partial^2}{\partial x^2} + V(x) \right] \psi(x, t) = i\hbar \frac{\partial \psi(x, t)}{\partial t} \quad (۴-۶)$$

اگر در (۴-۶)، پتانسیل $V(x)$ را صفر بگیریم، به آسانی می توان تحقیق کرد که جواب زیر به دست می آید

$$\psi(x, t) = e^{i(kx - \omega t)} \quad (۵-۶ الف)$$

و داریم

$$\hbar\omega = \frac{\hbar^2 k^2}{2m} \quad (۵-۶ ب)$$

به علاوه، با به کار گرفتن (۵-۶ د) و (۵-۶ ه) داریم

$$E = \frac{p^2}{2m} \quad (۵-۶ ج)$$

که نتیجه مطلوب برای ذره آزاد است.

برای مسئله کلی پتانسیل $V(x)$ مخالف صفر، معادله (۴-۶) را باید کلی تر از (۵-۶ ج) در نظر گرفت. معادله اخیر را می توان با جواب آزمایشی رابطه (۵-۶ الف)، $u(x)v(t)$ ، که در بخش مسائل خواهیم دید، از معادله (۴-۶) به دست آورد. داریم

$$v(t) = e^{-i\omega t} \quad (۶-۶)$$

$$\omega = \frac{E}{\hbar} \quad (۵-۶ ه)$$

یعنی، بسامد اینشتین برای انرژی کل E حاصل می شود. به همراه آن، $u(x)$ در معادله شرودینگر مستقل از زمان، (۵-۶ ج)، که در پیش بینی ساختار اتمی بسیار موفقیت آمیز بود، صدق می کند. در واقع، معادله موج وابسته به زمان شرودینگر، (۴-۶)، معادله موج غیر نسبیستی معتبر برای ماده است. بالاخره، متوجه می شویم که همه بحث موجود در این فصل به پتانسیلهای مستقل از زمان $V(x)$ ، یعنی به سیستمهای بسته با انرژی ثابت، محدود می شود. این قید است که جداسازی متغیرهای فضا و زمان را ممکن می سازد. خود معادله (۴-۶) هم اگر به جای $V(x)$ بگذاریم $V(x, t)$ برای پتانسیلهای وابسته به زمان معتبر است. اما حل معادله اغلب دشوارتر می شود و به روشهای به اصطلاح اختلالی نیاز پیدا می کند.

۶-۲ اصول موضوع مکانیک موجی

چه ارتباطی بین تابع موج شرودینگر $\psi(x, t)$ بخش قبل و پدیده‌های فیزیکی وجود دارد؟ پاسخ این سؤال در ۱۹۲۵ به هیچ‌وجه روشن نبود، خصوصاً با توجه به سرشت $\psi(x, t)$ که متغیری مختلط بود. توضیح مفهوم $\psi(x, t)$ حاصل تلاش فیزیکدانان بسیار بود که باهم کار می‌کردند به‌ویژه نیلس بور در کپنهاگ، ماکس بورن (۱۸۸۲-۱۹۷۰)، پاسکوال جوردن (۱۹۰۲-۱۹۸۰) و ورنر هایزنبرگ (۱۹۰۱-۱۹۷۶)، هر سه در گوتینگن، پل دیراک (۱۹۰۲-۱۹۸۴) در کمبریج و خود شرودینگر که در آن هنگام در زوریخ بسر می‌برد. شرودینگر ارتباط بین نتایج معادله موج خود و نتایج محاسبات ماتریسی هایزنبرگ را در تابستان ۱۹۲۵ کشف کرد. (عبارت مکانیک موجی روشی بر پایه معادله موج شرودینگر است، و به همراه مکانیک ماتریسی معادل با آن، دو روشی هستند که مکانیک کوانتومی را تشکیل می‌دهند.)

اصول موضوع مکانیک موجی به قرار زیر هستند:

۱. هر کمیت مشاهده‌پذیر فیزیکی با عملگری متناظر است. عملگرها جانشین توابع ساده فیزیک کلاسیک هستند. جدول زیر که برای محاسبات سه‌بعدی ذره‌ای به جرم m مناسب است مطلب را توضیح می‌دهد:

مشاهده‌پذیر	تابع کلاسیک	عملگر کوانتوم مکانیکی
مکان در مختصات و دکارتی	$r = xi + yj + zk$	$r = xi + yj + zk$
تکانه	$m \left[\left(\frac{dx}{dt} \right) i + \left(\frac{dy}{dt} \right) j + \left(\frac{dz}{dt} \right) k \right]$	$\left(\frac{\hbar}{i} \right) \nabla$
انرژی جنبشی	$\frac{p^2}{2m}$	$-\frac{\hbar^2 \nabla^2}{2m}$
انرژی کل	$\frac{p^2}{2m} + V(r)$	$-\frac{\hbar^2 \nabla^2}{2m} + V(r)$

۲. تنها مقادیر ممکن حاصل از اندازه‌گیری مشاهده‌پذیری که عملگر متناظر با آن Q است، ویژه مقادیرهای q_l و q_n ، معادله‌های زیر هستند:

$$Q u_n(\mathbf{r}) = q_n u_n(\mathbf{r}) \quad n = 1, 2, 3, \dots \quad (۶-۷ الف)$$

$$Q u_l(\mathbf{r}) = q_l u_l(\mathbf{r}) \quad \infty > l > -\infty \quad (۶-۷ ب)$$

در اینجا، توابع $u_n(\mathbf{r})$ و $u_l(\mathbf{r})$ باید متناهی، پیوسته و تک‌مقدار باشند و در شرایط مرزی مخصوص مسئله فیزیکی صدق کنند. با نوشتن معادله‌های (۶-۷ الف و ب) بین توابعی که ویژه مقادیر گسسته دارند، (۶-۷ الف) و توابعی با ویژه مقادیر پیوسته (۶-۷ ب)، که در آنها l متغیری پیوسته است، تفاوت قائل شده‌ایم.

(در عمل، عملگر Q به همراه شرایط مرزی مشخص می‌کنند که آیا با ویژه مقادیر پیوسته سروکار داریم یا ویژه مقادیر گسسته و یا هر دو.) به علاوه، $u_n(\mathbf{r})$ و $u_l(\mathbf{r})$ باید هنجارپذیر باشند. در یک بُعد، بهنجارش برای اولین نوع ویژه تابع، $u_n(x)$ به صورت زیر است

$$\int_{-\infty}^{\infty} u_n^*(x) u_{n'}(x) dx = \delta_{nn'} \quad (۶-۸ الف)$$

برای نوع دوم داریم:

$$\int_{-\infty}^{\infty} u_l^*(x) u_l(x) dx = \delta(l' - l) \quad (۶-۸ ب)$$

در اینجا $\delta_{nn'}$ دلتای کرونگر و $\delta(l' - l)$ تابع دلتای دیراک است. تمام توابع $u(x)$ متعلق به هر عملگر، پایه‌ای راست هنجار را تشکیل می‌دهند. (پایه ممکن است شامل توابعی با ویژه مقادیر گسسته یا پیوسته یا هر دو باشند.) فعلاً، باید با چند مثال نشان دهیم که معنای ویژه تابع و ویژه مقدار چیست.

فرض کنید عملگر Q عملگر انرژی کل باشد، $Q = H$ ، معمولاً از عملگر انرژی کل، H ، که به افتخار سیر هامیلتون (۱۸۰۵-۱۸۶۵)، که مکانیک کلاسیک نیوتونی را برحسب اصول وردشی فرمولبندی کرد استفاده می‌کنند و آن را هامیلتونی نامند. تعمیم معادله (۶-۷) به سه بُعد به صورت زیر است

$$H u_n(\mathbf{r}) = E_n u_n(\mathbf{r}) \quad (۶-۹)$$

مسئله‌ای را در نظر می‌گیریم که قبلاً هم از آن یاد کرده‌ایم، یعنی حرکت الکترون در اتم هیدروژن،

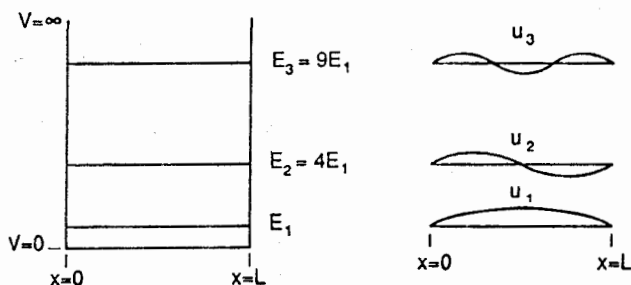
$$H = \frac{-\hbar^2 \nabla^2}{2m} - \frac{e^2}{4\pi\epsilon_0 r} \quad (۶-۱۰)$$

که در آن e ، بار الکترون است. همان‌طور که مشاهده می‌کنیم، H مجموع انرژی جنبشی و پتانسیل کولنی هسته است؛ هسته، ساکن در نظر گرفته می‌شود. فرض کنید که خود را به حالت‌های

مقید محدود کنیم، یعنی حالت‌های که اتم هیدروژن به الکترون و هسته تجزیه نمی‌شود، یعنی به حالت‌هایی که در آن $E < 0$. خواننده فرض خواهد کرد که (۹-۶) را می‌توان به‌ازای هر مقدار E حل کرد، و همین‌طور هم هست. اما، در فصل ۳ دیده‌ایم که اعمال شرایط مرزی جوابهای فیزیکی معادلهٔ دیفرانسیل را محدود می‌کند. شرایط مرزی برای $u_n(r)$ را شرایط بهنجارش (۸-۶) مشخص می‌کند. بدیهی است که $u_n(r)$ باید با بینهایت شدن r به صفر میل کند، این کار باید به صورت $(1/r)$ یا سریعتر صورت گیرد.

محاسبه نشان می‌دهد که برای $E < 0$ فقط برخی مقادیر گسستهٔ E ، یعنی E_1, E_2, E_3, \dots ، به جوابهای (۹-۶) می‌انجامند که در شرایط مرزی صدق می‌کنند. این مقادیر گسستهٔ E ، ویژه مقادیرها هستند. این مقادیر دقیقاً همان «مقادیر ممکن انرژی کل» اصل موضوع، هستند. (بحث پیرامون اینکه در حالت $E > 0$ چه رخ دهد. در فصل ۷ خواهد آمد.) برای اتم هیدروژن با $E < 0$ ، ویژه مقادیرها، ترازهای انرژی کوانتومی هستند که خواننده ممکن است آنها را فیزیک جدید مقدماتی یا شیمی دیده باشد. اما، توابعی که جواب معادلهٔ دیفرانسیل جزئی حاصل از یک ترکیب (۹-۶) و (۱۰-۶) هستند ممکن است توابعی شناخته شده نباشند. در واقع، اگرچه شرودینگر ریاضیدان قابلی بود، برای حل کامل مسئله در ۲۵-۱۹۲۴ مجبور شد با یک دوست ریاضیدان مشورت کند. (امروزه فیزیکدانها زیر و بم این توابع را یاد می‌گیرند. برای جواب مربوط به تراز با کمترین انرژی به مسئله ۳-۶ مراجعه کنید.) اما، مسئله مهمی وجود دارد که می‌توانیم آن را به تفصیل حل کنیم، و در اینجا آن را برای نشان دادن ویژه توابع و ویژه مقادیر حل می‌کنیم.

ذره‌ای به جرم m را در پتانسیل یک بُعدی در نظر می‌گیریم، شکل ۱-۶:



شکل ۱-۶ در طرف چپ، چاه پتانسیلی با دیوارهای عمودی بینهایت به همراه سه تراز اول انرژی نشان داده شده است. در طرف راست، توابع موج مستقل از زمان $u_n(x)$ متناظر با هریک از ترازها نشان داده شده است.

$$V(x) = 0 \quad l \geq x \geq 0$$

$$V(x) = \infty \quad x > L, x < 0 \quad (۱۱-۶)$$

این مسئله در فیزیک جدید اهمیت بسیار دارد، زیرا به عنوان مدلی ساده برای پروتونها و نوترونهای مقید x درون هسته و الکترونهای مقید در بلور فلزی به کار می‌رود. همچنین، مستقیماً به مدل فوتونهای مقید در کاواک مربوط می‌شود، که در نظریه تابش جسم سیاه بررسی می‌شود (براساس مسئله مدهای طبیعی کاواک که در فصل ۴ فرمولبندی شد، همچنین نگاه کنید به بخش ۵-۶).

در جعبه یک‌بعدی، معادله (۹-۶) چنین نوشته می‌شود

$$-\frac{\hbar^2}{2m} \frac{d^2 u_n(x)}{dx^2} = E_n u_n(x) \quad (۱۲-۶)$$

دقت کنید که توابع $u_n(x)$ را مستقل از زمان در نظر گرفته‌ایم. اگر عملگری که در معادله ویژه تابعی (۷-۶) ظاهر می‌شود مستقل از زمان باشد، همواره می‌توانیم این فرض را بکنیم. در این صورت همواره می‌توان معادله (۷-۶) را با روش جداسازی متغیرها، یعنی از طریق حل آزمایشی (۲الف) حل کرد. بیرون جعبه که پتانسیل بینهایت است هیچ جوابی غیر از $u_n(x) = 0$ برای (۳-۶) وجود ندارد. بنابراین شرایط مرزی را برای $u_n(x)$ چنین در نظر می‌گیریم

$$u_n(L) = u_n(0) = 0 \quad (۱۳-۶)$$

بجز برای برخی جمله‌های ثابت، (۱۲-۶) و (۱۳-۶) همان (۳-۹ب) و (۳-۱۳) هستند که مدهای طبیعی تار به طول L را که دو سر آن ساکن است به دست می‌دهند. بنابراین جوابهای آشنای زیر را داریم

$$u_n(x) = \sqrt{\frac{2}{L}} \sin\left(\frac{n\pi x}{L}\right), \quad n = 1, 2, 3, \dots \quad (۱۴-۶)$$

که در آن، $u_n(x)$ بهنجار است، یعنی در رابطه (۸-۶الف) صدق می‌کند. با جانشین‌سازی ویژه مقادیر انرژی را به دست می‌آوریم:

$$E_n = \frac{\hbar^2 k_n^2}{2m} \quad (۱۵-۶الف)$$

$$k_n = \frac{n\pi}{L} \quad (۱۵-۶ب)$$

باز هم، ترازهای انرژی موجود کوانتیده هستند.

چون عملگر H عملگر وابسته به مکان در معادله وابسته به زمان شرودینگر (۴-۶) است، ویژه تابعها و ویژه مقدارهای H ، شکل کلی جواب (۴-۶) را نیز به دست می‌دهد:

$$\psi(x, t) = \sum_{n=1}^{\infty} A_n u_n(x) e^{-iE_n \frac{t}{\hbar}} \quad (۱۶-۶)$$

که در آن A_n ثابتهای مستقل از زمان هستند و با شرط اولیه $\psi(x, 0)$ داده می‌شوند.

تابع $u_n(x)$ هم نمونه‌ای از ویژه تابع هستند. یافتن مدهای بهنجار در مکانیک کلاسیک مثال خاصی از روش ریاضی کلی‌تر یافتن ویژه تابعها و ویژه مقدارهاست.

معلوم شده است که برای هر عملگری که در مکانیک کوانتومی به کار می‌رود، ویژه مقدارها حقیقی هستند. (این عملگرهای با ویژه مقدار حقیقی، عملگرهای هرمیتی نام دارند.) چون ویژه مقدارها، مقادیر ممکن کمیت‌های مشاهده‌پذیر هستند، بدیهی است برای یک نظریه سازگار باید ویژه مقدارها حقیقی باشند.

اکنون فرض کنید طول جعبه یک بعدی شکل ۱-۶، یعنی L ، بزرگ شود، یعنی $L \rightarrow \infty$ ، و در پی ویژه مقدارهای عملگر تکانه

$$p_x = -i\hbar \frac{\partial}{\partial x}$$

باشیم. بنابراین، معادله‌ای که باید حل کنیم چنین است

$$-i\hbar \frac{\partial}{\partial x} u(x) = p_k u(x) \quad (۱۷-۶)$$

در اینجا هم جوابها دم دست هستند. از فصل ۱، داریم

$$u_k(x) = \frac{1}{\sqrt{2\pi}} e^{ikx} \quad (۱۸-۶)$$

با

$$p_k = \hbar k \quad (۱۹-۶)$$

رابطه (۱۹-۶) تکانه p و عدد موج k را به هم مربوط می‌کند، و همان‌طور که انتظار می‌رود با رابطه دوبروی نیز سازگار است. اگر فرض کنیم $L \rightarrow \infty$ ، یعنی مرزها تأثیری در مسئله نداشته باشند، آنگاه هر مقداری از k مجاز است و ویژه مقدارها پیوسته هستند. بنابراین با استفاده از (۱۸-۶) داریم

$$\int_{-\infty}^{\infty} u_{k'}^*(x) u_k(x) dx = \delta(k' - k) \quad (۱۹-۶)$$

در واقع مشاهده می‌کنیم که با همان توابع $u_k(x)$ که قبلاً در رابطه (۱-۳۲ الف) فصل ۱ تعریف شدند سروکار داریم. عبارت ریاضی دقیق متناظر با (۶-۱۹) چنین است

$$\int_{-\infty}^{\infty} u_{k'}^*(x) u_k(x) e^{-\frac{x}{n}} dx = g_n(k - k'), \quad (۱-۳۲)$$

و می‌دانیم که به حد $n \rightarrow \infty$ علاقه مندیم. در حالت کلی، در فیزیک نتیجه‌ای که در (۶-۱۹) آمده است را مستقیماً می‌نویسیم و به‌کار می‌بریم، اما اگر مطمئن نیستیم که محاسبه خاصی موجه است، به فرمولبندی دقیق‌تر فصل ۱ باز می‌گردیم. سرانجام، ویژه تابعهای متغیر x را به دست می‌آوریم:

$$x u_{\xi} = \xi u_{\xi}(x) \quad (۶-۲۰)$$

بدیهی است که جواب این معادله به‌ازای $\xi \neq x$ صفر است. دیراک کشف کرد که در مکانیک کوانتومی به تابع دلتا نیاز است. با استفاده از آن داریم.

$$u_{\xi}(x) = \delta(x - \xi) \quad (۶-۲۱)$$

که مجدداً با بهنجارش (۶-۸ ب)، داریم:

$$\int_{-\infty}^{\infty} \delta(x - \xi) \delta(x - \xi') dx = \delta(\xi - \xi') \quad (۶-۲۲)$$

خواننده شاید علاقه‌مند باشد برای فرمولبندی (۶-۲۰) و (۶-۲۱) برحسب نظریه توابع تعمیم‌یافته، به مثال ۱-۴ رجوع کند.

اگر L متناهی باشد، چه بر سر ویژه تابعهای تکانه می‌آید؟ پاسخ این سؤال که آن را به‌زودی بهتر خواهیم فهمید، این است که جوابی برای (۶-۱۷) که در شرایط مرزی (۶-۱۳) صدق کند وجود ندارد. به‌ویژه، خواننده می‌تواند تحقیق کند که ویژه حالت‌های $u_m(x)$ رابطه (۶-۱۴) در (۶-۱۷) صدق نمی‌کنند. (واژه، «حالت» در ویژه حالت تلویحاً نشان می‌دهد که ویژه تابع، وضعیت و رفتار ذره - یعنی حالت آن - را تعریف می‌کند.) بنابراین، اکنون این سؤال مطرح می‌شود که اگر تابع موج شرودینگر $\psi(x, t)$ ویژه تابع عملگری که متناظر با کمیت مشاهده‌پذیر مورد نظر ماست، نباشد، چه اتفاقی می‌افتد.

۳. هنگامی که تابع موج ذره $\psi(x, t)$ است، میانگین انتظاری دنباله‌ای از اندازه‌گیریهای کمیت مشاهده‌پذیر که عملگر آن Q است، از رابطه زیر به دست می‌آید

$$\bar{Q}(t) = \int_{-\infty}^{\infty} \psi^*(x, t) Q \psi(x, t) dx \quad (۲۳-۶ \text{ الف})$$

به شرطی که $\psi^*(x, t)$ طبق رابطه زیر بهنجار شده باشد،

$$\int_{-\infty}^{\infty} \psi^*(x, t) \psi(x, t) dx = 1 \quad (۲۳-۶ \text{ ب})$$

نحوه بیان این اصول موضوع، ما را برای نخستین بار از تفاوت بنیادی مکانیک کوانتومی با مکانیک کلاسیک آگاه می‌سازد. هدف مکانیک کلاسیک این است که براساس شرایط حاضر، تمام دینامیک را در آینده پیش‌بینی کند و چنین هم می‌کند، یعنی در آن قطعیت وجود دارد. اما کاربرد مکانیک کوانتومی دارای سرشت آماری است. این تفاوت، چنانکه خواهیم دید به هنگام فرمولبندی مکانیک کوانتومی، بحث گسترده‌ای را در میان فیزیکدانان به وجود آورد. و حتی در زمان نوشتن این کتاب، مخصوصاً به لحاظ فلسفی، مجادله هنوز ادامه دارد. اما، به‌طور کلی، فیزیکدانان طی چند سال اول بعد از پیدایش مکانیک کوانتومی، فرمولبندی استاندارد را برای آن پذیرفتند. در مکانیک کوانتومی، بهتر است که نه تنها ایده میانگین رابطه‌های (۲۳-۶ الف و ب)، بلکه ایده انحراف معیار رابطه زیر را نیز از آمار اقتباس کرد،

$$\Delta Q \equiv \left[\overline{(Q - \bar{Q})^2} \right]^{\frac{1}{2}} \quad (۲۴-۶ \text{ الف})$$

با

$$\begin{aligned} \overline{(Q - \bar{Q})^2} &= \int_{-\infty}^{\infty} \psi^*(x, t) [Q^2 - 2Q\bar{Q} + (\bar{Q})^2] \psi(x, t) dx \\ &= \bar{Q}^2 - (\bar{Q})^2 \end{aligned} \quad (۲۴-۶ \text{ ب})$$

\bar{Q} در یک بعد، یک عدد است نه مثل (۲۳-۶ الف)، یک عملگر، Q^2 به معنای اعمال دو بار متوالی Q است.

راست هنجاری مدهای بهنجارگونگون را در مسائل فصلهای پیشین به خاطر داریم، مثلاً در جوابهای موج ساکن تار کشیده در فصل ۳، و همچنین یادآور می‌شویم که مدهای بهنجار یک پایه

تشکیل می‌دادند. منظور از «پایه» این بود که توابع فیزیکی مورد نظر در بازه معین را که شرایط مرزی مناسب را برقرار می‌کردند می‌توانستیم به راحتی برحسب این مدها بیان کنیم. از قضا این ویژگی مدهای بهنجار را می‌توان تعمیم داد: ویژه تابعهای عملگر کوانتوم مکانیکی متعلق به ویژه مقدرهای متفاوت متعامدند، و همان‌طور که از (۸-۶ الف) و (۸-۶ ب) نیز انتظار داشتیم با هم یک پایه را تشکیل می‌دهند. اگر، چنانکه گاهی اتفاق می‌افتد، بیش از یک ویژه تابع مستقل به ازای یک ویژه مقدار عملگری وجود داشته باشد، باز هم می‌توان یک پایه راست هنجار ساخت.

کامل بودن مجموعه ویژه تابعها بدان معنی است که تابع موج شرودینگر $\psi(x, t)$ را همواره می‌توان به صورت مجموع آنها نوشت.

$$\psi(x, t) = \sum_{n=1}^{\infty} B_n(t) u_n(x) \quad (۲۵-۶ \text{ الف})$$

این در حالتی است که با پایه‌ای گسسته سروکار داشته باشیم. در مورد پایه‌ای پیوسته انتگرال زیر را خواهیم داشت،

$$\psi(x, t) = \int_{-\infty}^{\infty} B_l(t) u_l(x) dl \quad (۲۵-۶ \text{ ب})$$

(در بعضی مسائل هم به مجموع نیاز داریم و هم به انتگرال). $B(t)$ ضرایب بسط وابسته به زمان هستند. نکته مهمی که باید به آن توجه کرد این است که تنها و تنها اگر u ها ویژه تابعهای عملگر انرژی کل H باشند، $B(t)$ دارای شکل زیر است

$$B_n(t) A_n e^{-iE_n t / \hbar} \quad (۲۶-۶)$$

که در آن n عدد صحیح است و رابطه مشابهی را برای l نیز می‌توان نوشت. در اینجا A_n ها مستقل از زمان هستند. این نتیجه را قبلاً به صورت (۱۶-۶) نیز بیان کردیم. با قرار دادن (۲۵-۶ الف) در طرف چپ شرط بهنجارش (۲۳-۶ ب) داریم

$$\sum_{n'n} B_n^* B_n \int_{-\infty}^{\infty} u_{n'}^*(x) u_n(x) dx = \sum_n |B_n|^2$$

که برای رسیدن به آن از شرط راست هنجاری u_n ها، یعنی (۸-۶ الف) نیز استفاده کرده‌ایم، بنابراین داریم

$$\sum_n |B_n(t)|^2 = 1 \quad (۲۷-۶ \text{ الف})$$

به همین ترتیب با بسط پیوسته (۲۵-۶) در می‌یابیم که طرف چپ (۲۳-۶) به کمک (۸-۶) چنین است،

$$\int_{-\infty}^{\infty} \int_{-\infty}^{\infty} B_l^* B_l \int_{-\infty}^{\infty} u_l^*(x) u_l(x) dx dl dl' = \int_{-\infty}^{\infty} |B_l|^2 dl$$

بنابراین داریم،

$$\boxed{\int_{-\infty}^{\infty} |B_l(t)|^2 dl = 1} \quad (۲۷-۶)$$

اکنون مهم است که (۲۵-۶ الف) را در (۲۳-۶) قرار دهیم، با فرض اینکه $u_n(x)$ ویژه تابعهای Q هستند. داریم:

$$\bar{Q}(t) = \sum_{n,n'} B_{n'}^*(t) B_n(t) \int_{-\infty}^{\infty} u_{n'}^*(x) Q u_n(x) dx$$

به کمک رابطه (۷-۶ الف)، $Q u_n(x) = q_n u_n(x)$ ، داریم،

$$\boxed{\bar{Q}(t) = \sum_n |B_n(t)|^2 q_n} \quad (۲۸-۶ الف)$$

به همین ترتیب، در مورد تابعی که ویژه مقادیرهای پیوسته دارند، $Q(t)$ با رابطه زیر داده می‌شود

$$\bar{Q}(t) = \int_{-\infty}^{\infty} \int_{-\infty}^{\infty} B_l^*(t) B_l(t) \int_{-\infty}^{\infty} u_l^*(x) Q u_l(x) dx dl dl'$$

و یا

$$\boxed{\bar{Q}(t) = \int_{-\infty}^{\infty} q_l |B_l(t)|^2 dl} \quad (۲۸-۶ ب)$$

اگر (۲۸-۶ الف و ب) را به همراه (۲۷-۶ الف و ب) در نظر بگیریم، ضرایب بسط $B_n(t)$ و $B_l(t)$ در (۲۵-۶ الف و ب) دارای این تعبیر فیزیکی خواهند شد که: مربع اندازه‌های آنها فراوانی ویژه - مقادیرهای q_l, q_n را در زمان t می‌دهد.

بار دیگر، بسط برحسب ویژه تابعهای H بسیار سودمند است. با استفاده از (۶-۲۶) که بستگی زمانی نمایی را برای ضرایب بسط $B_n(t)$ می‌دهد، می‌بینیم که مربع اندازه آنها $|B_n(t)|^2$ مستقل از زمان است و همین‌طور انرژی کل (۶-۲۳ الف) که برای سیستم بسته انتظار می‌رود، ثابت باشد. (برای مشخص کردن ویژه مقادیرهای انرژی به جای h از E استفاده می‌کنیم. تا با ثابت پلانک اشتباه نشود.) حال اگر در چنین بسطی تمام ضرایب $B_n(t)$ به غیر از یکی، مثلاً $B_m(t)$ ، صفر باشد، می‌گوییم که ذره در ویژه حالت $u_m(x)$ است و به علاوه در یک حال مانا قرار دارد. در این مورد $\psi(x, t)$ دارای شکل ساده زیر است.

$$\psi(x, t) = u_m(x) e^{-\frac{iE_m t}{\hbar}} \quad (۶-۲۹)$$

مقدار انتظاری انرژی کل E دقیقاً با E_m برابر می‌شود و پاشیدگی آن ΔE که طبق رابطه (۶-۲۴ الف) تعریف شد، صفر خواهد بود.

به علاوه، با استفاده از (۶-۲۳ الف) که مقدار انتظاری هر مشاهده‌پذیر را تعریف می‌کند، مشاهده می‌کنیم که (۶-۲۹) درست است، یعنی همه مقادیر انتظاری، \bar{Q} ، مستقل از زمان هستند، که برای «حالت مانا» همین انتظار را هم داریم (به مثال ۶-۱ هم نگاه کنید).

اینکه $\psi(x, t)$ ویژه حالت انرژی باشد یا نه به شرایط اولیه بستگی دارد. بنابراین، وضعیت کاملاً شبیه چیزی است که در فیزیک موج کلاسیک دیدیم، یعنی توزیع انرژی کل میان مدهای بهنجار در ابتدا مشخص می‌شود و همان‌طور باقی می‌ماند.

به ویژه حالتی که کمترین انرژی را دارد، حالت پایه می‌گویند، مثلاً $u_1(x)$ در مسئله چاه مربعی، شکل ۶-۱، یا حالت پایدار ۱s الکترون اتم هیدروژن. پایداری این حالت صرفاً ناشی از آن است که برای جابه‌جا کردن الکترون از این حالت انرژی مثبتی ورودی انرژی مثبت از خارج ضروری است. اکنون به جوابهای مسئله چاه پتانسیل متناهی به عرض L ، یعنی رابطه‌های (۶-۱۴ تا ۶-۱۶) باز می‌گردیم. همان‌طور که گفتیم، جوابهای مانا چنین هستند.

$$\psi_n(x, t) = u_n(x) e^{-\frac{E_n t}{\hbar}} \quad (۶-۲۹)$$

$$u_n(x) = \sqrt{\frac{2}{L}} \sin\left(\frac{n\pi x}{L}\right), \quad n = 1, 2, 3, \dots \quad (۶-۱۴)$$

که ویژه حالت‌های عملگر انرژی کل H هستند و ویژه حالت‌های عملگر تکانه p نیستند. در واقع، حال می‌توانیم مقدار انتظاری \bar{p} را با استفاده از (۶-۲۸ الف) محاسبه کنیم. محاسبه نشان می‌دهد (مثال ۶-۱) که برای هر یک از این حالت‌ها، $\psi(x, t)$ ، داریم $p = 0$. علت آن است که $u_n(x)$

موج ایستاده است، یعنی از دو موج $e^{-ikx}/\sqrt{2L}$ و $e^{ikx}/\sqrt{2L}$ که هر یک دارای تکانه هستند تشکیل شده است، اما این تکانه‌ها در جهت‌های مخالف‌اند. از همین رو، انتظار داریم که $\Delta p \neq 0$ که در بخش مسائل آن را ثابت می‌کنیم.

با توجه به دو پایه با ویژه‌تابع‌های پیوسته که با آنها آشنا هستیم، نکات بیشتری را خواهیم آموخت. ابتدا، فرض کنید ویژه‌تابع‌های مکان، $u_\xi(x)$ عملگر x را طبق رابطه (۲۱-۶) به صورت $\delta(x - \xi)$ در نظر بگیریم. با این انتخاب $u_l(x)$ بسط انتگرال (۲۵-۶) برای $\psi(x, t)$ چنین می‌شود

$$\psi(x, t) = \int_{-\infty}^{\infty} B_\xi(t) \delta(x - \xi) d\xi \quad (۳۰-۶ \text{ الف})$$

به عبارت دیگر

$$B_x(t) = \psi(x, t) \quad (۳۰-۶ \text{ ب})$$

برای هر \bar{Q} ، از (۲۸-۶) نتیجه می‌گیریم که

$$\bar{x}(t) = \int_{-\infty}^{\infty} \psi^*(x, t) x \psi(x, t) dx \quad (۳۱-۶)$$

در اینجا برای ضرایب $B_l(t)$ از رابطه (۳۰-۶) استفاده کرده‌ایم. به همین ترتیب با استفاده از (۲۷-۶) داریم

$$\int_{-\infty}^{\infty} \psi^*(x, t) \psi(x, t) dx = 1 \quad (۲۳-۶)$$

بنابراین، دوباره شرط بهنجارش تابع موج شرودینگر $\psi(x, t)$ را به دست آورده‌ایم، که استفاده از تابع دلتا را در بهنجار کردن ویژه‌تابع‌های پیوسته $\delta(x - \xi)$ توجیه می‌کند. اکنون به تعبیر $|B_l(t)|^2$ به عنوان فراوانی وقوع ویژه مقدار پیوسته l ، باز می‌گردیم و از (۳۰-۶) به تعبیر فیزیکی زیر برای $\psi^*(x, t) \psi(x, t)$ می‌رسیم:

$$\boxed{\psi^*(x, t) \psi(x, t) \text{ عبارت است از احتمال یافتن ذره در مکان } x \text{ در زمان } t}$$

و یا، $\psi^*(x, t) \psi(x, t) dx$ ، این احتمال است که ذره در زمان t بین x و $x + dx$ قرار داشته باشد. این تعبیر فیزیکی را می‌توان مستقیماً و غیررسمی‌تر، با استفاده از رابطه (۳۱-۶) برای $\bar{x}(t)$ نیز

به دست آورد، بدین ترتیب شرط بهنجارش (۶-۲۳) نشان می‌دهد که ذره حتماً در جایی وجود دارد و جمع احتمالهای یافتن ذره یک است.

دست آخر، فرض کنید برای $u_l(x)$ ویژه تابعهای $u_k(x)$ را که طبق (۶-۱۸) تعریف می‌شوند انتخاب کنیم، یعنی $e^{ikx}/\sqrt{2\pi}$. در آن صورت بسط (۶-۲۱) به صورت زیر در می‌آید

$$\psi(x, t) = \frac{1}{\sqrt{2\pi}} \int_{-\infty}^{\infty} B_k(t) e^{ikx} dk \quad (۶-۳۲)$$

که نمایش استاندارد فوریه (۱-۲۴) است که از فصل ۱ می‌دانیم. بنابراین، با داشتن $\psi(x, t)$ یافتن $B_k(t)$ کار ساده‌ای است، زیرا می‌دانیم چگونه تبدیلهای فوریه‌ای را معکوس کنیم. به خاطر داریم ویژه مقدارهای عملگر \mathbf{p} ، $(\hbar/i)/(\partial/\partial x)$ ، همان $\hbar k$ هستند. فرمول کلی برای مقادیر انتظاری ویژه مقدارهای پیوسته (۶-۲۸) با بسط برحسب ویژه تابعهای تکانه فرم کاملاً واضح زیر را پیدا می‌کند

$$\bar{p}_x(t) = \int_{-\infty}^{\infty} \hbar k |B_k(t)|^2 dk \quad (۶-۳۳ \text{ الف})$$

همین‌طور، با ترکیب (۶-۳۰) و (۶-۳۱) می‌توان نوشت،

$$\bar{x}(t) = \int_{-\infty}^{\infty} x |B_x(t)|^2 dx \quad (۶-۳۳ \text{ ب})$$

متوجه می‌شویم که برای ذره آزاد، هم ویژه تابع عملگر انرژی کل H [یعنی، عملگر انرژی جنبشی $-(\hbar^2/2m)(\partial^2/\partial x^2)$ ، چون $V(x) = 0$]، و هم ویژه تابع عملگر تکانه $-i\hbar\partial/\partial x$ است. به این ترتیب، وسوسه می‌شویم که فقط از یک موج $u_k = e^{iE_k\hbar/t}$ که در آن $E_k = (\hbar^2 k^2/2m)$ است به عنوان جواب $\psi(x, t)$ معادله موج شرودینگر در مسائلی که تکانه ذره خوش تعریف است، $\mathbf{p} = \hbar k$ ، $\Delta p = 0$ ، استفاده کنیم. اما، با توجه به بهنجارش تابع دلتای (۶-۸) برای $u_k(x)$ ، این کار مستقیماً امکان‌پذیر نیست. در عوض باید از ترفند دیگری، مثل گفتن اینکه می‌دانیم ذره با احتمال (شدت)، اگر صحبت از باریکه ذرات است، که معمولاً چنین است) مشخصی بین نقاط a و b وجود دارد استفاده کنیم و سپس $\psi(x, t)$ را به نسبت احتمال وجود در این گستره بهنجارش کنیم. یک شگرد دیگر استفاده از به اصطلاح شرایط مرزی دوره‌ای یعنی رهیافتی است که در بخش مسائل به آن پرداخته‌ایم. از سوی دیگر، تابع دلتا، $\delta(x - \xi)$ ، با ویژگی بنیادی

$$\int_{-\infty}^{\infty} \delta(x - \xi) dx = 1 \quad (۱-۱۹ \text{ ب})$$

(که نباید با شرط راست هنجاری (۶-۲۲) اشتباه گرفته شود)، به هنگام جایگزیده کردن ذره، یعنی به دست آوردن چگالی احتمال $\psi^*(x, t)\psi(x, t)$ بسیار سودمند است. موارد عملی این نکات در بخش بعد واضحتر می شوند.

۶-۳ حرکت ذره آزاد. اصل عدم قطعیت هایزنبرگ

در بخش قبل اصول موضوع مکانیک موجی را به طور صوری ارائه، و بعضی مسائل را حل کردیم. برای اینکه عملکرد مکانیک موجی ملموس تر شود، ابتدایی ترین مسئله بنیادی مکانیک موجی کلاسیک یعنی ذره آزاد، را حل می کنیم که طبق قانون اول نیوتون اگر ساکن نباشد، «به حرکتی یکنواخت ادامه می دهد». چگونه ممکن است، معادل $x = vt$ را با استفاده از معادله شرودینگر و اصول موضوع مکانیک موجی به دست آورد؟

روش کار، حل مسئله مقدار اولیه است، که در آن معادله شرودینگر معادله موج حاکم بر رفتار ذره است. این همان روشی است که در مورد معادله بخش در مسئله ۱-۱۷ یا مسئله تب پیشرونده بر تار کشیده در فصل ۳ با استفاده از معادله موج موجود به کار بستیم.

به عنوان شرط اولیه می نویسیم

$$\psi(x, 0) = \alpha e^{\left(-\frac{x^2}{2a^2}\right) + ik_0 x}$$

در اینجا ثابت α از شرط بهنجارش زیر به دست می آید:

$$\int_{-\infty}^{\infty} \psi^*(x, 0)\psi(x, 0) dx = 1 \quad (۶-۲۳ ب)$$

یادآور می شویم که (۶-۲۳ ب) تضمین می کند که احتمال کل برای اینکه ذره بالاخره در جایی قرار داشته باشد، یک است. داریم،

$$\alpha^2 \int_{-\infty}^{\infty} e^{-\frac{x^2}{a^2}} dx = \alpha^2 \sqrt{2a^2\pi} = 1$$

که در آن از (۱-۵) استفاده کرده ایم. بنابراین، تابع موج بهنجار شده $\psi(x, 0)$ چنین است

$$\psi(x, 0) = (2\pi a^2)^{-\frac{1}{2}} e^{\left(-\frac{x^2}{2a^2}\right) + ik_0 x} \quad (۶-۳۴ ب)$$

چرا از چنین تابع پیچیده‌ای به عنوان شرط اولیه شروع می‌کنیم؟ چرا توزیع احتمال اولیه، $\psi(x, 0)\psi^*(x, 0)$ را صرفاً $\delta(x)$ اختیار نمی‌کنیم؟ لاقلاً در این صورت می‌دانیم که ابتدا ذره در $x = 0$ قرار دارد. این پرسشها ما را به قلب مکانیک موجی می‌برند. برای دادن پاسخ کامل باید $\psi(x, 0)$ در (۳۴-۶) را با بسط فوریه نمایش می‌دهیم [۱-۲۴]:

$$\psi(x, 0) = \frac{1}{\sqrt{2\pi}} \int_{-\infty}^{\infty} A(k)e^{ikx} dk \quad (۳۵-۶ \text{ الف})$$

و

$$\begin{aligned} A(k) &= \frac{1}{\sqrt{2\pi}} \int_{-\infty}^{\infty} \psi(x, 0)e^{-ikx} dx & (۳۳-۱) \\ &= \left(\frac{2a^2}{\pi}\right)^{\frac{1}{2}} e^{-(k-k_0)^2 a^2} & (۳۵-۶ \text{ ب}) \end{aligned}$$

رابطه (۳۵-۶) از به کار بستن (۱۸-۱)، یعنی رابطه زیر، حاصل می‌شود،

$$\int_{-\infty}^{\infty} e^{ikx} e^{-ax^2} dx = \sqrt{\frac{\pi}{a}} e^{-\frac{k^2}{4a}} \quad (۱۸-۱)$$

با استفاده از (۳۵-۶) به جای $A(k)$ ، می‌توانیم از (۳۳-۶) الف) که در بخش قبل آمد، استفاده کنیم و میانگین تکانه را به صورت زیر به دست آوریم

$$\bar{p}_x(0) = \hbar \int_{-\infty}^{\infty} k |A(k)|^2 dk \quad (۳۶-۶ \text{ الف})$$

اکنون، خواننده می‌تواند با استفاده (۱۸-۱) به آسانی تحقیق کند که $\int_{-\infty}^{\infty} |A(k)|^2 dk$ برابر واحد است. در واقع از (۲۳-۶) و (۲۷-۶) به‌ازای $t = 0$ ، می‌دانیم که این انتگرال مساوی با یک است. بنابراین، بلافاصله داریم

$$\begin{aligned} \int_{-\infty}^{\infty} k |A(k)|^2 dk &= \int_{-\infty}^{\infty} (k - k_0) |A(k)|^2 dk + k_0 \int_{-\infty}^{\infty} |A(k)|^2 dk \\ &= k_0. \end{aligned}$$

زیرا انتگرال اول سمت راست، دارای انتگرالده فرد و در نتیجه صفر است.

بنابراین، با استفاده از (۶-۳۶ الف) داریم

$$\bar{p}(\circ) = \hbar k_0 \quad (۶-۳۶ ب)$$

که در اینجا، و از این به بعد، شاخص x را دیگر به کار نمی‌بریم.

رابطه (۶-۳۶ ب) ضریب $e^{ik_0 x}$ را در شرط اولیه منتخب تبیین می‌کند. بدون وجود این جمله، میانگین تکانه صفر می‌شد و در نتیجه ذره‌ای می‌داشتیم که به طور میانگین هیچ حرکتی نمی‌داشت. با استفاده از (۶-۳۵ ب) برای $A(k)$ می‌توانیم پاشیدگی تکانه، Δp ، را که مطابق (۶-۲۴ الف و ب)

تعریف شد، به دست آوریم. در بخش مسائل به دست می‌آوریم که

$$\Delta p(\circ) = \frac{\hbar}{2a} \quad (۶-۳۷)$$

به همراه آن، در مسئله ۶-۶ در می‌یابیم که پاشیدگی x ، یعنی Δx ، که به شرط اولیه (۶-۳۴ ب) برای $\psi(x, \circ)$ مربوط می‌شود، چنین است

$$\Delta x(\circ) = a \quad (۶-۳۸)$$

این نتیجه محاسبه شده برای Δx غیر منتظره نیست. توزیع احتمالی اولیه با استفاده از (۶-۳۴ ب) چنین است:

$$\psi^*(x, \circ)\psi(x, \circ) = (\frac{1}{2\pi a^2})^{-\frac{1}{2}} e^{-\frac{x^2}{2a^2}} \quad (۶-۳۹)$$

همان‌طور که مشاهده می‌شود مکان ذره تقریباً درگستره $a \sim \Delta x$ توزیع شده است. به علاوه، اگر $1/n$ را به جای $2a^2$ بگذاریم، به طور صوری تابع زیر را با استفاده از (۶-۳۹) برای $|\psi(x, \circ)|^2$ می‌یابیم

$$g_n(x) = \sqrt{\frac{n}{\pi}} e^{-nx^2} \quad (۱-۲۰)$$

که در فصل ۱ به عنوان عضوی از دنباله تعریف‌کننده $\delta(x)$ ، داده شد. بدین ترتیب، شرایط اولیه مربوط به جایگزینی به شکل $\delta(x)$ در (۶-۳۴ الف) مستتر است. کافی است حد $a \rightarrow \circ$ را به دست آوریم. در قبال آن با مشکلی مواجه می‌شویم، زیرا طبق (۶-۳۷) خواهیم داشت $\Delta p \rightarrow \infty$. چطور است تابع دیگری غیر از تابع گاوسی را انتخاب کنیم؟ در مثال ۱-۱ هم دیدیم که این ویژگی نمایش فوریه است که برای حاصلضرب پاشیدگی در فضای بردار موج، Δk ، و در فضای حقیقی، Δx داریم

$$\Delta k \Delta x \simeq 1 \quad (۶-۴۰ الف)$$

به علاوه، می‌توان نشان داد که در میان همه توابع، این تابع گاوسی است که کمترین مقدار را برای این حاصلضرب به دست می‌دهد، یعنی

$$\Delta k \Delta x = \frac{1}{2} \quad (۴۰-۶)$$

بدیهی است که این واقعیتهای ذاتی مکانیک موجی، پیامدهای گسترده‌ای دارند. اما بهتر است بررسی جزئیات آن را به هنگامی موکول کنیم که مسئله را حل کرده‌ایم، یعنی $\psi(x, t)$ را به ازای $t > 0$ یافته‌ایم.

اگر به معادله مستقل از زمان شرودینگر برای ذره آزاد، یعنی (۱۲-۶) بازگردیم، مشاهده می‌کنیم که توابع

$$u_k(x) = \frac{e^{ikx}}{\sqrt{2\pi}}, \quad \infty > k > -\infty \quad (۱۸-۶)$$

مجموعه کاملی از جوابها را برای ذره آزاد که نیاز به شرایط مرزی ندارد فراهم می‌کنند. ویژه تابعهای عملگر مستقل از زمان انرژی کل، H ، ویژه توابع عملگر تکانه، \bar{p} نیز هستند، نگاه کنید به (۱۷-۶). اینکه دقیقاً در چه شرایطی دو یا چند عملگر ویژه تابعهای مشترک دارند از حوزه این بحث خارج است، با وجود این، خواننده علاقه‌مند می‌تواند به مسئله (۷-۶) مراجعه کند.

مانند رابطه (۲۹-۶)، جواب وابسته به زمان معادله شرودینگر که از $u_k(x)$ به دست می‌آید، $u_k(x)e^{-iE_k t/\hbar}$ است. و یا، مطابق با (۲۵-۶) کلی‌ترین جواب $\psi(x, t)$ ترکیب خطی همه جوابهای ممکن خواهد بود. بنابراین برای ذره آزاد داریم

$$\psi(x, t) = \int_{-\infty}^{\infty} A(k)u_k(x)e^{-iE_k \frac{t}{\hbar}} dk \quad (۴۱-۶)$$

ضرایب $A(k)$ ، مانند حالت مدهای بهنجار در فیزیک کلاسیک، دامنه‌هایی هستند که از روی شرایط اولیه به دست می‌آیند. در واقع، اگر به نحوه به دست آوردن $A(k)$ در (۳۵-۶) توجه کنیم، می‌بینیم که این ضرایب را برای $\psi(x, 0)$ به دست آورده‌ایم. بنابراین، آنچه باقی می‌ماند، انتگرال‌گیری روی k است، که $\psi(x, t)$ را می‌دهد. با قرار دادن (۳۵-۶) به جای $A(k)$ و (۱۸-۶) به جای $u_k(x)$ ، در عبارت کلی (۴۱-۶)، داریم

$$\psi(x, t) = \frac{1}{\sqrt{2\pi}} \left(\frac{2a^2}{\pi} \right)^{\frac{1}{2}} \int e^{ikx} e^{-i\omega_k t} e^{-(k-k_0)^2 a^2} dk \quad (۴۲-۶ \text{ الف})$$

با استفاده از (۶-۱۵ الف) برای بسامد زاویه‌ای $\omega_k = (E_k/\hbar)$ رابطه زیر را به دست می‌آوریم

$$\omega(k) = \frac{\hbar k^2}{2m} \quad (۶-۴۲ ب)$$

در مکانیک کلاسیک مثلاً در مورد امواج روی تار کشیده، عادت داشتیم رابطه‌ای خطی را بین عدد موج k و بسامد زاویه‌ای ω در نظر بگیریم. اما، با شرایط پاشنده نیز مواجه بودیم، که در آن سرعت فاز نور، ω/k ، در یک محیط به k بستگی داشت، و در نتیجه «توان پاشندگی» به منشوری می‌بخشید (فصل ۵). بدیهی است که پدیده پاشندگی در مکانیک موجی بسیار بارز است.

انتگرال (۶-۴۲ الف) را با «کامل کردن توان دوم» انجام می‌دهیم. برای کاهش عملیات جبری، کمیتی مختلط برای ضریب k^2 در توان جمله‌نمایی و یک «زمان» T را به صورت زیر وارد می‌کنیم.

$$\Lambda^2 = a^2 + iT \quad (۶-۴۲ ج)$$

$$T = \frac{\hbar t}{2m} \quad (۶-۴۲ د)$$

با این نمادگذاری، $\psi(x, t)$ در (۶-۴۲ الف) چنین خواهد شد

$$\psi(x, t) = \left(\frac{1}{\sqrt{2\pi}} \right) \left(\frac{2a^2}{\pi} \right)^{\frac{1}{2}} e^{k^2 \frac{a^2}{\Lambda^2}} e^{-k^2 \frac{a^2}{\Lambda^2}} I$$

و یا

$$\psi(x, t) = \left(\frac{a^2}{2\pi^2} \right)^{\frac{1}{2}} e^{-ik^2 \frac{a^2 T}{\Lambda^2}} I \quad (۶-۴۲ هـ)$$

$$I = \int_{-\infty}^{\infty} e^{-(k\Lambda - k_0 a^2/\Lambda)^2 + ikx} dk \quad (۶-۴۲ و)$$

در اینجا، ضرایب $e^{k^2 a^2/\Lambda^2}$ و $e^{-k^2 a^2/\Lambda^2}$ به ترتیب در (۶-۴۲ هـ) و (۶-۴۲ و) آمده‌اند. اگر در رابطه (۱۸-۱) برای تبدیل فوریه تابع گاوسی، جای x و k را عوض می‌کنیم و به جای a ، کمیت Λ را قرار دهیم داریم:

$$\int_{-\infty}^{\infty} e^{ikx} e^{-k^2 \Lambda^2} dk = \frac{\sqrt{\pi}}{\Lambda} e^{-\frac{x^2}{4\Lambda^2}} \quad (۶-۴۲ ز)$$

در اینجا، مهم است، توجه کنیم که قسمت حقیقی Λ^2 ، یعنی a^2 ، همیشه مثبت است. همان‌طور که در فصل ۱ آمد، در این شرایط می‌توان (۱۸-۱) را به مقادیر مختلط پارامتر Λ تعمیم داد.

به علاوه، می توان جابه جایی محدود $k_0 a^2 / \Lambda^2$ در k را وقتی محدوده انتگرال گیری از - بینهایت تا + بینهایت است، نادیده گرفت. بدین ترتیب، اگر در (۴۲-۶) و (۴۲-۷) را به $(k - k_0 a^2 / \Lambda^2)$ تغییر دهیم، با استفاده از (۴۲-۶)، داریم

$$I = \frac{\sqrt{\pi}}{\Lambda} e^{-\frac{x^2}{\Lambda^2}} e^{i(k_0 - \frac{a^2}{\Lambda^2})x} \quad (ج\ ۴۲-۶)$$

روابط (۴۲-۶) و (۴۲-۷) جواب تحلیلی تابع موج ذره آزاد، $\psi(x, t)$ ، را که به دنبالش بودیم، به دست می دهند.

پیش از برخورد پیچیدگیهای $\psi(x, t)$ ، می توانیم برخی از اطلاعات مورد نیاز را به دست آوریم. این بار با معکوس کردن امور ذکر می کنیم که ویژه تابعهای عملگر تکانه، یعنی توابع $u_k(x)$ ، ویژه تابعهای عملگر انرژی H نیز هستند و در نتیجه ضرایب بسط $\psi(x, t)$ برحسب ویژه تابعهای تکانه، یعنی $B_k(t)$ در (۲۵-۶) به صورت $A_k e^{-i(E_k/\hbar)t}$ است:

$$\psi(x, t) = \frac{1}{\sqrt{2\pi}} \int_{-\infty}^{\infty} B_k(t) u_k(x) dk \quad (ب\ ۲۵-۶)$$

که در آن $|B_k(t)|^2$ مستقل از زمان است. با مستقل از زمان بودن $|B_k(t)|^2$ ، $\bar{p}(t)$ ، $\Delta p(t)$ هم مستقل از زمان می شوند. بنابراین داریم،

$$\bar{p}(t) = \bar{p}(0) = \hbar k_0 \quad (۴۳-۶)$$

$$\Delta p(t) = \Delta p(0) = \frac{\pi}{2a} \quad (۴۴-۶)$$

بر مبنای فیزیک کلاسیک این نتیجه برای ذره آزاد به هیچ وجه غیر منتظره نیست. به این نکته باز خواهیم گشت.

اما $\bar{x}(t)$ و $\Delta x(t)$ به شدت وابسته به زمان هستند. برای محاسبه وابستگی زمانی آنها، به جزئیات $\psi(x, t)$ نیاز نداریم، اگرچه، علی الاصول، برای یافتن جزئیات توزیع تکانه به عبارت دقیق $\psi(x, t)$ نیازمندیم. در اینجا کافی است $\psi^*(x, t)\psi(x, t)$ یعنی توزیع احتمالی مکان ذره را بدانیم. با توجه به (۴۲-۶) و (۴۲-۷) به عبارتهای زیر نیاز خواهیم داشت:

$$\frac{1}{2} \left(\frac{1}{\Lambda^2} + \frac{1}{(\Lambda^2)^*} \right) = \frac{a^2}{\Delta} \quad (الف\ ۴۵-۶)$$

$$\frac{1}{2} \left(\frac{1}{\Lambda^2} - \frac{1}{(\Lambda^2)^*} \right) = \frac{-iT}{\Delta} \quad (ب\ ۴۵-۶)$$

$$(\Lambda\Lambda^*)^{-1} = (\Delta)^{-2} \quad (ج\ ۴۵-۶)$$

که در آن

$$\Delta \equiv a^2 + T^2 \quad (۴۵-۶)$$

با این نتایج، توان دوم کامل را در نما می‌یابیم، یعنی

$$\psi^*(x, t)\psi(x, t) = \left(\frac{a}{\sqrt{2\pi\Delta}} \right) e^{-\left(\frac{a^2}{2\Delta}\right) \left(x - \frac{\hbar k_0 t}{m}\right)^2} \quad (۴۵-۶)$$

رابطه (۴۵-۶) نتیجه نهایی برای توزیع احتمال ذره آزاد در زمان t است. می‌توان به راحتی بررسی کرد که توزیع احتمال برحسب زمان بهنجار باقی می‌ماند، یعنی (۲۳-۶) برقرار است که پیامد ویژگی یکانی معادله شرودینگر است. محاسبه‌ای که برای $\psi^*\psi$ انجام شد را می‌توان به سادگی به سه‌بعد تعمیم داد، این نکته برای مباحثی که در زیر می‌آید نیز صادق است.

اکنون می‌توانیم، با استفاده از (۴۵-۶) هر دوی $\bar{x}(t)$ و $\Delta x(t)$ را به‌طور نسبتاً سرراست به دست آوریم. به همان روش که $\bar{p}(0)$ را در (۳۶-۶) به دست آوریم، بلافاصله مشاهده می‌کنیم که

$$\begin{aligned} \bar{x}(t) &= \int_{-\infty}^{\infty} \psi^*(x, t)\psi(x, t)x dx \\ &= \frac{\hbar k_0}{m} t \end{aligned} \quad (۴۶-۶ \text{ الف})$$

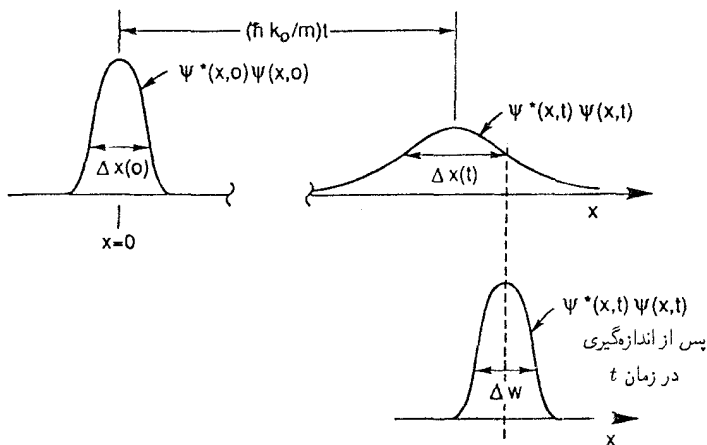
همچنین، اگر به خاطر آوریم که برای توزیع بهنجار شده‌ای که به صورت $e^{-x^2/2a^2}$ باشد، $\Delta x(0)$ طبق (۳۸-۶) برابر با a است، در اینجا، برای حالت کلی‌تر پاشیدگی، $\Delta x(t)$ داریم:

$$\Delta x(t) = \frac{\sqrt{\Delta}}{a} \quad (۴۶-۶ \text{ ب})$$

$$= \sqrt{a^2 \left(\frac{\Delta p}{m}\right)^2 t^2} \quad (۴۶-۶ \text{ ج})$$

که در آن به جای Δ از (۴۵-۶) و به جای T از (۴۲-۶) قرار داده‌ایم و از (۴۴-۶) که a را به Δp مربوط می‌کند، استفاده کرده‌ایم.

نتایج محاسبات را به‌طور خلاصه در شکل ۲-۶ و جدول زیر آورده‌ایم، که در آن مقادیر اولیه و بعدی با هم مقایسه شده‌اند.



شکل ۲-۶ توزیع احتمال $\psi^*\psi$ در $t = 0$ و $t > 0$. پاشیدگی بیشتر در زمانهای متناهی t ، نمایانگر سرشت آماری مکانیک موجی است. همچنین، $\psi^*\psi$ پس از یک اندازه‌گیری در زمان t نشان داده شده است. تابع موج «رمبیده» است.

$t = 0$	$t > 0$
$\bar{x} = 0$	$\bar{x} = \left(\frac{\bar{p}}{m}\right)t$
$\Delta x = a$	$\Delta x = \sqrt{a^2 + \left(\frac{\Delta p}{m}\right)^2 t^2}$
$\bar{p} = \hbar k_0$	$\bar{p} = \hbar k_0$
$\Delta p = \frac{\hbar}{2a}$	$\Delta p = \frac{\hbar}{2a}$
$\Delta x \Delta p = \frac{\hbar}{2}$	$\Delta x \Delta p > \frac{\hbar}{2}$

در نظر اول، آنچه به وقوع پیوسته به قدر کافی ساده است. ذره از نقطه $x = 0$ به راه افتاده است. این را تنها راه ممکن در مکانیک موجی، یعنی برهم‌نهی خطی امواج با بردار موج، k ، متغیر نشان دادیم. تابع دلتای دیراک $\delta(x)$ و موج تخت $u_k(k)$ ، دو حالت جدی ممکن برای توصیف وضعیت هستند و همان‌طور که در فصل ۱ اشاره شد، این دو حالت درست متضاد یکدیگرند. $\delta(x)$ نشان‌دهنده جایگزیدگی مطلق است، اما Δp ی مربوط به آن بینهایت است، زیرا تمام مؤلفه‌های فوریه به‌طور یکسان در تابع دلتا حضور دارند. یک موج هماهنگ، $u_k(x)$ ، نشان‌دهنده

حرکت ذره آزاد. اصل عدم قطعیت هایزنبرگ ۱۹۹

عدم جایگزیدگی مطلق، $\Delta x \rightarrow \infty$ ، همراه، با تکانه کاملاً مشخص است، یعنی $\Delta p \rightarrow 0$. به طور کلی تر، از برهم نهی امواج به نام بسته موج استفاده کرده ایم. با استفاده از بسته موج دریافتیم که، بدون توجه به اینکه پارامترها چگونه تنظیم شوند، همواره داریم

$$\Delta x \Delta p \geq \frac{\hbar}{4} \quad (۴۷-۶)$$

اکنون دیگر این محدودیتها به صورت جنبه شناخته شده ای از فرمولبندی موجی در آمده اند، که ریشه در تحلیل فوریه دارند. در فصل ۵ نیز به محدودیت مشابهی برخوردیم:

$$\Delta E \Delta t \geq \frac{\hbar}{4} \quad (۵-۵)$$

حرکت بعدی ذره آزاد با مکانیک کلاسیک کاملاً سازگار است. میانگین تکانه ذره، $\bar{p} = \hbar k_0$ ، ثابت باقی می ماند، یعنی توزیع تکانه در فضای k حول k_0 گسترده است و با گذشت زمان ثابت باقی می ماند. این همان چیزی است که برای ذره آزاد، یعنی وقتی پتانسیل $V(x)$ گرادیانی ندارد، یا نیرویی وجود ندارد انتظار داریم.

در زمان t ، قله توزیع احتمال به قدر $(\bar{p}/m)t$ به پیش می رود. سرعت ذره، v ، که با $\hbar k_0/m$ یا معادل آن \bar{p}/m داده می شود، در رابطه زیر صدق می کند

$$\bar{x} = vt \quad (۴۸-۶)$$

اما Δx که با $\sqrt{a^2 + (\Delta p/m)^2 t^2}$ مشخص می شود با زمان تغییر می کند. پاشیدگی اولیه در تکانه در زمانهای لبه به صورت پاشیدگی در مکان ظاهر می شود.

بنابه اصل عدم قطعیت هایزنبرگ مکان یک ذره و تکانه اش را نمی توان همزمان تا دقتی بیشتر از آنچه در (۴۷-۶) آمده است اندازه گرفت. به همین ترتیب، انرژی ذره و زمانی را که در خلال آن ذره دارای آن انرژی است نمی توان با دقتی بیش از آنچه در (۵-۵) آمده است مشخص کرد. تا اینجا مشاهده کرده ایم که (۴۷-۶) نتیجه مستقیم رابطه اصلی دوبروی یعنی (۱-۶) و تحلیل فوریه است. آنچه اصل هایزنبرگ بیان می کند این است که در سطح بسیار دقیق اندازه گیری که (۴۷-۶) مصداق دارد، وسیله اندازه گیری همواره چنان بر سیستم تأثیر می گذارد که دقت افزون بر $\Delta x \Delta p = \hbar/2$ غیر قابل حصول است. در مثال ۳-۶ نشان خواهیم داد که چگونه اندازه گیری مکان با نور (در سطح کوانتومی، از طریق برخورد فوتون با ذره تحت بررسی) ذره را آشفته می کند. در بدو فرمولبندی فیزیک کوانتومی، فیزیکدانها آزمایشهای فرضی بسیاری را بر آزمودن اصل هایزنبرگ پیشنهاد کردند، اما هیچ آزمایشی پیدا نشده است که این اصل را بی اعتبار کند.

محدودیت اندازه‌گیری که هایزنبرگ فرمولبندی کرد در نهایت شرط لازم برای اعتبار مکانیک موجی است. اگر می‌توانستیم آزمایشهایی انجام دهیم که داده‌های آنها فراتر از محدودیتهای (۵-۵) و (۶-۴۷) باشد، آن وقت می‌شد این اطلاعات و تحول ناشی از آنها را مطالعه کرد. چنین دانشی خارج از حیطه مکانیک موجی است که فقط در چارچوب این محدودیتها می‌تواند پدیده‌ها را توضیح دهد. این، به نوبه خود، اعتبار نظریه را از بین نمی‌برد، بلکه وجود فرمولبندی اساسی‌تر و به همراه آن راههای تازه‌تر درک طبیعت را نشان می‌داد. در عوض، می‌بینیم که مکانیک کوانتومی دارای سازگاری درونی است، یعنی گستره شگفت‌آوری از پدیده‌های فیزیکی را در سطح اتمی و زیر اتمی، در محدوده‌ای که مکانیک نیوتونی دیگر معتبر نیست، به درستی پیش‌بینی کرده است که در این سطح جایگزین مسلم مکانیک نیوتونی شده است.

اکنون اگر ذره آزاد را در زمان t در نظر بگیریم، که در آن $\Delta x \Delta p_x$ قطعاً بزرگتر از $\hbar/2$ است، آن وقت اندازه‌گیرها، ارزیابی همزمان متغیرهای دینامیکی را حتی تا $\hbar/2$ ، که دقیق‌تر از مقداری است که محاسبات ما قادر به پیشگویی آن بود امکان‌پذیر می‌سازد. بدین ترتیب، ممکن است بیش از یک نتیجه از اندازه‌گیری حاصل می‌شود و $\psi^*(x, t)\psi(x, t)$ نشان‌دهنده توزیع آماری نتایج است. مثلاً، می‌توانیم شمارگر گایگر (که تک‌تک ذرات را می‌شمارد) را با گشودگی درجه $\Delta\omega$ که بسیار کوچکتر از $\Delta x(t)$ تنظیم شده است، در نظر بگیریم و توزیع احتمال را در زمان t جارو کنیم. در این صورت خواهیم یافت که به‌طور متوسط، با چندین بار تکرار آزمایش، تعداد کل شمارش (به‌ازای هر ذره) مطابق با تابع $\psi^*(x, t)\psi(x, t)$ توزیع شده است؛ $\psi^*(x, t)\psi(x, t)\Delta\omega$ احتمال یافتن ذره در مکان x واقع در محدوده گشودگی درجه $\Delta\omega$ است.

پس از اندازه‌گیرها، نامعین بودن تابع موج ممکن است به همان وضعیت که در $t = 0$ بود برگشته باشد؛ کافی است $\Delta\omega$ را برابر با $\Delta x(0)$ قرار دهیم. این را گاهی اوقات «رمبش» تابع موج (شکل ۶-۲) گویند؛ به چنین تغییری در تابع موج باز هم اشاره خواهیم کرد.

سرانجام، متوجه می‌شویم که محاسبات انجام شده در مورد انتشار ذره آزاد، اگرچه نتایجی را در برداشت که پیوندی قوی با نتایج مکانیک ذره کلاسیک دارد، اما در واقع از طریق مکانیک موجی انجام شد، یعنی حرکت ذره با حرکت بسته موج نشان داده شد. این دوگانگی موج-ذره را می‌توان به روشنی در وضعیت فیزیکی متفاوتی که در بخش بعد توصیف می‌شود، نشان داد.

۶-۴ دوگانگی موج-ذره و از دست رفتن علیت

آزمایش پراش دو شکافی فصل قبل را می‌توان با ذرات نیز انجام داد. باریکه‌ای از ذرات، مثلاً الکترونها، از دو شکاف افقی موجود در یک پرده، می‌گذرند. نقشه توزیع عمودی الکترونها

که به پرده می‌رسند را می‌توان به کمک شمارگر گایگر به دست آورد، همان‌طور که در بخش قبل نیز توزیع ذرات آزاد را به کمک شمارگر گایگر مشخص کردیم. توزیع شدت باریکه الکترونی پراشیده درست مانند طرحی است که در شکل ۵-۱۱ برای نور پراشیده به دست آوردیم. اما، شمارگر گایگر ایزاری است که ورود ذرات را ثبت می‌کند، این دستگاه یا تق می‌کند یا تق نمی‌کند، وجود نیم‌تق ممکن نیست. اگر دسته‌ای از ذرات سنگین، مثلاً ساچمه‌هایی را به شکافها هدایت کنیم، امکان ندارد توزیع آنها در امتداد عمودی بروی پرده همانند طرح پیچیده‌ای باشد که برای پراش به دست می‌آید. در عوض، ساچمه‌ها چنانکه مکانیک کلاسیک پیش‌بینی می‌کند در امتداد دو خط کاملاً متمایز و مشخص به طرف پرده می‌روند. انحراف از این توزیع، یعنی طرح پراش پیچیده را می‌توان حاکی از این نکته دانست که الکترون به هنگام عبور از شکاف می‌داند که شکاف دیگر نیز وجود دارد! - این بارزترین تجلی دوگانگی موج - ذره است.

اینجاست که کنجکاو می‌شویم بدانیم که اگر شمارگر گایگر، با تمامی پیچیدگی‌اش، رسماً جزئی از مسئله به شمار آید، چه می‌شود، به عبارت دیگر، اگر سازوکار شمارگر گایگر را جزئی از پتانسیل V در معادله موج شرودینگر به حساب آوریم، نتیجه چیست. در آن صورت فیزیک را به صورت معمول قطعی انجام می‌دهیم، یعنی معادله موج را (که دیگر ساده نیست!)، حل می‌کردیم، درست همان‌طور که در فیزیک کلاسیک حل می‌کردیم. دوگانگی موج - ذره، عدم قطعیت، و «رمبش» تابع موج، در محاسبات ناپدید می‌شود. اما آیا آنها به کلی از میان می‌روند؟ پاسخ آن است که آنها به سطحی دیگری از مشاهده رانده می‌شوند. در نهایت، به گفته هاینبرگ در کتاب اصول فیزیکی نظریه کوانتومی (نگاه کنید به کتابهای مرجع فصل ۶) «مثلاً مجبور می‌شویم که چشمان خود را نیز جزئی از دستگاه به حساب آوریم و غیره، زنجیره علت و معلول را فقط در صورتی می‌توان ثابت کرد که تمام عالم را به صورت یک سیستم در نظر بگیریم - اما در آن صورت دیگر فیزیک از میان می‌رود، صرفاً یک طرح ریاضی باقی می‌ماند. تقسیم عالم به سیستم مشاهده‌کننده و سیستم مشاهده‌شونده، مانع از فرمولبندی دقیق قانون علت و معلول می‌شود. (لژیومی ندارد که همیشه انسان سیستم مشاهده‌کننده باشد؛ ابزار بی‌جان نیز، مانند فیلم عکاسی، ممکن است چنین سیستمی را تشکیل دهد.)»

در عمل، به خاطر دشواری حل معادله شرودینگر، فقط مسائل ساده را می‌توان تجزیه و تحلیل کرد. بقیه کار تعبیر آزمایشها، به همان میزان که علم است، هنر نیز هست. با وجود این، فیزیکدانها موفق شده‌اند اطلاعات فراوانی را در سطح کوانتومی به صورت کمی بفهمند. این نکته را در بخش بعد یعنی آخرین بخش این فصل نشان خواهیم داد.

مکانیک موجی در ابتدا با ناباوری بسیاری از فیزیکدانها مواجه شد. تابع موجی که از یک طرف حاوی اطلاعات صرفاً آماری بود، از طرف دیگر به صورت تمام و کمال در محاسبات شرکت می‌کرد (مثلاً، در آزمایش دوشکافی)، و تازه با هر اندازه‌گیری فرو می‌ریخت. خود شرودینگر بود که پارادوکس معروف گربه (گربه شرودینگر) را مطرح کرد. گربه‌ای که همراه اندکی ماده پرتوزا در جعبه‌ای محبوس شده است. به طوری که در هر ساعت احتمال واپاشی پرتوزا ۵۰ درصد است. اگر واپاشی رخ دهد، دستگاهی به کار می‌افتد که گاز مرگباری را آزاد می‌کند. تابع موج ψ این سیستم در پایان این یک ساعت، وضعیت را به صورت ترکیب خطی، مؤلفه‌های حیوان زنده و حیوان مرده با ضرایب یکسان توصیف می‌کند. آیا واقعاً، گربه تا وقتی که مشاهده‌کننده‌ای به داخل اتاق نگاه نکرده است، نه زنده است و نه مرده؟ پرسش دیگری که اگرچه متفاوت ولی به موضوع مربوط است چنین مطرح می‌شود: آیا با گشودن جعبه، رفتار عجیب مربوط به تابع موج مرکب را می‌توان مانند تابع موج مرکب الکترون پراشیده از دو شکاف مشاهده کرد؟

امروزه، بیشتر فیزیکدانها دیگر نگران چنین مسائلی نیستند. به ویژه، حیوان یا مغز بشر (یا حتی یک ترانزیستور) پیچیده هستند؛ تعداد فرایندهای عصبی دخیل در تصمیم‌گیری وابسته به زندگی فرد، یا تاریخ ثبت شده به قدری زیاد است که هرگونه تأثیر افت‌وخیزهای کوانتومی مطمئناً از میان می‌رود. در مورد گربه شرودینگر، تابع موج حاوی پیامدهای ممکن بسیار زیادی خواهد بود، که تقریباً تمام آنها به یکی از دو پیامد بزرگ مقیاس می‌انجامد، و فقط تعداد اندکی از آنها منجر به چیزی عجیب می‌شود.

مثال ساده‌تری را در نظر می‌گیریم. فرض کنید مکان و تکانه ماه را، به طور همزمان با عدم قطعیت اجتناب‌ناپذیر هاینبرگ اندازه می‌گیریم. در بخش مسائل، به تعیین زمانی که لازم است تا مسیر ماه به میزان یک کیلومتر تغییر کند برمی‌خوریم. در مدت زمان کافی (هزاران سال)، عدم قطعیت کوانتومی اولیه ممکن است به چنین اثری بینجامد. اما، اگر هم چنین شود، تعجبی ندارد زیرا به هر حال هر از گاهی به ماه نگاه می‌کنیم. مانند هر فرایند آماری دیگر، دیدبانی، پاشیدگی آماری پیش‌بینی نتایج را محدود می‌کند. در عین حال، هیچ مدرکی برای اثبات این نکته وجود ندارد که رمبش تابع موج به نوبه خود بر نتیجه‌های آتی تأثیر می‌گذارد. این اندازه‌گیرهای منجر به فروافت تابع موج هستند که تأثیرگذارند. (مثال ۳-۶).

به طور خلاصه، وقتی با اجزاء تشکیل‌دهنده طبیعت، یعنی ذرات سبک یا فوتونها سروکار داریم، باید برخی مفاهیم بر مبنای مشاهده مستقیم را کنار بگذاریم. اینجاست که تجسم ذرات به صورت ملموس، که در مکانیک نیوتونی بسیار مفید است را باید به تصورات دوگانگی موج ذره تغییر دهیم. ماکس فون لاوه (۱۸۷۹-۱۹۶۰) فیزیکدان آلمانی پیشنهاد کرد که، به هنگام نگرستن به آینده جسم کوانتوم مکانیکی را به صورت موج، و در نگرش به گذشته، آن را ذره در نظر بگیریم! یا به صورتی دیگر، در پاسخ به کجا، موج داریم و در پاسخ به

چگونه، ذره. اما به رغم پیش‌بینی‌ناپذیری که با تقسیم عالم به شیئی و جوهر در مکانیک کوانتومی پدید می‌آید، می‌توانیم نتایج کوانتومی را در تصویری که از عالم منظم داریم، بگنجانیم. اغلب «سخت‌افزارها» به قدری بزرگ یا پیچیده (به پر از اجزاء متعدد) هستند که افت و خیزهای کوانتوم هیچ تأثیر ملموسی ندارد. نیلسن بور در «اصل همخوانی» معروفش بر این نکته تأکید کرد که، وقتی شرایط فیزیکی به حد غیرکوانتومی می‌گریند که تعداد زیادی کوانتوم انرژی یا تکانه زاویه‌ای وجود دارد، در این صورت نتایج نظریه کوانتومی باید به نتایج فیزیک کلاسیک میل کند. این موضوع هم در نظریه کوانتومی، و هم در آزمایش رخ می‌دهد.

۵-۶ حیطه مکانیک کوانتومی

پیدایش مکانیک کوانتومی به درک گستره وسیعتری از پدیده‌های فیزیکی انجامیده است. در بخش ۱-۶ گفتیم که چگونه شرودینگر گستره کامل حالت‌های کوانتومی مقید، $1s, 2s, 2p, 3s, 3p, 3d$ و غیره را برای اتم هیدروژن به‌عنوان ویژه حالت‌های (مدهای بهنجار)، معادله مستقل از زمان خود به دست آورد. چون ساختار عناصر جدول تناوبی، برونمایی مستقیم این حالت‌هاست، کم‌کم می‌بینیم که درک ساختار ماده در سطح شیمیایی یکی از پیامدهای مکانیک موجی است. علاوه بر ساختار الکترونی خود اتمها، مکانیک کوانتومی، سرشت پیوندهای شیمیایی در مولکولها و جامدات را نیز توضیح می‌دهد. فیزیک ماده چگال بسیاری از خواص ماده، از جمله ساختار بلوری، رسانش الکتریکی فلزات و نیمرساناها، مغناطیس، ابرشارگی هلیوم مایع II و سازوکار تحول یابنده ابررسانایی را توصیف می‌کند.

با مراجعه به فیزیک اتمی در می‌یابیم که ترازهای انرژی در هیدروژن نه تنها تحت تأثیر جزئیات توزیع بار $\psi^* \psi$ هستند که با «شعاع مدار» الکترون (عدد کوانتومی اصلی n) نشان داده می‌شود، بلکه مستقیماً به تکانه زاویه‌ای الکترون (عدد کوانتومی l) نیز بستگی دارند. هر الکترون دارای گشتاور مغناطیسی ذاتی به خاطر «اسپین» ذاتی یا چرخش حول محورش، است (نگاه کنید به مطالب زیر). اتفاقی که رخ می‌دهد این است که، با توجه به پیش‌بینی نسبیت خاص، الکترون در هنگام حرکت در میدان کولنی هسته، یک میدان مغناطیسی هم می‌بیند. این میدان می‌خواهد گشتاور مغناطیسی ذاتی الکترون را با خود همسو کند که باعث تغییر وابستگی ترازهای انرژی به عدد کوانتومی l می‌شود. این تغییرات به نوبه خود بسامد خطوط گسیلی را تغییر می‌دهند و به ساختار ریز می‌انجامد. تلاش برای به حساب آوردن ساختار ریز توسط معادله شرودینگر با شکست روبه‌رو می‌شود.

خواننده ممکن است نظریه نسبیت خاص اینشتین را مطالعه کرده باشد، بنابه این نظریه قوانین فیزیک باید در تمام چارچوبهای مرجع که با سرعت یکنواخت نسبت به یکدیگر حرکت می‌کنند یکسان باشد، این یعنی ناوردایی نسبیته. از ابتدا معلوم بود که معادله شرودینگر فاقد این ناوردایی است. ساده‌ترین راه منظور کردن نسبیت خاص در مکانیک موجی مستلزم آن است که به جای تابع موج $\psi(x, t)$ معادله شرودینگر یک ماتریس ستونی با چهار درایه $\psi_1, \psi_2, \psi_3, \psi_4$ بگذاریم که معادله‌ای ماتریسی به نام معادله دیراک را می‌دهد. جوابهای این معادله نشان می‌دهد که الکترون دارای حرکتی چرخشی، یعنی همان اسپین ذاتی است. این حرکت، با انتخاب محوری مشخص، دارای دو جهت چرخش، اما یک مقدار نرده‌ای تکانه زاویه‌ای در هر دو است. ψ_1 و ψ_2 احتمال نسبی هریک از دو «اسپین» ممکن را نشان می‌دهند. ψ_3 و ψ_4 اصلاً ربطی به الکترون ندارند، بلکه مربوط به ذره‌ای با همان جرم اما دارای بار الکتریکی مثبت، یعنی پوزیترون است، که آن هم دو امکان برای اسپین دارد. کشف پوزیترون در ۱۹۳۲ نظریه دیراک را تأیید کرد و در نتیجه دیراک به دریافت جایزه نوبل فیزیک در ۱۹۳۳ نایل آمد.

مکانیک کوانتومی، با این تعدیل، نه تنها قادر به توصیف ساختار ریز است، بلکه ساختار فوق ریز را هم کاملاً توضیح می‌دهد. اثر اخیر، تغییر یا جابه‌جایی مختصری (حدود 5×10^{-9} م) یا کمتر در ناحیه مرئی) است، که به خاطر برهم‌کنش گشتاور مغناطیسی هسته با میدان مغناطیسی ناشی از تکانه زاویه‌ای مداری و اسپینی الکترون، به وجود می‌آید. همه این موفقیتها و موفقیتهای دیگر در فیزیک اتمی، فیزیک ماده چگال و فیزیک هسته‌ای، مکانیک کوانتومی را به عنوان نظریه‌ای معتبر در گستره پهنای از پدیده‌ها، تثبیت کرده است.

اکنون به مسئله‌ای اساسی می‌پردازیم. ابتدا نوسانگر هماهنگ فصل ۲ را در نظر بگیرید، مثلاً فنری با پتانسیل $V(x)$ به صورت $\frac{1}{2}kx^2$ ، که k ثابت فنر است. محاسبه نشان می‌دهد که ویژه مقدارهای انرژی معادله مستقل از زمان شرودینگر چنین است $E_n = n\hbar\omega$ و $n = 1, 2, 3, \dots$ بسامد ω از فرمول کلاسیک $\sqrt{k/m}$ به دست می‌آید، که در آن m جرم نوسانگر است. یک سری ترازهای انرژی با فاصله‌های یکسان داریم. حال، به جای آنکه بگوییم نوسانگر در تراز n ام است، بد نیست بگوییم که n کوانتوم ارتعاش داریم. تبدیل صوری از دیدگاه قدیمی به این دیدگاه جدید با روشی به نام کوانتس دوم صورت می‌گیرد، خود معادله شرودینگر نمایانگر «کوانتس اول» است. در این تبدیل، خود تابع موج $\psi(x, t)$ ، از تابعی عددی به عملگر میدانی تغییر می‌یابد، این رهیافت آنچه را که نظریه میدان کوانتومی معروف است می‌دهد. اکنون، نه تنها می‌توان کوانتس (دوم) معادله شرودینگر را به دست آورد، بلکه می‌توان معادله‌های ماکسول را هم کوانتس کرد. بدین ترتیب، معادله‌های اخیر در همان سطح معادله شرودینگر قرار می‌گیرند، یعنی بنیادی‌تر از مکانیک کلاسیک

نیوتونی. کوانتومهای انرژی الکترومغناطیسی، البته همان فوتونها هستند و این بار دوگانگی موج-ذره را برای نور به دست می آوریم.

نظریه میدان کوانتومی شناخت برهم کنش ماده و نور را امکان پذیر می سازد. این شناخت نه تنها در پدیده های انرژی بالا مثلاً، نابودی الکترون-پوزیترون کاربرد دارد، بلکه در کاربرد روزمره ماکروسکوپی نظریه کوانتومی، یعنی لیزر، نیز مهم است. خواننده علاقه مند در بخش مسائل به «جابه جایی لمب» برمی خورد که در زمان خود آزمون مهمی که برای اعتبار الکترودینامیک کوانتومی محسوب می شد.

نسبیت عام اینشتین قائل به هم ارزی قوانین فیزیک بدون توجه به حرکت نسبی چارچوبهای مرجع است. این نظریه، نیروی گرانشی را برحسب خمیدگی فضا زمان چهار بعدی توضیح می دهد. نیروهای طبیعت را می توان به شکل نیروهای الکترومغناطیسی، نیروهای ضعیف (که به رادیواکتیویته می انجامد)، نیروهای قوی که ذرات درون هسته اتم را به هم پیوند می دهد و نیروهای گرانشی مشخص کرد. اگرچه وحدت بخشیدن به سه نیروی اول به خوبی پیشرفت کرده است، مسئله ملحق کردن نسبیت عام به نظریه میدان کوانتومی هنوز حل نشده است. تلاشهای کنونی در راستای نمایش اجزاء طبیعت به صورت «ریسمان»هایی است که احتمالاً در فضا زمان بیست و شش بعدی قرار دارند. اگر این نظریه معتبر باشد، توسعه فیزیک موج دور کاملی را پیموده است، زیرا دینامیک این ریسمانهای بنیادی از دینامیک تارهای کشیده شده کلاسیک فصل ۳ گرفته می شود.

مثال ۱-۶

نشان دهید که مقدار انتظاری عملگر تکانه \bar{p} برای جوابهای حالت ساکن ذره محبوس در جعبه شکل ۱-۶، صفر است.

حل: با استفاده از (۳۰-۶)، حالت مانا به صورت زیر است،

$$\psi(x, t) = u_m(x)e^{-iE_m t/\hbar} \quad (30-6)$$

با استفاده از رابطه زیر، \bar{p} مستقیماً از اصل موضوع (۳) به دست می آید

$$\bar{p}(t) = \int_{-\infty}^{\infty} \psi^*(x, t) p \psi(x, t) dx \quad (23-6 \text{ الف})$$

اگر p را از جدول عملگرها بیابیم و از (۶-۳) نیز استفاده کنیم، داریم.

$$\begin{aligned}\bar{p}(t) &= \int_{-\infty}^{\infty} e^{+iE_m \frac{t}{\hbar}} e^{-iE_m \frac{t}{\hbar}} u_m^*(x) \frac{\hbar}{i} \frac{\partial u_m(x)}{\partial x} dx \\ &= \int_{-\infty}^{\infty} u_m^*(x) \frac{\hbar}{i} \frac{\partial u_m(x)}{\partial x} dx\end{aligned}$$

با استفاده از (۶-۱۴) می‌نویسیم

$$\begin{aligned}u_m(x) &= \sqrt{\frac{2}{L}} \sin\left(\frac{m\pi x}{L}\right) \quad (۶-۱۴) \\ &= \frac{1}{\sqrt{2L}} \frac{1}{i} (e^{ik_m x} - e^{-ik_m x})\end{aligned}$$

که در آن $k_m = m\pi/L$

بنابراین

$$\bar{p}(t) = \frac{L}{2} \int_0^L (e^{+ik_m x} - e^{-ik_m x})^* \left(\frac{\hbar}{i} \frac{\partial}{\partial x} \right) (e^{ik_m x} - e^{-ik_m x}) dx$$

توجه کنید که

$$\begin{aligned}\int_0^L (e^{ik_m x})^* e^{-ik_m x} dx &= \left[\frac{i}{2k_m} \right] (e^{-2ik_m L} - 1) \\ &= \frac{i}{(2k_m)} (e^{-i2\pi m} - 1) = 0\end{aligned}$$

(دو تابع متعامدند).

به همین ترتیب،

$$\int_0^L (e^{-ik_m x})^* e^{ik_m x} dx = 0$$

آنچه باقی می‌ماند چنین است،

$$\bar{p}(t) = -\frac{L}{2} \int_0^L [e^{-ik_m x} \hbar k_m e^{ik_m x} + e^{ik_m x} (-\hbar k_m) e^{-ik_m x}] dx$$

= 0

ویژه حالت‌ها و انرژیهای ذره‌ای را که در چاه پتانسیلی به شکل تابع دلتا مقید است به دست آورید

$$V(x) = -V_0 \delta(x)$$

در اینجا V_0 ثابتی مثبت است (که ابعادش انرژی ضرب در طول است). از توابع دلتا، در مکانیک کوانتومی، اغلب به عنوان مدل استفاده می‌شود. از این مثال در فصل ۷ دربارهٔ امواج غیرخطی - سولیتونها، استفاده خواهد شد.

حل: باید معادلهٔ شرودینگر مستقل از زمان زیر را حل کنیم،

$$\left[- \left(\frac{\hbar^2}{2m} \frac{d^2}{dx^2} + V(x) \right) \right] u(x) = E u(x) \quad (\text{ج ۳-۶})$$

که در آن $V(x) = -V_0 \delta(x)$ می‌توان (ج ۳-۶) را به شکل ساده‌تر زیر نوشت،

$$\frac{d^2 u}{dx^2} + [\lambda + W \delta(x)] u(x) = 0$$

که در آن $W = (2m/\hbar^2)V_0 > 0$ و $\lambda = (2m/\hbar^2)E$ است. به علاوه، چون ذره مقید است، یعنی در حوالی $x = 0$ محبوس است، انتظار داریم که هر مقدار انرژی را که اختیار کند، انرژی کل، E ، در نتیجه λ منفی باشد، $\lambda < 0$. خارج از $x = 0$ ، یعنی بیرون از چاه پتانسیل، $u(x)$ در رابطهٔ ساده‌تر زیر صدق می‌کند

$$\frac{d^2 u}{dx^2} + \lambda u(x) = 0, \quad \lambda < 0$$

تنها جوابهای ممکن عبارت‌اند از

$$u(x) = c_1 e^{-Kx} \quad x > 0$$

$$u(x) = c_2 e^{Kx} \quad x < 0$$

$$K^2 = -\lambda \quad K > 0$$

با توابع نمایی حقیقی سروکار داریم. برای اینکه بهنجارش تابع موج امکان‌پذیر باشد، توابعی را که در حد $x \rightarrow \pm\infty$ به صفر می‌گریند انتخاب می‌کنیم. به علاوه، پیوستگی تابع موج ایجاب می‌کند که $c_1 = c_2 \equiv c$. با انتگرال‌گیری از معادلهٔ شرودینگر در پهنای چاه پتانسیل دلتا داریم (مسئله ۶-۱۱ را هم ببینید)،

$$\frac{du}{dx} \Big|_{0+} - \frac{du}{dx} \Big|_{0-} = -W u(0) = -Wc$$

در اینجا، دقت می‌کنیم که پهنای چاه پتانسیل از 0^+ تا 0^- ، صفر است، بنابراین انتگرال جمله $\lambda u(x)$ در این پهنای صفر می‌شود. از معادله بالا، با قرار دادن جوابهایی که برای $u(x)$ به دست آوریم، داریم

$$-Kc - Kc = -Wc, \quad k = \frac{W}{\psi}$$

بنابراین به دست می‌آوریم

$$u(x) = ce^{-\frac{Wx}{\psi}} \quad x > 0$$

$$u(x) = ce^{\frac{Wx}{\psi}} \quad x < 0$$

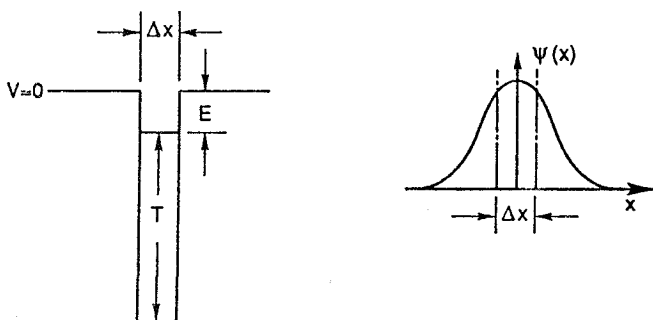
و $E = \hbar^2 W^2 / 2m$ از بهنجار کردن تابع موج،

$$\int_{-\infty}^{\infty} u^*(x)u(x)dx = 2|c|^2 \int_0^{\infty} e^{-Wx} dx = 1$$

نتیجه می‌گیریم $|c| = \sqrt{W/2}$.

مشاهده می‌کنیم که جواب یکتاست. پتانسیل تابع دلتا در یک بعد همیشه فقط یک حالت مقید را می‌دهد. در سه بعد، حتی برای وجود همین یک حالت مقید، باید عرض چاه پتانسیل از مقدار مشخصی کمتر نباشد، در این خصوص به کتاب شیف که در فهرست کتابهای کمکی آمده است رجوع کنید.

بنابه فیزیک کلاسیک، ذره در داخل چاه محبوس است؛ انرژی جنبشی آن کمتر از V_0 است، زیرا کل E منفی اختیار شده است. این بدان معنی است که ذره برای عبور از سدهای موجود در دو طرف چاه پتانسیل، انرژی لازم را ندارد. اما در مکانیک کوانتومی برای یافتن ذره در خارج از چاه پتانسیل هم احتمالی وجود دارد. در واقع، برای پتانسیل تابع دلتا، ذره همیشه خارج از چاه است، اما به خاطر اینکه انرژی کل آن منفی است، نمی‌تواند از چاه جدا و آزاد شود، یعنی، جواب‌نمایی مختلط e^{ikz} را داشته باشد. اگر ذره در داخل چاه محبوس می‌بود، Δx به صفر می‌گرایید که در نتیجه $\Delta k \rightarrow \infty$ ، که انرژی جنبشی بینهایت را ایجاب می‌کرد (شکل ۳-۶). جوابهای با فروافت‌نمایی در مکانیک کوانتومی متداول‌اند، ذرات از به اصطلاح سدهای پتانسیل به بیرون «تونل می‌زنند»، یعنی به نواحی با انرژی جنبشی منفی که در مکانیک کلاسیک ممنوع است، راه می‌یابند. واپاشی پرتوزای هسته‌های اتمها، که در طبیعت متداول است، از طریق چنین فرایندهای تونل‌زنی رخ می‌دهد. به همین ترتیب، در پیوندگاههای جوزفسون



شکل ۳-۶ مثال ۲-۶: در طرف چپ، چاه پتانسیلی تقریباً به شکل δ نشان داده شده است که ذره‌ای در آن محبوس است. در داخل چاه، انرژی جنبشی $T > 0$ خارج از چاه، انرژی جنبشی با انرژی کل برابر می‌شود و منفی است، $T < 0$ در طرف راست، تابع موج ذره نشان داده شده است.

که از دو ابررسانا تشکیل شده است، تونل‌زنی الکترون‌ها از یک ابررسانا به ابررسانای دیگر رخ می‌دهد.

مثال ۳-۶

نشان دهید که با نگاه کردن به ذره، نمی‌توان مکان و تکانه آن را به‌طور همزمان با دقتی بهتر از

$$\Delta x \Delta p \sim h$$

به‌دست آورد.

راهنمایی: اثر پراش را روی توان تفکیک به یاد آورید.

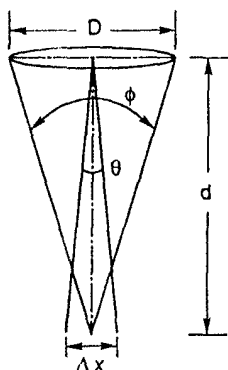
حل: از فصل ۵ می‌دانیم که زاویه تفکیک θ_R از رابطه تقریبی زیر به‌دست می‌آید

$$\theta_R \approx \frac{\lambda}{D}$$

که در آن D ، قطر عدسی است (شکل ۴-۶). بنابراین، پراش توانایی ما را در تعیین مکان ذره به میزان زیر محدود می‌کند،

$$\begin{aligned} \Delta x &\gtrsim \theta_R d \\ &\gtrsim \frac{\lambda d}{D} \end{aligned}$$

که در آن d فاصله بین ذره و عدسی است: مکان ذره از طریق فوتون‌هایی معین می‌شود که



شکل ۴-۶ مثال ۳-۶. تفکیک متناهی عدسی به عدم قطعیت Δx در مکان می‌انجامد. فوتون بازتابنده از ذره، ممکن است هر مسیری را در داخل مخروطی که زاویه ϕ را در بر می‌گیرد، اختیار کند.

پس از برخورد با آن به ما می‌رسند. تکانه هر فوتون، p ، عبارت است از

$$p = \frac{h}{\lambda}$$

نمی‌دانیم فوتون چه مسیری را در زاویه ϕ دنبال می‌کند. اما متوجه می‌شویم که ذره پس‌زده می‌شود و عدم قطعیت Δp در تکانه آن به وجود می‌آید،

$$\Delta p \gtrsim \frac{h}{\lambda} \phi \gtrsim \frac{h D}{\lambda d}$$

بنابراین، با ترکیب نتایج بالا برای Δp و Δx داریم،

$$\Delta x \Delta p \gtrsim h$$

مثال ۴-۶

سیستمی یک‌بعدی دارای دو ویژه حالت انرژی واگن مستقل (راست هنجار) $\psi_0(x, t)$ و $\psi_1(x, t)$ است. (واگن یعنی ویژه مقادیرهای انرژی آنها یکسان است.) فرض کنید در زمان $t = 0$ که سیستم در حالت ψ_0 است، عاملی خارجی اختلالی در سیستم به وجود آورد، که آن را با افزودن عملگر $W(x)$ به هامیلتونی نشان می‌دهیم (نگاه کنید به مسئله ۶-۱۴). تابع موج جدید $\psi(x, t)$ را پس از این اختلال بیابید و وضعیت جدید را توضیح دهید.

حل: معادله شرودینگر برای تابع موج مطلوب $\psi(x, t)$ چنین است:

$$(H + W)\psi = i\hbar \frac{\partial \psi}{\partial t}$$

و دو حالت اولیه ψ_0 و ψ_1 هم در رابطه‌های زیر صدق می‌کنند

$$H\psi_0 = i\hbar \frac{\partial \psi_0}{\partial t}$$

$$H\psi_1 = i\hbar \frac{\partial \psi_1}{\partial t}$$

اگر فرض کنیم $\psi_0(x, t) = u_0(x)e^{-iEt/\hbar}$ و $\psi_1(x, t) = u_1(x)e^{-iEt/\hbar}$ هر دو حالت دارای انرژی یکسان E هستند، آنگاه

$$H(x)u_0(x) = Eu_0(x)$$

و

$$H(x)u_1(x) = Eu_1(x)$$

با استفاده از مسئله‌های طبیعی (۳-۹) که دو نوسانگر جفت شده را توصیف می‌کند، جوابهای ممکن را به صورت زیر بسط می‌دهیم:

$$\phi(x, t) = [a_0 u_0(x) + a_1 u_1(x)]e^{-i\Omega t}$$

که در آن $\hbar\Omega$ (همانند بسامد مد طبیعی) انرژی حالت مانای جدید را می‌دهد. اگر این ϕ را در معادله موج قرار دهیم، داریم،

$$\begin{aligned} a_0 Eu_0(x) + a_0 W(x)u_0(x) + a_1 Eu_1(x) + a_1 W(x)u_1(x) \\ = \hbar\Omega a_0 u_0(x) + \hbar\Omega a_1 u_1(x) \end{aligned}$$

که در آن عامل مشترک $e^{-i\Omega t}$ را حذف کرده‌ایم. برای پیشرفت کار از شگرد معمول استفاده می‌کنیم، یعنی طرفین را به نوبت در هر یک از دو ویژه حالت $u_0(x)$ و $u_1(x)$ ضرب می‌کنیم و با انتگرال‌گیری روی گستره‌ای مناسب از فضا از خاصیت راست‌هنجاری ویژه حالت‌ها استفاده می‌کنیم.

پرسشی که مطرح می‌شود این است که بسط $\phi(x, t)$ برحسب ویژه حالت‌های $u_0(x)$ و $u_1(x)$ تا چه حد جواب کاملی برای معادله موج فراهم می‌آورد. در عمل گاهی فقط دو تابع مجموعه کاملی را تشکیل می‌دهند، مثلاً در مسائلی که به اسپین (یا تکانه زاویه‌ای ذاتی) الکترون مربوط می‌شود. از طرف دیگر، مسائلی هم وجود دارند، مثل وضعیت مسئله (۶-۱۴) در مورد

اثر میدان الکتریکی که دو حالت مجموعه کاملی را تشکیل نمی‌دهند، اما ویژه حالت‌های دیگر انرژی از نظر انرژی آن قدر با این دو فاصله دارند که به سادگی می‌توان نشان داد که افزودن آنها به بسط تأثیری ناچیز خواهد داشت. سیستم استفاده بسیار محدودی از این حالت‌ها می‌کند. بنابراین، با ادامه برنامه یافتن a_0 و a_1 و Ω ، دو معادله زیر را به دست می‌آوریم

$$(-\hbar\Omega + E)a_0 + W_{01}a_1 = 0$$

$$W_{10}a_0 + (-\hbar\Omega + E)a_1 = 0$$

که معادله اول با ضرب کردن در $u_0^*(x)$ و انتگرال‌گیری و معادله دوم با ضرب کردن در $u_1^*(x)$ و انتگرال‌گیری به دست آمد.

اجزاء W_{10} و W_{01} با معادله کلی زیر تعریف می‌شوند:

$$W_{ij} = \int_{-\frac{L}{2}}^{+\frac{L}{2}} u_i^*(x)W(x)u_j(x)dx \quad i = 1, 2 \quad j = 1, 2$$

که در آن x مسئله می‌تواند هر کجا بین $-L/2$ و $+L/2$ باشد. به علاوه، همان طور که معمولاً در عمل اتفاق می‌افتد، فرض کرده‌ایم که $W_{00} = W_{11} = 0$ ، یعنی اجزای قطری صفرند. سرانجام، به واسطه تعریف عملگرهای هرمیتی x در مکانیک کوانتومی داریم، $W_{01} = W_{10}^*$. اکنون بسامد Ω ، مانند مسئله کلاسیک یافتن مدهای بهنجار، با صفر قرار دادن دترمینان ضرایب به دست می‌آید:

$$\begin{vmatrix} -\hbar\Omega + E & W_{01} \\ W_{10}^* & -\hbar\Omega + E \end{vmatrix} = 0$$

که نتیجه می‌شود:

$$\hbar\Omega = E \pm W, \quad W \equiv |W_{01}| = |W_{10}|$$

در نتیجه، دو حالت مانای زیر به دست می‌آیند:

$$\phi_1(x, t) = \frac{[u_0(x) + u_1(x)]}{\sqrt{2}} e^{-i(E+W)t/\hbar} \quad (a_0 = a_1)$$

$$\phi_2(x, t) = \frac{[u_0(x) - u_1(x)]}{\sqrt{2}} e^{-i(E-W)t/\hbar} \quad (a_0 = a_1)$$

$(1/\sqrt{2})[u_0(x) \pm u_1(x)]$ ویژه حالت‌های (به‌تجار شده) جدید H هستند. اکنون، جواب مطلوب $\psi(x, t)$ را می‌توانیم به صورت کلی زیر بنویسیم:

$$\psi(x, t) = \alpha_1 \phi_1(x, t) + \alpha_2 \phi_2(x, t)$$

که در آن α_1 و α_2 ثابت‌هایی هستند که با استفاده از شرایط اولیه تعیین می‌شوند. متوجه می‌شویم که جزئیات برقرار کردن شرایط اولیه در فیزیک کوانتومی با آنچه در فیزیک کلاسیک دیدیم متفاوت است. در فیزیک کلاسیک دو شرط اولیه، مکان اولیه و سرعت اولیه، متناظر با هر درجه آزادی وجود دارد. در اینجا معادله موج فقط به لحاظ مشتق‌گیری نسبت به t از مرتبه اول است، فقط یک شرط وجود دارد، اما هر دو قسمت حقیقی و موهومی تابع موج، حائز اهمیت هستند.

شرط اولیه مربوط به مسئله فعلی چنین است

$$\psi(x, 0) = u_0(x)$$

که هم برای قسمت حقیقی و هم قسمت موهومی صادق است. از آنچه گذشت داریم:

$$\psi(x, 0) = (\alpha_1 + \alpha_2)u_0 \frac{(x)}{\sqrt{2}} + (\alpha_1 - \alpha_2)u_1 \frac{(x)}{\sqrt{2}}$$

بنابراین، جواب یکتا برای α_1 و α_2 چنین است:

$$\alpha_1 = \frac{1}{\sqrt{2}} = \alpha_2$$

و هر دو ضریب حقیقی‌اند.

در نتیجه، سرانجام داریم،

$$\psi(x, t) = A_0(t)u_0(x) + A_1(t)u_1(x)$$

$$A_0(t) = \frac{1}{2} \left(e^{-i(E+W)\frac{t}{\hbar}} + e^{-i(E-W)\frac{t}{\hbar}} \right)$$

$$A_1(t) = \frac{1}{2} \left(e^{-i(E-W)\frac{t}{\hbar}} - e^{-i(E+W)\frac{t}{\hbar}} \right)$$

اینک به بحث می‌پردازیم. مسئله مورد نظر ما این است که پس از ورود اختلال در $t = 0$ ، احتمال اینکه سیستم در حالت‌های $u_0(x)$ و $u_1(x)$ یافت شوند، یعنی $|A_0(t)|^2$ و $|A_1(t)|^2$

چقدر است. داریم:

$$|A_0(t)|^2 = 1 - \sin^2 \left(\frac{Wt}{\hbar} \right)$$

$$|A_1(t)|^2 = \sin^2 \left(\frac{Wt}{\hbar} \right)$$

سیستم (وقتی $E \gg W$) بین دو حالت با دوره $T = (\pi\hbar/W)$ پس و پیش می‌رود. سرانجام، متوجه می‌شویم که تحت تأثیر معادله موج وابسته به زمان خاصیت یکانی حفظ شده است؛ $\psi(x, t)$ بهنجار باقی می‌ماند، زیرا واضح است که $|A_0(t)|^2 + |A_1(t)|^2$ برابر با یک باقی می‌ماند.

رفتاری که ذکر شد، بسیار شبیه انتقال انرژی از یک نوسانگر به نوسانگر دیگری است که به صورت ضعیف با آن جفت شده باشد و در مسئله فیزیک کلاسیک ۳-۹ مطرح شده است. در واقع، محاسبه، کلاسیک می‌تواند مدلی برای محاسبه اخیر باشد و مراحل گوناگون ریاضی این دو نیز تقریباً کاملاً متناظرند.

به طور خلاصه، همانند محاسبه کلاسیک مسئله ۳-۹ که مدهای بهنجار را داد، در مسئله کنونی دو حالت مانای $\phi_1(x, t)$ و $\phi_2(x, t)$ را به عنوان جواب به دست آوردیم. در حالی که در مسئله مشابه کلاسیک انرژی اولیه فقط محدود به یک فر است و در نتیجه به برانگیختگی هر دو مد طبیعی مربوط می‌شود، در اینجا نیز محدود شدن به حالت ψ_0 بدین معنی است که هر دو حالت مانا در زمان $t = 0$ دارای احتمال اشغال شدن هستند. در هر دو مورد، حرکت بعدی شامل هر دو مد بهنجار یا هر دو ویژه حالت است.

اگر، همان طور که در عمل مشاهده می‌شود، اثر میرایی وجود داشته باشد، این دو فرمولبندی اندکی با یکدیگر متفاوت می‌شوند. در مسئله کلاسیک همان طور که در فصل ۳ دیدیم مدهای با بسامد زیاد ابتدا میرا می‌شوند، اما سرانجام سیستم کاملاً متوقف می‌شود. در مکانیک موجی، میرایی باعث می‌شود تا هر سیستم به پایین ترین حالت انرژی مانای خود باز گردد، در اینجا، با توجه به محدودیتهای اعمال شده توسط اصل عدم قطعیت هایزنبرگ، سیستم هنوز هم دارای مقداری انرژی جنبشی و پتانسیل است. آزمایش، مثلاً ارتعاشهای اتمی شبکه بلوری در دمای صفر (نوسانهای نقطه صفر)، تصویر کوانتوم مکانیکی را تأیید می‌کنند.

در مسئله ۶-۱۴ خواننده با مشکل توصیف جفت شدگی دو ویژه حالت سیستم وابسته به زمان روبه‌رو است در این صورت کل سیستم پایستار نیست به این معنی که انرژی از خارج جذب می‌شود. دوباره به وضعیت واداشته برگشته‌ایم که با حالت طبیعی تفاوت دارد، اگر چه معادله موج

هنوز همگن است. در واقع تمام ارتباطات بین دو نوع حرکت را که در فصلهای پیشین درباره فیزیک کلاسیک دیدیم، در اینجا هم می‌یابیم. در مسئله ۶-۱۴ عامل خارجی میدان الکتریکی متناوب است و پذیرفتاری الکتریکی به دست آمده در حالت تشدید همان ویژگیهایی دارد که در نمایش اتم به صورت فنر کلاسیک در مسئله ۲-۱۰ به دست آوردیم. به جای بسامد طبیعی فنر داریم $\Delta E/\hbar$ که در آن ΔE اختلاف انرژی دو حالت ماناست. اما، باید توجه کنیم که تفاوتی هم با حالت کلاسیک وجود دارد، زیرا به جای تابع موج ψ ، مقادیر انتظاری کمیتهای فیزیکی است که در بسامد محرک پاسخ می‌دهند. مروری بر مسئله ۶-۱۳ در به دست آوردن بینش بهتری از اینکه چگونه $\psi^*\psi$ و نه ψ به پدیده‌های مشاهده شده در فیزیک کلاسیک مربوط می‌شوند، کمک می‌کند.

این وضعیت که شکافتگی انرژی دو حالت به دلیل برهم‌کنش تکانه زاویه‌ای پروتون یا نوترون و میدان مغناطیسی DC اعمال شده به وجود می‌آیند زیربنای روشهای تصویر برداری مغناطیسی در پزشکی است. اگر میدان مغناطیسی دیگری با بسامد ω به صورت تپی اعمال شود و اگر $\hbar\omega$ با اختلاف انرژی دو حالت، ΔE ، برابر باشد، شرط تشدید به سرعت به اشغال مساوی هر دو حالت مانا می‌انجامد. زمانهای لازم برای بازگشت به تعادل پس از سپری شدن تپ خروجی القا شده را تعیین می‌کند. این زمانهای واهلش به میدانهای مغناطیسی در مجاورت میکروسکوپی هر هسته تشدید بستگی دارد و میدانهای متفاوت خروجیهای مختلف خواهند داشت.

به طور خلاصه، دیدیم که شباهت بسیاری بین پاسخهای مکانیک کلاسیک و مکانیک کوانتومی وجود دارد. در وهله اول نوسانگرها با ویژه حالت‌های انرژی متناظر می‌شوند، همان طور که نوسانگرها با مدهای بهنجار متناظر بودند؛ در دو مورد برخورد با نوسانگر به صورت موازی ولی نه یکسان انجام می‌گیرد.

مسائل

۶-۱ الف) یک الکترون و یک فوتون، هر یک دارای طول موج 2.0 \AA هستند:

(۱) تکانه آنها چقدر است؟

(۲) انرژی هر یک چیست؟

ب) توان تفکیک میکروسکوپ الکترونی 10 keV را با توان تفکیک میکروسکوپ معمولی که با نور مرئی کار می‌کند، مقایسه کنید. فرض کنید قطر عدسیهای آنها یکسان است.

۶-۲ ثابت کنید روش جداسازی متغیرها، یعنی جواب آزمایشی به صورت

$$\psi(x, t) = u(x)v(t)$$

به حل معادله شرودینگر (۴-۶) می‌انجامد که در آن $u(x)$ در (۳-۶) صدق می‌کند و $v(t)$ در (۲-۶ الف) و (۶-۶) صادق است.

۳-۶ الف) با استفاده از نظریه نیمه کلاسیک بور، شعاع بور a ، و انرژی کل E_1 ، را برای الکترون حالت پایه اتم هیدروژن محاسبه کنید.

راهنمایی: برای یافتن شعاع a ، نیروی جانب به مرکز mv^2/a را مساوی با $e^2/(4\pi\epsilon_0 a^2)$ قرار دهید و تکانه زاویه‌ای الکترون mva را مساوی با $n\hbar$ بگیرید که در آن $n = 1$. سپس نشان دهید که انرژی کل E_1 از $e^2/(\lambda\pi\epsilon_0 a)$ به دست می‌آید و آن را در رابطه‌ای که a را به دست می‌دهد قرار دهید. (ب) تابع موج مستقل از زمان برای حالت پایه (۱s) چنین است

$$u_1(r) = (\pi a^3)^{-\frac{1}{2}} e^{-\frac{r}{a}}$$

از معادله شرودینگر مستقل از زمان استفاده کنید:

$$\left[-\frac{\hbar^2}{2m} \nabla^2 + V(r) \right] u(r) = E u(r)$$

و نشان دهید که a و E_1 منحصرأز همان عبارتهای ساده داده می‌شوند که از نظریه نیمه کلاسیک بور در بالا به دست می‌آید

راهنمایی: برای حل $u_1(r)$ که دارای تقارن کروی است، معادله شرودینگر به این صورت در می‌آید

$$\left[-\frac{\hbar^2}{2mr^2} \frac{\partial}{\partial r} \left(r^2 \frac{\partial}{\partial r} - \frac{e^2}{4\pi\epsilon_0 r} \right) \right] u_1(r) = E_1 u_1(r)$$

این معادله به‌ازای تمام مقادیر r باید برقرار باشد.

۴-۶ الف) با استفاده از تعریف $(Q - \bar{Q})^2$ ، روش به دست آوردن (۶-۲۴) را تحقیق کنید.

ب) Δp را برای ذره‌ای که کاملاً در داخل چاه پتانسیل $L > x > 0$ ، مقید است و در حالت $n = 3$ قرار دارد، محاسبه کنید (شکل ۱-۶).

ج) برای ویژه حالت ب، \bar{x} و Δx را محاسبه کنید.

۵-۶ شرایط مرزی دوره‌ای. چاه پتانسیل زیر را در نظر بگیرید

$$V = 0 \quad L > x > 0$$

$$V = \infty \quad x > L, \quad x < 0$$

اگر در مسئله‌ای، L در مقایسه با ناحیه مورد نظر بزرگ باشد، می‌توانیم شرایط مرزی دوره‌ای را به‌کار ببریم

$$\psi(x + L) = \psi(x)$$

با این شرایط مرزی، بازه خط راست $x = 0$ تا $x = L$ به دایره‌ای به محیط L تبدیل می‌شود. چون فرض کردیم مرزها نقشی ندارند، این مدل فیزیکی هم ساده است و هم قابل قبول.

الف) تمام جوابهای مستقل از زمان ممکن را در داخل چاه بنویسید. این جوابها را به‌نجار کنید.
ب) نشان دهید که جوابهای حاصل ویژه حالت‌های هر دو عملگر هامیلتونی کل و عملگر تکانه هستند.

ج) نشان دهید که برای هر ویژه مقدار انرژی کمتر یا برابر با ویژه مقدارهای E_n تعداد جوابهای موج ایستاده، $u(L) = u(0) = 0$ با جوابهای دوره‌ای برابر است.

۶-۶ الف) با داشتن توزیع عدد موج (۶-۳۵) برای ذره آزاد، نشان دهید که $\Delta p(0) = (\hbar/2a)$ راهنمایی: از فرمولهای کلی (۶-۲۴ ب و ۲۸ ب) و روش به‌دست آمدن (۶-۳۳ الف) برای \bar{p} استفاده کنید.

ب) به همین ترتیب، با استفاده از (۶-۳۹)، نشان دهید که برای همان حالت اولیه $\Delta x(0) = a$ ۶-۷ عملگرهای جابه‌جاپذیر. جابه‌جاگر دو عملگر A و B که با $[A, B]$ نشان داده می‌شود، طبق رابطه زیر تعریف می‌شود

$$[A, B] = AB - BA$$

الف) نشان دهید که عملگرهای جابه‌جاشونده دارای ویژه تابعهای یکسان‌اند.
ب) جابه‌جاگرهای زیر را محاسبه کنید.

$$\begin{aligned} ۱) \quad [p, x] \quad p &= \frac{\hbar}{i} \frac{\partial}{\partial x} \\ ۲) \quad [p, H] \quad H &= V(x) + T \quad V(x) \neq 0 \\ ۳) \quad [p, T] \quad T &= -\frac{\hbar^2}{2m} \frac{\partial^2}{\partial x^2} \end{aligned}$$

ج) براساس بخشهای الف) و ب) نشان دهید که چرا اندازه‌گیری همزمان تکانه و انرژی ذره آزاد بدون خطا امکان‌پذیر است، در حالی‌که اصل عدم قطعیت هایزنبرگ اندازه‌گیری همزمان، مثلاً، تکانه و مکان را محدود می‌کند.

۶-۸ تلسکوپی این امکان را فراهم می‌آورد که ناظر محل ماه را با دقت $10^{-7} \times 5$ رادیان تعیین کند. چند ثانیه طول می‌کشد تا ماه با احتمالی معقول به‌اندازه ۱ کیلومتر از محتملترین مسیر حرکتش منحرف شود؟ از مدل ذره آزاد استفاده کنید.

۹-۶ الف) چاه پتانسیل مربعی یک‌بُعدی را که بین $x = -a$ تا $x = a$ قرار دارد با پتانسیل ثابت منفی $-V_0$ در نظر بگیرید:

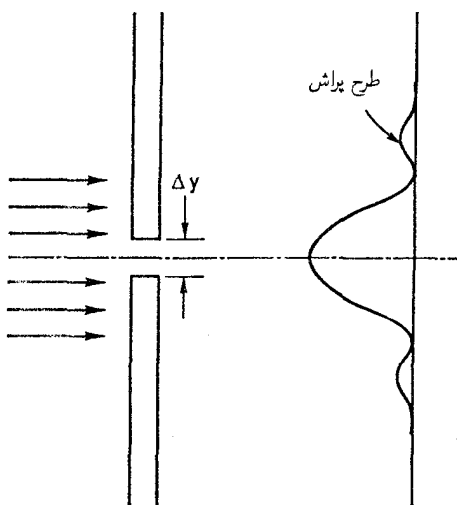
$$V(x) = -V_0 \quad V_0 > 0 \quad a > x > -a$$

$$V(x) = 0 \quad x < -a \quad x > a$$

نشان دهید $V_0 a^2$ هر چقدر کوچک باشد، همواره حداقل یک حالت مقید با $E < 0$ موجود است. تابع موج مستقل از زمان برای این حالت، $u_1(x)$ ، چیست؟ راهنمایی: به شکل ۳-۶ نگاه کنید.

ب) عملگر بازتاب R ، تابع $u(x)$ را به $u(-x)$ و عملگر $Q(x)$ را به $Q(-x)$ تبدیل می‌کند. نشان دهید که برای هامیلتونی مسئله (۹-۶ الف)، H و R جابه‌جا پذیرند (مسئله ۷-۶). این بدان معنی است که جوابهای (الف) دارای تقارن معین حول $x = 0$ هستند، توضیح دهید. جواب $u_1(x)$ که در قسمت (الف) یافتید، دارای چه تقارنی است؟

۱۰-۶ نشان دهید که اگر از شکافی افقی در یک پرده برای مشخص کردن مکان ذره‌ای که از پرده می‌گذرد، استفاده کنیم (شکل ۵-۶)، Δy و دقت اندازه‌گیری p_y همزمان با آن، در اصل عدم قطعیت هایزنبرگ صدق می‌کنند.



شکل ۵-۶ پراش باریکه الکترونی از تک‌شکاف، مسئله ۱۰-۶.

۱۱-۶ جدولی را به صورت زیر تنظیم و جاهای خالی را شماره‌گذاری کنید و سپس عملیات لازم را انجام دهید

نشان دهید که احتمال تراگسیل T از پتانسیل ناگهانی (شکل ۶-۶) چنین است

$$T = \left(\frac{2\sqrt{E}}{(\sqrt{E} + \sqrt{E - V_0})} \right)^2 \sqrt{\frac{E - V_0}{E}}$$

در اینجا E انرژی کل ذرات است، V_0 «ارتفاع» سد است. T چنین تعریف می‌شود

$$T \equiv \left(\frac{C}{A} \right)^2 \frac{v^2}{v^1}$$

$$\left(v \equiv \frac{\hbar k}{m} \right)$$

(دستورالعملها)

الف) معادله موج وابسته به زمان را برای تابع موج $\psi(x, t)$ به ازای $x < 0$ بنویسید.

ب) برای $\psi(x, t)$ چنین جایگزین کنید:

$$\begin{aligned} \psi_1(x, t) &= u_1(x)e^{-i\frac{E}{\hbar}t} \\ &\equiv u_1(x)e^{-i\omega t} \quad x < 0 \end{aligned}$$

و معادله موج مستقل از زمان را برای $u_1(x)$ به دست آورید.

ج) الف) و ب) را با

$$\begin{aligned} \psi_2(x, t) &= u_2(x)e^{-i\left(\frac{E'}{\hbar}\right)t} \\ &\equiv u_2(x)e^{-i\omega't} \quad x > 0 \end{aligned}$$

تکرار کنید.

د) فرض کنید $u_1(x) = Be^{-ik_1x}$

$$u_2(x) = Ce^{ik_2x} \text{ و}$$

بحث کنید.

k_1 و k_2 را بر حسب E و E' بیابید.

نشان دهید که احتمال تراگسیل T از ناپیوستگی ناگهانی در سیم دراز (شکل ۶-۶ الف) چنین است

$$T = \left(\frac{2\sqrt{\rho_1}}{(\sqrt{\rho_1} + \sqrt{\rho_2})} \right)^2 \sqrt{\frac{\rho_1}{\rho_2}}$$

در اینجا، ρ_1 چگالی در طرف راست ناپیوستگی و ρ_2 چگالی در طرف چپ آن است. T چنین تعریف می‌شود

$$T \equiv \left(\frac{C}{A} \right)^2 \frac{v^2}{v^1}$$

(دستورالعملها)

الف) معادله موج وابسته به زمان را برای جابه‌جایی $y_1(x, t)$ به ازای $x < 0$ بنویسید.

ب) برای $y_1(x, t)$ چنین جایگزین کنید:

$$\begin{aligned} y_1(x, t) &= \text{Re}\{u_1(x)e^{-i\omega t}\} \\ &\text{برای } x < 0 \end{aligned}$$

و معادله موج مستقل از زمان را برای $u_1(x)$ به دست آورید.

ج) الف) و ب) را با

$$\begin{aligned} y_2(x, t) &= \text{Re}\{u_2(x)e^{-i\omega't}\} \\ &\text{برای } x > 0 \end{aligned}$$

تکرار کنید.

د) فرض کنید $u_1(x) = Ae^{ik_1x} + Be^{-ik_1x}$

$$u_2(x) = Ce^{ik_2x} \text{ و}$$

بحث کنید.

k_1 و k_2 را بر حسب ω و ω' بیابید.

ه) پیوستگی ψ یکی از اصول موضوع مکانیک کوانتومی است. نشان دهید که

$$\lim_{x \rightarrow 0_-} \psi_1(x, t) = \lim_{x \rightarrow 0_+} \psi_2(x, t)$$

و ω و ω' را بر حسب E و E' بنویسید.

۱) از ه) برای یافتن رابطه بین ω و ω' استفاده کنید.

۲) رابطه بین E و E' چیست؟ آیا آن را باور دارید؟

ز) از صورت کلی معادله وابسته به زمان (ب) استفاده کنید و نشان دهید که $\frac{\partial u}{\partial x}$ در $x = 0$ پیوسته است و اینکه همواره چنین است مگر اینکه $V = \infty$.

ک) با استفاده از (د) تا (ز) نشان دهید که

$$\left(\frac{C}{A}\right)^2 = \left(\frac{2k_1}{k_1 + k_2}\right)^2$$

تعریف T را که در آغاز آمد توجیه و صحت جوابها را بررسی کنید.

ه) با استدلالهای فیزیکی نشان دهید

$$\lim_{x \rightarrow 0_-} y_1(x, t) = \lim_{x \rightarrow 0_+} y_2(x, t)$$

و از ه) استفاده کنید (و) رابطه‌ای بین ω و ω' پیدا کنید.

ز) از قانون دوم نیوتون استفاده کنید و نشان دهید که $\frac{\partial u}{\partial x}$ در $x = 0$ پیوسته است، مگر اینکه $\rho = \infty$. راهنمایی: به روش به دست آوردن معادله موج در فصل ۳ بازگردید.

ک) با استفاده از (د تا ز) نشان دهید که

$$\left(\frac{C}{A}\right)^2 = \left(\frac{2k_1}{k_1 + k_2}\right)^2$$

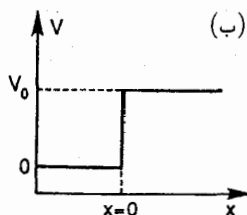
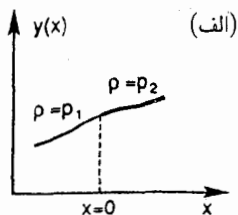
تعریف T را که در آغاز آمد توجیه و صحت جوابها را بررسی کنید.

۱۲-۶ ذره‌ای با انرژی کل E ، از x_0 به x_f ، در سد پتانسیل $V(x)$ تونل می‌زند؛ $V(x) > E$ ، مقایسه با انرژی جنبشی کوچک باشد، یعنی

$$\frac{\left| \frac{dV(x)}{dx} \right| \lambda}{(V - E)} \left(= \frac{2\pi\hbar}{\sqrt{2m(V - E)}} \right) \ll 1$$

آنگاه احتمال اینکه ذره از سد عبور کند چنین است

$$\exp \left\{ - \left(\frac{\sqrt{2m}}{\hbar} \right) \int_{x_0}^{x_f} [V(x) - E]^{\frac{1}{2}} dx \right\}$$



شکل ۶-۶ الف) تار کشیده شده با ناپیوستگی در جرم بر واحد طول در $x = 0$. ب) ناپیوستگی متناظر با آن در پتانسیل $V(x)$ ، مسئله ۱۱-۶.

۱۳-۶ الف) بردار $S(r, t)$ را طبق رابطه زیر تعریف می‌کنیم

$$S = \frac{\hbar}{2im} [\psi^* \nabla \psi - (\nabla \psi)^* \psi]$$

با استفاده از معادله شرودینگر وابسته به زمان و انتگرال‌گیری جزء به جزء نشان دهید که

$$\frac{\partial}{\partial t} [\psi^*(r, t)\psi(r, t)] + \nabla \cdot S(r, t) = 0$$

ب) برای تعبیر NS به عنوان چگالی جریان دلیل بیاورید. N تعداد ذرات موجود در واحد حجم است.

ج) در یک بُعد کار کنید و نشان دهید که رابطه زیر برقرار است:

$$m \frac{d\bar{x}}{dt} = \frac{\hbar}{2i} \int_{-\infty}^{+\infty} \left(\psi^* \frac{\partial \psi^*}{\partial x} - \frac{\partial \psi^*}{\partial x} \psi \right) dx$$

نشان دهید برای اینکه سرعت ذره $v (\equiv d\bar{x}/dt)$ در گستره ذره ثابت باشد، باید در رابطه $S_x(x, t) = v\psi^*(x, t)\psi(x, t)$ صدق کند. از قسمت‌های الف) و ج) برای اثبات این رابطه استفاده کنید. همچنین چون \bar{p}_x همواره حقیقی است، نشان دهید که

$$\frac{d\bar{x}}{dt} = \frac{1}{m} \bar{p}_x$$

د) بازم با انتگرال‌گیری جزء به جزء در دو مرحله، از معادله شرودینگر برای اثبات رابطه زیر استفاده کنید.

$$\frac{d\bar{p}_x}{dt} = -\frac{\partial \bar{V}}{\partial x} = -\int \psi^* \frac{\partial V}{\partial x} \psi dx$$

با استفاده از ج) نشان دهید که اگر $-\partial V/\partial x$ ، یعنی نیرو، در گستره بسته موجی که ذره را تعریف می‌کند تغییرات ناچیزی داشته باشد، قانون دوم نیوتون به دست می‌آید (قضیه اهرنفتست).

۱۴-۶ پاسخ سیستمی دو ترازوی که با میدان الکتریکی متناوب برانگیخته شده است چنین است
 $E(t) = E_0 \cos \omega t = E_0 / 2 (e^{i\omega t} + e^{-i\omega t})$ اگر فاصله دو تراز انرژی در یک اتم به صورت
 زیر باشد

$$E_2 - E_1 \equiv \hbar \omega_0 \quad \omega_0 > 0$$

که ω_0 به بسامد محرک ω نزدیک باشد، می توان از بقیه ترازهای اتمی صرف نظر کرد. تابع موج
 وابسته به زمان را به صورت زیر می نویسیم

$$\psi(\mathbf{r}, t) = c_1(t)u_1(\mathbf{r}) + c_2(t)u_2(\mathbf{r})$$

که در آن $u_1(\mathbf{r})$ و $u_2(\mathbf{r})$ جوابهای مستقل از زمان برای این دو ترازند. بنابراین، اگر H_a هامیلتونی
 اتم بدون میدان الکتریکی اعمال شده باشد، داریم

$$H_a u_1(\mathbf{r}) = E_1 u_1(\mathbf{r})$$

$$H_a u_2(\mathbf{r}) = E_2 u_2(\mathbf{r})$$

اما، با فرض اینکه میدان الکتریکی در جهت t باشد، هامیلتونی واقعی چنین است

$$H = H_a - ezE(t)$$

گشتاور دو قطبی اتمی را می توانیم این طور تعریف کنیم

$$\begin{aligned} \mu &= \int u_1^*(\mathbf{r}) ez u_2(\mathbf{r}) d^3 r \\ &= \int u_2^*(\mathbf{r}) ez u_1(\mathbf{r}) d^3 r \end{aligned}$$

توجه کنید که

$$\int |u_1(\mathbf{r})|^2 z d^3 r = \int |u_2(\mathbf{r})|^2 z d^3 r = 0$$

(تقارن u_1 نسبت به $z = 0$ برخلاف تقارن u_2 نسبت به $z = 0$ است. بنابراین، گشتاور دو قطبی
 μ که دو حالت را به هم جفت می کند، غیر صفر است.)

(الف) از معادله وابسته به زمان شرودینگر استفاده کنید و نشان دهید که

$$\frac{d\rho_{21}}{dt} = -i\omega_0 \rho_{21} + \frac{i\mu}{\hbar} E(t)(\rho_{11} - \rho_{22})$$

$$\frac{d\rho_{22}}{dt} = \frac{-i\mu}{\hbar} E(t)(\rho_{21} - \rho_{11}^*)$$

و چون $1 = \rho_{11} + \rho_{22}$

$$\frac{d}{dt}(\rho_{11} - \rho_{22}) = \frac{2i\mu}{\hbar} E(t)(\rho_{21} - \rho_{21}^*)$$

در اینجا،

$$\rho_{11} = c_1^* c_1 \quad \rho_{22} = c_2^* c_2$$

$$\rho_{21} = c_2^* c_1 \quad \rho_{12} = c_1^* c_2$$

ب) در عمل، هر اتمی که مورد بررسی باشد با اتمهای دیگر برخورد می‌کند. اینجا، مانند آنچه در عمل انجام می‌شود، پاسخ سیستم را با در نظر داشتن این‌گونه برخوردها محاسبه می‌کنیم. در نبود میدان الکتریکی محرک $E(t)$ ، برخورد اتمها باعث می‌شود تا ρ_{11} و ρ_{22} به مقادیر تعادلی خود ρ_{11}^0 و ρ_{22}^0 میل کنند. بنابراین رابطه دوم در قسمت (الف) دارای جمله دیگری نیز مانند زیر می‌شود.

$$\frac{d}{dt}(\rho_{11} - \rho_{22}) = \frac{2i\mu}{\hbar} E(t)(\rho_{21} - \rho_{21}^*) - \frac{(\rho_{11} - \rho_{22}) - (\rho_{11}^0 - \rho_{22}^0)}{\tau}$$

از طرف دیگر، بر اثر برخورد با اتمهای دیگر، ρ_{12} و ρ_{21} دارای فاز مخصوص هر تراز اتمی می‌شوند. در نبود میدان محرک، وجود فازها موجب می‌شود تا مقادیر میانگین ρ_{21} ، ρ_{12} با گذشت زمان صفر شود. برای سادگی فرض می‌کنیم زمان واهلش برای هر دو τ است، که برای رابطه اول قسمت (الف) نتیجه زیر به دست می‌آید

$$\frac{d\rho_{21}}{dt} = -i\omega_0 \rho_{21} + \frac{i\mu}{\hbar} E(t)(\rho_{11} - \rho_{22}) - \frac{\rho_{21}}{\tau}$$

نشان دهید که به طور متوسط، این معادله‌ها دارای جوابهای مانای زیر هستند:

$$\rho_{21}(t) = \sigma_{21} e^{-i\omega t}$$

$$\rho_{12}(t) = \sigma_{12} e^{i\omega t} = \rho_{21}^*$$

راهنمایی: معادله‌های زیر را به دست آورید

$$\frac{d\sigma_{21}}{dt} = i(\omega - \omega_0)\sigma_{21} + \frac{i\mu E_0}{\hbar}(\rho_{11} - \rho_{22}) - \frac{\sigma_{21}}{\tau}$$

$$\frac{d}{dt}(\rho_{11} - \rho_{22}) = \frac{i\mu E_0}{\hbar}(\sigma_{21} - \sigma_{21}^*) - \frac{(\rho_{11} - \rho_{22}) - (\rho_{11}^0 - \rho_{22}^0)}{\tau}$$

در اینجا، فقط جملات دارای بستگی زمانی $e^{-i\omega t}$ در معادله اول نگه داشته شده‌اند و در معادله دوم جملات نمایی وابسته به زمان در نظر گرفته نشده‌اند. این جمله‌های چرخه‌ای در میانگین‌گیری صفر می‌شوند. حال، طرف چپ معادله‌ها را مساوی صفر قرار می‌دهیم تا حالت مانا را بیابیم و نشان دهیم که این معادله‌ها حل شدنی هستند، یعنی جوابهای ثابت را برای τ_{21} مختلط و $(\rho_{11} - \rho_{22})$ مختلط در معادله‌های ناهمگن بالا به دست آوریم.

ج) مانند مسئله ۲-۱۰ پذیرفتاری الکتریکی مختلط را طبق زیر تعریف می‌کنیم

$$P(\omega) = \epsilon_0 \chi(\omega) E(\omega)$$

و یا

$$\begin{aligned} P(t) &= \text{Re}\{\epsilon_0 \chi E_0 e^{i\omega t}\} \\ &= E_0 (\epsilon_0 \chi_1 \cos \omega t - \epsilon_0 \chi_2 \sin \omega t) \\ \chi(\omega) &= \chi_1(\omega) + i\chi_2(\omega) \end{aligned}$$

در ضمن، مانند قبل داریم

$$P(\omega) = N e \bar{z}(\omega)$$

که N تعداد اتمها در واحد حجم است. از قسمت (ب) برای محاسبه $\chi_1(\omega)$ و $\chi_2(\omega)$ استفاده کنید و نتایج را با نتایج مسئله ۲-۱۰ که در آن نوسانگر هماهنگ میرا مدلی برای اتم در نظر گرفته شده بود، مقایسه کنید.

۱۵-۶ یک آزمایش مهم که نظریه کوانتومی را تأیید کرد، اندازه‌گیری «جابه‌جایی لمب» بود. این جابه‌جایی در انرژی تراز $2s$ هیدروژن در مقایسه با تراز $2p$ است، هنگامی که هر دو تراز با تکانه زاویه‌ای کل یکسانی برای الکترون مشخص شوند. (منشأ فیزیکی این جابه‌جایی برهم‌کنش الکترون با میدان الکترومغناطیسی است. درست همان‌طور که الکترون با یونهای باردار بلور میزبان، حتی اگر این یونها ارتعاش نکنند، برهم‌کنش دارد، با میدان EM نیز برهم‌کنش انجام می‌دهد، حتی اگر فوتونهایی وجود نداشته باشد.) این جابه‌جایی را لمب و را در مورد مستقیماً به میزان 1057.5 MHz اندازه‌گیری کردند، که می‌باید با مقدار محاسبه شده 1057.19 MHz مقایسه شود. خطای نسبی این اختلاف را در خط طیفی واقعی $1s \rightarrow 2p$ محاسبه کنید.

برای مطالعه بیشتر

برای مطالعه بیشتر ۲۲۵

W. Heisenberg: *The Physical Principles of the Quantum Theory* (Dover, New York 1930).

بیانیه‌ای مختصر و معتبر دربارهٔ این نظریه.

L. I. Schiff: *Quantum Mechanics* (McGraw - Hill, New York, 1968).

این کتاب یکی از کتابهای کلاسیک دربارهٔ مکانیک کوانتومی است. کتابهای خوب دیگری نیز موجودند.

Aff. Yariv: *Quantum Electronics*, Third Edition (John Wiley & Sons, New York 1987).

محل خوبی برای یافتن کاربردهای مکانیک کوانتومی در رشته‌ای کاملاً کاربردی.

امواج غیرخطی در سطح آب-سولیتونها

مقدمه

یکی از انواع موجها را که در مقدمه فصل ۱ ذکر شد، تاکنون مخصوصاً نادیده گرفته‌ایم - و آن امواج در سطح آب است. این امواج باید در بین اولین نمونه‌های ثبت شده رفتار غیرخطی باشند، رفتاری که فقط در دامنه‌های بسیار کم نقض می‌شود. در فصلهای قبل، معادله‌های حرکت خطی بودند. البته واقف بودیم که معادله‌های خطی شرایط ایده‌آل را نشان می‌دهند. هر چقدر هم که جابه‌جایی یک فتر کوچک باشد، در صورت متناهی بودن، همان‌طور که ابرو و همکارانش در مراجع نشان داده‌اند، حد کشسانی فتر حتماً به نوعی شکسته می‌شود. ایده‌آل‌سازی به معنای آن است که اگر چه برای سادگی، چیزهایی در نظر گرفته نشده‌اند، اما مدل ایده‌آل جنبه‌های اساسی وضعیت فیزیکی را در بردارد. اما امواج آب متفاوت‌اند. نتایجی که با خطی کردن، یعنی با کنار گذاشتن جمله‌های غیرخطی، به دست می‌آیند، اغلب آن قدر از واقعیت به دورند که مفید نیستند. مخصوصاً اینکه، خطی کردن، پدیده‌ای اساسی، یعنی سولیتونها را در نظر نمی‌گیرد. سولیتونها امواج یا تپهای منفردی هستند که هویت خود را به‌طور نامحدود حفظ می‌کنند، در حالی که انتظار داریم آنها به دلیل اثرات پاشندگی سرعت از بین بروند به علاوه، امواج آب مدل بسیاری از پدیده‌های فیزیکی غیرخطی هستند، که با پیشرفت فناوری اهمیت روزافزونی یافته‌اند.

پیدایش تپهای منظم و پایدار بر اثر غیرخطی بودن از پدیده‌های شگفت‌انگیز علم بوده است. همچنین تعجب‌آور است که نتیجه شهودی‌تر غیرخطی بودن، یعنی آشوب، را می‌توان به صورت سازنده تحلیل کرد تا گذار از آشوب به نظم ساختاری را نیز در برگیرد، به طور کلی می‌توانیم بگوئیم که، فصل ۲ تا فصل ۵ با پدیده‌هایی سروکار داشت که در ۱۹۰۰ کاملاً شناخته شده بودند، فصل ۶ ما را تا سال ۱۹۳۰ به پیش برد. پیشرفت در دینامیک غیرخطی از حدود سال ۱۹۶۰ گامهای اساسی برداشته است. در این فصل به امواج غیرخطی و سولیتونها می‌پردازیم. غیرخطی بودن و آشوب موضوع بحث مقاله‌های فصل ۸ هستند.

چکیده

بررسی نظریه امواج سطح آب را با امواج خطی آغاز می‌کنیم، سپس به اثر غیرخطی بودن می‌پردازیم، و بالاخره به موجودیت و توصیف سولیتونها خواهیم پرداخت. در بخش آخر، طرح کلی روش پراکندگی معکوس را در به دست آوردن جوابهای چند سولیتونی، خواهیم آورد. بدین ترتیب، در بخش ۷-۱، نظریه امواج گرانی در شارهای تراکم‌ناپذیر را در نبود جمله‌های غیرخطی ارائه می‌دهیم. تصویری که حاصل می‌شود این است که در کانالهای عمیق اجزاء شماره دستخوش حرکت دایره‌ای می‌شوند. که شعاع آن با حرکت عمودی از سطح به عمق، کاهش می‌یابد. در عین حال معلوم می‌شود که مخصوصاً در آبهای عمیق، پاشندگی، یعنی تغییر سرعت فاز با عدد موج، اهمیت دارد. بخش ۷-۲ به بررسی پیامدهای پاشندگی، به همراه بحثی پیرامون مقایسه سرعت فاز و سرعت گروه، اختصاص دارد. رفتار غیرخطی برای اولین بار در بخش ۷-۳ بررسی می‌شود. این بخش با توصیفی از نظریه مشخصه‌ها که درباره جواب معادله‌های دیفرانسیل جزئی غیرخطی درجه اول به کار بسته می‌شود، آغاز می‌شود. پس از آن، کاربرد مستقیم روش مشخصه‌ها برای معادله‌های دیفرانسیل جزئی در مورد امواج آب، به درک تغییر شکل امواج آب با زمان می‌انجامد. بخش ۷-۴ به معرفی سولیتونها می‌پردازد. ابتدا، نشان داده می‌شود که ترکیب توأم پاشندگی و غیرخطی بودن، به معادله دیفرانسیل جزئی معروف کورتوگ ژوریز^۱ (KdV) می‌انجامد. سپس عبارت صریح جواب تک‌سولیتونی معادله KdV معرفی می‌شود و به دنبال آن عبارت به مراتب پیچیده‌تر چند سولیتونی می‌آید. در بخش آخر، ۷-۵، نشان می‌دهیم که چگونه جوابهای پیچیده معادله KdV که متناظر با تعداد زیادی سولیتون است را می‌توان با روش پراکندگی معکوس به صورت منظم تولید کرد. در این روش جواب مطلوب معادله KdV به عنوان پتانسیل مسئله پراکندگی در نظر گرفته می‌شود. پتانسیلی که باعث پراکندگی می‌شود فقط پس از تعیین صوری تابع پراکنده شده که تحول

زمانی‌اش را معادله KdV به صورت غیرمستقیم کنترل می‌کند، بازسازی می‌شود. محاسبه نشان می‌دهد که هر سولیتون را می‌توان به یک ویژه حالت مقید پتانسیل پراکننده اولیه، یعنی اختلال موجی در زمان اولیه، نسبت داد.

۱-۷ امواج خطی در سطح آب

امواجی که در سطح آب، مثلاً، روی سطح آب برکه، مشاهده می‌شوند سرشتی متفاوت از امواج صوتی در ماده جامد کشسان یا در گاز دارند و تحلیل آنها نیز متفاوت است. وجود امواج کشسان به نیروهای واکنش در تراکم و انبساط بستگی دارد. مایعی مانند آب دارای تراکم‌پذیری نسبتاً کم است و در تحلیل مسئله آن را کاملاً نادیده می‌گیریم. شاره‌های حامل امواج سطحی تراکم‌ناپذیر فرض خواهند شد. پیدایش حرکت امواج سطحی ترکیبی است از انعطاف‌پذیری در مقابل تغییر شکل که طبق تعریف شاره داراست و عمل نیروهای گرانشی که وقتی وارد کار می‌شوند که شاره از حالت استاتیک با کمترین انرژی خارج شود و امواج سطحی به وجود آید.

تحلیل مسئله را به شاره‌ها غیرچسبنده (ایده‌آل) محدود می‌کنیم. به علاوه، از تلاطمها و گردابها نیز که در شاره غیرچسبنده بدون فروافت باقی می‌ماند، صرف نظر می‌کنیم. تاو سرعت هر جزء شاره، $u(\mathbf{r}, t)$ ، صفر است. در نتیجه، همان‌طور که از فصل ۴ می‌دانیم، $u(\mathbf{r}, t)$ را می‌توان به صورت گرادیان میدان نرده‌ای $\phi(\mathbf{r}, t)$ که معرف پتانسیل سرعت است، نشان داد:

$$u(\mathbf{r}, t) = -\nabla\phi(\mathbf{r}, t) \quad (1-7)$$

همچنین از فصل ۴ می‌دانیم که اگر چگالی شاره باشد، معادله پیوستگی چنین می‌شود

$$\rho\nabla \cdot \mathbf{u} + \frac{\partial \rho}{\partial t} = 0$$

که در آن ρu چگالی جریان برحسب جرم در واحد سطح در واحد زمان است. اما هم اکنون گفتیم که ρ ثابت فرض می‌شود، $\partial \rho / \partial t = 0$. شاره تراکم‌ناپذیر در رابطه زیر صدق می‌کند،

$$\Delta \cdot \mathbf{u} = 0 \quad (2-7)$$

بدیهی است که از ترکیب (۱-۷) و (۲-۷) معادله لاپلاس حاصل می‌شود (که در الکتروستاتیک، پتانسیل ناحیه‌ای خالی از بار الکتریکی در آن صدق می‌کند):

$$\nabla^2 \phi = 0 \quad (3-7)$$

در مسئله مورد نظر ما، آب در کانالی با عرض ثابت و دیواره‌های عمودی هموار و کف افقی هموار قرار دارد. در حالت تعادل عمق آب h است. کشش سطحی را که باعث اختلاف فشار در هر مرز خمیده می‌شود، در نظر نمی‌گیریم. بالاخره، فعلاً دامنهٔ امواج را همچنان کوچک می‌گیریم. هنوز فقط با امواج سطحی خطی کار داریم. (پنج اثر را نادیده گرفته‌ایم! تراکم‌پذیری، گردابها، چسبندگی، کشش سطحی، و غیرخطی بودن.)

به امواجی علاقه‌مندیم که در طول کانال، x ، حرکت می‌کنند، z را عمود بر سطح می‌گیریم. بدین ترتیب، پتانسیل سرعت تابعی از x ، z و t به صورت $\phi(x, z, t)$ خواهد بود که مشخصه امواج «تخت» است، یعنی در جهت عرضی y تغییری صورت نمی‌گیرد.

$\phi(x, z, t)$ می‌باید در شرایط مرزی که در کف $z = 0$ و بالای کانال $z = d$ وجود دارد صدق کند. بهتر است برای راحتی $h(x, t)$ را ارتفاع سطح موج نسبت به حالت تعادل سطح در $z = d$ بگیریم، که در اینجا d (میانگین) عمق است. شرط مرزی در $z = 0$ به اندازه کافی ساده است، سرعت عمودی u_z در کف صفر می‌شود

$$u_z(x, z, t) = -\frac{\partial \phi(x, z, t)}{\partial z} = 0, \quad z = 0 \quad (4-7)$$

اما در $z = d$ ، فشار اضافی p وجود دارد. فشار هیدروستاتیک p_0 ، یعنی فشار وقتی که آب در حال تعادل اولیه است، در ارتفاع z از کف کانال، عبارت است از

$$p_0 = p_a + \rho g(d - z) \quad (5-7 \text{ الف})$$

و فشار اضافی p چنین تعریف می‌شود

$$p \equiv p_{\text{tot}} - p_0 \quad (5-7 \text{ ب})$$

که در آن p_a فشار جو و p_{tot} فشار کل است. این فشار اضافی که در سطح $z = d$ وجود دارد. یعنی $p(x, d, t)$ را می‌توان به جابه‌جایی عمودی دینامیک سطح $h(x, t)$ نسبت داد

$$p(x, d, t) = h(x, t)\rho g \quad (6-7)$$

که در آن g ثابت گرانشی است.

فشار اضافی باعث شتاب اجزاء شاره می‌شود. در این بخش فقط به نظریهٔ خطی می‌پردازیم که در آن تغییرات زمانی سرعت شاره $u(x, z, t)$ به دلیل تغییرات متناظری در محل جزء حجم

را می‌توان نادیده گرفت. داریم

$$\rho \frac{\partial u(x, z, t)}{\partial t} = -\nabla p(x, z, t) \quad (۷-۷)$$

و یا

$$\rho \nabla \frac{\partial \phi(x, z, t)}{\partial t} = -\nabla p(x, z, t)$$

بنابراین،

$$p = -\rho \frac{\partial \phi}{\partial t} \quad (۸-۷)$$

از ترکیب (۶-۷) و (۸-۷) داریم

$$\left[\frac{\partial \phi}{\partial t} \right]_{z=d} = -h(x, t)g \quad (۹-۷)$$

در نظریه خطی سرعت عمودی شماره در سطح، $u_z(x, d, t)$ را می‌توان با $\partial h(x, t)/\partial t$ سرعت عمودی سطح، برابر دانست. اگر از دو طرف (۹-۷) نسبت به زمان مشتق بگیریم، به کمک (۱-۷) برای شرط مرزی دوم به دست می‌آوریم

$$\frac{\partial^2 \phi}{\partial t^2} = -g \frac{\partial \phi}{\partial z}, \quad z = d \quad (۱۰-۷)$$

بنابراین مسئله حل معادله لاپلاس (۳-۷)،

$$\frac{\partial^2 \phi(x, z, t)}{\partial t^2} + \frac{\partial^2 \phi(x, z, t)}{\partial z^2} = 0 \quad (۱۱-۷)$$

با شرایط مرزی موجود در بالا و کف کانال، رابطه‌های (۴-۷) و (۱۰-۷) است. جواب را می‌توان با روش جداکردن متغیرها، که به‌طور کامل در فصل ۳ برای تحلیل امواج تارکشیده توصیف شد، به راحتی حل کرد. برای امواجی که در جهت جلو منتشر می‌شوند، جواب به صورت زیر است

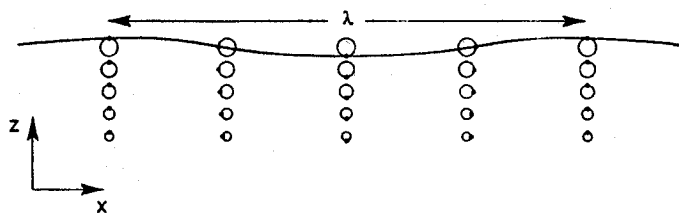
$$\phi(x, z, t) = A \cos h k z \cos[kx - \omega(k)t] \quad (الف ۱۲-۷)$$

که در آن

$$\omega^2(k) = gk \tanh kd \quad (ب ۱۲-۷)$$

A دامنه موج است. خواننده می‌تواند جزئیات را با حل مسئله ۱-۷ به دست آورد.

تصویر فیزیکی متناظر با جواب (۷-۷) را می‌توان به بهترین نحو برای آب عمیق، یعنی حالتی که عمق d بسیار بزرگتر از یک طول موج، $2\pi/k$ ، باشد توصیف کرد. در این مورد می‌توان به جای



شکل ۱-۷. جزءهای شماره آب عمیق که دستخوش حرکت دایره‌ای می‌شوند که فاز آنها به x وابسته است و به امواج آشنای سطح آب می‌انجامد. این شکل در کتاب امواج در شاره‌ها نوشته لایت هیل آمده است.

در نزدیکی سطح آب، $z = d$ ، مقدار $\frac{e^{kz}}{2}$ را قرار داد. مؤلفه‌های سرعت، u_x و u_z چنین می‌شوند

$$u_x = -\frac{\partial \phi}{\partial x} = \frac{kA}{2} e^{kz} \sin(kx - \omega t), \quad (الف \ ۱۳-۷)$$

$$u_z = -\frac{\partial \phi}{\partial z} = \frac{kA}{2} e^{kz} \cos(kx - \omega t), \quad (ب \ ۱۳-۷)$$

مشاهده می‌کنیم که جزء شماره دستخوش حرکت دایره‌ای (در جهت عقربه‌های ساعت، زیرا فاز u_z جلوتر است) با شعاع ثابت می‌شود و فاز فقط به x بستگی دارد. با افزایش عمق (z کمتر از $z = d$)، شعاع کاهش می‌یابد. در شکل ۱-۷ تصویر کاملی از طرز کار موج سطحی آمده است.

۲-۷. پاشندگی. سرعت گروه

اگر معادله دیفرانسیل حاکم بر سیستم خطی باشد، می‌توان جوابها را به صورت نمایش فوریه توابع هماهنگ در چهار بُعد (فضا و زمان) نوشت:

$$e^{i(\mathbf{k} \cdot \mathbf{r} - \omega t)} \quad \text{یا} \quad \sin(\mathbf{k} \cdot \mathbf{r} - \omega t), \cos(\mathbf{k} \cdot \mathbf{r} - \omega t)$$

معادله حاصل که ω و k را به هم مرتبط می‌سازد رابطه پاشندگی سیستم نام دارد. ساده‌ترین شکل رابطه پاشندگی، رابطه‌ای خطی است. سیستمهای دارای این رابطه غیر پاشنده نامیده می‌شوند. اولین سیستمهایی که بررسی کردیم، یعنی امواج ایده‌آل روی تار کشیده در فصل ۳، امواج الکترومغناطیس در خلا فصل ۴، غیر پاشنده بودند. اما، سه نمونه از سیستمهای پاشنده را نیز مشاهده کرده‌ایم، امواج EM که در محیط منتشر می‌شوند، فصل ۵، امواج مادی فصل ۶، و امواج آب این فصل، که برای امواج آب ω و k با رابطه (۱۲-۷) به یکدیگر مربوط می‌شوند.

همان‌طور که در فصل ۳ دیدیم، هرگاه جواب هماهنگی موجود باشد، سرعت موج مثلاً در

نقطه شکم با رابطه زیر داده می‌شود.

$$s_{ph} = \frac{\omega}{k} \quad (۱۴-۷)$$

سرعتی که طبق (۱۴-۷) تعریف می‌شود سرعت فاز نام دارد، و برای سیستم‌های غیرپاشنده ثابت و مستقل از k و ω است. در واقع در فیزیک به ندرت فرستادن اختلالات هماهنگ مورد نظر است، بلکه به گسیل سیگنال‌های فیزیکی مشخص علاقه‌مندیم. همان‌طور که در بخش ۳-۶ دیدیم، نشان دادن این سیگنالها با انتگرالهای فوریه مربوطه (بسته موجها)، کارایی فراوان دارد. بدیهی است چون رابطه پاشندگی خطی است، همه مؤلفه‌های موج با یک سرعت (سرعت فاز) حرکت می‌کنند و سیگنال شکل اولیه‌اش را حفظ می‌کند؛ به معنای متعارف، مؤلفه‌ها «پاشیده» نمی‌شوند. (فرهنگ عمید، «پاشیدن» را چنین معنی می‌کند: افشاندن، ریختن و پراکنده کردن هر چیز پاشیدنی.) از طرف دیگر، در مواقعی که رابطه پاشندگی غیرخطی است، مؤلفه‌های هماهنگ مختلف با سرعت‌های (فاز) مختلف حرکت می‌کنند، و سیگنال پاشیده می‌شود؛ انرژی سیگنال هم پاشیده می‌شود، سیستم پاشنده است!

اکنون طبیعی است که بپرسیم، اگر سیگنال هنوز کاملاً پاشیده نشده باشد، آیا می‌توان سرعتی واحد به آن نسبت داد و آن را سرعت سیگنال یا بسته موج نامید. در یک بعد بسته موج مناسب را می‌توان با انتگرال فوریه نمایش داد

$$h(x, t) = \frac{1}{\sqrt{2\pi}} \int_{-\infty}^{\infty} A(k) e^{i[kx - \omega(k)t]} dk \quad (۱۵-۷)$$

می‌توان استدلال کرد که سهم اصلی این انتگرال برای هر مقدار x و t از ناحیه‌ای در مجاورت مقدار $k_0(x, t)$ ناشی می‌شود که از رابطه زیر به دست می‌آید،

$$\left. \frac{d}{dk} [kx - \omega(k)t] \right|_{k=k_0} = 0 \quad (\text{الف } ۱۶-۷)$$

یا

$$\left. \frac{d\omega(k)}{dk} \right|_{k=k_0(x, t)} = \frac{x}{t} \quad (\text{ب } ۱۶-۷)$$

فقط در مجاورت این مقدار است که فازها به طور سازنده با یکدیگر جمع می‌شوند (روش فاز ثابت). معادله (۱۶-۷) هنگامی که سیگنالهای مورد نظر را بتوان با بسته موجهای فشرده که حول بردار موج ثابت k_0 قرار دارند، نشان داد، ارزشمند است. در این صورت می‌توان معادله (۱۶-۷) را

پس و پیش و چنین استدلال کرد که محل سیگنال، x ، با زمان t با رابطه زیر مرتبط است

$$\frac{x}{t} \equiv s_g = \left. \frac{d\omega(k)}{dk} \right|_{k=k_0} \quad (17-7)$$

که در آن سرعت گروه s_g سرعت واقعی سیگنال است.

اکنون وضعیتی را در نظر بگیرید که در آن سنگی را در برکه «عمیقی» می‌اندازیم. رابطه پاشندگی برای امواج آب در حالت کلی چنین است

$$\omega(k) = [gk \tanh kd]^{\frac{1}{2}} \quad (12-7)$$

منظور از عمیق این است که $kd \gg 1$ ، یعنی عمق آب متناظر با چندین طول موج است. در اینجا داریم،

$$\tanh kd \equiv \frac{(e^{kd} - e^{-kd})}{(e^{kd} + e^{-kd})} \approx 1$$

$$\omega(k) \approx (gk)^{\frac{1}{2}}$$

$$s_g(k) = \frac{\partial \omega}{\partial k} = \frac{1}{2} \left(\frac{g}{k} \right)^{\frac{1}{2}} \quad (18-7 \text{ الف})$$

$$s_{ph}(k) = \frac{\omega}{k} = \left(\frac{g}{k} \right)^{\frac{1}{2}} \quad (18-7 \text{ ب})$$

بنابراین، اگر امواجی را مشاهده کنیم که طول موجهای آنها حول طول موج خاصی توزیع شده است، در می‌یابیم که آنها با سرعت فاز منتشر نمی‌شوند، بلکه با نصف سرعت فاز انتشار می‌یابند! بدیهی است که تفاوت سرعت فاز s_{ph} و سرعت گروه s_g اهمیت دارد.

مفهوم سرعت گروه در تفسیر انتشار بسته‌های موج در مکانیک کوانتومی، مثل بخش ۶-۳، (مسئله ۷-۲)، مفید است. در بررسی‌های پیشرفته‌تر پدیده‌های موجی کلاسیک، سرعت گروه به راستی نقش مهمی دارد (به قسمت برای مطالعه بیشتر در انتهای فصل مراجعه کنید).

برخلاف مورد (۱۸-۷)، برای آب کم‌عمق (امواج بلند، $kd \ll 1$)، داریم،

$$s_g \equiv s_0 = \frac{\partial \omega}{\partial k} = (gd)^{\frac{1}{2}} \quad (19-7)$$

و انتشار موج بدون پاشندگی صورت می‌گیرد (مسئله ۷-۳).

برای امواج تا اندازه‌ای کوتاه‌تر («امواج نسبتاً بلند»)، (۱۲-۷) ب) را بر حسب kd بسط می‌دهیم.

و دو جمله اول را نگه می‌داریم (مسئله ۷-۴)، داریم

$$s_{ph} = \frac{\omega}{k} = s_0 \left(1 - \frac{1}{6} k^2 d^2 \right) \quad (20-7)$$

۳-۷ امواج غیرخطی

شتاب $a(r, t)$ جزئی از شماره در مختصات دکارتی در واقع با سه معادله داده می‌شود، برای مؤلفه x داریم،

$$a_x = \frac{\partial u_x}{\partial t} + u_x \frac{\partial u_x}{\partial x} \quad (۲۱-۷)$$

اولین جمله طرف راست آهنگ زمانی تغییر در نقطه‌ای ثابت را نشان می‌دهد، در حالی که جمله دوم تغییر مکان این جزء را منظور می‌کند. این جمله دوم است که در دو بخش قبلی حذف شد تا فرمولی خطی داشته باشیم. هدف این بخش بررسی پیامدهای جمله غیرخطی است. برای سادگی، جنبه‌های دیگر را که قبلاً در نظر گرفتیم، یعنی دوبعدی بودن امواج در کانال باز و پاشندگی را در اینجا حذف می‌کنیم.

امواج کم عمق را در نظر می‌گیریم که برای آنها چنانکه دیدیم اثرات پاشندگی ناچیز است. هنگام بررسی امواج آب عمیق، دریافتیم که اجزاء نزدیک سطح حرکتی دایره‌ای دارند. حال فرض کنید که عمق آب در مقایسه با طول موج $2\pi/k$ کم باشد. با مراجعه به (۷-۱۲ الف) برای پتانسیل سرعت $\phi(x, z, t)$ مشاهده می‌کنیم که دو مؤلفه سرعت u_x ، u_z که در (۷-۱۳ الف) و (۷-۱۳ ب) تابع e^{kz} هستند، در واقع به ترتیب با $\cos hkz$ و $\sin hkz$ داده می‌شوند. یعنی اینکه برای امواج کم عمق $1 \gg kd$ ، نزدیک سطح $z = d$ بسیار بیشتر از u_z است. در نتیجه، انتشار را می‌توان یک بعدی فرض کرد، و بدون متوسل شدن به پتانسیل سرعت، جواب را مستقیماً به دست آورد. اما، مساحت سطح مقطع کانال $A(p)$ را باید بگذاریم مانند قبل برحسب فشار تغییر کند. چنین داشتیم.

$$p(x, t) = \rho gh(x, t) \quad (۷-۶)$$

$$A(x, t) = b[d + h(x, t)] = bd + p(x, t) \frac{b}{\rho g} \quad (الف ۲۲-۷)$$

$$A(p) = bd + \frac{pb}{\rho g} \quad (ب ۲۲-۷)$$

که در آن d عمق آب کانال در حال تعادل، و b عرض ثابت است.

مانند معادله (۷-۷) گرادیان فشار اضافی به اجزاء شتاب می‌دهد. با توجه به (۲۱-۷)

در یک بعد داریم

$$\rho \left(\frac{\partial u}{\partial t} + u \frac{\partial u}{\partial x} \right) = - \frac{\partial p}{\partial x} \quad (۲۳-۷)$$

که در آن ϱ چگالی ثابت شاره است. معادله مهم دیگر باز هم رابطه پیوستگی است، که برای شاره تراکم‌ناپذیر در کانالی با سطح مقطع متغیر A چنین است

$$\varrho \frac{\partial A}{\partial t} + \varrho \frac{\partial(Au)}{\partial x} = 0 \quad (24-7)$$

از زمان ریاضیدان فرانسوی، آگوستین کوشی (۱۷۸۹-۱۸۵۷)، می‌دانستیم که برخی مسائل مقدار اولیه‌ای که با معادله‌های دیفرانسیل جزئی، حتی غیرخطی، توصیف می‌شوند را می‌توان با یافتن به اصطلاح مشخصه‌ها حل کرد. برای اهداف ما کافی است روش حل مسئله مقدار اولیه‌ای را برای تابع مجهول $w(x, t)$ که در معادله دیفرانسیل جزئی زیر صدق می‌کند، در نظر بگیریم

$$a(x, t, w) \frac{\partial w(x, t)}{\partial x} + b(x, t, w) \frac{\partial w(x, t)}{\partial t} = 0 \quad (25-7)$$

$w(x, 0)$ را می‌دانیم. چون ممکن است a و b به w بستگی داشته باشند، این معادله غیرخطی است. یک مشخصه برای معادله دیفرانسیل جزئی (۲۵-۷)، تابعی $x(t)$ است که از حل معادله دیفرانسیل معمولی زیر به دست می‌آید

$$\frac{dx}{dt} = \frac{a(x, t, w)}{b(x, t, w)} \quad (26-7)$$

که در آن w به عنوان پارامتر ثابتی در نظر گرفته می‌شود ($x(0)$ می‌باید در محدوده‌ای باشد که $w(x, 0)$ برایش تعیین شده است). اکنون مشاهده می‌کنیم که روی مشخصه داریم.

$$dw = \frac{\partial w(x, t)}{\partial x} dx + \frac{\partial w(x, t)}{\partial t} dt$$

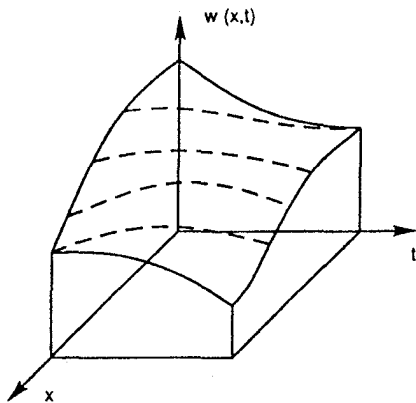
با

$$\frac{dx}{a(x, t, w)} = \frac{dt}{b(x, t, w)} \equiv dl$$

$$dw = \left[\frac{\partial w(x, t)}{\partial x} a(x, t, w) + \frac{\partial w(x, t)}{\partial t} b(x, t, w) \right] dl$$

بنابراین، اگر $w(x, t)$ جواب معادله اصلی (۲۵-۷) باشد، dw صفر است، یعنی w روی منحنی مشخصه $x(t)$ ثابت است.

پس برای معادله دیفرانسیل جزئی مانند (۲۵-۷) مشخصه‌ها را می‌توان به صورت مسیره‌های w ثابت تعریف کرد (شکل ۲-۷). به علاوه، اگر مشخصه‌ها یکدیگر را قطع نکنند، در حالت کلی



شکل ۷-۲ جواب $w(x, t)$ سطح نشان داده شده را درست می‌کند. مشخصه‌ها، یا مسیرهای عابراتنی که بر روی سطح حرکت می‌کنند اما نمی‌خواهند «بالا روند» با خط چین نشان داده شده است. به طور صحیح‌تر باید بگوییم که توابع $x(t)$ تصاویر مشخصه‌ها روی صفحه xt هستند، نه خود مشخصه‌ها.

اگر معادله دیفرانسیل معمولی (۷-۲۶) را بتوانیم حل کنیم، مسئله را حل کرده‌ایم. زیرا اگر بخواهیم $w(x_0, t_0)$ را در نقطه x_0, t_0 بدانیم، رد مشخصه‌ای را که از این نقطه می‌گذرد می‌گیریم تا به نقطه $x(0)$ در $t = 0$ برسیم، یعنی $w(x_0, t_0) = w[x(0), 0]$. این نکات احتمالاً خواننده را به یاد فصل ۳ می‌اندازد، که در آنجا دیدیم که جواب معادله موج همگن (۳-۳) با سرعت اولیه صفر هر تابعی از $x \pm st$ ، یعنی در امتداد این خطوط ثابت بود؛ $x = \pm st$ مشخصه‌های (۳-۳) هستند، نگاه کنید به مسئله (۷-۷).

اکنون می‌خواهیم (۷-۲۲) و (۷-۲۳) و (۷-۲۴) را ترکیب کنیم تا معادله‌های دیفرانسیل جزئی درجه اول به دست آوریم، که هر کدام برحسب فقط یک تابع مجهول باشد که بتوان آن را با روش مشخصه‌ها حل کرد. برخی توابع کمکی $s(p)$ و $P(p)$ را نیز تعریف می‌کنیم که دارای ابعاد سرعت u هستند. ابتدا، توجه می‌کنیم که اگر (۷-۲۴) را خطی کنیم، انتظار داریم همان سرعت فازی را بیابیم که برای امواج بلند در بخش ۷-۲ یافتیم (مسئله ۸-۷)

$$s = (gd)^{\frac{1}{2}} \quad (19-7)$$

محاسبه نشان می‌دهد که s را می‌توان کلیت بخشید

$$s(p)^{-2} \equiv \left[\frac{\rho}{A(p)} \right] \frac{dA(p)}{dp} \quad (27-7 \text{ الف})$$

با استفاده از (۷-۱۹)

$$s^{-2} = \frac{b}{Ag} \approx s_0^{-2} \quad (27-7 \text{ ب})$$

اهمیت فیزیکی s به زودی معلوم می شود. سپس، انتگرال $P(p)$ را چنین تعریف می کنیم،

$$P(p) \equiv \frac{1}{\rho} \int_0^p \frac{1}{s(p')} dp' \quad (28-7)$$

که در آن $s(p)$ طبق (۲۲-۷) و (۲۷-۷) تعریف می شود.

حال اگر به معادله حرکت (۲۳-۷) بازگردیم، ابتدا مشاهده می کنیم که با استفاده از (۲۸-۷)

داریم

$$\rho \frac{\partial P}{\partial x} = \frac{1}{s(p)} \frac{\partial p}{\partial x}, \quad \rho \frac{\partial P}{\partial t} = \frac{1}{s(p)} \frac{\partial p}{\partial t}$$

که پس از تقسیم بر ρ می دهد

$$\frac{\partial u}{\partial t} + u \frac{\partial u}{\partial x} + s \frac{\partial P}{\partial x} = 0 \quad (29-7 \text{ الف})$$

اگر رابطه پیوستگی (۲۴-۷) را به $\rho A/s$ تقسیم کنیم داریم

$$\frac{s}{A} \frac{\partial A}{\partial t} + s \frac{\partial u}{\partial x} + \frac{s}{A} u \frac{\partial A}{\partial x} = 0$$

همچنین با توجه به اینکه

$$\rho \frac{\partial P}{\partial t} = \frac{1}{s(p)} \frac{\partial p}{\partial t}, \quad \frac{\partial A}{\partial t} = \frac{dA}{dp} \frac{\partial p}{\partial t}, \quad \text{و} \quad \frac{\partial A}{\partial x} = \frac{dA}{dp} \frac{\partial p}{\partial x}$$

و با استفاده از تعریف s^{-2} در (۲۷-۷)، می توانیم رابطه پیوستگی را چنین بنویسیم

$$\frac{\partial P}{\partial t} + s \frac{\partial u}{\partial x} + u \frac{\partial P}{\partial x} = 0 \quad (29-7 \text{ ب})$$

از مجموع (۲۹-۷ الف) و (۲۹-۷ ب) داریم

$$\frac{\partial(u+P)}{\partial t} + (u+s) \frac{\partial(u+P)}{\partial x} = 0 \quad (30-7 \text{ الف})$$

و از تفاضل آنها، داریم

$$\frac{\partial(u-P)}{\partial t} + (u-s) \frac{\partial(u-P)}{\partial x} = 0 \quad (30-7 \text{ ب})$$

معادله های (۳۰-۷ الف و ب) معادله های دیفرانسیل جزئی درجه اول غیرخطی مطلوب را که

بر حرکت موج حاکم اند به دست می دهند.

در بقیه این بخش، از معلومات حاصل از نظریه مشخصه‌ها استفاده می‌کنیم تا بدون حل تحلیلی مسئله‌ای خاص، شناختی از انتشار امواج غیرخطی به دست آوریم. فرض کنید، مشخصه‌های مربوط به (۷-۳۰ الف) را C^+ بنامیم. بر روی این مشخصه‌ها، $u + P$ ثابت است و با استفاده از (۷-۲۶) داریم

$$\frac{dx}{dt} = u(x, t) + s(x, t) \quad \text{روی } C^+ \quad (۷-۳۱ \text{ الف})$$

با استفاده از (۷-۳۰ ب)، به طور مشابه داریم

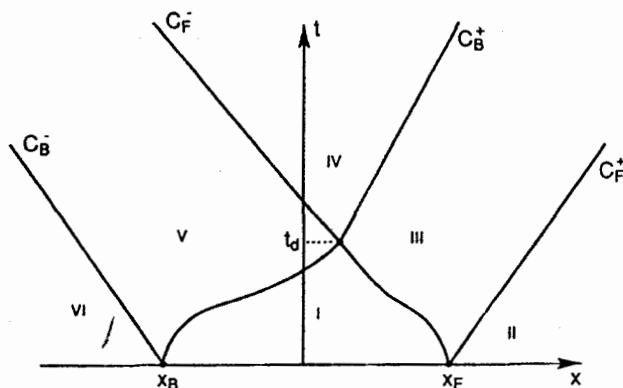
$$\frac{dx}{dt} = u(x, t) - s(x, t) \quad \text{روی } C^- \quad (۷-۳۱ \text{ ب})$$

که در آن C^- مشخصه‌های مربوط به (۷-۳۰ ب) را نشان می‌دهد که بر روی آنها $u - P$ ثابت است. مسئله مقدار اولیه‌ای را در نظر بگیرید که در زمان $t = 0$ همه‌ی شاره‌ی موجود در کانال بجز در بازه $x_B < x < x_F$ در حالت سکون است:

$$u(x, 0), p(x, 0), P(p=0) = 0 \quad x > x_F, \quad x < x_B \quad (۷-۳۲ \text{ الف})$$

$$u(x, 0), p(x, 0), P(p=0) \neq 0 \quad x_F \geq x \geq x_B \quad (۷-۳۲ \text{ ب})$$

مشخصه‌های C^+ و C^- که به ترتیب از x_F و x_B شروع می‌شوند، صفحه xt را به شش منطقه تقسیم می‌کنند، شکل ۷-۳. مناطق II، III، IV و VI در این شکل متناظر با هیچ نوع



شکل ۷-۳ مشخصه‌هایی که به ترتیب از x_B و x_F آغاز می‌شوند، صفحه xt را به شش ناحیه تقسیم می‌کنند. آب در نواحی II، III، IV، VI آشفته نمی‌شود. ناحیه I در t_d تخلیه می‌شود، در این هنگام آشفته‌گی اولیه به صورت «امواج ساده‌ای» که در III و V وجود دارند از هم باز می‌شود. در اینجا مشخصه‌ها خطهای راست هستند اما در حالت کلی با هم موازی نیستند. این شکل از کتاب لایت‌هیل با عنوان امواج شاره‌ها اقتباس شده است.

آشفستگی نیستند، یعنی $u(x, t)$ در این نواحی صفر است. ناحیه II آزاد است زیرا جلوترین قسمت آشفستگی را C_F^+ مقید می‌کند؛ $u + P$ که روی C^+ ثابت است، با توجه به (۷-۳۲ الف) روی همه مشخصه‌های جلوتر C^+ صفر است. آشفستگی هنوز به نقاط فضا زمان ناحیه II نرسیده است. این مطلب درباره ناحیه VI نیز صادق است و می‌توان آن را با معکوس کردن جهت‌ها نشان داد. به علاوه، آشفستگی پیچیده‌ای که در I وجود دارد به دو آشفستگی تقسیم می‌شود که در جهت‌های مخالف در دو ناحیه III و V حرکت می‌کنند و به تدریج ناحیه اولیه $x_F > x > x_B$ و ادامه آن ناحیه IV را که عاری از موج است، ترک می‌کنند، مسئله ۷-۹. آشفستگی‌های ناحیه‌های III و V را امواج ساده می‌نامند، که اکنون به بررسی آنها می‌پردازیم.

می‌توانیم تصور کنیم که ناحیه III را مشخصه‌های C^- می‌پوشانند که از $x > x_F$ آغاز می‌شوند، در آن u و P جداگانه صفر می‌شوند. بنابراین، چون روی C^- تابع $u - P$ ثابت است، داریم

$$u(x, t) = P(x, t) \quad \text{در III} \quad \text{(الف ۳۳-۷)}$$

چنانکه

$$u(x, t) + P(x, t) = 2u(x, t) \quad \text{در III} \quad \text{در امتداد } C^+ \quad \text{(ب ۳۳-۷)}$$

با استفاده از تعاریف (۷-۲۷) و (۷-۲۸) به ترتیب برای s و P و (۷-۲۲ ب) برای $A(p)$ با هم مشاهده می‌کنیم که s و p فقط توابعی از P هستند، بدین ترتیب، با در نظر داشتن (۷-۳۳ ب) نتیجه می‌گیریم که $u(x, t)$ ، $P(x, t)$ ، $s(p)$ و p همگی در امتداد هر مشخصه C^+ در III ثابت هستند؛ طبق (الف ۳۱-۷) این مشخصه‌ها خط‌های راست هستند. این موضوع انگیزه‌ای است که امواج ناحیه III را «امواج ساده» بنامیم. به همین ترتیب، در ناحیه V مشخصه‌های C^- هم خط‌های راست هستند و در آنجا هم امواج ساده داریم.

مشخصه‌ها در نواحی III و V مانند مورد امواج خطی با هم موازی نیستند (مسئله ۷-۹). با استفاده از (۷-۲۸) برای $P(p)$ و (۷-۲۷ ب) برای s ، برای امواج بلند کانال (و همین‌طور، با تغییراتی جزئی، برای بسیاری پدیده‌های دیگر، از جمله جریان خون در سرخرگ‌های انبساط‌پذیر) داریم،

$$P(p) = \frac{1}{\rho} \int_0^p \frac{dp}{s(p)} = \frac{1}{\rho} \sqrt{\frac{b}{g}} \int \frac{dp}{A^{\frac{5}{2}}}$$

با استفاده از (۷-۲۲) برای $A(p)$ این رابطه به رابطه زیر تبدیل می شود

$$P(p) = \sqrt{g/b} \int_{A(0)}^{A(p)} A^{-\frac{1}{2}} dA$$

یا

$$P(p) = 2[s(p) - s_0] \quad (7-34 \text{ الف})$$

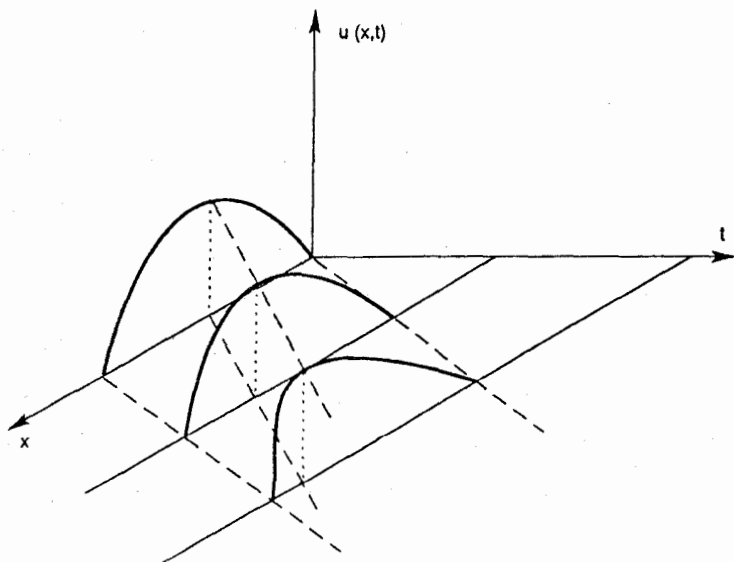
این نتیجه با ترکیب با (۷-۳۳ الف) و (۷-۳۴ الف) چنین به دست می دهد

$$s = s_0 + \frac{u}{\gamma} \quad \text{یا} \quad u + s - s_0 = \frac{\gamma}{2} u \quad (7-34 \text{ ب})$$

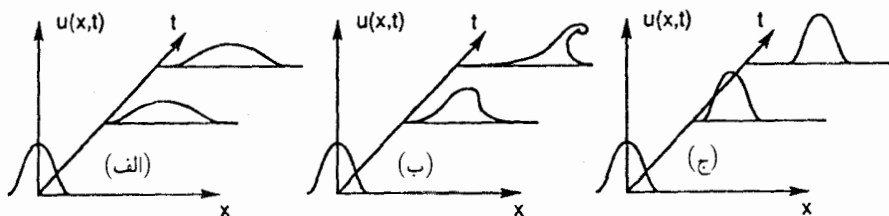
در نتیجه، شیب هر مشخصه C^+ در III، با استفاده از (۷-۳۱ الف) چنین می شود

$$\frac{dx}{dt} = s_0 + \frac{\gamma}{2} u(x, t) \quad \text{در III} \quad (7-35)$$

هر چه u بزرگتر باشد، انتشار هر نقطه (یا هر مقدار خاص u) روی موج سریعتر خواهد بود. به خاطر شیب متفاوت مشخصه ها، امواج غیرخطی در حین انتشار تغییر شکل می دهند، چنانکه در شکل ۷-۴ آمده است. عاقبت موج می شکند، شکل ۷-۵ ب.



شکل ۷-۴ انتشار امواج غیرخطی «ساده». مشخصه ها که به صورت خط چین نشان داده شده اند، با هم موازی نیستند، و به شکل گیری لبه تیزتری برای جبهه موج می انجامد. بالاخره موج می شکند.



شکل ۵-۷ (الف) امواج آب در هر مورد به غیر از کانالهای بسیار کم عمق، پاشیده می‌شوند. (ب) اثرات غیرخطی به تیز شدن لبه جلویی موج می‌انجامد، که در نهایت باعث شکسته شدن موج می‌شود. (ج) هنگامی که پاشندگی مورد (الف) درست با تمرکز در (ب) متوازن شود، سولیتون پایدار به دست می‌آید.

۴-۷ سولیتونها

فیزیک امواج در سطح آب که در بخشهای پیشین این فصل خواندیم در شکلهای ۵-۷ الف و ب نشان داده شده است و به طور تحلیلی می‌توان آن را در معادله‌ای موسوم به معادله کورتوگ دی ژریز خلاصه کرد. مطابق (۳۱-۷ الف)، می‌توانیم $(u + s)$ را به عنوان سرعت «سیگنال» تعبیر کنیم و s را سرعت سیگنال نسبت به حرکت شاره، که با u داده می‌شود، در نظر بگیریم. سرعتی را که موج با آن تغییر شکل می‌دهد $u(x, t)$ می‌نامیم:

$$v(x, t) \equiv u(x, t) + s(x, t) - s_0 = \frac{3}{4}u(x, t) \quad (۳۶-۷)$$

که در آن s_0 سرعت خطی، یعنی حد s است هنگامی که u به صفر میل می‌کند، (۳۴-۷ ب). به همراه آن، در بخش قبل دیدیم که $u + p = 2u$ ، بنابراین

$$u(x, t) + P(x, t) = \frac{4}{3}v(x, t)$$

در نتیجه، (۳۰-۷ الف) به صورت مناسب زیر در می‌آید

$$\frac{\partial v(x, t)}{\partial t} + [v(x, t) + s_0] \frac{\partial v(x, t)}{\partial x} = 0 \quad (۳۷-۷)$$

در بخش ۲-۷ دیدیم که برای امواج آب عمیق، پاشندگی رخ می‌دهد، و سرعت فاز چنین است

$$s = s_0 \left(1 - \frac{1}{6}k^2 d^2 \right) \quad (۱۴-۷)$$

برای منظور کردن این پاشندگی، می‌توان جمله خطی $\sigma \partial^2 v(x, t) / \partial x^2$ را به (۳۷-۷) افزود:

$$\frac{\partial v}{\partial t} + (s_0 + v) \frac{\partial v}{\partial x} + \sigma \frac{\partial^2 v}{\partial x^2} = 0 \quad (الف ۳۸-۷)$$

$$\sigma = \frac{1}{6} s_0 d^2 \quad (ب ۳۸-۷)$$

معادله (۷-۳۷) معادله کورتوگ دی وریز است که در بقیه فصل آن را بررسی می‌کنیم. اما بهتر است، شکل (۷-۳۷) را کمی تغییر دهیم تا با شکل کاربردی آن در ریاضیات مطابقت داشته باشد، و دسترسی خواننده علاقه‌مند را به تحقیقات فعلی آسان کند. سه دستکاری ریاضی مختصر ضروری است. اول، باید به دستگاه مختصاتی برویم که خود با سرعت s در حرکت است. بنابراین

$$x_{\text{جدید}} = x_{\text{قدیم}} - s \cdot t_{\text{قدیم}} \quad (۷-۳۹ \text{ الف})$$

$$t_{\text{جدید}} = t_{\text{قدیم}} \quad (۷-۳۹ \text{ ب})$$

دوم، v جدید را جانشین کنیم،

$$v_{\text{جدید}} = -v_{\text{قدیم}} \quad (۷-۳۹ \text{ ج})$$

سوم، مقیاس را طوری تغییر دهیم که در (۷-۳۸ الف)، σ به واحد تبدیل شود. با توجه به اینکه

$$\frac{\partial}{\partial t_{\text{قدیم}}} = \frac{\partial}{\partial t_{\text{جدید}}} \frac{\partial t_{\text{جدید}}}{\partial t_{\text{قدیم}}} + \frac{\partial}{\partial x_{\text{جدید}}} \frac{\partial x_{\text{جدید}}}{\partial t_{\text{قدیم}}} = \frac{\partial}{\partial t} - s \cdot \frac{\partial}{\partial x}$$

$$\frac{\partial}{\partial x_{\text{قدیم}}} = \frac{\partial}{\partial t_{\text{جدید}}} \frac{\partial t_{\text{جدید}}}{\partial x_{\text{قدیم}}} + \frac{\partial}{\partial x_{\text{جدید}}} \frac{\partial x_{\text{جدید}}}{\partial x_{\text{قدیم}}} = \frac{\partial}{\partial x}$$

که شاخصها را از طرف راست معادله‌ها و آنچه در زیر می‌آید انداخته‌ایم. بدین ترتیب (۷-۳۸ الف) به صورت زیر که معادله کورتوگ دی وریز در متداولترین شکل خود است، در می‌آید،

$$\boxed{\frac{\partial v(x, t)}{\partial t} - \epsilon v(x, t) \frac{\partial v(x, t)}{\partial x} + \frac{\partial^3 v(x, t)}{\partial x^3} = 0} \quad (۷-۴۰)$$

امواج نسبتاً بلند در سطح آب واقعاً از (۷-۴۰) پیروی می‌کنند.

در ابتدا ممکن است فکر کنیم که نمی‌توان چیز جدیدی را از این معادله آموخت، اثرات پاشندگی و غیرخطی بودن قبلاً بررسی شده‌اند. در واقع با وجود آشفتگی اولیه، رابطه (۷-۴۰) به‌طور کلی دارای جوابهای $v(x, t)$ است که به صورت پاشنده‌ای برحسب زمان از بین می‌روند. اما، محاسبه نشان می‌دهد که می‌توان یک برانگیختگی به‌وجود آورد که پایدار باشد و انرژی خود را برحسب زمان از دست ندهد - یعنی یک سولیتون.

وقوع سولیتون را اولین بار اسکات راسل، مهندس راه و ساختمان انگلیسی در ۱۹۳۴ گزارش داد. توصیف او که اکنون معروف است چنین بود: «قایقی را نگاه می‌کردم که دو اسب آن را در کانال باریکی به سرعت می‌کشیدند که ناگهان قایق متوقف شد - اما توده آبی که قایق در کانال به

حرکت در آورده بود متوقف نشد؛ بلکه در حالتی متلاطم اطراف دماغه قایق انباشته شد، سپس قایق را پشت سر گذاشت و با سرعت زیادی جلو رفت، و به شکل یک برآمدگی بزرگ منفرد درآمد و به شکل توده‌ای مشخص، گرد و هموار از آب به راه خود در کانال ادامه داد، بدون اینکه شکل یا سرعت خود را از دست دهد. سوار بر اسب، آن را دنبال کردم، و از آن که هنوز با سرعتی حدود هشت یا نه مایل به پیش می‌رفت و شکل اولیه‌اش را به طول سی فوت و ارتفاع یک یا یک‌ونیم فوت حفظ کرده بود، جلو زدم. ارتفاع آن به تدریج کم می‌شد، و پس از یک یا دو مایل تعقیب، آن را در یک پیچ‌وخم کانال گم کردم».

سولیتونها منحصر به امواج آب کم عمق نیستند. همه پدیده‌های فیزیکی، در دامنه‌های به اندازه کافی بزرگ غیرخطی می‌شوند. فیزیکدانان نظری، احتمالاً برای مدتی طولانی، از مسائلی که غیرخطی بودن به همراه می‌آورد اجتناب می‌کردند. روشهایی که در فصلهای قبل در مورد سیستمهای خطی آموختیم، از جمله تحلیل فوریه یا برهم نهی مدها، در مسائل غیرخطی به‌کار نمی‌روند و همان‌طور که بیش از پیش روشن شده است، غیرخطی بودن اغلب به رفتار آشوبناک می‌انجامد. با این حال، پیامدهای منظمی مثل سولیتون هم امکان‌پذیر است. انواع مختلف سولیتون وجود دارد، از جمله سولیتونهای موج یون-پلازما، سولیتونهای ضربتی شدید، سولیتونهای رسانش عصبی. سولیتونها عملاً در هر شاخه از فیزیک مشاهده شده‌اند. در فیزیک هسته‌ای برای به دست آوردن معادله‌های سولیتونی و جوابهای آن از مسئله ویژه مقداری شرودینگر، از روشهای معکوس استفاده می‌شود. در فیزیک ماده چگال آنچه به سولیتونهای توپولوژیکی مرسوم است و عبور آن باعث تغییر حالت می‌شود، متداول‌اند، در ابررسانایی، گردابه‌های مغناطیسی حامل شار واحد $h/2e$ ، سولیتون هستند، فصل مشترک بین فازهای ساختاری مختلف در بلورها، دیواره‌های منطقه‌ای در مغناطیس و برخی در رفتگیها سولیتون هستند. در هنگام نگاشتن این کتاب، یک طرح چند بلیون دلاری برای کابل فیبر نوری که سیگنالها را به صورت سولیتونهای فیبرنوری از یک سر اقیانوس آرام بسر دیگر ببرد، در دست اجراست.

پایداری سولیتونها را می‌توان به دلیل ترکیب اثرات پاشندگی و غیرخطی تا حدودی درک کرد. در بخش ۷-۲، اثر پاشندگی را بررسی کردیم. دریافتیم که برای امواج آب، مؤلفه‌های موج بلند سریعتر از مؤلفه‌های موج کوتاه حرکت می‌کنند، که مطابق شکل ۷-۵ الف به از بین رفتن تدریجی تپ می‌انجامد. همزمان با آن، در بخش ۷-۳ دیدیم که اثرات غیرخطی مانند شکل ۷-۵ ب به تمرکز تپ در قسمت جلوی موج می‌انجامد. وجود موج منفرد^۱ پایدار (سولیتون)، را می‌توان در نتیجه توازن مناسب دو اثر دانست، که در شکل ۷-۵ ج به صورت یک تپ نشان داده شده است.

جواب تحلیلی معادله KdV (کورتوگ دی ژریز)، که فقط به یک سولیتون مربوط می شود را می توان به شکل سودمند زیر نوشت (مسئله ۷-۱۰)،

$$v(x, t) = -\frac{\alpha^2}{\gamma} \operatorname{sech}^2 \left[\frac{\alpha}{\gamma} (x - \alpha^2 t - x_1) \right] \quad (۴۱-۷)$$

همین طور بد نیست که $f(x, t)$ را به صورت زیر تعریف کنیم

$$f(x, t) \equiv e^{-\alpha(x-x_1)+\alpha^2 t} \quad (۴۲-۷ \text{ الف})$$

که در آن صورت

$$v(x, t) = \frac{-2\alpha^2 f(x, t)}{[1 + f(x, t)]^2} \quad (۴۲-۷ \text{ ب})$$

بیشینه قدر مطلق دامنه $v(x, t)$ برابر است با $\alpha^2/2$ که به ازای $f = 1$ یعنی در $x = \alpha^2 t + x_1$ رخ می دهد، که x_1 تغییر فاز است. سرعت سولیتون α^2 یعنی دو برابر دامنه آن است که نتیجه ای بسیار غیرخطی است. (البته باید به خاطر داشت که برای به دست آوردن سرعت واقعی تپ، مانند آنچه در شکل ۷-۵ آمده است، s را نیز باید به آن اضافه کنیم.) چنانکه در بخش بعد خواهیم دید شرایط اولیه هم α و هم x_1 را مشخص می کند.

تا اینجا بر پایداری یک سولیتون تأکید کردیم؛ یعنی مانع از اثرات پاشندگی شدیم. باز هم آشفتگی غیرخطی است و دامنه سرعت را تعیین می کند. اما از فصل ۲ به یاد داریم که نشانه بارز خطی بودن، برهم نهی است: اگر یک جواب همگن (بدون محرک) را به دست آوریم، و سپس جواب دیگری نیز به دست آوریم، مجموع دو جواب هم یک جواب است. دو جواب تأثیری برهم ندارند. با توجه به معادله KdV، (۷-۴۰)، و بدیهی است که این برهم نهی را نداریم. حال اگر دو سولیتون با دامنه های مختلف داشته باشیم، سرعت آنها نیز متفاوت خواهد بود و به آسانی می توانیم ترتیبی دهیم که سولیتون بزرگتر به سولیتون کوچک برسد و با آن برخورد کند. نکته بسیار قابل توجه آن است که هر دو سولیتون از این برخورد دست نخورده بیرون می آیند، سولیتون بزرگتر از سولیتون کوچکتر می گذرد و تنها تأثیر باقی مانده، تغییر فاز هر یک از سولیتونهاست. بدین ترتیب، سولیتون از جنبه هایی همتای آشفتگی خطی برای معادله KdV است. چگونه می توانیم پایداری سولیتونها را نسبت به برخورد، که در واقع به تعداد سولیتونهایی که با هم برخورد می کنند بستگی ندارد، به صورت تحلیلی ثابت کنیم؟ حل تحلیلی با دو سولیتون برحسب پارامترهای α_1 و α_2 که به ترتیب

f_1 و f_2 را تعریف می‌کنند چنین است

$$v(x, t) = \frac{\alpha_1^2 f_1 + \alpha_2^2 f_2 + 2(\alpha_2 - \alpha_1) f_1 f_2 + \Lambda(\alpha_1^2 f_1^2 f_2 + \alpha_2^2 f_1 f_2^2)}{(1 + f_1 + f_2 + \Lambda f_1 f_2)^2} \quad (الف \ ۴۳-۷)$$

$$\Lambda \equiv \frac{(\alpha_2 - \alpha_1)^2}{(\alpha_2 + \alpha_1)^2} \quad (ب \ ۴۳-۷)$$

که در آن f_1 و f_2 از رابطه (۴۲-۷ الف) به دست می‌آیند و هر f دارای پارامترهای α و x مخصوص به خود است. موضوع مسئله ۷-۱۱ این است که نشان دهید $v(x, t)$ در (۴۳-۷) مربوط به برخوردهای دو سولیتونی است که باعث تغییر شکل نمی‌شوند. نکته‌ای که باید متذکر شد این است که (۴۳-۷) با همهٔ پیچیدگی‌اش حل دقیقی از معادلهٔ KdV، (۷-۴۰) است. برای N سولیتون این عبارت چگونه است؟ چگونه ممکن است چنین جوابهای پیچیده‌ای را بیابیم؟ آیا می‌توان شناخت عمیقتری به دست آورد؟ این شناخت عمیقتر است که موضوع آخرین بخش این فصل، یعنی مبحث بعدی را تشکیل می‌دهد.

۷-۵ پراکندگی معکوس

پراکندگی معکوس روشی است که برای حل برخی معادله‌های دیفرانسیل جزئی غیرخطی، از جمله معادلهٔ کورتوگ دی‌ژریز، به‌کار می‌رود. جواب مطلوب این معادلهٔ دیفرانسیل جزئی به عنوان پتانسیل در مسئلهٔ ساختگی پراکندگی در نظر گرفته می‌شود، این مسئله در ابتدا حل می‌شود. تحول زمانی پاسخ مسئلهٔ پراکندگی از تحول زمانی پتانسیل به دست می‌آید و بدین ترتیب پیامد غیرمستقیم معادلهٔ دیفرانسیل جزئی اولیه است. سپس، پتانسیل، یعنی جواب معادلهٔ دیفرانسیل جزئی با روش بازسازی از جواب مسئلهٔ پراکندگی به دست می‌آید. اینکه چنین روشی را می‌توان به‌کار برد گاردنر، گرین، کروزال و میورا در ۱۹۶۷ در آزمایشگاه فیزیک پلاسما دانشگاه پرینستون، ضمن تحقیق دربارهٔ معادلهٔ KdV، کشف کردند. این گشایش بلافاصله پس از کشف عددی جوابهای پایدار (سولیتونها) توسط زاوسکی و کروزال در ضمن محاسبات رایانه‌ای به‌وجود آمد. نکته آن است که بدون حل کردن خود معادلهٔ دیفرانسیل جزئی، می‌توان بستگی زمانی جوابهای مسئلهٔ پراکندگی را به دست آورد. این روش گرچه سر راست نیست. اما هیچ روش شناخته شده دیگری برای حل این معادله‌های دیفرانسیل جزئی غیرخطی وجود ندارد. با وجود این، معادله‌هایی که حل آنها با این روش امکان‌پذیر است، در فیزیک بسیارند. همان‌طور که گفتیم، سولیتونها در پدیده‌های گوناگون فیزیکی یافت می‌شوند. مبحث زیر محدود به معادلهٔ دیفرانسیل جزئی کورتوگ دی‌ژریز است.

در این روش، فرایند پراکندگی را با معادلهٔ زیر نشان می‌دهند:

$$\frac{\partial^2 \phi(x, \tau; t)}{\partial x^2} - v(x, t) \phi(x, \tau; t) = \frac{\partial^2 \phi(x, \tau; t)}{\partial \tau^2} \quad (۴۴-۷)$$

که در آن $v(x, t)$ جواب مطلوب معادلهٔ KdV است. $\phi(x, \tau; t)$ را «تابع موج ذرهٔ پراکنده شده» نامند، و به خاطر تشابهی که با معادلهٔ شرودینگر وجود دارد $v(x, t)$ را پتانسیل پراکندگی می‌نامیم. به علاوه، τ را «زمان» در نظر می‌گیریم، و زمان فیزیکی، t را که در طول آن $v(x, t)$ تحول می‌یابد، پارامتر ثابتی در فرایند پراکندگی فرض می‌کنیم.

معادلهٔ (۴۴-۷) را با روش معمول جداسازی متغیرها می‌توان حل کرد. اگر تابع زیر را تابع آزمون در نظر بگیریم،

$$\text{تابع آزمون} = u[x, \omega(t); t] e^{-i\omega(t)\tau} \quad (۴۵-۷)$$

که در آن u مستقل از τ است، معادلهٔ ویژه مقداری زیر را می‌بایم،

$$\frac{\partial^2 u[x, \omega(t); t]}{\partial x^2} + [\omega^2(t) - v(x, t)] u[x, \omega(t); t] = 0 \quad (۴۶-۷)$$

بایداری سولیتون این انگیزه را به وجود می‌آورد که به دنبال شرایط اولیه‌ای برای $v(x, t)$ باشیم که ویژه مقدارهای (۴۶-۷)، یعنی $\omega^2(t)$ را، مستقل از زمان می‌کند. متوجه می‌شویم که، شرط کافی برای مستقل از زمان بودن $\omega^2(t)$ های حالت‌های مقید این است که $v(x, t)$ در معادلهٔ KdV صدق کند (مسئلهٔ ۷-۱۵). محاسبه نشان می‌دهد که در معادلهٔ KdV می‌توان ترتیبی اتخاذ کرد که ویژه مقدار حالت‌های آزاد (۴۶-۷) هم ثابت باشند. بنابراین، حال که می‌دانیم می‌توان مستقل از زمان بودن $\omega(t)$ را ثابت کرد، از این به بعد آن را به صورت مستقل از زمان می‌نویسیم. در اینجا روش پراکندگی معکوس بالائیس را با جزئیات آن می‌آوریم. ذرهٔ فرودی به‌ازای هر مقدار ثابت پارامتر t با تپی به شکل تابع دلتای $\delta(x + \tau)$ توصیف می‌شود. ذره با سرعت واحد به طرف چپ در حرکت است (که متناظر با (۴۴-۷) است، آنجا هم سرعت را واحد اختیار کردیم). بدین ترتیب، می‌گوییم در حد مجانبی به‌ازای هر t داریم

$$\lim_{x \rightarrow \infty} \phi(x, \tau; t) \equiv \phi_{\infty}(x, \tau; t) = \delta(x + \tau) + B(x - \tau; t) \quad (۴۷-۷)$$

که در آن $B(x - \tau; t)$ سیگنال بازتابیده است، یعنی موج پراکنده شده از $v(x, t)$ ؛ (۴۷-۷) جواب مسئلهٔ پراکندگی (۴۴-۷) در حد $x \rightarrow \infty$ است.

طبقه‌بندی ویژه تابعهای (۷-۴۶) برحسب فرم مجانبی‌شان سودمند است. پراکندگی مستلزم آن است که $v(x, t)$ فقط در ناحیه‌ای متناهی، $L > x > -L$ گسترده باشد و خارج از این ناحیه $v(x, t)$ صفر شود. فرمهای مجانبی u و $\phi(\infty)$ ، فرمهای این توابع در خارج از این ناحیه‌اند. همان‌طور که قبلاً هم به‌طور تلویحی گفتیم، باید هم ویژه حالت‌های مقید را در نظر بگیریم و هم آزاد؛ به ویژه حالت‌های آزاد را حالت‌های پراکنده می‌گویند.

حالت‌های مقید در ناحیه مجانبی به صورت نمایی فرو می‌افتند:

$$u(x, \omega; t) \equiv u_n(x; t) \rightarrow \gamma_n(t)e^{-K_n x} \quad x \rightarrow \infty \quad \text{در حد (الف ۷-۴۸)}$$

$$\omega = \mp iK_n, \quad K_n > 0 \quad \text{(ب ۷-۴۸)}$$

به عبارت دیگر، «انرژی کل»، ω^2 ، منفی است. هر دو علامت برای ω امکان‌پذیر است (نگاه کنید به آنچه در زیر می‌آید). «ثابت‌های» $\gamma_n(t)$ را بهنجارش ویژه تابعهای تحلیلی $u_n(x; t)$ تعیین می‌کند. این حالت‌ها را می‌توان حقیقی و راست هنجار فرض کرد:

$$\int_{-\infty}^{\infty} u_n(x; t) u_m(x; t) dx = \delta_{nm} \quad \text{(ج ۷-۴۸)}$$

برای ویژه حالت‌های آزاد انتظار داریم که

$$\frac{1}{\sqrt{2\pi}} e^{-ikx} \leftarrow \text{حالت } x \rightarrow \infty$$

در واقع، هر موج فرودی دارای موج پراکنده متناظری است که از بتانسیل پراکندگی خارج می‌شود (مسئله ۶-۱۱)، و در ناحیه $x \rightarrow -\infty$ موج عبوری e^{ikx} ظاهر می‌شود. بنابراین،

$$u(x, \omega; t) \equiv u(x, k; t) \rightarrow \frac{1}{\sqrt{2\pi}} [e^{-ikx} + \beta(k; t)e^{ikx}] \quad x \rightarrow \infty, k > 0$$

$$\rightarrow \frac{1}{\sqrt{2\pi}} \alpha(k; t)e^{-ikx} \quad x \rightarrow \infty, k < 0 \quad \text{(الف ۷-۴۹)}$$

$$\rightarrow \frac{1}{\sqrt{2\pi}} \alpha(k; t)e^{-ikx} \quad x \rightarrow -\infty, k > 0$$

$$\rightarrow \frac{1}{\sqrt{2\pi}} [e^{-ikx} + \beta(k; t)e^{ikx}]$$

$$x \rightarrow -\infty, k < 0 \quad \text{(ب ۷-۴۹)}$$

$$\omega = \pm k \quad \text{(ج ۷-۴۹)}$$

در اینجا، برخلاف حالت‌های مقید، ω پیوستاری را تشکیل می‌دهد. کلی‌ترین جواب، به‌ازای هر k یا K_n معین شامل ترکیبی از بسامدهای مثبت و منفی در توابعی نمایی است. همان‌طور که گفتیم، می‌توان جوابهای $\phi(x, \tau; t)$ را با استفاده از حالت‌های پراکندگی $u(x, k; t)$ و به‌ازای k مستقل از t ، پیدا کرد. بدین ترتیب، فرم مجانبی حالت‌های پراکندگی امواج تخت است که باز هم طبق (۷-۴۹ج) دارای سرعت‌های فاز $(\pm\omega/k)$ برابر واحد هستند. شرط راست هنجاری را، اگر بخواهیم می‌توانیم با استفاده از فرمولبندی دقیق (۱-۳۲ب) چنین بنویسیم

$$\lim_{x \rightarrow \infty} \int_{-\infty}^{\infty} u^*(x, k; t) u(x, k'; t) e^{-\frac{x}{n}} dx = \lim_{n \rightarrow \infty} g_n(k - k') \quad (۷-۴۹د)$$

که در آن، سهم انتگرال از ناحیه پراکندگی $L > x > -L$ را می‌توان صفر فرض کرد. پارامترهای α و β در (۷-۴۹الف و ب) ضرایب پراکندگی نام دارند. از فصل ۶ می‌دانیم که به‌ازای هر t ، پایستگی ذره ایجاب می‌کند که

$$|\alpha(k; t)|^2 + |\beta(k; t)|^2 = 1 \quad (۷-۵۰)$$

که به راست هنجارش (۷-۴۹د) می‌انجامد، نگاه کنید به مسئله ۷-۱۴.

اکنون می‌توانیم مسئله پراکندگی را حل کنیم. در جستجوی جواب $\phi(x, \tau; t)$ برای (۷-۴۴)، تحت شرط اولیه زیر (که برحسب τ است) هستیم،

$$\phi(x, \xi; t) = \delta(x + \xi), \quad |\xi| > L, \xi < 0 \quad (۷-۵۱)$$

رابطه بالا که به‌ازای مقدار اولیه $\tau = \xi$ نوشته شده است، به‌ازای هر t باید صادق باشد. در زمانی دور (τ) در گذشته، ذره‌ای که از $x = \infty$ می‌آید به طرف پتانسیل که در حوالی $x = 0$ واقع است حرکت می‌کند.

از ترکیب تابع آزمون (۷-۴۵) با بسامدهای (۷-۴۸ب و ج)، می‌توانیم به‌ازای $x > 0$ ، $\phi(x, \tau; t)$ را به صورت سودمند زیر بسط دهیم

$$\begin{aligned} \phi(x, \tau; t) = & \sum_n [A_n(t) e^{-K_n \tau} + B_n(t) e^{K_n \tau}] u_n(x; t) \\ & + \int_{-\infty}^{\infty} [A(k; t) e^{-i\omega_k \tau} + B(k; t) e^{i\omega_k \tau}] u(x, k; t) dk \end{aligned} \quad (۷-۵۲)$$

که در آن، A_n, B_n, A و B ضرایب بسط هستند. به خاطر راست هنجار بودن حالت‌های گسسته همین‌طور راست هنجار بودن بر حالت‌های پراکندگی، از (۵۱-۷ و ۵۲) چنین به دست می‌آوریم:

$$A_n(t)e^{-K_n\xi} + B_n(t)e^{K_n\xi} = u_n(-\xi; t) \quad (\text{الف } 53-7)$$

همین‌طور، داریم

$$A(k, t)e^{-i\omega_k\xi} + B(k, t)e^{i\omega_k\xi} = u^*(-\xi, k; t) \quad \omega_k > 0 \quad (\text{ب } 53-7)$$

معادله (۴۴-۷)، مانند معادله کلاسیک موج، نسبت به τ از درجه دوم است. در نتیجه، نه تنها مقدار اولیه $\phi(x, \xi; t)$ ، بلکه مشتق اولیه $\partial\phi(x, \tau; t)/\partial\tau$ نیز باید در شرایط اولیه در $\xi = \tau$ صدق کند. بدین ترتیب، معادله‌هایی برای یافتن A و A_n و B و B_n ، که ضرایب بسط هستند، به دست می‌آید (مسئله ۱۲-۷). نتیجه اینکه به ازای $x \rightarrow \infty$ ، مقدار ϕ, ϕ_∞ ، از رابطه زیر به دست می‌آید

$$\phi_\infty(x, \tau; t) = \sum_n \gamma_n^\dagger(t) e^{-K_n(x-\tau)} + \frac{1}{2\pi} \int_{-\infty}^{\infty} [e^{-ikx} + \beta(k; t) e^{ikx}] e^{-ik\tau} dk \quad (54-7)$$

(صورت ساده شده مسئله ۱۳-۷ ممکن است مفید واقع شود).
اکنون یادآور می‌شویم که طبق (۴۷-۷):

$$\phi_\infty(x, \tau; t) = \delta(x + \tau) + B(x - \tau; t) \quad (47-7)$$

که در آن، B سیگنال برگشتی است. اگر $\delta(x + \tau)$ را طبق معمول به صورت زیر بسط دهیم

$$\delta(x + \tau) = \frac{1}{2\pi} \int_{-\infty}^{\infty} e^{-ik(x+\tau)} dk \quad (25-1)$$

از رابطه (۵۴-۷) چنین می‌یابیم

$$B(x - \tau; t) = \sum_n \gamma_n^\dagger(t) e^{-K_n(x-\tau)} + \frac{1}{2\pi} \int_{-\infty}^{\infty} \beta(k; t) e^{ik(x-\tau)} dk \quad (55-7)$$

گام بعدی به دست آوردن بستگی زمانی برای β و γ_n است. در مسئله ۱۵-۷، از معادله موج (۴۶-۷) و معادله KdV استفاده می‌کنیم تا نشان دهیم که به ازای هر ویژه حالت گسسته

داریم $u_n(x; t)$

$$R_n \equiv u_{nt} + v_x u_n - \nu(v - \nu K_n^2) u_{nx} = 0 \quad (\text{الف } ۵۶-۷)$$

که در آن شاخصهای x و t مشتق جزئی نسبت به متغیرهای مزبور را نشان می‌دهد.

در ناحیهٔ مجانبی $x \rightarrow \infty$ و $v \rightarrow 0$ ، با استفاده از (الف ۵۶-۷) رابطهٔ زیر را برای $\gamma_n(t)$ می‌یابیم (نگاه کنید به (الف ۴۸-۷))،

$$\gamma_n(t) = \gamma_n(0) e^{\nu K_n^2 t} \quad (\text{الف } ۵۷-۷)$$

برای حالت‌های پیوستاری u در همان ناحیهٔ مجانبی، در می‌یابیم (مسئله ۱۵-۷) که اگر قرار باشد k در رابطهٔ (۴۹-۷) مستقل از t باشد، آنگاه می‌باید داشته باشیم

$$R = c(t) u(x, \omega; t) \quad (\text{ب } ۵۶-۷)$$

در اینجا، R همان R_n در رابطهٔ (الف ۵۶-۷) است، با u به جای u_n و $-k^2$ به جای K_n^2 . در (ب ۵۶-۷)، c ممکن است هر تابعی از t باشد، اما تابع x نیست. حال اگر قرار باشد، جملهٔ اول در (الف ۴۹-۷) برای u در حد $x \rightarrow \infty$ ، یعنی e^{-ikx} ، جواب مجانبی (ب ۵۶-۷) باشد، باید داشته باشیم

$$c = \nu i k^2 \quad (\text{ب } ۵۸-۷)$$

که صورت صحیح u در حد $x \rightarrow -\infty$ ، (ب ۴۹-۷)، را نیز به دست می‌دهد. با چنین مقداری برای c ، مشاهده می‌کنیم که برای اینکه جملهٔ دوم، $\beta(k; t) e^{ikx}$ ، جواب (ب ۵۶-۷) باشد، باید داشته باشیم،

$$\beta(k; t) = e^{\nu i k^2 t} \quad (\text{ب } ۵۷-۷)$$

بالاخره، با قرار دادن (ب ۵۷-۷) و (ب ۵۵-۷) خواهیم داشت،

$$B(x - \tau; t) = \sum_n \gamma_n^2 e^{-K_n(x-\tau) + \nu K_n^2 t} + \frac{1}{\nu \pi} \int_{-\infty}^{\infty} \beta(k) e^{ik(x-\tau) + \nu i k^2 t} dk \quad (\text{ب } ۵۹-۷)$$

که در آن γ_n و $\beta(k)$ مقادیر خود در $t = 0$ را اختیار می‌کنند. این مقادیر را می‌توان با محاسبهٔ مستقیم حالت‌های مقید و حالت‌های پراکندگی وابسته با $v(x, 0)$ معین، پیدا کرد؛ برای روشن‌تر

شدن مطلب به مثال ۱-۷ و مسئله ۷-۲۰ رجوع کنید. مشاهده می‌کنیم که $B(x - \tau; t)$ که با توجه به (۴۷-۷) و (۵۱-۷) در حد $\tau \rightarrow -\infty$ به صفر میل می‌کند، در واقع کاملاً متشکل از امواجی است که طبق آنچه برای بخش پراکنده ϕ انتظار داریم در زمان τ به سمت راست حرکت می‌کنند.

برای بازسازی $v(x, t)$ از $\phi(x, \tau; t)$ ، از نمایش ϕ به صورت معادله خطی انتگرالی فردهولم، آغاز می‌کنیم:

$$\phi(x, \tau; t) = \phi_{\infty}(x, \tau; t) + \int_x^{\infty} K(x, \xi; t) \phi_{\infty}(\xi, \tau; t) d\xi \quad (۶۰-۷)$$

که در آن $K(x, \xi; t)$ هستهٔ معادله است. با قرار دادن این فرم ϕ در معادلهٔ موج اولیه (۴۴-۷)، در مسئله ۷-۱۶ در می‌یابیم K که (۶۰-۷) را حل می‌کند، در رابطهٔ زیر نیز صادق است،

$$K_{\xi\xi}(x, \xi; t) - K_{xx}(x, \xi; t) + v(x, t)K(x, \xi; t) = 0 \quad \xi > x \quad (\text{الف } ۶۱-۷)$$

$$-2 \frac{\partial}{\partial x} K(x, x; t) = v(x, t) \quad (\text{ب } ۶۱-۷)$$

$$K, K_{\xi} \rightarrow 0 \quad \text{وقتی } \xi \rightarrow \infty \quad (\text{ج } ۶۱-۷)$$

که در آن، شاخصها باز هم نشان‌دهندهٔ مشتقها هستند. شروط (۶۱-۷)، جوابی یکتا برای تابع $K(x, \xi; t)$ به دست می‌دهند.

به علاوه، با بازگشت به مسئله پراکندگی، روشن است که هیچ آشفستگی که از $x = -\tau$ شروع شود و در جهت منفی x با سرعت واحد حرکت کند، حتی پس از پراکندگی، وارد ناحیهٔ $x < (x + \tau)$ نخواهد شد. چون ϕ در این ناحیه صفر است، (۶۰-۷) را می‌توانیم به صورت زیر (شرط علیت) بنویسیم

$$\phi_{\infty}(x, \tau; t) + \int_x^{\infty} K(x, \xi; t) \phi_{\infty}(\xi, \tau; t) d\xi = 0 \quad x + \tau < 0$$

با استفاده از عبارت (۴۷-۷) که سیگنال بازتابیده B را برحسب ϕ_{∞} بیان می‌کند، داریم

$$B(x - \tau; t) + K(x, -\tau; t) \int_x^{\infty} K(x, \xi; t) B(\xi - \tau) d\xi = 0 \quad x + \tau < 0$$

با قرار دادن y به جای τ ، که مرسوم است، و با قرار دادن z به جای ξ ، داریم

$$K(x, y; t) + B(x + y; t) + \int_x^{\infty} K(x, z; t) B(z + y; t) dz = 0 \quad y > x \quad (۶۲-۷)$$

معادله (۶۲-۷) به نام به وجود آورندگان آن به معادله گلفاند-لویتن-مارچنکو^۱ معروف است. همان طور که خواهیم دید، نکته اینجاست که وقتی B را داشته باشیم، به آسانی می توانیم (۶۲-۷) را حل کنیم، در حالی که چنانکه گفتیم، هیچ روش مستقیمی برای حل معادله KdV وجود ندارد. با حل معادله انتگرالی (۶۲-۷)، $v(x, t)$ از (۶۱-۷) به دست می آید.

توجه شما را به این واقعیت جلب می کنیم که B در رابطه (۵۹-۷) از دو قسمت تشکیل شده است، منشأ یکی در حالت های مقید است و دیگری در حالت های پیوستاری. در مسئله ۷-۱۷، نشان می دهیم که چگونه اثرات در قسمت مذکور را می توان به هنگام حل (۶۲-۷) برای K ، از هم جدا کرد. در هر صورت، با توجه به پاشندگی موجود در معادله KdV شگفت انگیز نیست که اثرات جمله دوم با گذشت زمان به سرعت از بین می رود (بستگی زمانی $t^{-1/2}$ است، مسائل ۷-۱۸ و ۷-۲۰)، و فقط اثرات جمله اول، یعنی سولیتونها، باقی می ماند.

با نگرش مجدد به (۵۹-۷) و نادیده گرفتن سهم پیوستاری، می توان نوشت (با یادآوری

$$(y = -\tau$$

$$B(x + y; t) = \sum_n g_n(x) h_n(y) \quad (\text{الف } ۶۳-۷)$$

به همراه

$$g_n(x; t) \equiv \gamma_n^2 e^{-K_n x + K_n^2 t} \quad (\text{ب } ۶۳-۷)$$

$$h_n(y) \equiv e^{-K_n y} \quad (\text{ج } ۶۳-۷)$$

به همین ترتیب، تابعی آزمون برای $K(x, y; t)$ ، به صورت زیر انتخاب می کنیم

$$K(x, y; t) = \sum_n \omega_n(x; t) h_n(y) \quad (\text{د } ۶۳-۷)$$

که در آن $\omega_n(x; t)$ توابعی هستند که باید مشخص شوند. با قرار دادن (۶۳-۷) در (۶۲-۷) داریم،

$$\sum_n h_n(y) \left[\omega_n(x; t) + g_n(x; t) + \sum_m \omega_m(x; t) \int_x^\infty h_m(z) g_m(z; t) dz \right] = 0$$

بنابراین برای هر n باید داشته باشیم.

$$\omega_n(x; t) + g_n(x; t) + \sum_m \omega_m(x; t) \int_x^\infty h_m(z) g_m(z; t) dz = 0 \quad (۶۴-۷)$$

اگر N حالت مقید وجود داشته باشد، (۶۴-۷) نمایانگر مجموعه‌ای از N معادله غیرهمگن خطی برای ω_m ، $m = 1, 2, \dots, N$ است. در نمایش ماتریسی این مجموعه معادله‌ها را می‌توان به صورت زیر نوشت

$$PW = -G$$

که در آن W و G ماتریسهای ستونی هستند که اجزایشان به ترتیب ω_n و g_n است و

$$P_{mn}(x; t) = \delta_{mn} + \int_x^\infty g_m(z; t) h_n(z) dz \quad (65-7)$$

جواب، چنین است

$$W = -P^{-1}G$$

و

$$\begin{aligned} K(x, x; t) &= H^T(x)W(x; t) = -H^T(x)P^{-1}(x; t)G(x; t) \\ &= -\sum_{m,n} h_m(x)P_{mn}^{-1}g_n(x; t) \end{aligned}$$

که در آن $H^T(x)$ ماتریسی سطری با اجزاء $h_n(x)$ است چون

$$\frac{\partial}{\partial x} P_{mn}(x; t) = -g_m(x; t)h_n(x; t)$$

همچنین داریم

$$\begin{aligned} K &= \text{Tr}\left\{P^{-1}\frac{\partial P}{\partial x}\right\} \quad (\text{جمع اجزاء قطری}) \\ &= \sum_n \sum_m \frac{P'_{mn}}{|P|} \frac{\partial P_{mn}}{\partial x} \\ &= |P|^{-1} \frac{\partial |P|}{\partial x} \end{aligned} \quad (66-7)$$

که در آن $|P|$ دترمینان ماتریس P است و P'_{mn} همعامل P_{mn} است.

با استفاده از (۶۳-۷ ب و ج) که g_n و h_n را تعریف می‌کنند، می‌توان $P_{mn}(x; t)$ را در (۶۵-۷) به دست آورد.

$$P_{mn}(x, t) = \delta_{mn} + \frac{\gamma_m^2 e^{-(K_m + K_n)x + \lambda K_m^* t}}{K_m + K_n} \quad (67-7)$$

سرانجام، با استفاده از (۶۷-۷) که v را به K مربوط می‌کند، داریم

$$v(x; t) = -2 \frac{\partial^2}{\partial x^2} \log |P(x; t)| \quad (۶۸-۷)$$

برای نشان دادن کاربرد (۶۷-۷) و (۶۸-۷)، در مثال ۷-۱، تحول زمانی سولیتونی را که بر اثر موج دلتا حاصل می‌شود، به دست می‌آوریم. از فصل ۶ به خاطر دارید که تابع دلتا فقط یک حالت مقید دارد که به یک سولیتون می‌انجامد. اینکه چگونه شرط اولیه $v(x, 0)$ تحول سولیتون را مشخص می‌کند، نکته جالبی است. چنانکه در بخش ۷-۴ دیدیم، دامنه سولیتون با سرعت آن رابطه مستقیم دارد، که نتیجه‌ای غیرخطی است؛ سولیتون به صورت بسته‌ای کاملاً مشخص و بدون دامنه قابل تنظیم ظاهر می‌شود. قابل توجه است که تعداد و سرشت سولیتونها را به ترتیب با تعداد ویژه حالت‌های مقید در شرط اولیه $v(x, 0)$ و پارامترهای K_n, γ_n تعیین می‌کنند که مشخصه رفتار مجانبی این حالت‌هاست. هرگونه کمبود $v(x, 0)$ ، یعنی عدم تطابق سولیتونها با v در زمان اولیه را سهم مربوط به حضور حالت‌های پیوستاری در B ، جبران می‌کند؛ این آشفتگی اضافی به تدریج از بین می‌رود. در مسئله ۷-۱۹ با استفاده از (۶۷-۷ و ۶۸)، $v(x, t)$ را برای دو سولیتون به دست می‌آوریم. بدین ترتیب، رابطه فوق‌العاده (۷-۴۳) را که جواب دقیق معادله KdV است، به دست می‌آوریم. در واقع، (۶۷-۷ و ۶۸) به آسانی بخش دقیق پایدار و جواب معادله KdV را، بدون توجه به تعداد سولیتونهای موجود، به دست می‌دهند.

مثال ۷-۱

با داشتن شرط اولیه $v(x, 0) = -W\delta(x)$ در $t = 0$ ، جواب سولیتونی $v_D(x, t)$ را به دست آورید (D نمایانگر «گسسته»^۱ است).

حل: در مثال ۶-۲ دیدیم که تنها حالت مقید در مسئله ویژه مقداری زیر

$$\frac{d^2 u}{dx^2} + [\lambda + W\delta(x)]u(x) = 0$$

که در آن u حقیقی است، از رابطه‌های زیر به دست می‌آید

$$u(x) = \sqrt{\frac{W}{2}} e^{-Kx} \quad x > 0$$

$$= \sqrt{\frac{W}{\gamma}} e^{Kx} \quad x < 0$$

$$\lambda = -K^2, \text{ و } K = \frac{W}{\gamma}$$

معادله ویژه مقداری (۴۶-۷) نشان می‌دهد که λ در فصل ۶ متناظر با ω^2 در اینجاست. با به‌خاطر آوردن (۴۸-۷) داریم،

$$\omega \equiv -iK_n \equiv -iK$$

که جواب یاد شده برای u را می‌دهد.

با استفاده از (۴۸-الف) برای γ و (۶۷-۷) برای P_{mn} ، با داشتن $\gamma^2 = W/\gamma = K$ به‌دست می‌آوریم

$$\begin{aligned} |P| &= P_{11} = P = 1 + K \frac{e^{-2Kx + \lambda K^2 t}}{2K} \\ &= 1 + e^{-2K(x-x_1) + \lambda K^2 t} \end{aligned}$$

که در آن جابه‌جایی فاز x_1 با رابطه زیر داده می‌شود

$$e^{2Kx_1} = \frac{1}{\gamma} \quad \text{یا} \quad x_1 = \frac{1}{2K} \ln \left(\frac{1}{\gamma} \right)$$

اگر فرض کنیم

$$P(x; t) = 1 + e^{-a(x,t)}, \quad a = 2K(x - x_1) - \lambda K^2 t$$

آنگاه

$$\frac{\partial \ln P}{\partial x} = P^{-1} \frac{\partial P}{\partial x}$$

$$\begin{aligned} \frac{\partial^2 \ln P}{\partial x^2} &= \frac{-1}{P^2} \left[\left(\frac{\partial P}{\partial x} \right)^2 - P \frac{\partial^2 P}{\partial x^2} \right] = \frac{-4K^2 [e^{-2a} - (1 + e^{-a})e^{-a}]}{(1 + e^{-a})^2} \\ &= 4K^2 [e^{\frac{a}{2}} + e^{-\frac{a}{2}}]^{-2} \end{aligned}$$

بالاخره، با استفاده از (۶۸-۷) که v را به P مربوط می‌کند داریم،

$$v_D(x, t) = -2K^2 \operatorname{sech}^2 [K(x - x_1) - \lambda K^2 t]$$

یک بخش پیوستاری، به صورت $v_C(x, t)$ هم وجود دارد، نگاه کنید به مسئله ۱۹-۷. ■

مسائل

۱-۷ از روش جداسازی متغیرها استفاده کنید و نشان دهید که (۱۲-۷ الف و ب) جواب مطلوب معادله لاپلاس (۱۱-۷) در مورد امواج آب، با شرایط مرزی (۴-۷) و (۱۰-۷) است.

راهنمایی: فرض کنید $\phi(x, z, t) = U(x)V(z)W(t)$ و $W(t) = e^{-i\omega t}$. نشان دهید که جوابهای فیزیکی (۱۱-۷) دارای شکل کلی $U(x) = Ae^{ikx}$ ، برای امواجی است که در جهت مثبت x حرکت می‌کنند، و $V(z) = Ce^{kz} + De^{-kz}$ با k حقیقی است. برای صادق بودن در رابطه (۴-۷)، چه رابطه‌ای باید بین C و D برقرار باشد؟ بالاخره، (۱۲-۷ ب) را به دست آورید.

۲-۷ با استفاده از (۱۷-۷) سرعتهای گروه برای بسته موجی که انتشار ذره آزاد را مطابق با مکانیک موج توصیف می‌کند به دست آورید. نتایج حاصل را مثلاً براساس رابطه دوبروی، تعبیر کنید. با مراجعه به بخش ۳-۶ انتخابی مناسب برای « k_0 » موجود در (۱۷-۷) بیابید و نقش s_g حاصل را در انتشار، حتی در حالت پاشنده، تبیین کنید.

۳-۷ نشان دهید که در آب کم عمق امواج گرانی اصلاً پاشنده نیستند.

۴-۷ رابطه (۲۰-۷) را برای s_{ph} با بسط دادن (۱۲-۷ ب) ثابت کنید.

۵-۷ با استفاده از جواب آزمون $v_x = v_{x0} e^{i(kx - \omega t)}$ ، رابطه (۳۸-۷) را ثابت کنید.

۶-۷ معادله برنولی برای شاره تراکم‌ناپذیر بدون چرخش چنین است

$$\frac{p(l, t)}{\rho} + gy + \frac{1}{\gamma} u^2(l, t) = \frac{\partial \phi(l, t)}{\partial t} + c(t)$$

که در آن $\phi(y, t)$ پتانسیل سرعت، $p(l, t)$ فشار کل، و $c(t)$ فقط تابع t است. نیروی وارد بر جزء شاره Δm در امتداد لوله

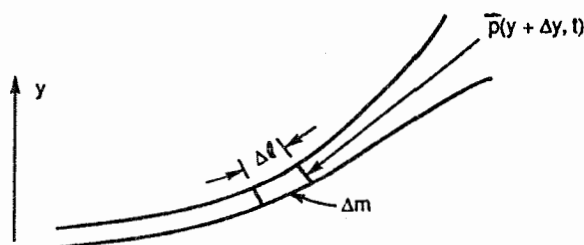
$$A[p(l + \Delta l, t) - p(l, t)]$$

همراه با اثر گرانی است.

الف) با استفاده از قانون نیوتون و در نظر گرفتن غیرخطی بودن کامل معادله را به دست آورید.

ب) در حالت مانا، معادله چه شکلی خواهد داشت؟

۷-۷ الف) نشان دهید که معادله موج (۳-۳) برای امواج روی تار کشیده را می‌توان چنان فاکتور



شکل ۶-۷ مسئله ۶-۷ شماره‌ای غیرچسبیده در لوله‌ای بدون اصطکاک. محور y جهت عمودی را مشخص می‌کند.

گرفت که دو معادلهٔ درجه اول مستقل Pde زیر به دست آید

$$\left(\frac{\partial}{\partial t} + s \frac{\partial}{\partial x}\right) y_1(x, t) = 0$$

$$\left(\frac{\partial}{\partial t} - s \frac{\partial}{\partial x}\right) y_2(x, t) = 0$$

(ب) ویژگیهای این دو معادلهٔ درجه اول pde را به دست آورید.

(ج) اگر $y(x, 0)$ شرط اولیه برای کل موج $y(x, t)$ که در (۳-۳) صدق می‌کند، داده شده باشد، آیا $y_1(x, t)$ و $y_2(x, t)$ کاملاً معین‌اند؟

(۲) چگونه می‌توان یک شرط اولیه دوم، یعنی $\left. \frac{dy(x, t)}{dt} \right|_{t=0} = 0$ را به ازای هر x ، $L > x > 0$ منظور کرد؟

(۳) اگر $u(x, 0)$ را به ازای هر $x_F > x > x_B$ ، در بخش ۳-۷ بدانیم، آیا می‌توانیم $u(x, t)$ را در تمام زمانهای بعد بیابیم؟ بحث کنید.

(د) با استفاده از ویژگیهایی که در (ب) به دست آمد صفحهٔ xt را چنانکه در بخش ۳-۷ آمده است به شش ناحیه تقسیم کنید. با توجه به شرایط زیر، بگویید که در هر ناحیه چه اتفاقی می‌افتد

$$y(x, 0) = \text{تابع داده شده} \quad x_F \geq x \geq x_B$$

$$= 0 \quad x > x_F, x < x_B$$

$$\left. \frac{\partial y(x, t)}{\partial t} \right|_{t=0} = 0 \quad \text{به ازای هر } x$$

۸-۷ الف) (۲۳-۷ و ۲۴) را خطی کنید و نشان دهید که حاصل $s^2 = gd$ یعنی رابطهٔ (۱۹-۷) است. (ب) با توجه به اینکه (۶-۷) فشار اضافی را برحسب از جابه‌جایی سطحی $h(x, t)$ می‌دهد، از معادله‌های (الف) استفاده کنید و نشان دهید که

$$h = du/s. \quad (۱)$$

۲) برای امواج کم عمق، $\partial h / \partial t$ در مقایسه با u واقعاً کوچک است، و بدین ترتیب باز هم بررسی یک بُعدی بخش ۷-۳ را توجیه می‌کند. البته، اگر نیازمند h باشیم، می‌توانیم تقریباً آن را از (۱) به دست آوریم.

۷-۹ نشان دهید که در ناحیه IV از شکل ۷-۳، هم $u(x, t) = P(x, t)$ و هم $u(x, t) = -P(x, t)$. چه نتیجه‌ای از آن به دست می‌آورد؟
 ۷-۱۰ نشان دهید که $v(x, t)$ چنانکه در (۷-۴۱) داده شده است؟

$$v(x, t) = -\frac{\alpha^2}{\gamma} \operatorname{sech}^2 \left[\frac{\alpha}{\gamma} (x - \alpha^2 t - x_1) \right]$$

جواب معادله KdV، (۷-۴۰)، است.

۷-۱۱ الف) نشان دهید که رابطه (۷-۴۳) برای دو سولیتون به‌ازای $f_2 = 0$ به معادله تک‌سولیتونی (۷-۴۱) تبدیل می‌شود.

ب) نشان دهید که در ناحیه‌هایی از x و t که در آنها $1 \simeq f_1$ و f_2 یا بزرگ یا کوچک است، $v(x, t)$ با تقریب نسبتاً خوب با تک‌سولیتون α_1 داده می‌شود. آیا این با توجه به f_1 و f_2 ، رابطه‌ای دوجانبه را نشان می‌دهد؟ اگر چنین است، از کجا می‌دانید؟

ج) نشان دهید که برای $t \rightarrow -\infty$ وقتی $1 \simeq f_1$ داریم $1 \ll f_2$ و هنگامی که $1 \simeq f_2$ ، داریم $1 \gg f_1$. فرض کنید $\alpha_1^2 \gg \alpha_2^2$ وقتی $t \rightarrow -\infty$ کدام موج جلوتر است؟

د) حال نشان دهید که در حالت $t \rightarrow \infty$ وقتی $1 \simeq f_1$ ، داریم $1 \gg f_2$ ، وقتی $1 \simeq f_2$ ، داریم $1 \ll f_1$.

ه) نکات بالا چگونه این تصویر را که دو سولیتون بدون اینکه شکلشان تغییر کند از هم می‌گذرد، تأیید می‌کنند؟ نشان دهید که برای سولیتون ۲ نتیجه برخورد جابه‌جایی روبه‌جلو در فضا به میزان $[(\alpha_2 + \alpha_1) / (\alpha_2 - \alpha_1)] \log(\alpha_2 / \alpha_1)$ است و برای سولیتون ۱، جابه‌جایی روبه‌عقب به اندازه $[(\alpha_2 + \alpha_1) / (\alpha_2 - \alpha_1)] \log(\alpha_2 / \alpha_1)$ است.

۷-۱۲ نشان دهید که با برازش $\partial \phi(x, \tau; t) / \partial \tau |_{\tau=\xi}$ با $\partial \delta(x + \tau) / \partial \tau |_{\tau=\xi}$ به همراه (۷-۵۳ب)، می‌توان $A_n(t)$ ، $B_n(t)$ ، $A(k; t)$ ، $B(k; t)$ را تعیین کرد. این ضرایب را به دست آورید؛ $A(k; t)$ و $B(k; t)$ را به‌ازای مقادیر مثبت و منفی k به دست آورید.

۱۳-۷ نشان دهید که در حالت $x \rightarrow \infty$ ، با استفاده از (۵۰-۷) و اینکه $\beta^*(k) = \beta(-k)$ داریم،

$$\int_{-\infty}^{\infty} [e^{-ikx} + \beta(k)e^{ikx}][e^{-i\tau k} + \beta^*(k)e^{i\tau k}]dk + |\alpha(k)|^2 \int_{-\infty}^{\infty} e^{-ikx} e^{-i\tau k} dk$$

$$= \int_{-\infty}^{\infty} [e^{-ikx} + \beta(k)e^{ikx}]e^{-ik\tau} dk$$

این تساوی آخر از نوردایی نظریه نسبت به استفاده i یا $-i$ به دست می آید، زیرا معادله پراکندگی (۴۴-۷) نسبت به ϕ خطی و دارای ضرایب حقیقی است. با استفاده از نتیجه این مسئله و نتایج مسئله ۱۲-۷، بسط ϕ_{∞} ، (۵۴-۷)، را از (۵۲-۷) به دست آورید.

۱۴-۷ تحقیق کنید که برای $n \rightarrow \infty$ داریم

$$\frac{1}{\sqrt{\pi}} \int_{-\infty}^{\infty} e^{-\frac{x^2}{2n}} [e^{-ikx} + \beta(k)e^{ikx}][e^{ikx} + \beta^*(k)e^{-ikx}] dx$$

$$+ \frac{1}{\sqrt{\pi}} \int_{-\infty}^{\infty} e^{-\frac{x^2}{2n}} [\alpha(-k)e^{-ikx}][\alpha^*(-k)e^{ikx}] dx = g_n(\cdot)$$

و اهمیت این محاسبه را توضیح دهید. اگر از ویژه حالت‌های اصلی $u(x, k; t)$ به جای فرم مجانبی آنها استفاده کنیم، سهم انتگرال از ناحیه $-L < x < L$ که در آن $v(x, t) \neq 0$ ، چه می‌شود؟ اگر $n/L \rightarrow \infty$ چه می‌شود؟

۱۵-۷ الف) با مشتق‌گیری از معادله ویژه مقداری (۴۶-۷) نسبت به x و t و استفاده از معادله KdV برای $v(x, t)$ نشان دهید که

$$\frac{\partial}{\partial x}(u_x R - u R_x) = \frac{\partial \omega^2}{\partial t} u^2 \quad (۶۹-۷)$$

که در آن $u_x = \partial u(x, \omega(t); t) / \partial x$ و R_x مشتق مشابهی از R است که طبق زیر تعریف می‌شود،

$$R \equiv u_t + v_x u - 2(v + 2\omega^2)u_x$$

ب) با انتگرال‌گیری از طرفین (۶۹-۷) نسبت به x از $-\infty$ تا ∞ ، نشان دهید که $\partial \omega^2 / \partial t$ برای حالت‌های مقید که برای $x \rightarrow \pm \infty$ به صفر میل می‌کنند، صفر است و ویژه مقدارها به t بستگی ندارد.

ج) با استفاده از نتایج (الف) و (ب) نشان دهید که به ازای $u = u_n$

$$R \equiv R_n, \quad R_n = 0 \quad (۷-۵۶ \text{ الف})$$

راهنمایی: دوبار نسبت به x از $-\infty$ تا x انتگرال بگیرید.

د) نشان دهید که برای حالت‌های آزاد $u(x, \omega; t)$ ، یک نتیجه (۷-۶۹) این است که اگر ویژه مقادیرهای $k^2(t)$ قرار است مستقل از t باشند، آنگاه

$$R = c(t)u(x, \omega; t) \quad (۷-۵۶ \text{ ب})$$

که در آن c تابع t ولی مستقل از x است.

۷-۱۶ نشان دهید که $\phi(x, \tau; t)$ ، یا حذف موقت t ، جواب معادله موج (۷-۴۴) است،

$$\phi_{xx} - \phi_{\tau\tau} - v\phi = 0 \quad (۷-۴۴)$$

به شرطی که K ، که در رابطه زیر آمده است،

$$\phi(x, \tau) = \phi_{\infty}(x, \tau) + \int_x^{\infty} K(x, \xi)\phi_{\infty}(\xi, \tau)d\xi \quad (۷-۶۰)$$

در روابط زیر صدق کند

$$K_{\xi\xi} - K_{xx} + v(x)K = 0 \quad \xi > x \quad (۷-۶۱ \text{ الف})$$

$$v(x) = -2 \frac{\partial}{\partial x} K(x, x) \quad (۷-۶۱ \text{ ب})$$

$$K, K_{\xi} \rightarrow 0 \quad \xi \rightarrow \infty$$

شاخصهای پایین نشانه مشتقها هستند.

راهنمایی: با توجه به اینکه اگر $x \rightarrow \infty$ آنگاه $v(x) \rightarrow \infty$ معادله دیفرانسیلی که ϕ_{∞} در آن صدق می‌کند، کدام است؟ وقتی $\phi(x, \tau)$ را در معادله موج قرار می‌دهید، با انتگرال‌گیری جزء به جزء متوالی $\phi_{\tau\tau}$ را محاسبه کنید.

۷-۱۷ نشان دهید که معادله انتگرالی (۷-۶۲) را می‌توان به صورت زیر نوشت

$$(\mathbf{1} + \mathbf{b}_D)K + \mathbf{b}_C K = -(\mathbf{B}_D + \mathbf{B}_C)$$

که در آن، $B(x - \tau)$ در (۷-۵۹) را به «قسمت گسسته» آن B_D و «قسمت پیوسته اش» B_C تقسیم کرده‌ایم، و عملگر b_D چنین تعریف می‌شود

$$b_D K \equiv \int_x^\infty K(x, z) B_D(z + y) dz$$

همچنین نشان دهید که اگر K را به صورت زیر تجزیه کنیم

$$K \equiv K_C + K_D$$

آنگاه،

$$(\lambda + b_D)K_D = -B_D$$

$$(\lambda + b_C)K_C = -B_C$$

به این شرط که جملات مخلوط $b_D K_C$ و $b_C K_D$ را بتوان حذف کرد. این تقریب در حالت $t \rightarrow \infty$ بهتر و بهتر می‌شود، و جداسازی $v(x, t)$ را به سولیتون‌هایی ناشی از K_D و آشفستگی موجی حاصل از پیوستار که برحسب زمان تضعیف می‌شود، میسر می‌سازد.

۷-۱۸. بجز برای سولیتونها (که برای آنها روش مورد بحث کنونی همگرا نیست) معادله KdV را می‌توان مستقیماً با روشی تکراری حل کرد.

الف) نشان دهید که معادله KdV، (۷-۴۰) را می‌توان به صورت زیر نوشت،

$$Lv = 3 \frac{\partial v^2}{\partial x}$$

که در آن

$$Lv = \frac{\partial v}{\partial t} + \frac{\partial^3 v}{\partial x^3}$$

ب) نشان دهید که بسط

$$v = v_1 + v_2 + \dots$$

به طرح تکراری زیر می‌انجامد

$$Lv_1 = 0$$

$$Lv_2 = -3 \frac{\partial}{\partial x} v_1^2$$

...

$$Lv_n = -3 \sum_{j=1}^{n-1} \frac{\partial}{\partial x^j} (v_j v_{n-j})$$

که دارای جواب زیر است

$$f(x, t) = \int_{-\infty}^{\infty} \phi(x') h(x - x', t) dx' + \int_{-\infty}^{\infty} \int_0^t \rho(x', t') h(x - x', t - t') dx' dt'$$

راهنمایی: با مراجعه به مسئله (۱۷-۱) و $h(x - x', t)$ را بیابید.
(د) یک انتگرال معروف به رابطه زیر می‌انجامد

$$h(x, t) = (3t)^{-\frac{1}{2}} A_i \left[x(3t)^{-\frac{1}{2}} \right]$$

با این فرض که تابع ایری^۱، A_i مقید است و برای شناسه متناهی به سرعت فرو می‌افتد، براساس دو مسئله قبل (۱۷-۷ و ۱۸ الف، ب، ج)، ادعای متن را مبنی بر اینکه قسمت غیر سولیتونی v به ازای هر x به صورت $t^{-1/2}$ فرو می‌افتد توجیه کنید. شناخت بهتری از این مبحث را می‌توان با مراجعه به مقاله سیگور در مجله فلوئید مکانیک، جلد ۵۹، شماره ۴، صفحه ۷۲۱ سال ۱۹۷۳، به دست آورد.

۱۹-۷ الف) با استفاده از (۶۷-۷) نشان دهید که برای دو سولیتون داریم

$$|P| = 1 + f_1 + f_2 + \Lambda f_1 f_2$$

که در آن f_1 و f_2 با رابطه (۴۲-۷ الف) تعریف می‌شود و همچنین می‌دانیم، $\alpha_1 = 2K_1$ ، $\Lambda = (\alpha_1 - \alpha_2)^2 / (\alpha_1 + \alpha_2)^2$ و $\gamma_1^2 = \alpha_2 e^{\alpha_1 x_2}$ ، $\gamma_2^2 = \alpha_1 e^{\alpha_1 x_1}$ ، $\alpha_2 = 2K_2$

(ب) از (۶۸-۷) که $v(x; t)$ را برحسب دترمینان $|P(x; t)|$ می‌دهد استفاده کنید و (۴۳-۷) را به دست آورید، (۴۳-۷) آشفستگی حاصل که از برهم‌کنش دو سولیتون است. آیا این نتیجه، حل دقیق معادله KdV، (۴۰-۷) است؟

۲۰-۷ الف) حالت‌های پراکندگی را برای آشفستگی اولیه‌ای که در مثال ۱-۷ در نظر گرفته شد،

$$v(x, 0) = -W\delta(x)$$

به دست آورید.

(ب) سهم این حالت‌ها را در $B(x, t)$ محاسبه کنید.

برای مطالعه بیشتر

T. Erber, K. A. McGreer, E. R. Nowak, J. D. Wan, H. Weinstock: "Onset of hysteresis measured by scanning tunneling microscopy", *J. Appl. Physics*. **68**, 1370 (1990).

J. Lighthill: *Waves in Fluids* (Cambridge University Press 1978).

بررسی کاملی از امواج خطی و غیرخطی، روی سطح آب را می‌توان در این رساله به دست آورد.

J. A. Krumhansl: "*Unity in the Science of Physics*", *Physics Today*, **33**, March 1991.

در این مقاله خواننده مروری مفید بر اهمیت روزافزون سولیتونها را در فیزیک می‌یابد.

G. B. Whitham: *Linear and Nonlinear Waves* (wiley, New York, 1974).

در بخشهایی از کتاب که به سولیتونها می‌پردازد، روش پراکندگی معکوس بالانیس در رساله جامع و کامل ویتمن توصیف شده است. (ویتمن استاد بالانیس بود.)

P. G. Drazin, R. S. Johnson: *Solitons: an Introduction* (Cambridge University Press, 1989).

برای خواننده‌ای که می‌خواهد معلومات بیشتری درباره جنبه‌های گوناگون نظریه سولیتونها به دست آورد، این کتاب مرجعی خوب در سطحی متوسط است. چه



پدیده‌های غیرخطی - آشوب

پیشگفتار

فصلهای ۱-۶ با رفتار خطی سروکار داشت، رفتاری که هسته اصلی فیزیک نظری سنتی را تشکیل می‌دهد. دو فصل آخر، فصلهای ۷ و ۸، خواننده را به‌طور گدرا با گسترش این قلمرو سنتی - به حوزه فعال رفتار غیرخطی - آشنا کرد. در این فصل، دو مقاله از فیزیکدانهای برجسته به نظم و آشوب می‌پردازد، مقالاتی که مکمل مبحث فصل ۷ هستند، مبحثی که نظم و پایداریهای غیرمنتظره را آشکار می‌سازد.

مؤلفان مقاله اول، آندره و. گاپونوف - گرخوف^۱ و میخائیل ای. رابینوویچ^۲ چند دهه است که در انستیتو فیزیک کاربردی فرهنگستان علوم روسیه در نیژنی نوگورود (گورکی) درباره مسائل موجود در علوم غیرخطی به تحقیق مشغول‌اند. گورکی، تبعیدگاه ا.د. ساخارف^۳ فقید، تا همین چندی پیش به‌روی خارجیان بسته بود؛ کارهای علمی انجام‌شده در این انستیتو پس از مدت زمانی بسیار طولانی به‌دست جامعه بین‌المللی دانشمندان رسیده است. پروفیسور گاپونوف - گرخوف و پروفیسور رابینوویچ از اعضای فرهنگستان علوم روسیه هستند.

مقاله گاپونوف - گرخوف و رابینوویچ نسخه کوتاه‌شده فصل ۶ کتاب درسی آنها به‌نام پدیده‌های

1. Andrei V. Goponov-Grekhov

2. Mikhail I. Rabinovich

3. A. D. Sakhorov

غیرخطی در عمل است که اشپرینگر-فرلاگ آن را در سال ۱۹۹۲ منتشر کرد. این نسخه کوتاه شده را دکتر ارنست ف. هفتر (اشپرینگر-فرلاگ) برای کتاب حاضر خلاصه کرده است. در نسخه اصلی، تصویرهای رنگی، زیبایی غیرمنتظره حاصل از تأثیر متقابل آشوب و نظم را نشان می دهد.

مقاله دوم را مارتین. س. گوتزویلر^۱ تهیه کرده است. این مقاله اساساً بازچاپی از مقاله مروری او آشوب کوانتومی است که آن هم با تصویرهای رنگی زیبا، در شماره ژانویه ۱۹۹۲ مجله ساینتیفیک امریکن به چاپ رسید. گوتزویلر، که عضو فرهنگستان ملی علوم امریکاست، از محققان آزمایشگاه تحقیقاتی آی بی ام در یورکتاون هایتز، نیویورک و همچنین استاد دانشگاه کلمبیاست. او مؤلف کتابی در سطح کارشناسی ارشد است که «آشوب در مکانیک کلاسیک و کوانتومی» نام دارد. این کتاب را اخیراً اشپرینگر-فرلاگ منتشر کرده است.

۸-۱ فیزیک غیرخطی - آشوب و نظم^۲

نوشته: آندره و. گاپونوف - گرخوف و میخائیل ای. رابینوویچ

کجا و چگونه

در علم، مانند زندگی روزمره، به پرسشهایی برمی خوریم که دارای پاسخ چنان پیچیده و غیرمشخصی هستند که منطقی است دیدگاه اکثریت (یا عرف) را اختیار کنیم، و یا با آنها نه به صورت مسائل علمی، بلکه به صورت مسائل اعتقادی رفتار کنیم. دو پرسش زیر که احتمالاً از قدیمیترین آنها هستند عبارتند از «کاتورگی از کجا پیدا می شود؟» و «نظم چگونه پدیدار می شود؟» هر کس که درباره اصول اساسی نهفته در نهاد طبیعت تأمل کرده باشد، حتماً به این پرسشها برخورد کرده است. از زندگی روزمره و همین طور آموزش سنتی به این برداشت تقریباً بدهی عادت کرده ایم که رفتار پیچیده، بی نظم و غامض فقط در سیستمهای بسیار پیچیده امکان پذیر است. برای مثال، تعداد عظیم مولکولهای موجود در بادکنکی پرازگاز، و یا جمعیتی هیجان زده از طرفداران فوتبال درست پس از اعلام اینکه مهمترین مسابقه فوتبال فصل لغو شده است.

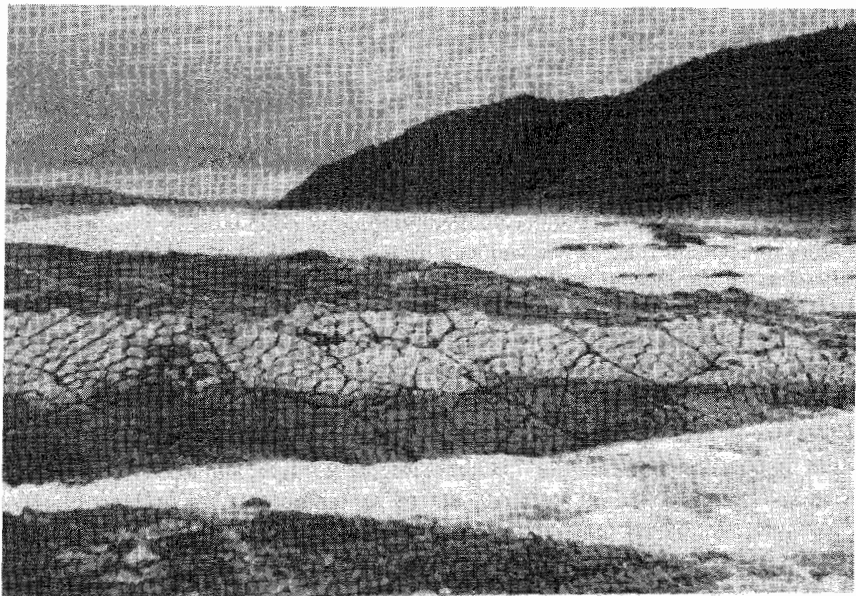
در این سیستمهای پیچیده، معمولاً قادر به شناسایی بدون ابهام ارتباط علت و معلولی برای تک تک رخدادها نیستیم. به عبارت دیگر، در وضعیتی نیستیم که جزئیات رفتار سیستم را پیش بینی کنیم، و بنابراین فرض می کنیم که رفتار سیستم شانس است.

1. Martin C. Gutzwiller

۲. مقاله مفصل به صورت فصل ۶ کتاب «پدیده های غیرخطی در عمل» از همین مؤلفان است (اشپرینگر ۱۹۹۲).

دانشمندان همواره امیدوار بوده‌اند که این تغییر مبتنی بر رفتار کاتوره‌ای و عدم توانایی ما در پیش‌بینی آینده سیستم، با معلومات کاملتری از جزئیات سیستم، از میان برداشته شود. برای مدتی مدید، این دیدگاه پذیرفته شده بود که اگر معلومات دقیق‌تری از جزئیات برهم‌کنش میان همه اجزاء یک سیستم پیچیده به دست آید، و اطلاعات دقیق‌تری از شرایط اولیه آنها جمع‌آوری شود، آنگاه قادر خواهیم بود رفتار آن را در دوره‌های طولانی پیش‌بینی کنیم و با افزایش دانش ما، کاتورگی «کمتر و کمتر خواهد شد». این ایده هم طبیعی به نظر می‌رسد که حتماً باید یک «آغاز سازماندهی» یا «خالق» در ورای هر ساختار سازمان‌یافته پیچیده که به صورت پایدار وجود دارد، و یا از زمینه نطفه یا بی‌نظمی بیرون آمده است وجود داشته باشد. درست به همین دلایل است که ساختارهای بسیار منظم ابرها و یا شش‌ضلعی‌های با منشأ آتشفشانی که در شکل ۸-۱ نشان داده شده‌اند، چنین غامض و یا حتی اسرارآمیز به نظر می‌رسند.

در این گذر کوتاه، سعی می‌کنیم شمه‌ای از جذاب‌ترین وجه دینامیک غیرخطی نوین، یعنی بی‌نظمی در مقابل ساختارهای منظم، را به دست دهیم. آشوب و نظم نه تنها به صورت توأم در طبیعت وجود دارند، بلکه ناشی از اصول، قوانین یا شرایط کلی یکسانی هستند که بحث آنها را به موازات یکدیگر موجه می‌سازد.



شکل ۸-۱ ساختارهای آتشفشانی شش‌ضلعی (جزیره کوریل).

در چند دهه اخیر، دو کشف برجسته درک ما را از سرشت کاتورگی و نظم کاملاً تغییر داده است. از قضا سیستمهای بسیار ساده می‌توانند رفتار کاتوره‌ای از خود نشان دهند. این سیستمها طبق قواعد بسیار ساده‌ای تحول می‌یابند یا زندگی می‌کنند (و یا دارای اجزاء یا درجات آزادی اندکی هستند). کاتورگی از خواص ذاتی چنین سیستمی است و به وسیله محیط یا از طریق نیروهای خارجی بر آن تحمیل نمی‌شود. از بین بردن این خصلت از طریق بررسی‌های هر چه دقیق‌تر سیستم امکان‌پذیر نیست. این کاتورگی ناشی از سیستمهای عادی ساده را آشوب دینامیکی می‌نامیم. کشف دیگر به آگاهی و تأیید تجربی این واقعیت مربوط می‌شود که از بی‌نظمی ساده و یا پیچیده اولیه ممکن است ساختارهای بسیار سازمان‌یافته به‌طور خودبه‌خود پدیدار شوند که پیوسته شکل می‌گیرند و متحول می‌شوند. این فرایند به خودسازمان‌یافتگی موسوم است.

کاتورگی شکل‌گرفته از ناکاتورگی

از آشوب آغاز می‌کنیم. مشکل اصلی که باید بر آن فائق آییم روان‌شناختی است. معمولاً فکر می‌کنیم که سیستمهای ساده (مثل تاب یا تپله روی سطح شیب‌دار و غیره) رفتاری بسیار ساده از خود نشان می‌دهند. با دانستن قواعدی که این سیستم ساده از آن پیروی می‌کند و شرایط اولیه‌اش، می‌توانیم رفتار سیستم را در طول هر دوره زمانی دلخواه پیش‌بینی کنیم. برای مثال، با استفاده از قوانین نیوتون می‌توانیم زمان کسوفهای آتی را نه تنها در چند سال آینده، بلکه حتی در چند هزاره آینده تعیین کنیم! برای محاسبه آنها به زمان کمی نیاز داریم، بنابراین، این در واقع یک پیش‌بینی حقیقی است. با این حساب، چه چیز در درون سیستمهای ساده مشابه - سیستمهایی که برطبق قواعد ساده کار می‌کنند - وجود دارد که موجب پیش‌بینی ناپذیری، بی‌نظمی و کاتورگی می‌شود؟ برای اینکه شناختی از این خصلتهای عجیب به دست آوریم، کار را با مثالی شروع می‌کنیم.

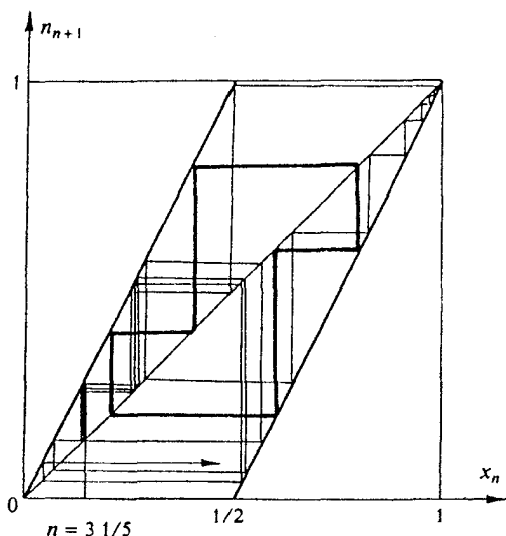
احتمالاً همه ما در دوران مدرسه به دنباله‌هایی از اعداد مانند سری حسابی، $x_{n+1} = x_n + a$ و سری هندسی $x_{n+1} = bx_n$ برخورد کرده‌ایم. این سریها را سیستمهایی به‌شمار می‌آوریم. در این تعبیر، نشانه یا شماره هر عضو یا جزء سری را به‌صورت زمان در نظر می‌گیریم (که با یکاهای گسسته اندازه‌گیری می‌شود) و x_n را حالت سیستم در لحظه n می‌نامیم. رفتار این سیستمهای ساده واقعاً بسیار ساده است، زیرا حالت‌های آنها تا هر زمان دلخواه کاملاً قابل پیش‌بینی است. برای n دلخواه، که ممکن است خیلی بزرگ باشد، به ترتیب، داریم $x_{n+1} = x_1 + na$ و $x_{n+1} = b^n x_1$. بدین ترتیب، شناخت ما از سیستم درجه $n \rightarrow \infty$ مستلزم این نیست که تمام حالت‌های سیستم را در تمام لحظات «زندگی» آنها تا آن موقع بدانیم. کافی است x_{n+1} را محاسبه کنیم. آیا این نکته همواره صادق است؟

حال یک سری را در نظر بگیرید که تقریباً به همان اندازه ساده است و طبق قاعده $\{2x_n\}$ $x_{n+1} =$ تعریف می‌شود، که در آن $\{0 \dots\}$ نشان می‌دهد که فقط قسمت کسری عدد باید در داخل آکولاد قرار گیرد. بدیهی است که x_n مجموعه نقاطی را در بر می‌گیرد که در گستره (۱ و ۰) یعنی از صفر تا یک بر روی محور اعداد قرار دارند. برای مثال، فرض کنید $x_1 = 1/5$. بنابراین $x_2 = 2/5$ ، $x_3 = 4/5$ ، $x_4 = 3/5$ ، $x_5 = 1/5$. به راستی همه چیز بسیار ساده است. حرکتی کاملاً منظم را مشاهده می‌کنیم و به ازای $x_1 = 1/5$ ، قادریم حالت سری را پس از «هر زمان» طولانی دلخواه، یعنی برای n بزرگ، پیش‌بینی کنیم.

عددی دیگر را امتحان می‌کنیم. این دفعه فرض می‌کنیم عدد اولیه بخش کسری عدد π است. به کمک ماشین حساب، می‌توانید به راحتی تحقیق کنید که $\{3 - \pi\}$ $x_1 =$ و زنجیره x_1 ، x_2 ، x_3 ، \dots ، x_n هرگز بسته نمی‌شود و دنباله حاصل مانند دنباله اعداد کاتوره‌ای است. دیگر قادر به پیش‌بینی حالت سیستم نیستیم. حتی برای چند قدم جلوتر هم چنین کاری ممکن نیست. در این حال، غیرممکن است که از حالت‌های میانی بپریم بدون اینکه قابلیت پیش‌بینی «آینده» را از دست بدهیم. برای اینکه مقدار دقیق x_{n+1} به دست آوریم، لازم است تمام مقادیر x_n را تا گام $(n+1)$ ام محاسبه کنیم. چون زمان محاسبه از همان مرتبه فاصله زمانی لحظه‌ای است که می‌خواهیم حالت سیستم را در آن هنگام پیش‌بینی کنیم، سخن از پیش‌بینی ناپذیری (آشوب) به میان می‌آوریم که خاصیت این سری کاتوره‌ای است. این نکته برای هر سری دیگر که جزء اولش x_1 عددی اصم باشد، صادق است. و اکثریت قاطع اعداد در گستره از صفر تا یک، اعداد اصم هستند.

همان‌طور که در شکل ۸-۲ نشان داده شده است، حرکت سیستم ساده ما را می‌توان از راه ترسیم نیز نمایش داد. دو محور مختصات نمایانگر x_n و x_{n+1} هستند. مساحت بین دو خط $x_{n+1} = 2x_n$ و $x_{n+1} = 1 + 2x_n$ در بازه (۱ و ۰) نمایش ترسیمی این قاعده است: اولین عدد را دو قسمت کنید و قسمت صحیح را کنار بگذارید با بازتاب مسیر از روی نیمساز، نتیجه نهایی گام قبلی به مقدار اولیه گام بعدی تبدیل می‌شود. مسیره‌های بسته (خطهای پرننگ) متناظر با حرکت‌های دوره‌ای سیستم است. مسیره‌هایی که هرگز بسته نمی‌شوند (خطوط نازک)، مثالهایی از حرکت‌های پیچیده و آشوبناک هستند.

برای محاسبات کامپیوتری، راحت‌تر است که اعداد x_n را در سیستم دوتایی نشان دهیم. در این صورت هر مقدار بعدی سری با حرکت رقم شماره یک به چپ (که متناظر با ضرب در دو است) و کنار گذاشتن عدد صحیح به دست می‌آید. مثلاً، اگر $x_1 = 0.101100010111\dots$ ، $x_2 = 0.1100010111\dots$ ، $x_3 = 0.1100010111\dots$ و غیره. دنباله‌های دوره‌ای متناظر با اعداد گویا هستند و سریهای کاتوره‌ای با اعداد اصم. (به یاد آورید که اعداد اصم



شکل ۸-۲ مسیره‌های دوره‌ای (خطوط پررنگ) و کاتوره‌ای (خطوط نازک) در سیستم ساده‌ای که با $x_{n+1} = \{x_n\}$ تعریف می‌شود.

در اکثریت‌اند که ایجاب می‌کند همه دنباله‌های حسابی کاتوره‌ای باشند، اما معمولاً به این نکته توجهی نداریم زیرا معمولاً از اعداد گویا استفاده می‌کنیم.)
از این مثالها دیدیم که سیستمهای ساده کاملاً قطعی ممکن است باعث «آشوب» شوند.

مسیر ناپایدار و حرکت پایا - آیا این دو ناسازگارند؟

نقاط x_n, x_{n+1}, \dots به صورت کاتوره‌ای در گستره $(1 و 0)$ ، از صفر تا یک، پرسه می‌زنند. اما، این آشوب، نظم مخصوص خود را داراست. برای اینکه تصویری از آن در ذهن داشته باشیم، از سری اعداد حقیقی به یک سری از اعداد مختلط می‌رویم. برای مثال، سری $x_{n+1} = x_n^2 + C$ را در نظر می‌گیریم، که در آن C عددی مختلط است. اکثر نقاط دیگر در گستره $(1 و 0)$ نیستند بلکه در صفحه‌ای قرار دارند که با بخشهای حقیقی و موهومی یعنی x_n ، یعنی $Re x_n$ و $Im x_n$ مشخص شود. به ازای $n \sim 10^6$ و $C = 0.32 + i0.43$ داریم $Re x = (-2.0 \dots + 2.0)$ و $Im x = (-1.8 \dots + 1.8)$ و تصاویری با زیبایی استثنایی شکل می‌گیرد (نگاه کنید به کتاب پاتینگن و ریشتر و به کتاب مؤلفان این مقاله).

هر یک از نقاط این سری با مختصات $Re x_1, Re x_2, \dots, Re x_n, \dots, Im x_1, Im x_2, \dots, Im x_n$... کاتوره‌ای است. اما درست نیست که به این خمینه کاتوره‌ای بگوییم. مثلاً این شکل شباهت دوری با شکل کاتوره‌ای که از ریختن مستی شن بر زمین حاصل می‌شود، دارد. زیبایی

غیرمنتظره‌ای که در شکل $x_{n+1} = x_n^2 + C$ وجود دارد، در واقع، پیامد این نکته است که سری کاتوره‌ای در این مورد ناشی از سیستمی قطعی بود. این سیستم نظم مخصوص خود را داراست، به عبارت دیگر آشوب دینامیکی به‌گونه‌ای خاص «سازمان‌یافته» است. این پدیده‌ای جالب توجه است که بحث دقیق‌تری را می‌طلبد. اما ابتدا به پرسشی که بی‌جواب ماند پاسخ گوئیم: در میان خمینه سری مورد نظرمان که اغلب آن کاتوره‌ای است، نمونه‌های دوره‌ای نیز یافت می‌شود؛ آیا اینها تنها مواردی هستند که در واقع مشاهده می‌شوند؟

خیر. آنها ناپایدار هستند، به این معنی که به‌ازای عدم قطعیت‌های کوچک و یا تغییراتی در x_1 معین، یک سری کاملاً متفاوت خواهیم داشت، شکل ۸-۲. در اینجا، تجلی جنبه دیگری از آشوب دینامیکی را ملاحظه می‌کنیم که حساسیت فوق‌العاده شدید به تغییرات شرایط اولیه است. بنابراین، با وجود اینکه سریهای دوره‌ای بسیاری وجود دارند، حتی تعداد آنها بینهایت است، (هنوز تعداد سریهای غیردوره‌ای بسیار بیشتر است)، مشاهده آنها عملاً غیرممکن است. اما، مسیرهای غیردوره‌ای هم ناپایدار هستند. اما چگونه می‌توان آنها را مشاهده کرد؟ نکته اینجاست که خمینه سریهای غیردوره‌ای تقریباً پیوسته است و نمی‌توان آنها را از یکدیگر تمیز داد. در واقع، فرض کنید که به خاطر اختلالی جزئی در x_1 (یا عدم قطعیت در x_1 معین) سری «صحیح» را به دست نیاورده‌ایم، با وجود این، سری به دست آمده باز هم به همان خمینه مسیرهای ناپایدار تعلق دارد. بنابراین، همواره یکی از این‌گونه مسیرها را مشاهده می‌کنیم. بنابراین، نتیجه قابل ملاحظه‌ای به دست می‌آوریم: اگرچه یک‌یک مسیرهای خمینه تصادفی ناپایدارند و بنابراین قابل مشاهده نیستند (تحقق نمی‌پذیرند)، اما خود خمینه پایدار است، و لاقلاً یکی از چندین مسیر موجود در آن (که تقریباً تمام خمینه را می‌پوشاند) مشاهده‌پذیر است!

آیا شانس حاکم بر جهان است؟

چرا زودتر متوجه رفتار کاتوره‌ای سیستمهای غیرکاتوره‌ای نشدیم؟ شاید، فقط مثالهایی ساختگی را در نظر می‌گرفتیم؟ شاید، در زندگی واقعی اوضاع متفاوت است و سیستمهای واقعی آشوبی با معادله‌های دیگری توصیف می‌شوند؟ مثلاً، شاید معادله‌های نیوتون فقط متضمن رفتار عادی و منظم سیستمهای مکانیکی است؟

سیستم بسیار ساده‌ی تاب را در نظر می‌گیریم. البته، این سیستم با معادله‌های ساده‌ی مکانیک که با برخی از آنها در مدرسه آشنا شده‌ایم، توصیف می‌شود. اما ظاهراً این مثال خوبی نیست: همان‌طور که می‌دانیم، تاب به‌صورت دوره‌ای نوسان می‌کند؛ البته دوره آن را هم شخصی که تاب می‌خورد، با خم و راست شدن تعیین می‌کند. بدین‌صورت، طول مؤثر تاب را می‌توان تغییر و به آن شتاب داد (یا اگر بی‌موقع بلند شویم) آن را کند کرد. حال فرض کنید اختیار را از شخصی را که

بر تاب سوار است سلب کنیم. فرض کنید، یک روبات سوار بر تاب است و به طور دوره‌ای «خم و راست» می‌شود. چه اتفاقی می‌افتد؟ - تاب به صورت کاملاً کاتوره‌ای نوسان می‌کند، بدون اینکه هیچ‌گونه نیروی کاتوره‌ای بر آن وارد شده باشد! عمل دوره‌ای کار «بلند کردن» یا «کوتاه کردن» طول تاب را به طور خارج از فاز (بی‌موقع) انجام می‌دهد، و در نتیجه افزودن یا کاستن انرژی تاب (یا آونگ) هم به همین صورت خواهد بود. کاتورگی مشاهده شده به این خاطر است که سرعت تاب تابع زاویه انحراف آن از امتداد قائم است. مثلاً، در وضعیتی نزدیک به حالت «پشتک‌زدن» تاب به قدر قابل ملاحظه‌ای کند می‌شود و کمی بعد در نقطه بازگشتی کاملاً می‌ایستد. بنابراین می‌بینیم که حتی سیستم‌های مکانیکی که از قوانین نیوتون پیروی می‌کنند، رفتاری آشوبناک دارند. به عبارت دیگر، آنها مولد کاتورگی هستند! پس چرا آن را قبلاً مشاهده نکردیم؟ خوب است که بگوییم، «آن را دیدیم، اما نمی‌دانستیم که چه می‌بینیم». تفکر سنتی نمی‌گذاشت که آزمایش‌هایی را که نمایانگر آشوب در سیستم‌های ساده بودند (و در نتیجه در چارچوب نظریه‌های جافاده نمی‌گنجیدند)، جدی بگیریم. این آزمایش‌ها بالاخره به طریقی، برحسب افت و خیزهای طبیعی و یا متوسل شدن به تأثیر مفید نوفه که وارد کردن آن در محاسبات امکان‌پذیر نبود، «توجیه می‌شدند».

حساسیت به شرایط اولیه که از خصصتهای آشوب است، به خاطر ناپایداری حرکت است که به صورتی مصوّر و مستقیم در تحولات تاریخی بازتاب می‌یابد.

اگر کاتورگی نقشی در تحولات تاریخی نداشت، تاریخ ویژگی اسرارآمیزی می‌یافت. اما، در دوره‌های مختلف تحول جامعه و در کشورهای مختلف، این کاتورگی به صور گوناگون ظاهر شده است. دوره‌های تحول پایدار، کاتورگی (مثل مرگ یا کشته شدن رهبر سیاسی، فاجعه‌های طبیعی، غیره)، تحول جامعه را فقط از یک مسیر به مسیری که درست در مجاور آن بوده است منتقل کرده است: شرایط رفاهی مردم دستخوش تغییرات اندک شده است، طرح‌های ساختمانی تغییر داده شده‌اند، سیاست‌های داخلی یا خارجی شدیدتر یا میانه‌روتر شده‌اند. تصویر دیگری که از نظر کیفی متفاوت است در دوره‌های تحول ناپایدار مشاهده می‌شود (درست قبل از آغاز جنگ‌ها یا انقلاب‌ها، در دوره‌های تشنج و بی‌نظمی اجتماعی): انحرافات کاتوره‌ای اندک، مسیرهای کاملاً متفاوتی را در تحولات بعدی جامعه رقم زده‌اند. در این دوره‌ها، چنین به نظر می‌رسد که «شانس بر جهان حاکم است». اما در چنین مواردی معمولاً فراموش می‌شود که این نتایج مهم ناشی از عمل کاتورگی، در واقع فقط از این رو ممکن شده‌اند که «جریان زندگی» ناپایدار را کاتورگی ناچیزی کاملاً عوض کرده است، و این کاتورگی صرفاً ماشه را کشیده است. این شعر کودکانه، وضعیت را به خوبی نشان می‌دهد،

میخ نبود، نعل افتاد.

نعل نبود، اسب لنگ شد.

اسب نبود، پیام دیر رسید.

اعلام خطر نشد، شهر از دست رفت.

این مثالی گویاست از حرکتی که در هر نقطه ناپایدار است: اگر میخ موجود بود، نعل اسب محکم می‌شد؛ اگر نعل اسب محکم بود، اسب لنگ نمی‌شد؛ اگر اسب لنگ نبود (یا اگر اسب دیگری وجود داشت) پیام به موقع می‌رسید؛ اگر پیام به موقع رسیده بود، شهر از دست نرفته بود.

ماهیت طبیعت یکپارچه است یا فراکتالی؟

تصویرهای مربوط به خمینه‌های فراکتالی که در صفحهٔ دنباله‌های کاتوره‌ای حاصل از سیستمهای قطعی رسم شده‌اند به‌طور قابل ملاحظه‌ای منظم هستند، نگاه کنید به کتاب مؤلفان این مقاله و یا کتاب پاتینگن و ریشتر که شامل تعداد زیادی از این خمینه‌ها با ساختار ریز آنهاست. به گفتهٔ روثل این تصویرها «جذابیتی زیباشناختی» دارند. این منظومهٔ منحنی‌ها و ابرهای متشکل از نقطه‌ها، گاهی شبیه توده‌های کهکشانی و گاهی شبیه بیشه‌های عجیب و اسرارآمیز هستند. این حوزه‌ای از تحقیقات است که در آن هماهنگیهای نوینی کشف خواهد شد. این خمینه‌های با ساختارهای رقیق‌شونده «شناور» (که برحسب قاعده چنانکه خواهیم گفت دارای ابعاد غیرصحیح هستند) فراکتال نام دارند. مثالی از فراکتالها، تحول پیچیدهٔ سیستم شکارچی-شکار و یا مشابه گسستهٔ آن است که با معادله‌های لوتکا-ولترا^۱ مدل‌سازی می‌شود.

$$\begin{pmatrix} x_{n+1} \\ y_{n+1} \end{pmatrix} = \begin{pmatrix} x_n \\ y_n \end{pmatrix} + \frac{h}{\tau} \begin{pmatrix} f(x_n, y_n) + \rho f[x_n + \rho f(x_n, y_n)y_n + \rho g(x_n, y_n)] \\ g(x_n, y_n) + g[x_n + \rho f(x_n, y_n) + \rho g(x_n, y_n)] \end{pmatrix}$$

مثال دیگر، خمینهٔ تصادفی نوسانهای سیستم ناخودگردانی مانند

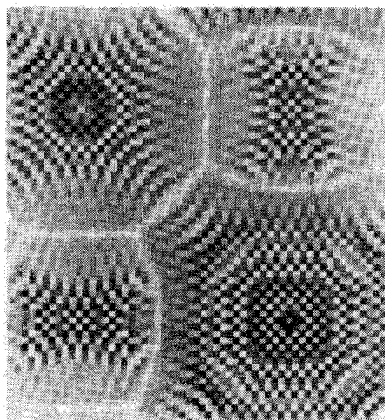
$$\ddot{x} + \gamma \dot{x} + x + x^3 = F_0 \sin(\omega t)$$

است.

شبکه گسسته‌ای که با معادلهٔ

$$\begin{aligned} \frac{du_{jl}}{dt} &= u_{jl} - (\lambda + i\beta)|u_{jl}|^2 u_{jl} \\ &+ \kappa(\lambda - i\epsilon)(u_{j,l+1} + u_{j,l-1} + u_{j+1,l} + u_{j-1,l} - 4u_{jl}) \end{aligned}$$

توصیف می‌شود که در آن $j, l = 1, 2, \dots, N$ و $N \gg 1$ برای فوق بحرانبیت بزرگ، یعنی به‌ازای مقادیر $r = 1/\kappa \geq 0$ ، به آشوب فضا زمانی می‌انجامد. در این فرایند، برانگیختگیهای



شکل ۸-۳ مدوله شدن امواج و نوسانهای $\pi-\pi$ در مدل شبکه گسسته

طول موج کوتاه مهم‌ترین نقش را دارند. در حالت فرین، سیستم دارای رفتار موسوم به نوسانهای $\pi-\pi$ است که متناظر با نوسانهای فاز مقابل در اجزای شبکه‌های مجاور است. ساختار آشوبناک حاصل بسیار جالب است - همانند تصویرهای کلایدسکوپی است که هرگز برحسب زمان تکرار نمی‌شوند. پیچیدگی ساختار فضایی آن را تعداد اجزاء شبکه تعیین می‌کند، شکل ۸-۳.

اگرچه واژه فراکتال را بنوا مندل پروت^۱ اخیراً وارد علم کرده است، مدتی است که صور فراکتالی موضوع مباحث تحقیقاتی هستند. از روی کثرت فراکتالها می‌توان قضاوت کرد که طبیعت صور فراکتالی را بسیار «دوست دارد». کلویدها، تخلیه‌های الکتریکی، حالت‌های جامد متخلخل، خطوط ساحلی، ساختار جریانهای متلاطم (که اغلب مسیرهای آنها نقاطی هستند که به وسیله سیستمهای قطعی با رفتار آشوبی به دست می‌آیند) و مثالهای بسیار دیگر، از جمله گونه‌های فراکتالی هستند. بدون شک، زیبایی فراکتالها با ویژگی خود - همانندی آنها در ارتباط است که به صورت طرحهای تکراری در مقیاسهای مختلف بروز می‌کند، نگاه کنید به تصویرهای کتاب پاتگین و ریشر.

اگر سطح کوچک دلخواهی از یک خمینه فراکتالی (یا تصادفی) را زیر میکروسکوپ بزرگ کنیم، یعنی، اگر قدرت تفکیک را بسیار زیاد کنیم، باز هم تصویر بسیار پیچیده‌ای با جزئیات گوناگون خواهیم داشت و همین‌طور می‌توان تا بینهایت این کار را تکرار کرد! - نکته‌ای که واقعاً خارق‌العاده است. واقعاً تا بینهایت؟ برای این زنجیره کوچک کردن و جزئی‌نگریهای متوالی، چه چیز حد آستانه را مشخص می‌کند؟ پیش از اینکه به این سؤال پاسخ دهیم، ببینیم چه چیز ممکن است این فرایند را مختل سازد. بگذارید قاعده زیربنایی را به خاطر آوریم: هر چقدر که دو مسیر اولیه به یکدیگر نزدیک باشند باید بتوان بین هر دو مسیر دلخواه (مثلاً، در رباینده‌های عجیب)، هر تعداد از مسیر دیگر را یافت (!) - بدیهی است که لازمه آن، پیوسته بودن فضایی است که مسیرها در آن قرار دارند!

این گسسته بودن فضا (وقتی متناظر با مسئله معینی باشد) است که عامل محدود کردن جزئیات بُعدی ساختار فراکتالی می‌شود. و در مورد آشوب دینامیکی، همین گسستگی عامل ایجاد آشوب است. این نکته را بیشتر بررسی می‌کنیم.

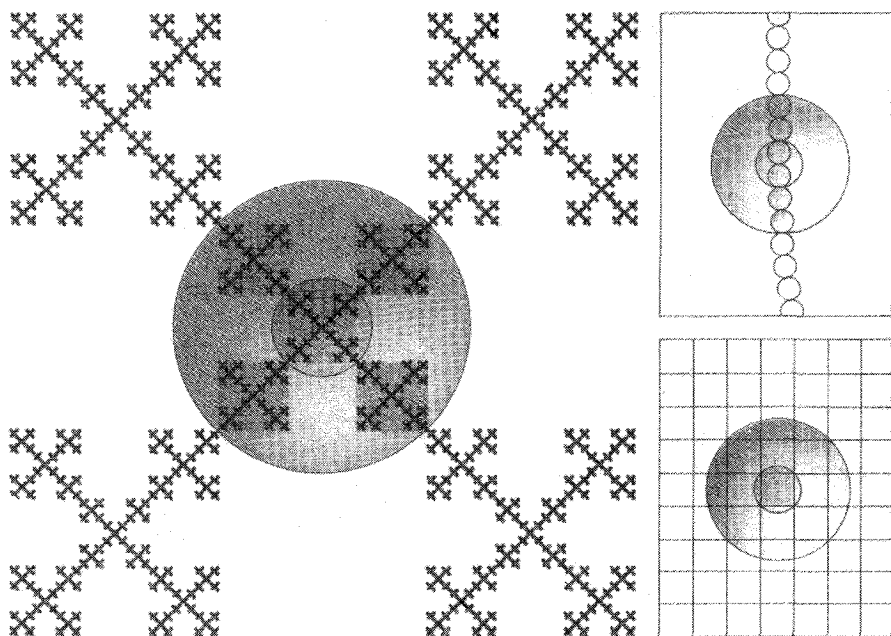
فرض کنید که فضا گسسته است (حال ممکن است فضای حقیقی باشد که در آن ذرات مایع حرکت می‌کنند و یا فضایی مجرد مثل فضای حالت یا فضای فاز). گسستگی ممکن است به دلایل مختلف به وجود آید. در مورد جریان مایع، طبعاً بدان سبب است که فرض بینهایت کوچک بودن خط مسیر یک ذره مایع، فرضی ناممکن است. در این صورت هر ذره در مسیری بسته حرکت خواهد کرد و آشوب از میان می‌رود.

گسسته بودن فضا ممکن است دلایل عمیقتری داشته باشد. در وهله اول ممکن است به گسسته بودن اجزایی که جریان مایع یا گاز را در فضای حقیقی تشکیل می‌دهند (مثلاً مولکولهای آنها) مربوط شود. همچنین، گسسته بودن فضا ممکن است مربوط به سرشت کوانتومی اجزای تحت بررسی باشد، زیرا در این مورد شرط کوانتیدگی باعث گسسته بودن فضای فاز می‌شود.

رشته‌های فراکتالی

ضمن بحث گفتیم که ساختارهای فراکتالی ابعاد غیرصحیح دارند. معنای این حرف چیست؟ شاید ابعاد غیرصحیح نتیجه تقریبها باشند؟ موضوع کاملاً عکس آن است. وقتی با چشم خود ابعاد شیئی را برآورد می‌کنیم، طبق عادت، عدد صحیح به دست می‌آوریم. واقعاً، بُعد یک گلوله کاموا چیست؟ اگر از دور به آن نگاه کنیم، جسمی نقطه‌ای می‌بینیم که نشان می‌دهد بُعد جسم صفر است. اگر نزدیکتر برویم، آن وقت بُعد آن سه می‌شود. اگر این جسم را به دقت بررسی و تک تک رشته‌های کاموا را دنبال کنیم، آن وقت بُعد آن ظاهراً یک می‌شود اما چرا بُعد جسم به صورت پرشی تغییر می‌کند؟ خب، برای اینکه ذهن ما چنین عادت کرده است و در نتیجه «ظاهراً» به نظر می‌رسد که چنین باشد. برای به دست آوردن پاسخ درست در تحلیل اشیاء عجیبی مثل فراکتالها (که مثال گلوله کاموا هم تا حدی از آن جمله است)، باید واژه بُعد را دقیق‌تر تعریف کنیم.

یک راه انجام این کار شمارش تعداد اجزاء تشکیل دهنده مورد نظر در داخل کره‌ای به شعاع r است که مرکزش درون جسم قرار دارد، شکل ۸-۴. تعداد اجزاء موجود، N ، در داخل چنین کره‌ای، با توان D ام شعاع کره متناسب خواهد بود، که در اینجا D همان بُعد سیستم است. به عبارت دیگر، اگر ضریب تناسب را واحد بگیریم، $N = r^D$ یا $D = \ln N / \ln r$. برای جسمی که به شکل خط راست است، تعداد اجزای تشکیل دهنده جسم درون چنین کره‌ای، با سه برابر شدن شعاع کره، سه برابر می‌شود، یعنی $D = 1$. اگر جسم متشکل از اجزای پکیده در یک صفحه باشد، سه برابر کردن



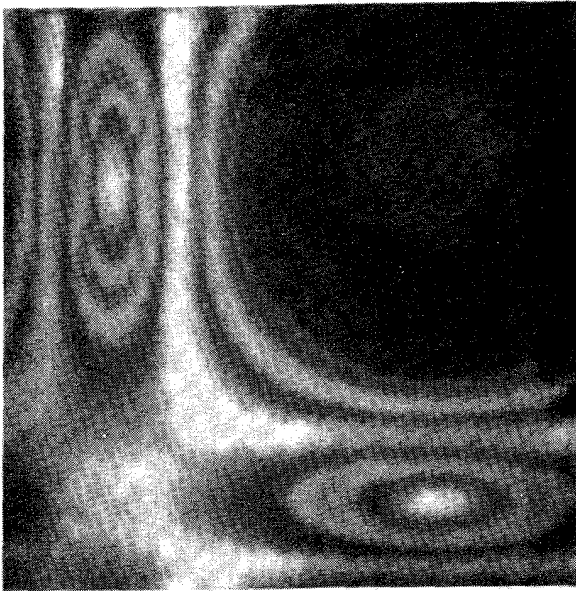
شکل ۴-۸ «دانه برف» فراکتالی (با تشکر از تی ویچک از انستیتو تحقیقاتی فیزیک فنی فرهنگستان علوم مجارستان در بوداپست و ل. م. سنדר ساینٹیفیک امریکن ۲۵۶، ۸۲ (۱۹۸۷)).

r باعث می‌شود تا N نه برابر شود. در نتیجه بعد جسم $D = 2$ خواهد بود. تا اینجا، تعریف دقیق بعد، نتایج متعارف و بدیهی را که انتظار داریم، به دست می‌دهد. اما اکنون حالتی را در نظر بگیرید که در شکل ۴-۸ نشان داده شده است، این حالت دیگر بدیهی نیست. در این ساختار سه برابر کردن شعاع کره، r ، به پنج برابر شدن تعداد اجزایی که درون کره قرار می‌گیرد می‌انجامد، یعنی تعداد اجزا سریعتر از حالت جسم یک‌بعدی و کندتر از هنگامی که جسم دو‌بعدی است، رشد می‌کند. این بدان سبب است که ساختار مورد نظر همه جا «متخلخل»، «سوراخدار» یا فراکتالی است، به طوری که بعد آن عددی غیر صحیح می‌شود؛ در واقع بعد این ساختار $D = 1.46$ است.

ساختارهای خودسازمان یافته

اکنون می‌خواهیم به بخش دوم سیاحت در فیزیک غیرخطی - آشوب و نظم بپردازیم، یعنی به مسئله نظم ناشی از بی‌نظمی، یعنی به مسئله خودزایی یا خود-تولیدی ساختارها.

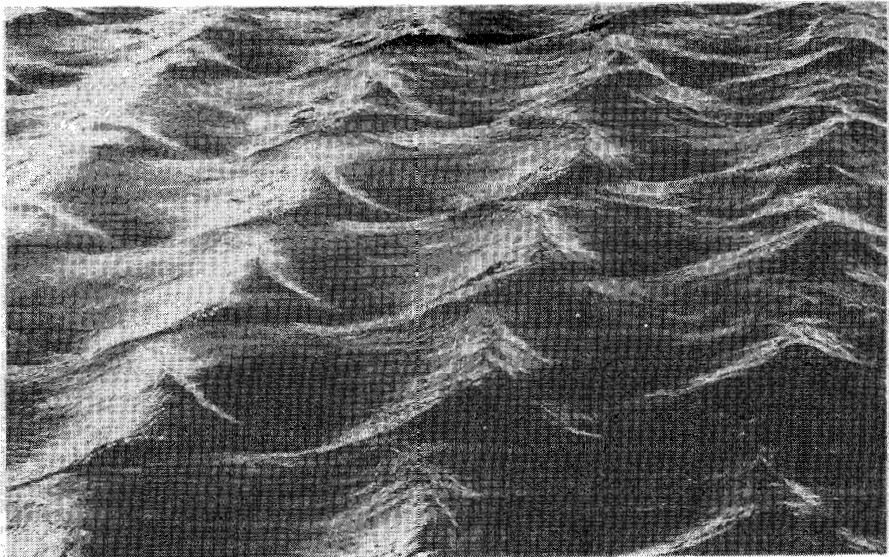
شکل ۵-۸ تولد ساختاری منظم را از سیستمی که در ابتدا بی‌نظم است نشان می‌دهد و از شبیه‌سازی رایانه‌ای محیط دو‌بعدی با مدل شبکه‌ای به دست آمده است که در شکل ۳-۸



شکل ۵-۸ توزیع فضایی میدان شبکه غیرخطی.

به آن اشاره کردیم. مشاهده می‌کنیم که از بی‌نظمی، نظم پدید می‌آید. ولی این شاید فقط در شبیه‌سازیهای رایانه‌ای رخ می‌دهد؟ شاید حضور همیشگی نوفه و افت و خیزهایی که در دنیای واقعی وجود دارند مانع از تشکیل چنین خودسازمان‌یافتگی در طبیعت می‌شود؟

مثال خوبی که در دنیای واقعی می‌شناسیم، خود-تولیدی معروف شبکه شش ضلعی منظم از مایعی است که در ابتدا مخلوطی ناهمگن را تشکیل می‌دهد (نگاه کنید به کتاب نویسندگان حاضر و یا کتاب هاکن). این شبکه (ریلی - بنارد) نتیجه جریانهای همرفتی در لایه‌ای افقی از مایع (در این مورد روغن سیلیکون) هنگامی است که از زیر به‌طور یکنواخت گرم شود. در این فرایند، سطح بالایی آزاد است و کشش سطحی نقش مهمی بازی می‌کند. با افزودن پودر آلومینیم به مایع تجسم آن آسانتر می‌شود. شبکه شش‌گوش همرفتی فقط هنگامی به وجود می‌آید که اختلاف دمای لایه گرم شده زیرین مایع و سطح سرد بالایی از یک مقدار بحرانی مشخص بیشتر شود. فقط در این مورد است که تبادل گرمای مولکولی (در نبود حرکت ماکروسکوپی در آن لایه از مایع) قادر به انجام «وظیفه» خود که انتقال دما باشد، نیست و به ناپایداریهای همرفتی در درون لایه منجر می‌شود. این ناپایداریها از افت و خیزها (یعنی همان «بی‌نظمی»!) شروع می‌شود و به حرکت گردابی با مقیاس مشخصه‌ای که به ضخامت لایه بستگی دارد، می‌انجامد. علت این ناپایداری آن است که قسمت گرم شده و سبکتر مایع با پیروی از قانون ارشمیدس به بالا حرکت می‌کند و قسمت‌های سرد و سنگینتر مایع را



شکل ۸-۶ ساختارهای موجی سه‌بعدی [از آلبوم حرکت شارهٔ مین-ین-سو و م.ون لایک، ویراستاران. (پارابولیک پرس، استانفورد ۱۹۸۲، شکل ۱۹۴)].

به پایین می‌راند.) بدین ترتیب باز هم ناپایداری داریم. اما این دفعه در جهت عکس: این ناپایداری به آشوب نمی‌انجامد، بلکه نظم و ساختارهای منظم را ایجاد می‌کند! ناپایداری حالت آرام و تعادلی مایع، رشد حرکت در مقیاسهای مشخص خاصی را ترجیح می‌دهد و این رشد را در مقیاسهای دیگر سرکوب می‌کند، و در نهایت به جریانهایی با ساختار منظم می‌انجامد.

در طبیعت، اغلب به این جریانهای با ساختار منظم برمی‌خوریم. در میان آنها می‌توان مثلاً از گردبادهای بزرگ در جو زمین، و همچنین از ساختارهای منظم «گردش‌های توپولوژیکی» که در شکل ۸-۱ دیده‌ایم نام برد. این گردش‌های توپولوژیکی مواد آتشفشانی بر اثر نمایهٔ خاص پوستهٔ توده‌های آتشفشانی شکل گرفته‌اند.

اما با این حال، هنگامی که دربارهٔ خودسازمان‌یافتگی و خودتولیدی ساختارها صحبت و تحول آنها را به سوی تکامل دنبال می‌کنیم (احتمالاً به‌طور ناخودآگاه) چیزی مهم‌تر و به‌مراتب بنیادی‌تر و غیرمعمول‌تری از پدیدآمدن صرف ساختارهای منظم مشابه با ساختار موجی موجود در شکل ۸-۶ را در نظر داریم. این شکل ساختار منظم سه‌بعدی امواج را بر روی سطح مایع نشان می‌دهد. این امواج، ناشی از ناپایداری، از رشتهٔ همگنی از امواج استوکس تخت و با شیب زیاد حاصل می‌شوند.

بی‌نظمی و ساختارها

مفهوم تلاطم را به‌عنوان آشوب فضا زمانی ساختارها به‌خوبی می‌شناسیم. کافی است به تحول

حلقه‌های دود سیگار ببینید! این مفهوم را می‌توان در محیط‌های ناهمسانگرد و خصوصاً برای جریانهای برشی نیز به‌کار برد. ساختارها ناشی از تحول ناپایداریهای برشی هستند. دینامیک و مشخصهٔ برهم‌کنش آنها در امتداد جریان هر چه پیچیده‌تر می‌شود و بالاخره (کمی دورتر) شاهد تولد تلاطم می‌شویم.

برای تعیین قوانین کلی دینامیک غیرخطی این ساختارها، بهتر است از سیستم‌های غیرتعادلی مصنوعی در آزمایشگاه و یا حتی در خانه استفاده کنیم. این سیستمها امکان بررسی‌های دقیق را فراهم می‌سازند و همچنین شناخت خوبی از جهان شمول بودن توپولوژی ساختارهای مذکور و تبدیلهای آنها در برهم‌کنشهایشان با یکدیگر، به‌دست می‌دهد. یکی از این ابزارها یا «رسانه‌های» مصنوعی را می‌توان در خانه، به‌کمک دوربین ویدیو و تلویزیون برپا کرد: دوربین را به‌طرف تلویزیون بگیرد و پیغام آن را به ورودی ویدیوی تلویزیون بفرستید. این «دوربین + تلویزیون + فیدبک» سیستمی است که اگر به‌قدر کافی تقویت شود، خود برانگیخته است. طبعاً، ضریب تقویت باید نه‌تنها از نظر زمانی بلکه از نظر مکانی هم از مقدار مشخصهٔ بحرانی بیشتر باشد (این کار را می‌توانید با نزدیکتر شدن به صفحهٔ تلویزیون و در نتیجهٔ بزرگ کردن تصویر انجام دهید).

در نتیجهٔ این خودبرانگیختگیها، تصاویر ویدیویی را بر روی صفحهٔ تلویزیون مشاهده خواهید کرد. به‌صورت مستقیم، این تصاویر ربطی به آنچه دوربین ویدیویی شما «می‌بیند»، ندارد. اگر آزمایش را در اتاقی تاریک انجام دهیم، درمی‌یابیم که این سیستم با برانگیختگی «سخت» مشخص می‌شود. در تاریکی، «روشن کردن» صفحهٔ تلویزیون، به تولید یک تپ نوری نیاز دارد. می‌توانید با نزدیک آوردن شعلهٔ یک کبریت به عدسی دوربین، پخش شدن آن را بر روی صفحهٔ تلویزیون (برطبق قوانین پخش غیرخطی) تماشا کنید. تصاویری که بدین ترتیب به‌دست می‌آوریم بیشتر شبیه ساختارهای فراکتالی است که پیشتر دیدیم. ماریچها، «رشته‌های چسبنده» و بسیاری دیگر را بر روی صفحهٔ تلویزیون مشاهده می‌کنیم، نگاه کنید به کتاب گاپونوف - گرخوف و رابینوویچ.

دینامیک ساختارهای حاصل در آزمایش خانگی با رسانه‌های ناپایدار دارای تنوع خیره‌کننده‌ای هستند. این دینامیک ممکن است برحسب شرایط خاص حاکم، آشوبی یا منظم باشد. به‌کمک یک دوربین دیگر که به سمت صفحهٔ تلویزیون گرفته شده است، می‌توانیم تصاویری را به‌دست آوریم که خود - نوسانهای سیستم «دوربین + تلویزیون + فیدبک» را نشان می‌دهد یعنی ساختارهای ویدیویی با گذشت زمان به‌صورت دوره‌ای جانشین یکدیگر می‌شوند.

پایداری چندجانبه و حافظه

از سیستم «دوربین + تلویزیون + فیدبک» می‌توان برای اهداف کاملاً غیرمنتظره استفاده کرد، مثلاً، برای به‌دست آوردن اطلاعات موازی وارونه. بگذارید اندکی در این مورد فکر کنیم.

سه دهه پیش معلوم شد که تعداد زیادی از فرایندهایی که به دید قورباغه مربوط می‌شود (از جمله تمام محاسبات مربوط به تشخیص اشیاء ساده مثل حشرات) در شبکیه چشم قورباغه رخ می‌دهد. به زبان دنیای رایانه‌ای کنونی، شبکیه صرفاً مجموعه‌ای از پردازشگرهای موازی است که تقریباً هیچ زمانی را صرف برقراری ارتباط با یکدیگر نمی‌کنند. چرا با یکدیگر ارتباط برقرار نمی‌کنند؟ - در مورد شبکه‌ای متشکل از فقط دوازده پردازشگر مرتبط با یکدیگر، تقریباً تمام زمان صرف ردوبدل کردن اطلاعات می‌شود، چنانکه اساساً، برای ارزیابی عملی اطلاعات، یعنی برای تشخیص جسم، زمانی باقی نمی‌ماند.

ساده‌ترین طرح رایانه‌ای با پردازشگرهای اطلاعاتی موازی برای تصاویر با ماتریسی مستطیلی از پردازشگرها مشخص می‌شود، به طوری که هر پردازشگر فقط با همسایه‌هایش اطلاعات ردوبدل می‌کند. می‌توانیم تصویری را که می‌خواهیم ارزیابی کنیم، به کمک دوربین ویدیو بر روی این ماتریس بیندازیم. ابزارهایی از این دست را پردازشگرهای تصویر منطقی یاخته‌ای یا اتوماتا می‌نامند. اگر فرض کنیم که هر جزء ماتریس فقط قادر به انجام عملیات معدودی است، تعداد حالت‌هایی که می‌تواند برحسب دامنه پیغام فرودی دریافت کند نیز اندک خواهد بود. فرض کنید می‌خواهیم صفحه تلویزیون رنگی در سیستم تلویزیون با فیدبک را به عنوان این پردازشگر یاخته‌ای به کار ببریم. به کمک شبکه‌ای از «جعبه‌های باز» که در مقابل صفحه قرار داده شده‌اند، مساحت آن را به یاخته‌های کوچک تقسیم می‌کنیم (ابعاد این یاخته‌ها، طبعاً نباید کوچکتر از کوچکترین نقطه‌هایی باشند که تلویزیون قادر است به طور پایدار بازسازی کند). حال، هر یک از یاخته‌ها ممکن است در یکی از چهار حالت مستقل باشد (حالت پایه برانگیخته نشده در مقابل سه حالت برانگیخته که با قرمز، آبی و سبز نشان داده می‌شوند). بنابراین تعداد تصاویر موجود پایدار (رباینده‌ها) در سیستم «دوربین + تلویزیون + فیدبک»، می‌تواند به قدر کافی زیاد باشد. سیستم ممکن است به طور چندگانه پایدار باشد. پایداری تصاویر از طرفی باعث می‌شود تا آنها را به خاطر بسپاریم، و از طرف دیگر قادر باشیم تصاویر مختلف را از یکدیگر تمیز دهیم. تصاویر زیبایی از پدیده پایداری چندجانبه در سیستم تلویزیونی، در کتاب ما آمده است.

دینامیک غیرخطی در جامعه

باید اضافه کرد که خود مدلها و روشهای دینامیک غیرخطی، بی‌وقفه گسترش می‌یابند. فقط به ذکر یکی از جنبه‌های نسبتاً جدید این توسعه، یعنی مدل‌سازی دینامیک غیرخطی سیستمهای گسترده به کمک اتوماتای یاخته‌ای اکتفا می‌کنیم. در این مورد، «محیط» را مجموعه‌ای از یاخته‌های گسسته در نظر می‌گیریم که با قواعد مشخصی با یکدیگر برهم‌کنش می‌کنند، و در زمان گسسته

تحول می‌یابند. این مدل‌ها برای مسائل سنتی فیزیک و مخصوصاً برای مسائل مربوط به مدل‌سازی فرایندهای تکاملی و همین‌طور خودآموزی (شبکه‌های عصبی)، بسیار کارآمد هستند.

همان‌طور که در کتابمان آمده است، برای قوانین برهم‌کنشی فوق‌العاده ساده بین یاخته‌ها هم، اتوماتای یاخته‌ای ممکن است رفتاری بسیار پیچیده و حتی آشوبناک داشته باشد. با تجربه‌ای که تاکنون از این سیستم‌های غیرخطی اندوخته‌ایم، دیگر نباید از این نتایج تعجب کنیم. اگر تحول زمانی ساختارهای فضایی پیچیده غیرتکراری را در اتوماتای یاخته‌ای دنبال کنیم، مشاهده می‌کنیم که یاخته‌های همسایه، یکدیگر را می‌انگیزند درحالی که آنهایی که خیلی به هم نزدیک نیستند فرایند را کند می‌کنند. رنگ نمایانگر شدت برانگیختگی است، سیاه نشان می‌دهد که هیچ‌گونه برانگیختگی وجود ندارد.

با وجود اینکه تجربه خوبی در پیشگویی نداریم، به جرات اعلام می‌کنیم که در دهه آینده، روشهای فیزیک غیرخطی و دینامیک غیرخطی نه تنها برای پزشکان و متخصصان محیط‌زیست، بلکه برای اقتصاددانان، جامعه‌شناسان و جغرافیدانان نیز به صورت ابزار رایج در خواهد آمد.

در واقع، همان‌طور که اخیراً معلوم شده است، رشد شهرها و تحول شبکه حمل‌ونقل درون‌شهری و بین‌شهری به شدت شبیه رشد خوشه‌های فراکتالی در مدل‌هایی با پخش «محدود» است.

امروزه، اغلب متخصصان بر این باورند که ایده تعادل دینامیکی، که از مبانی مدل‌های اقتصادی سنتی است، رضایتبخش نیست، اکنون دریافته‌ایم که ساختن مدل‌های دینامیکی غیرخطی الزاماً اجتناب‌ناپذیر است. یک رهیافت پیشنهادی بک، تنگ و ویزنفلد^۱، بحرانیت خودسازمان‌یافته است. هنگامی که سیستم مدل‌سازی شده به یک حالت بحرانی می‌رسد، دستخوش خودباز سازمان‌یافتگی می‌شود، و شکلی جدید اختیار می‌کند که می‌توان آن را با احتمال نسبتاً خوبی پیش‌بینی کرد. نوع مشابهی از پیش‌بینی - که البته در مورد گذشته به‌کار می‌رود! - مثلاً، به‌کمک روش دینامیک بحرانی در مدل‌های مسابقات تسلیحاتی بین کشورها بود که در نهایت به جنگ میان آنها می‌انجامید. نگاه کنید به مقاله ۱. سوپرستاین. در واقع روشهای دینامیک بحرانی جهان‌شمول هستند. این جهان‌شمولی، در ماهیت تغییرات مشاهده شده در دینامیک فرایندهای کاملاً متفاوت بروز می‌کند، که خود ناشی از تغییرات پارامترهایی است که تحول این فرایندها را تعیین می‌کند. بنابراین، همان تغییرات (دوشاخه‌شدگی) که در مدل‌های یادشده مسابقات تسلیحاتی رخ می‌داد، در نوسانهای مشاهده شده در آزمایشهای مولدهای ریزموجی نیز دوشاخه‌شدگی دوبرابر شدن (دوره) و بالاخره گذار به آشوب به‌وقوع می‌پیوندد.

- A. Superstein: Nature **309**, 303 (1984).
- P. Bak, C. Tang, K. Wiesenfeld: Self-Organized Criticality, Phys. Rev. Lett. **59**, 381 (1987).
- A. V. Gaponov-Grekhov, M. I. Rabinovich: *Nonlinearities in Action* (Springer, Berlin, Heidelberg, New York 1922).
- H. Haken: *Synergetics* (Springer, Berlin, Heidelberg, New York 1978).
- M. V. Nezlin, E. N. Snezhkin: *Rossby Vortices, Spiral Structures, Solitons* (Springer, Berlin, Heidelberg, New York 1992).
- H-O. Peitgen, P. H. Richter: *The Beauty of Fractals* (Springer, Berlin, Heidelberg, New York 1992).

۸-۲ آشوب کوانتومی^۱

نوشته: مارتین سی. گوتزیلر^۲

آیا آشوب در دنیای کوانتومی هموار و موج‌گونه نهفته است؟ کارهای اخیر نشان می‌دهد که پاسخ مثبت است. علائم آشوب حتی در طرح‌های موجی مربوط به ترازهای انرژی اتمی نیز وارد می‌شوند.

آلبرت اینشتین در ۱۹۱۷ مقاله‌ای نوشت که به مدت چهار سال کاملاً نادیده گرفته شد. او در آنجا بررسی‌های مطرح کرد که فیزیکدانها فقط اخیراً به آن پرداخته‌اند: آشوب کلاسیک که در همه جای جهان نهفته است، بر مکانیک کوانتومی، نظریه‌ای که دنیای اتمی و زیراتمی را توصیف می‌کند، چه

۱. اصل این مقاله در ژانویه ۱۹۹۲ در مجله ساینتیفیک امریکن به چاپ رسید. اجازه چاپ مجدد آن گرفته شده است.

۲. مارتین سی. گوتزیلر عضو فرهنگستان ملی علوم امریکاست. او در مرکز تحقیقاتی توماس. جی. واستون IBM در یورکتاون هاتیز، نیویورک کار می‌کند و همزمان استاد متالورژی دانشکده مهندسی دانشگاه کلمبیا نیز هست. او که متولد سوئیس است، تحصیلات خود را در مدارس دولتی سوئیس و در انستیتو فدرال فناوری در زوریخ انجام داد و در نهایت از این انستیتو مدرک خود را در سال ۱۹۵۰ در فیزیک و ریاضی دریافت کرد. دکترای او در فیزیک از دانشگاه کانزاس در سال ۱۹۵۳ است. گوتزیلر پس از اینکه به مدت هفت سال در آزمایشگاه تحقیقاتی اکتشاف و تولید کمیانی نفتی شل کار کرد، در سال ۱۹۶۰، به IBM پیوست. در ابتدای کارش در IBM به تحقیق درباره برهم‌کنش الکترونها در فلزات پرداخت و اکنون تحقیقات او درباره رابطه بین مکانیک کلاسیک و مکانیک کوانتومی است. او همچنین به مکانیک سماوی و تاریخ فیزیک و نجوم علاقه دارد. به علاوه، او موسیقیدانی آماتور، گردآورنده کتابهای قدیمی علمی و کوهنورد است.

تأثیری می‌گذارد؟ البته، اثرات آشوب کلاسیک مدتهاست که مشاهده شده‌اند - کپلر از حرکت نامنظم ماه به دور زمین آگاه، و نیوتون به شدت از این پدیده دلخور بود. جورج ویلیام هیل، منجم امریکایی، در پایان قرن نوزدهم نشان داد که این بی‌نظمی به‌طور کامل ناشی از کشش گرانشی خورشید است. اندکی بعد، هانری پوانکاره، ریاضیدان، فیزیکدان و منجم بزرگ فرانسوی، حدس زد که حرکت ماه فقط یک مورد خفیف از بیماری مادرزادی است که تقریباً در همه اشیاء تأثیر دارد. در نهایت، پوانکاره متوجه شد که بیشتر سیستم‌های دینامیکی هیچ طرح منظم یا تکراری قابل تشخیص ندارند. رفتار حتی یک سیستم ساده هم ممکن است چنان به شرایط اولیه حساس باشد که نتیجه‌نهایی نامشخص شود.

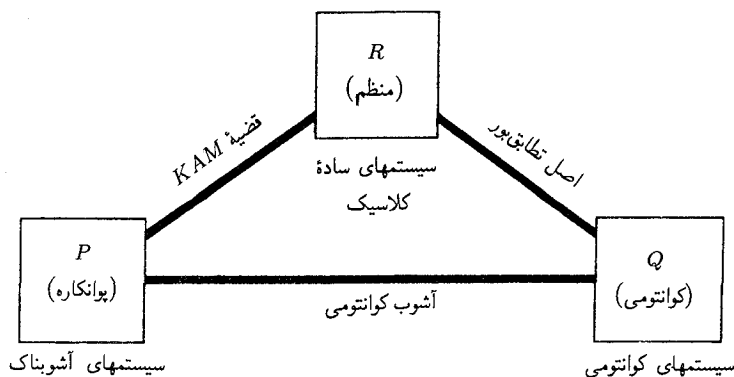
تقریباً همزمان با کار عظیم پوانکاره درباره آشوب کلاسیک، ماکس پلانک انقلاب دیگری را آغاز کرد، که به نظریه جدید مکانیک کوانتومی انجامید. سیستم‌های ساده‌ای که نیوتون بررسی کرده بود، دوباره در مقیاس اتمی مطالعه شدند. مشابه کوانتومی آونگ ساده، لیزر است؛ پرتابه‌های دنیای اتمی، باریکه الکترونها و پروتونها هستند و چرخ دوار، الکترون چرخنده است (اساس نوارهای مغناطیسی). حتی خود منظومه شمسی هم در هر یک از اتمهای جدول تناوبی عناصر بازتاب یافته است.

شاید بارزترین خصلت دنیای کوانتومی، سرشت هموار و موج‌گونه آن باشد. این خصلت این پرسش را مطرح می‌سازد که آشوب چگونه خود را هنگام عبور از دنیای کلاسیک به دنیای کوانتومی نشان می‌دهد. چگونه می‌توان ماهیت بسیار بی‌نظم آشوب کلاسیک را با سرشت هموار و موج‌گونه پدیده‌ها در مقیاس اتمی آشتی داد؟ آیا آشوب در دنیای کوانتومی نیز وجود دارد؟

از کارهای مقدماتی چنین برمی‌آید که آشوب در دنیای کوانتومی هم موجود است. آشوب در توزیع ترازهای انرژی برخی سیستم‌های اتمی یافت می‌شود؛ حتی به‌نظر می‌رسد که در طرح‌های موجی مربوط به این ترازها نیز رخنه می‌کند. آشوب را در پراکندگی الکترونها از مولکولهای کوچک نیز می‌توان یافت. اما باید تأکید کرد که اصطلاح «آشوب کوانتومی» بیشتر برای توصیف معمایی بفرنج به‌کار می‌رود، تا برای مشخص کردن مسئله‌ای خوش‌تعریف.

برای به‌دست آوردن شناختی بهتر از آشوب کوانتومی، در نظر داشتن تفسیر زیر از وضعیت کلی موضوع می‌تواند سودمند باشد. تمام بحث‌های نظری مکانیک را، شاید به‌طور مصنوعی، بتوان به سه بخش تقسیم کرد نگاه کنید (به شکل ۸-۷)، اگرچه طبیعت این تقسیم‌بندی را به رسمیت نمی‌شناسد.

مکانیک کلاسیک مقدماتی در بخش اول قرار می‌گیرد. این بخش شامل همه سیستم‌های خوب و تمیز است که رفتار ساده و منظمی از خود نشان می‌دهند، و به همین دلیل آن را



شکل ۷-۸ مکانیک به طور سنتی (و مصوعی) به سه بخشی که در اینجا نشان داده شده است تقسیم می‌شود، این بخشها با خطوط ارتباطی متعدد بهم متصل‌اند. موضوع آشوب کوانتومی برقراری ارتباط بین قلمروهای P و Q است.

R یعنی منظم می‌نامیم. بخش R شامل ابزار ریاضی ساخته و پرداخته شده‌ای به نام نظریه اختلال نیز هست که از آن برای محاسبه اثرات برهم‌کنشهای کوچک و آشفتگیهای خارجی مثل خورشید بر حرکت ماه به دور زمین استفاده می‌شود. اکنون به کمک نظریه اختلال، بخش بزرگی از فیزیک را به صورت تغییرات جزئی بر رفتار سیستمهای منظم در نظر می‌گیرند. اما واقعیت بسیار پیچیده‌تر است؛ سیستمهای آشوبناک خارج از گستره نظریه اختلال قرار دارند و بخش دوم را می‌سازند.

چون اولین بررسی‌های تحلیلی دقیق بر سیستمهای بخش دوم به دست پوانکاره انجام گرفت، این بخش را به افتخار او P نام می‌دهم. این بخش پر است از سیستمهای دینامیکی آشوبناک که در هر گوشه‌ای از علم وجود دارند (نگاه کنید به کراچفیلد^۱ و همکاران، در مجموعه مقالاتی که فهرست آنها در پایان این مقاله آمده است). تمام مسائل بنیادی مکانیک که شامل حداقل سه جسم برهم‌کنش کننده می‌شود، در این بخش قرار می‌گیرند، مانند زمین، ماه و خورشید یا سه اتم موجود در مولکول آب و یا سه کوارکی که در پروتون هستند.

مکانیک کوانتومی که مدت ۹۰ سال است که به کار می‌رود، متعلق به بخش سوم، به نام Q است. پس از کار پیشگامانه پلانک، اینشتین و نیلس بور، در مدت کوتاه چهار سال از ۱۹۲۴، به بعد این نظریه شکل گرفت. کارهای تعیین کننده لویی دو بروی، ورنر هایزنبرگ، اروین شرودینگر، ماکس بورن، ولفگانگ پاؤلی و پل دیراک بدون هیچ خطایی از بوته آزمایش با موفقیت گذشتند. این نظریه، به طور معجزه‌آسایی، چارچوبی ریاضی برای فیزیک فراهم می‌آورد که به گفته دیراک،

شناخت عمیقی از «اغلب مباحث فیزیک و همهٔ مباحث شیمی» به دست داده است. اما، اگرچه اغلب فیزیکدانها و شیمیدانها آموخته‌اند که چگونه مسائل بخصوصی را در مکانیک کوانتومی حل کنند، هنوز با ظرافتهای بی نظیر و شگفت‌انگیز این نظریه کنار نیامده‌اند. این ظرافتها کامل جدای از مفاهیم دشوار مربوط به تفسیر مکانیک کوانتومی است.

سه قلمروی R (سیستمهای سادهٔ کلاسیک)، P (سیستمهای آشوبناک کلاسیک) و Q (سیستمهای کوانتومی)، به وسیلهٔ خطوط ارتباطی متعدد به یکدیگر متصل‌اند. ارتباط بین Q و R به اصل تطابق بور معروف است. اصل تطابق به صورت کاملاً منطقی، بیان می‌کند که مکانیک کلاسیک حد مکانیک کوانتومی در حالتی است که در آن اشیاء بسیار بزرگتر از اندازهٔ آنها باشند. ارتباط اصلی بین R و P قضیهٔ کولموگوروف - آرنولد - موزر^۱ (KAM) است. قضیهٔ KAM ابراز توانمندی است برای محاسبهٔ اینکه چقدر از ساختار یک سیستم منظم با ورود اختلالی کوچک جان سالم به در می‌برد، بدین ترتیب این قضیه قادر است اختلالهایی را که موجب رفتار آشوبی در سیستم منظم می‌شود، شناسایی کند.

موضوع آشوب کوانتومی برقرار ساختن ارتباط بین قلمرو P (سیستمهای آشوبناک) و Q (سیستمهای کوانتومی) است. برای برقرار ساختن این ارتباط، معرفی مفهومی به نام فضای فاز مفید است. شگفت‌آور اینکه مفهومی که اکنون در میان متخصصان رشتهٔ سیستمهای دینامیکی متداول است، به زمان نیوتون برمی‌گردد.

مفهوم فضای فاز را می‌توان در اصول ریاضی فلسفهٔ طبیعی، که در ۱۶۸۷ به چاپ رسید، یافت. در دومین تعریف اولین فصل، با عنوان «تعاریف»، نیوتون اظهار می‌دارد (برطبق ترجمهٔ سال ۱۷۲۹ از متن اصلی لاتین) «اندازهٔ حرکت معیاری است که از سرعت و مقدار ماده مشترکاً حاصل می‌شود.» به زبان امروزی، یعنی در هر جسمی کمیتی به نام تکانه وجود دارد که حاصلضرب سرعت و جرم جسم است.

نیوتون در فصل دوم با عنوان «اصول یا قوانین حرکت» قوانین خود را ارائه می‌کند. بنابر قانون دوم، تغییر حرکت با نیروی اعمال شده متناسب است. نیوتون نیرو را به تغییر تکانه مربوط می‌کند (برخلاف غالب کتابهای درسی که نیرو را به شتاب مربوط می‌کنند).

تکانه در واقع یکی از دو کمیتی است که وقتی با هم در نظر گرفته شوند، اطلاعات کاملی دربارهٔ سیستم دینامیکی در هر لحظه فراهم می‌کنند. کمیت دیگر، مکان است، که شدت و جهت نیرو را مشخص می‌کند. بصیرت نیوتون دربارهٔ سرشت دوگانهٔ تکانه و مکان را ۱۵۰ سال بعد دو ریاضیدان به نامهای ویلیام راون هاملتون و کارل گوستا و ژاکوبی استحکام بیشتری بخشیدند.

تزیج تکانه و مکان دیگر در فضای آشنای اقلیدسی با سه بعد در نظر گرفته نمی‌شود، بلکه در فضای فاز شش‌بعدی که دارای سه بعد مکان و سه بعد تکانه است منظور می‌شود.

به لحاظ ریاضی، معرفی فضای فاز گامی پررتر بود، اما از نظر شهودی برای انسان مشکلی جدی می‌آفرید. آخر چه کسی می‌تواند شش بعد را مجسم کند؟ خوشبختانه، در برخی موارد، این امکان وجود دارد که فضای فاز به سه، یا حتی بهتر از آن، به دو بعد تقلیل یابد.

این کاهش ابعاد در مطالعه رفتار اتم هیدروژن در میدان مغناطیسی قوی امکان‌پذیر است. اتم هیدروژن مدتهاست که به خاطر سادگی مورد توجه بوده است، یک الکترون تنها که به دور یک پروتون تنها می‌گردد. با این همه، حرکت کلاسیک الکترون در حضور میدان مغناطیسی آشوبناک است. چطور می‌توانیم ادعا کنیم که فیزیک را می‌فهمیم اگر نتوانیم این مسئله مقدماتی را توضیح دهیم؟ در شرایط عادی، الکترون اتم هیدروژن کاملاً به پروتون وابسته است. مکانیک کوانتومی حاکم بر رفتار اتم است. اتم نمی‌تواند هر انرژی دلخواهی را داشته باشد؛ بلکه فقط می‌تواند مقادیر گسسته یا کوانتیده‌ای از انرژی را اختیار کند. در انرژیهای کم، فاصله‌های مجاز از یکدیگر نسبتاً زیاد است. اتم با افزایش انرژی بزرگتر می‌شود، زیرا الکترون از پروتون فاصله می‌گیرد و انرژیهای مجاز به هم نزدیکتر می‌شوند. در انرژیهای به اندازه کافی زیاد (ولی نه خیلی زیاد، زیرا در آن صورت ممکن است الکترون از اتم کنده شود!)، انرژیهای مجاز بسیار به هم نزدیک می‌شوند و طیفی که عملاً پیوسته است می‌سازند، و در این حال می‌توان قواعد مکانیک کلاسیک را به کار گرفت.

این اتم بسیار برانگیخته را، اتم ریذبگ می‌نامند [نگاه کنید به کلپنر و همکاران]. اتمهای ریذبگ حد فاصل دنیای کوانتومی و دنیای کلاسیک و در نتیجه نامزدهای ایده‌آلی برای کاوش در اصل تطابق بور هستند که بخش Q (پدیده‌های کوانتومی) را به بخش R (پدیده‌های کلاسیک) متصل می‌کند. اگر بشود کاری کرد که اتم ریذبگ به معنای کلاسیک دارای رفتار آشوبناک شود، می‌توان سرخشی از سرشت آشوب کوانتومی به دست آورد، و در نتیجه راه ارتباطی بخشهای Q و P (که متعلق به پدیده‌های آشوبی است) را روشن کرد.

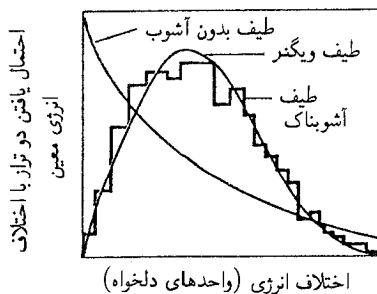
اتم ریذبگ در میدان مغناطیسی قوی دارای رفتار آشوبناک است، اما برای مشاهده این رفتار باید بعد فضای فاز را کم کرد. اولین گام توجه به این نکته است که میدان مغناطیسی اعمال شده محور تقارن درون اتم را تعریف می‌کند. حرکت الکترون عملاً در صفحه دو بعدی صورت می‌گیرد و می‌توان حرکت به دور محور را جدا کرد؛ فقط فاصله در امتداد محور و از محور مهم است. تقارن حرکت ابعاد فضای فاز را از شش به چهار تقلیل می‌دهد.

نکته کمکی بعدی این است که هیچ نیروی خارجی کاری روی الکترون انجام نمی‌دهد. در نتیجه، انرژی کل با گذشت زمان تغییر نمی‌کند. اگر توجه خود را به مقدار خاصی از انرژی معطوف کنیم،

می‌توانیم برشی سه‌بعدی - به نام پوسته انرژی - را از فضای فاز چهاربعدی جدا کنیم. پوسته انرژی امکان مشاهدهٔ پیچ‌وتابها و چرخشهای الکترون را فراهم می‌سازد، که چیزی شبیه به مجسمه‌ای از سیمهای درهم پیچیده است. به کمک ایده‌ای که به نظر پوانکاره رسید، شکل حاصل را می‌توان ساده‌تر هم کرد. پوانکاره پیشنهاد کرد که صفحه‌ای دوبعدی و ثابت (به نام مقطع پوانکاره یا سطح مقطع) را از پوسته انرژی بگذرانیم و به نقطه‌هایی که مسیر حرکت این صفحه را قطع می‌کند نگاه کنیم. مقطع پوانکاره مجسمه ساخته از سیمهای درهم پیچیده را به دنباله‌ای از نقاط در صفحه معمولی تبدیل می‌کند. برای اتم هیدروژن بسیار برانگیخته که در میدان مغناطیسی قوی قرار دارد، مقطع پوانکاره ناحیه‌هایی از فضای فاز را نشان می‌دهد که در آن نقاط کاملاً پراکنده‌اند و نمایانگر رفتار آشوبناک است. این پراکندگی از عوارض مسلم آشوب کلاسیک است، و موجب می‌شود تا بتوان سیستمها را به بخش P یا بخش R تقسیم کرد.

اتم ری‌دبرگ چه چیزی را دربارهٔ ارتباط بین بخشهای P و Q آشکار می‌کند؟ گفتیم که یکی از مشخصات بارز سیستمهای کوانتوم مکانیکی ترازهای انرژی کوانتیدهٔ آن است، و در واقع ترازهای انرژی اولین جایی است که باید به دنبال آشوب کوانتومی باشیم. اثر آشوب بر روی تک‌تک ترازها را نمی‌توان مشاهده کرد، بلکه حضور آن در طیف یا توزیع ترازها مشاهده می‌شود. شگفت اینکه، در سیستم کوانتومی غیرآشوبناک ترازهای انرژی به صورت کاتوره‌ای و بدون همبستگی توزیع شده‌اند، درحالی که ترازهای انرژی سیستم کوانتومی آشوبناک دارای همبستگی شدیدی هستند، شکل ۸-۸. ترازهای سیستم منظم اغلب نزدیک یکدیگرند، زیرا سیستم منظم از زیرسیستمهای کوچکتر تشکیل شده است که کاملاً به یکدیگر جفت نشده‌اند. اما به نظر می‌رسد که ترازهای انرژی سیستم آشوبناک از وجود یکدیگر آگاه‌اند و می‌کوشند فاصلهٔ ایمنی نسبت به هم داشته باشند. سیستم آشوبناک را نمی‌توان تجزیه کرد؛ حرکت در امتداد یک محور مختصات همواره به آنچه در امتداد محورهای دیگر رخ می‌دهد وابسته است.

بوجین ویگنر، از استادان پیشگام در مکانیک کوانتومی، طیف سیستم کوانتومی آشوبناک را برای نخستین بار مطرح کرد. ویگنر، مانند بسیاری دیگر، مشاهده کرد که فیزیک هسته‌ای مبنای محکمی چون فیزیک اتمی و مولکولی ندارد؛ منشأ نیروی هسته‌ای هنوز هم به خوبی شناخته نشده است. بنابراین او این پرسش را مطرح کرد که آیا خواص آماری طیفهای هسته‌ای را می‌توان با فرض اینکه پارامترهای گوناگون مسئله مقادیر معین اما مجهولی دارند، به دست آورد. این نقطهٔ شروع نسبتاً مبهم، او را قادر ساخت تا محتملترین فرمول را برای توزیع آنها به دست آورد. اوریول بوهیگاس^۱ و ماری - جويا جیانونی^۲ از انستیتو فیزیک هسته‌ای در اورسی فرانسه، برای نخستین



شکل ۸-۸ طیف انرژی، یا توزیع ترازهای انرژی، برای سیستمهای کوانتومی آشوبناک و غیرآشوبناک تفاوت قابل ملاحظه‌ای دارد. برای سیستمی غیرآشوبناک مانند یون مولکولی هیدروژن (H_2^+) احتمال یافتن دو تراز انرژی نزدیک هم بسیار زیاد است. در مورد سیستمی آشوبناک مانند اتم ریدبرگ در میدان مغناطیسی قوی، این احتمال کم است. طیف آشوبناک با طیف عادی هسته‌ای که سالها قبل توسط یوجین ویگنر به دست آمد، همخوانی نزدیکی دارد.

بار اعلام کردند که توزیع ویگنر دقیقاً همان توزیعی است که برای طیف سیستم دینامیکی آشوبناک به دست می‌آید.

اما، به نظر نمی‌رسد که آشوب محدود به توزیع ترازهای کوانتومی انرژی باشد بلکه حتی به سرشت موج‌گونه جهان کوانتومی نیز راه می‌یابد. مکان الکترون در اتم هیدروژن با طرح موجی توصیف می‌شود. مکان دقیق الکترون را در فضا نمی‌توان مشخص کرد، بلکه شبیه ابری است که در نزدیکی پروتون گسترده شده باشد. متناظر با هر تراز انرژی مجاز، حالت مانایی وجود دارد که طرحی موجی است که با زمان تغییر نمی‌کند. حالت مانا بسیار شبیه طرح ارتعاشی غشایی است که مانند طبل روی چارچوب صلبی کشیده شده باشد.

حالت‌های مانای سیستم آشوبناک ساختار جالب و غیرمنتظره‌ای دارند. این ساختار را اریک هلر^۱ از دانشگاه واشینگتن در اوایل دهه ۱۹۸۰ نشان داد. او دانشجویانش دسته‌ای از حالت‌های مانا را برای کاواکی دو بعدی به شکل استادیوم ورزشی، محاسبه کردند. مسئله متناظر با آن در مکانیک کلاسیک، آشوبناک است، زیرا یک مسیر حرکت عادی، بسرعت بیشتر فضای موجود را به طور یکنواخت پر می‌کند. از چنین رفتاری برمی‌آید که حالت‌های مانا هم احتمالاً کاتوره‌ای به نظر آیند، انگار که بدون منطق یا نظمی طراحی شده‌اند. اما هلر کشف کرد که بیشتر حالت‌های مانا حول کانالهای باریکی که شکلهای ساده‌ای را درون استادیوم می‌ساختند، متمرکزند، او این نوع کانال را «داغ» نامید. در حالت‌های مانای اتم هیدروژن در میدان مغناطیسی قوی نیز ساختار مشابهی وجود دارد. در نسخه اصلی مقاله کنونی که در مجله ساینتیفیک امریکن به چاپ رسیده است.

در این نقطه از بحث، شکل زیبایی را که هلر تهیه کرده است به همراه شکل رنگی با شکوهی از حالت‌های مانا یا طرحهای موجی مربوط به ترازهای انرژی اتم ری‌دبرگ (اتمی با برانگیختگی بسیار زیاد) در میدان مغناطیسی قوی را ملاحظه می‌کنید که می‌تواند خواص آشوبناک از خود نشان دهد. همواری شکل‌های موجی کوانتومی نقطه‌به‌نقطه حفظ شده است، اما هنگامی که به تمام تصویر توجه می‌شود، اثر انگشت آشوب پدیدار می‌شود.

علامت مشخصه آشوب را که در طیف انرژی وجود دارد می‌توان به مکانیک کلاسیک معمولی مرتبط ساخت. مقاله ۱۹۱۷ اینشتین سرخ‌ی به این رهنمود است. اینشتین فضای فاز سیستم منظمی را در بخش R بررسی کرد و آن را از نظر هندسی پر از سطوحی به شکل دونات توصیف کرد، به طوری که حرکت سیستم با مسیر حرکت نقطه‌ای روی سطوح دونات خاصی متناظر می‌شود. مسیر حرکت روی سطح دونات پیچ می‌خورد، اما الزاماً مسیر بسته‌ای را به وجود نمی‌آورد.

در تصویری که اینشتین به دست می‌دهد، به کار بستن تطابق بور برای یافتن ترازهای انرژی سیستم کوانتوم مکانیکی نظیر آن ساده است. تنها مسیریایی که ممکن است در طبیعت به وقوع بپیوندند آنهایی هستند که در سطح مقطع دونات مساحتی برابر با مضرب صحیحی از ثابت پلانک، h ، را دربرگیرد (h برابر با 2π ضرب در کوانتوم بنیادی تکانه زاویه‌ای است، که دارای ابعاد تکانه ضربدر طول است). محاسبه نشان می‌دهد که آن مضرب صحیح دقیقاً عددی است که تراز انرژی متناظر را در سیستم کوانتومی مشخص می‌کند.

متأسفانه، همان‌طور که اینشتین نیز می‌دانست روش او را برای سیستمهای آشوبناک نمی‌توان به کار بست، زیرا مسیر بر روی دونات قرار نمی‌گیرد و سطحی طبیعی برای دربرگرفتن مضرب صحیحی از ثابت پلانک را نمی‌توان تشخیص داد. رهیافت جدیدی را باید جست که توزیع ترازهای انرژی کوانتوم مکانیکی را برحسب مدارهای آشوبناک مکانیک کلاسیک توصیف کند.

کدام ویژگیهای مسیر در مکانیک کلاسیک در درک آشوب کوانتومی راهگشاست؟ بحث هیل درباره مدار نامنظم ماه به خاطر وجود خورشید، سرخ‌ی به دست می‌دهد. کار او اولین موردی است که در آن مدار دوره‌ای خاص، هسته اصلی مسئله مکانیک دشواری را تشکیل می‌دهد. (مدار دوره‌ای شبیه مسیر بسته دومیدانی است، تعداد مسیرها زیاد است، اگرچه آنها منزوی و ناپایدارند.) پوانکاره که بر اهمیت کلی مدارهای دوره‌ای تأکید داشت، می‌تواند الهام‌بخش باشد. پوانکاره در آغاز اثر سه‌جلدی خود به نام روش جدید مکانیک سماوی که در ۱۸۹۲ به چاپ رسید، عقیده‌اش را درباره مدارهای دوره‌ای چنین بیان می‌کند، «این مدارها تنها راهی هستند که از آن ممکن است به دژی که به تسخیرناپذیری شهرت دارد، رخنه کنیم.» فضای فاز سیستم آشوبناک را، حداقل به صورت نسبی، می‌توان دور مدارهای دوره‌ای سازمان داد، اگر چه یافتن آنها گاهی بسیار دشوار است.

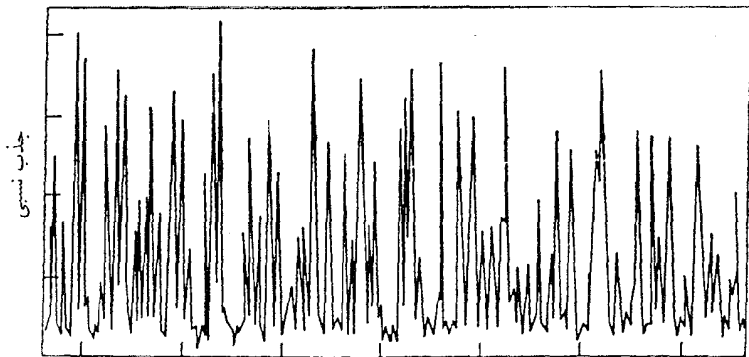
در سال ۱۹۷۰ روشی بسیار کلی کشف کردم که توسط آن می‌توان با شمارش کامل مدارهای دوره‌ای کلاسیک، اطلاعاتی درباره طیف کوانتوم مکانیکی به دست آورد. ریاضیات این رهیافت سخت‌تر از آن است که در اینجا به آن پردازیم، اما نتیجه اصلی رابطه‌ای نسبتاً ساده‌ای است که فرمول رد نام دارد. از این رهیافت بسیاری از محققان استفاده کرده‌اند، از جمله مایکل بری از دانشگاه بریستول، که با استفاده از این فرمول خواص آماری طیف را به دست آورده است.

فرمول رد را برای محاسبه یک دوجین از ترازهای انرژی یک الکترون در شبکه نیمرسانا در نزدیکی ناخالصی به دقت کنترل شده‌ای به کار برده‌ام. (البته، نیمرسانا مبنای ابزارهای سودمند برای زندگی جدید است؛ به خاطر ناخالصی‌هایش رسانندگی الکتریکی آن بین رسانندگی یک عایق، مثل پلاستیک و یک رسانا، مثل مس است.) مسیر الکترون را می‌توان به طور یکتا به صورت رشته‌ای از نمادها که تعبیر سراسری دارند، مشخص کرد. این رشته را می‌توان با تعریف محوری درون نیمرسانا و اینکه چه مواقعی مسیر این محور را قطع می‌کند، تولید کرد. عبور به طرف «مثبت» محور را با نماد + و عبور به طرف «منفی» را با نماد - نشان می‌دهیم.

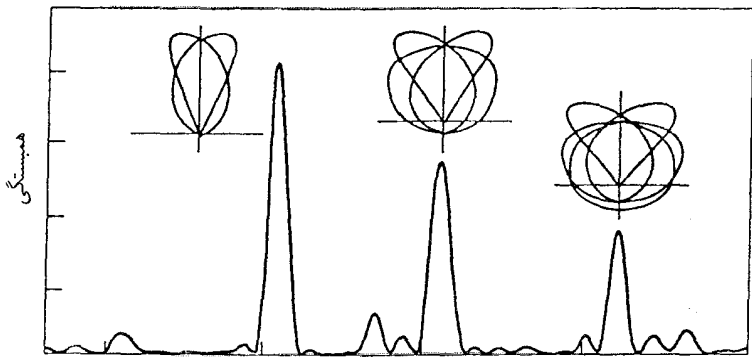
بدین ترتیب، مسیر دقیقاً مانند سابقه شیر یا خط‌هایی است که از پرتاب متوالی سکه حاصل می‌شود. حتی اگر گذشته را با تمام جزئیاتش هم بدانیم - یعنی اگر تمام عبورها به طرف مثبت و منفی را ثبت کرده باشیم - آینده هنوز کاملاً نامشخص است. دنباله‌ای از این نمادها را می‌توان به دلخواه انتخاب کرد. مداری دوره‌ای از دنباله‌ای دودویی تشکیل شده است که تکرار نمی‌شود؛ ساده‌ترین دنباله از این نوع (-+) است، بعد از آن (-++)، و غیره. (دو عبور متوالی با یک علامت به این معنی است که الکترون موقتاً به دام افتاده است.) بنابراین، مجموعه تمام مدارهای دوره‌ای به دست می‌آید، و به کمک فرمول رد می‌توان طیف تقریبی را محاسبه کرد. به عبارت دیگر، ترازهای انرژی کوانتوم مکانیکی در تقریبی حاصل آمده‌اند که به کمیتهایی که فقط از مکانیک کلاسیک آمده‌اند متکی است.

مدارهای دوره‌ای کلاسیک و طیف کوانتوم مکانیکی با یکدیگر ارتباط نزدیک دارند، این ارتباط تنگاتنگ از طریق فرایندی ریاضی به نام تحلیل فوریه است (نگاه کنید به بریسول). نظم پنهانی در یک مجموعه و بسامد ظهور این نظم دقیقاً به وسیله مجموعه دیگر داده می‌شود. جان بی. دلوس^۱ از کالج ویلیام و مری و دیتر وینتگن^۲ از انستیتو ماکس پلانک در فیزیک هسته‌ای در هایدلبرگ، از این ایده برای تعبیر طیف اتم هیدروژن در میدان مغناطیسی قوی، استفاده کردند.

تحقیقات آزمایشگاهی روی این طیف را کارل ولج^۳ و همکارانش در دانشگاه بیلفلد انجام داده‌اند. آنها اتمهای هیدروژن را تا حد یونش برانگیخته کردند، یعنی تا آستانه‌ای که الکترون خود



انرژی خزاینده



زمان (دوره)

شکل ۸-۹ جذب نور به وسیله اتم هیدروژن در میدان مغناطیسی قوی به ظاهر تغییراتی کاتوره‌ای بر حسب انرژی دارد (بالا)، اما وقتی داده‌ها طبق روشی ریاضی به نام تحلیل فوریه بررسی می‌شوند، الگویی مشخص پدیدار می‌شود (پایین). هر قله در شکل پایینی، با مدار دوره‌ای کلاسیک خاصی متناظر است (شکلهایی که در کنار قله‌ها رسم شده‌اند).

را از قید پروتون آزاد می‌کند. انرژی‌هایی که در آنها اتم تابش جذب می‌کند کاملاً کاتوره‌ای به نظر می‌آیند (به قسمت بالای شکل ۸-۹ نگاه کنید)، اما تحلیل فوریه، قله‌های درهم را به مجموعه‌ای که اجزایش کاملاً از یکدیگر متمایزند تبدیل می‌کند (به قسمت پایین شکل ۸-۹ نگاه کنید). خصوصیت مهم در اینجا آن است که هر یک از قله‌های متمایز دقیقاً متناظر با یکی از چندین مدار دوره‌ای کلاسیک استاندارد است. اکنون تأکید یوانکاره بر اهمیت مدارهای دوره‌ای معنی تازه‌ای به خود می‌گیرد. نه تنها سازمان‌یافتگی کلاسیک فضای فاز به شدت به مدارهای دوره‌ای کلاسیک بستگی دارد، بلکه درک طیف کوانتومی آشوبناک نیز تابع آن است.

تاکنون فقط درباره سیستم‌های کوانتومی که در آنها الکترونی به دام افتاده یا به لحاظ فضایی محدود شده است، صحبت کرده‌ام. اثرات آشوبناک در سیستم‌های اتمی که در آن الکترون به

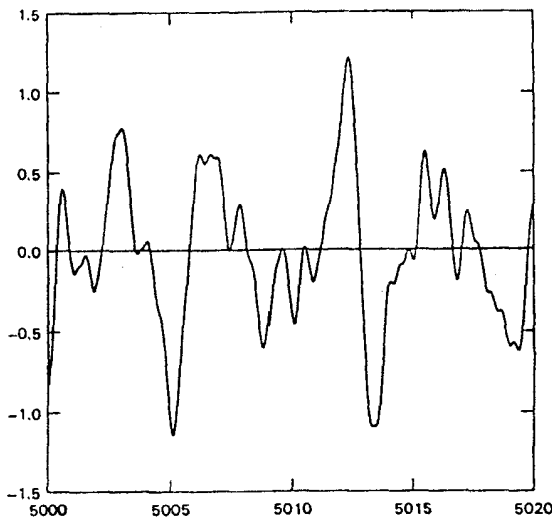
آزادی، مثل الکترونی که از اتمهای یک مولکول پراکنده شده است پرسه می‌زند نیز موجودند. در اینجا انرژی دیگر کوانتیده نیست و الکترون هر مقداری را ممکن است اختیار کند، اما مؤثر بودن پراکندگی تابع انرژی است.

آشوب در پراکندگی کوانتومی به صورت تغییر مدت زمانی که الکترون موقتاً به هنگام فرایند پراکندگی در داخل مولکول می‌ماند، بروز می‌کند. برای سادگی، مسئله را می‌توان در دو بُعد بررسی کرد. از نظر الکترون، مولکولی با چهار اتم یک هزار توی کوچک به نظر می‌رسد. وقتی الکترون به یکی از اتمها نزدیک می‌شود، دو راه دارد: می‌تواند به چپ یا راست بپیچد. هر یک از مسیرهای ممکن الکترون در مولکول را می‌توان به صورت دنباله‌ای از گردش به چپ یا راست به حول اتمها ثبت کرد: حتی تغییری جزئی در انرژی یا جهت اولیه نزدیک شدن، باعث تغییری بزرگ در جهتی می‌شود که الکترون بالاخره مولکول را ترک می‌کند.

آشوب در فرایند پراکندگی ناشی از آن است که تعداد مسیرهای ممکن با طول مسیر بسرعت افزایش می‌یابد. فقط تعبیری که براساس دیدگاه کوانتوم مکانیکی است نتایج معقول به دست می‌دهد؛ محاسبات کاملاً کلاسیک به نتایج بی‌معنی می‌انجامد. در مکانیک کوانتومی، هر یک از مسیرهای کلاسیک الکترون برای تعریف موجک کوچکی به کار می‌رود که راه خود را در مولکول می‌یابد. نتیجه کوانتوم مکانیکی صرفاً با جمع کردن همه این موجکها به دست می‌آید.

اخیراً محاسبه‌ای از فرایند پراکندگی برای مورد خاصی که جمع موجکها دقیق است، انجام داده‌ام. الکترونی که دارای تکانه مشخصی است به مولکولی برخورد می‌کند و با همان تکانه بیرون می‌آید. زمان ورود الکترون به ایستگاه ثابتی که رسیدن آن را ثبت می‌کند برحسب تکانه تغییر می‌کند، و نحوه تغییرات آن چیزی است که در این مسئله بسیار جالب توجه است. زمان ورود در گستره‌هایی که تغییر تکانه کم است نوسانهایی هموار دارد، اما در گستره‌هایی که تغییرات زیاد است، نقشی آشوبناک پدیدار می‌شود که هرگز به صورت ساده‌ای در نمی‌آید (نگاه کنید به طرف راست شکل ۸-۱۰).

جنبه بخصوص و سوسه‌انگیز فرایند پراکندگی آشوبناک است که می‌تواند اسرار آشوب کوانتومی را به اسرار نظریه اعداد مرتبط کند. محاسبه تأخیر زمانی مستقیماً به آنچه احتمالاً اسرارآمیزترین موجود در ریاضیات است، یعنی تابع زتای ریمان، می‌انجامد. این تابع را در واقع برای اولین بار لئونارد اویلر در اواسط قرن هیجدهم برای نشان دادن بینهایت بودن تعداد اعداد اول به کار برد (اعداد اول یعنی اعدادی که بر هیچ عدد کوچکتری از خود غیر از یک بخش پذیر نباشند). حدود یک قرن بعد از آن، برنهارد ریمان، از بنیانگذاران ریاضیات جدید، این تابع را به کار برد تا به توزیع اعداد اول پی برد. وی در تنها مقاله‌ای که در این باره نوشت، این تابع را با حرف یونانی زتا نمایش داد. تابع زتا، تابعی است از دو متغیر x و y (که در صفحه مختلط وجود دارند). برای درک توزیع



شکل ۸-۱۰ تغییرات آشوبناک در زمانی که طول می‌کشد تا تکانه الکترونی با تکانه معین به ایستگاه ثابتی که ورود آن را ثبت می‌کند برسد (این الکترون در عبور از مولکول پراکنده می‌شود و این زمان مشخصه‌ای است از زمان عبور از مولکول). زمان ورود به ایستگاه برحسب تکانه الکترون تغییر می‌کند. این تغییرات، هنگامی که تغییر تکانه اندک باشد، هموار هستند، اما به‌ازای تغییرات زیاد طرح پیچیده آشوبناکی دارند. کمیت اختلال فاز که در محور عمودی نشان داده شده است، معیاری از تأخیر زمانی است.

اعداد اول، ریمان باید می‌دانست که تابع زتا چه موقع صفر می‌شود. او بدون اینکه استدلال معتبری ارائه دهد، گفت که تابع وقتی صفر می‌شود که x مساوی $1/2$ باشد. محاسبات گسترده نشان داده است که به‌ازای یک بیلیون صفر اول، بدون استثنا حق با اوست، اما هنوز هیچ ریاضیدانی حتی به‌ارائه اثبات نزدیک هم نشده است. اگر حدس ریمان صحیح باشد، انواع و اقسام خواص جالب اعداد اول را می‌توان ثابت کرد.

مقادیر λ که به‌ازای آنها تابع زتا صفر است، مجموعه‌ای از اعداد را تشکیل می‌دهند که به طیف انرژی‌های اتم شباهت بسیار دارد. درست همان‌طور که توزیع ترازهای انرژی در یک طیف قابل بررسی است، توزیع صفرهای تابع زتا هم قابل مطالعه است. در اینجا، اعداد اول همان نقشی مدارهای بسته کلاسیک اتم هیدروژن را در میدان مغناطیسی دارند، اعداد اول برخی از همبستگی‌های پنهان میان صفرهای تابع زتا را نشان می‌دهند.

در مسئله پراکندگی، صفرهای تابع زتا مقادیری از تکانه می‌دهند که به‌ازای آنها تأخیر زمانی به‌شدت تغییر می‌کند. آشوب در تابع زتای ریمان در قضیه‌ای که اخیراً اثبات شده است نمایان می‌شود: تابع زتا به‌طور موضعی بر هر تابع همواری برازش می‌یابد. این قضیه نشان می‌دهد که تابع

تمام رفتار آشوبناک سیستم کوانتومی را می‌تواند به‌نمایش بگذارد. اگر ریاضیات مکانیک کوانتومی را بتوان با مهارت بیشتری به‌کار برد، مثالهای بسیاری از پدیده‌هایی را که به‌طور موضعی هموار، ولی به‌طور کلی آشوبناک هستند، می‌توان یافت شود.

برای مطالعه بیشتر

- M. V. Berry, I. C. Percival, N. O. Weiss (Eds.): *Dynamical Chaos in Proc. Royal Soc. (London)*, **A413** No. 1844, pp. 1-199; September 8, 1987.
- R. N. Bracewell: "The Fourier Transform" in *Scientific American*, June 1989.
- J. P. Crutchfield, J. D. Farmer, N. H. Packard, R. S. Shaw: "Chaos" in *Scientific American*, December 1986.
- H. Friedrich, D. Wintgen: The Hydrogen Atom in a Uniform Magnetic Field: An Example of Chaos. *Physics Reports* **183**, No. 2, pp. 37-79; November 1989.
- M. C. Gutzwiller: *Chaos in Classical and Quantum Mechanics*. (Springer-Verlag, Berlin, Heidelberg, New York 1990).
- D. Kleppner, M. G. Littman, M. L. Zimmerman: "Highly Excited Atoms" in *Scientific American*, May 1981.
- T. Uzer, D. Farrelly, J. A. Milligen, P. E. Raines, J. P. Skelton: "Celestial Mechanics on a Microscopic Scale". *Science*, **253**, pp. 42-48; July 5, 1991.
- A. Voros, M. J. Giannoni, J. Zinn-Justin (Eds.): *Chaos and Quantum Physics*. (Elsevier, Amsterdam 1991).

راهنمایی برای حل مسائل

فصل ۱

۱-۱ $1 \times 3 \times 5 \times \dots \times (2n-1) / [(2n)! 2^n a^n]$ که به صورت ساده شده هم می‌توان آن را نوشت.

۲-۱ به کلمه «بعضی» توجه کنید. این روش تعداد توابع مناسب را به مراتب افزایش می‌دهد.

۳-۱ از $(a - ib)$ که همیوگ مختلط $(a + ib)$ است استفاده کنید.

$$\cos 3\theta = \cos^3 \theta - 3 \cos \theta \sin^2 \theta \sin 3\theta = 3 \cos^2 \theta \sin \theta - \sin^3 \theta \quad ۵-۱$$

$$\lim_{n \rightarrow \infty} \int_{-\infty}^{\infty} f'_n(x) F(x) dx = - \lim_{n \rightarrow \infty} \int_{-\infty}^{\infty} f_n(x) F'(x) dx \quad (۶-۱ \text{ الف})$$

(ب) با استفاده از (۱-۲۱ الف) جواب ۱- است.

۷-۱ مقادیر مثبت و منفی $|k|$ را با هم در نظر بگیرید.

$$\begin{aligned} E(t) &= \frac{1}{\sqrt{2\pi}} \int_{-\infty}^{\infty} A_\omega e^{i\omega t} d\omega \quad ۸-۱ \\ &= \sqrt{2\pi} \int_{-\infty}^{\infty} A(f) e^{2\pi i f t} df \end{aligned}$$

اگر موج رادیو در 10^6 MHz تنظیم شده باشد $10^8 - 75 \times 10^2 \text{ Hz} \lesssim f \lesssim 10^8 + 75 \times 10^3$

$$A(k) = A^*(-k) \quad (۹-۱ \text{ الف})$$

$$|A_k| \cos(\theta_k + k_n) = |A_k| (\cos \theta_k \cos kx - \sin \theta_k \sin kx) \quad (ب)$$

(ج) به ازای هر $k > 0$ چهار پارامتر موجودند.

۱۰-۱ الف) $f_e(x) = f(x) + f(-x)/2$

ب) $C(k) = [A(k) + A(-k)]/\sqrt{2}$

ج) به (۱۶-۱) و (۳۲-۱) مراجعه کنید.

د) آیا $1/(2\sqrt{\pi}) \cos kx$ ، $1/(2\sqrt{\pi}) \sin kx$ مجموعه‌ی راست هنجار کاملی تشکیل می‌دهند؟

۱۱-۱ الف) $A(k) = (1/\sqrt{2\pi}) 1/(a + ik)$

ب) $F(x)$ نامتقارن اما حقیقی است.

۱۲-۱ ب) از رابطه‌ی دوجانبگی استفاده کنید که بر طبق آن اگر $A(k)$ ، تبدیل فوریۀ $F(x)$ باشد،

(۲۶-۱)، آنگاه $F(k)$ تبدیل فوریۀ $A(-x)$ است، (۳۳-۱) $[x \rightarrow k$ و $k' \rightarrow -x]$.

ج) موجهای مربعی «پخش» را در نظر بگیرید (چرا؟) و به (الف) و (ب) توجه کنید.

د) $\sqrt{n/\pi} e^{-nx^2}$ ، $(\sin nx)/(\pi x)$

۱۳-۱ الف) تبدیل فوریۀ $(1/\sqrt{2\pi}) e^{-|x|/n}$ برابر است با $1/(\pi n)(n^{-2} + k^2)^{-1}$

ب) نگاه کنید به مسئله ۳-۱.

ج) $F(x)$ را به حول $x = 0$ بسط تیلور دهید.

د) در اینجا $a_n(k)$ توابع مناسبی هستند که در $k = 0$ مشتق پذیرند و با تابع تعمیم یافته ۱ برابرند

(چرا؟) برای یافتن $a_n(k)$ ، از تبدیل مطلوب فقط در صورت نسبت به $1/n^2$ مشتق بگیرید! حاصل

را به دو جمله با ضرایب انتگرال گیری $[1/2 + kn^2/4]$ و $[1/2 - k/(4/n^2)]$ دسته بندی کنید.

۱۴-۱ هر دو طرف را می توان به صورت انتگرال دوگانه زیر نوشت

$$\frac{1}{\sqrt{2\pi}} \int_{-\infty}^{\infty} \int_{-\infty}^{\infty} A_1(k) e^{-ikx} F_2(x) dk dx$$

۱۵-۱ الف) نگاه کنید به مسئله ۱۴-۱.

ب) $F(x) = 1/2\pi \int_{-\infty}^{\infty} [G(k)/B(k)] e^{ikx} dk$

۱۶-۱ نگاه کنید به مسئله ۹-۱ الف.

۱۷-۱ الف) اگر $\rho(0, x) = g_n(x - x_0)$ ، آنگاه $A(k) = 1/\sqrt{2\pi} e^{-ikx_0}$ یا

$A(k) = 1/\sqrt{2\pi} e^{-ikx_0 - n(x-x_0)^2}$

ب) روی k انتگرال بگیرید. به ۱۸-۱ مراجعه کنید.

۱۸-۱ ج) این ضریب تضمین می کند که $f_n(x)$ در بینهایت «تابع مناسبی» است. به مراجع

کمکی، مرجع *Lighthill*، صفحه ۳۰، برای اثبات برقراری (۲۲-۱) رجوع کنید.

۱۹-۱ $f_n(k)$ را دنباله‌ای که تابع تعمیم‌یافته واحد را تعریف می‌کند، مثلاً $f_n(k) = e^{-k^2/2n}$ بگیرید و حد زیر را در نظر بگیرید،

$$\lim_{n \rightarrow \infty} \frac{1}{\sqrt{2\pi}} \int_{-\infty}^{\infty} A(k) f_n(k) e^{ikx} dx$$

که در آن

$$A(k) = \frac{1}{\sqrt{2\pi}} \int_{-\infty}^{\infty} F(x') e^{-ikx'} dx'$$

۱-۲۰ (۳) با فرض $u_i(x)$ حقیقی داریم

$$\tilde{A}_i \cong \int_{-N\Delta}^{N\Delta} u_i(x) F_A(x) dx$$

فصل ۲

۲-۴ الف $V_c = -IR$

ب) آیا می‌توانید نشان دهید که تا مرتبه اول از α ، در نقطه عطف $q(t)$ داریم،

$$\frac{q_0}{C} e^{-\alpha t} \cos \omega_f t = \omega_f R q_0 e^{-\alpha t} \sin \omega_f t$$

۲-۵ این یک مسئله کلی مقدار اولیه‌ای است. با این دید آن را حل کنید. و یا نشان دهید که به‌ازای

$$Q = Q_0 + \int_0^t I dt$$

$$(\alpha^2 - \omega_0^2)^{1/2} \simeq \alpha - \omega_0^2 / 2\alpha \quad \text{الف ۶-۲}$$

$$\phi \rightarrow -\pi/2, |x| \rightarrow F_0/k \quad \text{ب)}$$

$$\sim 106 \quad \text{ب) ۷-۲}$$

$$1/T \int_0^T \sin(\omega t) \cos(\omega t) dt = 0 \quad \text{الف ۸-۲}$$

۲-۹ جواب باید در معادله حرکت و در شرایط اولیه مکان و سرعت صدق کند. چه ضربه مکانیکی

در $t = t_0$ توسط نیروی تابع دلتای به جرم وارد می‌شود؟

ج) با برهم نهی خطی اثر نیروها داریم

$$x(t) = \int_{-\infty}^t F(t_0) G(t - t_0) dt_0$$

۲-۱۰ رابطه زیر مؤلفه همفاز سرعت را اندازه می‌گیرد

$$\chi_r(\omega) = \left(\frac{2\alpha\omega}{\sqrt{2\pi m}} \right) \frac{1}{(\omega^2 - \omega_0^2)^2 + (2\alpha\omega)^2}$$

فصل ۳

$$y(x, t) = 1/2 \left[y_0(x - st) + y_0(x + st) + (1/s) \int_{x-st}^{x+st} v_0(x') dx' \right] \quad ۱-۳$$

۶-۳ (ب) به ازای هر $1 \ll \delta$ داریم $(1 + \delta)^{1/2} \approx 1 + \delta/2$.

۷-۳ به روش به دست آوردن معادله موج برای نیروی عرضی رجوع کنید.

۹-۳ برای جوابهای غیرصفر، دترمینان زیر می باید صفر شود،

$$\begin{bmatrix} \omega^2 - \alpha & \beta \\ \beta & \omega^2 - \alpha \end{bmatrix} \quad \alpha = \frac{(k_1 + k_2)}{m} \quad \beta = \frac{k_2}{m}$$

مدهای بهنجار به قرار زیر هستند

$$X_I = \sqrt{\frac{2}{3}} \sin\left(\frac{\pi I}{3}\right) \cos(t\sqrt{\alpha - \beta}) \quad I = 1, 2$$

$$X_I = \sqrt{\frac{2}{3}} \sin\left(\frac{2\pi I}{3}\right) \cos(t\sqrt{\alpha + \beta}) \quad I = 1, 2$$

یعنی، دو جرم با هم حرکت می کنند (مد بسامد پایین)، یا در مخالف جهت هم حرکت می کنند (مد بسامد بالا).

۱۲-۳ (ب) انتگرال زیر را در نظر بگیرید

$$\frac{1}{L} \int_{-L}^{+L} \exp\left[\left(\frac{2\pi i}{L}\right)(n - m)x\right] dx$$

(ج) نتیجه، تبدیل فوریه انتگرالی (و نه سری فوریه) است که در فصل ۱ برای توابع دارای نمایش فوریه داشتیم.

۱۳-۳ روی سطح مقطع واحد در $x + \Delta x$ نیرو چنین است، $p(x + \Delta x, t)$.

(ب) از بررسی حالت $L = \lambda/4$ شروع کنید.

$$\frac{\partial y(x, t)}{\partial t} \rightarrow \frac{F_0 s}{T} \cos(\omega_0 t - \omega_0 x/s) \quad (ه) \quad ۱۴-۳$$

(و) نتیجه تحلیلی متناظر با تپی به پهنای $s\sqrt{n} \sim$ به مرکز st است. منشأ نتیجه حاصل را از نظر فیزیکی بیان کنید. آیا راهی است که نتیجه ایده آل قسمت (ه) را از نتیجه ای که در اینجا حاصل آمد، به دست آورد؟

۱۵-۳ (الف) می توانید از نتیجه بخش ۴-۳ استفاده کنید. ابتدا نگاه کنید به مسئله (۲-۹ج).

$$z(x, t) = A \sum_n u_n(x) \frac{\omega_0^2}{\omega_n^2 - \omega_0^2} \left(\frac{L}{n\pi}\right) \cos \omega_0 t$$

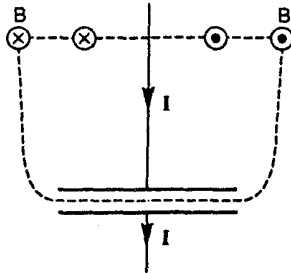
$$-A \cos \omega_0 t \frac{\sin[\omega_0(x-L)/s]}{\sin(\omega_0 L/s)} \quad (\text{ب})$$

هم جواب است.

فصل ۴

$$E \approx 25 \text{ V/m} \quad ۱-۴$$

۳-۴ (ب) برای خازن صفحه موازی $C = (A\epsilon_0/d)$. فرض کنید که سطحی که انتگرال خطی B در (۴-۴) را دور آن محاسبه می‌کنیم، به جای اینکه صفحه‌ای عمود بر سیم جریان باشد که سیم آن را قطع می‌کند، تغییر شکل دهد تا از میان صفحه‌های موازی خازن بگذرد، به طوری که هیچ جریان فیزیکی آن را قطع نکند (شکل ۴-۱۰).



شکل ۴-۱۰ مسئله ۳-۴.

۴-۴ (ب) به اتحادهای برداری در متن کتاب، نگاه کنید.

۴-۶ الف) بردار $V(t)$ را از مبدأ تا صفحه رسم کنید

(ب) میدان برداری‌ای که تاو آن صفر است، دارای مؤلفه‌های فوریه به صورت امواج هماهنگ است که در جهت انتشارند.

۴-۷ الف) نگاه کنید به (۴-۱۳)، (۴-۱۵).

$$E_0 \sim 10^3 \text{ V/m} \quad ۹-۴$$

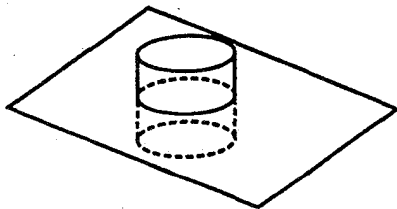
۴-۱۰ نگاه کنید به شکل ۴-۱۱. (شکل ۴-۱۱)

۴-۱۱ به‌ازای هر k ، دو جهت قطبش موجود است.

$$\mathbf{J} = (ie^{-i\omega t})/(\mu_0 \omega)(k_x k_y / k)(\sin \pi x/a) \mathbf{j} \quad (\text{ب}) \quad ۱۲-۴$$

آن را با شکل ۴-۵ بررسی کنید.

$$\nabla \times (\nabla \times \mathbf{E}) = \nabla(\nabla \cdot \mathbf{E}) - \nabla^2 \mathbf{E} \quad (\text{الف}) \quad ۱۳-۴$$



شکل ۱۱-۴ مسئله ۴-۱۰.

۴-۱۴ ج) $u(r) \equiv a/r$

۴-۱۵ الف) «چگالی بار» جدید چنین می‌شود،

$$\frac{\rho + \epsilon_0 \partial}{\partial t \nabla^2 \chi}$$

و پتانسیل نرده‌ای جدید چنین است.

$$\phi + \frac{\partial \chi}{\partial t}$$

۴-۱۵ ب) $\nabla^2 \chi = -\frac{1}{c^2} \frac{\partial \phi}{\partial t}$

۴-۱۸ الف) فرض کنید $\mathbf{j}(\mathbf{r}') = I \delta(\mathbf{r}') / \sqrt{2\pi r'}$ چنانکه داشته باشیم،

$$\int \mathbf{j}(\mathbf{r}') \cdot d\mathbf{S} = \int \int \mathbf{j}(\mathbf{r}') r' dr' d\phi = ?$$

ب) \mathbf{A} به کدام یک از متغیرهای r, ϕ, z وابسته است؟

ج) $\mathbf{B}(r, \phi, z) = (\mu_0 I / \sqrt{2\pi r})(L / \sqrt{L^2 + 4r^2}) \mathbf{a}_\phi$

۴-۲۱ الف) معادله موج تحریک شده برای \mathbf{A} را می‌توان با همان روش معادله موج تحریک شده

برای y که در فصل ۳ آمد، حل کرد. توجه کنید که

$$\int_0^d \int_0^b \int_0^a \mathbf{u}_{TE_{1,2}} \cdot \mathbf{u}_s dx dy dz = \frac{V k_1^2}{4k^2} \delta_{TE_{1,2}, S}$$

که در آن $V = abd$ حجم کاواک است.

ب) برای تشدید در سیستمهای گسترده به فصل ۳ مراجعه کنید.

ج) $V = -\int_0^b E_y dy$

د) $C = \epsilon_0 V / 2b^2 \equiv \epsilon_0 A / 2b$ $LC = 1/c^2 k_{1,2}^2 \equiv 1/\omega_{1,2}^2$ (که در آن c سرعت نور

است.)

$$A_1(\mathbf{r}, t) = \frac{-\mu_0 p_0}{4\pi r} \omega \sin(\omega t - kr) \mathbf{a}_z \quad ۲۲-۴$$

به ازای $k = \frac{\gamma \pi \omega}{c}$, $kr \gg 1$ داریم،

$$\mathbf{B}(\mathbf{r}, t) \approx \frac{\mu_0 p_0}{4\pi r} \omega k \cos(\omega t - kr) \sin \theta \mathbf{a}_\phi$$

$$\nabla \times \mathbf{B}(\mathbf{r}, t) \approx \frac{\mu_0 p_0}{4\pi r} \omega k^2 \sin(\omega t - kr) \sin \theta \mathbf{a}_\theta$$

۴-الف- برخی خطوط در محل بارهای موجود در جعبه خاتمه می‌یابند.

فصل ۵

۲-۵ (ب) ۶ ~

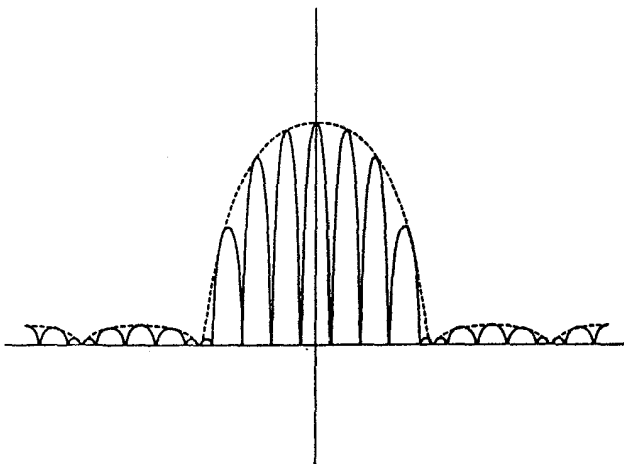
۶-۵ $a \ll \lambda$ ؛ دو نیم صفحه نامتناهی.

۷-۵ آیا می‌توان انتگرال ضریب فاز را به صورت حاصلضرب دو انتگرال مستقل از هم نوشت؟

وقتی به حالت شکاف افقی دراز می‌رویم، طرح پراش چگونه تغییر می‌کند؟

۹-۵ (ب) $d \approx 11 \text{ mm}$ ، $d \approx 3.6 \text{ cm}$

۱۰-۵ (ب) شکل ۱۱-۵.



شکل ۱۱-۵ مسئله (۱۰-۵) ب. فریزهای تداخلی که با پرش پراشی مدوله شده‌اند؛ $d \approx (9/2)a$.

۱۷-۵ (ج) $\delta = 6.7 \times 10^{-4} \text{ mm}$

$$\nabla \times \mathbf{B} = \mu_0 \left[\frac{\partial \mathbf{P}}{\partial t} + \epsilon_0 \frac{\partial \mathbf{E}}{\partial t} \right] \quad (\text{د})$$

اگر همهٔ جریان را جریان قطبشی در نظر بگیریم. در صورتی که مغناطش M وجود داشته باشد، می‌توان در معادلهٔ ماکسول به جای B چنین قرار داد، $B = \mu_0 H + \mu_0 M$.

فصل ۶

۶-۷ (ج) اگر A و B جابه‌جاپذیر نباشند، ذره حداکثر می‌تواند در ویژه حالت یکی از عملگرها باشد، و پراکندگی آماری کمیت مشاهده‌پذیر متعلق به عملگری دیگر است. اگر عملگرها جابه‌جاپذیر باشند. این امکان وجود دارد که برای هر دو مشاهده‌پذیر مقدار دقیقی به دست آورد، به عبارت دیگر، در چارچوب مکانیک موجی می‌توان وضعیتی را توصیف کرد که پراکندگی هر دو متغیر همزمان صفر است. عجیب نیست که در این مورد اندازه‌گیری هر دو کمیت را بتوان به‌طور همزمان انجام داد بدون اینکه حالت ذره مختل شود؛ اندازه‌گیریها را سازگار می‌خوانند.

۶-۸ فاصلهٔ زمین تا ماه $3.82 \times 10^8 \text{ m}$ است. جرم زمین 5.97×10^{24} کیلوگرم است.

۶-۹ (الف) به مثال ۶-۳ به ازای $x > a$ و $x < -a$ نگاه کنید. برای شرایط مرزی به مسئلهٔ ۶-۱۱ نگاه کنید.

(ب) $u_n(x) = R^2 u_n(x)$ این حاکی از چه نکته‌ای دربارهٔ ویژه مقادیر عملگر R است؟

۶-۱۲ با توجه به معادلهٔ مستقل از زمان شرودینگر، \sqrt{P} را در نظر بگیرید.

$$I_m \sigma_{21} = \frac{\left(\frac{\mu E_0}{2\hbar}\right) \tau \left(\frac{\Delta N_0}{N}\right)}{1 + (\omega - \omega_0)^2 \tau^2 + \left(\frac{\mu E_0 \tau}{\hbar}\right)^2} \quad 14-6$$

$$\chi_2(\omega) = \frac{\mu^2 \tau (\Delta N)_0}{\epsilon_0 \hbar} \frac{1}{1 + (\omega - \omega_0)^2 \tau^2}$$

$$\chi_1(\omega) = \frac{\mu^2 \tau (\Delta N)_0}{\epsilon_0 \hbar} \frac{(\omega - \omega_0) \tau}{1 + (\omega - \omega_0)^2 \tau^2}$$

که در آن $1 \ll (\mu_0 \epsilon_0 / \hbar)^2 \tau^2$ و $(\Delta N)_0 = N(\rho_{11} - \rho_{22})_0$.

$\chi_1(\omega)$ و $\chi_2(\omega)$ را برحسب ω رسم کنید و به تشدید در $\omega = \omega_0$ توجه کنید. برای مثال، دما باعث می‌شود تا $\neq 0$ $(\rho_{22})_0$. برای بحث مفصل‌تر نگاه کنید به فصل ۸ کتاب امنان یاریف، که در فهرست مراجع کمکی آمده است.

۱۵-۶ یک قسمت در $10^9 \times 5$. هر تریگ این نتیجه را در آزمایشی که خط طیفی واقعی را اندازه می‌گرفت تا دقت ۱ قسمت در 10^6 تأیید کرد.

فصل ۷

۷-۶ الف) $\Delta m = \rho A \Delta l$; روی Δl انتگرال بگیرد.

$$p(l)/\rho + gy + 1/2 u^2(l) = c \quad \text{ب)}$$

۷-۷ ج) ۲) اگر شکل تابع y_1 بر حسب متغیرش مانند شکل تابع y_2 بر حسب متغیرش باشد، درباره $\partial[y_1(x, t) + y_2(x, t)]/\partial t|_{t=0}$ چه می‌توان گفت؟ همچنین نگاه کنید به مسئله ۳-۱.

ج) ۳) برای یافتن $P(x, 0)$ لازم است $p(x, 0)$ را در این بازه بدانیم. در نتیجه می‌توانیم $p(x, t)$ را بر حسب $u(x, t)$ ، $u(x, 0)$ ، $P(x, 0)$ در امتداد مشخصه بیابیم. دو مشخصه متقاطع همیشه $p(x, t)$ و $u(x, t)$ را به دست می‌دهند.

۷-۱۱ ب) اگر f_2 بزرگ باشد، $v(x, t)$ تابعی از Λf_1 می‌شود. به صورت متقارن $v(x, t)$ در (۷-۴۳) توجه کنید.

ج و د) $|t|$ را می‌توان به دلخواه بزرگ در نظر گرفت.

و) به ازای $t \rightarrow -\infty$ سولتیون ۱ جلوتر است، برای $t \rightarrow +\infty$ سولتیون ۲ جلوتر است. سولتیون ۲ که سرعت آن α_2 بزرگتر است، از سولتیون ۱ جلو زده است. اما، شکلهای دو سولتیون با وجود وابستگی تابعی ثابت $v(x, t)$ به x و t به ازای هر سولتیون j ، $j = 1, 2$ ، تغییر نکرده است: $f_j/(1 + f_j)^2$. تغییر فاز را برای هر یک از سولتیونها می‌توان تشخیص داد.

۷-۱۲ نگاه کنید به مسئله ۱-۶ الف).

$$A_n = 0 \quad B_n = \gamma_n(t) \quad n = 0, 1, 2, \dots$$

$$A(k) = \frac{1}{\sqrt{2\pi}} \quad B(k) = \frac{\beta^*(k)}{\sqrt{2\pi}} \quad k > 0$$

$$A(k) = 0 \quad B(k) = \frac{\alpha^*(k)}{\sqrt{2\pi}} \quad k < 0$$

که در آن به ازای هر مقدار k داریم، $\omega_k > 0$.

$$\text{Im}\{\beta\} \int_0^\infty e^{-\frac{\omega^2 y}{1+n}} \sin(2kx) dx = -\text{Im}\{\beta\} \int_{-\infty}^0 e^{-\frac{\omega^2 y}{1+n}} \sin(-2kx) dx \quad ۱۴-۷$$

$$\int_0^{\infty} e^{\frac{-x^r}{r\pi}} \beta^*(k) e^{-r i k x} dx = \int_{-\infty}^0 e^{\frac{-x^r}{r\pi}} \beta(k) e^{r i k x} dx$$

که بهنجار بودن حالت پراکنده است.

$$\begin{aligned} \frac{\partial}{\partial x}(u_x R - u R_x) &= u_{xx}(u_t - 2vu_x - 4\omega^r u_x) - u(v_{xxx}u - 4v_x u_{xx}) \quad (\text{الف } 15-7) \\ &\quad - u(vu_t - \omega^r u_t - \omega_t^r u + v_t u) \\ &\quad + u(2v + 4\omega^r)(v_x u - \omega^r u_x + vu_x) \end{aligned}$$

که با استفاده از (۴۶-۷) ساده تر هم می شود، یا به صفحه ۶۸ کتاب درازین و جانسون مراجعه کنید.

$$h(x, t) = \frac{1}{\sqrt{r\pi}} \int_{-\infty}^{\infty} e^{(ik^r t + i k x)} dk \quad (\text{ج } 18-7)$$

۱۹-۷ ب) بله، اما جانشین سازی مستقیم در معادله KdV به منظور تحقیق صحت آن را، توصیه نمی کنیم.

$$B(x, t) = \frac{-1}{2\pi} \int_{-\infty}^{\infty} \frac{\exp[i(kx + \lambda k^r t)]}{1 + ik/K} dk \quad (\text{ب } 20-7)$$

اگر فرض کنیم $k = y(x, t)^{1/r}$ ، آنگاه

$$B = \frac{-2K}{2\pi} \int_{-\infty}^{\infty} \frac{\exp\left[i\left(\frac{x^r}{t}\right)^{\frac{1}{r}} (y + \lambda y^r)\right] dy}{2K\left(\frac{t}{x}\right)^{\frac{1}{r}} + 2iy}$$

که محاسبه نشان می دهد که به موج پاشنده نوسانی به طرف چپ می انجامد، که در حد $t \rightarrow \infty$ به صورت $t^{-1/3}$ فرو می افتد.

نمایه

- ۱۸۲، ۱۸۰، ۹، ۸ بهنجارش
 ۲۳۱ پاشندگی
 ۱۱۷، ۱۱۰، ۱۱۶ پتانسیل برداری
 ۲۵۴، ۲۰۷ پتانسیل دیراک
 ۲۷ پدیده گیس
 ۱۴۵، ۱۵۱، ۱۴۰ پیراش
 ۱۵۱-۱۵۲ ~ پرتو x
 ۱۵۱، ۱۴۹ توری ~
 ۱۴۷ طرح ~
 ۲۴۵-۲۵۶ پراکندگی معکوس
 ۲۷۹ پردازشگر یاخته‌ای
 تابع
 ۳۶ ~ پخش‌کننده
 ۱۸۴، ۱۸۱، ۱۲، ۱۶، ۷ ~ دلتای دیراک
 ۲۹۲ ~ زتا
 ۲۴۶، ۱۸۴، ۱۷۶ ~ موج
 ۱۳۶، ۹۴ تار
 ۹۷ ~ و امواج الکترومغناطیسی تخت
 ۱۲۱ ~ و دیورژانس
 ۱۶۰، ۱۴۱ تداخل
 ۱۳۳، ۸۳، ۵۳ تشدید
 ۲۶۴-۲۹۳ آشوب
 ۲۸۱-۲۹۳ ~ کوانتومی
 ۲۸۵ اتم ریدبرگ
 ۱۶۲ اثر فوتوالکتریک اینشتین
 ۱۴۴ اصل عدم قطعیت هایزنبرگ
 ۱۷۹-۱۹۱ اصول موضوع مکانیک موجی
 ۱۴۷ اغتشاش اپتیکی
 ۱۷، ۵ امواج
 ۹۱-۱۴۰ ~ الکترومغناطیسی
 ۸۸ ~ پیشرونده
 ۱۵۳، ۹۷-۱۰۴ تخت ~
 ۱۵۵ ~ دردی الکتریک
 ۲۶۳ ~ در شاره‌ها
 ۱۲۷، ۸۸ ~ طولی
 ۱۲۷، ۹۷، ۶۵ ~ عرضی
 ۲۴۰، ۲۳۴، ۲۲۶ ~ غیرخطی
 ۲۲۶، ۶۶ ایده‌آل‌سازی
 ۲۸۶ بخش پوانکاره
 ۱۲۷، ۱۰۲ بردار پوینتینگ
 ۲۰۳ بور و اصل همخوانی

سولیتونها ۲۲۶	توابع پایه ۱۸۵، ۶
شرایط اولیه ۲۴۸، ۷۶، ۷۲، ۳۶	بردارهای ~ ۱۹
شرایط مرزی ۱۸۱، ۶۹	کمال در ~ ۷۹، ۷۳، ۳۶
~ امواج الکترومغناطیسی ۱۰۶	توابع تعمیم یافته ۳۶، ۸
~ دوره‌ای ۲۱۶	توابع گرین ۶۲
~ و نور ۱۵۹	توابع مناسب ۱۰
ضریب شکست ۱۵۷	تونل زنی ۲۰۸
ضریب کیفیت Q ۱۱۰، ۵۸، ۵۷، ۵۰	ثابت پلانک ۱۴۱
عدسیها ۱۵۷	ثابت دی‌الکتریک ۱۵۵
عملگرهای کوانتوم مکانیکی ۱۷۹-۱۹۱	جابه‌جایی لمب ۲۲۴
فاز ۱۴۵، ۳۰، ۷	چرخ دنگ ۵۶
اختلاف ~ ۶	حافظه ۲۷۸
سرعت ~ ۲۳۱، ۱۹۵	حالتها (ی) ۱۸۴
فراکتالها ۲۷۲-۲۷۵	~ پایه ۱۸۸
فوریه ۷	~ پراکندگی ۲۴۸
آنالیز ~ ۱۷-۲۸	~ مانا ۱۴۱
تبدیل‌های ~ ۱۸، ۸	حرکت طبیعی ۹۱، ۴۴-۵۰
~ توابع گاوسی ۲۳	بسامد ~ ۵۷، ۵۲، ۴۷
نمایش ~ ۱۹۰	حرکت واداشته ۵۰-۵۴
قانون چایلد-لانگ مویر ۱۲۳	سیستم دوترازی ~ ۲۲۲
قضیه استوکس ۹۶	~ و تار ۸۴-۸۷
قطبش ۱۰۲	~ و کاواک ۱۳۳
~ بار ۱۶۵	خودسازمان‌یافتگی ۲۷۵، ۲۶۷
~ خطی ۱۰۲	دامنه ۴۵
~ مواد ۱۵۴	درجه آزادی ۶۴، ۶
قطعیت ۲۰۰، ۱۸۵	دیورژانس ۹۴
کابل هم‌محور ۱۲۹	~ و تاو ۱۲۱
کاواکهای الکترومغناطیسی ۱۰۴-۱۰۸	رابطه دو بروی ۱۷۵
کوانتش دوم ۲۰۴	راست هنجاری ۲۰، ۸
گاوس (ی) ۱۰	رشته‌های چسبنده ۲۷۸
توابع ~ ۲۳، ۱۰	رفتار غیرخطی ۲۲۶
قضیه ~ ۹۶	~ امواج ۲۲۸
گره شرودینگر ۲۰۲	ساختار ریز ۲۰۳

- ۲۲۸ ~ و امواج سطحی
 ۴۳ ~ و سیستم مکانیکی
 موج
 ۱۵۸ ~ بسته
 ۱۷۴ ~ دوگانگی - ذره
 ۱۴۳، ۲۴، ۲۳ ~ مربعی
 ۲۰۲، ۲۰۱، ۶۸ ~ معادله
 ۱۲۹، ۱۲۸، ۱۰۵ ~ موجبرها
 میدان
 ۱۲۸، ۸۸ ~ طولی و امواج
 ۱۱۲ ~ عرضی
 ۹۲ ~ مغناطیسی
 ۶۰ ~ میرایی بحرانی
 ۲۰۵ نظریه میدان کوانتومی
 ۱۴۰-۱۵۴ نور-اپتیک فیزیکی
 ۱۹۷، ۱۴۷، ۵۴-۵۶ نوسانگرها(ی)
 ۱۴۱ ~ الکترومغناطیسی
 ۴۵ ~ میرا
 ۱۷۴ ~ واداشته
 ۱۸۰ ~ ویژه تابع
 ۱۸۴ ~ ویژه حالت
 ۲۱۰ ~ واگنی
 ۱۸۰ هامیلتونی
 ۱۴۵ همدوسی
 ۱۴۵ ~ طول
- ۱۳۴، ۹۳ گرادیان
 ۱۵۵، ۱۱۸، ۶۳ گشتاور دو قطبی
 ۲۲۲ ~ اتم
 ۱۱۶-۱۱۹ ~ تابش
 ۲۰۳ گشتاور مغناطیسی
 ۱۴۵ لیزرها
 ۱۸۰، ۱۰۸، ۷۳، ۸ متعامد
 ۲۸۸ مدار دوره‌ای
 ۱۸۲، ۱۳۳، ۷۵-۸۴ مدهای بهنجار
 ۷۱ ~ و توابع ویژه
 ۸۶ ~ نوسانگرهای جفت شده
 ۷۷ ~ ویژه تابع و
 ۲۶۹ مسیر ناپایدار
 ۲۳۸، ۲۳۵ مشخصه‌ها (و قطبها)
 معادله
 ۲۵۶ ~ برنولی
 ۱۷۸، ۱۷۷ ~ شرودینگر
 ۲۵۲، ۲۴۵، ۲۴۱ ~ کورتوگ دی وریز
 ۲۵۸
 ۲۵۲ ~ گلغاند-لوتین-مارچنگو
 ۲۲۸ ~ لاپلاس
 ۹۲-۹۷ معادلات ماکسول
 ۲۰۲، ۲۰۱، ۶۸ ~ موج
 ۱۶۹، ۷۹ ~ ناهمگن
 ۴۳ معادله دیفرانسیل خطی